

Der *Neoclanis basalis* (WALKER, 1866) - *virgo* (WESTWOOD, 1881) stat. rev. - Artenkomplex
(Lepidoptera, Sphingidae)

von

ULF EITSCHBERGER & OLIVER EITSCHBERGER

eingegangen am 28.V.2019

Zusammenfassung: Die Gattung *Neoclanis* CARCASSON, 1968, die bisher aus nur zwei Arten – und einem ungerechtfertigten Synonym – bestand, wird aufgrund phänotypischer und genitalmorphologischer Analysen revidiert. Auch wenn vielfach von etlichen Populationen nur einzelne Belegtiere vorlagen, wurden diese als neue Arten beschrieben, da die Unterschiede dafür sprachen und keine andere Wahl ließen. Das in Synonymie zu *Neoclanis basalis* (WALKER, 1866) stehende Taxon *virgo* WESTWOOD, 1881 stat. rev., wird revitalisiert, gleichzeitig wird von *Smerinthus basalis* WALKER, 1866 ein Neotypus designiert, um aufgrund der Neubeschreibungen Stabilität zu gewährleisten. Als neu werden folgende 27 *Neoclanis*-Arten beschrieben (in chronologischer Reihenfolge des Textes): *pseudobasalis* spec. nov., *schreieri* spec. nov., *hackeri* spec. nov., *murzini* spec. nov., *tsumeb* spec. nov., *weningeri* spec. nov., *oberprierleri* spec. nov., *hogani* spec. nov., *giustii* spec. nov., *dargei* spec. nov., *oatesorum* spec. nov., *iringaensis* spec. nov., *morogoroensis* spec. nov., *usambarensis* spec. nov., *nicolae* spec. nov., *haendeli* spec. nov., *kleineri* spec. nov., *kingstoni* spec. nov., *melichari* spec. nov., *michali* spec. nov., *ukambaniensis* spec. nov., *politzari* spec. nov., *witti* spec. nov., *kuchleri* spec. nov., *namanga* spec. nov., *pseudopolitzari* spec. nov., *raymurphyi* spec. nov.

Abstract: The genus *Neoclanis* CARCASSON, 1968 is revised on basis of phenotypical and morphological characters. Though we only had single specimens at hand of many populations, we had to describe them as new species because of the great differences between each other. Until today the genus contains two species with the unjustified taxon *virgo* WESTWOOD, 1881 stat. rev., which is revitalised. To guarantee stability, because of all new described species herein, we had to designate a neotype of *Smerinthus basalis* WALKER, 1866. As new, 27 species are described (in chronological order in the text): *pseudobasalis* spec. nov., *schreieri* spec. nov., *hackeri* spec. nov., *murzini* spec. nov., *tsumeb* spec. nov., *weningeri* spec. nov., *oberprierleri* spec. nov., *hogani* spec. nov., *giustii* spec. nov., *dargei* spec. nov., *oatesorum* spec. nov., *iringaensis* spec. nov., *morogoroensis* spec. nov., *usambarensis* spec. nov., *nicolae* spec. nov., *haendeli* spec. nov., *kleineri* spec. nov., *kingstoni* spec. nov., *melichari* spec. nov., *michali* spec. nov., *ukambaniensis* spec. nov., *politzari* spec. nov., *witti* spec. nov., *kuchleri* spec. nov., *namanga* spec. nov., *pseudopolitzari* spec. nov., *raymurphyi* spec. nov.

Dank: Folgenden Personen danken wir für die vielfältigsten Hilfen (Material, Materialausleihe, Literaturrecherchen, Diskussion, Korrekturlesen usw.), die uns diese Arbeit erleichterten und erst ermöglichten: BERT EITSCHBERGER, Ochsenfurt, ALESSANDRO GIUSTI, NHML, HR FRITZ GUSENLEITNER, Linz, HERMANN HACKER, Bad Staffelstein, Dr. AXEL HAUSMANN, ZSM, Dr. NICOLA HOFMANN, München, Dr. JAMES HOGAN (OUMNH), ANTHONY KINGSTON, Albrighton/Shorpsire UK, Dr. PETER KÜPPERS, Karlsruhe, TOMÁŠ MELICHAR, SMCR, RAYMOND MURPHY, Muzuzu/Malawi, Dr. ROLF G. OBERPRIELER, Canberra, Australien, MICHAL ŘEZÁČ, SMCR, HANS-PETER SCHREIER, Strullendorf bei Bamberg, MANFRED STRÖHLE, Weiden, MANFRED WENINGER, Neukirchen-Peisching/Österreich.

Verwendete Abkürzungen:

AT: Allotypus.
EMEM: Entomologisches Museum Dr. ULF EITSCHBERGER, Marktleuthen, Forschungsinstitut des McGuire Center for Lepidoptera & Biodiversity, Gainesville, Florida, U. S. A.
GP: Genitalpräparat.
HT: Holotypus.
MWM: Museum WITT, München.
NHML: Natural History Museum, London.
NT: Neotypus.
OUMNH: Oxford University Museum of Natural History, Oxford.
PT: Paratypus.
Sacculus: Sacculus mit seinem Fortsatz.
SMCR: Sphingidae Museum Czech Republic, Orlov (TOMÁŠ MELICHAR, Příbram).
TD: Typusdeposition/Typenverbleib.
TL: Typuslokalität/Type locality.
ZSM: Zoologische Staatssammlung, München.

Einleitung: Die Gattung *Neoclanis* CARCASSON, 1968 wurde für das Taxon *basalis* WALKER, 1866 errichtet, das zuvor in der Gattung *Leptoclanis* ROTHSCCHILD & JORDAN (1903), zusammen mit dem dazugehörigen Gattungstypus *pulchra* ROTHSCCHILD & JORDAN (1903), vereint worden war (ROTHSCCHILD & JORDAN, 1903: 228-229; 1906-1907: 48).

Die Synonymisierung von *Choerocampa virgo* WESTWOOD, 1881 mit dem Taxon *basalis* WALKER, 1866 vollzogen ROTHSCCHILD & JORDAN (1903: 229), indem diese wie folgt schrieben:

„We have not the type of *basalis*; the description applies, however, without doubt to the insect figured in Westwood [1881: App. Pl. E.: 11] as *virgo*.“

Seitdem wurde an dieser Auffassung durch keinen der folgenden Autoren gezweifelt oder gerüttelt, auch nicht durch CARCASSON (1968), der allerdings die generischen Unterschiede zwischen den beiden in der Gattung *Leptoclanis* ROTHSCCHILD & JORDAN stehenden

Taxa – *basalis* Wlk. und *pulchra* R. & J. – erkannte und erstere in eine eigene, neue Gattung transferierte.

In der Zeit vor ROTHSCILD & JORDAN (1903) stellte BUTLER (1876: 584) das Taxon *basalis* – unter Vorbehalt – in die Gattung *Polyptychus* HÜBNER, [1819], wohingegen KIRBY (1892) folgende Einteilung vornahm:

p. 651: 11. T[heretra]. **Virgo, Westw.**

p. 703: 12. B[asania]. **Basalis, Walk.**

KITCHING & CADIOU (2000: 39) teilen in der von ihnen revidierten Checkliste der Sphingidae Orbis terrarum die Auffassung aller vorausgegangenen Autoren und stellen *N. virgo* (WESTW.) als ein Synonym zu *N. basalis* (Wlk.).

Bis Anfang 2017 befanden sich im EMEM lediglich fünf Exemplare, die als *N. basalis* (Wlk.) in die Sammlung eingeordnet waren. Erst als durch die Aufsammlungen von HACKER & SCHREIER sowie DARGE im Jahr 2017 neue Falter hinzu kamen, wurde der Art mehr Aufmerksamkeit geschenkt und beim Einordnen des präparierten Materials dieses genauer betrachtet. Hierbei fiel auf, daß sich gerade der Falter aus Malawi (Abb. 1088) deutlich von den übrigen vier unterschied. Daraufhin wurden alle fünf bereits vorhandenen Tiere (GP 5973-5976, 5978) sowie ein weiteres ♂ ex coll. HACKER-SCHREIER (GP 5977) genitalisiert.

Das ♂ aus Malawi (Abb. 1904, 1905) wies bereits aufgrund der deutlichen Binden auf den Ober- und Unterseiten der Flügel, auf eine zu *N. basalis* (Wlk.) verschiedene Art hin. Aber auch das dunkler braun gefärbte ♂ (Abb. 1840, 1841; GP 5974) und die morphologischen Unterschiede im Genital zu den übrigen ♂♂, ließ die Autoren aufmerksam werden. Ein ähnlich dunkel gefärbtes Tier bezeichnete D'ABRERA (1986: 86, Taf. [69: 3]) als „dark form“ von *N. basalis* (Wlk.).

Um die genitalmorphologischen Unterschiede [z. B. die Valvenform, das Längenverhältnis von der Valvenlänge und des Sacculus mit dessen Fortsatz (Abb. 1-45, 90 a), die Saccusformen (Abb. 46-89), das Längenverhältnis des Bulbus aedoeagi und des Aedoeagus (Abb. 90 b, 91-135), den Abknickungswinkel des Aedoeagus (Abb. 90), die Vesicamerkmale (Abb. 136-179), die Juxta (Abb. 180-220), der Bau und die Dicke von Uncus, Tegumen mit Gnathos (Abb. 221-265) sowie dem Sacculuskopf (Abb. 266-310)], gepaart mit den phänotypischen Unterschieden, wie die Größe der Falter, deren Flügelform und Färbung, verbunden mit den Flügelzeichnungen – z. B. die Ausprägung der dunklen Binden und die Dichte und Größe der sommersproßartig verteilten dunklen, punktförmigen Flecken (Abb. 1816-1978) – genauer werten zu können, mußten die Autoren von allen Tieren, zusammen mit 18 ♂♂ und 8 ♀♀ aus der ZSM, Genitalpräparate anfertigen. Darüber hinaus war es uns möglich, durch das großzügige Entgegenkommen von Dr. JAMES HOGAN (OUMNH), auch das Genitalpräparat des Typus-♂ von *Choerocampa virgo* WESTWOOD, 1881 stat. rev. anzufertigen (GP 5990: Abb. 1, 46, 91, 136, 180, 221, 271, 324-349, 1680-1684; Falter: Abb. 1814, 1815), was bei dem Typus von *N. basalis* (Wlk.) nicht möglich war, da dieser seit 1890 als verschollen gilt:

<https://sphingidae.myspecies.info/taxonomy/term/1939>: „[Mozambique/Zimbabwe/Zambia] [coll. Waller; types lost]. A. Waller's collection was sold through Stevens' salerooms on 25.iii.1890 (The Athenaeum 1890: 327). The type specimens that it contained are assumed to be lost (manuscript note in the handwriting of G.F. Hampson in the BMNH Ground Floor Library copy of Walker, 1854-5, List Specimens lepid. Insects Colln Br. Mus. 1-3). Boisduval, [1875], in: Boisduval & Guenée, Hist. nat. Insectes (Spec. gén. Lépid. Hétérocères) 1: 18, erroneously considered that Walker described this species from his own collection (i.e. coll. Walker, rather than coll. Waller!)“.

Da der Typus mit hoher Wahrscheinlichkeit nicht mehr existiert, was uns auch durch ALESSANDRO GIUSTI (NHML), bestätigt wurde, muß nachfolgend im systematischen Teil der Arbeit ein NT designiert werden, da *N. basalis* (Wlk.) nicht konspezifisch mit *Choerocampa virgo* WESTWOOD, 1881 stat. rev. ist.

Systematischer Teil der Arbeit

Neoclanis basalis (WALKER, 1866) (Abb. 1824, 1825, 1939)

Smerinthus basalis WALKER, 1866, List Spe. Lep. Ins. Coll. Brit. Mus. 8: 1858-1859.

TL: „Zambesi River“.

TD: HT verschollen [NT hier designiert; deponiert im EMEM].

Literatur/Synonymie allgemein über *Neoclanis basalis* auct. (nec WALKER):

Smerinthus basalis, BOISDUVAL [1875: 18].

Polyptychus? basalis, BUTLER (1876: 584).

Basania basalis, KIRBY (1892: 703).

Leptoclanis basalis, ROTHSCILD & JORDAN (1903: 229, Taf. 49: 7 - Sacculusfortsatz), partim.

Leptoclanis basalis, ROTHSCILD & JORDAN (1906-1907: 48), partim.

Leptoclanis basalis, WAGNER (1914: 95), partim.

Leptoclanis basalis, HERING (1927: 364, 62 e - ♂), partim.

Leptoclanis basalis, STEVENSON (1938: 133-134, 139), partim (?).

Leptoclanis basalis, PINHEY (1962: 44), partim.

Neoclanis basalis, CARCASSON (1968: 47-48, Taf. 3: 10 - ♂, Taf. 12: 1 - ♂-Genital, Taf. 13: 5 - ♀-Genital), partim.

Leptoclanis basalis, VAN DEN BERG et al. (1975: 21, Taf. 1: 12), partim.

Neoclanis basalis, CARCASSON (1976: 47-48, Taf. 3: 10 - ♂, Taf. 12: 1 - ♂-Genital, Taf. 13: 5 - ♀-Genital), partim.

Neoclanis basalis, D'ABRERA (1986: 68, [Taf. 69: 2, 3]), partim.

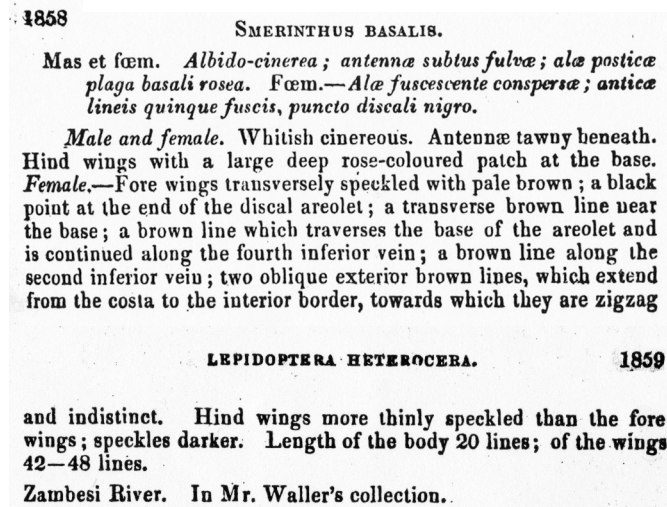
Neoclanis basalis, BRIDGES (1993: VII.8, VIII.17), partim.

Neoclanis basalis, HÄNDEL (1998: 379).

Neoclanis basalis, KITCHING & CADIOU (2000: 59), partim.

Neoclanis basalis, TABBERT (2000: 520).

Neoclanis basalis, DARGE (2012: 28: 021 - ♂, 022 - ♀).
Neoclanis basalis, MELICHAR & ŘEZÁČ (2013: 71-75), partim.
Neoclanis basalis, MIOKO (2016: 67, [69]).



Faksimile der Urbeschreibung aus WALKER, F. (1866): List of the Specimens of Lepidopterous Insects of the Collection of the British Museum 35 (Suppl. 5): 1858-1859, London.

Die Typusfundortangabe von *N. basalis* (WLK.) ist mit der Angabe „Zambesi River“ recht vage und ungenau, denn alleine die Flußlänge beträgt etwa 2574 km. Der Fluß entspringt in der Nähe von Mwinilunga in Sambia und fließt von dort durch Angola, Namibia, Botswana, Simbabwe und Mosambik, im zentralen und südlichen Afrika, und mündet in den Indischen Ozean. Es ist aber sehr wahrscheinlich, daß der Typenfundort im nordöstlichsten Zipfel von Namibia zu suchen ist, an den im Norden Sambia und im Süden Botswana und Simbabwe angrenzen (siehe Verbreitungskarte 1).

Da der Typus seit 1890 als verschollen gilt und ein Wiederauffinden äußerst unwahrscheinlich ist, muß aus Gründen der nomenklatorischen Stabilität ein NT von diesem Taxon designiert werden, da dieses von sehr ähnlichen, dennoch anderen Arten umgeben wird, wie nachfolgend aufgezeigt wird.

Zum NT designieren wir ein ♂ (Abb. 1824, 1825, 1939; GP 9577: Abb. 6, 51, 96, 141, 184, 226, 276, 455-478, 1697-1699), das wie folgt – neben dem roten Typusetikett – etikettiert ist: /10 Namibia, 17°53'S 24°34'E, E Caprivi District, 15 km NW Ngoma, 930 m, 26.II.2006, Li/LiFa, leg. H. HACKER, H.-P. SCHREIER//ex coll. HACKER & SCHREIER, in EMEM, 16.I.2017, Entomol. Museum Eitschberger, Markt-leuthen/. EMEM. Das NT-♂ hat eine Spannweite von 7,17 cm von Apexspitze zu Apexspitze.

Die Vorderflügel des NT-♂ sind ganz schwach mit winzigen violettbraunen Punkten besprenkelt; die submarginalen und postdiscalen Binden sind schwach als solche erkennbar, der dunkle Zellschlußfleck ist klein und kaum sichtbar; die jetzt deutlich violetten bis violettbraunen Sprenkelflecken auf der Hinterflügeloberseite sind wesentlich größer als auf den Vorderflügeln, die Sprenkelung ist dichter im Mittelfeld und wird nach außen hin schwächer, der kräftig gefärbte, weinrote Basalfleck ist oval-rundlich, mit geradem, nicht zerfranstem Außenrand.

Die Unterseiten der Flügel sind ähnlich in der Dichte, Größe und Intensität der Besprenkelung wie auf der Oberseite gezeichnet, der Basalfleck ist auch auf der Unterseite der Hinterflügel als dunkleres Feld – ein Schattenfleck – sichtbar, im Gegensatz zu Faltern anderer Populationen bzw. Arten, bei denen der dunklere Fleck fehlt, so auch bei *N. virgo* (WESTW.) **stat. rev.**

♂-**Genital**: GP 9577: Abb. 6, 51, 96, 141, 184, 226, 276, 455-478, 1697-1699 - Beschreibung und Vergleich mit den benachbarten Arten siehe folgend unter *N. pseudobasalis spec. nov.*

Das ♀ sowie die ersten Stände und alle anderen biologischen Daten sind unbekannt.

Verbreitung: Bisher nur vom LT bekannt (siehe Verbreitungskarte 1).

Ein weiteres ♂ vom gleichen Fundort und mit den selben Daten wie das NT-♂ von *N. basalis* (WLK.), ist aufgrund deutlicher morphologischer Unterschiede im Genital nicht konspezifisch mit diesem, sodaß dieses ♂ als neue Art wie folgt beschrieben wird:

Neoclanis pseudobasalis spec. nov. (Abb. 1826, 1827, 1940)

HT ♂ (Abb. 1826, 1827, 1940; Spannweite: 8 cm), GP 5993 (Abb. 7, 52, 97, 142, 185, 227, 277, 479-510, 1700-1702): /10 Namibia, 17°53'S 24°34'E, E Caprivi District, 15 km NW Ngoma, 930 m, 26.II.2006, Li/LiFa, leg. H. HACKER, H.-P. SCHREIER//ex coll. HACKER-SCHREIER, in EMEM, 16.I.2017, Entomol. Museum Eitschberger, Markt-leuthen/. EMEM.

Beschreibung mit Differentialdiagnose: Die Grundfärbung der Vorderflügel ist hellbraun und nicht so hellbeige wie beim NT von *N. basalis* (WLK.), sie wirkt damit dunkler als diese; die Form der Vorderflügel (Abb. 1940) ist ähnlich wie bei *N. basalis* (WLK.) (Abb. 1939). Bei *N. pseudobasalis spec. nov.* ist der Flügel am Außenrand jedoch etwas breiter/höher, wodurch er nicht so langgestreckt und schmal wie bei *N. basalis* (WLK.) ist; der Zellschlußfleck auf dem Vorderflügel ist größer und somit, im Vergleich zu *N. basalis* (WLK.), sehr gut sichtbar; die Submarginale der Vorderflügel ist am Außenrand als Gerade auf kurzer Strecke angedeutet, bei *N. basalis* (WLK.) kann der rundlich-gebogene Verlauf länger verfolgt werden; ebenso verhält es sich mit der postdiscalen Binde.

Die Hinterflügel sind gedrungener und somit auch rundlicher, die Sprengelung ist dichter und kompakter und lichter im Außenrandfeld, verglichen mit *N. basalis* (WLK.).

Die Unterseite ist etwas dunkler, die Sprengelungsdichte ähnlich, der Zellschlußfleck deutlicher sichtbar, verglichen mit *N. basalis* (WLK.); wie bei *N. basalis* (WLK.) ist der Basalfleck als dunkles Feld oder als Schattenfleck sichtbar.

Die Fühler wirken dicker als bei *N. basalis* (WLKR.).

♂-Genital (Abb. 7, 52, 97, 142, 185, 227, 277, 479-510, 1700-1702): Ein Vergleich der Valve von *N. basalis* (WLK.) (Abb. 6) mit der von *N. pseudobasalis spec. nov.* (Abb. 7) zeigt deutlich die Unterschiede in der Form der Valven, des Aufbaus und der Länge des Sacculus, gemeinsam mit der von Art zu Art sehr unterschiedlichen Sacculuskopfplatte (Aufbau der spiralig-sichelartigen Platte, siehe Abb. 620-623 oder Abb. 648-652, die zusammen auch eine räumliche Vorstellung vermitteln), die auf einem längeren oder kürzeren Hals aufsitzt (Abb. 266-310), der darüberhinaus auch glatt (z. B. Abb. 291) oder mit Cornuti mehr oder weniger dicht besetzt sein kann (z. B. Abb. 284), je nach Art/Population. Bei *N. basalis* (WLKR.) löst sich distal, unterhalb der Sacculuskopfplatte und des cornuti-losen Halses das distale Ende des Sacculusaußenrandes auf und verschmilzt übergangslos mit der Valveninnenwand (siehe Pfeil in Abb. 6) wobei bei *N. virgo* (WESTW.) **stat. rev.** (Abb. 1), *N. pseudobasalis spec. nov.* (siehe Pfeil in Abb. 7) sowie allen folgenden Arten der Sacculus und die Valveninnenwand deutlich voneinander getrennt sind. Die Oberkante der Valve verläuft bei *N. pseudobasalis spec. nov.* (siehe oberen Pfeil in Abb. 7) gerade, um distal in größerer Distanz zum proximalen Sacculusbeginn, abgelenkt in einer Geraden zu enden – ähnlich wie bei *N. virgo* (WESTW.) **stat. rev.** (Abb. 1, 340), bei *N. basalis* (WLKR.) ist der Verlauf der Valvenoberkante schräg nach unten verlaufend, um ohne Abknickung in den Beginn des Sacculus zu münden (Abb. 6). Obwohl der HT der neuen Art mit 8 cm eine größere Spannweite als der NT von *N. basalis* (WLKR.) mit 7,17 cm aufweist, ist die Valve des HT kürzer. Somit beträgt das Verhältnis aus der Valvenlänge und der Sacculuslänge (verwendete Meßstrecken siehe Abb. 90 a) 1,65 bei *N. basalis* (WLKR.), der kleineren Art, und bei *N. pseudobasalis spec. nov.*, der größeren Art, 1,57.

Der Saccus, auch wenn dieser in der Umrißform bei vielen Arten, aufgrund der ungeheuer großen Variabilität, kaum als Unterscheidungsmerkmal für eine Bestimmung herangezogen werden kann (EITSCHBERGER, 2003), scheint das Merkmal hier brauchbare Indizien zu liefern (siehe Abb. 30-58). So verlaufen die Seitenschenkel des Saccus bei *N. pseudobasalis spec. nov.* gerade schräg nach außen (Abb. 36) wohingegen diese, ab der distal gelegenen Rundung bei *N. basalis* (WLK.), zuerst auf kurzer Strecke nahezu parallel verlaufen, um dann in einem Bogen nach außen zu laufen, bis sie ins Vinculum münden (Abb. 35).

Das Verhältnis der Länge des Bulbus aedoeagi zur Länge des Aedoeagus (verwendete Meßstrecken siehe Abb. 90 b, wobei die abstrakte gerade weiße Linie, den Windungen des Bulbus aedoeagi folgt, um einem geraden Verlauf nahe zu kommen) beträgt bei *N. basalis* (WLKR.) (Abb. 96) 0,8 und bei *N. pseudobasalis spec. nov.* (Abb. 97) 1,0 – hier ist das Verhältnis bei der kleineren Art größer als bei der Art mit größerer Spannweite.

Die Ausbildung in Größe und Form der Juxta (Abb. 180-220) ist teilweise sehr groß (vergl. z. B. Abb. 180, 190, 193, 205), sodaß hierin auch ein zusätzliches Indiz zu sehen ist, im Verbund mit den anderen morphologischen wie phänotypischen Merkmalen, Arten voneinander unterscheiden zu können.

Bei *N. pseudobasalis spec. nov.* ist der Außenrand der beiden Schenkel der Juxta gerade, der Innenrand ist leicht S-förmig gebogen; die Juxtabasis ist breit (Abb. 185). Bei *N. basalis* (WLK.) sind die Schenkel gestauchter und auf der Innen- wie Außenseite mehr oder weniger gerade (Abb. 184), bei *N. virgo* (WESTW.) **stat. rev.** ist die Basis sehr hoch, wodurch die Einkerbung nicht so tief in den Juxtakörper vordringt (Abb. 180).

Der Sacculushals ist bei *N. pseudobasalis spec. nov.* (Abb. 277), bis auf zwei winzige Cornuti, und auch bei *N. virgo* (WESTW.) **stat. rev.** (Abb. 271) glatt, bei *N. schreieri spec. nov.* (Abb. 272-275) ist er mit wenigen, kleinen Cornuti besetzt ebenso wie bei *N. basalis spec. nov.* (Abb. 276).

Das ♀ sowie die ersten Stände und alle anderen biologischen Daten der neuen Art sind unbekannt.

Verbreitung: Bisher nur vom Typenfundort bekannt (siehe Verbreitungskarte 1).

Derivatio nominis: Ähnlich der Art *Neoclanis basalis* (WALKER, 1866).

Neoclanis virgo (WESTWOOD, 1881) **stat. rev.** (Abb. 1814, 1815, 1152)

Choerocampa virgo WESTWOOD, 1881, in OATES, C. G. (Ed.), Matabele Land: 183, Pl. E: 11.

TL: „Habitat prope Gubuleweyo [Bulawayo] vel Gwailo [Gweru] fluv.“

TD: OUMNH (Abb. 1814, 1815, 1152).

Literatur/Synonymie

Basania virgo, KIRBY (1892: 651).

Leptoclanis basalis, ROTHSCILD & JORDAN (1903: 229, Taf. 49: 7 - Sacculusfortsatz).

Leptoclanis basalis, ROTHSCILD & JORDAN (1906-1907: 48).

Leptoclanis basalis, WAGNER (1914: 95).

Leptoclanis basalis, HERING (1927: 364, 62 e - ♂).

Leptoclanis basalis, STEVENSON (1938: 133-134, 139), partim [Khami liegt neben dem LT von *N. virgo* (WESTW.)].

Leptoclanis basalis, PINHEY (1962: 44), partim.

Neoclanis basalis, CARCASSON (1968: 47-48, Taf. 3: 10 - ♂, Taf. 12: 1 - ♂-Genital, Taf. 13: 5 - ♀-Genital).

Leptoclanis basalis, VAN DEN BERG et al. (1975: 21, Taf. 1: 12), partim.

Neoclanis basalis, CARCASSON (1976: 47-48, Taf. 3: 10 - ♂, Taf. 12: 1 - ♂-Genital, Taf. 13: 5 - ♀-Genital).

Neoclanis basalis, D'ABRERA (1986: 68, [Taf. 69: 2, 3]), partim.

Neoclanis basalis, BRIDGES (1993: VII.8, VIII.17).

Neoclanis basalis, KITCHING & CADIOU (2000: 59).

Neoclanis basalis, MELICHAR & ŘEZÁČ (2013: 71-75), partim.

CHÆROCAMPA VIRGO, Westw. (Plate E, fig. 11.)

Alba albido vix tincta, alis posticis plaga fere basali ovali punicea ;
omnibus subtu omnino concoloribus. Expans. alar. antic. fere unc. 3.
Habitat prope Gubuleweyo vel Gwailo fluv.

Faksimile der Urbeschreibung aus WESTWOOD, J.O. (1881): IV Entomology, in OATES, C. G. (Ed.), Matabele Land and the Victoria Falls. A Naturalist's Wandering in the Interior of South Africa - From the Letters & Journals of the late FRANK OATES, F.R.G.S. - Appendix: 354.

Für uns besteht kein Zweifel, daß *Neoclanis virgo* (WESTWOOD, 1881) **stat. rev.**, aufgrund des Außenrands der Vorderflügel mit der Zahnausbuchtung zwischen M2 und M3, der bei *N. basalis* (WLK.) sowie allen anderen vorliegenden Tieren/Arten flach abgerundet ist und der morphologischen Unterschiede im Genital, ein selbständiges Taxon auf Artniveau darstellt. Die spitze Ausbuchtung am Außenrand ist bereits bei der Originalabbildung in WESTWOOD (1881: Pl. E: 11) deutlich zu sehen, wie auch bei den Abbildungen des HT (Abb. 1814, 1815, 1152). Eine Besprenkelung mit Punkten ist auf den Flügeloberseiten der Abbildungen kaum feststellbar. Der dunkle Schattenfleck fehlt auf der Hinterflügelunterseite, der bei *N. basalis* (WLK.) vorhanden ist.

♂-Genital (Abb. 1, 46, 91, 136, 180, 221, 271, 324-349, 1680-1684): GP 5990 ♂ (abgeschätzte Spannweite: 7,04 cm), HT von *Choerocampa virgo* WESTWOOD, 1881. „Gobalaweya or Gwailo, S. Africa, F. OATES“ [„Habitat prope Gubuleweyo [Bulawayo] vel Gwailo [Gweru] fluv.“]. OUMNH.

Der untere Valvenrand verläuft nach der distalen Valvenrundung leicht konkav nach oben gebogen zum Sacculus (Abb. 1, siehe Pfeil), ähnlich wie bei *N. basalis* (WLK.) (Abb. 85) – dort jedoch etwas stärker, während der Verlauf bei *N. basalis* (WLK.) mehr gerade verläuft (Abb.- 6).

Die proximale Hälfte des Sacculus ist breit, die distale, nach oben abgeknickte Endhälfte verjüngt sich stärker (Abb. 1), bei *N. basalis* (WLK.) (Abb. 6) und *N. pseudobasalis spec. nov.* (Abb. 7) ist die Abknickung flacher und die Verjüngung geringer. Der Index zwischen Valvenlänge und Sacculuslänge beträgt 1,41 und liegt somit unterhalb des Index von 1,65 bei *N. basalis* (WLK.) und 1,48 bei *N. pseudobasalis spec. nov.*

Der Hals der Sacculuskopfflatte von *N. virgo* (WESTW.) **stat. rev.** (Abb. 271) ist glatt, wirkt jedoch in der Abbildung wellig, da die Cornuti der Kopfplatte von dorsal durchschimmern und so einen falschen Eindruck erwecken, was auch bei den folgenden Arten der Fall ist, wenn dann nur noch von glatt die Rede sein wird; wo und wie der Hals mit Cornuti besetzt ist, ist besonders gut in den Abbildungen (Abb. 284, Abb. 297-310) ersichtlich. Der Hals von *N. basalis* (WLK.) (Abb. 276) und *N. pseudobasalis spec. nov.* (Abb. 277) ist ebenfalls als glatt zu bezeichnen.

Der Saccus von *N. virgo* (WESTW.) **stat. rev.** (Abb. 46) ist breit und proximal halbkreisförmig gerundet und unterscheidet sich somit deutlich von allen anderen Sacci der nahe verwandten Arten (Abb. 47-59, 63-89); eine gewisse Übereinstimmung besteht mit den Sacci der Abb. 60-62.

Leider war der Bulbus aedoeagi, trotz sorgsamster Behandlung und Präparation des Genitals, nicht mehr vorhanden, sodaß der spezifische Index von dessen Länge zu der Länge des Aedoeagus nicht ermittelt werden konnte. Der Aedoeagus von *N. virgo* (WESTW.) **stat. rev.** (Abb. 91) ist kürzer, schlanker und gleichmäßig rund nach unten gebogen, verglichen mit den beiden zuvor behandelten Arten (Abb. 96, 97).

Die Vesica (Abb. 136-179) ist, in Verbindung und Kombination mit anderen Merkmalen, ebenfalls ein starkes Indiz für die Trennung von Arten. Hierbei können die Länge und Form der beiden ausgestülpten Vesicafinger (vergl. Abb. 147 z. B. mit Abb. 142), die distale Vesicastirn, die sich oberhalb des Austrittes des Ductus ejaculatorius erhebt (vergl. Abb. 146 z. B. mit Abb. 141) sowie der Austrittsort desselben – in Abb. 146 ist die Stirn, durch den nach oben verschobenen Austritt des Ductus ejaculatorius, sehr flach (Terminologie siehe Abb. 136) – als Unterscheidungsmerkmal herangezogen werden. Hinsichtlich dieser Merkmale an der Vesica unterscheiden sich *N. virgo* (WESTW.) **stat. rev.** (Abb. 136) und *N. pseudobasalis spec. nov.* (Abb. 142) in der Höhe der Stirn und der Austrittslage des Ductus ejaculatorius deutlich von *N. basalis* (WLK.) (Abb. 141).

Die Juxta von *N. virgo* (WESTW.) **stat. rev.** (Abb. 180) ist durch die sehr hohe Basis, verbunden mit kurzem Schenkel, leicht von allen bisher bekannten Arten der Gattung zu unterscheiden (Abb. 181-220).

Das ♀ sowie die Biologie der Art sind unbekannt.

Verbreitung: Bisher nur sicher vom LT bekannt (siehe Verbreitungskarte 1).

Nicht sehr weit vom LT der *N. basalis* (WLK.) fliegt südlich der Grenze vom Botswana eine Population, von der 4 ♂♂ und 1 ♀ vorliegen, die sich phänotypisch wie auch genitalmorphologisch von den drei zuvor genannten Arten unterscheidet, sodaß diese wie folgt als neue Art beschrieben wird:

***Neoclanis schreieri spec. nov.* (Abb. 1816-1823, 1906, 1907, 1935-1938)**

HT ♂ (Abb. 1822, 1087, 1938; Spannweite: 6,83 cm), GP 6000 ♂ (Abb. 5, 50, 95, 140, 183, 225, 275, 430-454, 1694-1966): /8, Botswana, Chobe Distr., 17°49'S, 25°13'E, SSE Kasane, 2 km W Leshoma, Kasane Forest Res., 1000 m, 24.II.2006, Li/LiFa, leg. H. HACKER, H.-P. SCHREIER//ex coll. HACKER & SCHREIER in EMEM, 16.I.2017, Entomol. Museum Eitschberger, Marktleuthen/. EMEM.

PT ♂ (Abb. 1816, 1817, 1935; Spannweite: 6,76 cm), GP 5982 ♂ (Abb. 2, 47, 92, 137, 181, 222, 272, 350-377, 1685-1687): /8, Botswana, Chobe Distr., 17°49'S, 25°13'E, SSE Kasane, 2 km W Leshoma, Kasane Forest Res., 1000 m, 24.II.2006, Li/LiFa, leg. H. HACKER, H.-P. SCHREIER//ex coll. HACKER & SCHREIER in EMEM, 16.I.2017, Entomol. Museum Eitschberger, Marktleuthen/. EMEM.

PT ♂ (Abb. 1818, 1819, 1936; Spannweite: 6,96 cm), GP 5983 ♂ (Abb. 3, 48, 93, 138, 182, 223, 378-408, 1688-1690): /8, Botswana, Chobe Distr., 17°49'S, 25°13'E, SSE Kasane, 2 km W Leshoma, Kasane Forest Res., 1000 m, 24.II.2006, Li/LiFa, leg. H. HACKER,

H.-P. SCHREIER//ex coll. HACKER & SCHREIER in EMEM, 16.I.2017, Entomol. Museum Eitschberger, Marktleuthen/. EMEM.
PT ♂ (Abb. 1820, 1821, 1937; Spannweite: 7,18 cm), GP 5999 ♂ (Abb. 4, 49, 94, 139, 224, 274, 409-429, 1691-1693): /8, Botswana, Chobe Distr., 17°49'S, 25°13'E, SSE Kasane, 2 km W Leshoma, Kasane Forest Res., 1000 m, 24.II.2006, Li/LiFa, leg. H. HACKER, H.-P. SCHREIER//ex coll. HACKER & SCHREIER in EMEM, 16.I.2017, Entomol. Museum Eitschberger, Marktleuthen/. EMEM.

AT ♀ (Abb. 1906, 1907; Spannweite: 8,56 cm), GP 5984 ♀ (Abb. 131, 131 a, 930-941): /8, Botswana, Chobe Distr., 17°49'S, 25°13'E, SSE Kasane, 2 km W Leshoma, Kasane Forest Res., 1000 m, 24.II.2006, Li/LiFa, leg. H. HACKER, H.-P. SCHREIER//ex coll. HACKER & SCHREIER in EMEM, 16.I.2017, Entomol. Museum Eitschberger, Marktleuthen/. EMEM.

Beschreibung mit Differentialdiagnose des ♂: Das HT-♂ (Abb. 1822, 1087, 1938) hat eine Spannweite von 6,83 cm, die übrigen drei PT-♂♂ von 6,76 cm-7,18 cm; die Färbung sowie die Dichte der Fleckenbesprenkelung der Flügeloberseiten ist vergleichbar mit dem NT-♂ von *N. basalis* (Wlk.), jedoch ist der Zellschlußfleck von *N. schreieri spec. nov.* (Abb. 1937) etwas größer, auch sind die Flügel gedrungener, runder und nicht so langgestreckt wie bei *N. basalis* (Wlk.) (Abb. 1939); die Dichte und Anordnung der Fleckenbesprenkelung ist aus den Abb. 1160-1237 zu ersehen, ebenso die Ausbildung von Submarginal- und Postdiscalbinde; der Zellschlußfleck ist bei *N. pseudobasalis spec. nov.* größer und markanter als bei *N. schreieri spec. nov.*; der weinrote Basalfleck der Hinterflügel aller 4 ♂♂ ist größer als bei *N. basalis* (Wlk.); die Submarginalbinde ist deutlicher als bei *N. basalis* (Wlk.), jedoch fehlt die Postdiscalbinde; allerdings ist bei den PT-♂♂ (GP 5982/Abb. 1935; GP 5999/Abb. 1937) die Submarginal- wie Postdiscalbinde gut sichtbar, nicht jedoch bei dem PT-♂ (GP 5983/Abb. 1936), bei dem nur noch die Submarginale zum Außenrand hin andeutungsweise erkennbar ist – hier ist der Zellschlußfleck auch nur noch als ein rundlicher Sprenkelfleck sichtbar.

Die Unterseiten der Flügel sind heller als die Oberseiten, jedoch sind die Zeichnungsmerkmale (Sprenkelung der Flecken und die Binden) wie oberseits, etwas schwächer in der Ausprägung; der oberseits weinrote Basalfleck der Hinterflügel ist auf der Unterseite als dunkler Schattenfleck vorhanden, der, wie wir noch im weiteren Verlauf sehen werden, bei anderen Arten fehlen kann.

♂-Genital (Abb. 2-5, 47-50, 92-95, 137-140, 222-225, 350-454, 1685-1696): Die Valvenform (Abb. 2-5) ist aus den Abbildungen ersichtlich, wobei die Unterkante nach dem Sacculus zum abgerundeten Außenrand leicht nach oben (konkav) eingedellt ist; Das Verhältnis von der Valvenlänge zu der Länge des Sacculus (Valvenindex) beträgt beim HT-♂ 1,48; der Valvenindex schwankt bei den 4 ♂♂ zwischen 1,44 bis 1,55 und beträgt im Mittel 1,49 [bei *N. virgo* (Westw.) 1,41, bei *N. basalis* (Wlk.) 1,65 und 1,57 bei *N. pseudobasalis spec. nov.*]; der Saccus ist bei allen 4 ♂♂ in der Umrißform sowie in der Fläche recht variabel (Abb. 31-34); wir müssen aber dennoch davon ausgehen, daß sie zu einer Art gehören, was allerdings dieses Saccus-Merkmal, um Arten zu differenzieren, sehr infrage stellt, sodaß eine Analyse aus der Vielzahl von morphologischen oder phänotypischen Merkmalen zur Differenzierung herangezogen werden muß – Daten über die Biologie, das Verhalten über die Phänologie liegen bisher von keiner Art der Gattung vor. Das Längenverhältnis zwischen dem Bulbus aedoeagi und dem Aedoeagus (Aedoeagusindex) beträgt beim HT-♂ 1,19 und liegt damit zwischen den Indices von *N. basalis* (Wlk.) mit 1,0 und von *N. pseudobasalis spec. nov.* mit 1,41; die Stirn der Vesica (Abb. 138-140) ist ähnlich lang wie bei *N. virgo* (Westw.) (Abb. 136) und *N. pseudobasalis spec. nov.* (Abb. 142) jedoch kürzer als bei *N. basalis* (Wlk.) (Abb. 141); die Stirn der Vesica besitzt am Übergang zum Ejaculatoriusschlauch einen deutlich ausgezogenen Nasenwulst, der bei den bisherigen Vergleichsarten nicht so markant ausgeprägt ist; die beiden Vesicafinger lassen sich bei allen vier Arten, aufgrund großer Ähnlichkeit nicht als Unterscheidungsmerkmal heranziehen; bei der Juxta (Abb. 181-183) ist die Basis nicht so hoch wie bei *N. virgo* (Westw.) (Abb. 180), dadurch sind auch die beiden Außenschenkel länger und bilden nach Innen ein „V“ - die Juxta des HT-♂ (Abb. 183) konnte nicht sehr sauber präpariert werden und wurde an den Schenkelspitzen beschädigt.

Beschreibung mit Differentialdiagnose des AT-♀ (Abb. 1906, 1907; Spannweite: 8,56 cm): Das ♀ ist größer als die ♂♂ und hat dünnere Fühler als diese; die Grundfärbung der Flügeloberseite ist dunkler als bei den ♂♂, was zusätzlich durch eine dichtere Besprenkelung mit dunkelbraunen Punkten – winzig auf den Vorderflügeln, größer auf den Hinterflügeln – hervorgerufen wird. Die Postdiscal- und Submarginalbinde durchziehen breit und kräftig den Vorderflügel vom Vorderrand bis zum Innenrand; über der Ader M3 liegt vom Zellschluß bis zur Submarginalen ein wie die Binden gefärbter breiter Balken; das Wurzelfeld der Vorderflügel wird durch eine dünne, aber deutliche, dunkle Binde begrenzt (in abgeschwächter Form auch bei 3 PT-♂♂), zwischen dieser Binde und dem Beginn des dunklen Balkens am Zellschluß, zieht sich schräg eine dünne, dunkle Linie vom Vorderrand durch die Zelle, um dann über Cu1 am Außenrand zu enden (im Folgenden **Cubitusbinde** genannt).

Der weinrote Wurzelfleck der Hinterflügel ist groß, wobei ein weinroter Schimmer sich vom Außenrand des Flecks über das gesamte Mittelfeld ergießt; das leicht mit Weinrot übergossene Mittelfeld der Hinterflügel ist ansonsten bei keinem anderen ♀ der noch folgenden Arten in diesem Ausmaß zu sehen.

Die Grundfärbung der Flügelunterseiten ist heller als die Oberseite; das Feld zwischen Wurzel und dem Ende der Zelle der Vorderflügel ist hell und nahezu zeichnungslos; die Bindenzeichnung der Vorderflügel ist auch auf der Unterseite entsprechend zu sehen; der Wurzelfleck der Hinterflügel ist unterseits nur als kleinerer, dunkler Schatten angelegt.

♀-Genital (GP 5984 ♀: Abb. 311, 311 a, 1550-1561): Insgesamt konnten nur 13 ♀♀ zur Untersuchung der Genitalmorphologie herangezogen werden. Da die Bursa copulatrix sehr dünnwandig ist, gestaltete sich die Präparation äußerst schwierig, da sich bereits, der Bursakörper teilweise oder ganz aufgelöst hatte oder aber, daß er so mit dem umgebenden Leibesinhalt verklebt war, sodaß ein Lösen der Bursahaut davon unmöglich war (Abb. 313 a) – in einem Fall mußte die Präparationsarbeit eingestellt werden, um nicht alles zu zerstören und ganz zu verlieren (Abb. 316 a).

Bei 4 ♀♀, deren Bursa genauer betrachtet werden konnte, fehlt ein Signum, was auch CARCASSON (1968: 48, Taf. 13: 5) feststellte. Aufgrund der wenigen Präparate kann dennoch festgestellt werden, daß sich die Arten einmal durch die Form und Ausbildung der Lamella antevaginalis sowie die Ausbildung und Form der Bursabläse, gemeinsam mit dem Bursahals, unterscheiden lassen.

Bei *N. pseudobasalis spec. nov.* bildet die Bursabläse – ohne sichtbaren Übergang – mit dem Bursahals einen langen, schlauchförmigen Sack, der sich erst am leicht verknorpelten Colliculum verjüngt und darin mündet (Abb. 311 a), wodurch sich die neue Art deutlich von *N. murzini spec. nov.* (Abb. 314 a) unterscheidet – ein exakter Vergleich mit den übrigen ♀♀ der anderen Arten (Abb. 312 a, 313 a, 315 a, 316 a) ist leider, aufgrund deren Erhaltungszustandes, nicht möglich. Sehr ähnlich mit der Bursabläse von *N. schreieri spec.*

nov. (Abb. 311 a) sind diese von GP 6040 (Abb. 323 b) und GP 6039 (Abb. 322 b). Wenn wir die unbeschädigte, prall mit Flüssigkeit gefüllte Bursablaste von GP 6039 (Abb. 322 b) mit der von *N. murzini spec. nov.* (Abb. 314 a) vergleichen, kann festgehalten werden, daß die nach dem kurzen, knorpeligen Colliculum stärker aufgebläht ist als bei *N. murzini spec. nov.*

Da sich jedoch auch die Umrißformen der zweilappigen Lamella antevaginalis (Abb. 311-322 b) stark voneinander unterscheiden, werden diese zum sofortigen Vergleich zusammengefaßt dargestellt, wodurch sich erst einmal hier weitere Worte erübrigen.

Verbreitung: *Neoclanis schreieri spec. nov.* ist bisher nur vom LT bekannt (siehe Verbreitungskarte 1). Biologische Daten liegen nicht vor.

Derivatio nominis: Diese Art widmen wir Herrn HANS-PETER SCHREIER, Strullendorf (bei Bamberg), der sich durch seine Forschungstätigkeit in Afrika, gemeinsam mit Herrn HERMANN HACKER, Bad Staffelstein, sehr um die Erweiterung der Kenntnisse über die afrikanische Lepidopterenfauna verdient gemacht hat – er ist Mitentdecker dieser neuen Art!

Aus der Zentralprovinz von Botswana, liegt uns ein ♂ vor, das sich genitalmorphologisch von den dieses ♂ umgebenden Arten unterscheidet, sodaß wir es wie nachfolgend beschreiben wollen:

Neoclanis hackeri spec. nov. (Abb. 1828, 1829, 1941)

HT ♂ (Abb. 1828, 1829, 1941; Spannweite: 6,78 cm), GP 5992 ♂ (Abb. 8, 53, 98, 143, 186, 228, 278, 511-543, 1703-1705): /8, Botswana, Central Distr., 19°39'S, 26°05'E, 60 km N Nata, Elephant Sands Camp, 950 m, 21.II.2006, Li/LiFa, leg. H. HACKER, H.-P. SCHREIER//ex coll. HACKER & SCHREIER in EMEM, 16.I.2017, Entomol. Museum Eitschberger, Marktleuthen/. EMEM.

Das ♀ ist unbekannt.

Beschreibung mit Differentialdiagnose des HT-♂ (Abb. 1828, 1829, 1941): Oberseits wie die ♂♂ der anderen Arten gefärbt; der Vorderflügel schwach besprenkelt - kaum von der Wurzel bis zum Zellschluß, etwas dichter vom Zellschluß bis zum Apex und von dort im Außenrandfeld bis zum Innerrandwinkel; der Zellschlußfleck ist klein und etwa so groß und ausgeprägt wie bei *N. schreieri spec. nov.*, jedoch sehr viel kleiner als bei *N. pseudobasalis spec. nov.*; die ganzen Hinterflügel, von der Wurzel bis zum Außenrand, sind wesentlich dichter besprenkelt als die Vorderflügel, der weinrote Wurzelfleck ist kleiner im Vergleich zu *N. schreieri spec. nov.*; die Submarginalbinde ist, vom Außenrand bis zum Innenrand, auf dem Vorderflügel durchgehend gut zu sehen, die Postdiscale ist sehr schwach vom Außenrand bis M2 angedeutet.

Die Flügelunterseiten tragen die selben Charakterzüge wie auf der Oberseite, nur der Wurzelfleck der Hinterflügeloberseite ist unterseits als relativ starker, dunkler Schattenfleck vorhanden, und auf dem Vorderflügel fehlt die Postdiskalbinde, die oberseits angedeutet ist und sich normalerweise bei den Arten, bei denen diese vorhanden ist, auch unterseits wiederfindet.

♂-Genital (GP 5992 ♂: Abb. 8, 53, 98, 143, 186, 228, 278, 511-543, 1703-1705): Der Valvenindex beträgt 1,45 und kommt somit dem Durchschnittswert von 1,49 bei *N. schreieri spec. nov.* sehr nahe; die Valve (Abb. 8) ist deutlich kürzer als die Valve von *N. schreieri spec. nov.* (Abb. 2-5) oder von *N. pseudobasalis spec. nov.* (Abb. 7), *N. basalis* (Wlk.) (Abb. 6) oder *N. virgo* (Westw.) (Abb. 1); die Unterkante des Saccus ist gleichmäßiger gerundet und mittig nicht merklich abgknickt, wie bei den Vergleichsarten zuvor; der Saccus (Abb. 53) ist an der Basis sehr breit, wobei die beiden Außenränder steil aufeinander zulaufen und abgerundet enden, wodurch sie das Variationsspektrum aller anderen Arten (z. B. Abb. 46-52, 54-73) durchbricht; der Bulbus aedoeagi (Abb. 98) ist knapp länger als der Aedoeagus, sodaß sich ein Index von 1,07 ergibt, der damit deutlich kleiner gegenüber *N. schreieri spec. nov.* mit 1,34-1,52 und *N. pseudobasalis spec. nov.* mit 1,41 ist, bei *N. basalis* (Wlk.) ist der Index mit 1,0 fast identisch; die Vesica von *N. hackeri spec. nov.* (Abb. 143) weist eine hohe Stirn auf, ohne deutlichen Wulst, ähnlich wie *N. virgo* (Westw.) (Abb. 136) oder *N. pseudobasalis spec. nov.* (Abb. 142), sie besitzt aber zwei schlankere Finger; die Juxta (Abb. 186) konnte leider nicht sauber und unbeschadet präpariert werden, sodaß ein Vergleich mit den anderen Arten nicht erfolgen kann.

Verbreitung: *Neoclanis hackeri spec. nov.* ist bisher nur vom LT bekannt (siehe Verbreitungskarte 1). Biologische Daten liegen nicht vor.

Derivatio nominis: Diese Art widmen wir Herrn HERMANN HACKER, Bad Staffelstein, der sich durch seine Forschungsarbeiten an der paläarktischen Noctuidenfauna sowie der afrikanischen Lepidoptera-Fauna große Verdienste erworben hat.

Aus der Nähe von Ghanzi, Botswana liegt uns ein ♀ vor, das sich stark von allen anderen vorliegenden ♀♀ habituell wie auch morphologisch unterscheidet, sodaß es nachfolgend als neue Art beschrieben wird:

Neoclanis murzini spec. nov. (Abb. 1912, 1913)

HT ♀ (Abb. 1912, 1913; Spannweite: 6,83 cm), GP 6001 ♀ (Abb. 314, 314 a, 1577-1591): /Botswana, 10 km S Ghanzi, 1080 m, 21.810369S, 21.609318E, 21-23.XII.2012, S. MURZIN leg.//ex col. SERGEI MURZIN in EMEM, 5.III.2013, Entomol. Museum Eitschberger, Marktleuthen/. EMEM. (56 voll entwickelte Eier aus dem Abdomen präpariert.)

Das ♂ ist unbekannt.

Beschreibung mit Differentialdiagnose des HT-♀ (Abb. 1144, 1145): Es ist das bisher kleinste ♀ aus dem uns vorliegenden Material; die Vorderflügel sind gedrungener und nicht so lang gestreckt wie bei allen hier behandelten Arten; die Sprengelung ist auf den Vorderflügeln sehr dicht; die Binden sind, bis auf eine Andeutung der Postdiscalen, nicht zu erkennen; die Hinterflügeloberseite ist gleichmäßig besprenkelt, jedoch nicht so dicht wie auf den Vorderflügeln; die weinrote Farbe des Wurzelflecks ist auf diesen beschränkt und ergießt sich nicht als Schimmer in den Flügel wie bei *N. schreieri spec. nov.*

Die Unterseiten von Vorder- und Hinterflügel sind durch eine wesentlich geringere Besprenkelung heller als deren Oberseiten; die Submarginale, wie auch die Postdiscale sind vom Außenrand bis M2 andeutungsweise zu sehen; der Wurzelfleck des Hinterflügels ist auch hier als dunkler Schatten zu sehen.

♀-Genital (GP 6001 ♀: Abb. 314, 314 a, 1577-1591): Die distale Kante der Lamella antevaginalis von *N. murzini spec. nov.* ist breit und gerade, nicht kurz und rundlich gebogen wie bei *N. schreieri spec. nov.* (Abb. 311); der Bursakörper ist gut gegliedert: in die kleine Bursablase und den langen, dünnen Bursahals (Abb. 314 a), wodurch sich diese Art gut von den Arten der Abb. 311 a, 315 a und 316 a unterscheiden läßt.

Verbreitung: *Neoclanis murzini spec. nov.* ist bisher nur vom LT bekannt. Biologische Daten liegen so gut wie keine vor.

Derivatio nominis: Die neue Art widmen wir Herrn SERGEY MURZIN, Moskau, dem das EMEM wertvolles Schwärmermaterial aus Afrika und aus China verdankt.

Zwei aus der ZSM entliehene ♂♂ aus „Deutsch Südwestafrika“, dem heutigen Namibia, sind sehr hell, mit schmalen, langgestreckten Vorderflügeln - auch diese Tiere unterscheiden sich darüberhinaus von den übrigen Arten der Gattung genitalmorphologisch, sodaß diese wie folgt neu beschrieben werden:

Neoclanis tsumeb spec. nov. (Abb. 1830-1835, 1942, 1943)

Literatur/Synonymie

? *Neoclanis basalis*, HÄNDEL (1998:379).

HT ♂ (Abb. 1830-1832, 1942; Spannweite: 6,65 cm), GP 5985 ♂ (Abb. 9, 54, 99, 144, 187, 229, 279, 544-573, 1706-1708), / Tsumeb, D. S. W. Afr. [Deutsch Südwestafrika]/Sammlung GEHLEN/. ZSM.

PT ♂ (Abb. 1833-1835, 1943, Spannweite: 6,82 cm), GP 5994 ♂ (Abb. 10, 55, 100, 145, 188, 229, 280, 574-609, 1709-1711), / Tsumeb, S. W. Afr. [Deutsch Südwestafrika]/Sammlung GEHLEN/. ZSM.

Das ♀ ist unbekannt.

Beschreibung mit Differentialdiagnose des HT-♂ (Abb. 1094-1096): Die sehr helle, blasser Farbe mag wohl dem Alter von jetzt gut 100 Jahren, nachdem die Falter gefangen wurden, geschuldet sein - andererseits haben die weinroten Basalflecken der Hinterflügel nichts an Farbkraft verloren; die Ober- sowie die Hinterflügel sind kaum besprenkelt, die Submarginalbinde ist kaum zu erkennen, gleichfalls fehlt der Zellschlußfleck (Abb. 1160, 1161); die Vorderflügel sind schmal und langgestreckt (Abb. 1160, 1161), verglichen mit den restlichen Arten (Abb. 1152-1159, 1162-1179).

Die Unterseiten der Flügel entsprechen in Färbung und Zeichnung nahezu dem Aussehen der Oberseiten, die Submarginale der Vorderflügel ist jedoch unterseits deutlicher sichtbar als auf der Oberseite, der Basalfleck der Hinterflügel ist als dunkler Schattenfleck vorhanden.

♂-Genital (Abb. 9, 10, 38, 39, 64, 65, 88, 89, 113, 114, 365-420, 1016-1021): Obwohl der Valvenindex mit 1,45 beim HT-♂ und 1,5 beim PT-♂ nahezu identisch zu den Indizes von *N. schreieri spec. nov.* (Abb. 2-5) oder *N. pseudobasalis spec. nov.* (Abb. 7) ist, ist der Charakter der Valvenumrißformen, zusammen mit dem Sacculus, ein anderer: Die Valvenumrißform der neuen Art (Abb. 9, 10) ist eindeutig von den anderen Arten der Abb. 1-8 und Abb. 11, 12 verschieden – die Valvenhöhe vom Unterrand bis zur Oberkante ist geringer als bei den angesprochenen Arten und der Sacculus verläuft in Abb. 9 nur sehr schwach gebogen bis die Abknickung zum Sacculuskopf erfolgt, bei Abb. 10 erfolgt die Abknickung distal erst nach etwa Zweidrittel der gesamten Sacculuslänge, bei den anderen Arten kurz vor oder in der Hälfte der Länge des Sacculus.

Der Saccus von *N. tsumeb spec. nov.* (Abb. 54, 55) ist kürzer und flächenmäßig kleiner als bei *N. virgo* (WESTW.) **stat. rev.** (Abb. 46), *N. schreieri spec. nov.* (Abb. 47-50), *N. basalis* (WLK.) (Abb. 51) oder *N. pseudobasalis spec. nov.* (Abb. 52).

Der Aedoeagus hat nahezu die gleiche Länge wie der Bulbus aedoeagi, sodaß das Längenverhältnis mit 0,93 und 0,97 knapp unterhalb von 1,0 liegt (Abb. 98, 99) - bei *N. basalis* (WLK.) liegt der Index bei 0,99 (Abb. 96), bei *N. pseudobasalis spec. nov.* beträgt dieser 1,23 (Abb. 97), bei *N. schreieri spec. nov.* beträgt der durchschnittliche Index 1,29 (Abb. 93, 95) und bei *N. hackeri spec. nov.* liegt der Index bei 1,07 (Abb. 98).

Es ist aber nicht nur der Längenindex aus den Maßen vom Aedoeagus und dem Bulbus aedoeagi, sondern es ist auch der Aedoeagus selbst, der durch die Länge, den Durchmesser bzw. die Dicke des proximalen Aedoeagusrohres, Merkmale zur Art differenzierung liefert. Es wird auch unterschieden, ob dessen Oberkanten parallel zum Bulbus aedoeagi verlaufen oder sich auf dem Weg dorthin verjüngen; bedeutsam ist ebenso ab wann der spitz endende, distale Teil des Aedoeagus abgeknickt ist und in welchem Winkel dieser abknickt und wie lang dieser ist. Das alles sind Merkmale, die hilfreich bei der Beurteilung einer Art sind (vergl. Abb. 91-135). Diese soeben angeführten Merkmale helfen im direkten Vergleich mit den anderen hier behandelten Arten, auch *N. tsumeb spec. nov.* von diesen zu unterscheiden.

Die Stirn der Vesica ist lang, mit nur angedeutetem Wulst (Abb. 88, 89, 370), ähnlich wie bei *N. virgo* (WESTW.) **stat. rev.** (Abb. 136), bei der das obere Ende der Stirn in einem fast 90°-Winkel in die Oberseite der Vesica übergeht und nicht wulstartig gebogen und abgerundet ist.

Der Sacculuskopfhals ist beim HT (Abb. 279) glatt und beim PT (Abb. 280) mit wenigen kleinen Cornuti besetzt.

Verbreitung: Wie alle Arten zuvor nur vom LT bekannt (siehe Verbreitungskarte 1).

Derivatio nominis: Der Name bezieht sich auf den Fundort, die Umgebung von Tsumeb in Namibia.

Aus Angola liegt uns bedauerlicherweise auch nur ein ♂ zur Bearbeitung vor, das wir dank der Vermittlung durch Herrn MANFRED STRÖHLE, Weiden von Herrn M. WENINGER bekommen konnten. Da es sich durch die Zeichnungsmerkmale sowie auch genitalmorphologisch stark von den anderen Arten unterscheiden läßt, halten wir nachfolgende Neubeschreibung für unerlässlich:

Neoclanis weningeri spec. nov. (Abb. 1836, 1837, 1944)

HT ♂ (Abb. 1836, 1837, 1944; Spannweite: 7,24 cm), GP 5995 ♂ (Abb. 11, 56, 101, 146, 189, 231, 281, 610-641, 1712-1714), / Angola, Prov. Huila, Caluquembe-Huambo, Caconda, S 13°46'4", E 015°00'0", 10.11.2012, 1610 m, coll. STRÖHLE, leg. M. WENINGER//EMEM Entomologisches Museum Eitschberger, Markt-leuthen, 16.V.2018/. EMEM.

Das ♀ ist unbekannt.

Beschreibung mit Differentialdiagnose des HT-♂ (Abb. 1836, 1837, 1944): Die Grundfärbung der Flügeloberseiten ist ähnlich wie bei den Vergleichsarten ausgeprägt; der Wurzelfleck ist klein, jedoch gut kenntlich; die Punkte der Besprenkelung der Oberflügel sind sehr klein und unauffällig, größer und auffälliger jedoch auf dem Hinterflügel; die Submarginale auf dem Vorderflügel ist von M3 bis zum Außenrand gut sichtbar, reduziert sich aber nach der M3 zum Innenrand hin; der weinrote Wurzelfleck ist ähnlich zu allen Arten zuvor, mit Ausnahme von *N. schreieri* spec. nov., bei der diese Flecken größer sind und auch farblich etwas kräftiger erscheinen. Die Unterseite ist ähnlich wie die Oberseite, die Subapicale ist jedoch hier deutlicher zu sehen als auf der Oberseite; der Zellschlußfleck ist kaum sichtbar; die Besprenkelung der Vorderflügel ist nur ab dem Abschluß der Zelle bis zum Außenrand aufgelockert zu sehen, die Hinterflügel sind etwas dichter besprenkelt; der sonst vorhandene Schattenfleck, der den Wurzelfleck von der Oberseite unterseits vertritt, fehlt im Gegensatz zu allen anderen bisher besprochenen Art.

♂-Genital (Abb. 11, 56, 101, 146, 189, 231, 281, 610-641, 1712-1714): Die Größe und Form der Valve siehe Abb. 11; der Valvenindex beträgt 1,59; der Sacculus ist ab etwa der Hälfte abgknickt und stärker gebogen (Abb. 11) als bei den Arten zuvor (Abb. 1-10, 12).

Der Saccus (Abb. 56) ist der kleinste und kürzeste aller hier beschriebenen Arten (Abb. 46-55, 57-89).

Der Bulbus aedoeagi ist etwas länger als der Aedoeagus selbst (Abb. 101), sodaß sich ein Index von 1,14 ergibt und sich dieser somit von den Arten zuvor (Abb. 59-65) unterscheidet.

Die Vesica (Abb. 146) unterscheidet sich deutlich von allen vorausgegangenen und noch folgenden Arten (Abb. 136-145, 147-179): die Stirn ist sehr kurz und ohne Wulst - eine derartig kurze, wulstlose Stirn findet sich bei keiner bisher bekannten *Neoclanis*-Art.

Die Juxta (Abb. 189) ist sehr ähnlich wie bei *N. tsumeb* spec. nov. (Abb. 187, 188), allerdings verschieden von *N. basalis* (Wlk.) (Abb. 184) oder *N. schreieri* spec. nov. (Abb. 181-183).

Die beiden krallenartigen Uncusarme von *N. weningeri* spec. nov. (Abb. 231), sind relativ gerade und nicht so stark gerundet, darüberhinaus sind diese deutlich dünner als bei den restlichen Vergleichsarten (Abb. 221-230, 232-265).

Der Sacculuskopfhals ist beim HT (Abb. 281) proximal, unterhalb der Kopfplatte, mit kleinen Cornuti besetzt, wohingegen sich die Cornuti beim PT von *N. tsumeb* spec. nov. (Abb. 280) im gesamten Bereich unterhalb des Kopfplattenrands befinden und distal weiter nach unten in den Hals hinein ausbreiten.

Uncuskralen bei Arten aus Kenya (Abb. 248-259) oder aus Sambia, abgebildet in MELICHAR & ŘEZÁČ (2013: 4 a).

Verbreitung: Bisher nur vom LT bekannt. Biologische Daten liegen nicht vor (siehe Verbreitungskarte 1).

Derivatio nominis: Die neue Art widmen wir dem Entdecker, Herrn MANFRED WENINGER, Neukirchen-Peisching, Österreich.

Aus dem Krüger Nationalpark in Südafrika liegt uns ein ♂ vor, das sich phänotypisch wie auch genitalmorphologisch gut von den übrigen Arten der Gattung unterscheiden läßt, sodaß auch dieses nachfolgend als neue Art beschrieben werden soll:

Neoclanis oberprieleri spec. nov. (Abb. 1838, 1839, 1945)

Literatur/Synonymie

? *Leptoclanis basalis*, VAN DEN BERG et al. (1975: 13).

HT ♂ (Abb. 1838, 1839, 1945; Spannweite: 6,43 cm), GP 5978 ♂ (Abb. 12, 57, 147, 190, 232, 282, 642-672, 1515-1717), /South Africa, TVL, Kruger Nat. Park, Pafuri, Bobomene research camp, 22.26S 31.12E, 250 m, 03.ii.1994, R. OBERPRIELER// *Neoclanis basalis* (Walker, 1866), det. R. Oberprieler 1994, collection R. OBERPRIELER/. EMEM.

Das ♀ ist unbekannt.

Beschreibung mit Differentialdiagnose des HT-♂ (Abb. 1102, 1103, 1163): Die Vorderflügeloberseite ist locker mit kleinen Punkten besprenkelt, die Submarginalbinde ist schwach entwickelt, der Zellschlußfleck ist klein; der Außenrand geht nicht, wie bei den Arten zuvor abgerundet in den Innenrand über, sondern bildet einen stumpfen Winkel von etwa 130°-140° - ein Flügelmerkmal, das wir erst wieder bei anderen der nachfolgenden Arten sehen werden (Abb. 1842, 1856, 1858, 1860, 1862, 1866).

Die Hinterflügeloberseite ist mit größeren Punkten, vom Wurzelfleck aus bis zu einer angedeuteten Submarginalbinde, besprenkelt, von dort bis zum Saum ist die Besprenkelung dann nur noch sehr spärlich, wobei die Flecken dann auch wesentlich kleiner sind.

Die Vorderflügelunterseite ist von der Wurzel bis zum Zellschluß ohne Punkte besprenkelt, die erst danach einsetzt und locker den Rest des Flügels überzieht; die Hinterflügelunterseite ist ähnlich wie oberseits besprenkelt; ein dunkler Wurzelfleckschatten fehlt, wie auch bei *N. weningeri* spec. nov., wodurch sich diese beiden Arten auch von den restlichen bisher besprochenen Arten unterscheiden.

♂-Genital (Abb. 12, 57, 147, 190, 232, 282, 642-672, 1515-1717): Der Valvenindex beträgt 1,41 (Abb. 12), was dem Index von 1,41 bei *N. virgo* (WESTW.) stat. rev. (Abb. 1) exakt entspricht, jedoch unterscheiden sich beide Arten in der Umrißform der Valve so wie des Sacculus; bei *N. oberprieleri* spec. nov. verläuft die Oberkante der Valve abgerundet zum proximalen Sacculussende hin, ähnlich wie bei *N. basalis* (Wlk.) (Abb. 6), sodaß es keine Abbruchkante gibt wie bei den Arten zuvor (Abb. 1-5, 7-11), aber auch den Arten danach (Abb. 13-45) - jedoch ergibt sich auch hier ein Merkmal, das bedingt zu einer Differenzierung von Arten

herangezogen werden kann.

Der Saccus von *N. oberprieleri spec. nov.* (Abb. 57) ist länger als der von *N. wenigeri spec. nov.* (Abb. 56) und ist spitzer gerundet.

Der Bulbus aedoeagi ist fast 1 cm länger als der Aedoeagus selbst, sodaß sich ein Aedoeagusindex von 1,30 ergibt; der Aedoeagus ist flacher gebogen als bei *N. wenigeri spec. nov.* (Abb. 101), *N. tsumeb spec. nov.* (Abb. 99, 100), *N. hackeri spec. nov.* (Abb. 98), *N. basalis* (WLK.) (Abb. 96) oder *N. pseudobasalis spec. nov.* (Abb. 97).

Die Stirn der Vesica (Abb. 147) ist etwas länger als bei *N. wenigeri spec. nov.* (Abb. 146), ebenfalls ohne Wulst, jedoch ist dieser noch viel kürzer als bei allen Arten zuvor (Abb. 136-145) oder den noch folgenden Arten (Abb. 148-161, 175-177).

Die Juxta (Abb. 190) besitzt schlankere Seitenschenkel, deren Außenkanten leicht nach innen gebogen sind (gerade oder nach außen gerundet wie bei den Vergleichsarten) sowie leicht nach außen gewölbte Innenkanten.

Der Sacculuskopfhals ist bei *N. oberprieleri spec. nov.* (Abb. 282) glatt und frei von Cornuti.

Verbreitung: Bisher nur vom LT bekannt (siehe Verbreitungskarte 1). Biologische Daten liegen uns nicht vor.

Derivatio nominis: Die neue Art widmen wir dem Entdecker, Herrn Dr. ROLF OBERPRIELER, Canberra, Australien.

Die *Neoclanis*-Arten aus Kenia, Malawi und Tanzania

Die *Neoclanis*-Arten von drei nordöstlich gelegenen afrikanischen Staaten – Malawi, Tanzania und Kenia – aus denen uns Material vorliegt, sind größtenteils durch den Aufbau ihrer Valven charakterisiert, indem sich bei diesen der Sacculus über mehr als Dreiviertel der Valvenlänge erstreckt (Abb. 13-17). Dieses Merkmal zeichnet auch Arten aus Kenia aus (Abb. 28-40 und in MELICHAR & ŘEZÁČ, 2013:74, Abb. 3 a). Auch hier scheinen alle mehr oder weniger weit voneinander isoliert liegenden Populationen eigenständige Arten gebildet zu haben, auch wenn sich auf den ersten Blick die Falter wenig voneinander unterscheiden. Dieser Umstand hat in der Vergangenheit auch zur Synonymisierung von *N. virgo* (WESTW.) **stat. rev.** mit *N. basalis* (WLK.) durch ROTHSCCHILD & JORDAN (1903: 229) geführt, was auch so bis jetzt akzeptiert wurde. Erst durch MELICHAR & ŘEZÁČ (2013) wurde die Gattung *Neoclanis* CARCASSON, 1968 wieder etwas in den Vordergrund gerückt.

Bei genauer Betrachtung und Analyse der phänotypischen wie auch der genitalmorphologischen Merkmale, weist aber jede Population eigene Charakteristika auf, die es rechtfertigen diese auch als selbständige Arten zu betrachten, auch wenn momentan von den meisten Taxa nur Einzelexemplare vorliegen. Was die richtige Bestimmung der Arten nicht erleichtert, ist der Umstand, daß zwei (oder mehr?) Arten syntop und synchron nebeneinander vorkommen können, wie es bei *N. basalis* (WLK.) und *N. pseudobasalis spec. nov.* der Fall ist.

Neoclanis hogani spec. nov. (Abb. 1840, 1841, 1946)

Literatur/Synonymie

Neoclanis basalis, D'ABRERA (1986: 68, [Taf. 69: 3]).

HT ♂ (Abb. 1840, 1841, 1946; Spannweite. 7,26 cm), GP 5974 ♂ (Abb. 13, 58, 103, 148, 233, 283, 673-701, 1718-1720), /Tanzania, Rukwa Region, nord de Mpanda, Vikonge, 06°03.172'S; 030°56.258'E, 1334 m, 26-II-2012, (PH. DARGE)//*Neoclanis basalis* Walker//ex coll. PH. MORETTO, EMEM 26.V.2016, Entomol. Museum Eitschberger, Marktleuthen/. EMEM.

Das ♀ ist unbekannt.

Beschreibung mit Differentialdiagnose des HT-♂ (Abb. 1840, 1841, 1946): Die Grundfarbe der Flügeloberseiten ist sehr viel dunkler als die aller anderen Arten der Gattung und kommt in der Färbung der Oberflügel des ♀ von *N. schreieri spec. nov.* (Abb. 1906) nahe; ein derartig gefärbtes ♂ bezeichnet D'ABRERA (1986: 68, [Taf. 69: 3]) als eine dunkle Form („dark form“) von *N. basalis* auct. (nec WALKER). Die Tendenz, daß auf den Vorderflügeln aus den Besprenkelungspunkten kurze Striche werden, ist bei *N. hogani spec. nov.* stark ausgeprägt, sodaß punktförmige Flecken kaum zu erkennen sind – die Besprenkelung ist darüber hinaus über den ganzen Flügel hinweg – von der Wurzel bis zum Außenrand – sehr dicht, dichter als bei allen Arten, die bisher behandelt wurden sowie bei denen die noch folgen werden; in diesem soeben genannten Merkmal stimmt auch das von D'ABRERA (1986: 68, [Taf. 69: 3]) abgebildete ♂ sehr gut überein, ob dieses jedoch zu *N. hogani spec. nov.* gehört, muß noch geklärt werden; die Submarginale sowie die Postdiscale sind vom Außenrand bis zur Ader M3 noch gut sichtbar, verwischen sich danach aber fast vollständig - auch das Wurzelfeld wird durch eine dünne, dunklere Binde begrenzt; wäre ein Zellschlußfleck bei *N. hogani spec. nov.* vorhanden und nicht nur auf dem linken Vorderflügel sehr schwach entwickelt und somit kaum sichtbar (Abb. 1946), so könnte man meinen, daß das ♂ in D'ABRERA (1986: 68, [Taf. 69: 3]) dazu ein Zwillingbruder ist, der sich nur durch einen deutlichen, jedoch nicht zu großen Zellschlußfleck unterscheiden läßt – leider verrät D'ABRERA (1986: 68) nicht woher das ♂ stammt; die Hinterflügeloberseite ist mit runden, relativ großen dunklen Flecken mehr oder weniger gleichmäßig besprenkelt; der weinrote Wurzelfleck ist durchschnittlich groß und strahlt nicht farblich weiter in den Flügel aus.

Die Unterseiten der Flügel sind etwas heller als die Oberseite; die Besprenkelung und Bindenzeichnung entspricht etwa der von der Oberseite; der Wurzelfleck ist unterseits als dunkler Schattenfleck deutlich vorhanden.

♂-Genital (Abb. 13, 58, 103, 148, 233, 283, 673-701, 1718-1720): Die Valve von *N. hogani spec. nov.* (Abb. 13) ist, bezogen auf deren Länge und Höhe als relativ schmal zu bezeichnen, wird diese mit den Arten der Abb. 16 oder Abb. 17 verglichen; der Valvenindex beträgt 1,23, was ja auch durch den sehr weit in die Valve reichende Sacculus ausgedrückt wird; die Form des Sacculus selbst unterscheidet sich von allen anderen Arten dieser Arbeit dadurch, daß dieser sich nach der Abknickung wesentlich stärker verjüngt und somit auch sofort deutlich schmaler wird (Abb. 13) – dies geschieht bei den anderen Arten kontinuierlich und gleichmäßig.

Der Saccus (Abb. 58) ist relativ klein, er ist relativ kurz, breit und gleichmäßig abgerundet.

Der Bulbus aedoeagi war bei der Präparation nicht mehr auffindbar, sodaß über den Aedoeagusindex keine Aussage möglich ist; für die Aedoeagusform siehe Abb. 103.

Die Stirn der Vesica von *N. hogani spec. nov.* (Abb. 148) ist kürzer als bei *N. virgo* (WESTW.) **stat. rev.** (Abb. 136), *N. schreieri spec. nov.* (Abb. 138-140), *N. pseudobasalis spec. nov.* (Abb. 142) oder auch *N. hackeri spec. nov.* (Abb. 143) und besitzt einen kurzen, unauffälligen Wulst, dem von *N. virgo* (WESTW.) **stat. rev.** (Abb. 136) ähnelnd, der aber wesentlich wuchtiger und prominenter bei *N. schreieri spec. nov.* (Abb. 138) entwickelt ist.

Die Juxta konnte präparativ nicht einzeln dargestellt werden. Auf Abb. 682 ist jedoch erkennbar, daß sie eine hohe Basis mit breiten Schenkeln besitzt.

Der Sacculuskopfhals ist mit kleinen Cornuti auf ganzer Breite besetzt (Abb. 283).

Verbreitung: Bisher nur vom LT bekannt (siehe Verbreitungskarte 2). Biologische Daten liegen nicht vor.

Derivatio nominis: Die neue Art widmen wir dem Kurator der Lepidopterologischen Abteilung des OUMNH Herrn Dr. JAMES HOGAN, der es uns ermöglichte den HT von *N. virgo* (WESTW.) **stat. rev.** genau untersuchen zu dürfen - so wie auch im Jahr 2003, als er dem Seniorautor den HT von *Leucophlebia lineata* WESTWOOD, 1847 zum Studium zur Verfügung stellte (EITSCHBERGER, 2003).

Neoclanis giustii spec. nov. (Abb. 1842, 1843, 1947)

HT ♂ (Abb. 1842, 1843, 1947; Spannweite. 7,15 cm), GP 6013 ♂ (Abb. 14, 59, 104, 149, 191, 234, 284, 702-728, 1721-1723), / Tanzania, Katavi Region, Mtisi Village near Sitalike, 1081 m, 06°28.226'S, 031°07.135'E, 09-XII-2012, (PH. DARGE)//ex coll. PHILIPPE DARGE in EMEM, 16.X.2017, Entomolog. Museum Eitschberger, Markt-leuthen/. EMEM.

Das ♀ ist unbekannt.

Beschreibung mit Differentialdiagnose des HT-♂ (Abb. 1842, 1843, 1947): Bei *N. giustii spec. nov.* ist der Schnitt der Vorderflügel so charakteristisch, daß sich dieser von allen anderen *Neoclanis*-Arten unterscheidet: Dieser ähnelt am Außenrand *N. virgo* (WESTW.) **stat. rev.** (Abb. 1934), nur fehlt *N. giustii spec. nov.* die deutliche, spitze Ausbuchtung zwischen den Adern M1 und M2; der Außenrand geht bei *N. giustii spec. nov.* nicht so stark abgerundet in den Innenrand über, vielmehr erscheint der Innenrandwinkel abgeknickt, wie z. B. bei *N. oberprieleri spec. nov.* (Abb. 1838); die Vorderflügel sind gleichmäßig, jedoch kaum sichtbar besprenkelt, ebenso ist der Zellschlußfleck bis auf einen winzigen, schwarzen Punkt fast vollkommen reduziert; die doppelt angelegte Submarginalbinde zieht sich schwach, dennoch deutlich sichtbar vom Vorderrand bis zum Innenrand, die Postdiscalbinde ist ebenso zu charakterisieren, sie verläuft jedoch vom Außenrand nur bis zur Ader Cu1; das Wurzelfeld wird durch eine zarte Begrenzungslinie vom Discalfeld abgetrennt.

Die Oberseite der Hinterflügel ist vom weinroten Wurzelfleck bis zum Außenrandfeld relativ gleichmäßig besprenkelt.

Die Vorderflügelunterseite ist von der Wurzel bis zur Zelle frei von Sprenkelpunkten, nach der Zelle ähnlich wie auf der Oberseite besprenkelt und gezeichnet; der Wurzelfleck der Hinterflügel ist unterseits als unauffälliger, dunkler Schattenfleck vorhanden; wie bereits schon oberseits, ist auf der Unterseite der Hinterflügel eine Submarginalbinde andeutungsweise vorhanden.

♂-Genital (Abb. 14, 59, 104, 149, 191, 234, 284, 702-728, 1721-1723): Die Valve von *N. giustii spec. nov.* (Abb. 14) ist der von *N. hogani spec. nov.* (Abb. 13) sehr ähnlich, unterscheidet sich jedoch im Valvenindex von 1,17, was besagt, daß der Sacculus noch länger im Vergleich zur Valvenlänge ist als es der Fall bei *N. hogani spec. nov.* ist.

Der Sacculus erfährt nach der Abknickung eine geringere Verschmälerung als das bei *N. hogani spec. nov.* der Fall ist; der Saccus (Abb. 59) ist lang, breit und am proximalen Ende abgeplattet, wodurch sich dieses Taxon deutlich von allen anderen, mit Ausnahme von *N. raymurphyi spec. nov.* (Abb. 89), unterscheidet.

Der Aedoeagusindex beträgt 1,24, der Aedoeagus selbst ist stark und gleichmäßig, und ab der Mitte nahezu rund gebogen (Abb. 104) und unterscheidet sich so von dem der anderen Arten, die zumeist erst nach der Mitte nach distal abgebogen werden (Abb. 91-103, 105-111, 113-135).

Die Stirn der Vesica (Abb. 149) ist etwa so lange wie bei *N. hogani spec. nov.* (Abb. 148), sie ist am Scheitel jedoch sehr viel abgerundeter und besitzt zusätzlich einen sehr weit vorspringenden Wulst am Austritt des Vesicarrohrs aus dem Vesicakörper. Im Gegensatz zur Juxta von *N. oberprieleri spec. nov.* (Abb. 190) und den anderen Arten zuvor (Abb. 180-189) aber auch den Arten die noch nachfolgen (Abb. 198-205), ist die Basis bei *N. giustii spec. nov.* (Abb. 191) sehr schmal, ohne Ausbuchtung nach ventral - die Basis ist ventral nahezu gerade; die inneren Schenkelränder stoßen sehr weit unten zusammen, sodaß die Einkerbung sehr tief geht und somit die Juxtabasis zwangsläufig schmaler wird, anders als bei den übrigen Arten, wo sich die Schenkel weiter oben treffen - am weitesten oben bei *N. virgo* (WESTW.) **stat. rev.** (Abb. 180). Die schmale Basis der Juxta kann auch ein Artefakt darstellen (Abb. 191), da die Abb. 709 des uneingebetteten Genitals ein ganz anderes Bild vermittelt, wo sich die Juxtabasis als normal breit darstellt.

Der Sacculuskopfhals ist bei *N. giustii spec. nov.* (Abb. 284) vom oberen Rand bis zum Halsende deutlich mit relativ großen Cornuti besetzt, was dann auch bei den Tieren aus der Kibwezi-Region (Abb. 298-310) und aus der Mtwara Region in Tanzania (Abb. 297) der Fall ist. Durch die Größe und Dichte der Cornuti unterscheiden sich diese Arten deutlich von allen anderen.

Verbreitung: Bisher nur vom LT bekannt (siehe Verbreitungskarte 2). Biologische Daten liegen nicht vor.

Derivatio nominis: Die neue Art widmen wir dem stets hilfsbereiten Herrn ALESSANDRO GIUSTI, NHML, der uns über den Verbleib des Typus von *Smerinthus basalis* WALKER, 1866 informierte und auch in der Vergangenheit stets überaus hilfsbereit war.

Neoclanis dargei spec. nov. (Abb. 1844, 1845, 1948)

HT ♂ (Abb. 1844, 1845, 1948; Spannweite. 7,04 cm), GP 6012 ♂ (Abb. 15, 60, 105, 150, 192, 235, 285, 729-757, 1724-1726), / Tanzania, Rukwa Region, Rukwa Escarpment, 1092 m, 07°05.913'S; 031°08.4844'E, 01-II-2008, (PH. DARGE)//ex coll. PHILIPPE DARGE in EMEM, 16.X.2017, Entomolog. Museum Eitschberger, Markt-leuthen/. EMEM.

Das ♀ ist unbekannt.

Beschreibung mit Differentialdiagnose des HT-♂ (Abb. 1844, 1845, 1948): Die Färbung der Flügeloberseiten ist fast mit der von *N. hogani spec. nov.* (Abb. 104) identisch; die Besprenkelung der Flügeloberseite ist nicht so dicht wie bei *N. hogani spec. nov.*, aber fast identisch mit der auf dem Hinterflügel, wo auch der weinrote Wurzelfleck etwas größer ist als bei *N. hogani spec. nov.*; die Submarginal- und Postdiscalbinde sind bei *N. dargei spec. nov.* deutlich sichtbar und reichen vom Vorderrand bis zum Innenrand (Abb. 1844, 1948); eine Cubitusbinde, die quer durch den Discus verläuft, unterscheidet diese Art zusätzlich von *N. hogani spec. nov.*; die distale, dunkle Begrenzung des Wurzelfeldes haben beide Arten gemeinsam; der Zellschlußfleck ist größer als bei *N. hogani spec. nov.* (Abb. 1840, 1948), was noch auffällig gegenüber *N. giustii spec. nov.* (Abb. 1842, 1947) ins Auge fällt.

Bis auf den deutlich zu sehenden dunklen Wurzelschattenfleck, und mit der Besprenkelung, fast identisch mit der Oberseite; die beiden Binden der Oberflügel enden auf der Unterseite nach M3 und verlaufen nicht bis zum Innenrand.

♂-Genital (Abb. 15, 60, 105, 150, 192, 235, 285, 729-757, 1724-1726): Der Valvenindex beträgt 1,24, die Umrißform und der Aufbau der Valve siehe Abb. 15.

Der Saccus ist relativ lang, breit und proximal breit abgerundet, die Ober- und Unterkante verlaufen ziemlich parallel zueinander um distal zum Vinculum hin sich leicht konkav einzuziehen (Abb. 60), wodurch sie die Art von den benachbarten Arten unterscheidet.

Der Aedoeagusindex ist mit 1,50 sehr hoch (Abb. 105) und wird nur von dem der *N. kleineri spec. nov.* mit 1,60 übertroffen (Abb. 113). Die Vesica hat eine lange Stirn, die deutlich länger ist als bei allen Arten zuvor (Abb. 136-149) - leider ist der Ejakulatoriusschlauch auf der Höhe der Vesicafinger durch die Vesica gedrungen, sodaß weitere Details nicht beurteilt werden können (Abb. 150).

Die Juxta (Abb. 192) unterscheidet sich im Umriß deutlich von den Arten zuvor (Abb. 180-191) sowie von den nachfolgenden Arten (Abb. 193-220).

Die Gesamtlänge von der proximalen Außenkante des Tegumens bis zum distalen Gnathosende ist bei *N. dargei spec. nov.* (Abb. 235) die kürzeste aller Arten zuvor (Abb. 221-228, 231-234 sowie vielen ab Abb. 236) und kommt in diesem Merkmal sehr *N. tsumem spec. nov.* (Abb. 229, 230) nahe.

Bei *N. dargei spec. nov.* wird der Sacculuskopfrand (Abb. 285) von relativ großen, sägezahn-förmigen Cornuti umrahmt, während sehr viele kleinere Cornuti danach den Hals besetzen. Bei *N. virgo* (WESTW.) **stat. rev.** (Abb. 271) ist der Hals frei von Cornuti und der Rand sowie die Oberseite der Sacculuskopfflatte ist nur mit wenigen, schwach ausgebildeten Cornuti besetzt; bei *N. schreieri spec. nov.* (Abb. 273-275) sind die Umrandungscornuti bei drei ♂♂ ähnlich stark entwickelt wie bei *N. dargei spec. nov.*, der Hals aller vier ♂♂ ist nur mit sehr kleinen Cornuti spärlich besetzt, ähnlich sieht es bei *N. basalis* (WLK.) (Abb. 276) aus, wobei die Randcornuti jedoch stärker reduziert sind und so dem vierten ♂ von *N. schreieri spec. nov.* (Abb. 275) nahe kommen.

Verbreitung: Bisher nur vom LT bekannt (siehe Verbreitungskarte 2). Biologische Daten liegen nicht vor.

Derivatio nominis: Die neue Art widmen wir Herrn PHILIPPE DARGE, F-CLENAY, der sich große Verdienste in der Erforschung der afrikanischen Lepidopterenfauna erworben hat.

Aus der Mpanga Game Reservation - in der Iringa Region von Tansania - liegen zwei ♂♂ vor, die sich sowohl phänotypisch als auch genitalmorphologisch unterscheiden, sodaß wir uns gezwungen sehen, diese beiden ♂♂ ebenfalls neuen Arten zuzuordnen und diese neu zu beschreiben:

Neoclanis oatesorum spec. nov. (Abb. 1848, 1849, 1950)

HT ♂ (Abb. 1848, 1849, 1950; Spannweite: 8,05 cm), GP 5998 ♂ (Abb. 17, 62, 107, 152, 194, 237, 287, 788-808, 1730-1732): / Tansanie: Iringa Region, Mpanga Game Reserve, Usalimwani, 08°55.195'S., 037°20.709'E, 11-II-2005, (PH. DARGE)//ex coll. PHILIPPE DARGE in EMEM, 16.X.2017, Entomolog. Museum Eitschberger, Marktleuthen/. EMEM.

Das ♀ ist unbekannt.

Beschreibung mit Differentialdiagnose des HT-♂ (Abb. 1848, 1849, 1950): Die Grundfärbung der Flügeloberseite von *N. oatesorum spec. nov.* ist etwas dunkler als bei der nachfolgend zu beschreibenden *N. iringaensis spec. nov.* (Abb. 1846, 1847, 1949); diese dunklere Flügeloberseite von *N. oatesorum spec. nov.* stimmt jedoch mit der von *N. dargei spec. nov.* überein – nur *N. hogani spec. nov.* ist noch etwas dunkler gefärbt als *N. oatesorum spec. nov.* und *N. iringaensis spec. nov.*; die Dichte der Besprenkelung und die Größe der Besprenkelungsflecken ist bei beiden neuen Arten in etwa gleich; auf der Hinterflügeloberseite sind die Flecken der Besprenkelung von *N. oatesorum spec. nov.* deutlich kleiner, verglichen mit *N. iringaensis spec. nov.*; dem Vorderflügel von *N. oatesorum spec. nov.* fehlt der Zellschlußfleck, der jedoch bei *N. iringaensis spec. nov.* gut sichtbar ist; die Submarginalbinde ist bei *N. oatesorum spec. nov.* und *N. iringaensis spec. nov.* nur schwach angedeutet wohingegen die Postdiscalbinde bei *N. oatesorum spec. nov.* von der Costa bis zu Cu1 dick und kräftig in Erscheinung tritt, und diese bei *N. iringaensis spec. nov.* kaum sichtbar ist; eine dunkle, schmale, abgerundete Binde/Linie begrenzt und setzt das Wurzelfeld vom Rest des Flügels bei *N. oatesorum spec. nov.* ab – bei *N. iringaensis spec. nov.* ist diese Begrenzungsbinde mehr gerade und leicht gezackt, ein Merkmal das auch bei den zuvor beschriebenen Arten zu Vergleichszwecken zur Spezifizierung herangezogen werden kann; die schräg verlaufende Cubitusbinde ist bei *N. oatesorum spec. nov.* deutlicher sichtbar als bei *N. iringaensis spec. nov.*, allerdings schwächer ausgeprägt als bei *N. dargei spec. nov.*

Die Färbung der Flügelunterseiten stimmt bei *N. oatesorum spec. nov.* und *N. iringaensis spec. nov.* überein; bei *N. iringaensis spec. nov.* ist auf der Vorderflügelunterseite nur die Submarginalbinde andeutungsweise vorhanden, wohingegen diese bei *N. oatesorum spec. nov.* gut zwischen der Costa und der Ader M1 entwickelt ist, ebenso ist es die Postdiscalbinde die sich von der Costa bis zu Cu1 hinzieht; die Besprenkelung mit kleinen, dunklen Flecken ist auf dem Vorderflügel vom Außenrand bis zur Zelle bei *N. oatesorum spec. nov.* dichter als bei *N. iringaensis spec. nov.*, bei der die Besprenkelung aufgelockerter ist – ähnlich verhält es sich mit der Hinterflügelunterseite, nur dieses Mal in umgekehrter Folge – dichter bei *N. iringaensis spec. nov.* und aufgelockerter bei *N. oatesorum spec. nov.*; der Wurzelfleck der Hinterflügel ist unterseits nur bei *N. oatesorum spec. nov.* als dunkler Schattenfleck zu sehen, nicht aber bei *N. iringaensis spec. nov.*

♂-Genital (Abb. 17, 62, 107, 152, 194, 237, 287, 788-808, 1730-1732): Die Valve von *N. oatesorum spec. nov.* (Abb. 17) ist gedrungener und wirkt rundlicher als die langgestrecktere, flacher wirkende Valve von *N. iringaensis spec. nov.* (Abb. 16) - dennoch haben beide den selben Valvenindex von 1,21; der obere Valvenrand von *N. oatesorum spec. nov.* verläuft proximal sehr viel näher und flacher zum Sacculus aus als das bei *N. iringaensis spec. nov.* der Fall ist; der Saccusumriß von *N. oatesorum spec. nov.* (Abb. 62) ist ähnlich wie der von *N. iringaensis spec. nov.* (Abb. 61), jedoch etwas schmaler in der Längsachse; da der Bulbus aedoeagi bei *N. oatesorum spec. nov.* (Abb. 107) fehlt, kann der Aedoeagusindex nicht mit dem von *N. iringaensis spec. nov.* (Abb. 106) verglichen werden, der bei dieser Art 1,20 beträgt; der Aedoeagus hat jedoch bei *N. oatesorum spec. nov.* (Abb. 107) vom proximalen Ende (dem Austritt des häutigen Bulbus aedoeagi) und der Abknickung ein deutlich längeres Rohr als *N. iringaensis spec. nov.* (Abb. 106) - bei der ersten Art bleibt das Aedoeagusrohr von der Abknickung bis zum proximalen Ende nahezu konstant im Durchmesser, wohingegen sich das Rohr nach proximal verjüngt.

Die Vesicastirn ist bei *N. oatesorum spec. nov.* (Abb. 152) geringfügig länger als bei *N. dargei spec. nov.* (Abb. 150), wohingegen die Stirn bei *N. iringaensis spec. nov.* (Abb. 151) deutlich kürzer ist; der Nasenwulst ist bei *N. iringaensis spec. nov.* schwächer entwickelt als bei *N. oatesorum spec. nov.*; die Juxtaflügel entfernen sich bei *N. oatesorum spec. nov.* (Abb. 194) in einem größeren Winkel voneinander als bei allen Arten zuvor (Abb. 180-192), der Winkel wird jedoch noch deutlich von *N. iringaensis spec. nov.* (Abb. 193) übertroffen; der Abstand zwischen der mittlerern Uncus- und der Gnathosebene sind bei *N. oatesorum spec. nov.* (Abb. 237) weiter voneinander entfernt als das bei *N. iringaensis spec. nov.* (Abb. 236) der Fall ist - auf dieses Unterscheidungsmerkmal wurde bisher noch nicht hingewiesen, das aber stets aufgrund der zahlreichen Abbildungen zur Art differenzierung zusätzlich herangezogen werden kann sowie weitere morphologische Merkmale, die bisher unberücksichtigt blieben.

An dieser Stelle muß auch betont werden, daß die Valvengröße nicht unbedingt mit der Größe der Falter zusammenhängt wie man durch den Vergleich der Spannweiten mit der Größe der Valven (Abb. 1-45) leicht feststellen kann. So sind die Valven von *N. giustii spec. nov.* (Abb. 14 - Spannweite: 7,15 cm) oder *N. dargei spec. nov.* (Abb. 15 - Spannweite: 7,04 cm) doch deutlich größer und besitzen einen wesentlich längeren Sacculus als die Arten mit den Valvenabbildungen von 1-12 oder von 18-45, die teilweise eine größere Spannweite aufweisen, wie beispielsweise *N. pseudobasalis spec. nov.* (Abb. 7 - Spannweite: 8 cm).

Verbreitung: Bisher nur vom LT bekannt (siehe Verbreitungskarte 2). Biologische Daten liegen nicht vor.

Derivatio nominis: Die Art widmen wir den drei Brüdern OATES: FRANK OATES (siehe Textabbildung) unternahm von März 1873 bis zu seinem Tod, verursacht durch Fieber am 5.II.1875, eine Expedition durch das Matabeleland und zu den Victoria Fällen. Während dieser Zeit erfolgten durch FRANK auch zoologische, botanische und anthropologische Aufsammlungen, wozu auch die Entdeckung der *Choerocampa virgo* WESTWOOD, 1881 zu zählen ist. Das erste Jahr wurde FRANK von dessen Bruder WILLIAM E. OATES begleitet, nach dem er nach England zurück kehrte. Von C. G. OATES (1881) wurden die Briefe und Tagebucheinträge aus dem Nachlaß von FRANK OATES in einem Buch veröffentlicht. Im Appendix wurden in sechs weiteren Kapiteln die Aufsammlungen und wissenschaftlichen Erkenntnisse von FRANK OATES von Spezialisten ausgewertet, wobei es sich um die Themenbereiche Ethnologie, Ornithologie, Herpetologie, Entomologie, Botanik und Eingeborenen-sprache („List of Makalaka words and phrases“) handelt.



Faksimile (verkleinert) der Frontispiz einer Zeichnung von FRANK OATES [FRANCIS HOLL pinx.] aus OATES, C. G. (Ed.) (1881).

Neoclanis iringaensis spec. nov. (Abb. 1 1846, 1847, 1949)

HT ♂ (Abb. 1846, 1847, 1949; Spannweite: 8 cm), GP 5987 ♂ (Abb. 16, 61, 106, 151, 193, 236, 286, 758-787, 1727-1729): Tanzania, Iringa Region, Mpanga Game Reserve, Usalimbwani, 1225 m, 08°55.195'S, 34°07.105'E, 15.I.2010, PHILIPPE DARGE leg., EMEM, 16.X.2017. EMEM.

Das ♀ ist unbekannt.

Beschreibung mit Differentialdiagnose des HT-♂ (Abb. 1846, 1847, 1949): Detaillierte Beschreibung mit Differentialdiagnose wurde bereits bei *N. oatesorum* spec. nov. abgehandelt.

♂-Genital (Abb. 16, 61, 106, 151, 193, 236, 286, 758-787, 1727-1729): Detaillierte Beschreibung mit Differentialdiagnose wurde bereits bei *N. oatesorum* spec. nov. abgehandelt.

Verbreitung: Bisher nur vom LT bekannt (siehe Verbreitungskarte 2). Biologische Daten liegen nicht vor.

Derivatio nominis: Der Name leitet sich von der geographischen Region Iringa in Tansania ab, wo die Art vorkommt.

Neoclanis morogoroensis spec. nov. (Abb. 1852-1855, 1951, 1952)

Literatur/Synonymie

? *Neoclanis basalis*, DARGE (2012: 28, Abb. 022 - ♀).

HT ♂ (Abb. 1852, 1853, 1951; Spannweite. 7,17 cm), GP 5973 ♂ (Abb. 18, 63, 108, 153, 195, 238, 288, 809-836, 1733-1735): /7 Tanzania, Morogoro: 1 km E Mikumi, savanna, 5.III.2003, 550 m, leg. M. FIBIGER, H. HACKER, K. LARSEN, H.-P. SCHREIER// ex coll. Herm. Hacker, Staffelstein, in EMEM, 9.IV.2015, Entomol. Museum Eitschberger, Marktleuthen/. EMEM.

PT ♂ (Abb. 1854, 1855, 1952; Spannweite. 6,86 cm), GP 5976 ♂ (Abb. 19, 64, 109, 154, 196, 239, 289, 837-864, 1736, 1737): /7 Tanzania, Morogoro: 1 km E Mikumi, savanna, 5.III.2003, 550 m, leg. M. FIBIGER, H. HACKER, K. LARSEN, H.-P. SCHREIER// ex coll. Herm. Hacker, Staffelstein, in EMEM, 9.IV.2015, Entomol. Museum Eitschberger, Marktleuthen/. EMEM.

Das ♀ ist unbekannt.

Beschreibung mit Differentialdiagnose des HT-♂ (Abb. 1852, 1853, 1951): Die Grundfärbung der Vorder- und Hinterflügel ist hellbeige, etwa so wie bei den zuvor beschriebenen Arten sowie den nachfolgenden - dunkler sind nur die Arten *N. hogani* spec. nov., *N. dargei* spec. nov. und *N. oatesorum* spec. nov.; die Besprenkelung der Vorderflügel ist sehr fein und sehr unauffällig, wohingegen diese stärker und deutlicher auf den Hinterflügeln in Erscheinung tritt – weniger stark mit kleinen Punkten besprenkelt beim HT, mit größeren Punkten beim PT; der Zellschlußfleck ist beim HT sehr klein und kaum erkennbar, deutlicher beim PT; die Submarginalbinde ist zwischen der Costa und M3 schwach angedeutet, deutlicher ist die gleichmäßig leicht rundlich verlaufende Postdiscalbinde zwischen der Costa und Cu1 zu sehen – die Postdiscalbinde ist nicht gezackt wie bei allen Arten zuvor, bei denen diese vorhanden ist; die hellen Flügelunterseiten sind bei HT und PT mit kleinen, dunklen Punkten locker besprenkelt, wobei die Besprenkelung hier deutlicher ins Auge fällt als auf der Oberseite; bei beiden ♂♂ ist die Submarginalbinde zwischen der Costa und der Ader M3 angedeutet, wie auch die Postdiscale nur beim HT; der schattenartige Wurzelfleck fehlt auf den Hinterflügelunterseiten.

Die Vorderflügel von *N. morogoroensis* spec. nov. sind schmaler und wirken somit langgestreckter gegenüber den breiteren Vorderflügeln von *N. iringaensis* spec. nov. oder *N. oatesorum* spec. nov.

♂-Genital (Abb. 18, 19, 63, 64, 108, 109, 153, 154, 195, 196, 238, 239, 288, 289, 809-864, 1733-1737): Der Valvenindex liegt beim HT (Abb. 18) bei 1,37 und beim PT (Abb. 19) bei 1,41 was besagt, daß der Sacculus im Verhältnis zur Gesamtlänge der Valve deutlich kürzer ist, im Vergleich zu den vorausgegangenen Arten: *N. hogani* spec. nov., *N. giustii* spec. nov., *N. dargei* spec. nov., *N. iringaensis* spec. nov. und *N. oatesorum* spec. nov. (Abb. 13-17); die Oberkante der Valve verläuft beim HT und PT gerade und geht anschließend distal in eine gleichmäßige Rundung über, um dann in Höhe des distal liegenden Sacculuskopfes, eine Einbuchtung zu erfahren, die bei allen zuvor erwähnten Arten fehlt, mit Ausnahme – bei diesen etwas abgeschwächt – von *N. schreieri* spec. nov. (Abb. 2-5) und *N. pseudobasalis* spec. nov. (Abb. 7); die Außenränder des Saccus verlaufen leicht schräg, um dann in einer Rundung zu enden (Abb. 63, 64); der Aedoeagus des HT ♂ (Abb. 108) ist nicht so stark abgeknickt wie beim PT ♂ (Abb. 109), leider fehlt der Bulbus aedoeagi beim HT ♂, sodaß der Aedoeagusindex nicht festgestellt werden kann, der beim PT ♂ 1,47 beträgt; die Stirn der Vesica ist beim HT (Abb. 153) kürzer als beim PT (Abb. 154), ebenso ist die gesamte Vesica des HT kleiner als beim PT - gemeinsam ist der Nasenwulst bei beiden ♂♂ nur schwach ausgeprägt; die Juxta des HT ♂ (Abb. 195) konnte präparativ nicht befriedigend dargestellt werden, anders beim PT ♂ (Abb. 196), bei dem die Juxtaschenkel enger beieinander stehen als bei *N. iringaensis* spec. nov. oder *N. oatesorum* spec. nov. (Abb. 193, 194); Tegumen, Uncus und Gnathos siehe die Abb. 238 und 239 im Vergleich zu den restlichen Arten (Abb. 221-237, 240-265); beim HT von *N. morogoroensis* spec. nov. (Abb. 238) sind die Uncuskralen sehr kurz und vergleichbar mit *N. oberprieleri* spec. nov. (Abb. 232), mit minimal längeren Krallen; die Sacculuskopfplatte (Abb. 288, 289) ist proximal jeweils mit drei oder vier Cornutzähnen besetzt, die danach distalwärts flacher und stumpfer werden, der Sacculushals ist bei beiden Tieren glatt und ohne Cornutibesatz.

Verbreitung: Bisher nur vom LT bekannt (siehe Verbreitungskarte 2). Biologische Daten liegen nicht vor.

Derivatio nominis: Der Name leitet sich vom Morogorogebirge in Tansania ab, wo die Art lebt.

Neoclanis usambaraensis spec. nov. (Abb. 1854, 1855, 1953)

HT ♂ (Abb. 1854, 1855, 1953; Spannweite: 7,24 cm), GP 5986 ♂ (Abb. 20, 65, 110, 155, 197, 240, 290, 865-893, 1738-1740): / Tanzania: Tanga region, W. Usambara Mts., Irente view Point, 1376 m, 04°47.87'S, 038°16.235'E, 26-XI-2008, (PH. DARGE)// ex coll. PHILIPPE DARGE in EMEM, 16.X.2017, Entomolog. Museum Eitschberger, Marktleuthen/. EMEM.

Das ♀ ist unbekannt.

Beschreibung mit Differentialdiagnose des HT-♂ (Abb. 1854, 1855, 1953: Die Grundfarbe ist nicht so blass wie bei *N. morogoroensis* spec. nov., sie ist lebhafter mit einem Stich in eine rötliche Sandfarbe; die Vorderflügel sind ebenfalls schmal und langgestreckt, der Zellschlußfleck ist gut sichtbar, die Submarginalbinde ist kaum sichtbar im Gegensatz zu der Postdiscalbinde, die von der Costa bis zur Ader M3 reicht; die dunkleren M3- und Cu2-Adern (Cubitusband) heben sich etwas vom helleren Untergrund ab (Abb. 1953), ein Merkmal, das zuvor bei *N. giustii* spec. nov. (Abb. 1947), *N. dargei* spec. nov. (Abb. 1948 - hier nur die Cubituslinie) oder *N. oatesorum* spec. nov. (Abb. 1950) beobachtet wurde – auch bei einigen noch folgenden Arten; die Besprenkelung - mit sehr feinen, dunklen Punkten - ist auf dem Vorderflügel gleichmäßig verteilt, auf den Hinterflügeln sind die Flecken größer und dünn über diesen verteilt; die Unterseiten der Flügel von *N. usambaraensis* spec. nov. sind wie bei den Arten zuvor gefärbt; die Besprenkelung ist mit gleich großen Flecken auf Vorder- wie Hinterflügel gleichmäßig locker auf diesen verteilt; der dunkle Schattenfleck fehlt bis auf einen schmalen dunkleren Strich im Bereich der Cubitusadern; die Postdiscalbinde ist auf der Vorderflügelunterseite schwächer als auf der Oberseite entwickelt.

♂-Genital (Abb. 20, 65, 110, 155, 197, 240, 290, 865-893, 1738-1740): Die Valve (Abb. 20) ist etwas größer als die von *N. morogoroensis* spec. nov. (Abb. 18, 19), der Valvenindex beträgt 1,40; die Oberkante verläuft leicht nach oben gerundet, um auf der Höhe des Sacculuskopfes steiler abzufallen und in eine spitze Rundung und die anschließende Einbuchtung überzugehen; der Saccus (Abb. 65) ist kürzer und stärker abgerundet als bei *N. morogoroensis* spec. nov. (Abb. 63, 64); der Aedoeagusindex beträgt 1,25; die Vesicastirn (Abb. 155) ist kürzer als bei *N. iringaensis* spec. nov. (Abb. 151), *N. oatesorum* spec. nov. (Abb. 152) oder *N. morogoroensis* spec. nov. (Abb. 153, 154); auf der Vesicastirn sitzt eine kleiner, beulenartiger Wulst, der Nasenwulst ist schmal und wenig auffällig; die Innenkanten der beiden Juxta-Schenkel (Abb. 197) münden in einem spitzen Winkel in die Juxtabasis, bei vielen Arten zuvor bilden diese einen runden Sattelboden – ein Teil der Juxtabasis fehlt augenscheinlich, was aber nicht mehr überprüfbar ist. Tegumen, Uncus und Gnathos sind durch Abb. 240 leicht mit den anderen dort abgebildeten Arten zu vergleichen; der Sacculuskopf (Abb. 290) ist gegenüber den voraus besprochenen Arten (Abb. 271-289) relativ schmal, vergleichbar mit dem der folgenden neu zu beschreibenden *N. nicolae* spec. nov. (Abb. 291); der mit Cornuti besetzte Kopfplattenrand ist mit flachen, stumpfen Cornuti besetzt (Abb. 290), der Hals ist glatt und frei von Cornuti.

Verbreitung: Bisher nur vom LT bekannt (siehe Verbreitungskarte 2). Biologische Daten liegen nicht vor.

Derivatio nominis: Der Name leitet sich vom Usambaragebirge in Tansania ab, in dem die Art entdeckt wurde.

Neoclanis nicolae spec. nov. (Abb. 1856, 1856, 1908, 1909, 1954)

HT ♂ (Abb. 1856, 1856, 1954; Spannweite: 7,5 cm), GP 5991 ♂ (Abb. 21, 66, 111, 156, 198, 241, 291, 894-922, 1741-1743): Tanzania, Iringa Region, Udzungwa National Park, Camp 2, 400 m, 15.-31.I.2005, PHILIPPE DARGE leg., EMEM, 18.X.2017. EMEM.

AT ♀ (Abb. 1908, 1909; Spannweite: 9,22 cm), GP 5988 ♀ (Abb. 312, 312 a, 1562-1569): Tanzania, Iringa region, Udzungwa National Park, Camp 2, 400 m, 15.-31.I.2005, PHILIPPE DARGE leg., EMEM, 16.X.2017. EMEM.

Beschreibung mit Differentialdiagnose des HT-♂ (Abb. 1856, 1856, 1954): Die Grundfarbe wie bei den Arten zuvor, jedoch mit einem rötlich-sandfarbenen Ton; die Besprenkelung ist schwach und besteht aus sehr kleinen punkartigen Flecken, die auf dem Hinterflügel etwas größer sind und dort mehr auffallen, die Cubituslinie ist noch sichtbar, doch hat deren Deutlichkeit durch Abreibungen der Flügelbeschuppung stark gelitten; die Wurzelfeldlinie ist gut sichtbar und ähnlich einer schräg liegenden, eckigen Klammer vergleichbar; eine doppelt angelegte Submarginallinie zieht sich vom Vorderrand über den ganzen Flügel bis zum Innenrand, eine kräftige Postdiscalbinde reicht vom Vorderrand bis zur Ader Cu1; der Zellschlußfleck ist deutlich sichtbar.

Die Färbung auf den Flügelunterseiten ist hell und entspricht jener der bisher behandelten Arten; die Submarginal- wie auch die Postdiscalbinde sind beide gut entwickelt und sichtbar; nur auf dem linken Hinterflügel ist eine Postdiscalbinde durch reihig angeordnete strichförmige Punkte angedeutet, an gleicher Stelle auch auf der Oberseite; der dunkle Schattenfleck des Wurzelfeldes ist auf der Unterseite gut sichtbar.

♂-Genital (Abb. 21, 66, 111, 156, 198, 241, 291, 894-922, 1741-1743): Die Oberkante der Valve ist bei *N. nicolae* spec. nov. (Abb. 21) in Gänze leicht abgerundet und geht in eine gleichmäßige, eiförmige Rundung über, wobei kaum eine Einbuchtung vor dem Übergang in den Sacculus erkennbar ist, wodurch sich die Umrißform deutlich von denen der *N. morogoroensis* spec. nov. (Abb. 19) und *N. usambaraensis* spec. nov. (Abb. 20) unterscheidet; der Valvenindex beträgt 1,38; der proximale Teil des Sacculus bei *N. nicolae* spec. nov. (Abb. 21) ist breiter als bei *N. morogoroensis* spec. nov. (Abb. 19) und *N. usambaraensis* spec. nov. (Abb. 20) - hierdurch ist auch der Übergang von der Valvenoberkante bis zur Oberkante des Sacculus bei *N. nicolae* spec. nov. kürzer als bei beiden Vergleichsarten; der Sacculuskopf ist bei *N. nicolae* spec. nov. (Abb. 291) kleiner, wobei der Hals sich in der Breite nicht von der Breite der Kopfplatte unterscheidet - der Hals ist glatt, frei von Cornuti, ebenso der Plattenrand, an dem keine Zähnung erkennbar ist, verglichen mit *N. usambaraensis* spec. nov. (Abb. 290); der Saccus von *N. nicolae* spec. nov. (Abb. 66) ist breiter als bei *N. morogoroensis* spec. nov. (Abb. 63, 64) und *N. usambaraensis* spec. nov. (Abb. 65); der Aedoeagusindex beträgt 1,28 (Abb. 111); die Vesicastirn von *N. nicolae* spec. nov. (Abb. 156) ist höher und ohne Stirnhöcker im Vergleich zu *N. usambaraensis* spec. nov. (Abb. 155), sie besitzt am Ende keinen Höcker, sondern einen breiten Nasenwulst über dem Austritt des Vesicaschlauches (Ductus ejaculatorius); die Juxtabasis ist bei *N. nicolae* spec. nov. (Abb. 198), bevor deren Flügel auseinander streben, höher als bei *N. morogoroensis* spec. nov. (Abb. 196) und *N.*

usambaraensis spec. nov. (Abb. 197) – sie besitzt auch die massiveren Juxtaflügel als die beiden Vergleichsarten, wobei auch deren Innenseiten leicht S-förmig geschwungen und nicht gerade sind.

Beschreibung mit Differentialdiagnose des AT-♀ (Abb. 1908, 1909): Das ♀ hat eine Spannweite von 9,22 cm und ist damit größer als *N. schreieri* spec. nov. (8,56 cm) und *N. murzini* spec. nov. (6,83 cm); es ist dunkler in der Farbtonung als das ♂; die Besprenkelung der Flügel ist lockerer im Vergleich zu *N. schreieri* spec. nov. oder *N. murzini* spec. nov.; die Subapicalbinde erstreckt sich vom Vorderrand bis zum Innenrand, was jedoch durch den abgeflogenen Zustand des Tieres nur erahnt werden kann – Ähnliches kann von der Postdiscalbinde behauptet werden; die Schwarzbeschuppung der Adern M3 und Sc1 ist schwach zu sehen, die Cubitusbinde ist nicht angedeutet, die bei *N. schreieri* spec. nov. deutlich sichtbar ist; ein Zellschlußfleck ist deutlich sichtbar.

Die Hinterflügel sind dichter mit größeren Sprenkelpunkten besetzt als auf den Vorderflügeln; eine Postdiscalbinde ist angedeutet - besser ausgeprägt auf der linken Seite; das Weinrot des Wurzelflecks fließt nicht weiter über die Grenzen des Flecks hinaus in den Flügel ein, wie bei *N. schreieri* spec. nov.

Die Flügelunterseiten sind heller als oberseits, die Zeichnungselemente entsprechen weitgehend denen auf der Oberseite; der Zellschlußfleck ist als Schattenfleck nur schwach sichtbar (Abb. 1909), sehr viel deutlicher, dazu mit Rosé-Schimmer, bei *N. schreieri* spec. nov. (Abb. 1907).

♀-Genital (Abb. 312, 312 a, 1562-1569): Anhand der Form, insbesondere der Ausdehnung und Form des distalen Randes der Subgenitalplatte (Abb. 312) von *N. schreieri* spec. nov. (Abb. 311), *N. murzini* spec. nov. (Abb. 314) sowie den folgenden Arten zu unterscheiden (Abb. 313- 323 a); das über der Subgenitalplatte liegende Colliculum (Abb. 312) ist deutlich breiter als bei *N. schreieri* spec. nov. (Abb. 311) und *N. murzini* spec. nov. (Abb. 314) und ist auch durch die breite ovale Form leicht von den noch folgenden Arten zu unterscheiden (Abb. 313- 323 a). Die Bursa copulatrix war leider aufgelöst und nicht mehr vorhanden, sodaß Vergleiche mit den anderen Arten unmöglich sind.

Verbreitung: Bisher nur vom LT bekannt (siehe Verbreitungskarte 2). Biologische Daten liegen nicht vor.

Derivatio nominis: Die Art ist der Tierärztin Dr. NICOLA HOFMANN, München gewidmet.

Neoclanis haendeli spec. nov. (Abb. 1858, 1959, 1955)

HT ♂ (Abb. 1858, 1959, 1955; Spannweite: 7,42 cm), GP 5997 ♂ (Abb. 22, 67, 112, 157, 199, 242, 292, 923-984, 1744-1746): / Tanzania: Morogoro Region, West Nguru Mts., Makuyu, 566 m, 06°17.002'S., 034°07.105'E., 15-I-2010, (PH. DARGE)//ex coll. PHILIPPE DARGE in EMEM, 16.X.2017, Entomolog. Museum Eitschberger, Marktleuthen/. EMEM.

Das ♀ ist unbekannt.

Beschreibung mit Differentialdiagnose des HT-♂ (Abb. 1858, 1959, 1955): Die Grundfarbe der Flügel ist mehr graubraun und nicht so sandfarben braun wie *N. nicolae* spec. nov.; der Zellschlußfleck ist klein und zart angedeutet und nicht so groß und deutlich ausgeprägt wie bei *N. nicolae* spec. nov.; die Besprenkelung der Vorderflügel ist dicht, mit kleinen Punkten besetzt, aufgelockerter und größer auf den Hinterflügeln; eine doppelt angelegte Submarginallinie zieht sich vom Vorderrand über den ganzen Flügel bis zum Innenrand, so wie bei *N. nicolae* spec. nov.; eine feine Postdiscale verläuft vom Vorderrand bis zur Ader Cu1; die Ader M3 hebt sich durch eine stärkere, dunkle Beschuppung ab, die Cubituslinie ist nur andeutungsweise zu erahnen; das Wurzelfeld der Vorderflügel wird durch eine heftklammerartige, dunklere, feine Binde, deren zwei Außenkanten schräg nach außen abgewinkelt sind, abgegrenzt. Der weinrote Wurzelfleck der Hinterflügel ist vom Rest des Flügels gut abgesetzt, dennoch strahlt ein weinroter Schimmer in den Discus hinein. Die Unterseiten der Flügel sind heller, als oberseits; die Vorderflügel sind von der Wurzel und dem Discus nahezu frei von Sprenkelflecken, die danach, bis zum Außenrand, gleichmäßig über den Flügel verstreut sind; nur die Submarginallinie ist deutlich sichtbar – jedoch nur als isolierte Linie, da diese nicht doppelt angelegt ist wie auf der Oberseite (doppelt bei *N. nicolae* spec. nov.), wohingegen von der Postdiscalbinde nichts mehr zu sehen ist, dafür ist durch eine Verdichtung der Sprenkelflecken die Andeutung einer Submarginallinie auf den Hinterflügeln deutlich zu erkennen; der Schattenfleck ist deutlich dunkel und dadurch auch auffälliger als bei *N. nicolae* spec. nov.

♂-Genital (Abb. 22, 67, 112, 157, 199, 242, 292, 923-984, 1744-1746): Die Valve von *N. haendeli* spec. nov. (Abb. 22) ist ähnlich geformt wie die von *N. nicolae* spec. nov. (Abb. 21), sie ist jedoch am distalen Außenrand spitzer und nicht so abgerundet; der Sacculus ist jedoch in der proximalen Hälfte nicht so verbreitert wie bei *N. nicolae* spec. nov. und ist so auch gleichmäßiger zum Sacculuskopf hin abgerundet - ähnlich wie bei *N. usambaraensis* spec. nov. (Abb. 20), und nicht abgeknickt wie bei *N. nicolae* spec. nov.; der Valvenindex beträgt 1,36-1,42 bei *N. nicolae* spec. nov.; der Sacculuskopf (Abb. 292) ist breiter als bei *N. usambaraensis* spec. nov. (Abb. 290) und *N. nicolae* spec. nov. (Abb. 291), der Hals ist glatt und frei von Cornuti, der Außenrand der Kopfplatte ist nur schwach gezähnt; die Ober- und Unterkante des Sacculus verlaufen nahezu parallel zueinander, um dann in einer gleichmäßigen Abrundung zu enden (Abb. 67), sie ist auch etwas schmaler als bei *N. nicolae* spec. nov. (Abb. 66); der Aedoeagus (Abb. 112) ist nahezu mittig nach unten abgeknickt und hat ein dickeres Rohr als *N. usambaraensis* spec. nov. (Abb. 110) und *N. nicolae* spec. nov. (Abb. 111) - der Bulbus aedoeagi war leider schon abgerissen und konnte nicht aufgefunden werden, sodaß der Aedoeagusindex unbekannt bleibt; die Vesica (Abb. 157) besitzt, durch die hohe Austrittsbasis aus dem distalen Aedoeagusende, einen deutlich größeren Körper als *N. nicolae* spec. nov. (Abb. 156) oder *N. kleineri* spec. nov. (Abb. 158); die Vesicastirn ist kürzer als bei *N. haendeli* spec. nov., dieser ansonsten sehr ähnlich; die beiden Vesicafinger sind bei *N. haendeli* spec. nov. ähnlich wie bei *N. kleineri* spec. nov., verglichen mit den plumperen bei *N. nicolae* spec. nov.; die Juxta (Abb. 199) ist schlanker als von *N. nicolae* spec. nov. (Abb. 198), mit mittig in der Basis liegenden Ausbeulungen; die Uncuskrallen (Abb. 242) sind nur leicht nach unten gebogen und somit gerader im Verlauf als die von *N. nicolae* spec. nov. (Abb. 241), zudem ist der Abstand zwischen der Tegumen-Uncusebene zu der des Gnathos bei *N. haendeli* spec. nov. sehr

kurz, kürzer als bei allen übrigen Vergleichsarten.

Verbreitung: Bisher nur vom LT bekannt. (siehe Verbreitungskarte 2) Biologische Daten liegen nicht vor.

Derivatio nominis: Die Art widmen wir Herrn Joachim Händel vom Zoologischen Museum Halle/Saale, der die jährliche Auswertung der SpHINGIDAE-Wanderfalterdaten für die Deutsche Forschungszentrale für Schmetterlingswanderungen vornimmt und der sich auch mit Publikationen über die afrikanische SpHINGIDAE-Fauna Verdienste erworben hat.

Neoclanis kleineri spec. nov. (Abb. 1860, 1861, 1956)

Literatur/Synonymie

? *Neoclanis basalis*, DARGE (2012: 28, Abb. 021 - ♂).

? *Neoclanis basalis*, MELICHAR & ŘEZÁČ (2013: 73 -, 1 female + 1 male, Tanzania, Pwani Region, Mikesse Hills, 06°14.457'S, 038°53.775'E).

HT ♂ (Abb. 1860, 1861, 1955; Spannweite: 7,05 cm), GP 6011 ♂ (Abb. 23, 68, 113, 158, 243, 293, 949-978, 1747-1749): /Tanzanie: Morogoro Region, West Nguru Mts., 2000 m, 4-VIII-2015, (local collector), ex coll. PH. DARGE//ex coll. PHILIPPE DARGE in EMEM, 16.X.2017, Entomolog. Museum Eitschberger, Markt-leuthen/. EMEM.

Das ♀ ist unbekannt.

Beschreibung mit Differentialdiagnose des HT-♂ (Abb. 1860, 1861, 1956): Die Grundfarbe der Flügel ist dunkler als bei *N. haendeli* spec. nov.; die Besprenkelung der Vorderflügel ist fein und dicht, auf den Hinterflügeln großfleckig und vom Wurzelfeld bis zum Saum relativ gleichmäßig verteilt, wobei sich eine Submarginalbinde abzeichnet; der weinrote Wurzelfleck ist gut abgegrenzt, wobei sich von dort aus kein weinroter Schimmer in den Flügel ergießt; der Zellschlußfleck der Vorderflügel ist klein, aber doch gut sichtbar; die Submarginalbinde ist vom Außenrand bis zur Ader M3 doppelt angelegt und löst sich danach auf, die Postdiscalbinde erstreckt sich vom Außenrand gerade bis M3 und löst sich danach sehr schnell auf; die Ader M3 hebt sich durch eine dunklere Beschuppung vom helleren Flügeluntergrund deutlich ab, ebenso wie die Cubituslinie.

Die Grundfärbung der Flügelunterseiten ist, wie bei allen anderen Arten, gleichfalls etwas heller als oberseits; die Besprenkelung der Vorderflügel ist jedoch zwischen der Costa, dem oberen Teil der Zelle bis zur Submarginalbinde mit sehr viel größeren Sprenkelpunkten dicht besetzt, mit nur noch winzigen Punkten danach bis zum Außenrand - das Wurzelfeld und das Discalfeld unterhalb der Zelle sind nahezu frei von einer Fleckenbesprenkelung; die doppelt angelegte Submarginalbinde ist vom Außenrand bis zur Ader Cu1 gut sichtbar, während die Postdiscalbinde in der dichten Besprenkelung fast untergeht, jedoch immer noch als solche existiert; die Hinterflügelunterseite ist von der Wurzel bis auf die Höhe des Zellendes nahezu ohne Sprenkelpunkte, danach bis zum Außenrand jedoch mit gleichgroßen Sprenkelpunkten, wie auf der Vorderflügelunterseite, dicht besetzt; die doppelte Submarginalbinde ist gut sichtbar, gleichfalls der dunkle Schattenfleck an der Wurzel.

♂-Genital (Abb. 23, 68, 113, 158, 243, 293, 949-978, 1747-1749): Die Valve von *N. kleineri* spec. nov. (Abb. 23) ist an der Oberkante rundlich nach außen gewölbt, um dann gleichmäßig in die distale Scheitelrundung überzugehen - bei *N. haendeli* spec. nov. (Abb. 22) ist die Oberkante nahezu gerade und die Scheitelrundung ist stark zugespitzt; der Valvenindex beträgt 1,37 und ist damit fast identisch mit *N. haendeli* spec. nov.; auch der Sacculus ähnelt dem von *N. haendeli* spec. nov., er ist jedoch proximal früher leicht abgeknickt, gleichfalls ähneln sich Sacculushals und -kopf (Abb. 292, 293) und unterscheiden sich so deutlich von *N. usambarensis* spec. nov. (Abb. 290) und *N. nicolae* spec. nov. (Abb. 291); der Saccus (Abb. 68) ist ähnlich lang wie bei *N. weningeri* spec. nov. (Abb. 56) und damit insgesamt relativ klein, verglichen mit den restlichen Arten; der Bulbus aedoeagi von *N. kleineri* spec. nov. (Abb. 113) ist am längsten von allen hier behandelten Arten, was sich auch durch den Aedoeagusindex von 1,6 ausdrückt, dem nur der Index von *N. dargei* spec. nov. (Abb. 105) mit 1,5 nahe kommt; die Vesica von *N. kleineri* spec. nov. (Abb. 158) besitzt einen schlankeren Blasenkörper, verglichen beispielsweise mit *N. haendeli* spec. nov. (Abb. 157) oder *N. nicolae* spec. nov. (Abb. 156); die Juxta (Abb. 200) besitzt eine breite Basis, wenn man sich den unteren, abgetrennten Teil schräg nach oben verschoben vorstellt (siehe Pfeile in der Abb. 200), die Schenkel sind etwas schmaler/schlanker als die von *N. haendeli* spec. nov. (Abb. 199) und *N. nicolae* spec. nov. (Abb. 198); die Uncuskrallen (Abb. 243) sind bei *N. kleineri* spec. nov. wieder stärker abgerundet nach unten gebogen, verglichen mit *N. haendeli* spec. nov. (Abb. 242).

Verbreitung: Bisher nur vom LT bekannt. Biologische Daten liegen nicht vor.

Derivatio nominis: Die Art widmen wir posthum dem uns unvergeßlichen Freund HANS-JÜRGEN KLEINER, Idar-Oberstein, um diesen zu würdigen und um an diesen zu erinnern (siehe EITSCHBERGER, 2010).

Neoclanis kingstoni spec. nov. (Abb. 1862-1867, 1914, 1915, 1957-1959)

Literatur/Synonymie

? *Neoclanis basalis*, MELICHAR & ŘEZÁČ (2013: 73 -, 1 female, Tanzania, Lindi Region, Mtokokuyana, 10°23.739'S).

HT ♂ (Abb. 1864, 1865, 1958; Spannweite: 7,53 cm), GP 6003 ♂ (Abb. 25, 70, 115, 159, 202, 245, 296, 997-1021, 1753-1755): /Tanzanie: Lindi Region, Mtokokuyana, 362 m, 10°23.038'S., 038°53.775'E., 22-XII-2009, (PH. DARGE)//ex coll. PHILIPPE DARGE in EMEM, 16.X.2017, Entomolog. Museum Eitschberger, Markt-leuthen/. EMEM.

PT ♂ (Abb. 1862, 1863, 1957; Spannweite: 6,87 cm), GP 6002 ♂ (Abb. 24, 69, 114, 201, 244, 294, 979-996, 1750-1752): /Tanzanie:

Lindi Region, Mtokokuyana, 362 m, 10°23.038'S., 038°53.775'E., 22-XII-2009, (PH. DARGE)//ex coll. PHILIPPE DARGE in EMEM, 16.X.2017, Entomolog. Museum Eitschberger, Markt-leuthen/. EMEM.

PT ♂ (Abb. 1866, 1867, 1959; Spannweite: 6,92 cm), GP 6004 ♂ (Abb. 26, 71, 116, 160, 203, 246, 296, 1022-1046, 1756-1758): /Tanzanie: Lindi Region, Mtokokuyana, 362 m, 10°23.038'S., 038°53.775'E., 22-XII-2009, (PH. DARGE)//ex coll. PHILIPPE DARGE in EMEM, 16.X.2017, Entomolog. Museum Eitschberger, Markt-leuthen/. EMEM.

AT ♀ (Abb. 1914, 1915; Spannweite: 8,03 cm), GP 6005 ♀ (Abb. 315, 315 a, 1592-1597): /Tanzanie: Lindi Region, Mtokokuyana, 362 m, 10°23.038'S., 038°53.775'E., 22-XII-2009, (PH. DARGE)//ex coll. PHILIPPE DARGE in EMEM, 16.X.2017, Entomolog. Museum Eitschberger, Markt-leuthen/. EMEM.

Auch wenn sich alle 3 ♂♂ in morphologischen Details der Genitalien unterscheiden, vor allem im Aedoeagusindex, der Vesica sowie der Valvenform, fassen wir hier vorerst alle Tiere, gemeinsam mit dem ♀, zu einer Art zusammen: *N. kingstoni spec. nov.*

Beschreibung mit Differentialdiagnose des HT-♂ (Abb. 1864, 1865, 1958): Das HT ♂, und auch die beiden PT ♂♂, sind sehr hell; das HT ♂ weist auf dem Vorderflügel, wie *N. nicolae spec. nov.*, *N. haendeli spec. nov.* oder *N. kleineri spec. nov.*, kaum Zeichnungselemente auf: an Linien ist nur die Begrenzungslinie des Wurzelfeldes leicht angedeutet und der Zellschlußfleck ist klein aber gut sichtbar; eine Besprenkelung mit winzigen Punkten ist kaum sichtbar, ebenso bei den beiden PT ♂♂, bei denen allerdings die Submarginal- und Postdiscalbinde andeutungsweise sichtbar sind – bei einem PT ♂ (GP 6004) ist der Zellschlußfleck kräftiger als bei den anderen beiden ♂♂; auch die Hinterflügel sind sehr locker mit kleinen dunklen Punkten besprenkelt; die weinrote Färbung der Wurzelflecken strahlt nicht in das Mittelfeld aus.

Die Flügelunterseiten sind, wie die Oberseiten, nahezu von gleicher Färbung sehr hell; die Besprenkelung ist unterseits ebenfalls sehr aufgelockert, jedoch deutlicher sichtbar – nur beim PT ♂ von GP 6004 (Abb. 1866, 1867, 1959) ist die Submarginalbinde, vom Außenrand bis zur Ader M3, andeutungsweise sichtbar; der Schattenfleck ist beim HT und einem PT dunkel, bei dem zweiten PT ♂ (GP 6004) rötlich angehaucht.

Leider wurden die drei ♂♂ schon vor Erhalt in den Pergamenttüten in ungespanntem Zustand teilweise durch Schadinsekten angefressen, vor allem das PT ♂ von GP 6002 (Abb. 1862, 1863, 1957).

♂-Genital (Abb. 24-26, 69-71, 114-116, 159, 160, 201-203, 244-266, 294-296, 979-1046, 1750-1758): Die Valvenform des HT ♂ (Abb. 25) durch eine rundlich ausgebuchtete Oberkante vom geraden Verlauf der Oberkante bei den beiden PT ♂♂ (Abb. 24, 26), auch ist beim HT die stark gerundete Vorderkante der Valve, in Höhe des Sacculuskopfes, stark eingerückt, ähnlich wie bei einem PT ♂ (Abb. 26); Form und Variabilität des Sacculus siehe und vergleiche die Abb. 24-26; die Valvenindices liegen bei allen drei ♂♂ mit den Werten von 1,4, 1,41 und 1,44 sehr nahe beieinander; die Zähnung des Kopfplattenrands (Abb. 294-296) schwankt von schwach (Abb. 295) bis stark (Abb. 294) – der Hals ist bei zwei ♂♂ glatt (Abb. 294, 295), aber auch mit winzigen Cornuti besetzt in Abb. 296; die oberen und unteren Kanten des Saccus der drei ♂♂ (Abb. 69-71) sind durch Wellungen nicht so bilateral symmetrisch wie bei den meisten Arten zuvor; aufgrund des fehlenden Bulbus aedoeagi kann der Aedoeagusindex von GP 6002 nicht ermittelt werden, der beim HT ♂ einen Wert von 1,45 (Abb. 115) und beim PT von 1,14 hat – ein solcher Unterschied wird hier normalerweise als Artmerkmal gewertet und bedarf somit einer weiteren Klärung des Sachverhalts in der Zukunft; die drei Aedoeagusrohre der ♂♂ sind im Abknickungswinkel und der Länge alle nicht identisch, wie alleine aus dem Vergleich der Bilder zu ersehen ist (Abb. 114-116; siehe auch Tabelle der Meßwerte); die Basislänge der beiden Vesican (Abb. 159, 160) ist auch sehr unterschiedlich - eine Vesica konnte durch Beschädigung präparativ nicht dargestellt werden (Abb. 988) - ebenso sind die Längen der Stirn unterschiedlich, zusammen mit dem Stirnhöcker, der groß und rundlich beim HT (Abb. 159) ist – ähnlich wie bei *N. usambaraensis spec. nov.* (Abb. 155), klein und spitz beim PT ♂ (Abb. 160) – ähnlich wie bei *N. morogoroensis spec. nov.* (Abb. 154); die beiden Vesicafinger der beiden ♂♂ (Abb. 159, 160) sind dünn und lang, ähnlich wie bei *N. kleineri spec. nov.* (Abb. 158) und nicht so breit an der Austrittsbasis aus der Vesica, wie bei anderen Arten zuvor (z. B. Abb. 152, 155, 156); die Juxta der 3 ♂♂ (Abb. 201-203) sind ebenfalls einer gewissen Variabilität unterworfen, wobei beim HT ♂ (Abb. 202) die Einkerbung den größten Winkel aufweist; die Dicke der Uncuskrallen stimmt von GP 6002 (Abb. 244) mit dem HT ♂ (Abb. 245) gut überein, wohingegen diese von GP 6004 (Abb. 246) im Krümmungsbereich deutlich dicker sind, ähnlich wie bei *N. melichari spec. nov.* (Abb. 247).

Beschreibung mit Differentialdiagnose des AT-♀ (Abb. 1914, 1915): Die Grundfärbung der Flügel von *N. kingstoni spec. nov.* ist dunkler als bei *N. nicolae spec. nov.*, die Besprenkelung auf den Vorderflügeln besteht aus sehr kleinen, dunklen Punkten, die gleichmäßig von der Wurzel bis zum Außenrand verteilt sind, die Besprenkelung der Hinterflügel ist lockerer, mit größeren Punktflecken; die im oberen Teil doppelt angelegte Submarginallinie zieht sich bis zum Innenrand, ebenso die Postdiscalbinde; ein Zellschlußfleck ist nur auf der linken Vorderflügelseite als kleiner Punkt angedeutet, wohingegen kein Punkt auf der rechten Seite festgestellt werden kann; eine Cubituslinie ist schwach ausgebildet, die Wurzelfeldlinie ist gut sichtbar; auf dem Hinterflügel ist die Postdiscalbinde sehr deutlich sichtbar und verläuft, im Gegensatz zu den Vergleichsarten, zunächst vom Vorderrand gerade, um sich dann bei der Cul-Ader nahezu rechtwinkelig, zum Körper hin zu bewegen; der weinrote Wurzelfleck der Hinterflügel ist kräftig entwickelt, von dem aus sich dessen Farbe leicht in den Flügel hinein ergießt, ähnlich wie bei *N. nicolae spec. nov.* jedoch schwächer als bei *N. schreieri spec. nov.*

Die Unterseite ist auf dem Vorder- und Hinterflügel heller als oberseits; die Linien sind unterseits ebenso gut sichtbar, die Besprenkelung ähnlich wie auf der Oberseite, kaum jedoch im Wurzel- und Mittelfeld; der Schattenfleck an der Wurzel der Hinterflügel ist angedeutet.

♀-Genital (Abb. 315, 315 a, 1592-1597): Das Colliculum (Abb. 315), über der Subgenitalplatte, ist breit und trichterförmig, ohne abgerundete Seitenkanten, wie bei *N. nicolae spec. nov.* (Abb. 312); die Form und die Umrißformen der Subgenitalplatte von *N.*

kingstoni spec. nov. unterscheiden sich gut von allen bereits behandelten Arten und den noch folgenden Arten (Abb. 311-323); die Bursa copulatrix (Abb. 315 a) scheint ähnlich geformt gewesen zu sein, wie die von *N. schreieri spec. nov.* (Abb. 311 a) und kann so auch leicht von *N. kleineri spec. nov.* (Abb. 314 a) unterschieden werden.

Verbreitung: Bisher nur vom LT bekannt (siehe Verbreitungskarte 2). Biologische Daten liegen nicht vor.

Derivatio nominis: Die Art widmen wir Herrn ANTHONY KINGSTON (Albrighton, Shropshire, England), der sich intensiv mit der afrikanischen Sphingidae-Fauna beschäftigt und so zur Entdeckung neuer Arten beigetragen hat: *Viriclanis kingstoni* AARVIK, 1999, *Macropoliana kingstoni* EITSCHBERGER, 2016, *Covelliana kingstoni* EITSCHBERGER, 2016.

Neoclanis melichari spec. nov. (Abb. 1868, 1869, 1916, 1917, 1960, 1957-1959)

HT ♂ (Abb. 1868, 1869, 1960; Spannweite: 7,74 cm), GP 6006 ♂ (Abb. 27, 72, 117, 161, 247, 297, 1047-1073, 1759-1761): /Tanzanie: Mtwara Region, Lumesule, 10°54.792'S., 038°02.393'E., 364 m, 23-XII-2009, (PH. DARGE)//ex coll. PHILIPPE DARGE in EMEM, 16.X.2017, Entomolog. Museum Eitschberger, Marktleuthen/. EMEM.

AT ♀ (Abb. 1916, 1917; Spannweite: 8,63 cm), GP 6007 ♀ (Abb. 316, 316 a, 1598-1609): /Tanzanie: Mtwara Region, Lumesule, 10°54.792'S., 038°02.393'E., 364 m, 23-XII-2009, (PH. DARGE)//ex coll. PHILIPPE DARGE in EMEM, 16.X.2017, Entomolog. Museum Eitschberger, Marktleuthen/. EMEM.

Beschreibung mit Differentialdiagnose des HT-♂ (Abb. 1868, 1869, 1960): Die Vorder- und Hinterflügel von *N. melichari spec. nov.* sind noch etwas heller gefärbt als die von *N. kingstoni spec. nov.*; eine Besprenkelung der Vorderflügel ist kaum zu erkennen, ebenso sind die Submarginalbinde sowie die Postdiscalbinde nur schemenhaft sichtbar, wohingegen der Zellschlußfleck deutlich hervortritt; die Besprenkelung der Hinterflügel ist im Discalfeld, nach dem Wurzelfleck, mit kleineren Punkten als bei *N. kingstoni spec. nov.* locker besprenkelt und kaum im Außenrandbereich; der weinrote Wurzelfleck ist bei *N. melichari spec. nov.* nahezu oval, wohingegen dieser bei *N. kingstoni spec. nov.* am proximalen Ende abgeplattet ist, mit unklarer Abgrenzung zum angrenzenden, hellen Teil des Flügels. Die Unterseite der Flügel ist sehr hell; eine sehr aufgelockerte Besprenkelung ist auf allen vier Flügeln im Discalfeldbereich schwach erkennbar, ebenso wie die eine Submarginale vom Außenrand bis zur Ader M3 auf der Vorderflügelunterseite; ein Schattenfleck an der Wurzel der Hinterflügel fehlt, der bei *N. kingstoni spec. nov.* hingegen deutlich entwickelt ist.

♂-Genital (Abb. 27, 72, 117, 161, 247, 297, 1047-1073, 1759-1761): Die Größe und die Form der Valve von *N. melichari spec. nov.* (Abb. 27) kann mit der des HT von *N. kingstoni spec. nov.* (Abb. 25) verglichen werden, ebenfalls ist der Valvenindex bei beiden Arten so gut wie identisch; der Saccus von *N. melichari spec. nov.* (Abb. 72) ist wieder mehr bilateral symmetrisch und flächenmäßig viel kleiner als bei *N. kingstoni spec. nov.* (Abb. 69-71); das distale Teilstück des Aedoeagusrohres (Abb. 117) ist relativ gesehen am schwächsten von allen vorhergehenden Vergleichsarten (Abb. 91-116) abgelenkt, was auch der Krümmungsindex von 1,26 verdeutlicht (siehe Tabelle 1); der Aedoeagusindex liegt mit 1,22 innerhalb der Werte von *N. kingstoni spec. nov.* mit den Werten zwischen 1,14 und 1,45 - die Werte beider Arten liegen aber deutlich unter dem Wert von 1,6 bei *N. kleineri spec. nov.*; die Stirn der Vesica von *N. melichari spec. nov.* (Abb. 161) ist ähnlich lang wie bei den vier Vergleichsarten (Abb. 156-160) zuvor, sie besitzt jedoch einen unauffälligen, kurzen Nasenwulst, dagegen einen auffällig großen Stirnhöcker, so wie bei keiner der zuvor genannten und der noch folgenden Arten (Abb. 136-160, 162-179); die beiden Vesicafinger sind kürzer als bei *N. haendeli spec. nov.* (Abb. 157), *N. kleinri spec. nov.* (Abb. 158) oder *N. kingstoni spec. nov.* (Abb. 160), jedoch schlanker und länger als bei *N. nicolae spec. nov.* (Abb. 156); die Juxta ist nur in Abb. 1054 erkennbar, dort aber auch nur durch Verfaltungen unvollständig, sodaß ein Vergleich zu anderen Arten nicht erfolgen kann; die beiden Uncuskralen (Abb. 247) sind ähnlich dick wie beim HT von *N. kingstoni spec. nov.* (Abb. 246) und somit auch dicker als bei den Vergleichsarten zuvor (Abb. 221-243); stark mit Cornuti ist nur die Kopfplatte besetzt, wobei der Hals glatt und ohne Cornuti ist (Abb. 297, 1056).

Beschreibung mit Differentialdiagnose des AT-♀ (Abb. 1916, 1917): Das AT ♀ (Abb. 1914) ist in der Färbung der Flügeloberseiten minimal heller als *N. nicolae spec. nov.* (Abb. 1908), auch stimmt die Bindenzeichnung der Vorderflügel, zusammen mit dem Zellschlußfleck und der Besprenkelung durch winzige, dunkle Flecken, nahezu überein; die Hinterflügel von *N. melichari spec. nov.* sind allerdings deutlich heller und sehr viel spärlicher mit kleineren braunen Punkten besprenkelt als bei *N. nicolae spec. nov.*, auch ist der weinrote Wurzelfleck blasser; auf dem Hinterflügel fehlt jegliche Aggregation von Sprenkelflecken, die eine Binde auf dem Hinterflügel andeuten würde, so wie bei *N. nicolae spec. nov.*

Die Unterseite ist auf allen vier Flügeln gleichmäßig hell; die Submarginal- wie die Postdiscalbinde sowie der Zellschlußfleck sind auf den Vorderflügeln deutungsweise zu sehen, vor allem die Postdiscalbinde ist vom Vorderrand bis zum Innenrand deutlich zu verfolgen; alle vier Flügel sind mit kleinen Punkten sehr aufgelockert besprenkelt; der Wurzelschattenfleck fehlt auf dem Hinterflügel, der sowohl bei *N. nicolae spec. nov.* oder *N. melichari spec. nov.* vorhanden ist.

♀-Genital (Abb. 313, 313 a, 1598-1609): Die Subgenitalplatte von *N. melichari spec. nov.* (Abb. 316) fällt durch die breiten, distalen Abrundungsbögen auf, so wie diese auch in ähnlicher Form bei *N. schreieri spec. nov.* (Abb. 311) zu sehen sind; die Bursa copulatrix ist sackförmig - durch die Auflösung der dünnhäutigen Bursa copulatrix-Wand, kann nicht explizit gesagt werden, ob es sich bei der durch einen schmalen Hals vom Hauptkörper abgesetzten runden Blase, um einen Appendix bursae handelt, so wie wir diesen beispielsweise auch bei der Gattung *Pieris* SCHRANK, 1801 oder bei anderen Pieridae-Gattungen, finden.

Verbreitung: Bisher nur vom LT bekannt (siehe Verbreitungskarte 2). Biologische Daten liegen nicht vor.

Derivatio nominis: Diese Art widmen wir Herrn TOMAS MELICHAR, Příbram, der sich intensiv mit der Erforschung der Sphingidae-Fauna Orbis terrarum verdient gemacht hat. Zu diesem Zweck hat er das „Sphingidae Museum, Czech Republic (SMCR)“ gegründet. Zur Publikation der in diesem Institut gewonnenen Ergebnisse rief er die Zeitschrift „The European Entomologist“ ins Leben.

Neoclanis michali spec. nov.

HT ♀ (Abb. 1910, 1911; Spannweite: 9,42 cm), GP 5989 ♀ (Abb. 313, 313 a, 1570-1576): Tanganjika, Lindi, Ndanda, 300 m, 8.XII.1958, leg. CH. LINDEMANN, Staatsslg. München. ZSM.

Das ♂ ist unbekannt.

Beschreibung mit Differentialdiagnose des HT-♀ (Abb. 1910, 1911): In den Zeichnungselementen (Linien, Besprenkelung, Zellschlußfleck) sehr ähnlich dem AT von *N. schreieri* spec. nov. (Abb. 1906, 1907), jedoch geht die Grundfarbe der Flügel mehr ins Rötlich-Braun; die Submarginalbinde reicht bei *N. michali* spec. nov. vom Vorderrand bis zur Ader Cu1 und läuft nicht, wie bei *N. schreieri* spec. nov. bis zum Innenrand - die Submarginale ist hier auch breiter als bei *N. michali* spec. nov., die jedoch einen deutlicheren Zellschlußfleck aufweist, der bei *N. schreieri* spec. nov. weitgehend in der über der Ader M3 liegenden dunklen Beschuppung, zwischen der Submarginalen und dem Zellschluß, untergeht; auch bei *N. michali* spec. nov. ist die Cubituslinie gut entwickelt vorhanden; die Besprenkelung ist auf allen Flügeln dicht und besteht auf den Vorderflügeln mehr aus strichförmigen Punkten, die auf den Hinterflügeln mehr rund geformt und größer sind; der weinrote Wurzelfleck ist bei *N. michali* spec. nov. dunkler und größer als bei *N. schreieri* spec. nov., allerdings strahlt hier ein weinroter Schimmer nicht so weit und intensiv in den Flügel hinein, wie bei dieser. Die Unterseite ist heller als oberseits; die Besprenkelung ist ebenfalls ähnlich wie dort, jedoch ist das Wurzel- und anschließende, rötlich schimmernde Mittelfeld bis zum Zellschluß nicht besprenkelt; die Binden wie oberseits angelegt, nur fehlt unterseits die Cubituslinie; die Besprenkelung der Hinterflügelunterseite entspricht in etwa der von der Oberseite, der Wurzel-Schattenfleck fehlt, im Gegensatz zu *N. schreieri* spec. nov., wo dieser gut sichtbar ist, dafür mit einem kräftig schwarzen Strich zwischen den Adern Ax1 und Ax2, der von der Wurzel über das ganze Cubitusfeld reicht.

♀-Genital (Abb. 313, 313 a, 1570-1576, 1932, 1933): Die Eimasse im Hinterleib des Tieres war so sehr mit der Bursa copulatrix verschmolzen (Abb. 1932, 1933), daß diese nicht freigelegt werden konnte – und um das Genital nicht ganz zu zerstören, wurde es in diesem Zustand belassen (Abb. 313 a);

Verbreitung: Bisher nur vom LT bekannt (siehe Verbreitungskarte 2). Biologische Daten liegen nicht vor. Der LT ist nicht ganz klar, da „Ndanda“ in der Lindi Region in Google Earth nicht aufgefunden werden konnte, jedoch sehr viel weiter im Süden, in der Mtwara Provinz.

Derivatio nominis: Die Art widmen wir Herrn MICHAL ŘEZÁČ, Mitarbeiter und Kurator im „Sphingidae Museum, Czech Republic“, in Příbram.

Die *Neoclanis*-Arten aus Kenia

Unterschieden sich bereits viele Arten Tansanias (Abb. 13-17) bereits markant durch einen niedrigeren Valvenindex - dem Verhältnis von Valvenlänge zur Sacculuslänge - klar von den höheren Werten (siehe Tabelle 1) der Arten aus Sambia, Botswana, Namibia, Angola oder Südafrika (Abb. 1-12), entsprechend haben die Genitalien einiger Populationen/Arten aus Kenia ebenfalls charakteristische Unterscheidungsmerkmale. Dies ist zum Einen ein niedriger Valvenindex (siehe hierzu Abb. 28-40) und zum Anderen ein niedriger Aedoeagusindex (siehe hierzu Abb. 118-130) – dem Verhältnis der Länge des Bulbus aedoeagi zur Länge des Aedoeagus – sowie die teilweise sehr dicken Uncuskrallen und dem breitem Gnathos (Abb. 248-253) bzw. den etwas dünneren Uncuskrallen und breitem Gnathos (Abb. 254-260). Ebenso können die Arten Kenias durch die Form der Vesica (Abb. 162-178), innerhalb oder außerhalb Kenias, gut voneinander unterschieden werden.

Gerade dem Aedoeagusindex messen wir hohe artspezifische Bedeutung zu, da von der Länge des Bulbus aedoeagi das Copulationsverhalten der Arten beeinflusst wird, denn von dessen Länge hängt auch die Länge des Vesicaschlauches ab, der bei der Copulation in die Vesica des ♀ ausgestülpt werden muß.

Aufgrund unserer Untersuchungen und der gewonnenen Ergebnisse kommen wir zu einem ganz anderen Ergebnis als MELICHAR & ŘEZÁČ (2013: 74/Differential diagnosis, 76/Discussion), die sich einzig auf die Ergebnisse genetischer Untersuchungen gestützt haben und dabei die phänotypischen wie auch morphologischen Unterschiede der Tiere unter dem Begriff „Variabilität“ außer Acht gelassen haben. Sie schreiben wie folgt in „Differential diagnosis und Discussion“:

Differential diagnosis

There are no diagnostic differences in the habitus that can serve to distinguish the new species from *Neoclanis basalis*. The shapes of both the uncus and the harpe are both highly individually variable in *Neoclanis basalis* (Fig. 4) and do not serve to distinguish the new species. The major difference between the two species is in the shape of the valvae, which in *Neoclanis similis* sp. nov. is far smaller and narrower than in *Neoclanis basalis*.

Discussion

The results of genetic analysis using DNA barcoding of the holotype and paratype of *Neoclanis similis* sp. nov., performed by the Canadian Centre for DNA Barcoding, University of Guelph, show that there is a minimum distance of 4.69% between these specimens and samples of *Neoclanis basalis*. These results, together with the differences in the male genitalia confirm the status of *Neoclanis similis* sp. nov. as a species.

Daß wir mit dem Wagnis, aufgrund von oft nur Einzeltieren, Arten neu zu beschreiben, nicht falsch liegen, beweisen uns auch die unterschiedlichen Phänotypen der ♀♀ und die Unterschiede in deren Genitalien (Abb. 311-322 b, 1550-1679). Gleichzeitig

wird durch übereinstimmende Merkmale belegt, daß an einem Ort auch wenigstens zwei Arten von *Neoclanis* vorkommen können. Einen weiteren Beweis erblicken wir jetzt auch durch die Populationen aus Kenia, von denen wir auch mehrere Tiere von einem Ort auswerten konnten und die beweisen, daß die einzelnen Merkmale nicht als individuelle Variabilität zu werten sind, sondern daß es sich um Artcharakteristika handelt.

Neoclanis similis MELICHAR & ŘEZÁČ, 2013

The Entomologist 5 (3): 71-76, 1 a, 1 b (HT ♂), 2 a, 2 b (PT ♀), 3 a-c (HT ♂ Genital).

TL: „Kenya E, E of Mwingi, Sosoma, 600 m“.

TD: SMCR.

Aufgrund phänotypischer und genitalmorphologischer Vergleiche können wir guten Gewissens keines der uns vorliegenden Falter, mehrerer Populationen aus Kenia, zu *N. similis* MELICHAR & ŘEZÁČ stellen, da keine gleichzeitigen Übereinstimmungen im Genital und dem Phänotyp dazu festgestellt werden können.

Das HT ♂ von *N. similis* MELICHAR & ŘEZÁČ kommt in der Färbung und den Zeichnungsmerkmalen den ♂♂ von Abb. 1886, 1888 und 1894 relativ nahe, nicht jedoch im Genital. Das PT ♀ von *N. similis* MELICHAR & ŘEZÁČ ist ähnlich wie der HT gefärbt und gezeichnet, durch seine Schmalflügeligkeit jedoch mit keiner der hier aus Kenia neu zu beschreibenden Arten identisch.

Die von MELICHAR & ŘEZÁČ (2013: 75; Abb. 4) abgebildeten Genitalien von 4 ♂♂ gehören allesamt nicht zu *N. basalis* (Wlk.) sondern repräsentieren Angehörige von noch zu beschreibenden Arten, was leicht am Valvenindex oder den unterschiedlich dicken Uncusarmen festgestellt werden kann – auch die Aedoeagi sind aufgrund ihrer Größe und Form nicht miteinander identisch.

Die Valven besitzen ein weiteres Merkmal, auf das bisher noch nicht tiefer eingegangen wurde: Es handelt sich hierbei um die Betrachtung, wie das Sacculusende mit dem Kopfteil am Valvenrand endet (= Valvenindex). Bei *N. virgo* WESTW. reicht das Ende bis knapp außerhalb des unteren Valvenrandes (Abb. 1), bei *N. schreieri* spec. nov. (Abb. 3-5) schiebt sich dagegen eine schmale, kleine, keilförmige Teilfläche der Valve unter den Sacculus, sodaß dieser proximal, vor dem Sacculuskopf, mit der Valvenunterkante verschmilzt (siehe Abb. 2 und 3). Auch dieses Merkmal ist eine Hilfe bei der Artdifferenzierung (siehe hierzu Abb. 13 und 14).

Beschreibung mit Differentialdiagnose des HT-♂: Siehe Abb. 1 in MELICHAR & ŘEZÁČ (2013: 72).

♂-Genital: Siehe Abb. 1 und Abb.3 in MELICHAR & ŘEZÁČ (2013: 74)

Beschreibung mit Differentialdiagnose des PT-♀: Siehe Abb. 2 in MELICHAR & ŘEZÁČ (2013: 72).

♀-Genital: Unbekannt.

Verbreitung: Bisher nur vom LT („Kenya E, E of Mwingi, Sosoma, 600 m“) und dem Fundort des PT ♀ („Kenya, 1,1206°S, 37,6165°E“) bekannt. Biologische Daten liegen nicht vor (siehe Verbreitungskarte 2).

Derivatio nominis: „The specific name refers to the close habitus of the new species to its congener, *Neoclanis basalis*“ (MELICHAR & ŘEZÁČ, 2013: 73).

Neoclanis ukambaniensis spec. nov. (Abb. 1884-1893, 1969-1973, 1918, 1919)

HT ♂ (Abb. 1894, 1895, 1973; Spannweite: 7,91 cm), GP 6037 ♂ (Abb. 40, 85, 130, 147, 216, 260, 310, 1388-1418, 1797-1798): [Kenya] Süd-Ukambani, 28.5.-1.6.1995, leg. Dr. POLITZAR. ZSM.

PT ♂ (Abb. 1886, 1887, 1969; Spannweite: 6,97 cm), GP 6026 ♂ (Abb. 36,81, 126, 170, 212, 257, 306, 1281-1307, 1785-1787): Kenya, Kibwezi, 700 m, 1.-15.12.2000, leg. Dr. POLITZAR, Museum WITT. ZSM.

PT ♂ (Abb. 1888, 1889, 1970; Spannweite: 6,82 cm), GP 6031 ♂ (Abb. 37, 82, 127, 171, 213, 257, 307, 1308-1333, 1788-1790): Kenya, South Ukambani, near Kibwezi, 20-27.XI.1994 Lf., leg. Dr. POLITZAR, Museum WITT. ZSM.

PT ♂ (Abb. 1890, 1891, 1971; Spannweite: 6,88 cm), GP 6032 ♂ (Abb. 38, 83, 128, 172, 214, 258, 308, 1334-1360, 1791-1793): Kenya, South Ukambani, near Kibwezi, 20-27.XI.1994 Lf., leg. Dr. POLITZAR, Museum WITT. ZSM.

PT ♂ (Abb. 1892, 1893, 1972; Spannweite: 7,91 cm), GP 6036 ♂ (Abb. 39, 84, 129, 172, 215, 259, 309, 1361-1387, 1794-1796): [Kenya] Süd-Ukambani, 28.5.-1.6.1995, leg. Dr. POLITZAR. ZSM.

AT ♀ (Abb. 1918, 1919; Spannweite: 8,90 cm), GP 6038 ♀ (Abb. 318, 318 a, 1620-1631): Kenya, South-Ukambani, 20.4.[20]00, leg.: POLITZAR. ZSM.

Beschreibung mit Differentialdiagnose des HT-♂ (Abb. 1894, 1895, 1973): Das ♂ ist etwas dunkler in der Flügelarbtönung als *N. kleineri* spec. nov. und entspricht, nach der Abbildung in MELICHAR & ŘEZÁČ (2013: 72; Abb. 1 a), dem HT von *N. similis* MELICHAR & ŘEZÁČ; die Submarginallinie reicht vom Vorderrand bis zur Ader Cu1, wobei diese von der Ader R5 bis zur Ader Cu1 doppelt angelegt ist; die Postdiscalbinde reicht vom Außenrand bis zur kräftigen Cubituslinie, sie ist auch deutlicher und kräftiger dunkel gefärbt als die Submarginalbinde; der Zellschlußfleck ist klein und wenig auffallend; die Besprenkelung der Vorderflügel ist dicht und besteht aus kleinen Punkten bzw. strichartigen Makeln; die Besprenkelungspunkte der Hinterflügel sind dicht über den Flügel verteilt, sie sind rund und größer als auf dem Vorderflügel; der weinrote Wurzelfleck der Hinterflügel ist kräftig entwickelt, ohne Farbausstrahlung in das Discalfeld.

Die Flügelunterseiten sind in den Zeichnungselementen der Oberseite sehr ähnlich und sie sind im Farbton nur unwesentlich heller; das Wurzel- und Discalfeld der Vorderflügelunterseite ist mit großen, dunklen Schattenflecken gleichfalls besprenkelt, wodurch sich *N. ukambaniensis* spec. nov. von *N. similis* MELICHAR & ŘEZÁČ unterscheidet - dieses Merkmal weisen allerdings von den PT-♂

nicht alle auf und findet sich lediglich in abgeschwächter Form beim PT-♂ von GP 6026 (Abb. 1887) und beim AT-♀ (Abb. 1919). Phänotypen und Variabilität der ♂♂-Syntypenserie siehe die Abb. 1884-1893 und Abb. 1969-1973.

♂-Genital (Abb. 40, 85, 130, 147, 216, 260, 310, 1388-1418, 1797-1798): Der Valvenindex des HT-♂ beträgt 1,21 und der Mittelwert aller 5 ♂♂ beträgt 1,25 und unterscheidet sich so kaum von der benachbarten *N. politzari spec. nov.*, deren Mittelwert ($n = 8$ ♂♂) 1,29 beträgt - die Variabilität der Valvenformen beider Arten siehe die Abb. 28-40; ein Vergleich des Valvenindex sowie der Valvenform mit *N. similis* MELICHAR & ŘEZÁČ ist aufgrund der Abb. 3 b in MELICHAR & ŘEZÁČ (2013: 74) nicht möglich - was allerdings feststeht ist, daß der Sacculus weit über die Hälfte der Valvenlänge reicht, sodaß ein ähnlicher Index wie bei den beiden Arten zuvor denkbar ist; die Umrißformen der ♂♂ von *N. ukambaniensis spec. nov.* (Abb. 82-85) und *N. politzari spec. nov.* (Abb. 73-85) sind so variabel, daß hier kein Artcharakteristikum erkennbar ist, das für eine Determination tauglich wäre - im Gegenteil, da hier auch erneut Zweifel über die Brauchbarkeit des Sacculus zur Differenzierung aufkommen.

Der Aedoeagus von *N. ukambaniensis spec. nov.* (Abb. 126-130) und *N. politzari spec. nov.* (Abb. 118-125) wirkt durch ein dickeres Aedoeagusrohr plumper und auch durchschnittlich kürzer, verglichen mit dem Aedoeagus aller vorher behandelten Arten (Abb. 91-117), ferner besitzen beide Arten einen sehr kurzen Bulbus aedoeagi, sodaß der Aedoeagusindex knapp über 1, meistens jedoch unter 1 liegt, was aussagt, daß der Bulbus aedoeagi nicht so lang wie der Aedoeagus ist - ein Wert des Aedoeagusindex unter 1 konnte bei den zuvor besprochenen Arten nur bei *N. basalis* (Wlk.) (Abb. 96) sowie *N. tsumeb spec. nov.* (Abb. 99, 100) festgestellt werden (siehe auch Tabelle 1); auch in dem Bau der Vesica ähneln sich *N. ukambaniensis spec. nov.* (Abb. 170-174) und *N. politzari spec. nov.* (Abb. 162-169), sodaß beide Arten sofort von allen bisher aus dieser Gattung bekannten Arten getrennt und unterschieden werden können: Bei diesen Arten fehlt eine direkt erkennbare Trennung zwischen der Oberkante der Vesica und der Stirn mit Nase und Wulst am Austrittsort des Ductus ejaculatorius aus der Vesica - die Oberkante der Vesica geht leicht nach unten gerundet, mehr oder weniger übergangslos in die Vesicastirn über, die dann wiederum flach in den Ductus ejaculatorius mündet, wobei bei *N. ukambaniensis spec. nov.* (Abb. 173, 174) ein kleiner Nasenwulst erkennbar ist, wie allerdings auch in zwei Fällen bei *N. politzari spec. nov.* (Abb. 165, 169); die Vesicafinger beider Arten sind relativ kurz und dick und nicht so lang und dünn wie bei vielen Arten zuvor (z. B. die Arten von Abb. 136-149, 151-161) oder den folgenden Arten (Abb. 175-179).

Zweifel über eine zuverlässige Anwendung der Juxta zur Artentrennung keimen auch hier bei beiden Arten auf, wenn wir uns deren Variabilität bei den Tieren von *N. ukambaniensis spec. nov.* (Abb. 212-216) so *N. politzari spec. nov.* (Abb. 204-211) betrachten und miteinander vergleichen.

Die Uncuskralen von *N. ukambaniensis spec. nov.* (Abb. 256-260) sind vor allem vom Übergang des Tegumens in den Uncus deutlich dünner und schlanker als bei *N. politzari spec. nov.* (Abb. 248-255), wobei jedoch ein Tier von *N. politzari spec. nov.* (Abb. 254) eine Ausnahme macht und möglicherweise zu *N. ukambaniensis spec. nov.* zu stellen ist.

Der Rand der Kopfplatte wie auch der Hals sind sowohl bei *N. ukambaniensis spec. nov.* (Abb. 306-310) als auch *N. politzari spec. nov.* (Abb. 298-305) deutlich mit Cornuti besetzt, ähnlich wie beispielsweise bei *N. giustii spec. nov.* (Abb. 284).

Beschreibung mit Differentialdiagnose des AT-♀ (Abb. 918, 1919): Der AT von *N. ukambaniensis spec. nov.* ist ähnlich dunkel wie der HT gefärbt, jedoch nicht mit graubraunem Ton, sondern mit rötlich-braunem Ton; die Vorderflügel wirken gedrungener, runder und breiter als die schlankeren Vorderflügel von *N. similis* MELICHAR & ŘEZÁČ oder von der nachfolgenden *N. politzari spec. nov.*; die feine strichfleckartige Besprenkelung ist auf dem Vorderflügel dicht von der Wurzelline ab bis zum Außenrand; die Submarginal- und die Postdiscalbinde reichen beide nur vom Vorderrand bis zur Ader M3; die Cubituslinie ist gut sichtbar, allerdings schwächer entwickelt als beim HT; der Zellschlußfleck ist sehr klein und nur auf dem linken Vorderflügel erkennbar; die Hinterflügel sind mit rundlichen Flecken locker außerhalb des weinroten Wurzelflecks bis zum Saum locker besprenkelt - bei *N. similis* MELICHAR & ŘEZÁČ sind die Sprengelflecken größer; die weinrote Farbe bleibt auf den Wurzelfleck beschränkt und fließt nicht weiter in den Flügel hinein. Die Unterseite der Flügel ist auch, wie beim HT, nur wenig heller als oberseits; die beiden Binden der Vorderflügel, reichen wie auf der Oberseite, nur vom Außenrand bis zur Ader M3; die Besprenkelung entspricht in etwa der auf der Oberseite; der Schattenfleck im Wurzelfeld der Hinterflügel ist nur unterhalb der Zelle schwach sichtbar, dafür liegt ein dunkler, kurzer, balkenartiger Fleck auf und zwischen den beiden Axilliaradern.

♀-Genital (Abb. 318, 318 a, 1620-1631): Von den 13 ♀♀, die vorlagen und allesamt auch genitalmorphologisch untersucht wurden, waren von 6 ♀♀ die Bursa copulatrix nicht auffindbar, so auch bei *N. ukambaniensis spec. nov.*, sodaß ein Vergleich mit anderen Arten nicht erfolgen kann; die Subgenitalplatte von *N. ukambaniensis spec. nov.* (Abb. 318, 318 a), wie aber auch aller anderen Arten (Abb. 311-317, 319-323 a) unterscheiden sich allesamt so deutlich in der Form und der Struktur, sodaß ein Vergleich der Bilder genügt, um die Unterschiede zu erkennen, sodaß beschreibende Worte überflüssig sind.

Verbreitung: Bisher nur vom LT und einem ♂ aus Kibwezi bekannt (siehe Verbreitungskarte 2). Biologische Daten liegen nicht vor.

Derivatio nominis: Der Name leitet sich von der Ukambani-Region in Kenia ab.

Neoclanis politzari spec. nov. (1870-1885, 1920, 1921, 1961-1968)

HT ♂ (Abb. 1870, 1871, 1961; Spannweite: 7,67 cm), GP 5996 ♂ (28, 73, 118, 162, 204, 248, 298, 1074-1103, 1762-1764), / Kenya, Kibwezi, 20-31.5.1994, leg. Dr. POLITZAR//ex coll. KARL KUCHLER, München, in EMEM, 23.XII.2009, Ent. Mus. Eitschberger, Marktleuthen./ EMEM.

PT ♂ (Abb. 1872, 1873, 1962; Spannweite: ca. 7,63 cm), GP 6019 ♂ (29, 74, 119, 163, 205, 249, 299, 1104-1128, 1765-1767), Kenya, Kibwezi, 8.-14.5.1995, leg. Dr. POLITZAR. ZSM.

PT ♂ (Abb. 1874, 1875, 1963; Spannweite: 7,86 cm), GP 6020 ♂ (30, 75, 120, 164, 206, 250, 300, 1129-1154, 1768-1770), Kenya, Kibwezi, 20-31.5.1994, leg. Dr. POLITZAR. ZSM.

PT ♂ (Abb. 1876, 1877, 1964; Spannweite: 7,63 cm), GP 6021 ♂ (31, 76, 121, 165, 207, 251, 301, 1155-1181, 1771-1773), Kenya, Kibwezi, 20-31.5.1994, leg. Dr. POLITZAR. ZSM.

PT ♂ (Abb. 1878, 1879, 1965; Spannweite: 7,98 cm), GP 6022 ♂ (32, 77, 122, 166, 208, 252, 302, 1182-1204, 1774), Kenya, Kibwezi, 20-31.5.1994, leg. Dr. POLITZAR. ZSM.

PT ♂ (Abb. 1880, 1881, 1966; Spannweite: 7,74 cm), GP 6023 ♂ (33, 78, 123, 167, 209, 253, 303, 1205-1227, 1777, 1778), Kenya, Kibwezi, 20-31.5.1994, leg. Dr. POLITZAR. ZSM.

PT ♂ (Abb. 1882, 1883, 1967; Spannweite: 7,86 cm), GP 6024 ♂ (34, 79, 124, 168, 210, 254, 304, 1228-1252, 1779-1781), Kenya, Kibwezi, 20-31.5.1994, leg. Dr. POLITZAR. ZSM.

PT ♂ (Abb. 1884, 1885, 1968; Spannweite: 7,61 cm), GP 6025 ♂ (35, 80, 125, 169, 211, 255, 305, 1253-1280, 1782-1784), Kenya, Kibwezi, 8.-14.5.1995, leg. Dr. POLITZAR. ZSM.

AT ♀ (Abb. 1920, 1921; Spannweite: 9,14 cm), GP 6027 ♀ (Abb. 317, 317 a, 1610-1619), Kenya, Kibwezi, 20-31.5.1994, leg. Dr. POLITZAR. ZSM.

Beschreibung mit Differentialdiagnose des HT-♂ (Abb. 1870, 1871, 1961): Die Grundfarbe der Flügel ist ein helles Beige, das auch alle anderen PT-♂♂ auszeichnet, ebenso wie eine kurze Postdiscalbinde, die vom Vorderrand, bis zur ebenso dunkel gefärbten M3-Ader, bis zu dieser oder knapp über diese hinaus reicht; die Submarginalbinde fehlt nahezu und ist beim HT nur als kurzer Strich zwischen dem Vorderrand und der Ader R5 angedeutet – bei zwei PT-♂♂ ist sie etwas deutlicher und länger; bei allen Syntypen ist die Cubituslinie sowie die Wurzelrandbinde deutlich vorhanden; ein Zellschlußfleck ist nicht sichtbar - wohl aber mehr oder weniger bei den Syntypen; die Vorderflügel sind mit winzigen Pünktchen so locker besprenkelt, daß diese sehr unauffällig sind; die Besprenkelung der Hinterflügel ist größer und somit deutlicher und außerhalb des Wurzelflecks gleichmäßig über diesen verteilt.

Die Flügelunterseiten sind wie die der Oberseiten gefärbt; die Besprenkelung ist auf der Vorderflügelunterseite durch kleine Punkte, ab dem Zellschluß bis zum Saum, sichtbar; die Hinterflügel sind mit größeren Sprengelpunkten aufgelockert besetzt; die Postdiscalbinde ist auf der gleichen Länge, wie auf der Oberseite, angedeutet, ebenso wie die Submarginalbinde; der Schattenfleck in Wurzelfeld der Hinterflügel ist gut sichtbar, wie auch bei allen Syntypen, mit Ausnahme des ♂ von GP 6019 (Abb. 1877).

♂-Genital (Abb. 28, 73, 118, 162, 204, 248, 298, 1074-1103, 1762-1764): Eine Beschreibung mit dem Vergleich und den Unterscheidungsmerkmalen zu anderen Arten siehe unter *N. ukambaniensis spec. nov.* Hier sei nur darauf hingewiesen, daß GP 6024 (Abb. 254) sich durch dünnere Uncuskralen von allen anderen Syntypen der *N. politzari spec. nov.* unterscheidet, ebenso fällt der Saccus (Abb. 79) des gleichen ♂ aus dem normalen Rahmen der Variationsbreite, so wie das ebenso auch bei dem Saccus des PT-♂ von *N. ukambaniensis spec. nov.* (Abb. 81) der Fall ist - beide Tiere wurden nur aufgrund ihres Phänotyps der jeweiligen Art zugeordnet.

Beschreibung mit Differentialdiagnose des AT-♀ (Abb. 1918, 1919): In Färbung und Zeichnung entspricht das AT-♀ ganz dem HT-♂, doch fehlt dem AT die Cubituslinie, auch die M3-Ader ist kaum zusätzlich dunkel beschuppt; der weinrote Wurzelfleck der Hinterflügel ist gut abgegrenzt und strahlt nicht weiter mit einem weinroten Schimmer in den Flügel aus; die Vorderflügel sind etwas schlanker und wirken dadurch langgestreckter als die Flügel von *N. ukambaniensis spec. nov.*

Die Unterseite ist ähnlich der Oberseite; der Schattenfleck der Hinterflügelunterseite ist gut sichtbar.

♀-Genital (Abb. 317, 317 a, 1610-1619): Sowohl im natürlichen, uneingebettet und unverzerrten Zustand (Abb. 317) sowie im eingebetteten, leicht zusammengepreßten Zustand (Abb. 317 a) unterscheidet sich die Subgenitalplatte von *N. politzari spec. nov.* deutlich von *N. ukambaniensis spec. nov.* (Abb. 318/uneingebettet, 318 a/eingebettet als Dauerpräparat) - bei diesen sichtbaren, deutlichen Unterschieden erübrigen sich weitere Worte, um die Unterscheidungsmerkmale zu verdeutlichen und aufzuzeigen, ebenso wie zu allen Arten zuvor (Abb. 311-316 a) und den noch folgenden Arten (Abb. 319-323 b).

Verbreitung: Bisher nur vom LT Kibwezi in Kenia bekannt (siehe Verbreitungskarte 2). Biologische Daten liegen nicht vor.

Derivatio nominis: Die Art widmen wir dem in Afrika ermordeten Tierarzt Dr. KARLHEINZ POLITZAR, der einen großen Teil seines Lebens beruflich auf diesem Kontinent verbrachte und dabei auch die entomologische Erforschung der Gebiete, in denen er arbeitete, durch das Aufsammeln von Belegmaterial vorantrieb – er ist Entdecker vieler neuer Arten, viele harren noch der Entdeckung und Beschreibung durch die Aufarbeitung seines zusammengetragenen Materials [zum Leben und Wirken von POLITZAR siehe auch EITSCHEBERGER & MELICAR (2016: 17) sowie HACKER & HAUSMANN (2010: 169-171)].

Neoclanis witti spec. nov. (Abb. 1896-1901, 1924-1929, 1974-1976)

HT ♂ (Abb. 1896, 1897, 1974; Spannweite: 6,79 cm), GP 6028 ♂ (Abb. 41, 131, 175, 218, 261, 266, 1419-1441, 1799-1801), Kenya, South Coast, Nareache Forest, 13.9.[19]96, leg.: POLITZAR. ZSM.

PT ♂ (Abb. 1898, 1899, 1975; Spannweite: 6,63 cm), GP 6029 ♂ (Abb. 42, 86, 132, 176, 218, 262, 267, 1442-1469, 1802-1804), Kenya, South Coast, Nareache Forest, 13.9.[19]96, leg.: POLITZAR. ZSM.

PT ♂ (Abb. 1900, 1901, 1976; Spannweite: 7,63 cm), GP 6030 ♂ (Abb. 43, 87, 133, 177, 219, 263, 268, 1470-1498, 1805-1807), Kenya, South Coast, Nareache Forest, 27.10.[20]00, leg.: POLITZAR. ZSM.

AT ♀ (Abb. 1924, 1925; Spannweite: 7,72 cm), GP 6033 ♀ (Abb. 319, 319 a, 1632-1641), Kenya, South Coast, Nareache Forest, 27.10.[20]00, leg.: POLITZAR. ZSM.

PT ♀ (Abb. 1926, 1927; Spannweite: 9,34 cm), GP 6034 ♀ (Abb. 320, 320 a, 1642-1652), Kenya, South Coast, Nareache Forest, 6.9.[19]96, leg.: POLITZAR. ZSM.

PT ♀ (Abb. 1928, 1929; Spannweite: 8,91 cm), GP 6035 ♀ (Abb. 321, 321 a, 1653-1661), Kenya, South Coast, Nareache Forest, 14.3.[19]96, leg.: POLITZAR. ZSM.

Beschreibung mit Differentialdiagnose des HT-♂ (Abb. 1896, 1897, 1974): Die Färbung der Vorderflügel des HT von *N. witti spec. nov.* ist dunkler als die beim HT *N. politzari spec. nov.*, jedoch heller als die des HT von *N. ukambaniensis spec. nov.*; ein Zellschlußfleck ist auf

den Vorderflügeln nur zu erahnen (er ist stärker bei dem PT-♂ von GP 6029 und fehlt bei dem PT-♂ von GP 6030); die Submarginallinie ist insgesamt schwach ausgeprägt - sie ist vom Vorderrand bis zur Ader Cu1 verschwommen sichtbar, danach nur noch zu erahnen; die Postdiscalbinde ist deutlich vom Außenrand bis zur Cu1-Ader vorhanden; die Ader M3 hebt sich nur wenig durch eine dunkle Beschuppung vom Flügel ab, ebenso wie die Cubituslinie; die Besprenkelung ist dicht, fällt aber durch die sehr feinen Sprenkelpunkte kaum auf; die Hinterflügel sind mit größeren, rundlichen Sprenkelflecken im Diskalfeld dichter, danach bis zum Saum weniger stark belegt; der weinrote Wurzelfleck strahlt einen leichten Schimmer von seiner Farbe in den Flügel aus.

Die Unterseiten der Flügel sind heller und von gleicher Farbe, verglichen mit der Oberseite; die Sprenkelflecken sind ebenso auf allen vier Flügeln gleich groß und regelmäßig ab der Zellschlußlinie über die Flügel verteilt; die Submarginallinie ist vom Vorderrand bis zur M2-Ader zu sehen, die Postdiscalbinde verläuft vom Vorderrand bis zur Axillaris; der Schattenfleck im Wurzelfeld der Hinterflügel ist gut sichtbar.

♂-Genital (Abb. 41, 131, 175, 218, 261, 266, 1419-1441, 1799-1801): Die Valve des HT (Abb. 41: Valvenindex 1,4) ähnelt dem von einem PT (Abb. 43: Valvenindex 1,47), die sich aber deutlich von der Valve des 3. PT-♂ unterscheiden (Abb. 42: Valvenindex 1,25); der Saccus des HT (Abb. 1419, 1434) ist beschädigt und eignet sich wenig zu einem Vergleich - die beiden Sacci (Abb. 86, 87) sind nahezu bilateral symmetrisch, sie sind kleiner und kürzer als die von *N. politzari spec. nov.* (Abb. 73-80) oder von *N. ukambaniensis spec. nov.* (Abb. 81-85); der Aedoeagusindex vom HT (Abb. 131) beträgt bei diesem 1,32 und der Durchschnittswert aller drei Syntypen-♂♂ von *N. witti spec. nov.* beträgt 1,3 – damit liegt dieser weit über dem Index von *N. ukambaniensis spec. nov.* (Abb. 126-130) oder *N. politzari spec. nov.* (Abb. 118-125), der bei beiden Arten im Durchschnitt unter dem Wert von 1 liegt; auch die Vesica von *N. witti spec. nov.* (Abb. 175-177) besitzt wieder eine hohe, relativ lange Stirn mit einem deutlichen Nasenwulst und unterscheidet sich so von dem Vesicakörper von *N. ukambaniensis spec. nov.* (Abb. 170-174) oder *N. politzari spec. nov.* (Abb. 162-169), bei denen die Stirn ohne merklichen Ansatz in die Oberkante der Vesica übergeht. Ebenso ist der Austrittsquerschnitt des Ductus ejaculatorius aus dem Vesicakörper bei *N. witti spec. nov.* kleiner als bei den beiden Vergleichsarten; die beiden Vesicafinger sind bei *N. witti spec. nov.* dünner und länger als bei *N. ukambaniensis spec. nov.* und *N. politzari spec. nov.*; die Uncuskralen und der Gnathos von *N. witti spec. nov.* (Abb. 261-263) sind schlanker als bei *N. ukambaniensis spec. nov.* (Abb. 265-260) oder *N. politzari spec. nov.* (Abb. 248-253, 255), und sind damit im Bereich der Arten von Abb. 221-245; der Rand der Kopfplatte ist bei *N. witti spec. nov.* (Abb. 266-268) deutlich wie bei einer Säge gezahnt; der Hals ist, im Gegensatz zu *N. ukambaniensis spec. nov.* (Abb. 306-310) und *N. politzari spec. nov.* (Abb. 298-305), glatt und frei von Cornuti, nur bei dem ♂ von GP 6030 (Abb. 268) sind einige winzige Cornuti am Hals zu sehen.

Beschreibung mit Differentialdiagnose des AT-♀ (Abb. 1924, 1925): In der Flügelfärbung und -zeichnung sehr ähnlich dem AT-♀ (Abb. 1918, 1919) von *N. ukambaniensis spec. nov.*; die strichartige Besprenkelung ist kleiner und dichter als bei *N. ukambaniensis spec. nov.* auf den Vorder- wie den Hinterflügeln; ein weinroter Schimmer fließt weit vom Wurzelfleck in den Flügel, weit über das Discalfeld hinaus.

Die Unterseiten der Flügel sind wie die Oberseiten gefärbt und auch ähnlich gezeichnet bzw. besprenkelt; der Schattenfleck in der Wurzel des Hinterflügels ist so gut wie nicht sichtbar – stark sichtbar bei einem PT-♀ (Abb. 1927) durch einen kleinen, dunklen Fleck auf den Axilliaradern (Abb. 1929).

Die drei Syntypen-♀♀ (Abb. 1924-1929) unterscheiden sich durch Größe, Färbung und starke Zeichnungsunterschiede. Aufgrund der einigermaßen guten Übereinstimmung des Genitals werden diese hier vorerst zur neuen Art *N. witti spec. nov.* zusammengefaßt.

♀-Genital (Abb. 319-321 b, 1632-1661): Die Subgenitalplatte vom AT-♀ (Abb. 319) und den beiden PT-♀♀ (Abb. 320, 321) variieren zwar durch den unterschiedlichen Verlauf des distalen, unteren Randes der Platte, den wir hier jedoch momentan für eine intraspezifische Variabilität auffassen; die Subgenitalplatte von *N. witti spec. nov.* unterscheidet sich deutlich von denen der *N. ukambaniensis spec. nov.* (Abb. 318) oder 44, 88, 134, 178, 220, 264, 269, 1499-1527, 1808-1810); bb. 317); die dünnhäutige Bursa copulatrix ist lang und schlauchförmig (Abb. 319 b, 320 b).

Verbreitung: Bisher nur vom LT bekannt – es war uns nicht möglich den Ort in einer Karte aufzufinden (siehe Verbreitungskarte 2). Biologische Daten liegen nicht vor.

Derivatio nominis: Diese Art widmen wir posthum dem verstorbenen Freund Prof. Dr. h. c. THOMAS WITT (geb. am 1.IX.1949 in Bad Reichenhall), der völlig unerwartet am 28.I.2019 in München verstorben ist. THOMAS war eigentlich für die Entomologie, speziell die Lepidopterologie geboren, wurde aber in seiner Jugend hierin nicht gefördert, denn er sollte Kaufmann werden, sodaß in dieser Richtung dessen Ausbildung verlief, der er widerwillig folgte und die er letztendlich auch nach dem Studium als Diplomkaufmann abschloß. Ein weiteres prägendes Ereignis in seinem Leben, war ganz sicher gleichfalls die Trennung seiner Eltern, denn er hatte ein sehr gutes Verhältnis zu seiner Mutter, die ihn in seiner Neigung zur Entomologie mehr unterstützte, als der Vater, der überhaupt kein Verständnis dafür aufbrachte.

Unter diesen Spannungen und Erlebnissen in seiner Jugend hatte THOMAS sein Leben lang gelitten. Dennoch gelang es ihm, sich einigermaßen von den Zwängen seines Vaters frei zu schwimmen und baute im Verlauf seines Lebens die wohl größte Privatsammlung auf, die bei seinem Tod größer war als die vieler Museen, und ganz sicher auch die größte Privatsammlung, die bisher von einer einzelnen Person zusammengetragen wurde oder in der Zukunft noch zusammengetragen werden kann. Mit der WITT-Sammlung, bezogen auf die Lepidoptera, kann wohl nur die Sammlung von LORD WALTER ROTHSCCHILD (Tring Museum, jetzt im NHML) konkurrieren. Dank seines Vermögens konnte THOMAS viele Sammlungen und Originalausbeuten aufkaufen und mit der Hilfe von angestellten Mitarbeitern präparieren, ordnen und bearbeiten lassen. So waren auch stets Spezialisten, vor allem aus Rußland, im Museum WITT in der Tengstraße 33 in München, um dort zu arbeiten und zu forschen.

Ebenso sind die Leistungen von THOMAS als dessen Aktivitäten als Autor oder als Herausgeber vieler Buch- und Zeitschriftenreihen hervorzuheben (Details siehe im Internet unter ZOBODAT). Als Menschen mit großer bibliophiler Neigung und Liebe gelang es Thomas gleichzeitig, neben der Sammlung, eine ungeheuer umfangreiche und großartige Bibliothek aufzubauen und damit auch zu erhalten (Sammlung und Bibliothek gehen jetzt als „THOMAS WITT-Stiftung“ in die ZSM über).

Der Tod von THOMAS hat eine Lücke in der Weiterentwicklung der entomologischen Forschung gerissen, die nicht mehr geschlossen werden kann - denn wo gibt es noch vermögende Menschen, die ein Verständnis für die Entomologie haben?

THOMAS hat ein Reservoir an Material zusammengetragen, das noch für Jahrzehnte reichen wird, um daraus Hunderte von neuen Arten zu beschreiben, die es dann längst nicht mehr auf der Erde geben wird, da man zwischenzeitlich - auf politischer Ebene - mit Gewalt für deren Ausrottung gesorgt hat.



Prof. Dr. h. c. THOMAS WITT, *1.IX.1949- †28.I.2019 (Bildquelle: HR FRITZ GUSENLEITNER®, Linz)

***Neoclanis kuchleri spec. nov.* (Abb. 1902, 1903, 1977)**

HT ♂ (Abb. 1902, 1903, 1977; Spannweite: 6,56 cm), GP 6041 ♂ (Abb. 44, 88, 134, 178, 220, 264, 269, 1499-1527, 1808-1810):
Kenya, Südküste, Marenje Forest, 14.2.[19]95, leg.: POLITZAR. ZSM.

Das ♀ ist unbekannt.

Beschreibung mit Differentialdiagnose des HT-♂ (Abb. 902, 1903, 1977): Ein kleines ♂, das so hell wie *N. politzari spec. nov.* gefärbt ist; der Zellschlußfleck ist gut sichtbar; die Submarginalbinde ist nicht mehr sichtbar, die Postdiscalbinde reicht deutlich vom Vorderrand bis zur Cubitallinie; die Besprenkelung der Vorderflügel besteht aus kleinen strichartigen Pünktchen, sie ist locker und wenig auffällig, die Besprenkelung der Hinterflügel besteht aus größeren, locker verteilten Punkten; der weinrote Wurzelfleck auf den Hinterflügeln ist klar begrenzt, ohne Farbausstrahlung in den Flügel.

Die Unterseite ist so hell wie die Oberseite und mit schwächer besprenkelt. Die Postdiscalbinde ist nur andeutungsweise vorhanden, ebenso wie der Schattenfleck im Wurzelfeld des Hinterflügels.

♂-Genital (Abb. 44, 88, 134, 178, 220, 264, 269, 1499-1527, 1808-1810): Die Valve von *N. kuchleri spec. nov.* (Abb. 44) ist die kleinste der hier abgebildeten Valven aller Arten (Abb. 13-43, 45); die Größe der Valve korreliert nicht mit der Körpergröße, da die Valve von *N. raymurphyi spec. nov.* (Abb. 45) mit einer Spannweite von 6,54 cm sogar unwesentlich kleiner als die mit 6,56 cm von *N. kuchleri spec. nov.* ist; Der Saccus (Abb. 88) ist bilateral symmetrisch und er ist etwas größer als bei *N. witti spec. nov.* (Abb. 86, 87); der Aedoeagusindex beträgt bei *N. kuchleri spec. nov.* (Abb. 134) 1,49. Damit liegt er über dem Index von *N. witti spec. nov.* (Abb. 131-133); die Vesica (Abb. 178) besitzt eine kürzere Stirn als *N. witti spec. nov.* (Abb. 175-177) und wohl auch ähnlich lange

und schlanke Vesicafinger – genaue Vergleiche sind jedoch unmöglich, da der Vesicaschlauch – der Ductus ejaculatorius – vor dem Austritt aus der Vesica, diese bereits davor seitlich über ein Schadloch durchdrungen und auf der Höhe an der Basis eines Vesicafingers, verlassen hat; die Juxta (Abb. 220), besitzt, wie die von *N. witti spec. nov.* (Abb. 218, 219), an der Basis zwei „Hüftwülste“; die Uncusarme und der Gnathos sind bei *N. kuchleri spec. nov.* (Abb. 264) etwa so schlank wie bei *N. witti spec. nov.* (Abb. 261-236), die Uncuskralen und der Gnathos sind schlanker als bei *N. ukambaniensis spec. nov.* (Abb. 256-260) und *N. politzari spec. nov.* (Abb. 248-255); die Form von Hals und Sacculuskopf von *N. kuchleri spec. nov.* (Abb. 269) ähnelt stark der von *N. nicolae spec. nov.* (Abb. 291), der Kopfrand von *N. kuchleri spec. nov.* besitzt allerdings am proximalen Rand zwei große Cornuti, die bei *N. nicolae spec. nov.* fehlen - die Hälse beider Arten sind glatt und frei von Cornuti.

Verbreitung: Bisher nur vom LT bekannt (siehe Verbreitungskarte 2). Biologische Daten liegen nicht vor.

Derivatio nominis: Die Art widmen wir posthum dem verstorbenen Lepidopterologen KARL KUCHLER aus München (siehe hierzu EITTSCHBERGER & MELICHAR, 2016: 19).

Zwei phänotypisch, wie auch genitalmorphologisch sehr unterschiedliche ♀♀ aus Namanga (Abb. 1922, 1923, 1930, 1931), einer Stadt, die durch die Grenzlinie zwischen Tansania und Kenia geteilt wird, liegt uns aus dem Stadtteil von der kenianischen Seite vor. Diese ♀♀ befinden sich in der ZSM und dürften von POLITZAR gesammelt worden sein. Aufgrund der großen Unterschiede sehen wir uns veranlaßt, beide Tiere jeweils neu zu beschreibenden Arten zuzuordnen:

Neoclanis namanga spec. nov. (Abb. 1922, 1923)

HT ♀ (Abb. 1922, 1923; Spannweite: 8,28 cm); GP 6039 ♀ (Abb. 322-322 c, 1662-1679): Kenya, Namanga, 18.3.[19]94, [leg. POLITZAR]. ZSM.

Das ♂ ist unbekannt.

Beschreibung mit Differentialdiagnose des HT-♀ (Abb. 1922, 1923): In der Grundfarbe der Flügeloberseiten ähnlich mit *N. ukambaniensis spec. nov.* und dem AT-♀ und einem PT-♀ von *N. witti spec. nov.*; die feine Besprenkelung ist gleichmäßig über den Vorderflügel verteilt, dünner und mit größeren Punktstellen auf den Hinterflügeln; die Submarginallinie verläuft vom Vorderrand bis zur Ader Cu1, die Postdiscallinie vom Vorderrand nur bis zur M3-Ader, die durch dunklere Beschuppung leicht hervorgehoben ist, ebenso wie die Cubituslinie; der Zellschlußfleck ist sichtbar, jedoch nicht sehr markant; das Weinrot des Zellschlußfleckes ist auf diesen begrenzt und fließt nicht aus.

Die Flügelunterseiten sind ähnlich hell gefärbt und so wie oberseits ähnlich gezeichnet; der Schattenfleck im Wurzelfeld der Hinterflügel ist deutlich vorhanden.

♀-Genital (Abb. 322-322 c, 1662-1679): Die Bursa copulatrix von *N. namanga spec. nov.* (Abb. 322 b) ist die einzige aller hier untersuchten ♀♀ bei denen diese völlig unversehrt und prall mit Flüssigkeit gefüllt bei der Präparation vorgefunden wurde. Das Colliculum von *N. namanga spec. nov.* (Abb. 322 c - oberer Pfeil) ist wie ein breites, stumpfes Horn ausgebuchtet, wohingegen das Colliculum von *N. pseudopolitzari spec. nov.* (Abb. 323 c - oberer Pfeil) nur einen flachen Wulst besitzt; der Übergang vom Colliculum in die dünn-häutige Bursa ist bei *N. namanga spec. nov.* (Abb. 322 c - untere Pfeile) enger als bei *N. pseudopolitzari spec. nov.* (Abb. 323 c - untere Pfeile) – ein Merkmal, das auch bei den Arten zuvor zur Differenzierung herangezogen werden kann.

Die Unterschiede bei den Subgenitalplatten von *N. namanga spec. nov.* (Abb. 322, 322 a) und von *N. pseudopolitzari spec. nov.* (Abb. 323, 323 a) sind so groß, daß es genügt hier nur auf die Abbildungen zu verweisen - durch die Bilder werden auch die Unterschiede zu allen zuvor bearbeiteten Arten klar ersichtlich.

Verbreitung: Bisher nur vom LT bekannt (siehe Verbreitungskarte 2). Biologische Daten liegen nicht vor.

Derivatio nominis: Der Name der neuen Art nimmt Bezug auf den Ort, an dem sie entdeckt wurde.

Neoclanis pseudopolitzari spec. nov. (Abb. 1930, 1931)

HT ♀ (Abb. 1930, 1931; Spannweite: 8,57 cm); GP 6040 ♀ (Abb. 323-323 c, 1679 a-1697 t): Kenya, Namanga, 18.3.[19]94, [leg. POLITZAR]. ZSM.

Das ♂ ist unbekannt.

Beschreibung mit Differentialdiagnose des HT-♀ (Abb. 1930, 1931): Das HT-♀ sieht den ♂♂ von *N. politzari spec. nov.* zum Verwechseln ähnlich – in der Flügelgefärbung und der Zeichnung; der Zellschlußfleck ist deutlich, die Submarginalbinde ist nur zwischen der Sc-Ader und M2 angedeutet, die Postdiscalbinde verläuft dick und deutlich zwischen dem Vorderrand und der Cu1-Ader; die Besprenkelung ist auf dem Vorderflügel sehr fein, auf dem Hinterflügel mit leicht größeren Punkten locker verteilt; das Weinrot des Hinterflügelwurzelfleckes ist blasser als bei den Arten zuvor, er ist klar abgegrenzt und besitzt keine weinrote Ausstrahlung, die in den Flügel vordringen könnte.

Die Unterseite der Flügel entspricht weitgehend der Oberseite; die Submarginalbinde ist unterseits hier deutlich innerhalb vom Außenrand, in einem runden Halbbogen, bis zur M2-Ader zu sehen; der Schattenfleck im Wurzelfeld des Hinterflügels ist nur schwach sichtbar.

♀-Genital (Abb. 323-323 c, 1679 a-1697 t): Siehe bei *N. namanga spec. nov.*

Verbreitung: Bisher nur vom LT bekannt, wo die Art synchron und syntop mit *N. namanga spec. nov.* fliegt (siehe Verbreitungskarte

2). Biologische Daten liegen nicht vor.

Derivatio nominis: Aufgrund der großen Ähnlichkeit mit den ♂♂ von *N. politzari spec. nov.* benannt.

Neoclanis raymurphyi spec. nov. (Abb. 1904, 1905, 1978)

HT♂ (Abb.; Spannweite. 6,54 cm), GP 5975 ♂ (Abb. 45, 89, 135, 179, 265, 270, 1528-1549, 1811-1813): /Mwabvgame Reserve, Nsanje Dest., S. Malawi, 135 m, 16°39'S 35°E, 29-30 DEZ [20]15, R. J. MURPHY/EMEM, Ent. Museum Eitschberger, Marktleuthen, 22.IV.2016/. EMEM.

Das ♀ ist unbekannt.

Beschreibung mit Differentialdiagnose des HT-♂ (Abb. 1904, 1905, 1978): *Neoclanis raymurphyi spec. nov.* weist gegenüber allen zuvor erwähnten und beschriebenen neuen Arten kürzere, kompaktere Flügel auf – ähnlich wie bei den Tagfaltern –, die nicht so langgestreckt und schmal wirken, wie bei vielen Arten zuvor; die Flügel sind hellbeige; die Besprenkelung der Vorderflügel ist sehr fein und dicht, sie fällt aber, da diese nur unwesentlich dunkler als die Grundfarbe ist, kaum auf, die Besprenkelungsflecken der Hinterflügel sind etwas gröber, dabei auffälliger und locker vom Wurzelfleckrand bis zum Außenrand zerstreut; der dunkle Zellschlußfleck der Vorderflügel hebt sich gut vom hellen Untergrund ab, ebenso die Subapicallinie, die vom Vorderrand der Vorderflügel über den ganzen Flügel läuft und auf gleicher Höhe in den Hinterflügel übergeht, wo die Linie im Innenrandwinkel endet; die Postdiscalbinde ist wenig auffällig und reicht vom Vorderrand bis zur M3-Ader; die Farbe des weinroten Zellschlußflecks ist auf diesen beschränkt. Die Farbe der Unterflügel wirkt durch das Fehlen des weinroten Wurzelflecks, der als Schattenfleck nur schwach im Wurzelfeld der Hinterflügelunterseite angedeutet ist sowie die winzigen, unauffälligen Sprenkelflecken, heller als die der Oberseiten; die Submarginalbinde ist auf beiden Flügeln deutlich angelegt.

♂-Genital (Abb. 45, 89, 135, 179, 265, 270, 1528-1549, 1811-1813): Die Valve (Abb. 45) ist größer als die Valve der nahezu gleich großen *N. kuchleri spec. nov.* (Abb. 44) - der Valvenindex hat einen Wert von 1,41 bei *N. raymurphyi spec. nov.* und liegt bei 1,49 bei *N. kuchleri spec. nov.*; der Saccus ist schmal, mit nach oben gerundeter Oberkante und eingebuchteter Unterkante und kann in seiner Schmalheit nur mit GP 6024 (Abb. 79) von *N. politzari spec. nov.* und mit GP 6026 (Abb. 81) von *N. ukambaniensis spec. nov.* verglichen werden; das Aedoeagusrohr (Abb. 135) ist das dünnste aller hier behandelten Arten, dazu ist es gleichmäßig und schwächer als bei allen anderen Arten, rund nach unten gebogen; der Bulbus ejaculatorius ist länger als der Aedoeagus - der Index beträgt 1,26; Die Vesica besitzt eine kurze Stirn mit kleinem Nasenwulst (Abb. 179, 1548) und unterscheidet sich durch die Stirn deutlich von den zuvor beschriebenen vier Arten; die beiden Vesicafinger sind schlank und lang; die Uncuskralen und der Gnathos sind schlank (Abb. 265); der Sacculuskopfrand ist gezahnt, der Hals ist mit wenigen, flachen Cornuti besetzt (Abb. 270).

Verbreitung: Bisher nur vom LT bekannt (siehe Verbreitungskarte 2, 3). Biologische Daten liegen nicht vor.

Derivatio nominis: Die neue Art widmen wir ihrem Entdecker, Herrn RAYMAOND MURPHY aus MUZUZU in Nord-Malawi (siehe hierzu auch in EITSCHBERGER & MELICHAR, 2017: 11). Bei der Beschreibung von *Poliana raymurphyi* EITSCHBERGER & MELICHAR, 2017 und deren Abgrenzung zu *P. laucheana* (DRUCE, 1882), wurde der taxonomische Wert des Aedoeagusindex erkannt (EITSCHBERGER & MELICHAR, 2017: 10-11), ein Wert, der sich auch in dieser Arbeit sehr gut eignete, um Arten - in Kombination mit anderen morphologischen Merkmalen - klar voneinander abgrenzen zu können.

Nachwort

Diese Arbeit ist ganz anders ausgefallen, als zunächst geplant, da es prinzipiell in erster Linie darum ging, den Artcharakter von *N. raymurphyi spec. nov.* zu bestätigen - daß es letztendlich so viele neue Arten geben würde, war nicht absehbar. Mit den hier genannten Arten ist aber ganz sicher noch kein Ende an neuen Arten abzusehen, da viele in der Literatur genannten Fundorte von *N. basalis* auct. (nec WALKER) noch auf deren Artzugehörigkeit untersucht werden müssen (siehe Verbreitungskarte 2 und 3).

Daß die vielen, zumeist voneinander weit und isoliert liegenden Fundorte in Afrika, südlich des Äquators, stets neue Arten beherbergen, wird mit der besonderen Geomorphologie des Kontinents erklärt, gepaart mit den unterschiedlichen Höhenlagen, Vegetationsformen und klimatischen Bedingungen, die an jedem einzelnen Ort in anderer Kombination vorherrschen (siehe hierzu auch HACKER, 2019: 25-192).

Natürlich, so könnte ein Kritikpunkt sein, haben wir nicht versucht weiteres Material aus anderen Museen oder Privatsammlungen zu bekommen, um die Arbeit auf eine noch breitere Basis zu stellen. Zum einen waren wir über die sich abzeichnenden Ergebnisse, nachdem jedes einzelne Tier genitalmorphologisch untersucht worden war, selbst überrascht, so überrascht, daß wir den Fakten erst gar nicht glauben wollten oder konnten - es benötigte einige Zeit um das zu verarbeiten, um letztendlich den Mut zum Arbeitsbeginn zu finden. Dann hat die Arbeit und die Analyse der Ergebnisse von nur 58 ♂♂, ♀♀ dieser Gattung, die uns zur Bearbeitung vorlagen, so viel Zeit erfordert, sodaß wir uns zu dieser Publikation entschlossen, um erst einmal einen Anfang sowie eine Basis für die weitere Bearbeitung und Erforschung dieser Gattung *Neoclanis* CARCASSON zu schaffen - wir müssen ja jetzt nicht alles alleine tun, sobald diese Arbeit publik ist. Jeder Einzelne kann jetzt sein Sammlungsmaterial überprüfen oder aber uns zur Überprüfung anvertrauen. Auf der Basis dieser Arbeit besteht nun auch die Möglichkeit die hier angeführten morphologischen und morphometrischen Ergebnisse mit den bereits erfolgten genetischen Untersuchungen – die in Zukunft noch intensiviert werden müssen – abzugleichen und mit einander in Bezug zu bringen.

Literatur

- BOISDUVAL, J.-A. [1875]: Histoire naturelle des insectes. Species général des Lépidoptères **1**. - Paris.
- BRIDGES, CH. A. (1993): Catalogue of the family-group, genus-group and species-group names of the Sphingidae of the World. - Ch. A. Bridges Eigenverlag, Urbana, Illinois.
- BUTLER, A. G. (1876): Revision of the Heterocerous Lepidoptera of the family Sphingidae. - Trans. Zool. Soc. London **9**: 511-644 + 5 Fabtafeln, London.
- CARCASSON, R. H. (1968): Revised Catalogue of the African Sphingidae (Lepidoptera) with Descriptions of the East African Species. - J. East Africa Nat. Hist. Soc. Nat. Mus. **26** (3): 1-148, Nairobi.
- CARCASSON, R. H. (1976): Revised Catalogue of the African Sphingidae (Lepidoptera) with Descriptions of the East African Species. 2nd Edition. - E. W. Classey LTD, Faringdon.
- D'ABRERA, B. (1986): Sphingidae Mundi. Hawk Moths of the World. - E. W. Classey, Faringdon, Oxon.
- EITSCHBERGER, U. (2003): Revision und Neugliederung der Schwärmer-Gattung *Leucophlebia* WESTWOOD, 1847 (Lepidoptera, Sphingidae). - Neue Ent. Nachr. **56**: 1-400, 19 Farbtaf., Marktleuthen.
- EITSCHBERGER, U. (2010): KLAUS-JÜRGEN KLEINER (*2. Mai 1940 - †13. Januar 2010). - Neue Ent. Nachr. **64**: I-II, Marktleuthen.
- EITSCHBERGER, U. & T. MELICHAR (2016): Revision und Neugliederung aller Arten, die momentan in der Gattung *Macropoliana* auct. (nec CARCASSON, 1968) vereint, zusammengefaßt sind (Lepidoptera, Sphingidae). - Neue Ent. Nachr. **71**: 1-639, Marktleuthen.
- EITSCHBERGER, U. & T. MELICHAR (2017): Revision und Neugliederung aller Arten, die in der Gattung *Poliana* ROTHSCCHILD & JORDAN, 1903 vereint, zusammengefaßt sind (Lepidoptera, Sphingidae). - Neue Ent. Nachr. **74**: 1-171, Marktleuthen.
- HACKER, H. (2019): In HACKER, H. (Herausgeber), Moths of Africa. Systematic an Illustrated Catalogue of the Heterocera of Africa. Volume **1**, Biogeography, Boletobiinae (Erebidae). - Esperiana Verlag, Bad Staffelstein.
- HACKER, H. & A. HAUSMANN (2010): Orbitalary to Dr. KARLHEINZ POLITZAR - 5th October 1938 - 20th October 2007. - Esperiana Memoir **5**: 169-171, Schwanfeld.
- HÄNDEL, J. (1998): Kommentiertes Verzeichnis der Sphindiden der Afrika-Expedition des Museums für Naturkunde Berlin- ein Beitrag zur Kenntnis der Schwärmerfauna des südlichen Afrika (Lepidoptera: Sphingidae). - Ent. Z. **108**: (9): 377-384, Essen.
- KIOKO, E. N. (2016): Influence of light pollution and biodiversity awareness on Hawkmoths (Lepidoptera: Sphingidae) diversity and abundance in selected sites in Kenya. - Thesis of a degree of Master of Sciences, Eastern Kenya University, Nairobi.
- KIRBY, W. F. (1892): A synonymic catalogue of the Lepidoptera Heterocers. (Moths.), Bd. **1**, Sphingines and Bombyces. - Gurney & Jackson, London & Friedländer & Sohn, Berlin.
- KITCHING, I. J. & J.-M. CADIOU (2000): Hawkmoths of the World. An annotated and illustrated revisionary checklist (Lepidoptera: Sphingidae). - The Natural History Museum, London und Cornell University Press, Ithaca and London.
- MELICHAR, T. & M. ŘEŽÁČ (2013): A new species of the genus *Neoclanis* Varcasson, 1968 (Lepidoptera, Sphingidae) from Kenya. - The European Entomologist **5** (3): 71-75, Příbram.
- OATES, C. G. (Ed.) (1881): Matabele Land and the Victoria Falls. A Naturalist's Wandering in the Interior of South Africa - From the Letters & Journals of the late FRANK OATES, F.R.G.S: I-XXXVI, 1-271. - R. & R. CLARK, Edinburgh.
- PINHEY, E. (1960): Hawk Moths of Central and Southern Africa. - Longmans, Salisbury.
- ROTHSCCHILD, W. & K. JORDAN (1903): A revision on the lepidopterous family Sphingidae. - Novit. Zool. **9** (Suppl.): 1-972, mit 67 Tafeln, Hazel, Watson & Viney Ltd., London and Aylesbury.
- ROTHSCCHILD, W. & K. JORDAN (1906-1907): In WYTSMAN, P. (Herausgeber), Genera Insectorum. Lepidoptera, Fam. Sphingidae **57**: 1-158 mit 8 Farbtafeln. - V. Verteneuil & L. Desmet, Bruxelles.
- STEVENSON, R. H. R. (1938): The Sphingidae of South Africa, with special references to those of Southern Rhodesia. - Trans. Rhodesia Sci. Ass. **36**: 133-151, Salisbury.
- TABBERT, H. (2000): Schmetterlingsbeobachtungen auf See - Sphingidae (Lepidoptera, Sphingidae). - Atalanta **31** (3/4): 515-528, Würzburg.
- VAN DEN BERG, M. A., VERMEULEN, J. B., BRAACK, H. H. & A. L. BRAACK (1975): Plystertmotte (Lepidoptera: Sphingidae) van die nationale Krugertwildtuin. - Koedoe **18**: 13.29, Pretoria.
- WAGNER, H. (1914): Lepidopterorum Catalogus Pars **18** (Sphingidae: Subfam. Ambulicinae, Sesiinae): 79-220. - W. Junk, Berlin.
- WALKER, F. (1866): List of the Specimens of Lepidopterous Insects of the Collection of the British Museum **35** (Suppl. 5): 1848-1859, London.
- WESTWOOD, J. O. (1881): IV Entomology, in OATES, C. G. (Ed.), Matabele Land and the Victoria Falls. A Naturalist's Wandering in the Interior of South Africa - From the Letters & Journals of the late FRANK OATES, F.R.G.S. - Appendix: 331-365. - R. & R. CLARK, Edinburgh.

Anschriften der Verfasser

Dr. rer. nat. ULF EITSCHBERGER
Entomologisches Museum
Humboldtstraße 13 A
D-95168 Marktleuthen
E-Mail: ulfei@t-online.de

Dr. med. vet. OLIVER EITSCHBERGER
Lehrstuhl für Anatomie, Histologie und Embryologie
Veterinärstraße 13
D-80539 München
E- Mail: o.eitschberger@anat.vetmed.uni-muenchen.de

Liste der angefertigten Genitalpräparate mit allen auf den Etiketten der Falter befindlichen Daten

- GP 5973 ♂ (Spannweite: 7,17 cm), *Neoclanis morogoroensis spec. nov.*, HT, /Tanzania, Morogoro: 1 km E Mikumi, savanna, 5.III.2003, 550 m, leg. M. FIBIGER, H. HACKER, K. LARSEN, H.-P. SCHREIER//ex coll. HERM. HACKER, Staffelstein, in EMEM, 9.IV.2015, Entomol. Museum Eitschberger, Markt-leuthen/. EMEM.
- GP 5974 ♂ (Spannweite: 7,26 cm), *Neoclanis hogani spec. nov.*, HT, /Tanzania, Rukwa Region, nord de Mpanda, Vikonge, 06°03.172'S; 030°56.258'E, 1334 m, 26-II-2012, (PH. DARGE)//*Neoclanis basalis* Walker//ex coll. PH. MORETTO, EMEM 26.V.2016, Entomol. Museum Eitschberger, Markt-leuthen/. EMEM.
- GP 5975 ♂ (Spannweite: 6,54 cm), *Neoclanis raymurphyi spec. nov.*, HT, /Mwabvigame Reserve, Nsanje Dest., S. Malawi, 135 m, 16°39'S 35°E, 29-30 DEZ [20]15, R. J. MURPHY/EMEM, Ent. Museum Eitschberger, Markt-leuthen, 22.IV.2016/. EMEM.
- GP 5976 ♂ (Spannweite: 6,86 cm), *Neoclanis morogoroensis spec. nov.*, PT, /Tanzania, Morogoro: 1 km E Mikumi, savanna, 5.III.2003, 550 m, leg. M. FIBIGER, H. HACKER, K. LARSEN, H.-P. SCHREIER//ex coll. HERM. HACKER, Staffelstein, in EMEM, 9.IV.2015, Entomol. Museum Eitschberger, Markt-leuthen/. EMEM.
- GP 5977 ♂ (Spannweite: 7,17 cm), *Neoclanis basalis* (WALKER, 1866), NT, /10 Namibia, 17°53'S 24°34'E, E Caprivi District, 15 km NW Ngoma, 930 m, 26.II.2006, Li/LiFa, leg. H. HACKER, H.-P. SCHREIER//ex coll. HACKER & SCHREIER, in EMEM, 16.I.2017, Entomol. Museum Eitschberger, Markt-leuthen/. EMEM.
- GP 5978 ♂ (Spannweite: 6,43 cm), *Neoclanis oberprieleri spec. nov.*, HT, /South Africa, TVL, Kruger Nat. Park, Pafuri, Bobomene research camp, 22.26S 31.12E, 250 m, 03.II.1994, R. OBERPRIELER//*Neoclanis basalis* (Walker, 1866), det. R. Oberprieler 1994, collection R. OBERPRIELER/. EMEM.
- GP 5982 ♂ (Spannweite: 6,76 cm), *Neoclanis schreieri spec. nov.* PT, /8, Botswana, Chobe Distr., 17°49'S, 25°13'E, SSE Kasane, 2 km W Leshoma, Kasane Forest Res., 1000 m, 24.II.2006, Li/LiFa, leg. H. HACKER, H.-P. SCHREIER//ex coll. HACKER & SCHREIER in EMEM, 16.I.2017, Entomol. Museum Eitschberger, Markt-leuthen/. EMEM.
- GP 5983 ♂ (Spannweite: 6,96 cm), *Neoclanis schreieri spec. nov.*, PT, /8, Botswana, Chobe Distr., 17°49'S, 25°13'E, SSE Kasane, 2 km W Leshoma, Kasane Forest Res., 1000 m, 24.II.2006, Li/LiFa, leg. H. HACKER, H.-P. SCHREIER//ex coll. HACKER & SCHREIER in EMEM, 16.I.2017, Entomol. Museum Eitschberger, Markt-leuthen/. EMEM.
- GP 5984 ♀ (Spannweite: 8,56 cm), *Neoclanis schreieri spec. nov.*, AT, /8, Botswana, Chobe Distr., 17°49'S, 25°13'E, SSE Kasane, 2 km W Leshoma, Kasane Forest Res., 1000 m, 24.II.2006, Li/LiFa, leg. H. HACKER, H.-P. SCHREIER//ex coll. HACKER & SCHREIER in EMEM, 16.I.2017, Entomol. Museum Eitschberger, Markt-leuthen/. EMEM.
- GP 5985 ♂ (Spannweite: 6,65 cm), *Neoclanis tsumeb spec. nov.*, HT, /Tsumeb, D. S. W. Afr. [Deutsch Südwestafrika]/Sammlung GEHLEN/. ZSM.
- GP 5986 ♂ (Spannweite: 7,24 cm), *Neoclanis usambaraensis spec. nov.*, HT, /Tanzanie: Tanga region, W. Usambara Mts., Irente view Point, 1376 m, 04°47.87'S, 038°16.235'E, 26-XI-2008, (PH. DARGE)//ex coll. PHILIPPE DARGE in EMEM, 16.X.2017, Entomolog. Museum Eitschberger, Markt-leuthen/. EMEM.
- GP 5987 ♂ (Spannweite: 8 cm), *Neoclanis iringaensis spec. nov.*, HT, Tanzanie, Iringa Region, Mpanga Game Reserve, Usalimbwani, 1225 m, 08°55.195'S, 34°07.105'E, 15.I.2010, PHILIPPE DARGE leg., EMEM, 16.X.2017. EMEM.
- GP 5988 ♀ (Spannweite: 9,22 cm), *Neoclanis nicolae spec. nov.*, AT, Tanzanie, Iringa region, Udzungwa National Park, Camp 2, 400 m, 15.-31.I.2005, PHILIPPE DARGE leg., EMEM, 16.X.2017. EMEM.
- GP 5989 ♀ (Spannweite: 9,42 cm), *Neoclanis michali spec. nov.*, HT, Tanganjika, Lindi, Ndanda, 300 m, 8.XII.1958, leg. CH. LINDEMANN, Staatsslg. München. ZSM.
- GP 5990 ♂ (Abgeschätzte Spannweite: 7,04 cm), HT von *Choerocampa virgo* WESTWOOD, 1881, HT, „Gobalaweya or Gwaillo, S. Africa, J. OATES“. OUMNH.
- GP 5991 ♂ (Spannweite: 7,5 cm), *Neoclanis nicolae spec. nov.*, HT, Tanzanie, Iringa Region, Udzungwa National Park, Camp 2, 400 m, 15.-31.I.2005, PHILIPPE DARGE leg., EMEM, 18.X.2017. EMEM.
- GP 5992 ♂ (Spannweite: 6,78 cm), *Neoclanis hackeri spec. nov.*, HT, /8, Botswana, Central Distr., 19°39'S, 26°05'E, 60 km N Nata, Elephant Sands Camp, 950 m, 21.II.2006, Li/LiFa, leg. H. HACKER, H.-P. SCHREIER//ex coll. HACKER & SCHREIER in EMEM, 16.I.2017, Entomol. Museum Eitschberger, Markt-leuthen/. EMEM.
- GP 5993 ♂ (Spannweite: 8 cm), *Neoclanis pseudobasalis spec. nov.*, HT, /10 Namibia, 17°53'S 24°34'E, E Caprivi District, 15 km NW Ngoma, 930 m, 26.II.2006, Li/LiFa, leg. H. HACKER, H.-P. SCHREIER//ex coll. HACKER & SCHREIER, in EMEM, 16.I.2017, Entomol. Museum Eitschberger, Markt-leuthen/. EMEM.
- GP 5994 ♂ (Spannweite: 6,82 cm), *Neoclanis tsumeb spec. nov.*, PT, /Tsumeb, S. W. Afr. [Deutsch Südwestafrika]/Sammlung GEHLEN/. ZSM.
- GP 5995 ♂ (Spannweite: 7,24 cm), *Neoclanis weningeri spec. nov.*, HT, /Angola, Prov. Huila, Caluquembe-Huambo, Caconda, s 13°464', E 015°000', 10.11.2012, 1610 m, coll. STRÖHLE, leg. M. WENINGER//EMEM Entomologisches Museum Eitschberger, Markt-leuthen, 16.V.2018/. EMEM.
- GP 5996 ♂ (Spannweite: 7,67 cm), *Neoclanis politzari spec. nov.*, HT, /Kenya, Kibwezi, 20-31.5.1994, leg. Dr. POLITZAR//ex coll. KARL KUCHLER, München, in EMEM, 23.XII.2009, Ent. Mus. Eitschberger, Markt-leuthen/. EMEM.
- GP 5997 ♂ (Spannweite: 7,42 cm), *Neoclanis haendeli spec. nov.*, HT, /Botswana: Morogoro Region, West Nguru Mts., Makuyu, 566 m, 06°17.002'S., 034°07.105'E., 15-I-2010, (PH. DARGE)//ex coll. PHILIPPE DARGE in EMEM, 16.X.2017, Entomolog. Museum Eitschberger, Markt-leuthen/. EMEM.
- GP 5998 ♂ (Spannweite: 8,05 cm), *Neoclanis oatesorum spec. nov.*, HT, /Tanzanie: Iringa Region, Mpanga Game Reserve, Usalimbwani, 08°55.195'S., 037°20.709'E, 11-II-2005, (PH. DARGE)//ex coll. PHILIPPE DARGE in EMEM, 16.X.2017, Entomolog. Museum Eitschberger, Markt-leuthen/. EMEM.
- GP 5999 ♂ (Spannweite: 7,18 cm), *Neoclanis schreieri spec. nov.*, PT, /8, Botswana, Chobe Distr., 17°49'S, 25°13'E, SSE Kasane, 2 km W Leshoma, Kasane Forest Res., 1000 m, 24.II.2006, Li/LiFa, leg. H. HACKER, H.-P. SCHREIER//ex coll. HACKER & SCHREIER in EMEM, 16.I.2017, Entomol. Museum Eitschberger, Markt-leuthen/. EMEM.
- GP 6000 ♂ (Spannweite: 6,83 cm), *Neoclanis schreieri spec. nov.*, HT, /8, Botswana, Chobe Distr., 17°49'S, 25°13'E, SSE Kasane, 2 km W Leshoma, Kasane Forest Res., 1000 m, 24.II.2006, Li/LiFa, leg. H. HACKER, H.-P. SCHREIER//ex coll. HACKER & SCHREIER in EMEM, 16.I.2017, Entomol. Museum Eitschberger, Markt-leuthen/. EMEM.
- GP 6001 ♀ (Spannweite: 6,83 cm), *Neoclanis murzini spec. nov.*, HT, /Botswana, 10 km S Ghanzi, 1080 m, 21.810369S, 21.609318E, 21-23.XII.2012, S. MURZIN leg.//ex col. SERGEI MURZIN in EMEM, 5.III.2013, Entomol. Museum Eitschberger, Markt-leuthen/. EMEM. (56 voll entwickelte Eier aus dem Abdomen präpariert.)
- GP 6002 ♂ (Spannweite: 6,87 cm), *Neoclanis kingstoni spec. nov.*, PT, /Tanzanie: Lindi Region, Mtokokuyana, 362 m, 10°23.038'S.,

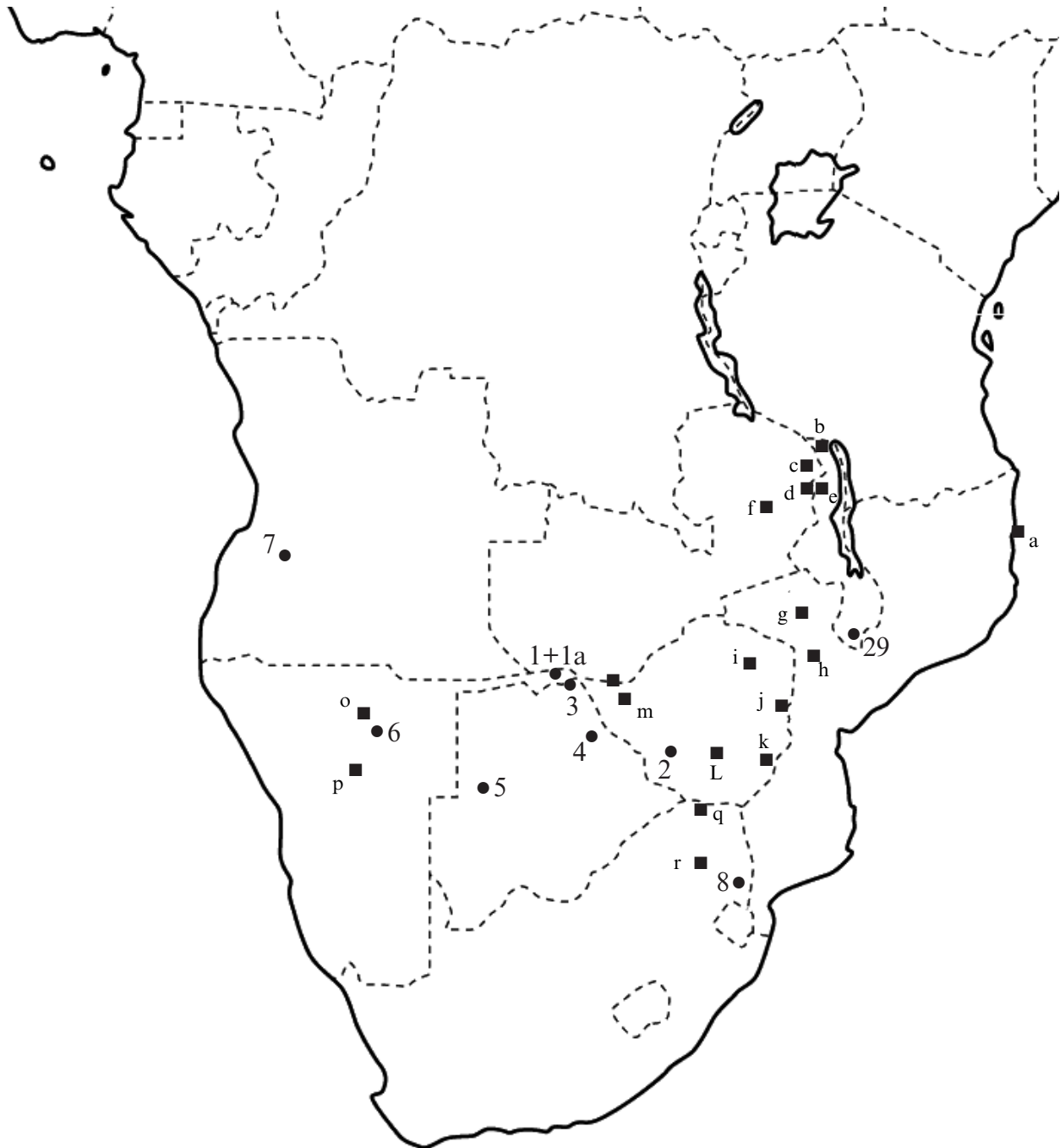
- 038°53.775'E., 22-XII-2009, (PH. DARGE)//ex coll. PHILIPPE DARGE in EMEM, 16.X.2017, Entomolog. Museum Eitschberger, Markt-leuthen/. EMEM.
- GP 6003 ♂ (Spannweite: 7,53 cm), *Neoclanis kingstoni spec. nov.*, HT, /Tanzanie: Lindi Region, Mtokokuyana, 362 m, 10°23.038'S., 038°53.775'E., 22-XII-2009, (PH. DARGE)//ex coll. PHILIPPE DARGE in EMEM, 16.X.2017, Entomolog. Museum Eitschberger, Markt-leuthen/. EMEM.
- GP 6004 ♂ (Spannweite: 6,92 cm), *Neoclanis kingstoni spec. nov.*, PT, /Tanzanie: Lindi Region, Mtokokuyana, 362 m, 10°23.038'S., 038°53.775'E., 22-XII-2009, (PH. DARGE)//ex coll. PHILIPPE DARGE in EMEM, 16.X.2017, Entomolog. Museum Eitschberger, Markt-leuthen/. EMEM.
- GP 6005 ♀ (Spannweite: 8,03 cm), *Neoclanis kingstoni spec. nov.*, AT, /Tanzanie: Lindi Region, Mtokokuyana, 362 m, 10°23.038'S., 038°53.775'E., 22-XII-2009, (PH. DARGE)//ex coll. PHILIPPE DARGE in EMEM, 16.X.2017, Entomolog. Museum Eitschberger, Markt-leuthen/. EMEM.
- GP 6006 ♂ (Spannweite: 7,74 cm), *Neoclanis melichari spec. nov.*, HT, /Tanzanie: Mtwara Region, Lumesule, 10°54.792'S., 038°02.393'E., 364 m, 23-XII-2009, (PH. DARGE)//ex coll. PHILIPPE DARGE in EMEM, 16.X.2017, Entomolog. Museum Eitschberger, Markt-leuthen/. EMEM.
- GP 6007 ♀ (Spannweite: 8,63 cm), *Neoclanis melichari spec. nov.*, AT, /Tanzanie: Mtwara Region, Lumesule, 10°54.792'S., 038°02.393'E., 364 m, 23-XII-2009, (PH. DARGE)//ex coll. PHILIPPE DARGE in EMEM, 16.X.2017, Entomolog. Museum Eitschberger, Markt-leuthen/. EMEM.
- GP 6011 ♂ (Spannweite: 7,05 cm), *Neoclanis kleineri spec. nov.*, HT, /Tanzanie: Morogoro Region, West Nguru Mts., 2000 m, 4-VIII-2015, (local collector), ex coll. PH. DARGE)//ex coll. PHILIPPE DARGE in EMEM, 16.X.2017, Entomolog. Museum Eitschberger, Markt-leuthen/. EMEM.
- GP 6012 ♂ (Spannweite: 7,04 cm), *Neoclanis dargei spec. nov.*, HT, /Tanzania, Rukwa Region, Rukwa Escarpment, 1092 m, 07°05.913'S.; 031°08.4844'E., 01-II-2008, (PH. DARGE)//ex coll. PHILIPPE DARGE in EMEM, 16.X.2017, Entomolog. Museum Eitschberger, Markt-leuthen/. EMEM.
- GP 6013 ♂ (Spannweite: 7,15 cm), *Neoclanis giustii spec. nov.*, HT, /Tanzania, Katavi Region, Mtisi Village near Sitalike, 1081 m, 06°28.226'S., 031°07.135'E., 09-XII-2012, (PH. DARGE)//ex coll. PHILIPPE DARGE in EMEM, 16.X.2017, Entomolog. Museum Eitschberger, Markt-leuthen/. EMEM.
- GP 6019 ♂ (Spannweite: ca. 7,63 cm), *Neoclanis politzari spec. nov.*, PT, Kenya, Kibwezi, 8.-14.5.1995, leg. Dr. POLITZAR. ZSM.
- GP 6020 ♂ (Spannweite: 7,86 cm), *Neoclanis politzari spec. nov.*, PT, Kenya, Kibwezi, 20-31.5.1994, leg. Dr. POLITZAR. ZSM.
- GP 6021 ♂ (Spannweite: 7,63 cm), *Neoclanis politzari spec. nov.*, PT, Kenya, Kibwezi, 20-31.5.1994, leg. Dr. POLITZAR. ZSM.
- GP 6022 ♀ (Spannweite: 7,98 cm), *Neoclanis politzari spec. nov.*, PT, Kenya, Kibwezi, 20-31.5.1994, leg. Dr. POLITZAR. ZSM.
- GP 6023 ♂ (Spannweite: 7,74 cm), *Neoclanis politzari spec. nov.*, PT, Kenya, Kibwezi, 20-31.5.1994, leg. Dr. POLITZAR. ZSM.
- GP 6024 ♂ (Spannweite: 7,86 cm), *Neoclanis politzari spec. nov.*, PT, Kenya, Kibwezi, 20-31.5.1994, leg. Dr. POLITZAR. ZSM.
- GP 6025 ♂ (Spannweite: 7,61 cm), *Neoclanis politzari spec. nov.*, PT, Kenya, Kibwezi, 8.-14.5.1995, leg. Dr. POLITZAR. ZSM.
- GP 6026 ♂ (Spannweite: 6,97 cm), *Neoclanis ukambaniensis spec. nov.*, PT, Kenya, Kibwezi, 700 m, 1.-15.12.2000, leg. Dr. POLITZAR, Museum WITT. ZSM.
- GP 6027 ♀ (Spannweite: 9,14 cm), *Neoclanis politzari spec. nov.*, AT, Kenya, Kibwezi, 20-31.5.1994, leg. Dr. POLITZAR. ZSM.
- GP 6028 ♂ (Spannweite: 6,79 cm), *Neoclanis witti spec. nov.*, HT, Kenya, South Coast, Nareache Forest, 13.9.[19]96, leg.: POLITZAR. ZSM.
- GP 6029 ♂ (Spannweite: 6,63 cm), *Neoclanis witti spec. nov.*, PT, Kenya, South Coast, Nareache Forest, 13.9.[19]96, leg.: POLITZAR. ZSM.
- GP 6030 ♂ (Spannweite: 7,63 cm), *Neoclanis witti spec. nov.*, PT, Kenya, South Coast, Nareache Forest, 27.10.[20]00, leg.: POLITZAR. ZSM.
- GP 6031 ♂ (Spannweite: 6,82 cm), *Neoclanis ukambaniensis spec. nov.*, PT, Kenya, South Ukambani, near Kibwezi, 20-27.XI.1994 Lf., leg. Dr. POLITZAR, Museum WITT. ZSM.
- GP 6032 ♂ (Spannweite: 6,88 cm), *Neoclanis ukambaniensis spec. nov.*, PT, Kenya, South Ukambani, near Kibwezi, 20-27.XI.1994 Lf., leg. Dr. POLITZAR, Museum WITT. ZSM.
- GP 6033 ♀ (Spannweite: 7,72 cm), *Neoclanis witti spec. nov.*, AT, Kenya, South Coast, Nareache Forest, 27.10.[20]00, leg.: POLITZAR. ZSM.
- GP 6034 ♀ (Spannweite: 9,34 cm), *Neoclanis witti spec. nov.*, PT, Kenya, South Coast, Nareache Forest, 6.9.[19]96, leg.: POLITZAR. ZSM.
- GP 6035 ♀ (Spannweite: 8,91 cm), *Neoclanis Neoclanis witti spec. nov.*, PT, Kenya, South Coast, Nareache Forest, 14.3.[19]96, leg.: POLITZAR. ZSM.
- GP 6036 ♂ (Spannweite: 7,91 cm), *Neoclanis ukambaniensis spec. nov.*, PT, [Kenya] Süd-Ukambani, 28.5.-1.6.1995, leg. Dr. POLITZAR. ZSM.
- GP 6037 ♂ (Spannweite: 7,91 cm), *Neoclanis ukambaniensis spec. nov.*, HT, [Kenya] Süd-Ukambani, 28.5.-1.6.1995, leg. Dr. POLITZAR. ZSM.
- GP 6038 ♀ (Spannweite: 8,90 cm), *Neoclanis ukambaniensis spec. nov.*, AT, Kenya, South-Ukambani, 20.4.[20]00, leg.: POLITZAR. ZSM.
- GP 6039 ♀ (Spannweite: 8,28 cm), *Neoclanis namanga spec. nov.*, HT, Kenya, Namanga, 18.3.[19]94, [leg. POLITZAR]. ZSM.
- GP 6040 ♀ (Spannweite: 8,57 cm), *Neoclanis pseudopolitzari*, HT, Kenya, Namanga, 18.3.[19]94, [leg. POLITZAR]. ZSM.
- GP 6041 ♂ (Spannweite: 6,56 cm), *Neoclanis kuchleri spec. nov.*, HT, Kenya, Südküste, Marenje Forest, 14.2.[19]95, leg.: POLITZAR. ZSM.

Methode der Längenmessung von Einzelstrukturen des ♂-Genitals für die Tabelle 1

Die morphometrische Auswertung des Genitalapparates wurde mit Hilfe der Freeware ImageJ (Rasband, W.S., ImageJ, U. S. National Institutes of Health, Bethesda, Maryland, USA, <https://imagej.nih.gov/ij/>, 1997-2018.) in der Version 1.52a durchgeführt. Die zu untersuchenden Daten wurden als TIFF-Datei eingelesen und mit Hilfe der Software die Skalierung erfaßt und in Pixelgrößen umgesetzt. Damit kann über die Pixelzahl an gemessenen Strecken die Größe von Strukturen genau ermittelt werden (siehe die Abb. 90, 90 a, 90 b, 90 c auf Seite 40). Durch diese Messungen wurden die Längen von Uncus mit einmal dem rechten und einmal dem linken Tegumen (Abb. 90 c), dem Gnathos (Abb. 90 c), der Valve auf Höhe des Scheitels (Abb. 90 a), des Sacculus (Abb. 90 a), des Bulbus aedoeagi sowie die vollständige und die gerade Länge des Aedoeagus bestimmt (Abb. 90 b). Darüber hinaus wurden die Geraden an den beiden „Unterkanten“ des Aedoeagus, die dem Knick folgen, gemessen und deren Winkel zueinander ermittelt (Abb. 90). Zusätzlich wurde aus den genannten Messungen der Quotient aus Längen der Valve und des Sacculus sowie der Krümmungsindex aus der vollständigen und der geraden Länge des Aedoeagus berechnet. Die Daten wurden tabellarisch erfaßt und die Berechnungen in MS Excel durchgeführt. Nach der vollständigen Datenerfassung erfolgte über die GP-Nummern die taxonomische Zuordnung (siehe Tabelle 1 auf der Seite 31).

GP	Artname	Unkus + Tegumen rechts	Unkus + Tegumen links	Gnathos	Valve Scheitel	Sacculus	Verh. Valve/Sacculus	Bulbus aed.	Aeodeagus	Aeodeagus-Gerade	Bulb./Aed.-Ger.	Krümmungsindex	Länge Unterkante	Länge Abknickung	Winkel
5990	<i>virgo</i>	2.411	2.546	1.693	3.237	2.293	1.412	3.741	3.023	2.172	1.238	1.215	2.527	1.433	120,740
5982	<i>schreieri</i>	2.553	2.942	1.866	3.296	2.289	1.440	4.282	3.500	2.627	1.215	1.215	2.527	1.433	120,740
5983	<i>schreieri</i>	2.896	2.720	2.000	3.315	2.133	1.554	4.221	3.462	2.494	1.155	1.219	3.462	1.549	110,899
5999	<i>schreieri</i>	2.437	2.251	1.847	3.172	2.128	1.491	4.418	3.491	2.450	1.266	1.193	2.450	1.596	115,314
6000	<i>schreieri</i>	2.179	2.165	1.780	3.368	2.272	1.482	4.397	3.090	2.095	1.193	1.230	2.095	1.364	113,036
5977	<i>basalis</i>	2.513	2.578	1.744	3.510	2.133	1.646	4.329	3.520	2.265	1.230	1.230	2.265	1.628	114,508
5993	<i>pseudobasalis</i>	2.721	2.745	2.057	3.406	2.164	1.574	4.264	3.481	2.225	1.222	1.222	2.225	1.552	117,580
5992	<i>heckeri</i>	2.619	2.638	1.991	2.948	2.028	1.454	4.585	3.511	2.451	1.306	1.306	2.451	1.893	99,963
5985	<i>tsumeb</i>	2.444	2.520	1.615	2.909	1.892	1.538	4.127	3.310	2.783	1.247	1.247	2.783	1.574	108,060
5994	<i>tsumeb</i>	2.565	2.520	1.973	3.235	2.101	1.540	4.170	3.267	2.363	1.276	1.276	2.363	1.638	105,761
5995	<i>weingeri</i>	2.538	2.565	1.875	3.055	1.927	1.585	4.181	3.311	2.396	1.263	1.263	2.396	1.519	105,914
5978	<i>oberprieleri</i>	2.735	2.811	1.698	3.141	2.226	1.411	4.291	3.294	2.246	1.209	1.209	2.246	1.459	116,511
5974	<i>hogani</i>	2.639	2.738	1.799	3.647	2.962	1.231	4.611	3.687	2.401	1.251	1.251	2.401	1.901	111,680
6013	<i>giustii</i>	2.387	2.466	1.956	3.782	3.245	1.165	4.410	3.551	2.393	1.282	1.282	2.393	2.028	102,350
6012	<i>dargeli</i>	2.705	2.654	1.945	3.740	3.017	1.240	5.033	4.277	2.418	1.276	1.276	2.418	1.506	109,412
5987	<i>iringaensis</i>	2.781	2.883	2.543	4.086	3.378	1.210	4.240	4.525	2.441	1.281	1.281	2.441	1.767	105,168
5988	<i>oatesonum</i>	2.937	3.082	1.776	3.893	3.232	1.205	4.733	3.617	2.758	1.309	1.309	2.758	1.754	98,996
5973	<i>morogoroensis</i>	2.503	2.334	1.872	3.079	2.246	1.371	4.041	3.344	2.161	1.208	1.208	2.161	1.483	125,304
5976	<i>morogoroensis</i>	2.694	2.745	1.617	3.017	2.137	1.412	4.424	3.648	2.194	1.212	1.212	2.194	1.425	104,142
5986	<i>usambaraensis</i>	2.764	2.712	1.900	3.177	2.268	1.401	4.453	4.344	2.246	1.216	1.216	2.246	1.737	113,806
5991	<i>nicolae</i>	2.455	2.699	1.675	3.496	2.460	1.421	4.288	4.095	2.346	1.226	1.226	2.346	1.506	111,492
5997	<i>haendeli</i>	2.405	2.452	1.996	3.436	2.519	1.364	4.549	3.533	2.303	1.280	1.280	2.303	2.032	99,525
6011	<i>kleineri</i>	2.266	2.206	1.665	3.385	2.460	1.368	5.626	4.137	2.371	1.178	1.178	2.371	1.482	120,802
6002	<i>kingstoni</i>	2.221	2.245	1.721	3.280	2.350	1.396	4.423	3.601	2.573	1.228	1.228	2.573	1.644	112,114
6003	<i>kingstoni</i>	2.450	2.530	1.691	3.282	2.313	1.406	4.523	4.010	2.232	1.282	1.282	2.232	1.522	102,818
6004	<i>kingstoni</i>	2.222	2.299	1.975	3.506	2.438	1.438	3.668	3.917	2.143	1.143	1.143	1.998	1.650	107,566
6006	<i>melichari</i>	2.358	2.704	1.754	3.140	2.256	1.392	4.175	3.956	2.362	1.152	1.152	2.362	1.495	118,292
5996	<i>politziari</i>	2.672	2.651	2.088	3.644	2.947	1.237	2.517	3.393	2.139	1.263	1.263	2.139	1.116	103,982
6019	<i>politziari</i>	2.713	2.706	1.926	3.781	2.853	1.325	2.660	3.081	2.123	1.247	1.247	2.123	0.897	98,455
6020	<i>politziari</i>	2.530	2.588	1.944	3.320	2.528	1.313	2.215	2.824	1.899	1.271	1.271	1.899	1.440	99,947
6021	<i>politziari</i>	2.564	2.664	1.899	3.130	2.547	1.229	1.998	3.284	1.805	1.297	1.297	1.805	1.197	99,951
6022	<i>politziari</i>	2.686	2.878	2.131	3.649	2.727	1.338	2.354	2.899	2.052	1.257	1.257	2.052	1.322	105,299
6023	<i>politziari</i>	2.807	2.817	1.781	3.545	2.788	1.272	2.571	3.723	2.171	1.348	1.348	2.171	1.181	102,594
6024	<i>politziari</i>	2.536	2.596	1.887	3.285	2.549	1.289	2.803	3.614	2.056	1.312	1.312	2.056	1.255	94,262
6025	<i>politziari</i>	2.563	2.624	1.883	3.485	2.618	1.331	2.640	3.681	2.098	1.278	1.278	2.098	1.255	104,422
6026	<i>ukambaniensis</i>	2.498	2.523	1.977	3.253	2.536	1.283	2.490	3.729	2.990	0.833	1.247	2.178	1.196	108,364
6031	<i>ukambaniensis</i>	2.594	2.712	1.938	3.599	2.912	1.236	2.497	2.832	2.253	1.327	1.327	2.253	1.302	94,737
6032	<i>ukambaniensis</i>	2.554	2.638	1.917	3.293	2.576	1.278	2.475	3.427	2.118	1.314	1.314	2.118	1.308	93,681
6036	<i>ukambaniensis</i>	2.842	2.854	2.216	3.812	3.036	1.256	1.911	3.723	2.608	1.359	1.359	2.608	1.442	96,745
6037	<i>ukambaniensis</i>	2.717	2.739	2.126	3.641	3.007	1.211	2.873	3.435	2.555	1.344	1.344	2.555	1.505	97,246
6028	<i>witti</i>	2.604	2.819	1.662	3.361	2.405	1.398	4.015	3.710	2.022	1.222	1.222	2.022	1.425	109,367
6029	<i>witti</i>	2.723	2.737	1.754	3.201	2.565	1.248	4.172	4.145	2.404	1.233	1.233	2.404	1.708	105,662
6030	<i>witti</i>	2.640	2.610	1.688	3.593	2.447	1.468	4.521	4.103	2.475	1.208	1.208	2.475	1.286	111,846
6041	<i>kuchleri</i>	2.544	2.584	1.448	2.885	1.942	1.486	4.084	3.611	1.851	1.318	1.318	1.851	1.623	97,019
5975	<i>reynurphyi</i>	2.253	2.165	1.800	3.132	2.221	1.410	3.986	3.173	2.359	1.150	1.150	2.359	1.281	116,229

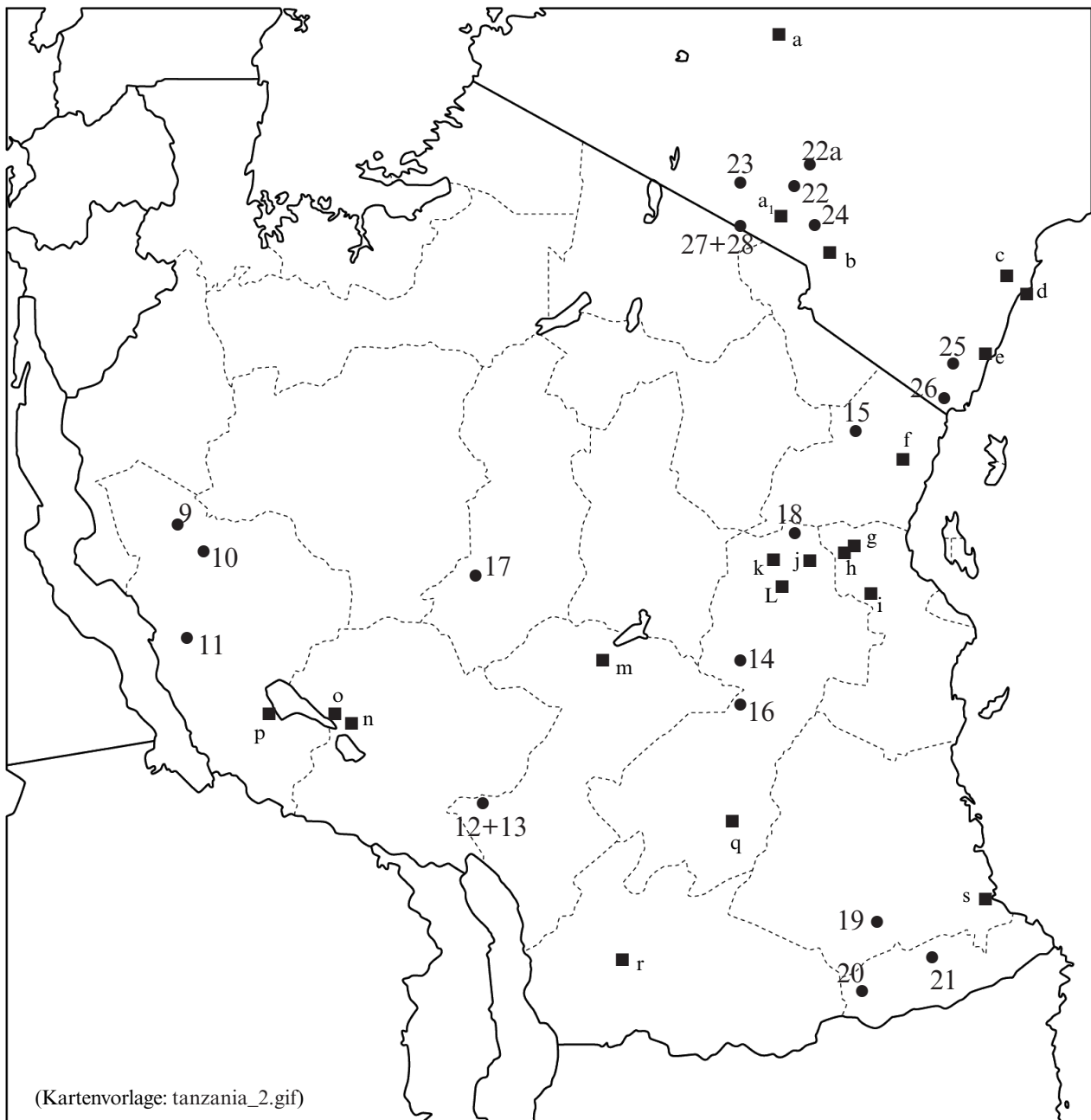
Tabelle 1: Größenwerte der ♂♂-Genitalien aller untersuchten *Neoclamis*-Arten



Verbreitungskarte 1 (Kartenvorlage: africa_e_continental_2.gif): Die Lage der Fundorte der bisher bekannten und neu beschriebenen *Neoclanis*-Arten (●) sowie der in der Literatur erwähnten Fundorte von Populationen, deren Artzugehörigkeit in Afrika, südlich des Äquators ungeklärt ist (■):

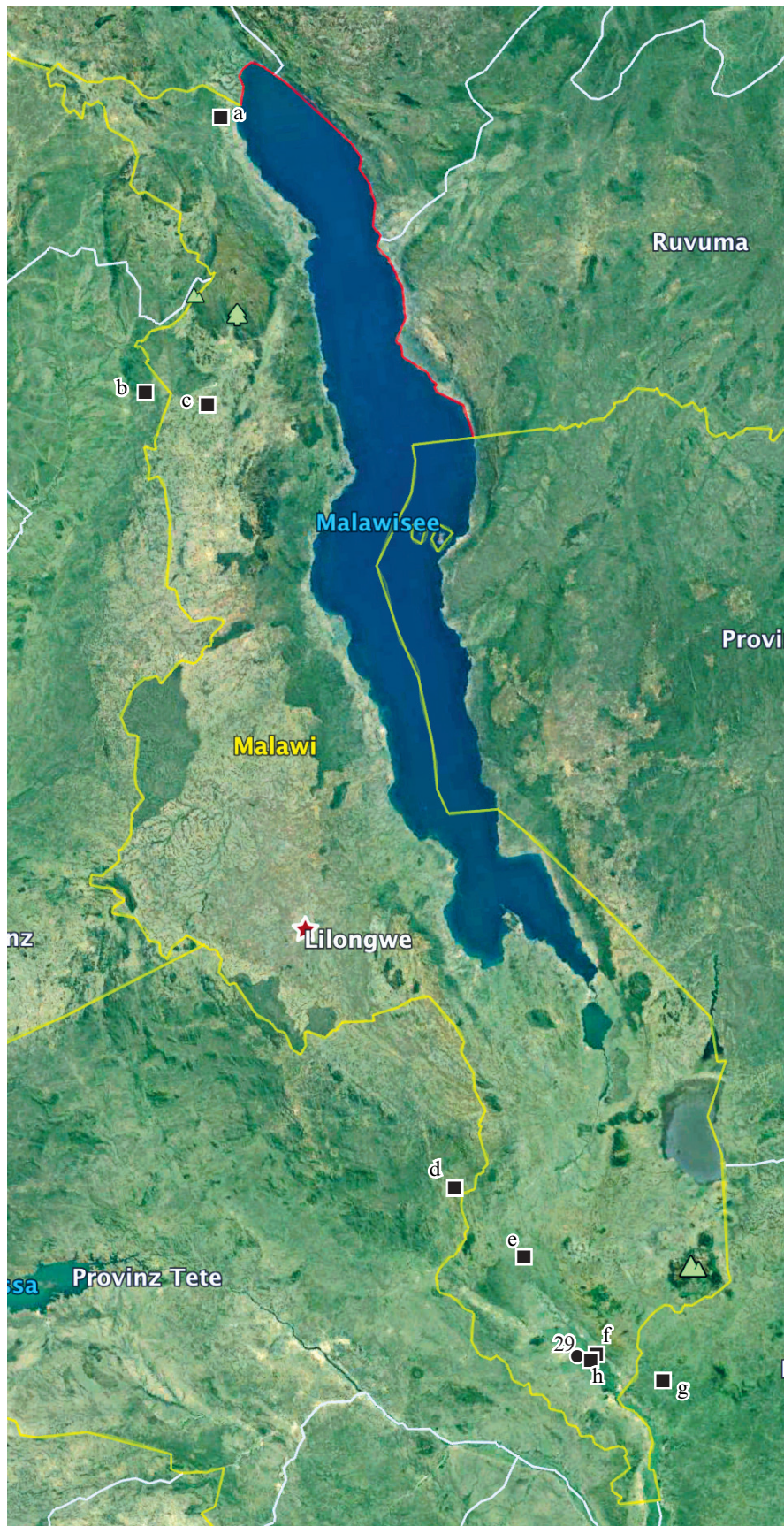
- 1: *Neoclanis basalis* (WALKER, 1866) - GP 5977 ♂ NT.
- 1a: *Neoclanis pseudobasalis* spec. nov., GP 5993 ♂ HT.
- 2: *Neoclanis virgo* (WESTWOOD, 1881), GP 5990 ♂ HT.
- 3: *Neoclanis schreieri* spec. nov., GP 6000 ♂ HT.
- 4: *Neoclanis hackeri* spec. nov., GP 5992 ♂ HT.
- 5: *Neoclanis murzini* spec. nov., GP 6001 ♀ HT.
- 6: *Neoclanis tsumeb* spec. nov., GP 5985 ♂ HT.
- 7: *Neoclanis weningeri* spec. nov., GP 5995 ♂ HT.
- 8: *Neoclanis oberprieleri* spec. nov., GP 5978 ♂ HT.
- 29: *Neoclanis raymurphyi* spec. nov., GP 5975 ♂ HT.

- a: Vor Pemba (auf einem Schiff) (TABBERT, 2000).
- b: Kaporo (MELICHAR & ŘEZÁČ, 2013).
- c: Nyika Forest (MELICHAR & ŘEZÁČ, 2013).
- d: 11,117°S, 33,284°E (coll KINGSTON).
- e: 11,23°S, 33,59°E (coll KINGSTON).
- f: Muchinga (MELICHAR & ŘEZÁČ, 2013).
- g: Marije (MELICHAR & ŘEZÁČ, 2013).
- h: Guro (MELICHAR & ŘEZÁČ, 2013).
- i: Bindura (PINHEY, 1962).
- j: Umtali (PINHEY, 1962; STEVENSON, 1938).
- k: Chisumbanje, Rupisi (MELICHAR & ŘEZÁČ, 2013).
- L: Shabani (PINHEY, 1962; STEVENSON, 1938).
- m: Wankie (PINHEY, 1962; STEVENSON, 1938).
- n: Victoria Falls (STEVENSON, 1938; PINHEY, 1962).
- o: Namutoni (HAENDEL, 1998).
- p: Waterberg (HAENDEL, 1998).
- q: Messina, Ludwigsblut (coll. KINGSTON).
- r: Soutpansberg-Region, Medike (coll. KINGSTON).



Verbreitungskarte 2: Die Lage der Fundorte der bisher bekannten und neu beschriebenen *Neoclanis*-Arten (●) sowie der in der Literatur erwähnten Fundorte von Populationen, deren Artzugehörigkeit ungeklärt ist (■) aus Kenia und Tansania:

- | | |
|--|---|
| 9: <i>Neoclanis hogani</i> spec. nov., GP 5974 ♂ HT. | a: Mbondoni, Near Mwingi, 0,58047°S, 37,58917°E (coll. KINGSTON, i.l.). |
| 10: <i>Neoclanis giustii</i> spec. nov., GP 6013 ♂ HT. | a.: Machakos Area (Kioko, 2016: 69). |
| 11: <i>Neoclanis dargei</i> spec. nov., GP 6012 ♂ HT. | b: Mtito Andei (CARCASSON, 1968). |
| 12: <i>Neoclanis oatesorum</i> spec. nov., GP 5998 ♂ HT. | c: Witu/Garsen (MELICHAR & ŘEZÁČ, 2013). |
| 13: <i>Neoclanis iringaensis</i> spec. nov., GP 5987 ♂ HT. | d: Kipini (MELICHAR & ŘEZÁČ, 2013). |
| 14: <i>Neoclanis morogoroensis</i> spec. nov., GP 5973 ♂ HT. | e: Kilifi (CARCASSON, 1968). |
| 15: <i>Neoclanis usambaraensis</i> spec. nov., GP 5986 ♂ HT. | f: Mlingano (CARCASSON, 1968). |
| 16: <i>Neoclanis nicolae</i> spec. nov., GP 5991 ♂ HT. | g: Mabuk Village (MELICHAR & ŘEZÁČ, 2013). |
| 17: <i>Neoclanis kleineri</i> spec. nov., GP 5997 ♂ HT. | h: Pwani Region, savanne de Mandera (MELICHAR & ŘEZÁČ, 2013). |
| 18: <i>Neoclanis kleineri</i> spec. nov., GP 6011 ♂ HT. | i: Mikesse Hills (DARGE, 2012). |
| 19: <i>Neoclanis kingstoni</i> spec. nov., GP 6004 ♂ HT. | j: Morogoro (DARGE, 2012). |
| 20: <i>Neoclanis melichari</i> spec. nov., GP 6006 ♂ HT. | k: Kombora Forest, Nguru (DARGE, 2012). |
| 21: <i>Neoclanis michali</i> spec. nov., GP 5989 ♀ HT. | L: Morogoro Town, 6,5027°S, 37,405°E (coll KINGSTON, i.l.). |
| 22: <i>Neoclanis similis</i> MELICHAR & ŘEZÁČ, 2013, HT ♂. | m: Ruaha Nat. Park, Tandala Camp. (MELICHAR & ŘEZÁČ, 2013). |
| 22a: <i>Neoclanis similis</i> MELICHAR & ŘEZÁČ, 2013, PT ♀. | n: Chimala Escarpement (MELICHAR & ŘEZÁČ, 2013). |
| 23: <i>Neoclanis ukambaniensis</i> spec. nov., GP 6037 ♂ HT. | o: Saza (CARCASSON, 1968). |
| 24: <i>Neoclanis politzari</i> spec. nov., GP 5996 ♂ HT. | p: Rukwa Valley (PINHEY, 1962), Rukwa See (CARCASSON, 1968, Taf. 13: 5 - ♀-Genital) |
| 25: <i>Neoclanis witti</i> spec. nov., GP 6028 ♂ HT. | q: Ilonga (CARCASSON, 1968, Taf. 12: 1 - ♂-Genital). |
| 26: <i>Neoclanis kuchleri</i> spec. nov., GP 6041 ♂ HT. | r: Songea (CARCASSON, 1968). |
| 27: <i>Neoclanis namanga</i> spec. nov., GP 6039 ♀ HT. | s: Lindi Town (CARCASSON, 1968). |
| 28: <i>Neoclanis pseudopolitzari</i> , GP 6040 ♀ HT. | |



Verbreitungskarte 3: Die Lage der Fundorte der bisher bekannten und neu beschriebenen *Neoclanis*-Arten (●) sowie der mitgeteilten Fundorte von Populationen, deren Artzugehörigkeit ungeklärt ist (■) in Malawi (Kartenvorlage: Google Earth):

29: *Neoclanis raymurphyi* spec. nov., GP 5975 ♂ HT.

a: Kaporo (MELICHAR & REZÁČ, 2013)

b: 11,117°S, 33,284°E (MURPHY, i.l.).

c: 11,23°S, 33,59°E (MURPHY, i.l.).

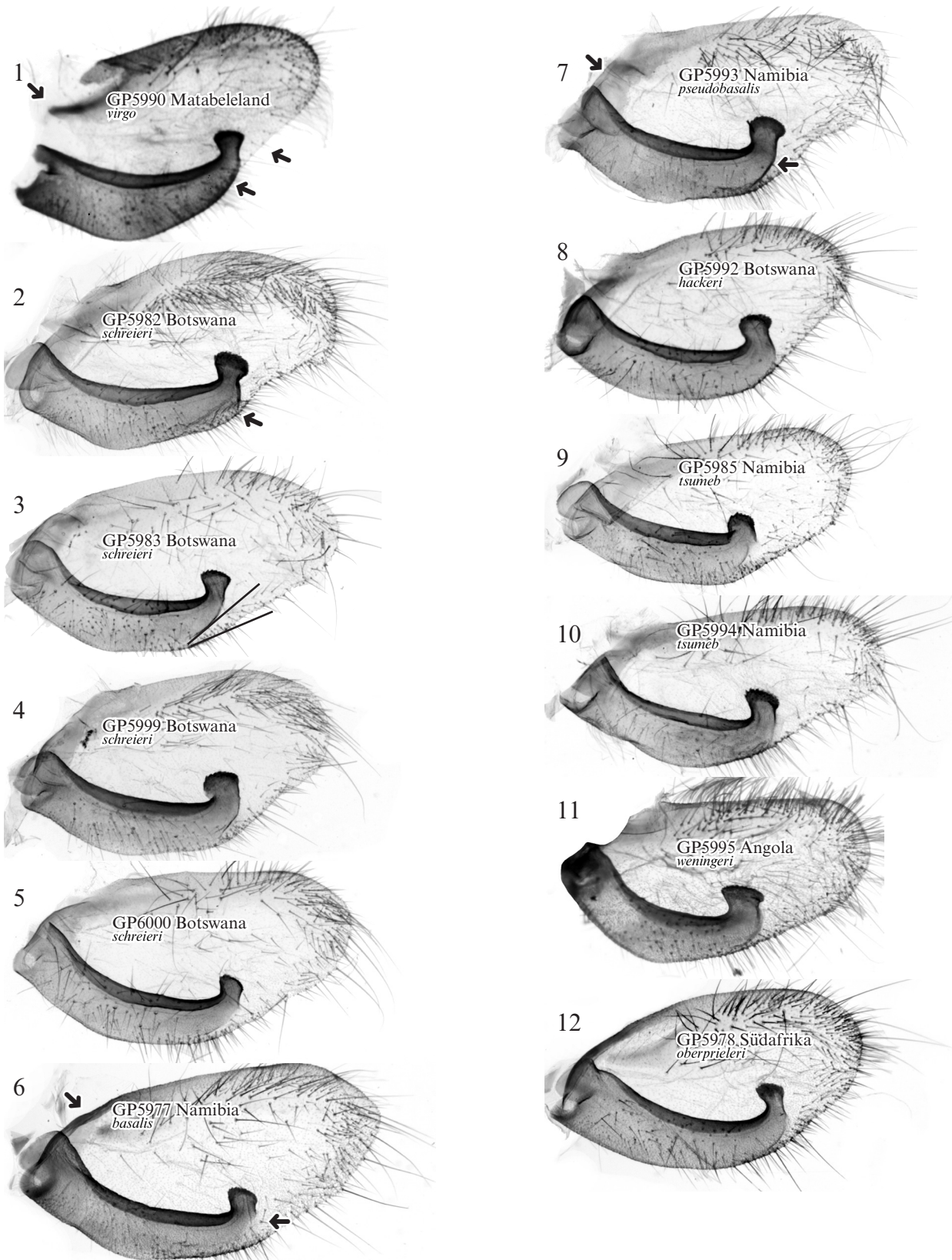
d: 15,42°S, 34,425°E (MURPHY, i.l.).

e: Mpatamanga Forest Res., 15,42° S, 34,425°E (KINGSTON, i.l.).

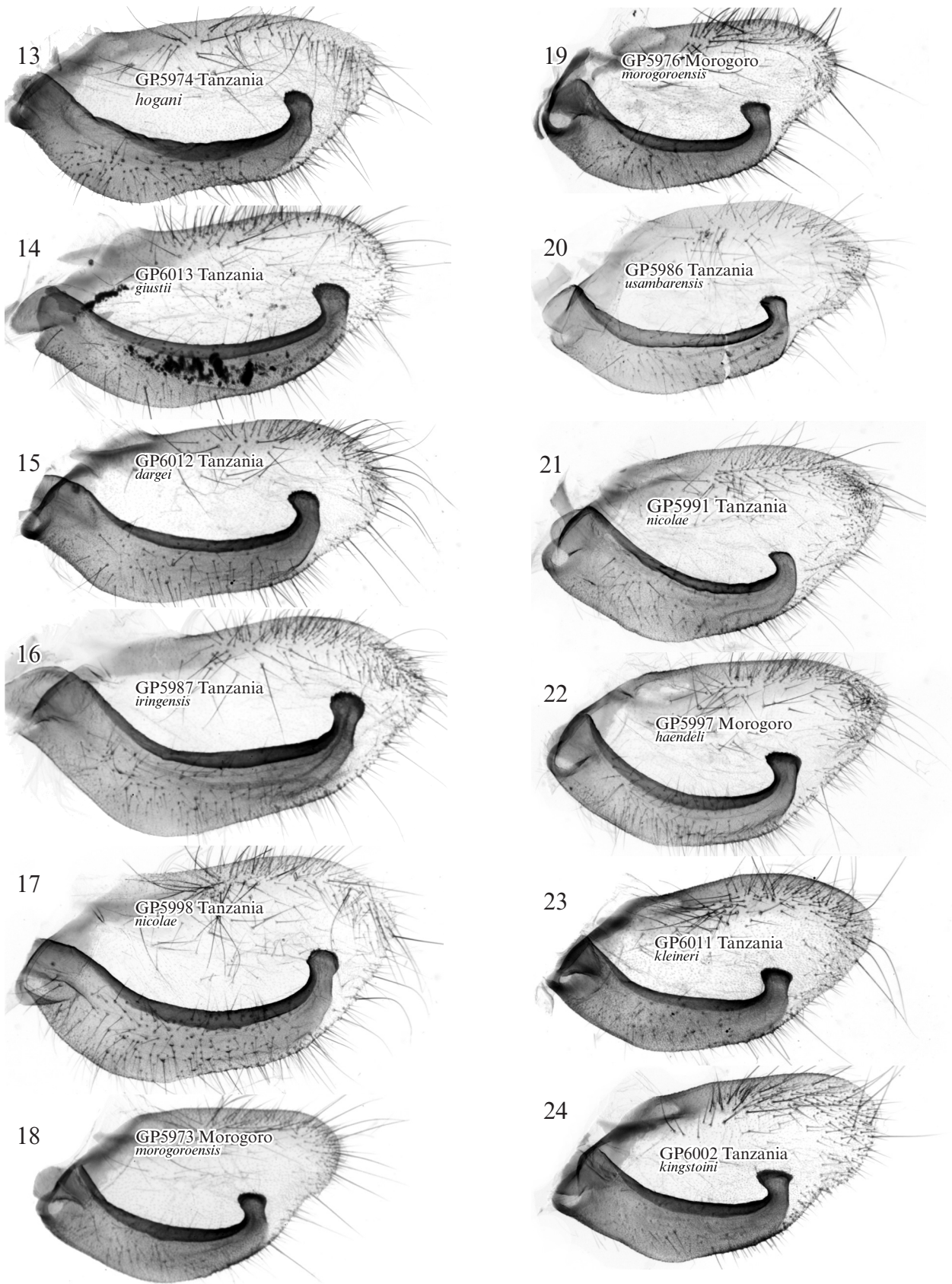
f: 16,36°S, 35,05°E (MURPHY, i.l.).

g: 16,52°S, 35,40°E (MURPHY, i.l.).

h: 16,39°S, 35,03°E (MURPHY, i.l.).



- Abb. 1: *Neoclanis virgo* (WESTWOOD, 1881) stat. rev., GP 5990 ♂, HT von *Choerocampa virgo* WESTWOOD, 1881. OUMNH.
- Abb. 2: *Neoclanis schreieri* spec. nov., PT, GP 5982 ♂ (Spannweite: 6,76 cm), /8, Botswana, Chobe Distr., 17°49'S, 25°13'E, SSE Kasane, 2 km W Leshoma, Kasane Forest Res., 1000 m, 24.II.2006, Li/LiFa, leg. H. HACKER, H.-P. SCHREIER. EMEM.
- Abb. 3: *Neoclanis schreieri* spec. nov., PT, GP 5983 ♂ (Spannweite: 6,96 cm), 8, Botswana, Chobe Distr., 17°49'S, 25°13'E, SSE Kasane, 2 km W Leshoma, Kasane Forest Res., 1000 m, 24.II.2006, Li/LiFa, leg. H. HACKER, H.-P. SCHREIER. EMEM.
- Abb. 4: *Neoclanis schreieri* spec. nov., PT, GP 5999 ♂ (Spannweite: 7,18 cm), 8, Botswana, Chobe Distr., 17°49'S, 25°13'E, SSE Kasane, 2 km W Leshoma, Kasane Forest Res., 1000 m, 24.II.2006, Li/LiFa, leg. H. HACKER, H.-P. SCHREIER. EMEM.
- Abb. 5: *Neoclanis schreieri* spec. nov., HT, GP 6000 ♂ (Spannweite: 6,83 cm), 8, Botswana, Chobe Distr., 17°49'S, 25°13'E, SSE Kasane, 2 km W Leshoma, Kasane Forest Res., 1000 m, 24.II.2006, Li/LiFa, leg. H. HACKER, H.-P. SCHREIER. EMEM.
- Abb. 6: *Neoclanis basalis* (WALKER, 1866), NT ♂, GP 5977 ♂ (Spannweite: 7,17 cm), 10 Namibia, 17°53'S 24°34'E, E Caprivi District, 15 km NW Ngoma, 930 m, 26.II.2006, Li/LiFa, leg. H. HACKER, H.-P. SCHREIER. EMEM.
- Abb. 7: *Neoclanis pseudobasalis* spec. nov., HT, GP 5993 ♂ (Spannweite: 7,07 cm), 10 Namibia, 17°53'S 24°34'E, E Caprivi District, 15 km NW Ngoma, 930 m, 26.II.2006, Li/LiFa, leg. H. HACKER, H.-P. SCHREIER. EMEM.
- Abb. 8: *Neoclanis hackeri* spec. nov., HT, GP 5992 ♂ (Spannweite: 6,78 cm), /8, Botswana, Central Distr., 19°39'S, 26°05'E, 60 km N Nata, Elephant Sands Camp, 950 m, 21.II.2006, Li/LiFa, leg. H. HACKER, H.-P. SCHREIER/ex coll. HACKER & SCHREIER in EMEM, 16.I.2017, Entomol. Museum Eitschberger, Marktleuthen/. EMEM.
- Abb. 9: *Neoclanis tsumeb* spec. nov., HT, GP 5985 ♂ (Spannweite: 6,65 cm), /Tsumeb, D. S. W. Afr. [Deutsch Südwestafrika]/Sammlung GEHLEN/. ZSM.
- Abb. 10: *Neoclanis tsumeb* spec. nov., PT, GP 5994 ♂ (Spannweite: 6,82 cm), /Tsumeb, S. W. Afr. [Deutsch Südwestafrika]/Sammlung GEHLEN/. ZSM.
- Abb. 11: *Neoclanis weningeri* spec. nov., HT, GP 5995 ♂ (Spannweite: 7,24 cm), Angola, Prov. Huila, Caluquembe-Huambo, Caconda, s 13°46'4", E 015°00', 10.11.2012, 1610 m, coll. STRÖHLE, leg. M. WENINGER. EMEM.
- Abb. 12: *Neoclanis oberprieleri* spec. nov., HT, GP 5978 ♂ (Spannweite: 6,43 cm), /South Africa, TVL, Kruger Nat. Park, Pafuri, Bobomene research camp, 22.26S 31.12E, 250 m, 03.II.1994, R. OBERPRIELER//*Neoclanis basalis* (Walker, 1866), det. R. Oberprieler 1994, collection R. OBERPRIELER/. EMEM.



- Abb. 13: *Neoclanis hogani* spec. nov., HT, GP 5974 ♂ (Spannweite: 7,26 cm), Tanzania, Rukwa Region, nord de Mpanda, Vikonge, 06°03.172'S; 030°56.258'E, 1334 m, 26-II-2012, (Ph. DARGE). EMEM.
- Abb. 14: *Neoclanis giustii* spec. nov., HT, GP 6013 ♂ (Spannweite: 7,15 cm), Tanzania, Katavi Region, Mtisi Village near Sitalike, 1081 m, 06°28.226'S, 031°07.135'E, 09-XII-2012, (Ph. DARGE). EMEM.
- Abb. 15: *Neoclanis dargei* spec. nov., HT, GP 6012 ♂ (Spannweite: 7,04 cm), Tanzania, Rukwa Region, Rukwa Escarpment, 1092 m, 07°05.913'S; 031°08.4844'E, 01-II-2008, (Ph. DARGE). EMEM.
- Abb. 16: *Neoclanis iringaensis* spec. nov., HT, GP 5987 ♂ (Spannweite: 8 cm), Tanzania, Iringa Region, Mpanga Game Reserve, Usalimbwani, 1225 m, 08°55.195'S, 34°07.105'E, 15.I.2010, PHILIPPE DARGE leg., EMEM, 16.X.2017. EMEM.
- Abb. 17: *Neoclanis oatesorum* spec. nov., HT, GP 5998 ♂ (Spannweite: 8,05 cm), Tanzania: Iringa Region, Mpanga Game Reserve, Usalimbwani, 08°55.195'S, 037°20.709'E, 11-II-2005, (Ph. DARGE). EMEM.
- Abb. 18: *Neoclanis morogoroensis* spec. nov., HT, GP 5973 ♂ (Spannweite: 7,17 cm), *Neoclanis*, 7 Tanzania, Morogoro: 1 km E Mikumi, savanna, 5.III.2003, 550 m, leg. M. FIBIGER, H. HACKER, K. LARSEN, H.-P. SCHREIER. EMEM.
- Abb. 19: *Neoclanis morogoroensis* spec. nov., PT, GP 5976 ♂ (Spannweite: 6,86 cm), 7 Tanzania, Morogoro: 1 km E Mikumi, savanna, 5.III.2003, 550 m, leg. M. FIBIGER, H. HACKER, K. LARSEN, H.-P. SCHREIER. EMEM.
- Abb. 20: *Neoclanis usambarensis* spec. nov., HT, GP 5986 ♂ (Spannweite: 7,24 cm), Tanzania: Tanga region, W. Usambara Mts., Irente view Point, 1376 m, 04°47.87'S, 038°16.235'E, 26-XI-2008, (Ph. DARGE). EMEM.
- Abb. 21: *Neoclanis nicolae* spec. nov., HT, GP 5991 ♂ (Spannweite: 7,5 cm), Tanzania, Iringa Region, Udzungwa National Park, Camp 2, 400 m, 15.-31.I.2005, PHILIPPE DARGE leg., EMEM, 18.X.2017. EMEM.
- Abb. 22: *Neoclanis haendeli* spec. nov., HT, GP 5997 ♂ (Spannweite: 7,42 cm), Tanzania: Morogoro Region, West Nguru Mts., Makuyu, 566 m, 06°17.002'S, 034°07.105'E, 15-I-2010, (Ph. DARGE). EMEM.
- Abb. 23: *Neoclanis kleineri* spec. nov., HT, GP 6011 ♂ (Spannweite: 7,05 cm), Tanzania: Morogoro Region, West Nguru Mts., 2000 m, 4-VIII-2015, (local collector), ex coll. Ph. DARGE). EMEM.
- Abb. 24: *Neoclanis kingstoni* spec. nov., PT, GP 6002 ♂ (Spannweite: 6,87 cm), Tanzania: Lindi Region, Mtokokuyana, 362 m, 10°23.038'S, 038°53.775'E., 22-XII-2009, (Ph. DARGE). EMEM.

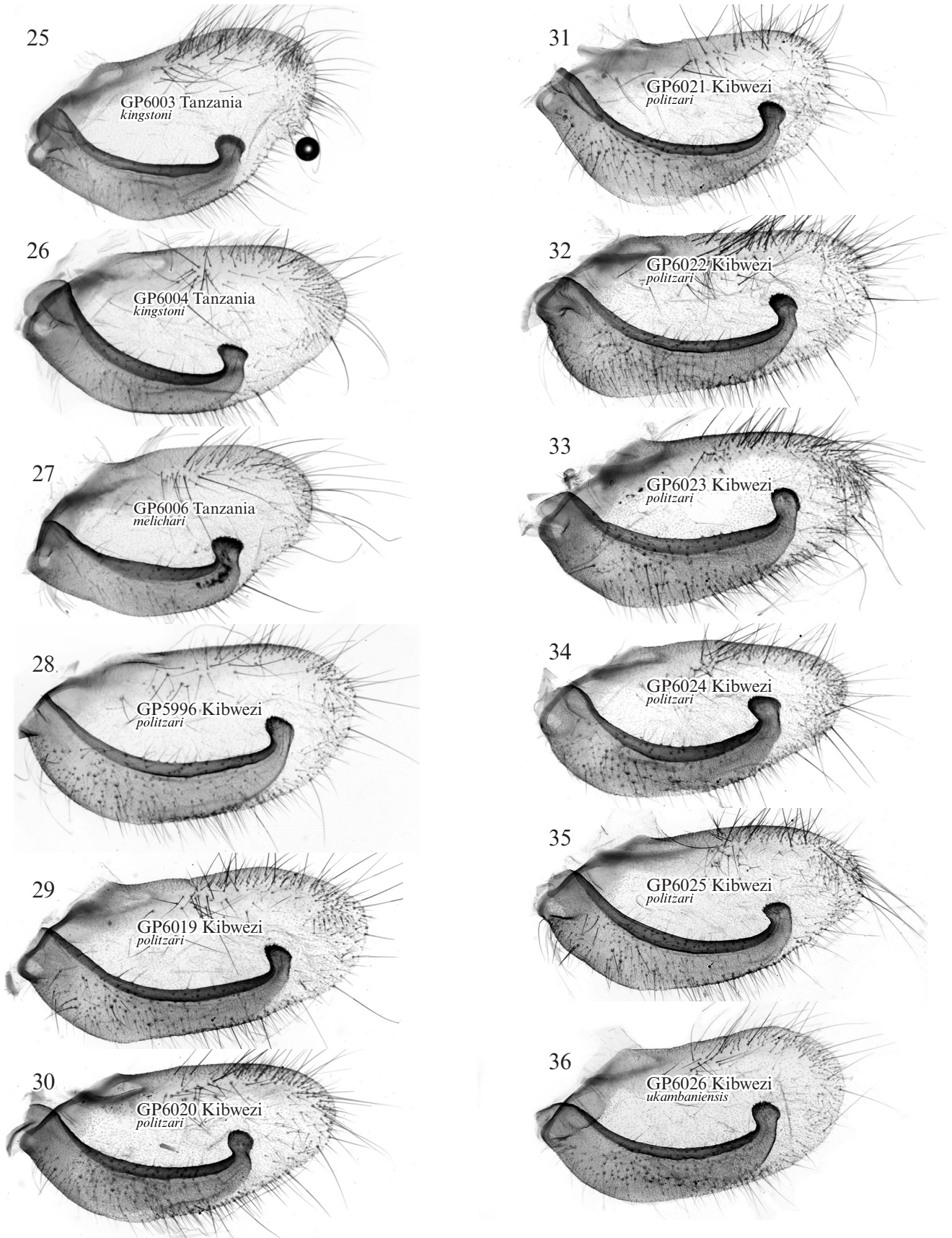
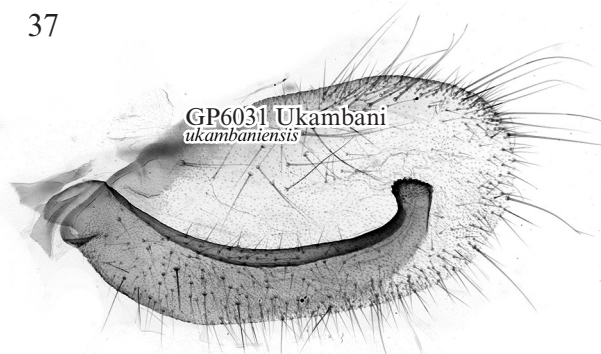
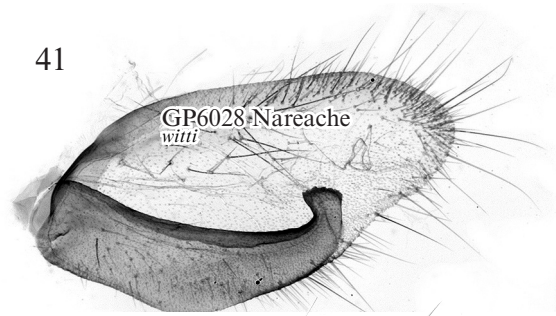


Abb. 25: *Neoclanis kingstoni* spec. nov., HT, GP 6003 ♂ (Spannweite: 7,53 cm), Tanzania: Lindi Region, Mtokokuyana, 362 m, 10°23.038'S., 038°53.775'E., 22-XII-2009, (Ph. DARGE). EMEM.
 Abb. 26: *Neoclanis kingstoni* spec. nov., PT, GP 6004 ♂ (Spannweite: 6,92 cm), Tanzania: Lindi Region, Mtokokuyana, 362 m, 10°23.038'S., 038°53.775'E., 22-XII-2009, (Ph. DARGE). EMEM.
 Abb. 27: *Neoclanis melichari* spec. nov., HT, GP 6006 ♂ (Spannweite: 7,74 cm), Tanzania: Mtwara Region, Lumesule, 10°54.792'S., 038°02.393'E., 364 m, 23-XII-2009, (Ph. DARGE). EMEM.
 Abb. 28: *Neoclanis politzari* spec. nov., HT, GP 5996 ♂ (Spannweite: 7,67 cm), Kenya, Kibwezi, 20-31.5.1994, leg. Dr. POLITZAR. EMEM.
 Abb. 29: *Neoclanis politzari* spec. nov., PT, GP 6019 ♂ (Spannweite: ca. 7,63 cm), Kenya, Kibwezi, 8.-14.5.1995, leg. Dr. POLITZAR. ZSM.
 Abb. 30: *Neoclanis politzari* spec. nov., PT, GP 6020 ♂ (Spannweite: 7,86 cm), Kenya, Kibwezi, 20-31.5.1994, leg. Dr. POLITZAR. ZSM.
 Abb. 31: *Neoclanis politzari* spec. nov., PT, GP 6021 ♂ (Spannweite: 7,63 cm), Kenya, Kibwezi, 20-31.5.1994, leg. Dr. POLITZAR. ZSM.
 Abb. 32: *Neoclanis politzari* spec. nov., PT, GP 6022 ♂ (Spannweite: 7,98 cm), Kenya, Kibwezi, 20-31.5.1994, leg. Dr. POLITZAR. ZSM.
 Abb. 33: *Neoclanis politzari* spec. nov., HT, GP 6023 ♂ (Spannweite: 7,74 cm), Kenya, Kibwezi, 20-31.5.1994, leg. Dr. POLITZAR. ZSM.
 Abb. 34: *Neoclanis politzari* spec. nov., PT, GP 6024 ♂ (Spannweite: 7,86 cm), Kenya, Kibwezi, 20-31.5.1994, leg. Dr. POLITZAR. ZSM.
 Abb. 35: *Neoclanis politzari* spec. nov., PT, GP 6025 ♂ (Spannweite: 7,61 cm), Kenya, Kibwezi, 8.-14.5.1995, leg. Dr. POLITZAR. ZSM.
 Abb. 36: *Neoclanis ukambaniensis* spec. nov., PT, GP 6026 ♂ (Spannweite: 6,97 cm), Kenya, Kibwezi, 700 m, 1.-15.12.2000, leg. Dr. POLITZAR, Museum WITF. ZSM.

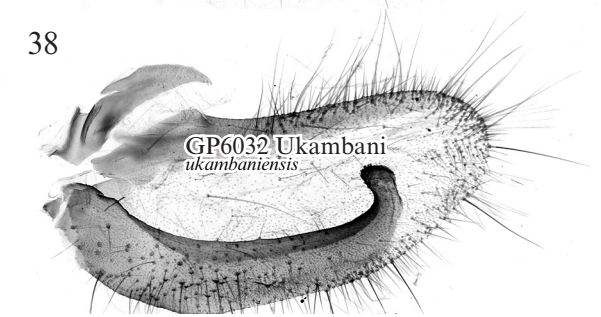
37

GP6031 Ukambani
ukambaniensis

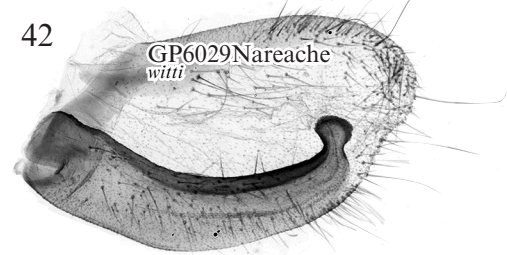
41

GP6028 Nareache
witti

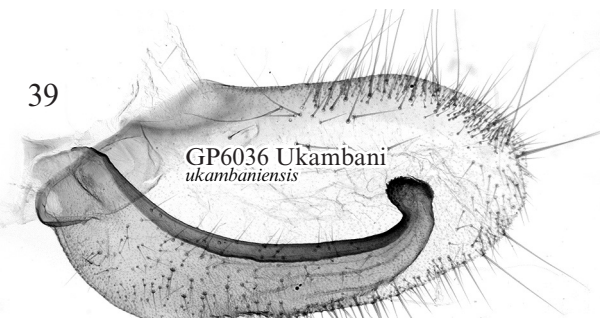
38

GP6032 Ukambani
ukambaniensis

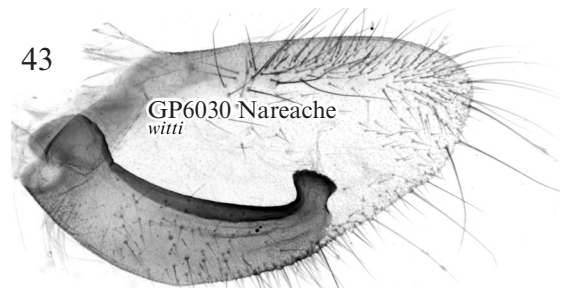
42

GP6029 Nareache
witti

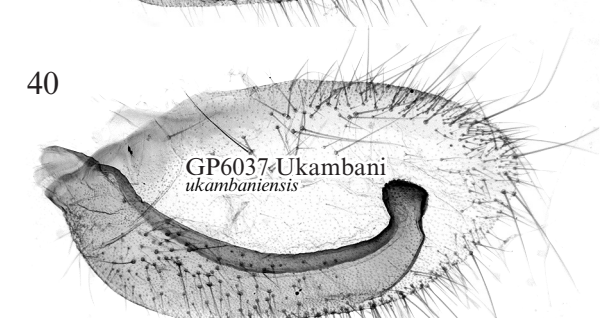
39

GP6036 Ukambani
ukambaniensis

43

GP6030 Nareache
witti

40

GP6037 Ukambani
ukambaniensis

44

GP6041 Marenje
kuchleri

45

GP5975 Malawi
raymurphyi

Abb. 37: *Neoclanis ukambaniensis* spec. nov., PT, GP 6031 ♂ (Spannweite: 6,82 cm), Kenya, South Ukambani, near Kibwezi, 20-27.XI.1994 Lf., leg. Dr. POLITZAR, Museum WITT. ZSM.

Abb. 38: *Neoclanis ukambaniensis* spec. nov., PT, GP 6032 ♂ (Spannweite: 6,88 cm), Kenya, South Ukambani, near Kibwezi, 20-27.XI.1994 Lf., leg. Dr. POLITZAR, Museum WITT. ZSM.

Abb. 39: *Neoclanis ukambaniensis* spec. nov., PT, GP 6036 ♂ (Spannweite: 7,91 cm), N[Kenya] Süd-Ukambani, 28.5.-1.6.1995, leg. Dr. POLITZAR. ZSM.

Abb. 40: *Neoclanis ukambaniensis* spec. nov., GP 6037 ♂ (Spannweite: 7,91 cm), [Kenya] Süd-Ukambani, 28.5.-1.6.1995, leg. Dr. POLITZAR. ZSM.

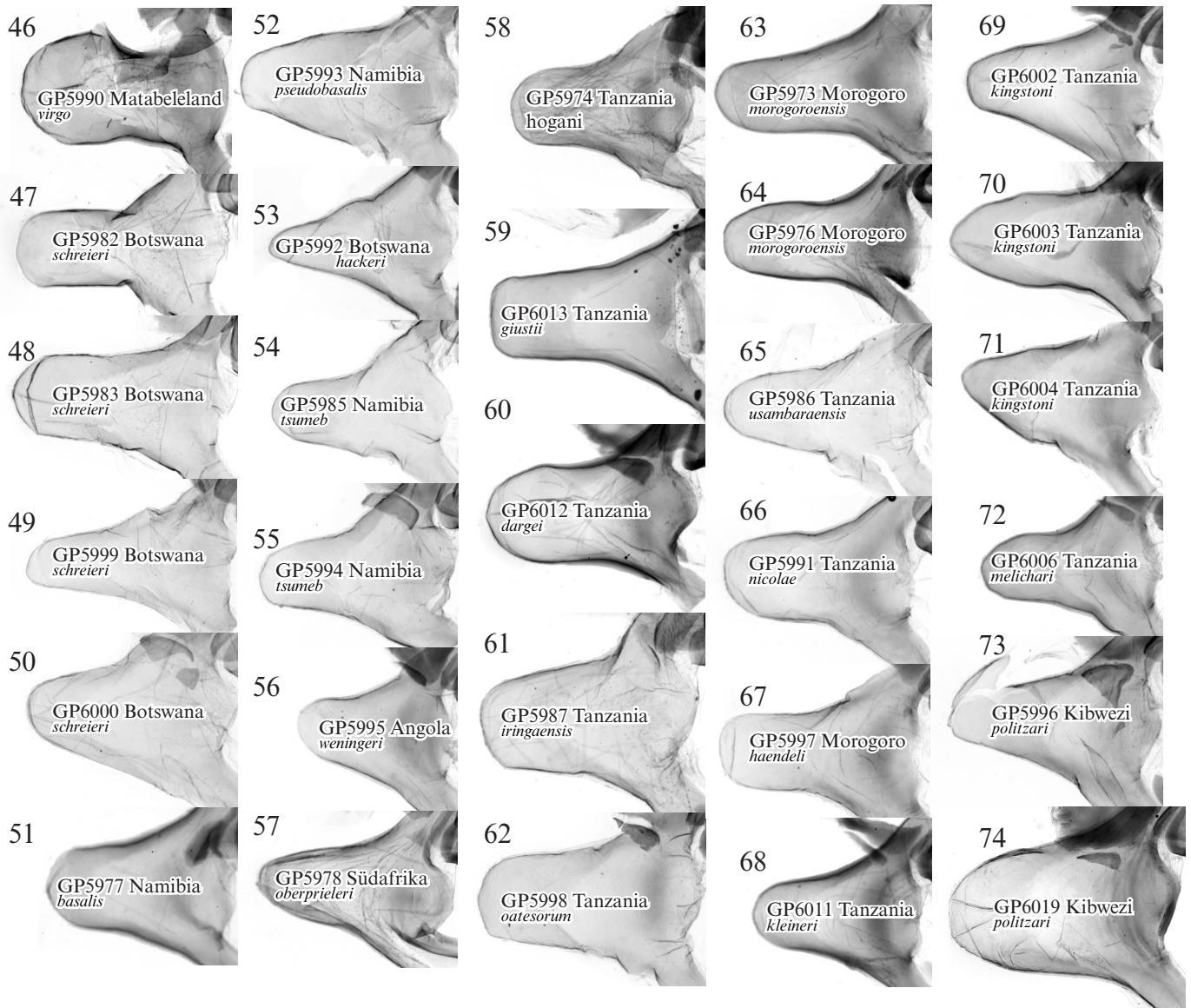
Abb. 41: *Neoclanis witti* spec. nov., HT, GP 6028 ♂ (Spannweite: 6,79 cm), Kenya, South Coast, Nareache Forest, 13.9.[19]96, leg.: POLITZAR. ZSM.

Abb. 42: *Neoclanis witti* spec. nov., PT, GP 6029 ♂ (Spannweite: 6,63 cm), Kenya, South Coast, Nareache Forest, 13.9.[19]96, leg.: POLITZAR. ZSM.

Abb. 43: *Neoclanis witti* spec. nov., PT, GP 6030 ♂ (Spannweite: 7,63 cm), Kenya, South Coast, Nareache Forest, 27.10.[20]00, leg.: POLITZAR. ZSM.

Abb. 44: *Neoclanis kuchleri* spec. nov., HT, GP 6041 ♂ (Spannweite: 6,56 cm), Kenya, Südküste, Marenje Forest, 14.2.[19]95, leg.: POLITZAR. ZSM.

Abb. 45: *Neoclanis raymurphyi* spec. nov., HT, GP 5975 ♂ (Spannweite: 6,54 cm), Mwabvigame Reserve, Nsanje Dest., S. Malawi, 135 m, 16°39'S 35°E, 29-30 DEZ [20]15, R. J. MURPHY. EMEM.



- Abb. 46: *Neoclanis virgo* (WESTWOOD, 1881) **stat. rev.** - GP 5990 ♂, HT von *Choerocampa virgo* WESTWOOD, 1881. OUMNH (Oxford University Museum Natural History).
- Abb. 47: *Neoclanis schreieri* **spec. nov.**, PT, GP 5982 ♂ (Spannweite: 6,76 cm), 8, Botswana, Chobe Distr., 17°49'S, 25°13'E, SSE Kasane, 2 km W Leshoma, Kasane Forest Res., 1000 m, 24.II.2006, Li/LiFa, leg. H. HACKER, H.-P. SCHREIER. EMEM.
- Abb. 48: *Neoclanis schreieri* **spec. nov.**, PT, GP 5983 ♂ (Spannweite: 6,96 cm), 8, Botswana, Chobe Distr., 17°49'S, 25°13'E, SSE Kasane, 2 km W Leshoma, Kasane Forest Res., 1000 m, 24.II.2006, Li/LiFa, leg. H. HACKER, H.-P. SCHREIER. EMEM.
- Abb. 49: *Neoclanis schreieri* **spec. nov.**, PT, GP 5999 ♂ (Spannweite: 7,18 cm), 8, Botswana, Chobe Distr., 17°49'S, 25°13'E, SSE Kasane, 2 km W Leshoma, Kasane Forest Res., 1000 m, 24.II.2006, Li/LiFa, leg. H. HACKER, H.-P. SCHREIER. EMEM.
- Abb. 50: *Neoclanis schreieri* **spec. nov.**, HT, GP 6000 ♂ (Spannweite: 6,83 cm), 8, Botswana, Chobe Distr., 17°49'S, 25°13'E, SSE Kasane, 2 km W Leshoma, Kasane Forest Res., 1000 m, 24.II.2006, Li/LiFa, leg. H. HACKER, H.-P. SCHREIER. EMEM.
- Abb. 51: *Neoclanis basalis* (WALKER, 1866), NT ♂, GP 5977 ♂ (Spannweite: 7,17 cm), 10 Namibia, 17°53'S 24°34'E, E Caprivi District, 15 km NW Ngoma, 930 m, 26.II.2006, Li/LiFa, leg. H. HACKER, H.-P. SCHREIER. EMEM.
- Abb. 52: *Neoclanis pseudobasalis* **spec. nov.**, HT, GP 5993 ♂ (Spannweite: 7,07 cm), 10 Namibia, 17°53'S 24°34'E, E Caprivi District, 15 km NW Ngoma, 930 m, 26.II.2006, Li/LiFa, leg. H. HACKER, H.-P. SCHREIER. EMEM.
- Abb. 53: *Neoclanis hackeri* **spec. nov.**, HT, GP 5992 ♂ (Spannweite: 6,78 cm), 8, Botswana, Central Distr., 19°39'S, 26°05'E, 60 km N Nata, Elephant Sands Camp, 950 m, 21.II.2006, Li/LiFa, leg. H. HACKER, H.-P. SCHREIER. EMEM.
- Abb. 54: *Neoclanis tsumeb* **spec. nov.**, HT, GP 5985 ♂ (Spannweite: 6,65 cm), /Tsumeb, D. S. W. Afr. [Deutsch Südwestafrika]/Sammlung GEHLEN/. ZSM.
- Abb. 55: *Neoclanis tsumeb* **spec. nov.**, PT, GP 5994 ♂ (Spannweite: 6,82 cm), Tsumeb, S. W. Afr. [Deutsch Südwestafrika]/Sammlung GEHLEN/. ZSM.
- Abb. 56: *Neoclanis weningeri* **spec. nov.**, HT, GP 5995 ♂ (Spannweite: 7,24 cm), Angola, Prov. Huila, Caluquembé-Huambo, Caconda, s 13°46', E 015°00', 10.11.2012, 1610 m, coll. STRÖHLE, leg. M. WENINGER. EMEM.
- Abb. 57: *Neoclanis oberprieleri* **spec. nov.**, HT, GP 5978 ♂ (Spannweite: 6,43 cm), South Africa, TVL, Kruger Nat. Park, Pafuri, Bobomene research camp, 22.26S 31.12E, 250 m, 03.ii.1994, R. OBERPRIELER. EMEM.
- Abb. 58: *Neoclanis hogani* **spec. nov.**, HT, GP 5974 ♂ (Spannweite: 7,26 cm), Tanzania, Rukwa Region, nord de Mpanda, Vikonge, 06°03.172'S; 030°56.258'E, 1334 m, 26-II-2012, (Ph. DARGE). EMEM.
- Abb. 59: *Neoclanis giustii* **spec. nov.**, HT, GP 6013 ♂ (Spannweite: 7,15 cm), Tanzania, Katavi Region, Mtisi Village near Sitalike, 1081 m, 06°28.226'S, 031°07.135'E, 09-XII-2012, (Ph. DARGE). EMEM.
- Abb. 60: *Neoclanis dargei* **spec. nov.**, HT, GP 6012 ♂ (Spannweite: 7,04 cm), Tanzania, Rukwa Region, Rukwa Escarpment, 1092 m, 07°05.913'S; 031°08.4844'E, 01-II-2008, (Ph. DARGE). EMEM.
- Abb. 61: *Neoclanis iringaensis* **spec. nov.**, HT, GP 5987 ♂ (Spannweite: 8 cm), Tanzania, Iringa Region, Mpanga Game Reserve, Usalimbwani, 1225 m, 08°55.195'S, 34°07.105'E, 15.I.2010, PHILIPPE DARGE leg., EMEM, 16.X.2017. EMEM.
- Abb. 62: *Neoclanis oatesorum* **spec. nov.**, HT, GP 5998 ♂ (Spannweite: 8,05 cm), Tanzania: Iringa Region, Mpanga Game Reserve, Usalimbwani, 08°55.195'S., 037°20.709'E, 11-II-2005, (Ph. DARGE). EMEM.
- Abb. 63: *Neoclanis morogoroensis* **spec. nov.**, HT, GP 5973 ♂ (Spannweite: 7,17 cm), 7 Tanzania, Morogoro: 1 km E Mikumi, savanna, 5.III.2003, 550 m, leg. M. FIBIGER, H. HACKER, K. LARSEN, H.-P. SCHREIER. EMEM.
- Abb. 64: *Neoclanis morogoroensis* **spec. nov.**, PT, GP 5976 ♂ (Spannweite: 6,86 cm), 7 Tanzania, Morogoro: 1 km E Mikumi, savanna, 5.III.2003, 550 m, leg. M. FIBIGER, H. HACKER, K. LARSEN, H.-P. SCHREIER. EMEM.
- Abb. 65: *Neoclanis usambaraensis* **spec. nov.**, HT, GP 5986 ♂ (Spannweite: 7,24 cm), Tanzania: Tanga region, W. Usambara Mts., Irente view Point, 1376 m, 04°47.87'S, 038°16.235'E, 26-XI-2008, (Ph. DARGE). EMEM.
- Abb. 66: *Neoclanis nicolae* **spec. nov.**, HT, GP 5991 ♂ (Spannweite: 7,5 cm), Tanzania, Iringa Region, Udzungwa National Park, Camp 2, 400 m, 15.-31.I.2005, PHILIPPE DARGE leg., EMEM, 18.X.2017. EMEM.
- Abb. 67: *Neoclanis haendeli* **spec. nov.**, HT, GP 5997 ♂ (Spannweite: 7,42 cm), Tanzania: Morogoro Region, West Nguru Mts., Makuyu, 566 m, 06°17.002'S., 034°07.105'E., 15-I-2010, (Ph. DARGE). EMEM.
- Abb. 68: *Neoclanis kleineri* **spec. nov.**, HT, GP 6011 ♂ (Spannweite: 7,05 cm), Tanzania: Morogoro Region, West Nguru Mts., 2000 m, 4-VIII-2015, (local collector), ex coll. Ph. DARGE). EMEM.
- Abb. 69: *Neoclanis kingstoni* **spec. nov.**, PT, GP 6002 ♂ (Spannweite: 6,87 cm), Tanzania: Lindi Region, Mtokokuyana, 362 m, 10°23.038'S., 038°53.775'E., 22-XII-2009, (Ph. DARGE). EMEM.
- Abb. 70: *Neoclanis kingstoni* **spec. nov.**, HT, GP 6003 ♂ (Spannweite: 7,53 cm), Tanzania: Lindi Region, Mtokokuyana, 362 m, 10°23.038'S., 038°53.775'E., 22-XII-2009, (Ph. DARGE). EMEM.
- Abb. 71: *Neoclanis kingstoni* **spec. nov.**, PT, GP 6004 ♂ (Spannweite: 6,92 cm), Tanzania: Lindi Region, Mtokokuyana, 362 m, 10°23.038'S., 038°53.775'E., 22-XII-2009, (Ph. DARGE). EMEM.
- Abb. 72: *Neoclanis melichari* **spec. nov.**, HT, GP 6006 ♂ (Spannweite: 7,74 cm), Tanzania: Mtwara Region, Lumesule, 10°54.792'S., 038°02.393'E., 364 m, 23-XII-2009, (Ph. DARGE). EMEM.
- Abb. 73: *Neoclanis politzari* **spec. nov.**, HT, GP 5996 ♂ (Spannweite: 7,67 cm), Kenya, Kibwezi, 20-31.5.1994, leg. Dr. POLITZAR. EMEM.
- Abb. 74: *Neoclanis politzari* **spec. nov.**, PT, GP 6019 ♂ (Spannweite: ca. 7,63 cm), Kenya, Kibwezi, 8.-14.5.1995, leg. Dr. POLITZAR. ZSM.

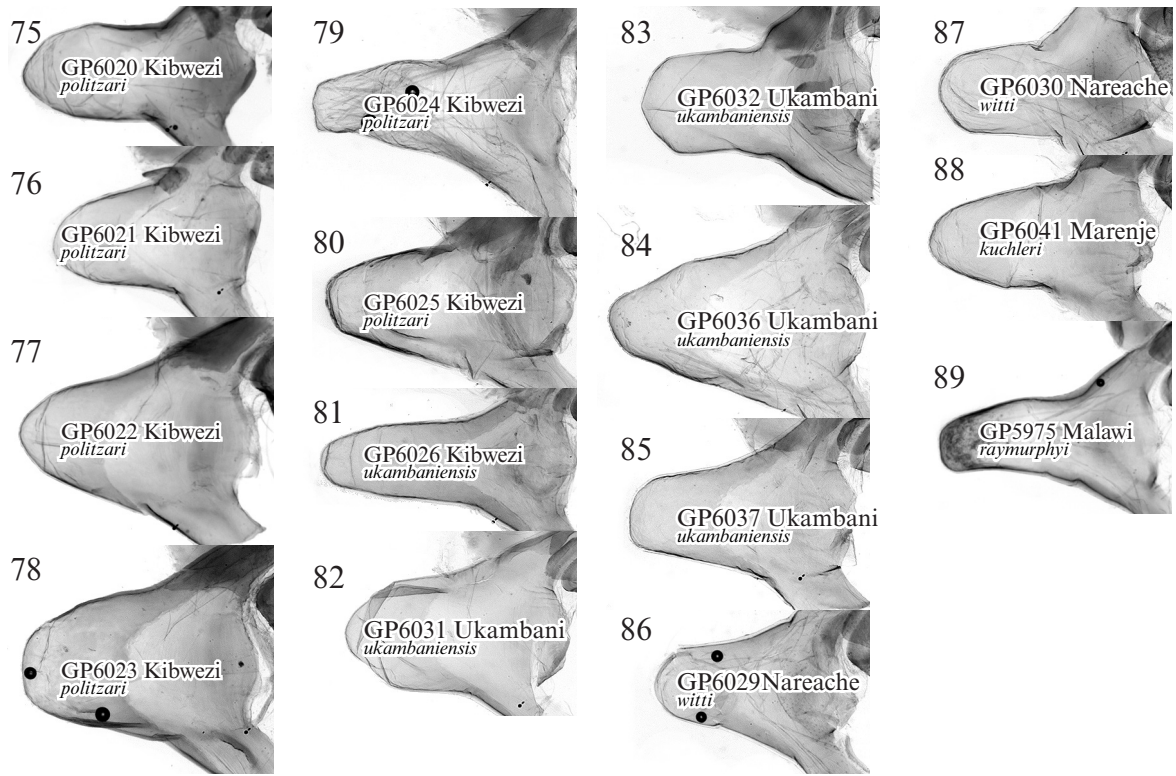
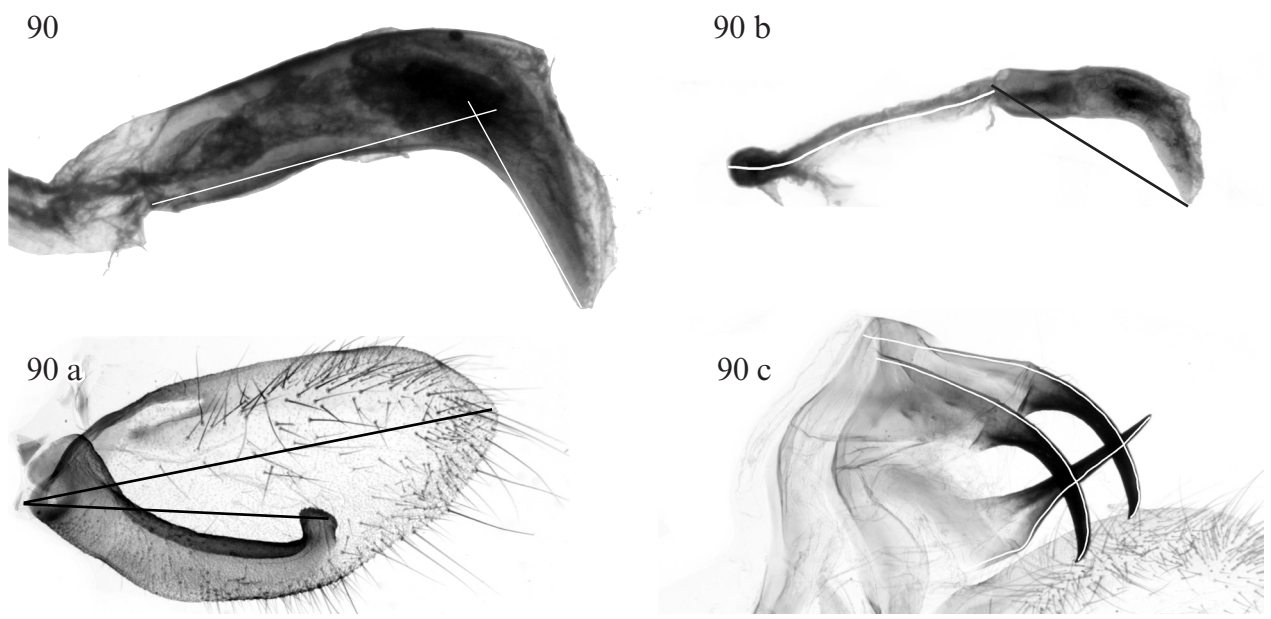
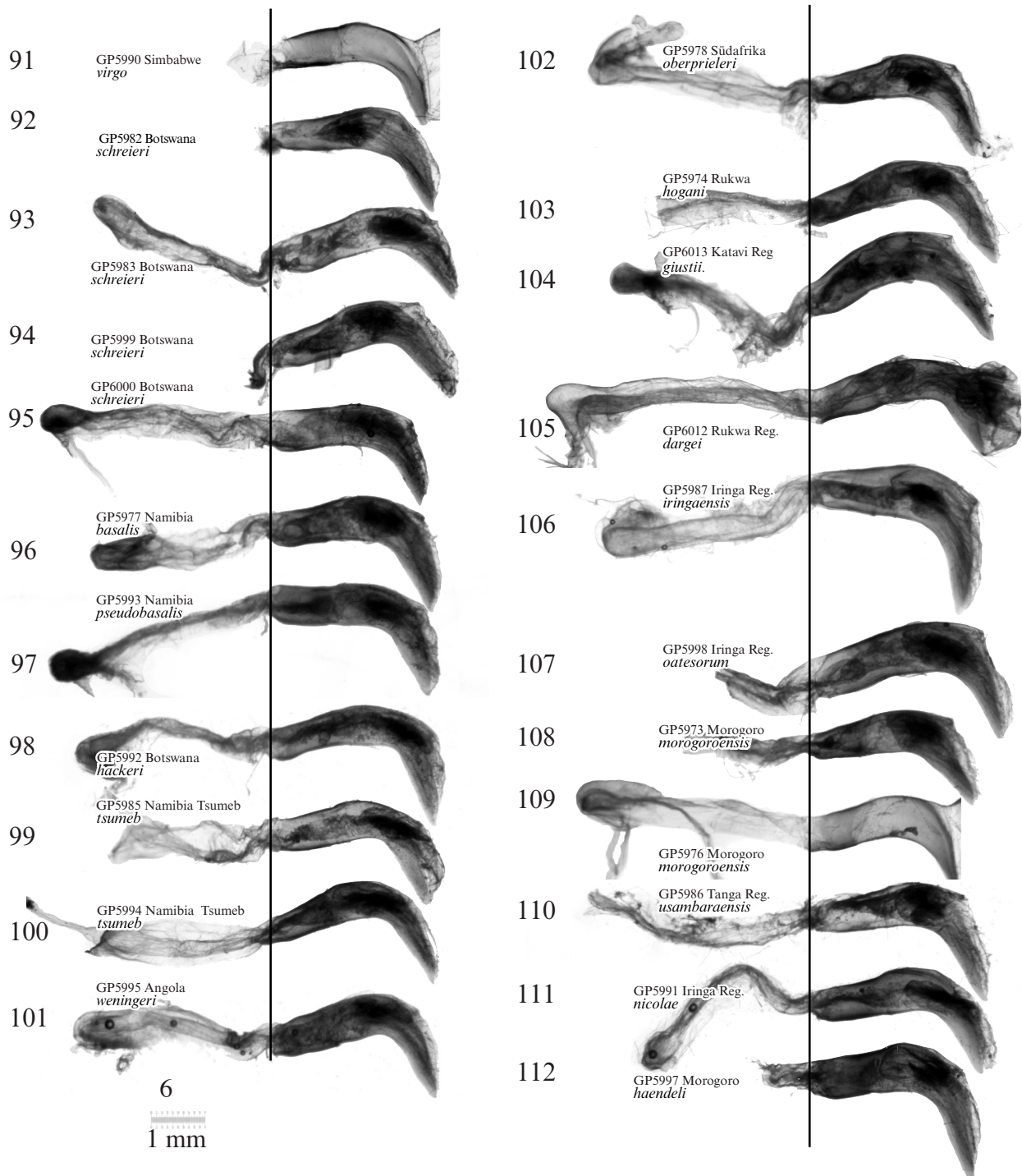
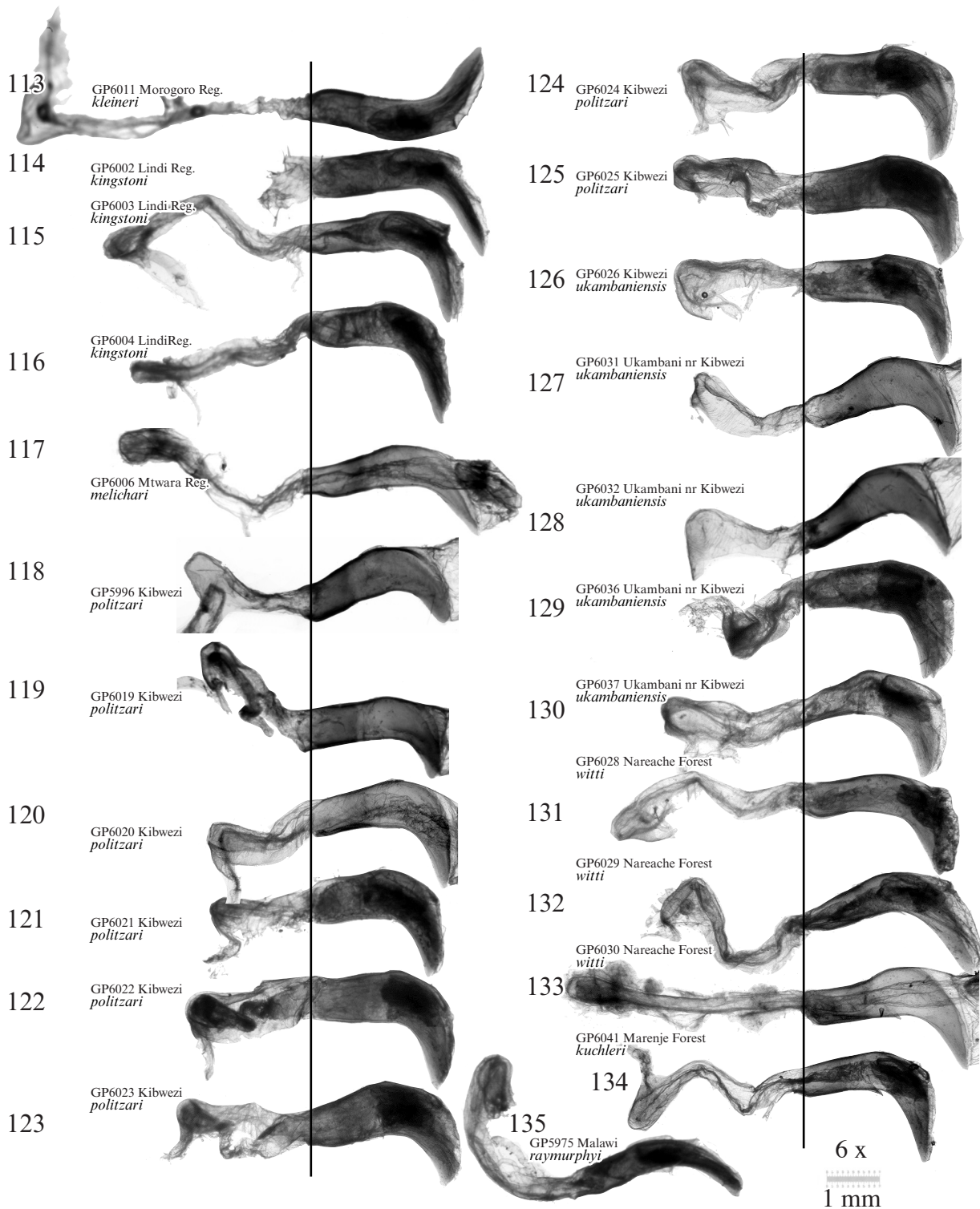


Abb. 75: *Neoclanis politzari* spec. nov., PT, GP 6020 ♂ (Spannweite: 7,86 cm), Kenya, Kibwezi, 20-31.5.1994, leg. Dr. POLITZAR, ZSM.
 Abb. 76: *Neoclanis politzari* spec. nov., PT, GP 6021 ♂ (Spannweite: 7,63 cm), Kenya, Kibwezi, 20-31.5.1994, leg. Dr. POLITZAR, ZSM.
 Abb. 77: *Neoclanis politzari* spec. nov., PT, GP 6022 ♂ (Spannweite: 7,98 cm), Kenya, Kibwezi, 20-31.5.1994, leg. Dr. POLITZAR, ZSM.
 Abb. 78: *Neoclanis politzari* spec. nov., PT, GP 6023 ♂ (Spannweite: 7,74 cm), Kenya, Kibwezi, 20-31.5.1994, leg. Dr. POLITZAR, ZSM.
 Abb. 79: *Neoclanis politzari* spec. nov., PT, GP 6024 ♂ (Spannweite: 7,86 cm), Kenya, Kibwezi, 20-31.5.1994, leg. Dr. POLITZAR, ZSM.
 Abb. 80: *Neoclanis politzari* spec. nov., PT, GP 6025 ♂ (Spannweite: 7,61 cm), Kenya, Kibwezi, 8.-14.5.1995, leg. Dr. POLITZAR, ZSM.
 Abb. 81: *Neoclanis ukambaniensis* spec. nov., PT, GP 6026 ♂ (Spannweite: 6,97 cm), Kenya, Kibwezi, 700 m, 1.-15.12.2000, leg. Dr. POLITZAR, Museum WITT, ZSM.
 Abb. 82: *Neoclanis ukambaniensis* spec. nov., PT, GP 6031 ♂ (Spannweite: 6,82 cm), Kenya, South Ukambani, near Kibwezi, 20-27.XI.1994 Lf., leg. Dr. POLITZAR, Museum WITT, ZSM.
 Abb. 83: *Neoclanis ukambaniensis* spec. nov., PT, GP 6032 ♂ (Spannweite: 6,88 cm), Kenya, South Ukambani, near Kibwezi, 20-27.XI.1994 Lf., leg. Dr. POLITZAR, Museum WITT, ZSM.
 Abb. 84: *Neoclanis ukambaniensis* spec. nov., PT, GP 6036 ♂ (Spannweite: 7,91 cm), [Kenya] Süd-Ukambani, 28.5.-1.6.1995, leg. Dr. POLITZAR, ZSM.
 Abb. 85: *Neoclanis ukambaniensis* spec. nov., HT, GP 6037 ♂ (Spannweite: 7,91 cm), [Kenya] Süd-Ukambani, 28.5.-1.6.1995, leg. Dr. POLITZAR, ZSM.
 Abb. 86: *Neoclanis witti* spec. nov., PT, GP 6029 ♂ (Spannweite: 6,63 cm), Kenya, South Coast, Nareache Forest, 13.9.[19]96, leg.: POLITZAR, ZSM.
 Abb. 87: *Neoclanis witti* spec. nov., PT, GP 6030 ♂ (Spannweite: 7,63 cm), Kenya, South Coast, Nareache Forest, 27.10.[20]00, leg.: POLITZAR, ZSM.
 Abb. 88: *Neoclanis kuchleri* spec. nov., HT, GP 6041 ♂ (Spannweite: 6,56 cm), Kenya, Südküste, Marenje Forest, 14.2.[19]95, leg.: POLITZAR, ZSM.
 Abb. 89: *Neoclanis raymurphyi* spec. nov., HT, GP 5975 ♂ (Spannweite: 6,54 cm), Mwabvigame Reserve, Nsanje Dest., S. Malawi, 135 m, 16°39'S 35°E, 29-30 DEZ [20]15, R. J. MURPHY, EMEM.





- Abb. 91: *Neoclanis virgo* (WESTWOOD, 1881) **stat. rev.** - GP 5990 ♂, HT von *Choerocampa virgo* WESTWOOD, 1881. OUMNH (Oxford University Museum Natural History).
- Abb. 92: *Neoclanis schreieri* **spec. nov.**, PT, GP 5982 ♂, 8, Botswana, Chobe Distr., 17°49'S, 25°13'E, SSE Kasane, 2 km W Leshoma, Kasane Forest Res., 1000 m, 24.II.2006, Li/LiFa, leg. H. HACKER, H.-P. SCHREIER. EMEM.
- Abb. 93: *Neoclanis schreieri* **spec. nov.**, PT, GP 5983 ♂, 8, Botswana, Chobe Distr., 17°49'S, 25°13'E, SSE Kasane, 2 km W Leshoma, Kasane Forest Res., 1000 m, 24.II.2006, Li/LiFa, leg. H. HACKER, H.-P. SCHREIER. EMEM.
- Abb. 94: *Neoclanis schreieri* **spec. nov.**, PT, GP 5999 ♂, 8, Botswana, Chobe Distr., 17°49'S, 25°13'E, SSE Kasane, 2 km W Leshoma, Kasane Forest Res., 1000 m, 24.II.2006, Li/LiFa, leg. H. HACKER, H.-P. SCHREIER. EMEM.
- Abb. 95: *Neoclanis schreieri* **spec. nov.**, HT, GP 6000 ♂, 8, Botswana, Chobe Distr., 17°49'S, 25°13'E, SSE Kasane, 2 km W Leshoma, Kasane Forest Res., 1000 m, 24.II.2006, Li/LiFa, leg. H. HACKER, H.-P. SCHREIER. EMEM.
- Abb. 96: *Neoclanis basalis* (WALKER, 1866), NT ♂, GP 5977 ♂, 10 Namibia, 17°53'S 24°34'E, E Caprivi District, 15 km NW Ngoma, 930 m, 26.II.2006, Li/LiFa, leg. H. HACKER, H.-P. SCHREIER. EMEM.
- Abb. 97: *Neoclanis pseudobasalis* **spec. nov.**, HT, GP 5993 ♂, 10 Namibia, 17°53'S 24°34'E, E Caprivi District, 15 km NW Ngoma, 930 m, 26.II.2006, Li/LiFa, leg. H. HACKER, H.-P. SCHREIER. EMEM.
- Abb. 98: *Neoclanis hackeri* **spec. nov.**, HT, GP 5992 ♂, 8, Botswana, Central Distr., 19°39'S, 26°05'E, 60 km N Nata, Elephant Sands Camp, 950 m, 21.II.2006, Li/LiFa, leg. H. HACKER, H.-P. SCHREIER. EMEM.
- Abb. 99: *Neoclanis tsumeb* **spec. nov.**, HT, GP 5985 ♂, /Tsumeb, D. S. W. Afr. [Deutsch Südwesafrika]/Sammlung GEHLEN/. ZSM.
- Abb. 100: *Neoclanis tsumeb* **spec. nov.**, PT, GP 5994 ♂, Tsumeb, S. W. Afr. [Deutsch Südwesafrika]/Sammlung GEHLEN/. ZSM.
- Abb. 101: *Neoclanis weningeri* **spec. nov.**, HT, GP 5995 ♂, Angola, Prov. Huila, Caluquembe-Huambo, Caconda, s 13°46'4", E 015°00'0", 10.II.2012, 1610 m, coll. STRÖHLE, leg. M. WENINGER. EMEM.
- Abb. 102: *Neoclanis oberprieleri* **spec. nov.**, HT, GP 5978 ♂, South Africa, TVL, Kruger Nat. Park, Pafuri, Bobomene research camp, 22.26S 31.12E, 250 m, 03.II.1994, R. OBERPRIELER. EMEM.
- Abb. 103: *Neoclanis hogani* **spec. nov.**, HT, GP 5974 ♂, Tanzania, Rukwa Region, nord de Mpanda, Vikonge, 06°03.172'S; 030°56.258'E, 1334 m, 26-II-2012, (PH. DARGE). EMEM.
- Abb. 104: *Neoclanis giustii* **spec. nov.**, HT, GP 6013 ♂, Tanzania, Katavi Region, Mtisi Village near Sitalike, 1081 m, 06°28.226'S, 031°07.135'E, 09-XII-2012, (PH. DARGE). EMEM.
- Abb. 105: *Neoclanis dargei* **spec. nov.**, HT, GP 6012 ♂, Tanzania, Rukwa Region, Rukwa Escarpment, 1092 m, 07°05.913'S; 031°08.4844'E, 01-II-2008, (PH. DARGE). EMEM.
- Abb. 106: *Neoclanis iringaensis* **spec. nov.**, HT, GP 5987 ♂, Tanzania, Iringa Region, Mpanga Game Reserve, Usalimbwani, 1225 m, 08°55.195'S, 34°07.105'E, 15.I.2010, PHILIPPE DARGE leg., EMEM, 16.X.2017. EMEM.
- Abb. 107: *Neoclanis oatesorum* **spec. nov.**, HT, GP 5998 ♂, Tanzania: Iringa Region, Mpanga Game Reserve, Usalimbwani, 08°55.195'S, 037°20.709'E, 11-II-2005, (PH. DARGE). EMEM.
- Abb. 108: *Neoclanis morogoroensis* **spec. nov.**, HT, GP 5973 ♂, 7 Tanzania, Morogoro: 1 km E Mikumi, savanna, 5.III.2003, 550 m, leg. M. FIBIGER, H. HACKER, K. LARSEN, H.-P. SCHREIER. EMEM.
- Abb. 109: *Neoclanis morogoroensis* **spec. nov.**, PT, GP 5976 ♂, 7 Tanzania, Morogoro: 1 km E Mikumi, savanna, 5.III.2003, 550 m, leg. M. FIBIGER, H. HACKER, K. LARSEN, H.-P. SCHREIER. EMEM.
- Abb. 110: *Neoclanis usambaraensis* **spec. nov.**, HT, GP 5986 ♂, Tanzania: Tanga region, W Usambara Mts, Irete view Point, 1376 m, 04°47.87'S, 038°16.235'E, 26-XI-2008, (PH. DARGE). EMEM.
- Abb. 111: *Neoclanis nicolae* **spec. nov.**, HT, GP 5991 ♂, Tanzania, Iringa Region, Udzungwa National Park, Camp 2, 400 m, 15.-31.I.2005, PHILIPPE DARGE leg., EMEM, 18.X.2017. EMEM.
- Abb. 112: *Neoclanis haendeli* **spec. nov.**, HT, GP 5997 ♂, Tanzania: Morogoro Region, West Nguru Mts, Makuyu, 566 m, 06°17.002'S, 034°07.105'E., 15-I-2010, (PH. DARGE). EMEM.



- Abb. 113: *Neoclanis kleineri* spec. nov., HT, GP 6011 ♂ (Spannweite: 7,05 cm), Tanzanie: Morogoro Region, West Nguru Mts., 2000 m, 4-VIII-2015, (local collector), ex coll. Ph. DARGE). EMEM.
- Abb. 114: *Neoclanis kingstoni* spec. nov., PT, GP 6002 ♂ (Spannweite: 6,87 cm), Tanzanie: Lindi Region, Mtokokuyana, 362 m, 10°23.038'S., 038°53.775'E., 22-XII-2009, (Ph. DARGE). EMEM.
- Abb. 115: *Neoclanis kingstoni* spec. nov., HT, GP 6003 ♂ (Spannweite: 7,53 cm), Tanzanie: Lindi Region, Mtokokuyana, 362 m, 10°23.038'S., 038°53.775'E., 22-XII-2009, (Ph. DARGE). EMEM.
- Abb. 116: *Neoclanis kingstoni* spec. nov., PT, GP 6004 ♂ (Spannweite: 6,92 cm), Tanzanie: Lindi Region, Mtokokuyana, 362 m, 10°23.038'S., 038°53.775'E., 22-XII-2009, (Ph. DARGE). EMEM.
- Abb. 117: *Neoclanis melichari* spec. nov., HT, GP 6006 ♂ (Spannweite: 7,74 cm), Tanzanie: Mtwara Region, Lumesule, 10°54.792'S., 038°02.393'E., 364 m, 23-XII-2009, (Ph. DARGE). EMEM.
- Abb. 118: *Neoclanis politzari* spec. nov., HT, GP 5996 ♂ (Spannweite: 7,67 cm), Kenya, Kibwezi, 20-31.5.1994, leg. Dr. POLITZAR. EMEM.
- Abb. 119: *Neoclanis politzari* spec. nov., PT, GP 6019 ♂ (Spannweite: ca. 7,63 cm), Kenya, Kibwezi, 8.-14.5.1995, leg. Dr. POLITZAR. ZSM.
- Abb. 120: *Neoclanis politzari* spec. nov., PT, GP 6020 ♂ (Spannweite: 7,86 cm), Kenya, Kibwezi, 20-31.5.1994, leg. Dr. POLITZAR. ZSM.
- Abb. 121: *Neoclanis politzari* spec. nov., PT, GP 6021 ♂ (Spannweite: 7,63 cm), Kenya, Kibwezi, 20-31.5.1994, leg. Dr. POLITZAR. ZSM.
- Abb. 122: *Neoclanis politzari* spec. nov., PT, GP 6022 ♂ (Spannweite: 7,98 cm), Kenya, Kibwezi, 20-31.5.1994, leg. Dr. POLITZAR. ZSM.
- Abb. 123: *Neoclanis politzari* spec. nov., PT, GP 6023 ♂ (Spannweite: 7,74 cm), Kenya, Kibwezi, 20-31.5.1994, leg. Dr. POLITZAR. ZSM.
- Abb. 124: *Neoclanis politzari* spec. nov., PT, GP 6024 ♂ (Spannweite: 7,86 cm), Kenya, Kibwezi, 20-31.5.1994, leg. Dr. POLITZAR. ZSM.
- Abb. 125: *Neoclanis politzari* spec. nov., PT, GP 6025 ♂ (Spannweite: 7,61 cm), Kenya, Kibwezi, 8.-14.5.1995, leg. Dr. POLITZAR. ZSM.
- Abb. 126: *Neoclanis ukambaniensis* spec. nov., PT, GP 6026 ♂ (Spannweite: 6,97 cm), Kenya, Kibwezi, 700 m, 1.-15.12.2000, leg. Dr. POLITZAR, Museum WITT. ZSM.
- Abb. 127: *Neoclanis ukambaniensis* spec. nov., PT, GP 6031 ♂ (Spannweite: 6,82 cm), Kenya, South Ukambani, near Kibwezi, 20-27.XI.1994 Lf., leg. Dr. POLITZAR, Museum WITT. ZSM.
- Abb. 128: *Neoclanis ukambaniensis* spec. nov., PT, GP 6032 ♂ (Spannweite: 6,88 cm), Kenya, South Ukambani, near Kibwezi, 20-27.XI.1994 Lf., leg. Dr. POLITZAR, Museum WITT. ZSM.
- Abb. 129: *Neoclanis ukambaniensis* spec. nov., PT, GP 6036 ♂ (Spannweite: 7,91 cm), [Kenya] Süd-Ukambani, 28.5.-1.6.1995, leg. Dr. POLITZAR. ZSM.
- Abb. 130: *Neoclanis ukambaniensis* spec. nov., HT, GP 6037 ♂ (Spannweite: 7,91 cm), [Kenya] Süd-Ukambani, 28.5.-1.6.1995, leg. Dr. POLITZAR. ZSM.
- Abb. 131: *Neoclanis witti* spec. nov., HT, GP 6028 ♂ (Spannweite: 6,79 cm), Kenya, South Coast, Nareache Forest, 13.9.[19]96, leg.: POLITZAR. ZSM. Abb. : GP 6029 ♂ (Spannweite: 6,63 cm), Kenya, South Coast, Nareache Forest, 13.9.[19]96, leg.: POLITZAR. ZSM.
- Abb. 132: *Neoclanis witti* spec. nov., PT, GP 6029 ♂ (Spannweite: 6,63 cm), Kenya, South Coast, Nareache Forest, 13.9.[19]96, leg.: POLITZAR. ZSM.
- Abb. 133: *Neoclanis witti* spec. nov., PT, GP 6030 ♂ (Spannweite: 7,63 cm), Kenya, South Coast, Nareache Forest, 27.10.[20]00, leg.: POLITZAR. ZSM.
- Abb. 134: *Neoclanis kuchleri* spec. nov., HT, GP 6041 ♂ (Spannweite: 6,56 cm), Kenya, Südküste, Marenje Forest, 14.2.[19]95, leg.: POLITZAR. ZSM.
- Abb. 135: *Neoclanis raymurphyi* spec. nov., HT, GP 5975 ♂ (Spannweite: 6,54 cm), Mwabigame Reserve, Nsanje Dest., S. Malawi, 135 m, 16°39'S 35°E, 29-30 DEZ [20]15, R. J. MURPHY. EMEM.

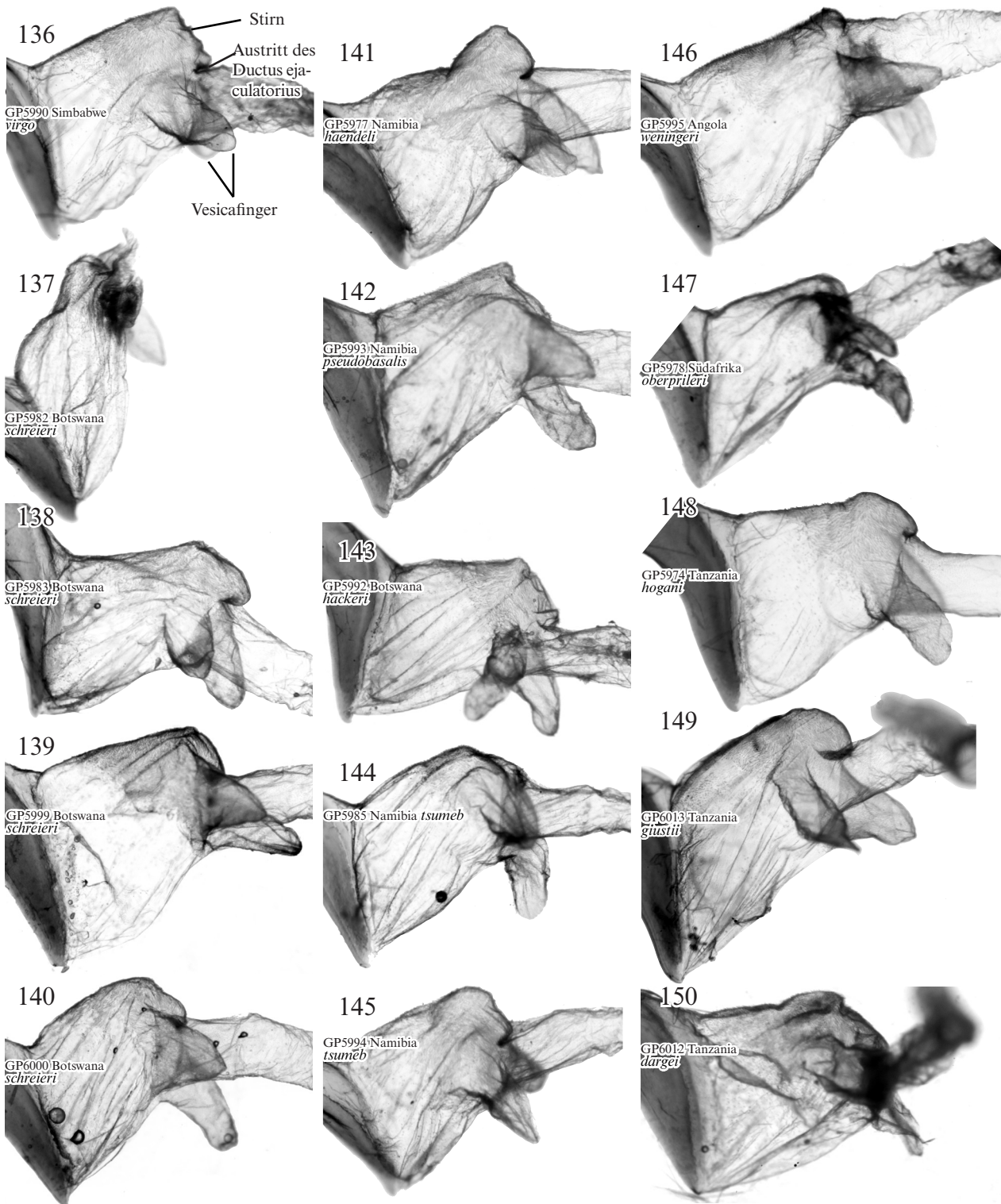


Abb. 136: *Neoclanis virgo* (WESTWOOD, 1881) **stat. rev.** -GP 5990 ♂, HT von *Choerocampa virgo* WESTWOOD, 1881. OUMNH (Oxford University Museum Natural History).
 Abb. 137: *Neoclanis schreieri* **spec. nov.**, PT, GP 5982 ♂, 8, Botswana, Chobe Distr., 17°49'S, 25°13'E, SSE Kasane, 2 km W Leshoma, Kasane Forest Res., 1000 m, 24.II.2006, Li/LiFa, leg. H. HACKER, H.-P. SCHREIER. EMEM.
 Abb. 138: *Neoclanis schreieri* **spec. nov.**, PT, GP 5983 ♂, 8, Botswana, Chobe Distr., 17°49'S, 25°13'E, SSE Kasane, 2 km W Leshoma, Kasane Forest Res., 1000 m, 24.II.2006, Li/LiFa, leg. H. HACKER, H.-P. SCHREIER. EMEM.
 Abb. 139: *Neoclanis schreieri* **spec. nov.**, PT, GP 5999 ♂, 8, Botswana, Chobe Distr., 17°49'S, 25°13'E, SSE Kasane, 2 km W Leshoma, Kasane Forest Res., 1000 m, 24.II.2006, Li/LiFa, leg. H. HACKER, H.-P. SCHREIER. EMEM.
 Abb. 140: *Neoclanis schreieri* **spec. nov.**, HT, GP 6000 ♂, 8, Botswana, Chobe Distr., 17°49'S, 25°13'E, SSE Kasane, 2 km W Leshoma, Kasane Forest Res., 1000 m, 24.II.2006, Li/LiFa, leg. H. HACKER, H.-P. SCHREIER. EMEM.
 Abb. 141: *Neoclanis basalis* (WALKER, 1866) NT ♂, GP 5977 ♂, 10 Namibia, 17°53'S 24°34'E, E Caprivi District, 15 km NW Ngoma, 930 m, 26.II.2006, Li/LiFa, leg. H. HACKER, H.-P. SCHREIER. EMEM.
 Abb. 142: *Neoclanis pseudobasalis* **spec. nov.**, HT, GP 5993 ♂, 10 Namibia, 17°53'S 24°34'E, E Caprivi District, 15 km NW Ngoma, 930 m, 26.II.2006, Li/LiFa, leg. H. HACKER, H.-P. SCHREIER. EMEM.
 Abb. 143: *Neoclanis hackeri* **spec. nov.**, HT, GP 5992 ♂, 8, Botswana, Central Distr., 19°39'S, 26°05'E, 60 km N Nata, Elephant Sands Camp, 950 m, 21.II.2006, Li/LiFa, leg. H. HACKER, H.-P. SCHREIER. EMEM.
 Abb. 144: *Neoclanis tsumeb* **spec. nov.**, HT, GP 5985 ♂, /Tsumeb, D. S. W. Afr. [Deutsch Südwesafrika]/Sammlung GEHLEN/. ZSM.
 Abb. 145: *Neoclanis tsumeb* **spec. nov.**, PT, GP 5994 ♂, Tsumeb, S. W. Afr. [Deutsch Südwesafrika]/Sammlung GEHLEN/. ZSM.
 Abb. 146: *Neoclanis weningeri* **spec. nov.**, HT, GP 5995 ♂, Angola, Prov. Huila, Caluquembe-Huambo, Caconda, s 13°46', E 015°00', 10.11.2012, 1610 m, coll. STROHLE, leg. M. WENINGER. EMEM.
 Abb. 147: *Neoclanis oberprieleri* **spec. nov.**, HT, GP 5978 ♂, South Africa, TVL, Kruger Nat. Park, Pafuri, Bobomene research camp, 22.26S 31.12E, 250 m, 03.ii.1994, R. OBERPRIELER. EMEM.
 Abb. 148: *Neoclanis hogani* **spec. nov.**, HT, GP 5974 ♂, Tanzania, Rukwa Region, nord de Mpananda, Vikonge, 06°03.172'S; 030°56.258'E, 1334 m, 26-II-2012, (PH. DARGE). EMEM.
 Abb. 149: *Neoclanis giustii* **spec. nov.**, HT, GP 6013 ♂, Tanzania, Katavi Region, Mtisi Village near Sitalike, 1081 m, 06°28.226'S, 031°07.135'E, 09-XII-2012, (PH. DARGE). EMEM.
 Abb. 150: *Neoclanis dargei* **spec. nov.**, HT, GP 6012 ♂, Tanzania, Rukwa Region, Rukwa Escarpment, 1092 m, 07°05.913'S; 031°08.4844'E, 01-II-2008, (PH. DARGE). EMEM.

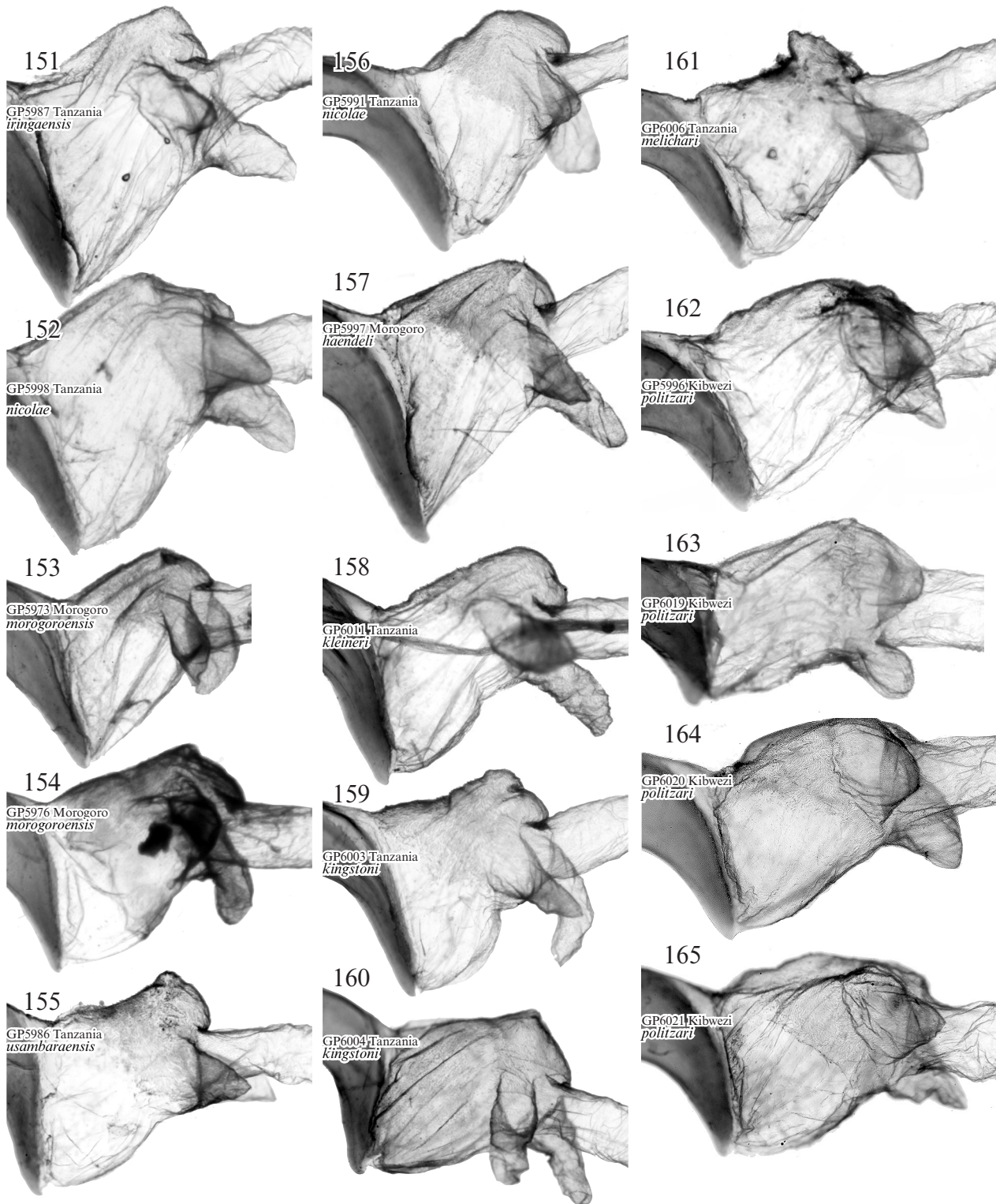


Abb. 151: *Neoclanis iringaensis* spec. nov., HT, GP 5987 ♂, Tanzania, Iringa Region, Mpanga Game Reserve, Usalimbwani, 1225 m, 08°55.195'S, 34°07.105'E, 15.I.2010, PHILIPPE DARGE leg., EMEM, 16.X.2017. EMEM.
 Abb. 152: *Neoclanis oatesorum* spec. nov., HT, GP 5998 ♂, Tanzania: Iringa Region, Mpanga Game Reserve, Usalimbwani, 08°55.195'S, 037°20.709'E, 11-II-2005, (PH. DARGE). EMEM.
 Abb. 153: *Neoclanis morogoroensis* spec. nov., HT, GP 5973 ♂, 7 Tanzania, Morogoro: 1 km E Mikumi, savanna, 5.III.2003, 550 m, leg. M. FIBIGER, H. HACKER, K. LARSEN, H.-P. SCHREIER. EMEM..
 Abb. 154: *Neoclanis morogoroensis* spec. nov., PT, GP 5976 ♂, 7 Tanzania, Morogoro: 1 km E Mikumi, savanna, 5.III.2003, 550 m, leg. M. FIBIGER, H. HACKER, K. LARSEN, H.-P. SCHREIER. EMEM..
 Abb. 155: *Neoclanis usambaraensis* spec. nov., HT, GP 5986 ♂, Tanzania: Tanga region, W. Usambara Mts., Irete view Point, 1376 m, 04°47.87'S, 038°16.235'E, 26-XI-2008, (PH. DARGE). EMEM..
 AAbb. 156: *Neoclanis nicolae* spec. nov., HT, GP 5991 ♂, Tanzania, Iringa Region, Udzungwa National Park, Camp 2, 400 m, 15-31.I.2005, PHILIPPE DARGE leg., EMEM, 18.X.2017. EMEM.
 Abb. 157: *Neoclanis haendeli* spec. nov., HT, GP 5997 ♂, Tanzania: Morogoro Region, West Nguru Mts., Makuyu, 566 m, 06°17.002'S, 034°07.105'E., 15-I-2010, (PH. DARGE). EMEM.
 Abb. 158: *Neoclanis kleinberi* spec. nov., HT, GP 6011 ♂, Tanzania: Morogoro Region, West Nguru Mts., 2000 m, 4-VIII-2015, (local collector), ex coll. PH. DARGE). EMEM.
 Abb. 159: *Neoclanis kingstoni* spec. nov., HT, GP 6003 ♂, Tanzania: Lindi Region, Mtokokuyana, 362 m, 10°23.038'S, 038°53.775'E., 22-XII-2009, (PH. DARGE). EMEM.
 Abb. 160: *Neoclanis kingstoni* spec. nov., PT, GP 6004 ♂, Tanzania: Lindi Region, Mtokokuyana, 362 m, 10°23.038'S, 038°53.775'E., 22-XII-2009, (PH. DARGE). EMEM.
 Abb. 161: *Neoclanis melichari* spec. nov., HT, GP 6006 ♂, Tanzania: Mtwara Region, Lumesule, 10°54.792'S, 038°02.393'E., 364 m, 23-XII-2009, (PH. DARGE). EMEM.
 Abb. 162: *Neoclanis politzari* spec. nov., HT, GP 5996 ♂, Kenya, Kibwezi, 20-31.5.1994, leg. Dr. POLITZAR. EMEM.
 Abb. 163: *Neoclanis politzari* spec. nov., PT, GP 6019 ♂, *Neoclanis*, Kenya, Kibwezi, 8-14.5.1995, leg. Dr. POLITZAR. ZSM.
 Abb. 164: *Neoclanis politzari* spec. nov., PT, GP 6020 ♂, Kenya, Kibwezi, 20-31.5.1994, leg. Dr. POLITZAR. ZSM.
 Abb. 165: *Neoclanis politzari* spec. nov., PT, GP 6021 ♂, Kenya, Kibwezi, 20-31.5.1994, leg. Dr. POLITZAR. ZSM.

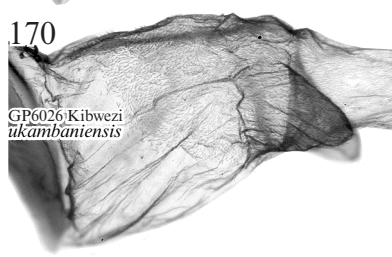
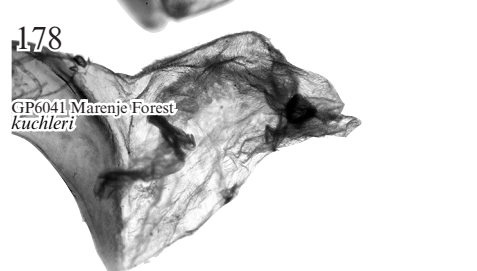
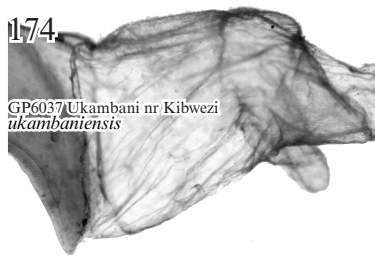
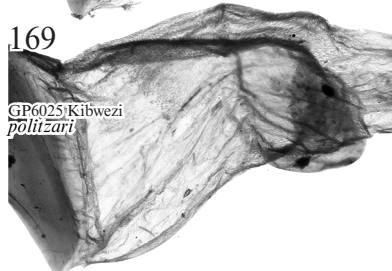
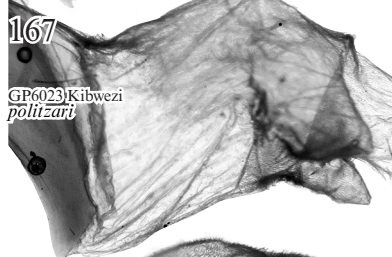
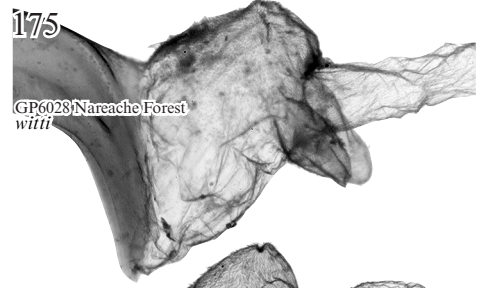
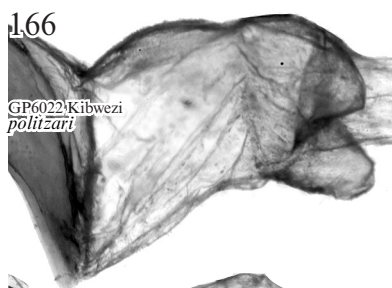


Abb. 166: *Neoclanis politari* spec. nov., PT, GP 6022 ♂ (Spannweite: 7,98 cm), Kenya, Kibwezi, 20-31.5.1994, leg. Dr. POLITZAR. ZSM.
 Abb. 167: *Neoclanis politari* spec. nov., PT, GP 6023 ♂ (Spannweite: 7,74 cm), Kenya, Kibwezi, 20-31.5.1994, leg. Dr. POLITZAR. ZSM.
 Abb. 168: *Neoclanis politari* spec. nov., PT, GP 6024 ♂ (Spannweite: 7,86 cm), Kenya, Kibwezi, 20-31.5.1994, leg. Dr. POLITZAR. ZSM.
 Abb. 169: *Neoclanis politari* spec. nov., PT, GP 6025 ♂ (Spannweite: 7,61 cm), Kenya, Kibwezi, 8.-14.5.1995, leg. Dr. POLITZAR. ZSM.
 Abb. 170: *Neoclanis ukambaniensis* spec. nov., PT, GP 6026 ♂ (Spannweite: 6,97 cm), Kenya, Kibwezi, 700 m, 1.-15.12.2000, leg. Dr. POLITZAR, Museum WITT. ZSM.
 Abb. 171: *Neoclanis ukambaniensis* spec. nov., PT, GP 6031 ♂ (Spannweite: 6,82 cm), Kenya, South Ukambani, near Kibwezi, 20-27.XI.1994 Lf., leg. Dr. POLITZAR, Museum WITT. ZSM.
 Abb. 172: *Neoclanis ukambaniensis* spec. nov., PT, GP 6032 ♂ (Spannweite: 6,88 cm), Kenya, South Ukambani, near Kibwezi, 20-27.XI.1994 Lf., leg. Dr. POLITZAR, Museum WITT. ZSM.
 Abb. 173: *Neoclanis ukambaniensis* spec. nov., PTGP 6036 ♂ (Spannweite: 7,91 cm), [Kenya] Süd-Ukambani, 28.5.-1.6.1995, leg. Dr. POLITZAR. ZSM.
 Abb. 174: *Neoclanis ukambaniensis* spec. nov., HT, GP 6037 ♂ (Spannweite: 7,91 cm), [Kenya] Süd-Ukambani, 28.5.-1.6.1995, leg. Dr. POLITZAR. ZSM.
 Abb. 175: *Neoclanis witti* spec. nov., HT, GP 6028 ♂ (Spannweite: 6,79 cm), Kenya, South Coast, Nareache Forest, 13.9.[19]96, leg.: POLITZAR. ZSM. Abb. : GP 6029 ♂ (Spannweite: 6,63 cm), *Neoclanis*, Kenya, South Coast, Nareache Forest, 13.9.[19]96, leg.: POLITZAR. ZSM.
 Abb. 176: *Neoclanis witti* spec. nov., PT, GP 6029 ♂ (Spannweite: 6,63 cm), Kenya, South Coast, Nareache Forest, 13.9.[19]96, leg.: POLITZAR. ZSM.
 Abb. 177: *Neoclanis witti* spec. nov., PT, GP 6030 ♂ (Spannweite: 7,63 cm), Kenya, South Coast, Nareache Forest, 27.10.[20]00, leg.: POLITZAR. ZSM.
 Abb. 178: *Neoclanis kuchleri* spec. nov., HT, GP 6041 ♂ (Spannweite: 6,56 cm), Kenya, Südküste, Marenje Forest, 14.2.[19]95, leg.: POLITZAR. ZSM.
 Abb. 179: *Neoclanis raymurphyi* spec. nov., HT, GP 5975 ♂ (Spannweite: 6,54 cm), Mwabigame Reserve, Nsanje Dest., S. Malawi, 135 m, 16°39'S 35°E, 29-30 DEZ [20]15, R. J. MURPHY. EMEM.

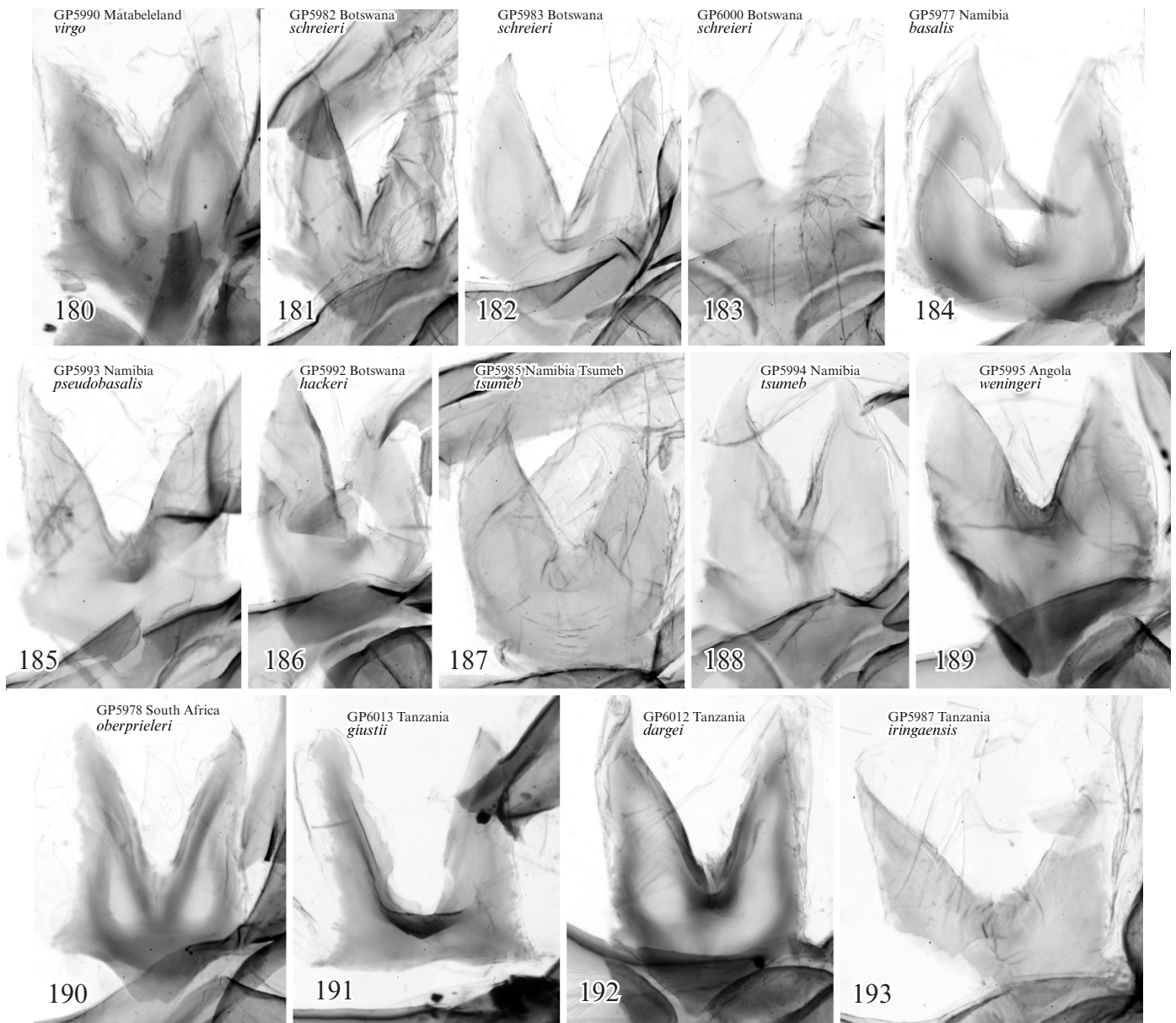


Abb. 180: *Neoclanis virgo* (WESTWOOD, 1881) **stat. rev.** -GP 5990 ♂, HT von *Choerocampa virgo* WESTWOOD, 1881. OUMNH (Oxford University Museum Natural History).
 Abb. 181: *Neoclanis schreieri* **spec. nov.**, PT, GP 5982 ♂ 8, Botswana, Chobe Distr., 17°49'S, 25°13'E, SSE Kasane, 2 km W Leshoma, Kasane Forest Res., 1000 m, 24.II.2006, Li/LiFa, leg. H. HACKER, H.-P. SCHREIER. EMEM.
 Abb. 182: *Neoclanis schreieri* **spec. nov.**, PT, GP 5983 ♂ 8, Botswana, Chobe Distr., 17°49'S, 25°13'E, SSE Kasane, 2 km W Leshoma, Kasane Forest Res., 1000 m, 24.II.2006, Li/LiFa, leg. H. HACKER, H.-P. SCHREIER. EMEM.
 Abb. 183: *Neoclanis schreieri* **spec. nov.**, HT, GP 6000 ♂ 8, Botswana, Chobe Distr., 17°49'S, 25°13'E, SSE Kasane, 2 km W Leshoma, Kasane Forest Res., 1000 m, 24.II.2006, Li/LiFa, leg. H. HACKER, H.-P. SCHREIER. EMEM.
 Abb. 184: *Neoclanis basalis* (WALKER, 1866), NT ♂, GP 5977 ♂, 10 Namibia, 17°53'S 24°34'E, E Caprivi District, 15 km NW Ngoma, 930 m, 26.II.2006, Li/LiFa, leg. H. HACKER, H.-P. SCHREIER. EMEM.
 Abb. 185: *Neoclanis pseudobasalis* **spec. nov.**, HT, GP 5993 ♂, 10 Namibia, 17°53'S 24°34'E, E Caprivi District, 15 km NW Ngoma, 930 m, 26.II.2006, Li/LiFa, leg. H. HACKER, H.-P. SCHREIER. EMEM.
 Abb. 186: *Neoclanis hackeri* **spec. nov.**, HT, GP 5992 ♂ 8, Botswana, Central Distr., 19°39'S, 26°05'E, 60 km N Nata, Elephant Sands Camp, 950 m, 21.II.2006, Li/LiFa, leg. H. HACKER, H.-P. SCHREIER. EMEM.
 Abb. 187: *Neoclanis tsumeb* **spec. nov.**, HT, GP 5985 ♂, /Tsumeb, D. S. W. Afr. [Deutsch Südwestafrika]/Sammlung GEHLEN/. ZSM.
 Abb. 188: *Neoclanis tsumeb* **spec. nov.**, PT, GP 5994 ♂, Tsumeb, S. W. Afr. [Deutsch Südwestafrika]/Sammlung GEHLEN/. ZSM.
 Abb. 189: *Neoclanis weningeri* **spec. nov.**, HT, GP 5995 ♂, Angola, Prov. Huila, Caluquembe-Huambo, Caconda, s 13°46'4", E 015°00', 10.II.2012, 1610 m, coll. STRÖHLE, leg. M. WENINGER. EMEM.
 Abb. 190: *Neoclanis oberprieleri* **spec. nov.**, HT, GP 5978 ♂, South Africa, TVL, Kruger Nat. Park, Pafuri, Bobomene research camp, 22.26S 31.12E, 250 m, 03.II.1994, R. OBERPRIELER. EMEM.
 Abb. 191: *Neoclanis giustii* **spec. nov.**, HT, GP 6013 ♂, Tanzania, Katavi Region, Mtisi Village near Sitalike, 1081 m, 06°28.226'S, 031°07.135'E, 09-XII-2012, (PH. DARGE). EMEM.
 Abb. 192: *Neoclanis dargei* **spec. nov.**, HT, GP 6012 ♂, Tanzania, Rukwa Region, Rukwa Escarpment, 1092 m, 07°05.913'S; 031°08.4844'E, 01-III-2008, (PH. DARGE). EMEM.
 Abb. 193: *Neoclanis iringaensis* **spec. nov.**, HT, GP 5987 ♂, Tanzania, Iringa Region, Mpanga Game Reserve, Usalimbwani, 1225 m, 08°55.195'S, 34°07.105'E, 15.I.2010, PHILIPPE DARGE leg., EMEM, 16.X.2017. EMEM.

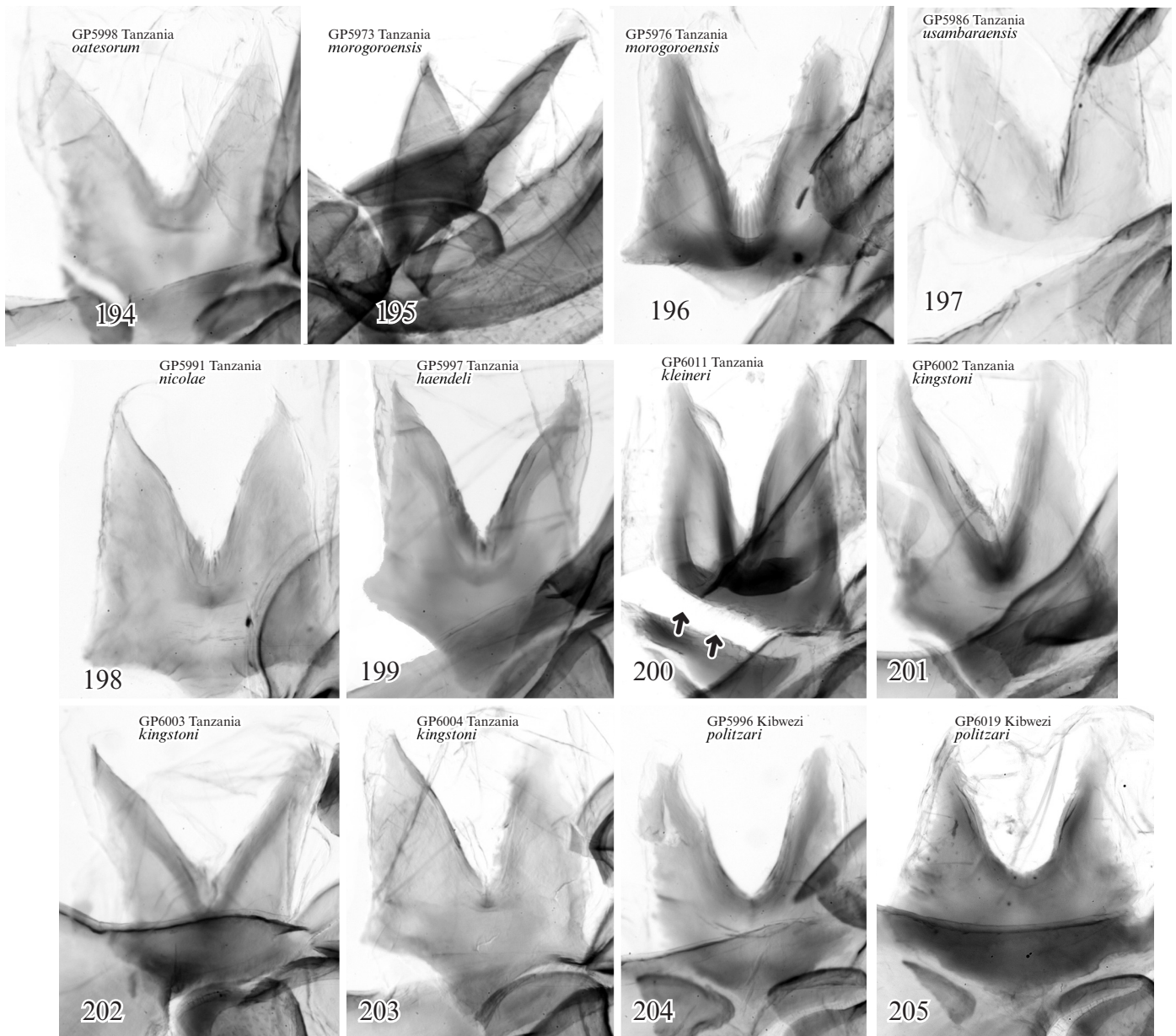


Abb. 194: *Neoclanis oatesorum* spec. nov., HT, GP 5998 ♂, Tanzania: Iringa Region, Mpanga Game Reserve, Usalimwani, 08°55.195'S, 037°20.709'E, 11-II-2005, (PH. DARGE). EMEM.
 Abb. 195: *Neoclanis morogoroensis* spec. nov., HT, GP 5973 ♂, 7 Tanzania, Morogoro: 1 km E Mikumi, savanna, 5.III.2003, 550 m, leg. M. FIBIGER, H. HACKER, K. LARSEN, H.-P. SCHREIER. EMEM..
 Abb. 196: *Neoclanis morogoroensis* spec. nov., PT, GP 5976 ♂, 7 Tanzania, Morogoro: 1 km E Mikumi, savanna, 5.III.2003, 550 m, leg. M. FIBIGER, H. HACKER, K. LARSEN, H.-P. SCHREIER. EMEM..
 Abb. 197: *Neoclanis usambaraensis* spec. nov., HT, GP 5986 ♂, Tanzania: Tanga region, W. Usambara Mts., Irente view Point, 1376 m, 04°47.87'S, 038°16.235'E, 26-XI-2008, (PH. DARGE). EMEM..
 Abb. 198: *Neoclanis nicolae* spec. nov., HT, GP 5991 ♂, Tanzania: Iringa Region, Udzungwa National Park, Camp 2, 400 m, 15.-31.I.2005, PHILIPPE DARGE leg., EMEM, 18.X.2017. EMEM.
 Abb. 199: *Neoclanis haendeli* spec. nov., HT, GP 5997 ♂, Tanzania: Morogoro Region, West Nguru Mts., Makuyu, 566 m, 06°17.002'S, 034°07.105'E., 15-I-2010, (PH. DARGE). EMEM.
 Abb. 200: *Neoclanis kleineri* spec. nov., HT, GP 6011 ♂, Tanzania: Morogoro Region, West Nguru Mts., 2000 m, 4-VIII-2015, (local collector), ex coll. PH. DARGE). EMEM.
 Abb. 201: *Neoclanis kingstoni* spec. nov., PT, GP 6002 ♂, Tanzania: Lindi Region, Mtokokuyana, 362 m, 10°23.038'S, 038°53.775'E., 22-XII-2009, (PH. DARGE). EMEM.
 Abb. 202: *Neoclanis kingstoni* spec. nov., HT, GP 6003 ♂, Tanzania: Lindi Region, Mtokokuyana, 362 m, 10°23.038'S, 038°53.775'E., 22-XII-2009, (PH. DARGE). EMEM.
 Abb. 203: *Neoclanis kingstoni* spec. nov., PT, GP 6004 ♂, Tanzania: Lindi Region, Mtokokuyana, 362 m, 10°23.038'S, 038°53.775'E., 22-XII-2009, (PH. DARGE). EMEM.
 Abb. 204: *Neoclanis politziari* spec. nov., HT, GP 5996 ♂, Kenya, Kibwezi, 20-31.5.1994, leg. Dr. POLITZAR. EMEM.
 Abb. 205: *Neoclanis politziari* spec. nov., PT, GP 6019 ♂, Kenya, Kibwezi, 8.-14.5.1995, leg. Dr. POLITZAR. ZSM.

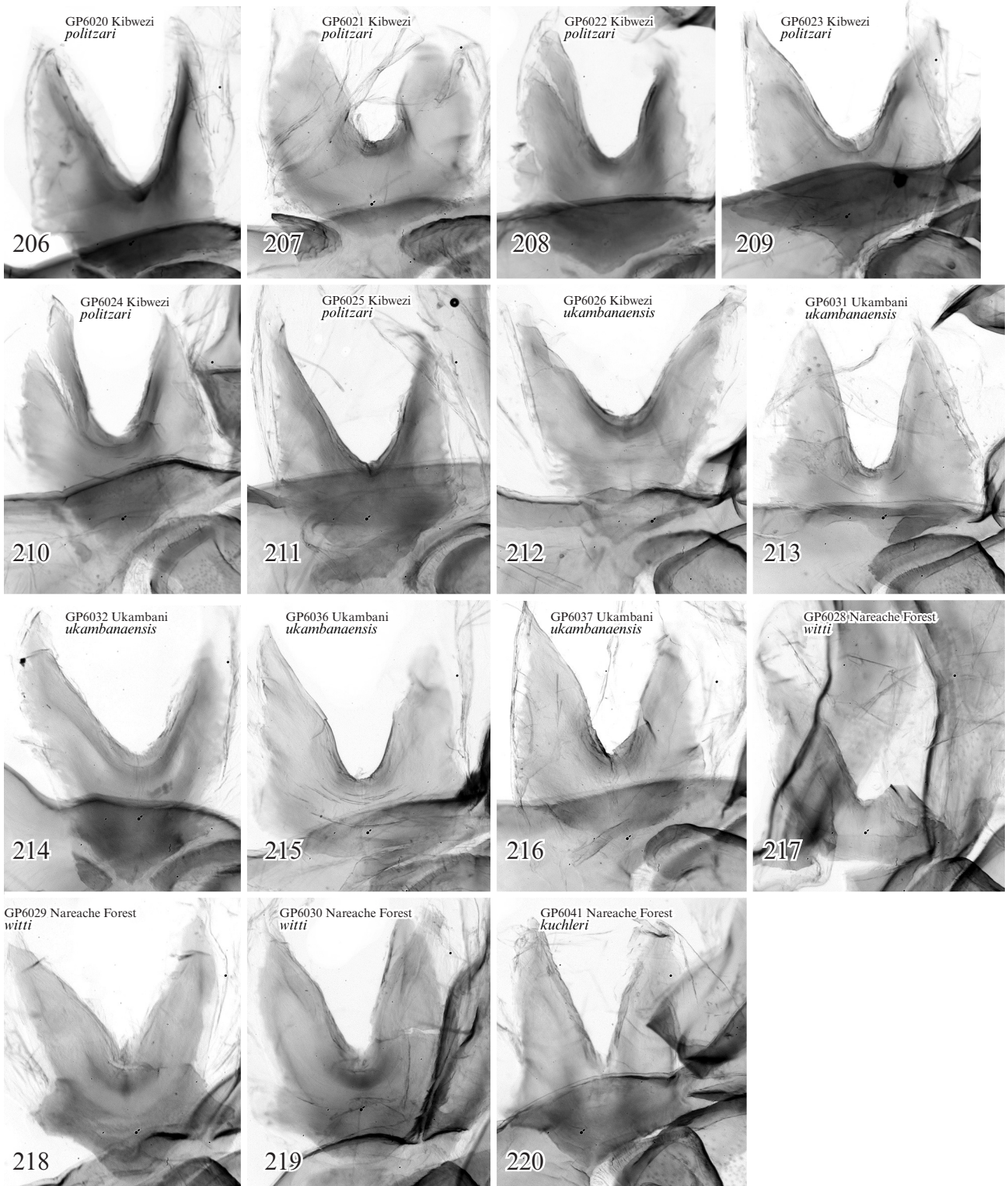


Abb. 206: *Neoclanis politzari* spec. nov., PT, GP 6020 ♂, Kenya, Kibwezi, 20-31.5.1994, leg. Dr. POLITZAR. ZSM.
 Abb. 207: *Neoclanis politzari* spec. nov., PT, GP 6021 ♂, Kenya, Kibwezi, 20-31.5.1994, leg. Dr. POLITZAR. ZSM.
 Abb. 208: *Neoclanis politzari* spec. nov., PT, GP 6022 ♂ (Spannweite: 7,98 cm), Kenya, Kibwezi, 20-31.5.1994, leg. Dr. POLITZAR. ZSM.
 Abb. 209: *Neoclanis politzari* spec. nov., PT, GP 6023 ♂ (Spannweite: 7,74 cm), Kenya, Kibwezi, 20-31.5.1994, leg. Dr. POLITZAR. ZSM.
 Abb. 210: *Neoclanis politzari* spec. nov., PT, GP 6024 ♂ (Spannweite: 7,86 cm), Kenya, Kibwezi, 20-31.5.1994, leg. Dr. POLITZAR. ZSM.
 Abb. 211: *Neoclanis politzari* spec. nov., PT, GP 6025 ♂ (Spannweite: 7,61 cm), Kenya, Kibwezi, 8.-14.5.1995, leg. Dr. POLITZAR. ZSM.
 Abb. 212: *Neoclanis ukambaniensis* spec. nov., PT, GP 6026 ♂ (Spannweite: 6,97 cm), Kenya, Kibwezi, 700 m, 1.-15.12.2000, leg. Dr. POLITZAR, Museum WITT. ZSM.
 Abb. 213: *Neoclanis ukambaniensis* spec. nov., PT, GP 6031 ♂ (Spannweite: 6,82 cm), Kenya, South Ukambani, near Kibwezi, 20-27.XI.1994 Lf., leg. Dr. POLITZAR, Museum WITT. ZSM.
 Abb. 214: *Neoclanis ukambaniensis* spec. nov., PT, GP 6032 ♂ (Spannweite: 6,88 cm), Kenya, South Ukambani, near Kibwezi, 20-27.XI.1994 Lf., leg. Dr. POLITZAR, Museum WITT. ZSM.
 Abb. 215: *Neoclanis ukambaniensis* spec. nov., PT, GP 6036 ♂ (Spannweite: 7,91 cm), [Kenya] Süd-Ukambani, 28.5.-1.6.1995, leg. Dr. POLITZAR. ZSM.
 Abb. 216: *Neoclanis ukambaniensis* spec. nov., HT, GP 6037 ♂ (Spannweite: 7,91 cm), [Kenya] Süd-Ukambani, 28.5.-1.6.1995, leg. Dr. POLITZAR. ZSM.
 Abb. 217: *Neoclanis witti* spec. nov., HT, GP 6028 ♂ (Spannweite: 6,79 cm), Kenya, South Coast, Nareache Forest, 13.9.[19]96, leg.: POLITZAR. ZSM.
 Abb. 218: *Neoclanis witti* spec. nov., PT, GP 6029 ♂ (Spannweite: 6,63 cm), Kenya, South Coast, Nareache Forest, 13.9.[19]96, leg.: POLITZAR. ZSM.
 Abb. 219: *Neoclanis witti* spec. nov., PT, GP 6030 ♂ (Spannweite: 7,63 cm), Kenya, South Coast, Nareache Forest, 27.10.[20]00, leg.: POLITZAR. ZSM.
 Abb. 220: *Neoclanis kuchleri* spec. nov., HT, GP 6041 ♂ (Spannweite: 6,56 cm), Kenya, Südküste, Marenje Forest, 14.2.[19]95, leg.: POLITZAR. ZSM.

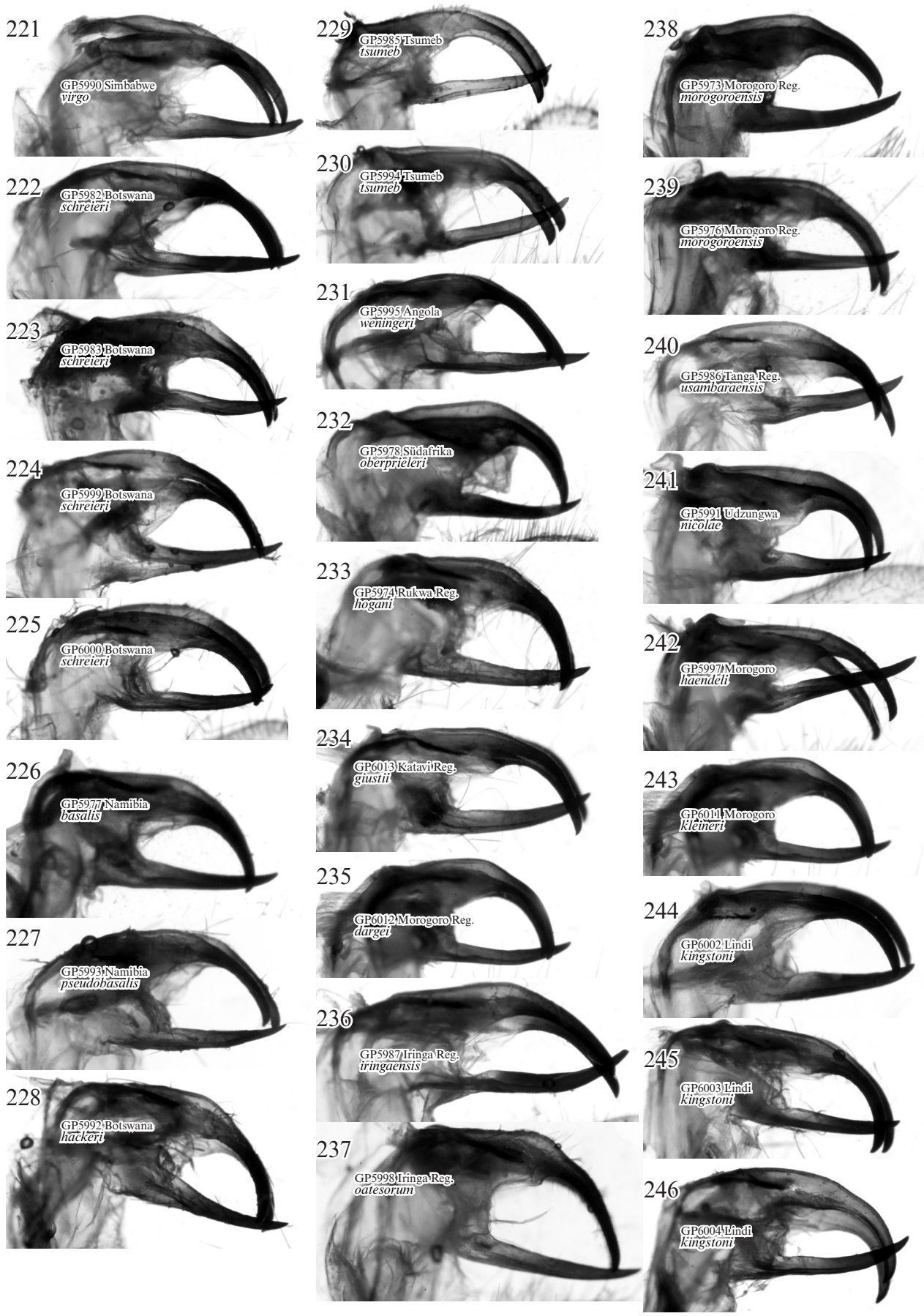


Abb. 221-246: Tegumen, Uncus und Gnathos von *Neoclanis* spp. Vergrößerung: 12 x. Funddaten siehe Genitalverzeichnis (p. 29-30).

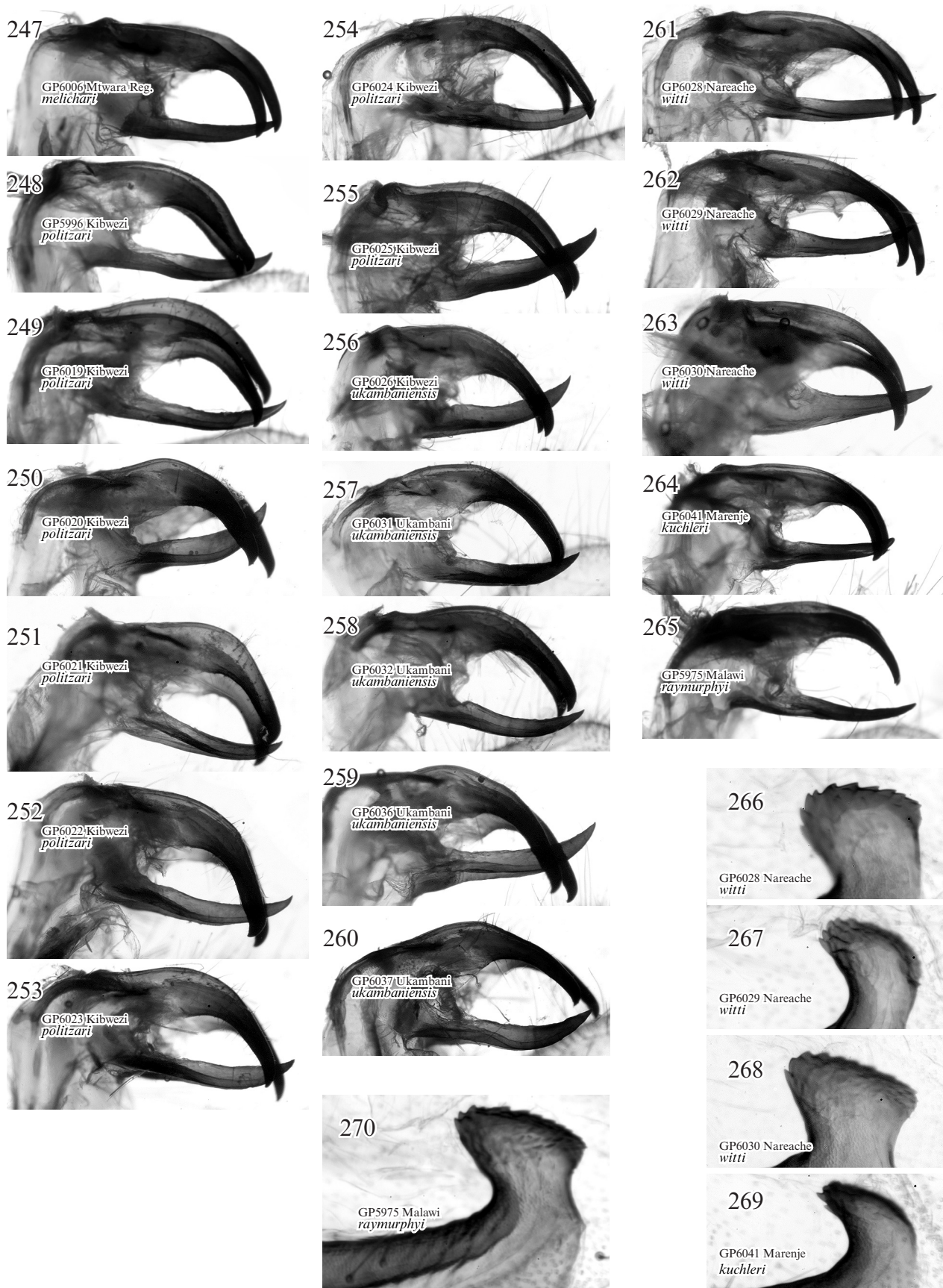


Abb. 247-265: Tegumen, Uncus und Gnathos von *Neoclanis* spp. Vergrößerung: 12 x. Fundorte siehe Genitalverzeichnis.
 Abb. 266-269: Sacculushals mit -kopf von *Neoclanis* spp. Vergrößerung: 50 x. Funddaten siehe Genitalverzeichnis (p. 29-30).

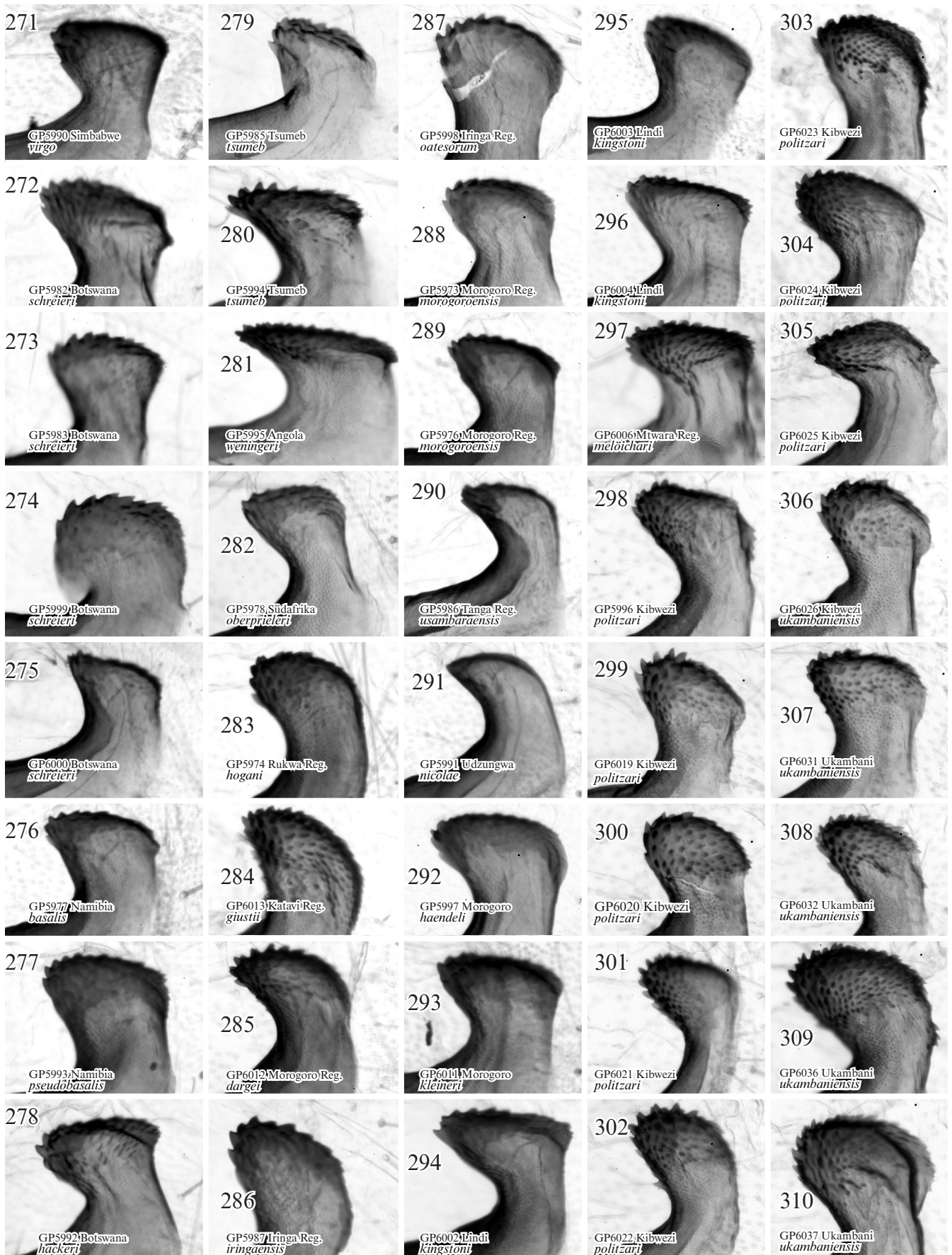


Abb. 271-310: Sacculushals mit -kopf von *Neoclanis* spp. Vergrößerung: 50 x. Funddaten siehe Genitalverzeichnis (p. 29-30).

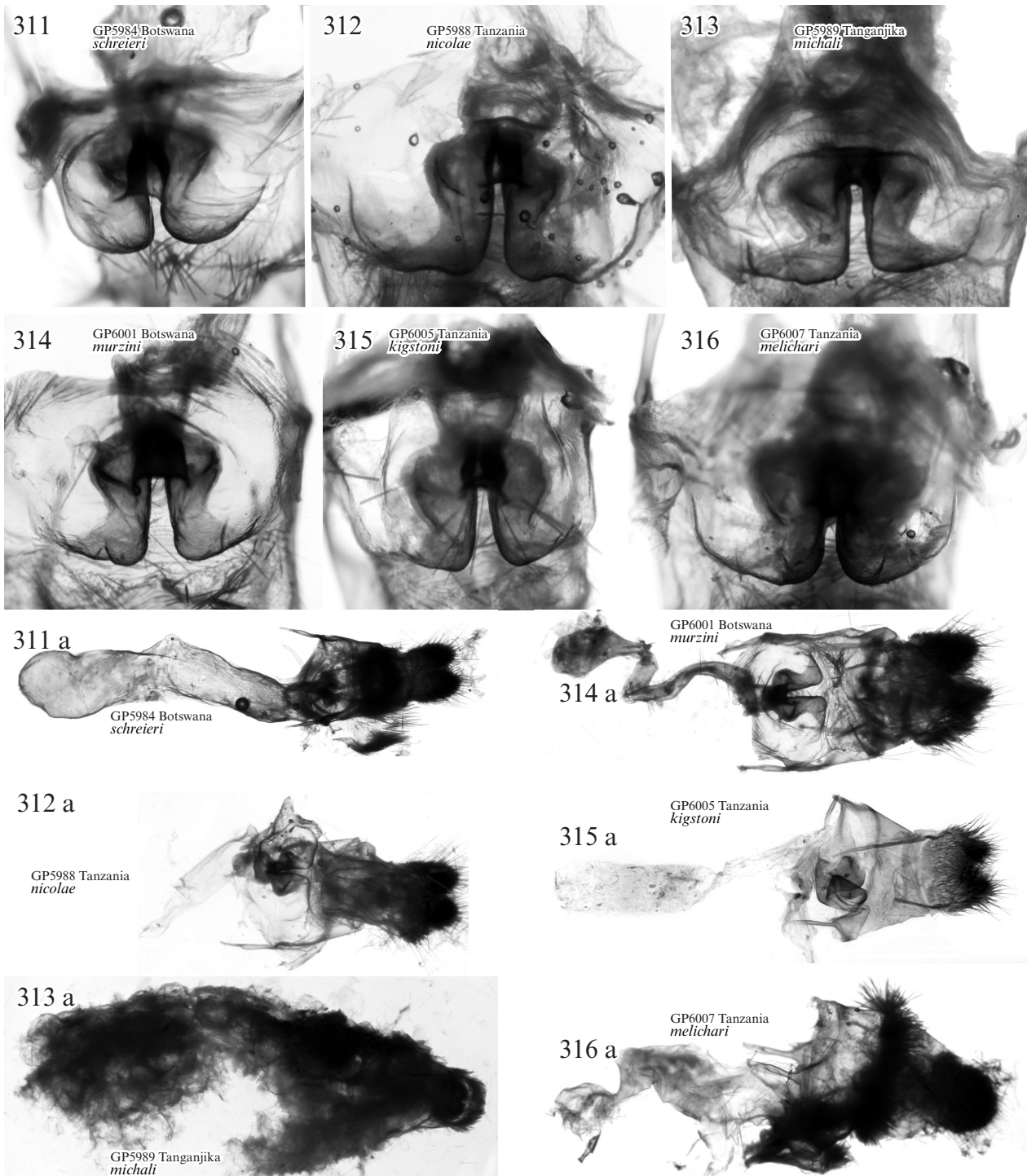


Abb. 311, 311 a: *Neoclanis schreieri* spec. nov., AT, GP 5984 ♀ (Spannweite: 8,56 cm), 8, Botswana, Chobe Distr., 17°49'S, 25°13'E, SSE Kasane, 2 km W Leshoma, Kasane Forest Res., 1000 m, 24.II.2006, Li/LiFa, leg. H. HACKER, H.-P. SCHREIER. EMEM. Vergrößerung: < 6 x: Abb. 311 a; 12 x: Abb. 311.

Abb. 312, 312 a: *Neoclanis nicolae* spec. nov., AT, GP 5988 ♀ (Spannweite: 9,22 cm), *Neoclanis*, Tansanie, Iringa Region, Udzungwa National Park, Camp 2, 400 m, 15.-31.I.2005, PHILIPPE DARGE leg., EMEM, 16.X.2017. EMEM. Vergrößerung: < 6 x: Abb. 312 a; 12 x: Abb. 312.

Abb. 313, 313 a: *Neoclanis michali* spec. nov., HT, GP 5989 ♀ (Spannweite: 9,42 cm), Tanganjika, Lindi, Ndanda, 300 m, 8.XII.1958, leg. CH. LINDEMANN, Staatsslg. München. ZSM. Vergrößerungen: < 6 x: Abb. 313 a; 12 x: Abb. 313.

Abb. 314, 314 a: *Neoclanis murzini* spec. nov., HT, GP 6001 ♀ (Spannweite: 6,83 cm), Botswana, 10 km S Ghanzi, 1080 m, 21.810369S, 21.609318E, 21-23.XII.2012, S. MURZIN leg. EMEM. (56 voll entwickelten Eier aus dem Abdomen präpariert.) Vergrößerung: < 6 x: Abb. 314 a; 12 x: Abb. 314.

Abb. 315, 315 a: *Neoclanis kingstoni* spec. nov., AT, GP 6005 ♀ (Spannweite: 8,03 cm), Tansanie: Lindi Region, Mtokokuyana, 362 m, 10°23.038'S., 038°53.775'E., 22-XII-2009, (PH. DARGE). EMEM. Vergrößerungen: < 6 x: Abb. 315 a; 12 x: Abb. 315.

Abb. 316, 316 a: *Neoclanis melichari* spec. nov., AT, GP 6007 ♀ (Spannweite: 8,63 cm), Tansanie: Mtwara Region, Lumesule, 10°54.792'S., 038°02.393'E., 364 m, 23-XII-2009, (PH. DARGE). EMEM. Vergrößerung: < 6 x: Abb. 316 a; 12 x: Abb. 316.

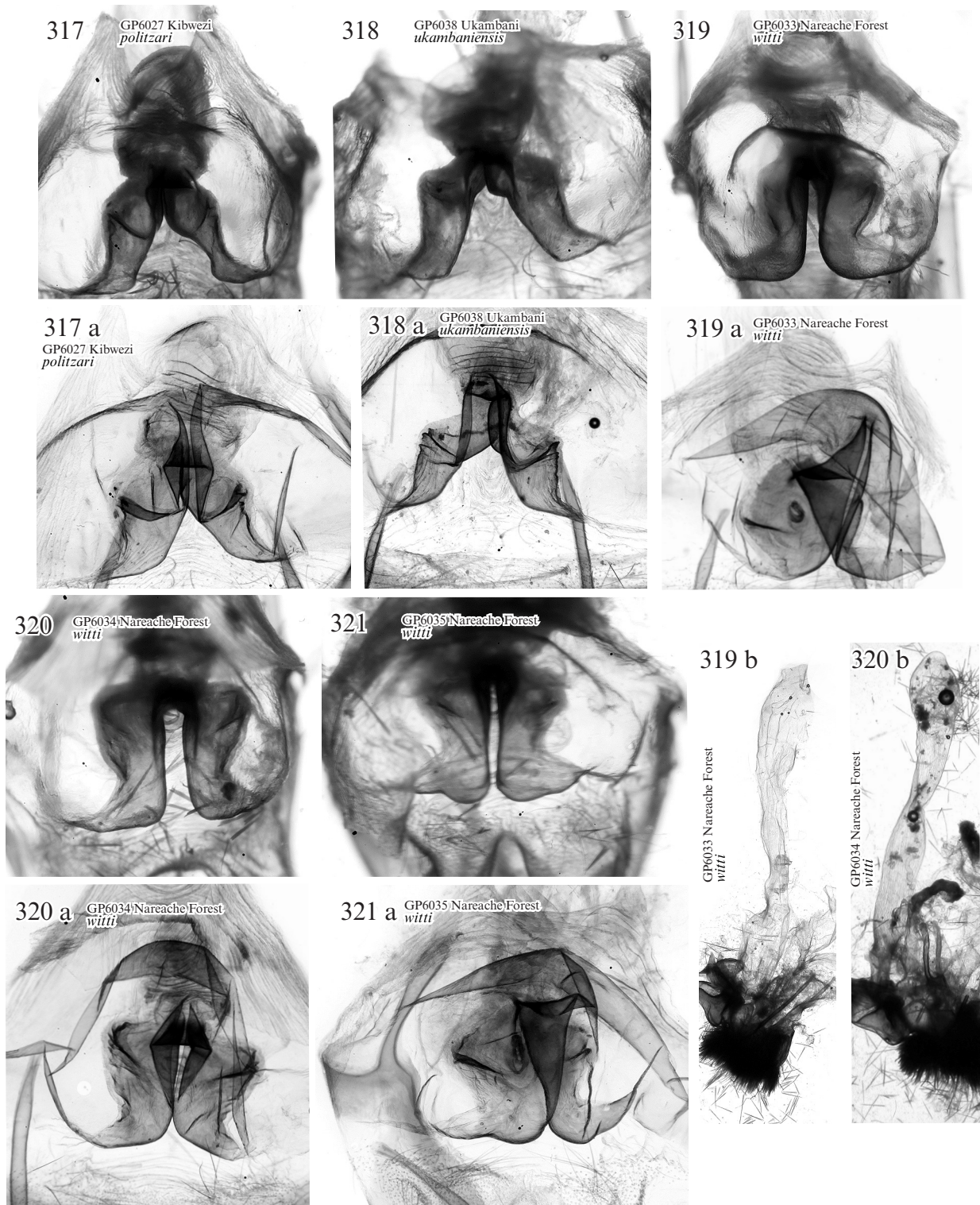


Abb. 317, 317 a: *Neoclanis Neoclanis politzari* spec. nov., AT, GP 6027 ♀ (Spannweite: 9,14 cm), Kenya, Kibwezi, 20-31.5.1994, leg. Dr. POLITZAR. ZSM. Vergrößerung: 12 x: Abb. 317, 317 a.
 Abb. 318, 318 a: *Neoclanis ukumbaniensis* spec. nov., AT, GP 6038 ♀ (Spannweite: 8,90 cm), Kenya, South-Ukambani, 20.4.[20]00, leg.: POLITZAR. ZSM. Vergrößerung: 12 x: Abb. 318, 318 a.
 Abb. 319, 319 a-b: *Neoclanis witti* spec. nov., HT, GP 6033 ♀ (Spannweite: 7,72 cm), Kenya, South Coast, Nareache Forest, 27.10.[20]00, leg.: POLITZAR. ZSM. Vergrößerung: < 6 x: Abb. 319 b; 12 x: Abb. 319, 319 a.
 Abb. 320, 320 a-b: *Neoclanis witti* spec. nov., PT, GP 6034 ♀ (Spannweite: 9,34 cm), Kenya, South Coast, Nareache Forest, 6.9.[19]96, leg.: POLITZAR. ZSM. Vergrößerung: < 6 x: Abb. 320 b; 12 x: Abb. 320, 320 a.
 Abb. 321, 321 a: *Neoclanis witti* spec. nov., PT, GP 6035 ♀ (Spannweite: 8,91 cm), Kenya, South Coast, Nareache Forest, 14.3.[19]96, leg.: POLITZAR. ZSM. Vergrößerung: 12 x: Abb. 320, 320 a.

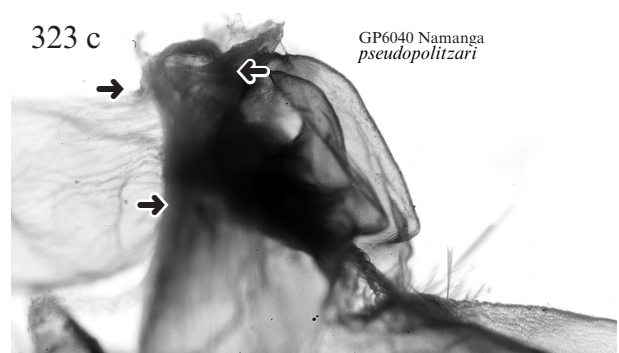
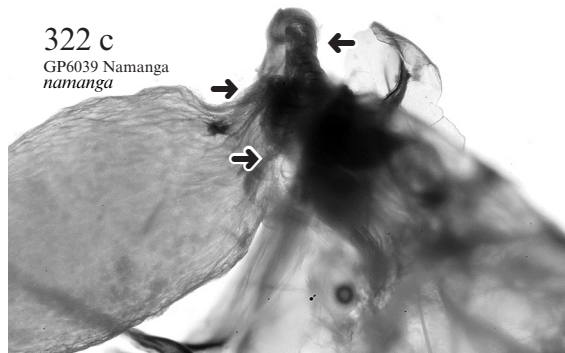
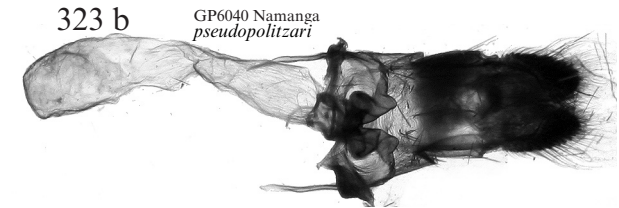
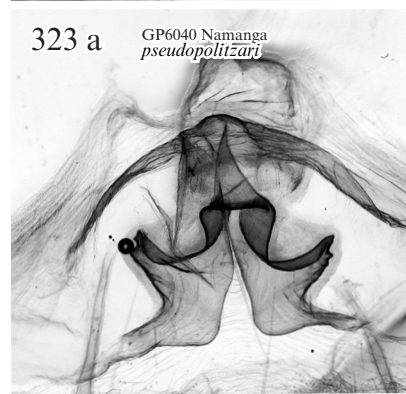
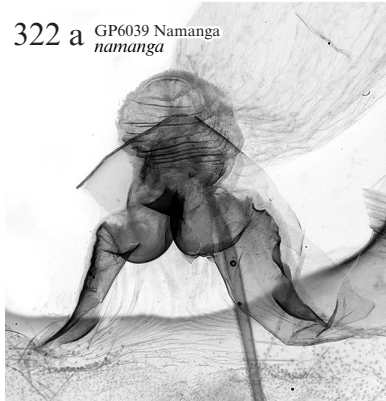
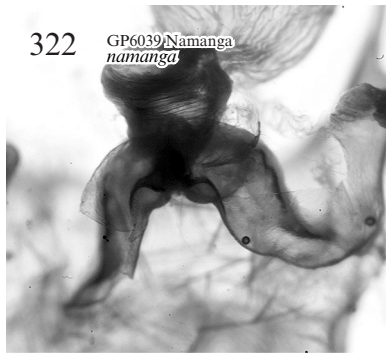
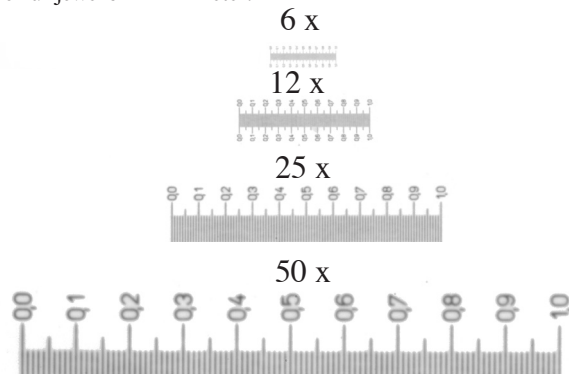


Abb. 322, 322 a-c: *Neoclanis namanga spec. nov.*, HT, GP 6039 ♀ (Spannweite: 8,28 cm), Kenya, Namanga, 18.3.[19]94, [leg. POLITZAR]. ZSM. Vergrößerung: < 6 x: Abb. 322 b; 12 x: Abb. 322, 322 a; 25 x: Abb. 322 c.
Abb. 323, 323 a-c: *Neoclanis pseudopolitzari spec. nov.*, HT, GP 6040 ♀ (Spannweite: 8,57 cm), Kenya, Namanga, 18.3.[19]94, [leg. POLITZAR]. ZSM. Vergrößerung: < 6 x: Abb. 323 b; 12 x: Abb. 323, 323 a; 25 x: Abb. 323 c.

Zu den Abbildungen 1-1679 t: Alle Bilder wurden unter standardisierten Bedingungen, in den Vergrößerungen 6 x, 12 x, 25 x und 50 x, aufgenommen. Die Maßskalen hierfür jeweils in Millimeter:



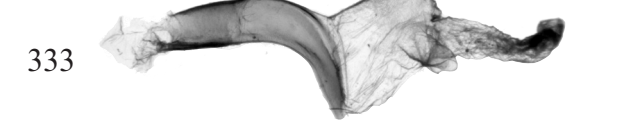
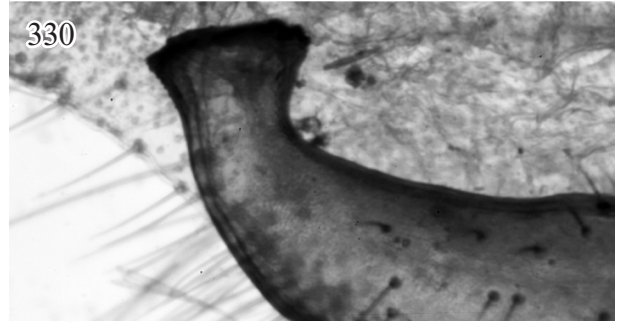
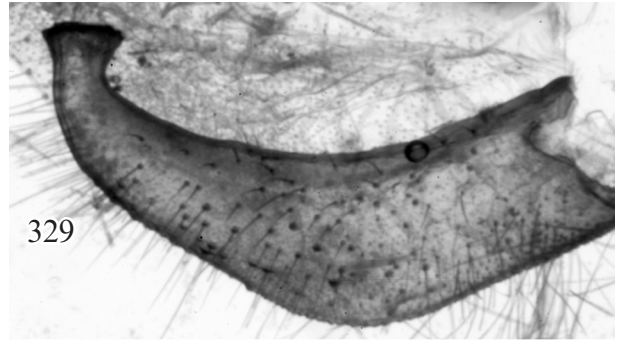
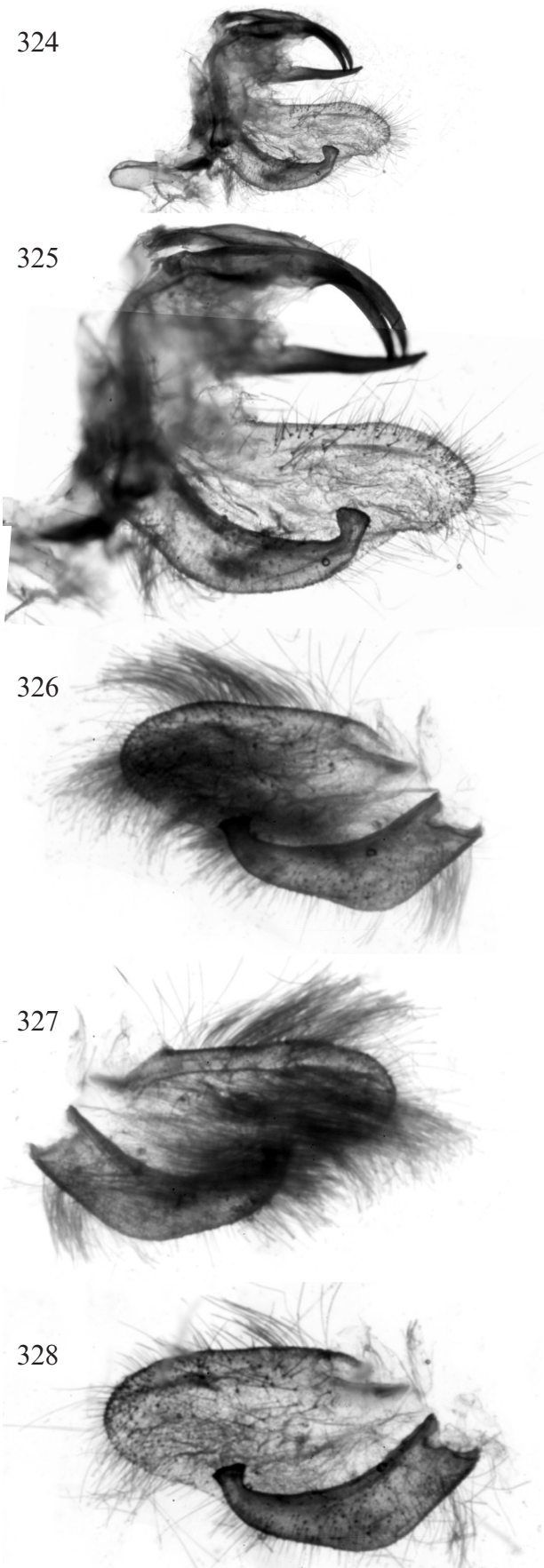


Abb. 324-335: *Neoclanis virgo* (WESTWOOD, 1881) stat. rev. - GP 5990 ♂, Typus [HT] von *Choerocampa virgo* WESTWOOD, 1881. OUMNH. Vergrößerung: 6 x: Abb. 324, 331, 332, 333; 12 x: Abb. 325-328, 332, 334, 335; 25 x: Abb. 329; 50 x: Abb. 330.

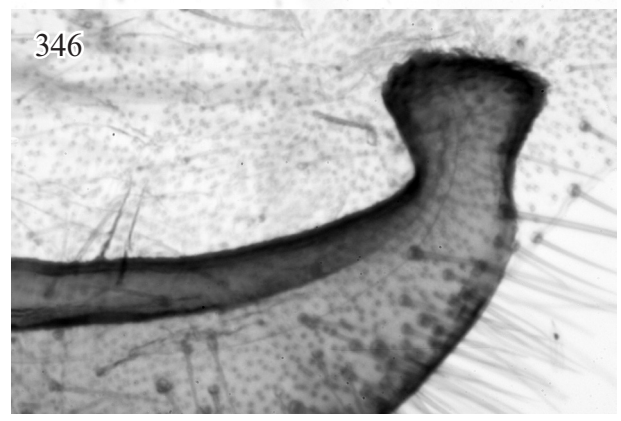
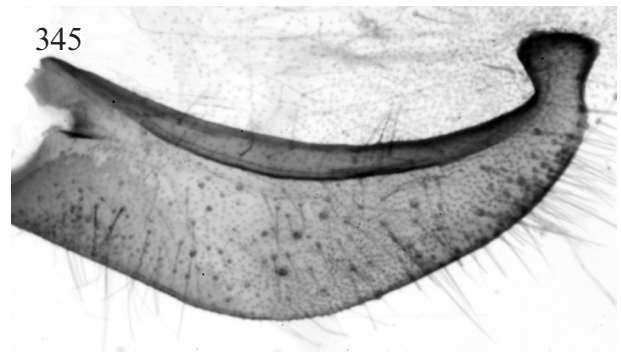
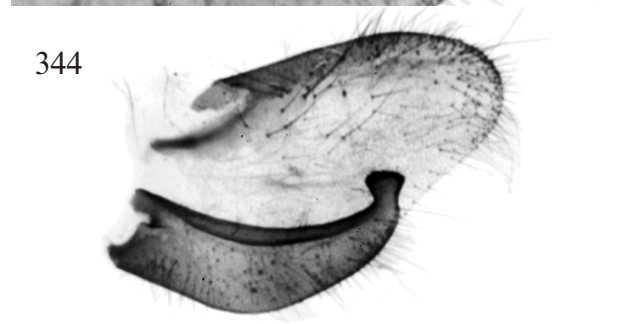
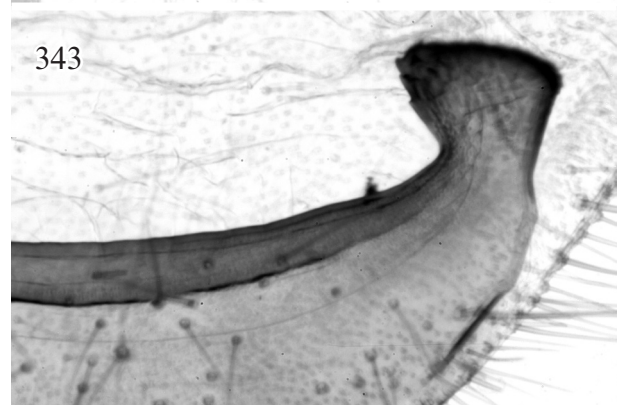
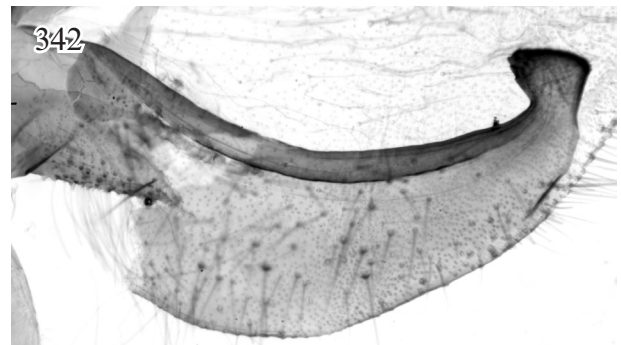
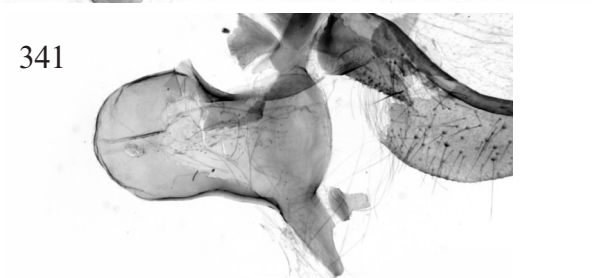
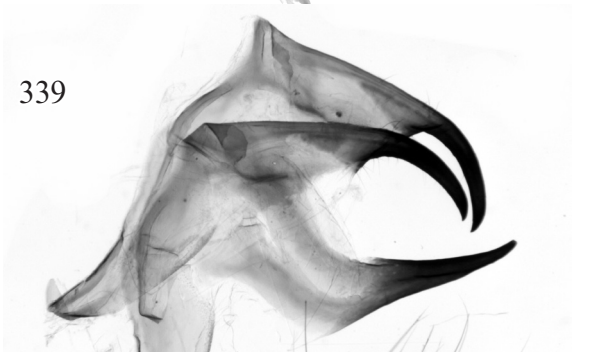
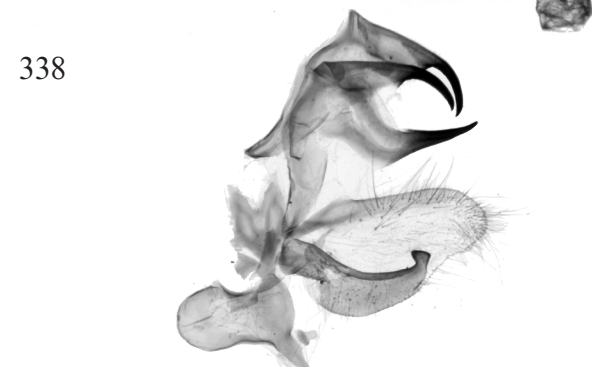
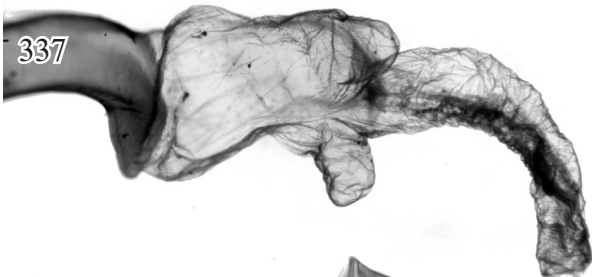
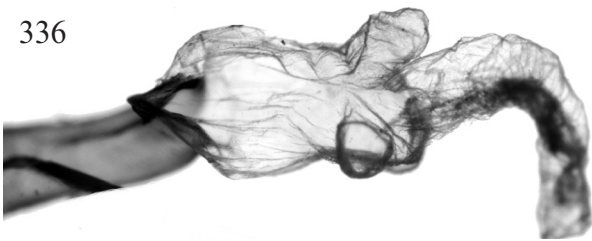


Abb. 336-346: *Neoclanis virgo* (WESTWOOD, 1881) stat. rev. - GP 5990 ♂, Typus [HT] von *Choerocampa virgo* WESTWOOD, 1881. OUMNH. Vergrößerung: 6 x: Abb. 338; 12 x: Abb. 336, 337, 339-341, 344; 25 x: Abb. 342, 345; 50 x: Abb. 343, 346.

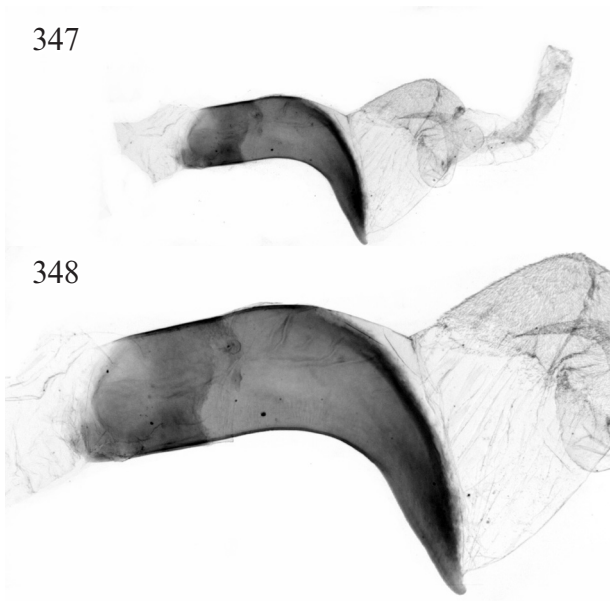


Abb. 347-349: *Neoclanis virgo* (WESTWOOD, 1881) **stat. rev.** - GP 5990 ♂, Typus [HT] von *Choerocampa virgo* WESTWOOD, 1881. OUMNH. Vergrößerung: 6 x: Abb. 347; 12 x: Abb. 348, 349.

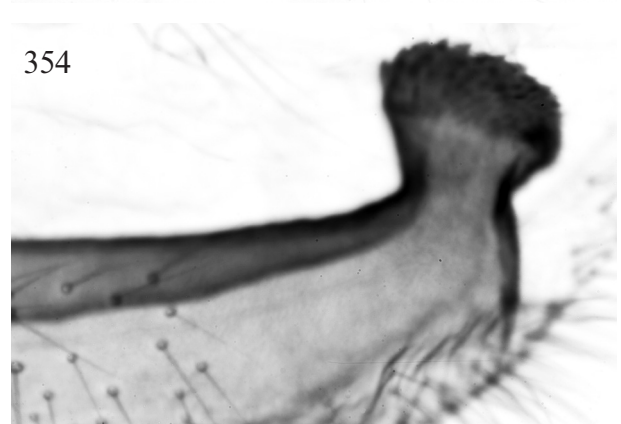
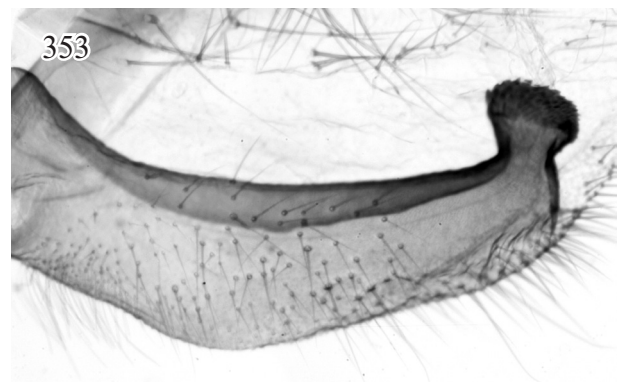
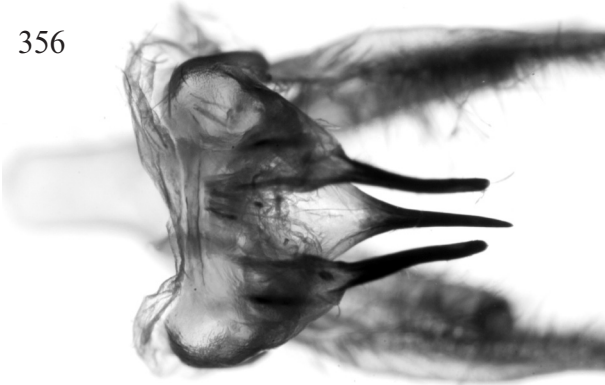


Abb. 350-354: *Neoclanis schreieri* **spec. nov.**, PT, GP 5982 ♂ (Spannweite: 6,76 cm), /8, Botswana, Chobe Distr., 17°49'S, 25°13'E, SSE Kasane, 2 km W Leshoma, Kasane Forest Res., 1000 m, 24.II.2006, Li/LiFa, leg. H. HACKER, H.-P. SCHREIER//ex coll. HACKER & SCHREIER in EMEM, 16.I.2017, Entomol. Museum Eitschberger, Marktleuthen/. EMEM. Vergrößerung: 6 x: Abb. 350; 12 x: Abb. 351, 352; 25 x: Abb. 353; 50 x: Abb. 354.

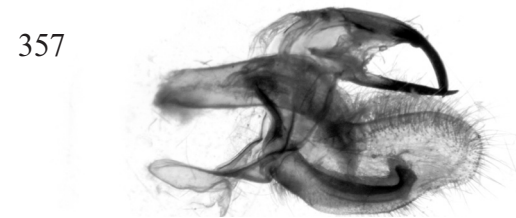
355



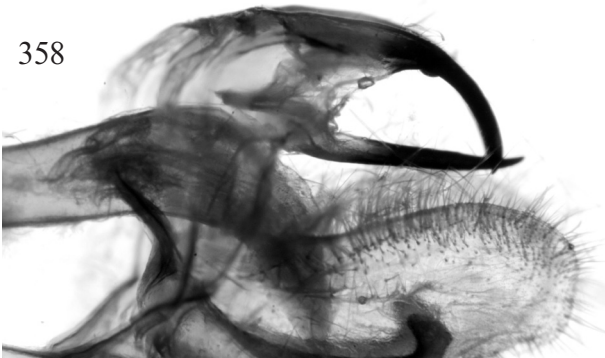
356



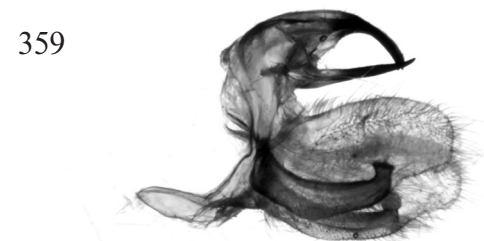
357



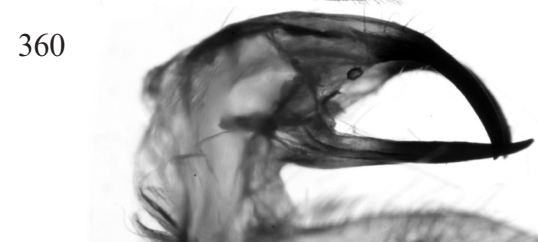
358



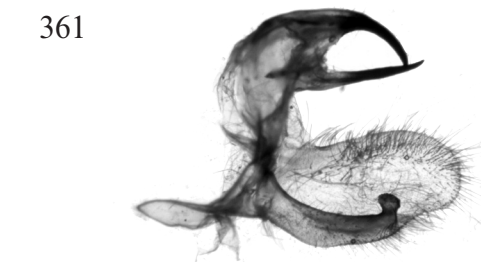
359



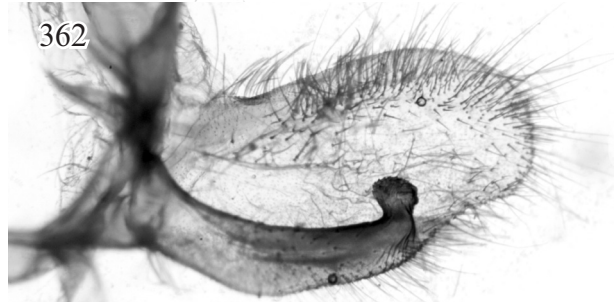
360



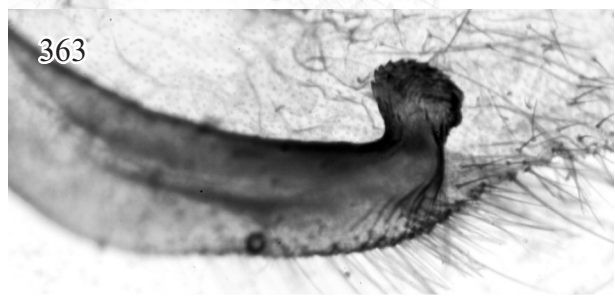
361



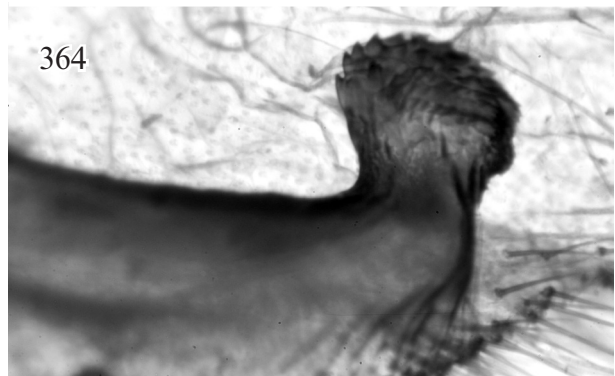
362



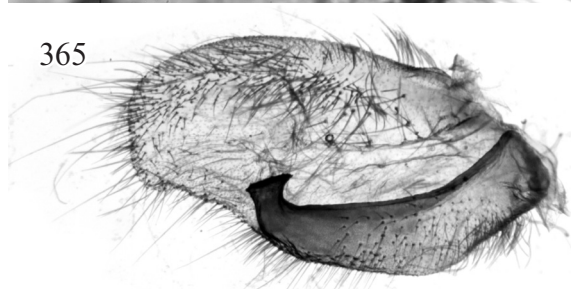
363



364



365



366

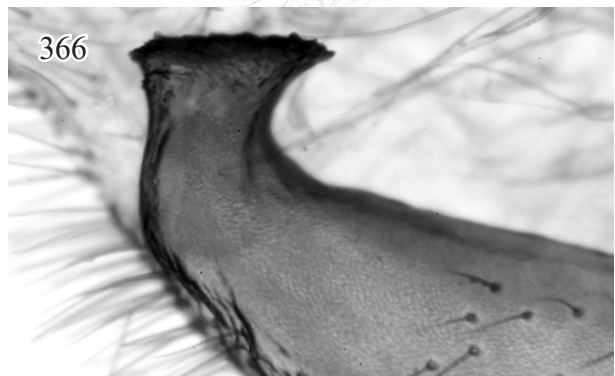


Abb. 355-366: *Neoclanis schreieri* spec. nov., PT, GP 5982 ♂ (Spannweite: 6,76 cm), /8, Botswana, Chobe Distr., 17°49'S, 25°13'E, SSE Kasane, 2 km W Leshoma, Kasane Forest Res., 1000 m, 24.II.2006, Li/LiFa, leg. H. HACKER, H.-P. SCHREIER/ex coll. HACKER & SCHREIER in EMEM, 16.I.2017, Entomol. Museum Eitschberger, Markt-leuthen/. EMEM. Vergrößerung: 6 x: Abb. 355, 357, 359, 361; 12 x: Abb. 356, 358, 360, 362, 365; 25 x: Abb. 363; 50 x: Abb. 364, 366.

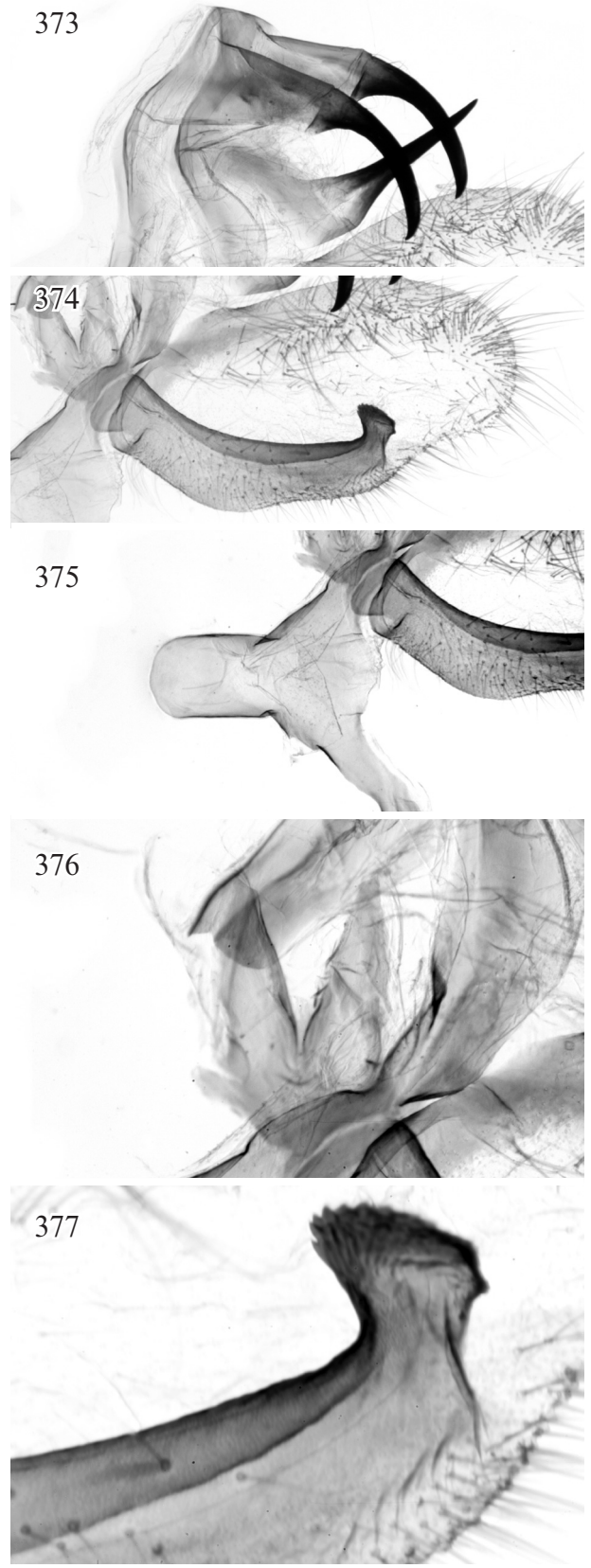
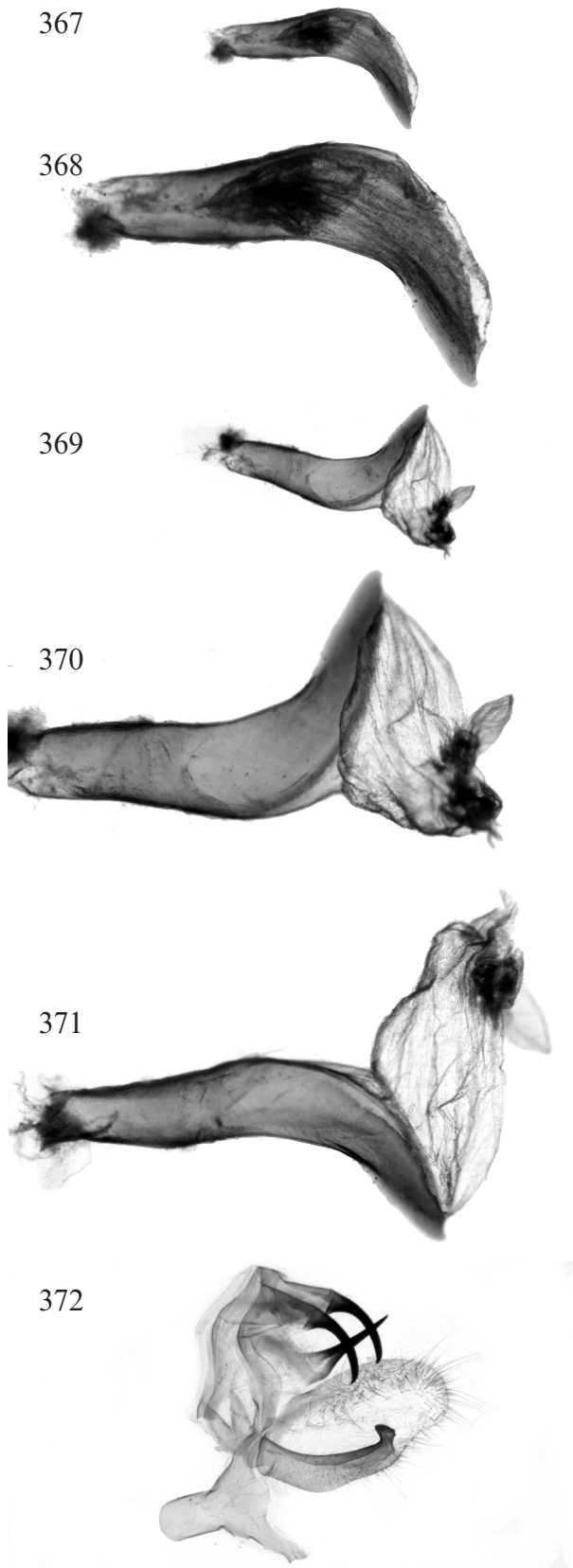


Abb. 367-377: *Neoclanis schreieri* spec. nov., PT, GP 5982 ♂ (Spannweite: 6,76 cm), ♀, Botswana, Chobe Distr., 17°49'S, 25°13'E, SSE Kasane, 2 km W Leshoma, Kasane Forest Res., 1000 m, 24.II.2006, Li/LiFa, leg. H. HACKER, H.-P. SCHREIER//ex coll. HACKER & SCHREIER in EMEM, 16.I.2017, Entomol. Museum Eitschberger, Marktleuthen/. EMEM. Vergrößerung: 6 x: Abb. 367, 369, 372, 371; 12 x: Abb. 368, 370, 371, 373-375; 25 x: Abb. 376; 50 x: Abb. 377.

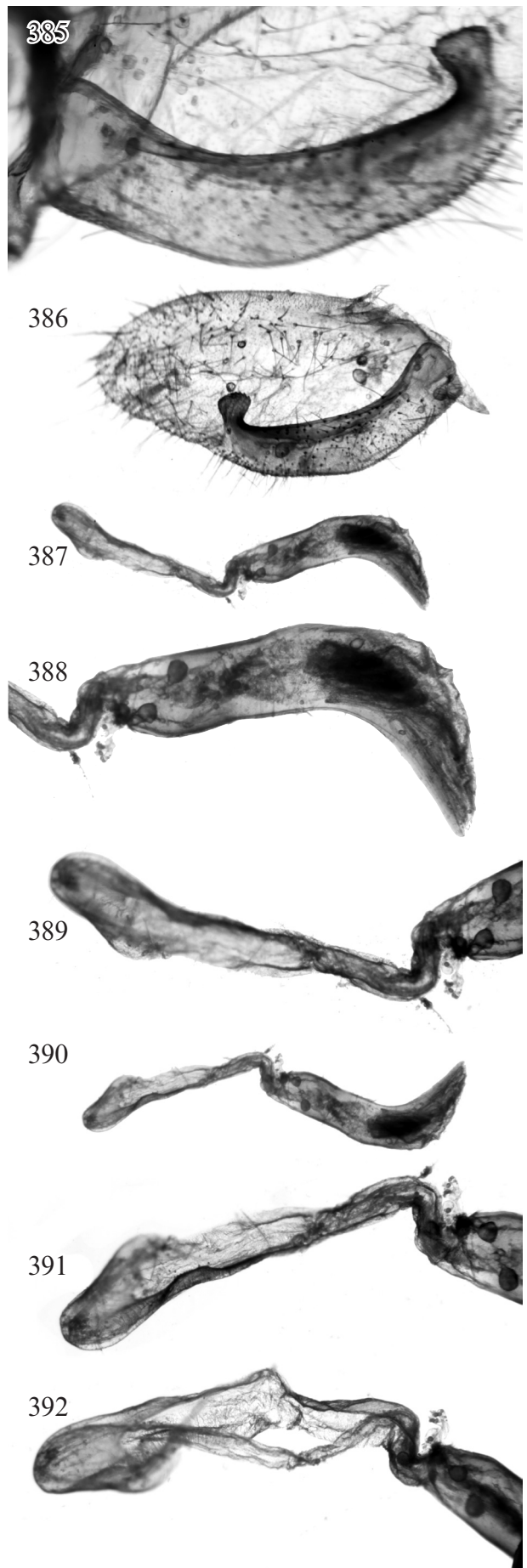
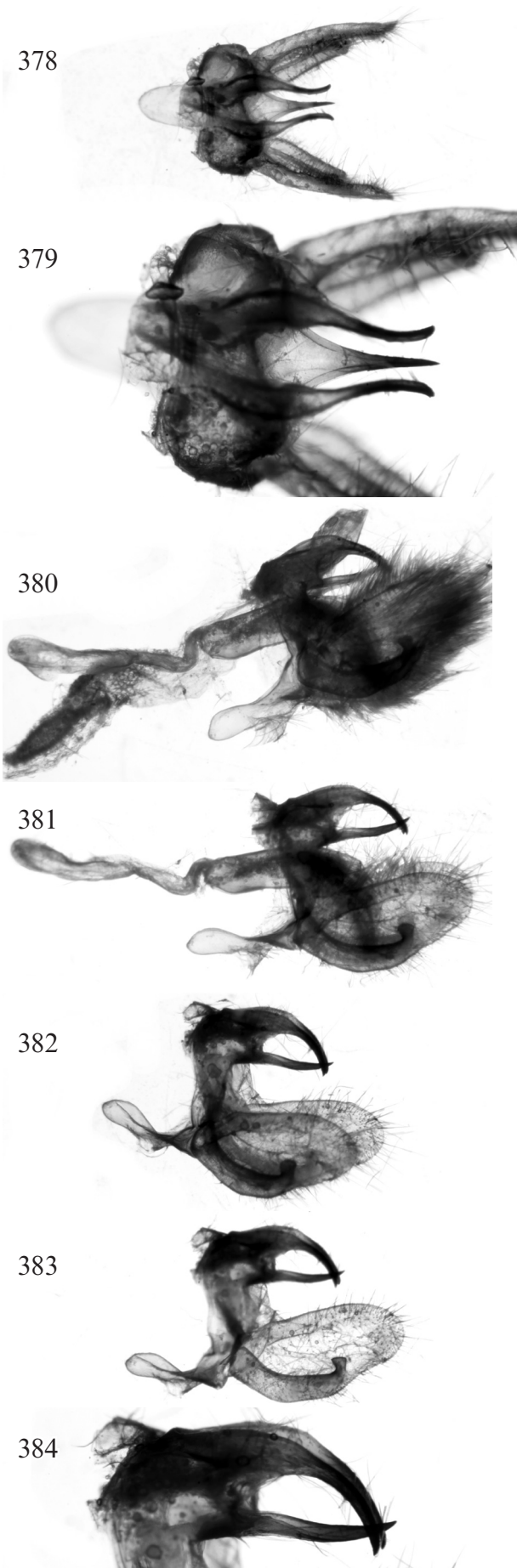


Abb. 378-392: *Neoclanis schreieri* spec. nov., PT, GP 5983 ♂ (Spannweite: 6,96 cm), /8, Botswana, Chobe Distr., 17°49'S, 25°13'E, SSE Kasane, 2 km W Leshoma, Kasane Forest Res., 1000 m, 24.II.2006, Li/LiFa, leg. H. HACKER, H.-P. SCHREIER//ex coll. HACKER & SCHREIER in EMEM, 16.I.2017, Entomol. Museum Eitschberger, Marktleuthen/. EMEM. Vergrößerung: 6 x: Abb. 378, 380-383, 387, 390; 12 x: Abb. 379, 384, 386, 388, 389, 391, 392; 25 x: Abb. 385.

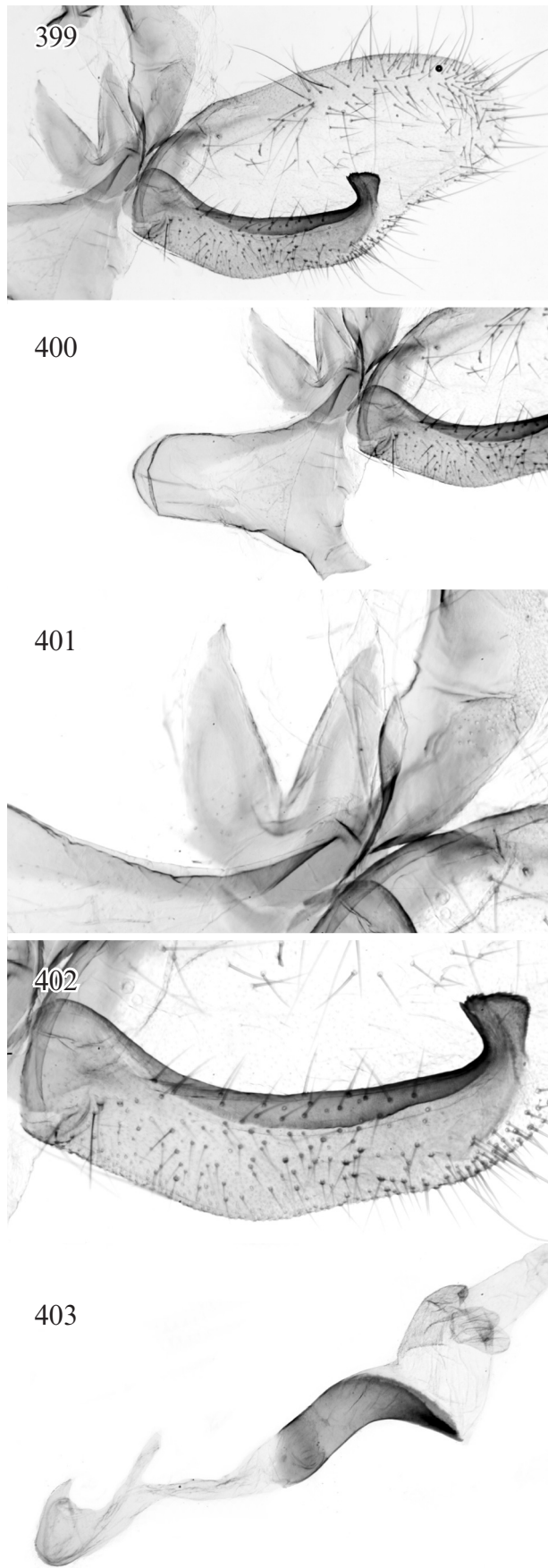
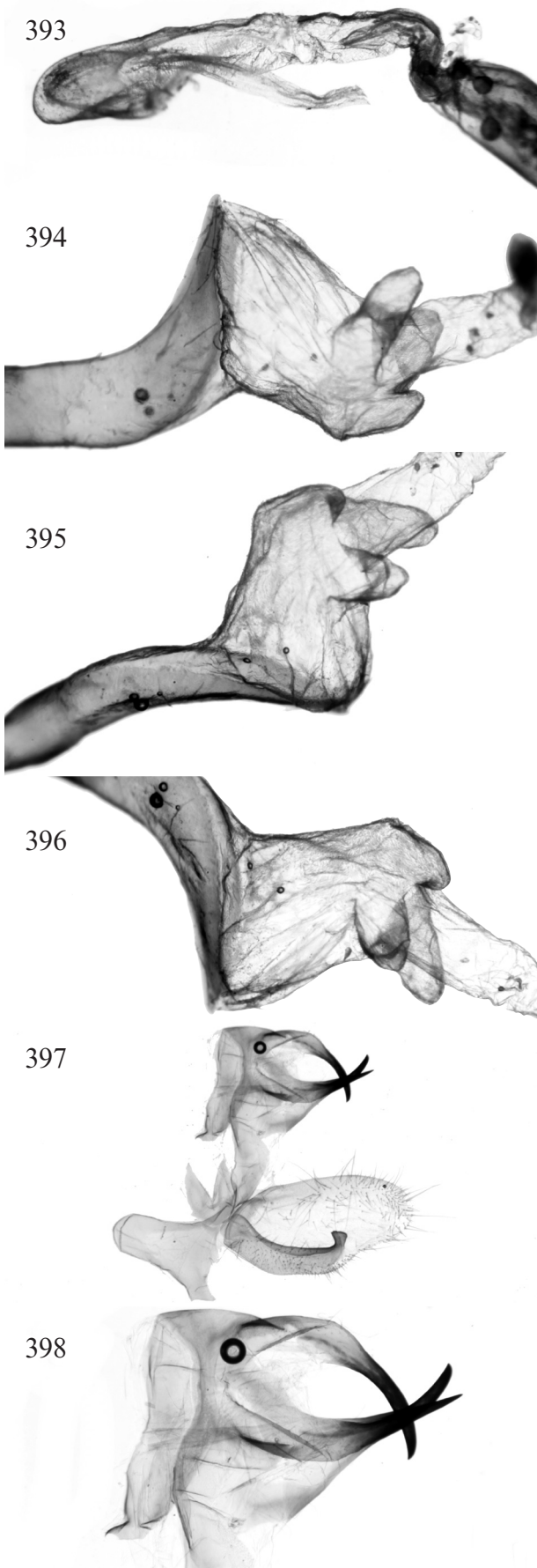


Abb. 393-403: *Neoclanis schreieri* spec. nov., PT, GP 5983 ♂ (Spannweite: 6,96 cm), /8, Botswana, Chobe Distr., 17°49'S, 25°13'E, SSE Kasane, 2 km W Leshoma, Kasane Forest Res., 1000 m, 24.II.2006, Li/LiFa, leg. H. HACKER, H.-P. SCHREIER//ex coll. HACKER & SCHREIER in EMEM, 16.I.2017, Entomol. Museum Eitschberger, Marktleuthen/. EMEM. Vergrößerung: 6 x: Abb. 397, 403; 12 x: Abb. 393-396, 386, 398-400; 25 x: Abb. 401, 402.

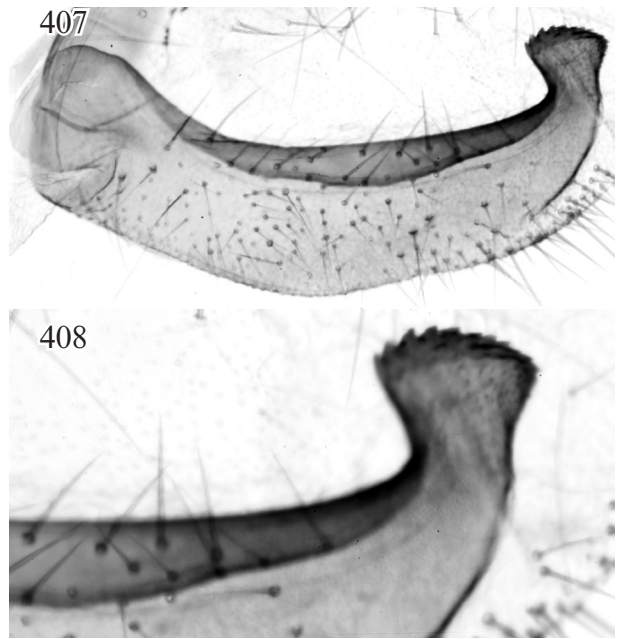
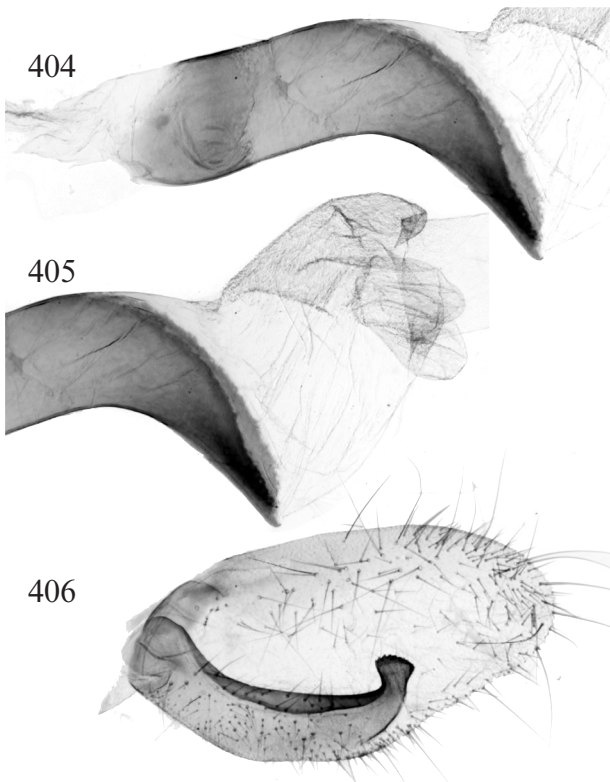


Abb. 404-408: *Neoclanis schreieri* spec. nov., PT, GP 5983 ♂ (Spannweite: 6,96 cm), /8, Botswana, Chobe Distr., 17°49'S, 25°13'E, SSE Kasane, 2 km W Leshoma, Kasane Forest Res., 1000 m, 24.II.2006, Li/LiFa, leg. H. HACKER, Entomol. Museum Eitschberger, Markt-leuthen/. EMEM.

H.-P. SCHREIER//ex coll. HACKER & SCHREIER in EMEM, 16.I.2017, Vergrößerung: 12 x: Abb. 404-406; 25 x: Abb. 407; 50 x: Abb. 408.

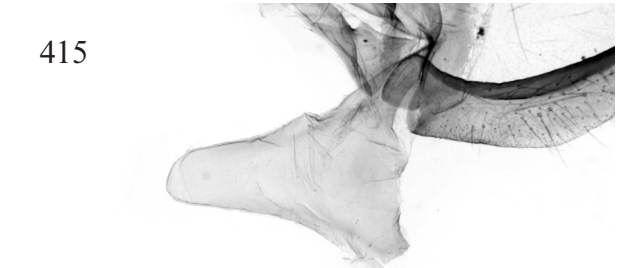
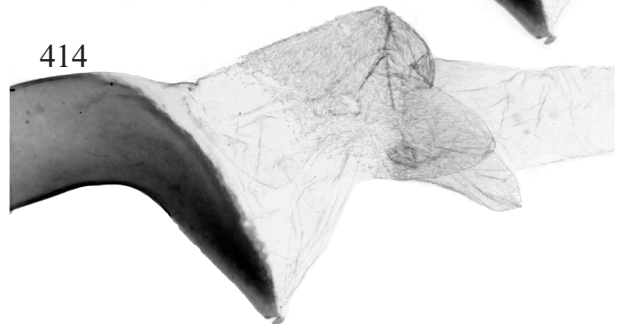
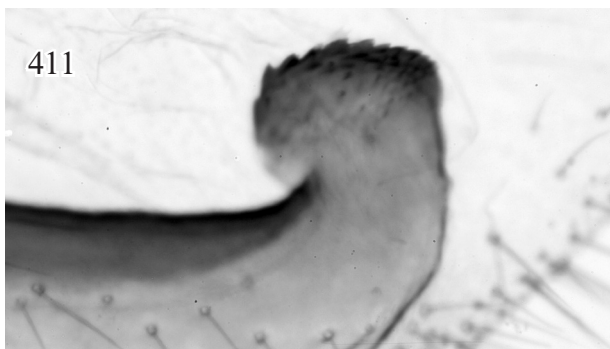
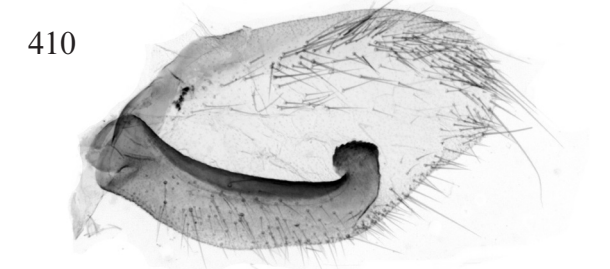
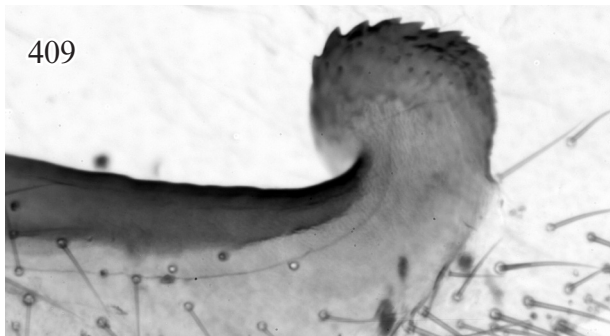


Abb. 409-415: *Neoclanis schreieri* spec. nov., PT, GP 5999 ♂ (Spannweite: 7,18 cm), /8, Botswana, Chobe Distr., 17°49'S, 25°13'E, SSE Kasane, 2 km W Leshoma, Kasane Forest Res., 1000 m, 24.II.2006, Li/LiFa, leg. H. HACKER, H.-P. SCHREIER//ex coll. HACKER & SCHREIER in EMEM, 16.I.2017, Entomol. Museum Eitschberger, Markt-leuthen/. EMEM. Vergrößerung: 6 x: Abb. 412; 12 x: Abb. 410, 4213-415; 50 x: 409, 411.

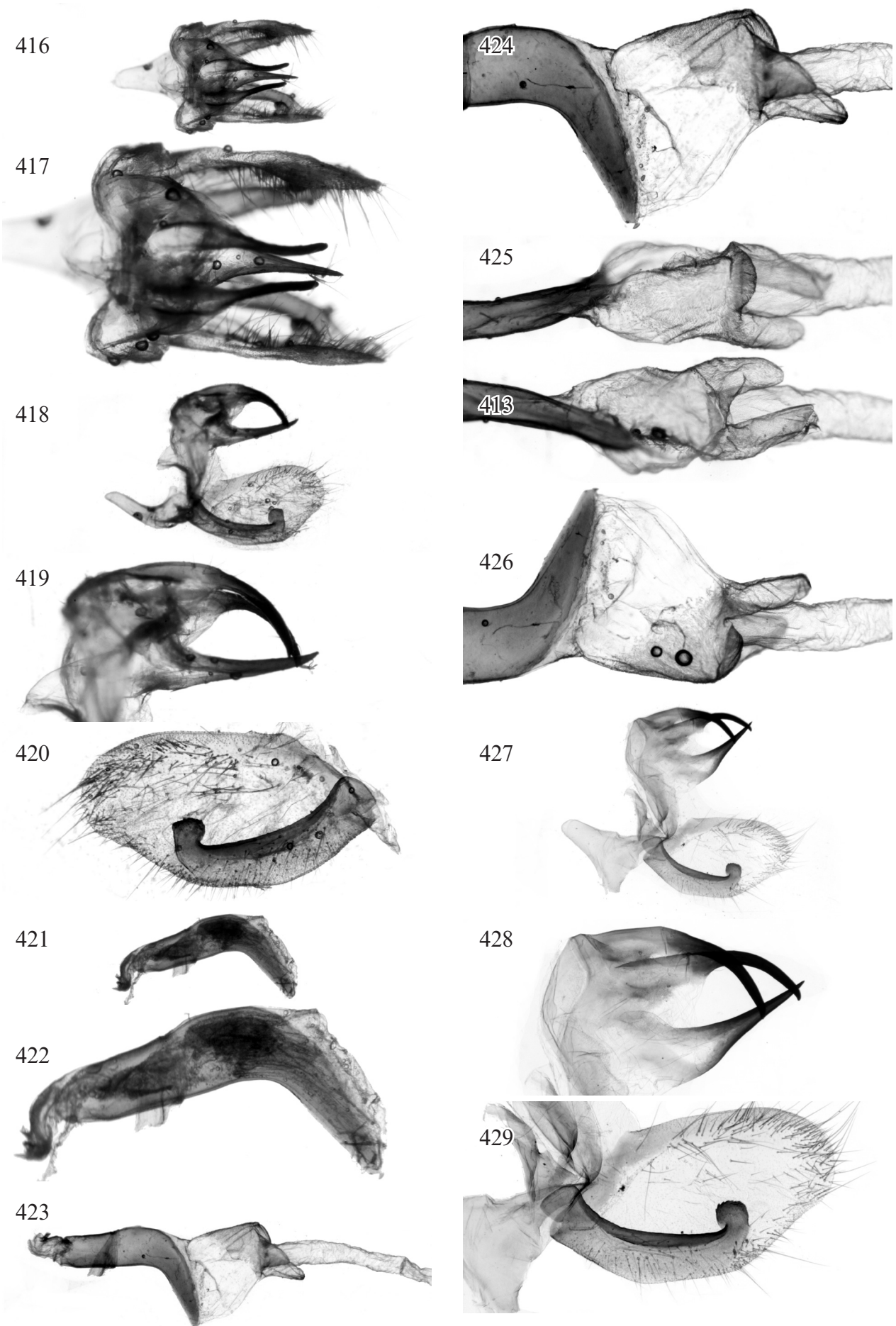
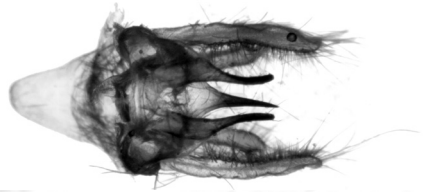
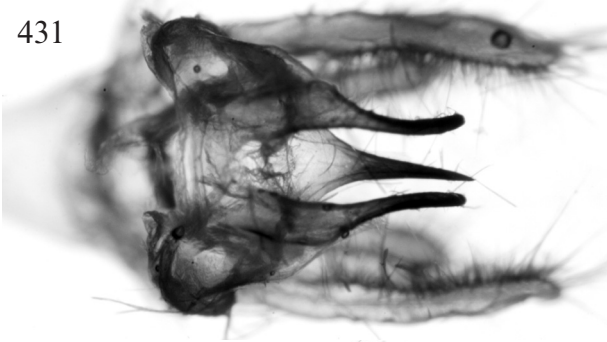


Abb. 416-429: *Neoclanis schreieri* spec. nov., PT, GP 5999 ♂ (Spannweite: 7,18 cm), 8, Botswana, Chobe Distr., 17°49'S, 25°13'E, SSE Kasane, 2 km W Leshoma, Kasane Forest Res., 1000 m, 24.II.2006, Li/LiFa, leg. H. HACKER, H.-P. SCHREIER//ex coll. HACKER & SCHREIER in EMEM, 16.I.2017, Entomol. Museum Eitschberger, Marktleuthen/. EMEM. Vergrößerung: 6 x: Abb. 416, 418, 421, 423, 427; 12 x: Abb. 417, 419, 420, 422-426, 428, 429.

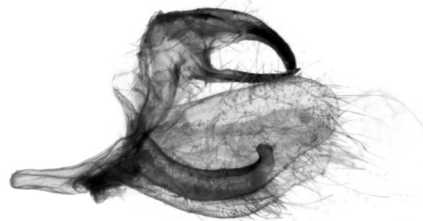
430



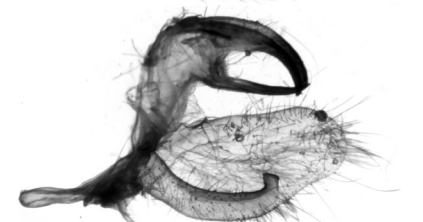
431



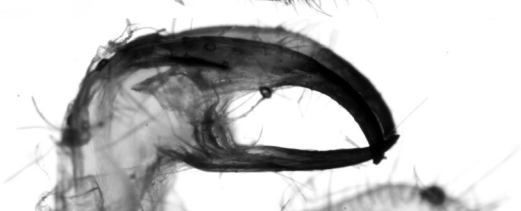
432



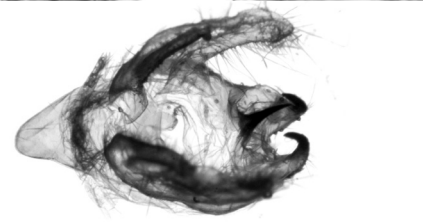
433



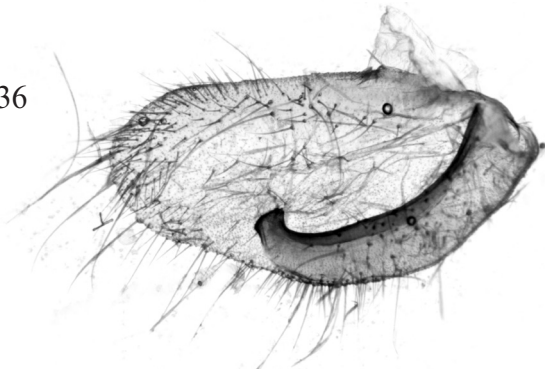
434



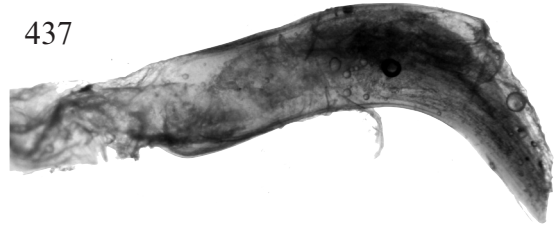
435



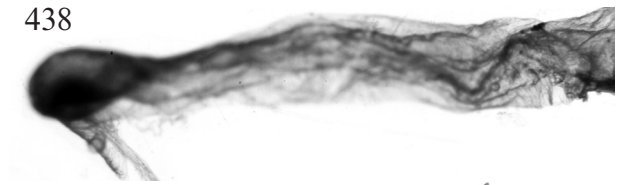
436



437



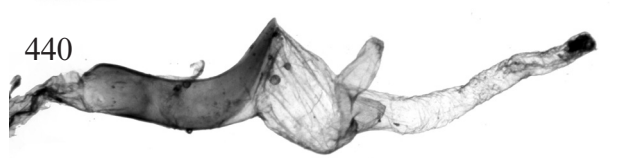
438



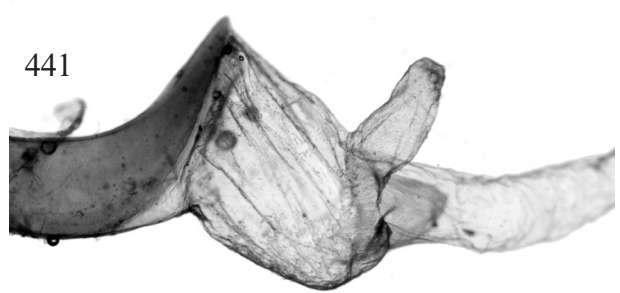
439



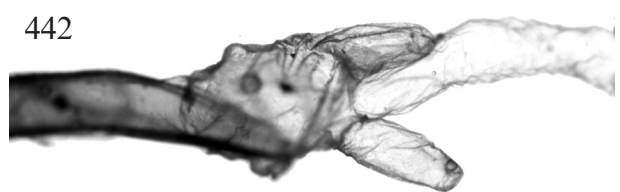
440



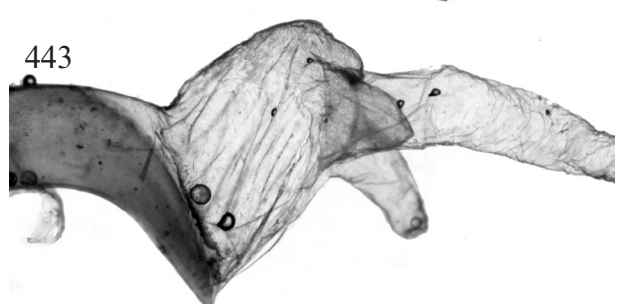
441



442



443



444



Abb. 430-444: *Neoclanis schreieri* spec. nov., HT, GP 6000 ♂ (Spannweite: 6,83 cm), /8, Botswana, Chobe Distr., 17°49'S, 25°13'E, SSE Kasane, 2 km W Leshoma, Kasane Forest Res., 1000 m, 24.II.2006, Li/LiFa, leg. H. HACKER, H.-P. SCHREIER//ex coll. HACKER & SCHREIER in EMEM, 16.I.2017, Entomol. Museum Eitschberger, Marktleuthen/. EMEM. Vergrößerung: 6 x: Abb. 430, 432, 433, 435, 439, 440; 12 x: Abb. 431, 434, 436-438, 441-444.

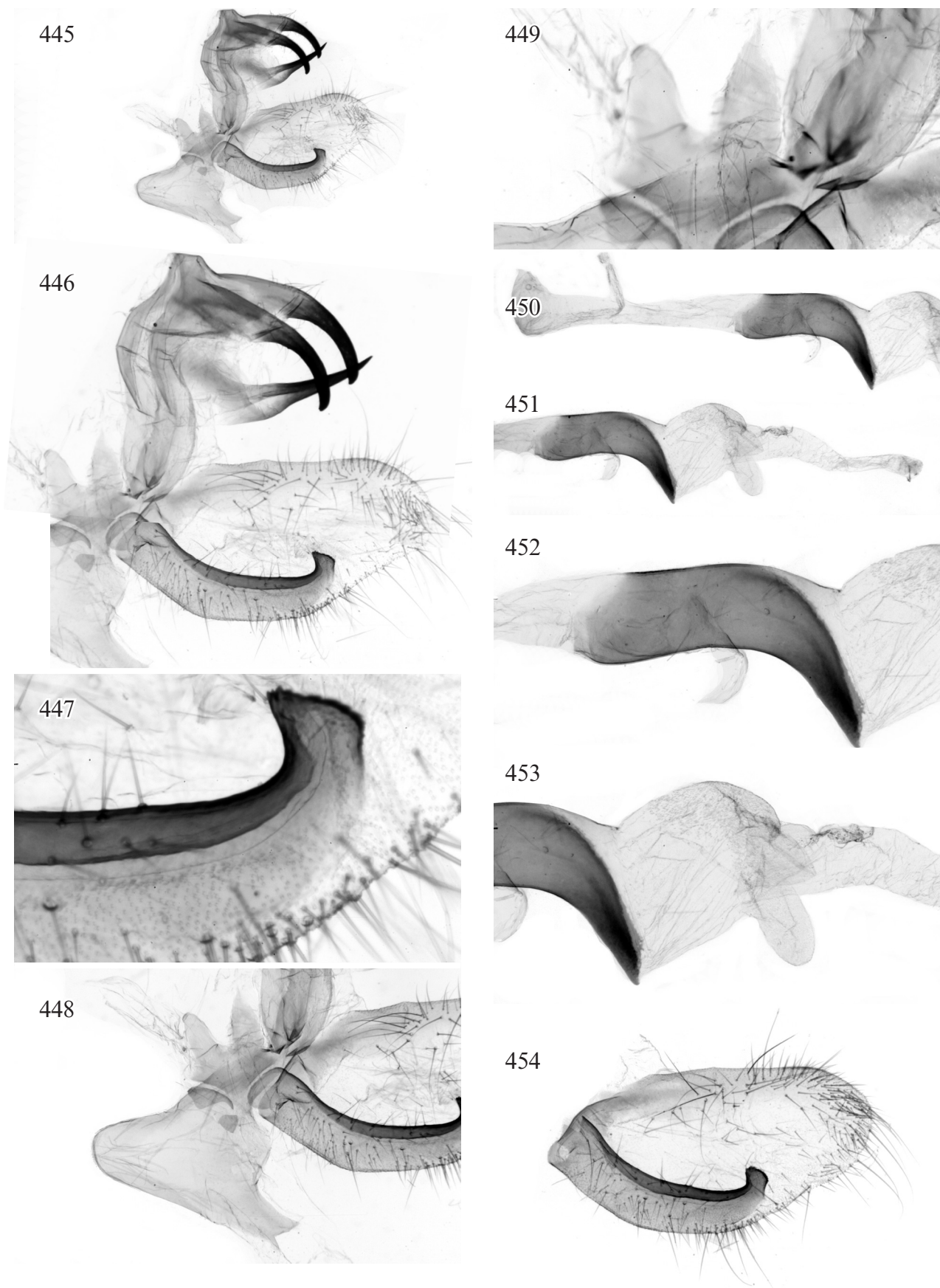


Abb. 445-454: *Neoclanis schreieri* spec. nov., HT, GP 6000 ♂ (Spannweite: 6,83 cm), /8, Botswana, Chobe Distr., 17°49'S, 25°13'E, SSE Kasane, 2 km W Leshoma, Kasane Forest Res., 1000 m, 24.II.2006, Li/LiFa, leg. H. HACKER, H.-P. SCHREIER//ex coll. HACKER & SCHREIER in EMEM, 16.I.2017, Entomol. Museum Eitschberger, Marktleuthen/. EMEM. Vergrößerung: 6 x: Abb. 445, 450, 451; 12 x: Abb. 446, 448, 452-454; 25 x: Abb. 449; 50 x: Abb. 447.

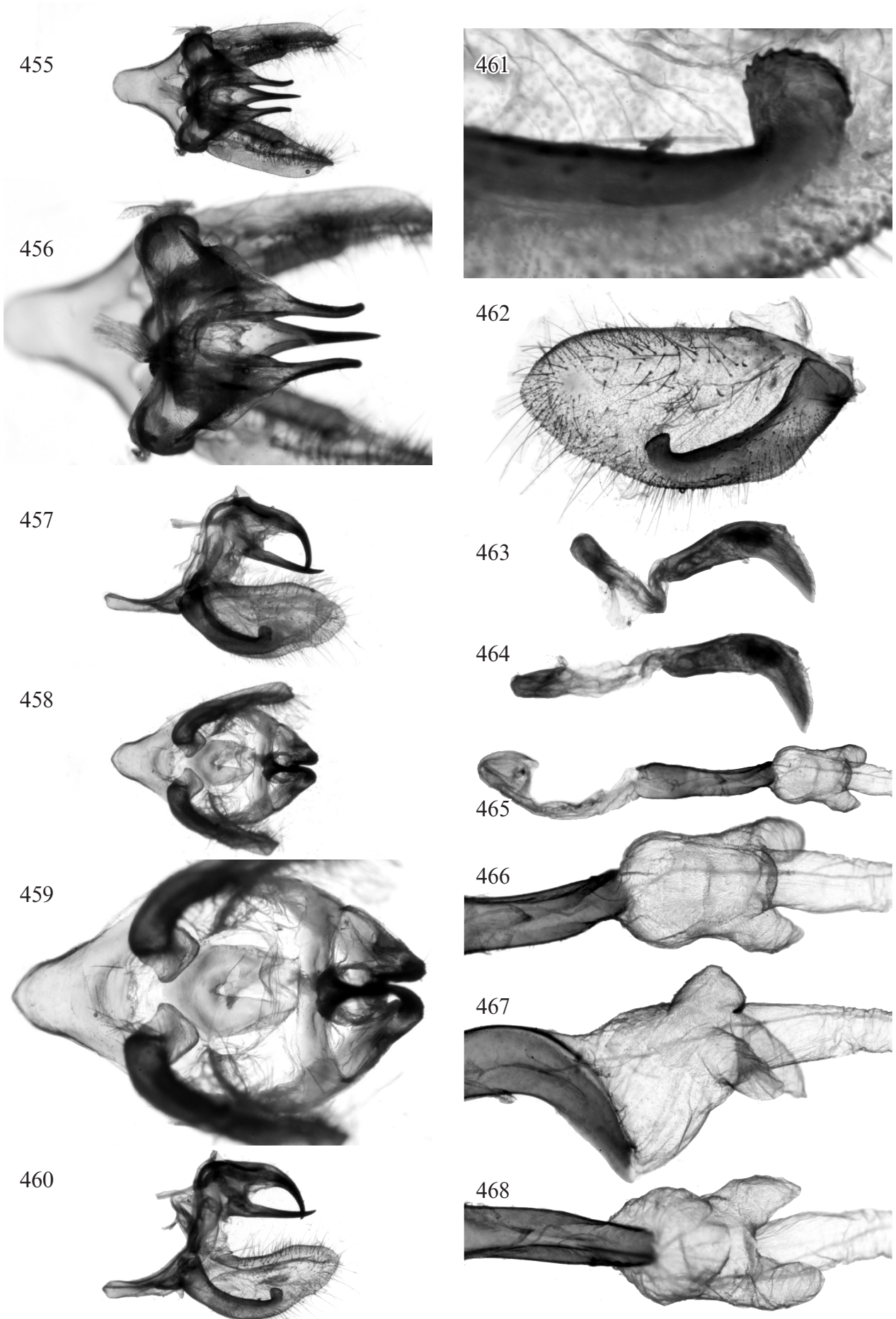


Abb. 455-468: *Neoclanis basalis* (WALKER, 1866), NT, GP 5977 ♂ (Spannweite: 7,17 cm), /10 Namibia, 17°53'S 24°34'E, E Caprivi District, 15 km NW Ngoma, 930 m, 26.II.2006, Li/LiFa, leg. H. HACKER, H.-P. SCHREIER/ex coll. HACKER & SCHREIER, in EMEM, 16.I.2017, Entomol. Museum Eitschberger, Marktleuthen/. EMEM. Vergrößerung: 6 x: Abb. 455, 457, 458, 460, 463-465; 12 x: Abb. 456, 459, 462, 466-468; 50 x: Abb. 461.

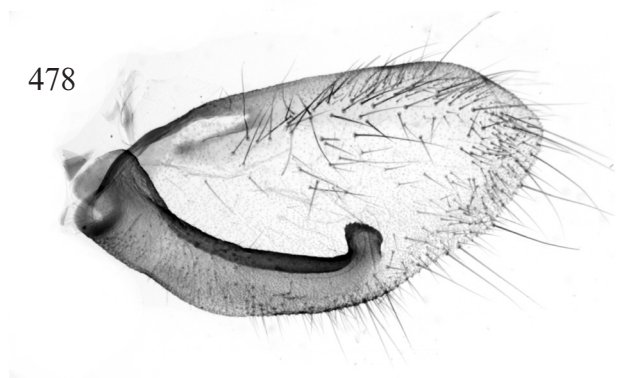
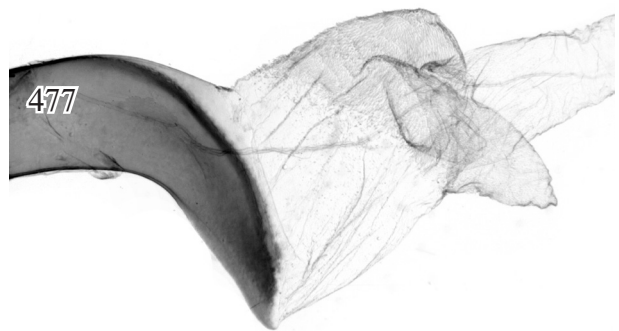
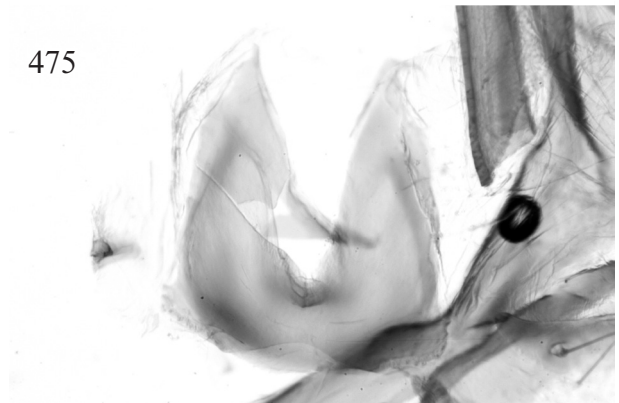
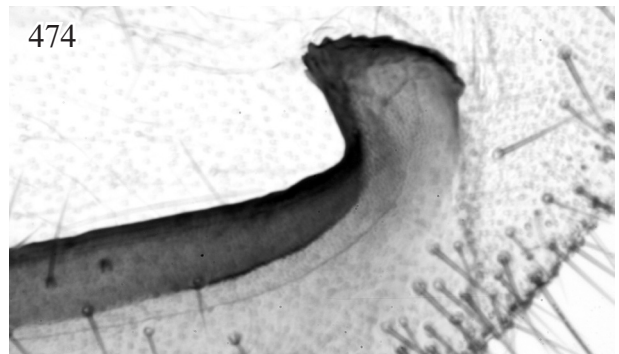
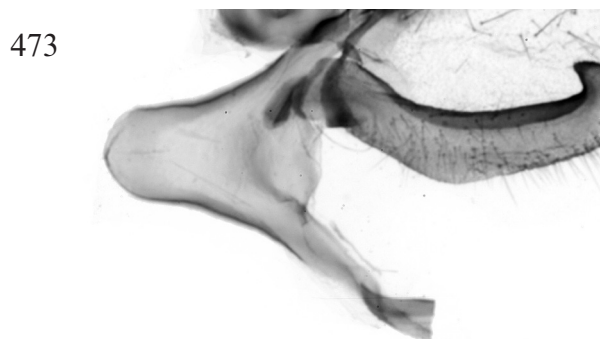
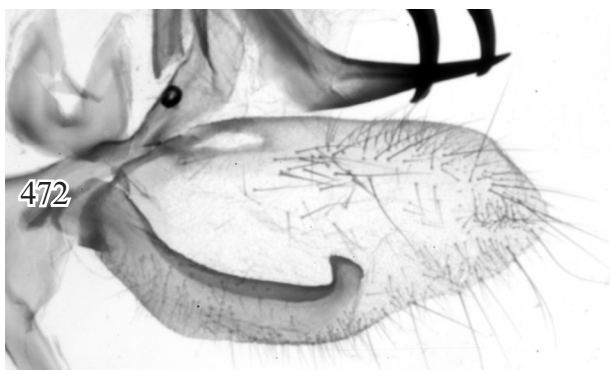
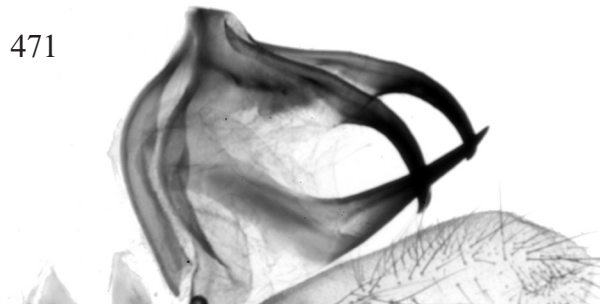
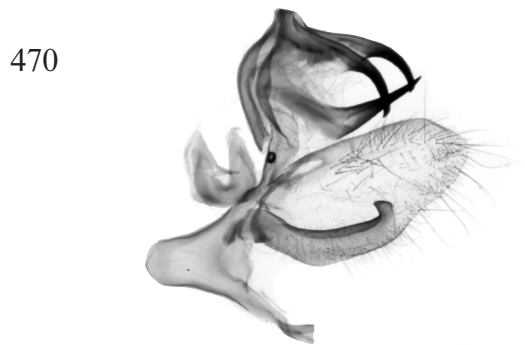
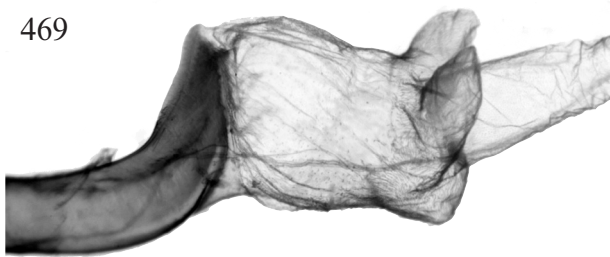
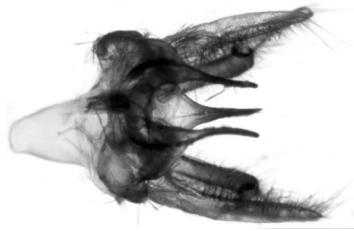


Abb. 469-478: *Neoclanis basalis* (WALKER, 1866), NT, GP 5977 ♂ (Spannweite: 7,17 cm), /10 Namibia, 17°53'S 24°34'E, E Caprivi District, 15 km NW Ngoma, 930 m, 26.II.2006, Li/LiFa, leg. H. HACKER, H.-P. SCHREIER/ex coll. HACKER & SCHREIER, in EMEM, 16.I.2017, Entomol. Museum Eitschberger, Marktleuthen/. EMEM. Vergrößerung: 6 x: Abb. 470, 476; 12 x: Abb. 469, 471-473, 477, 478; 25 x: Abb. 475; 50 x: Abb. 474.

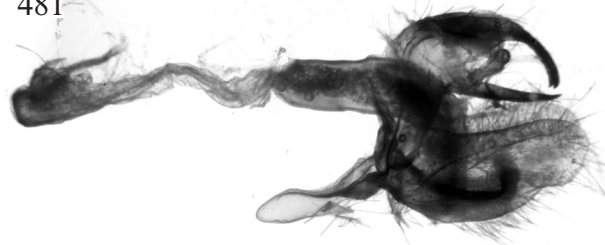
479



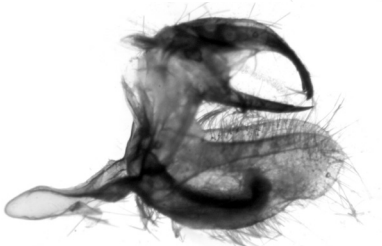
480



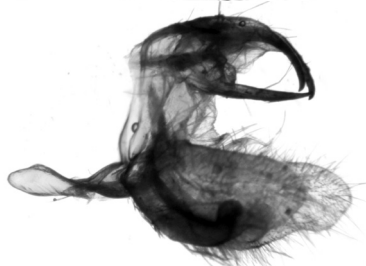
481



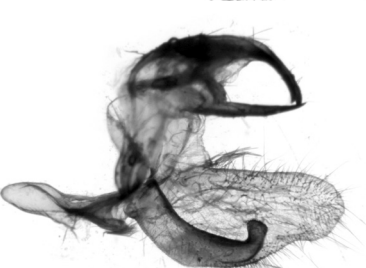
482



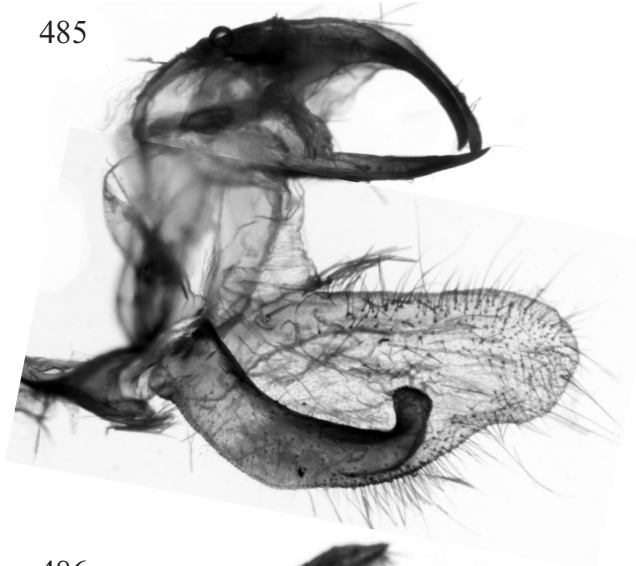
483



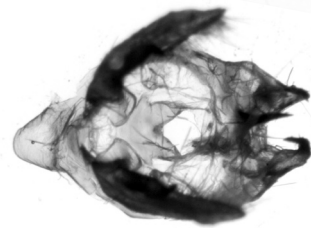
484



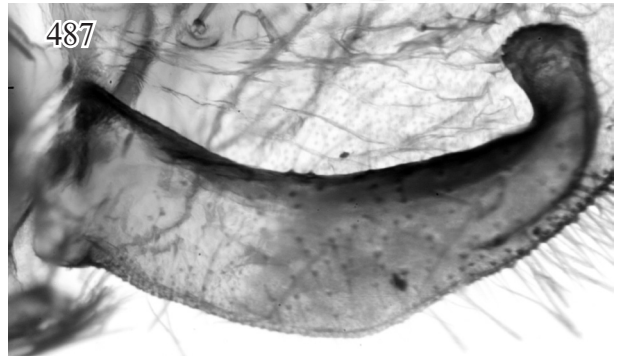
485



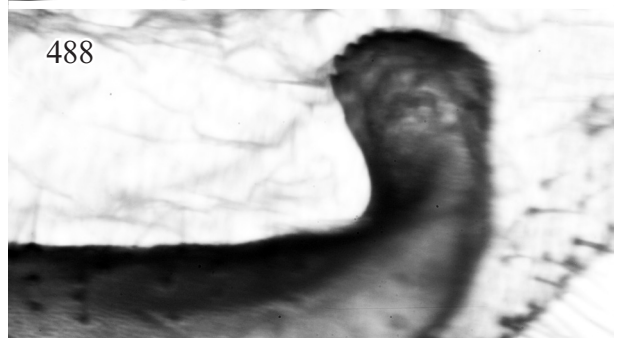
486



487



488



489

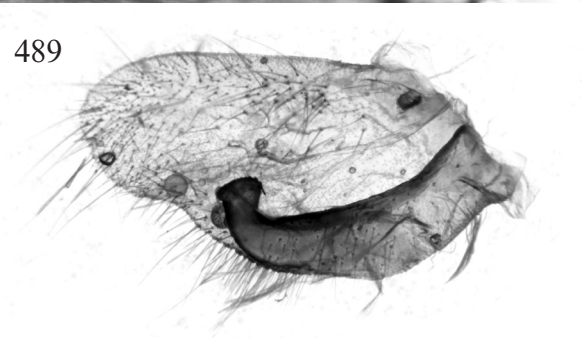


Abb. 479-489: *Neoclanis pseudobasalis* spec. nov., HT, GP 5993 ♂ (Spannweite: 7,07 cm), /10 Namibia, 17°53'S 24°34'E, E Caprivi District, 15 km NW Ngoma, 930 m, 26.II.2006, Li/LiFa, leg. H. HACKER, H.-P. SCHREIER//ex coll. HACKER & SCHREIER, in EMEM, 16.I.2017, Entomol. Museum Eitschberger, Marktleuthen/. EMEM. Vergrößerung: 6 x: Abb. 479, 481-484, 486; 12 x: Abb. 480, 485, 489; 25 x: Abb. 487; 50 x: Abb. 488.

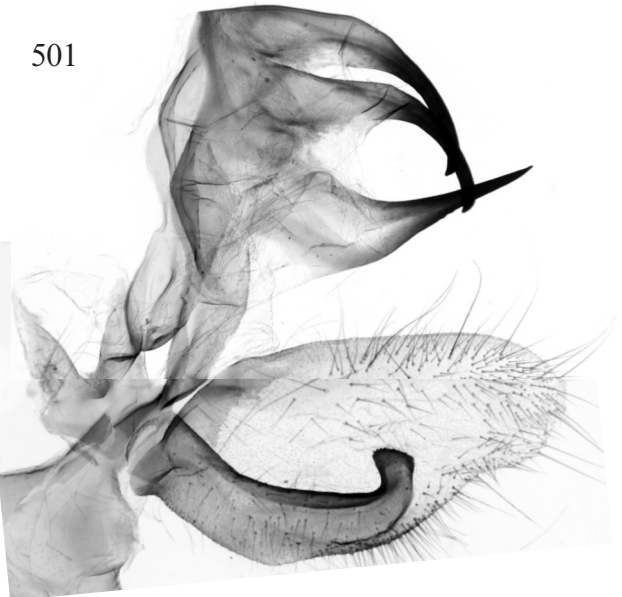
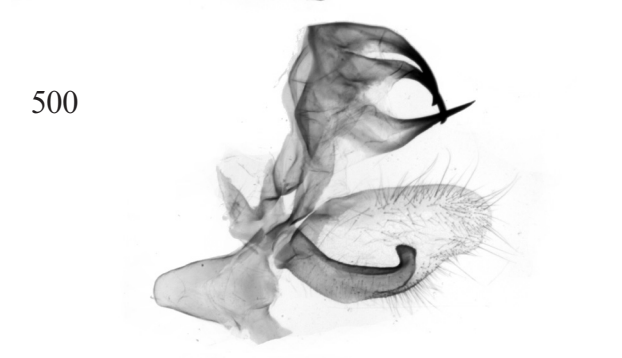
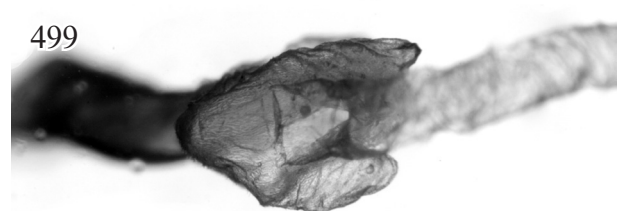
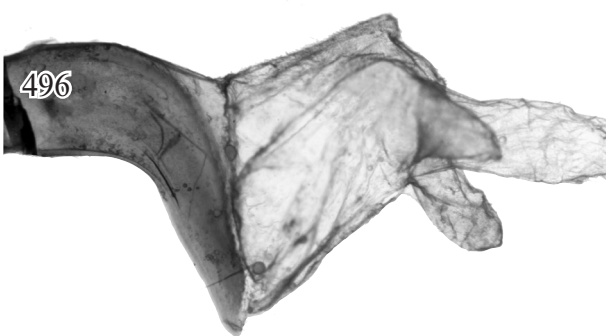
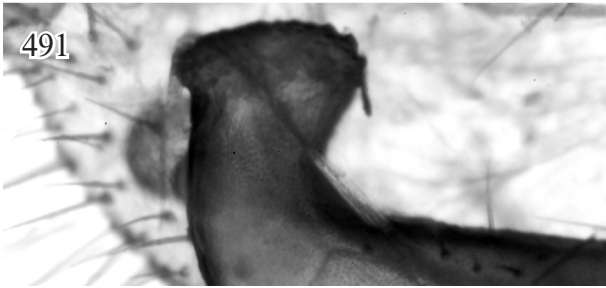
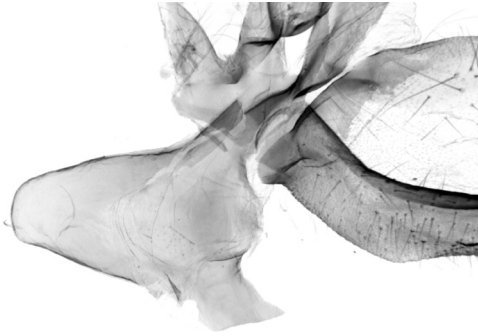


Abb. 490-501: *Neoclanis pseudobasalis* spec. nov., HT, GP 5993 ♂ (Spannweite: 7,07 cm), /10 Namibia, 17°53'S 24°34'E, E Caprivi District, 15 km NW Ngoma, 930 m, 26.II.2006, Li/LiFa, leg. H. HACKER, H.-P. SCHREIER//ex coll. HACKER & SCHREIER, in EMEM, 16.I.2017, Entomol. Museum Eitschberger, Marktleuthen/. EMEM. Vergrößerung: 6 x: Abb. 492, 494, 495, 500; 12 x: Abb. 493, 496-499, 501; 25 x: Abb. 490; 50 x: Abb. 490.

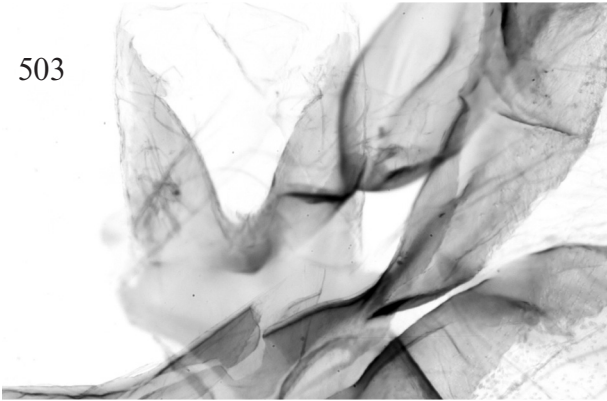
502



507



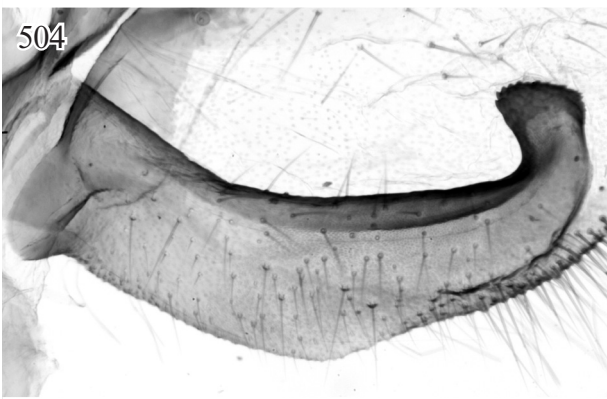
503



508



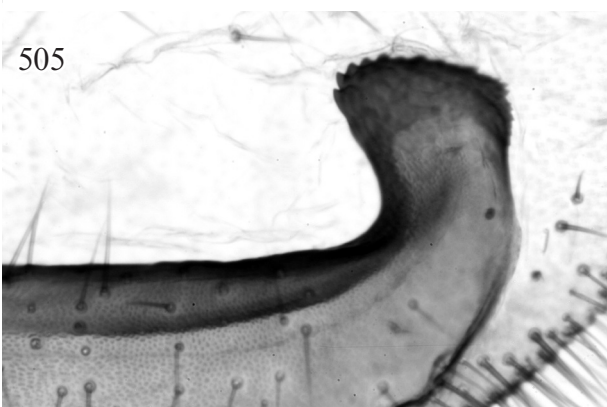
504



509



505



510



506

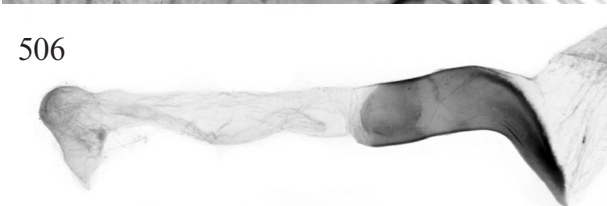


Abb. 502-510: *Neoclanis pseudobasalis* spec. nov., HT, GP 5993 ♂ (Spannweite: 8 cm), /10 Namibia, 17°53'S 24°34'E, E Caprivi District, 15 km NW Ngoma, 930 m, 26.II.2006, Li/LiFa, leg. H. HACKER, H.-P. SCHREIER//ex coll. HACKER & SCHREIER, in EMEM, 16.I.2017, Entomol. Museum Eitschberger, Marktleuthen/. EMEM. Vergrößerung: 6 x: Abb. 506, 507; 12 x: Abb. 502, 508; 25 x: Abb. 503, 504, 509; 50 x: Abb. 505, 510.

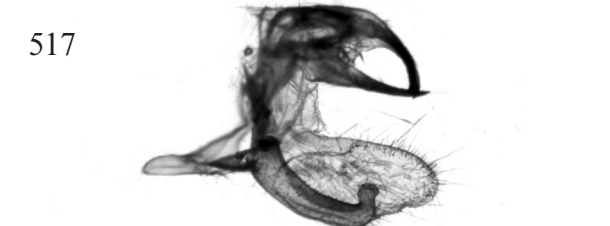
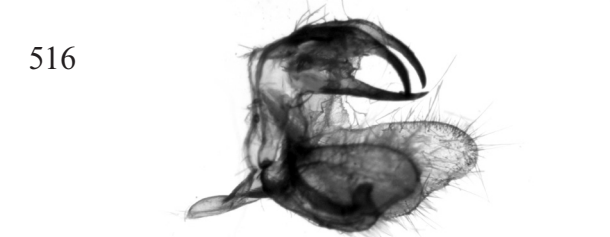
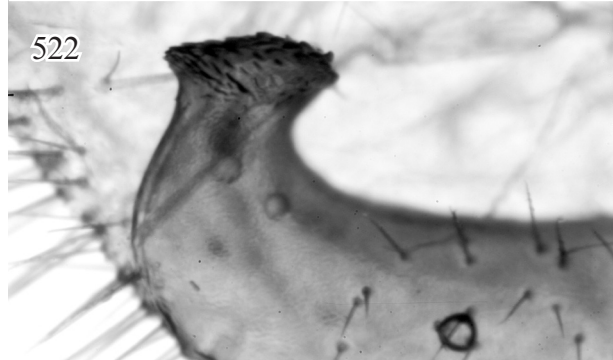
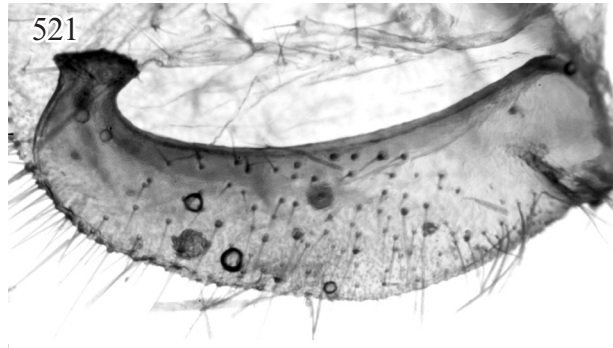
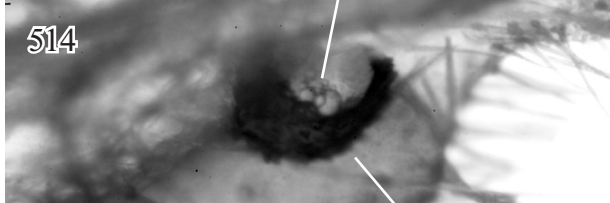
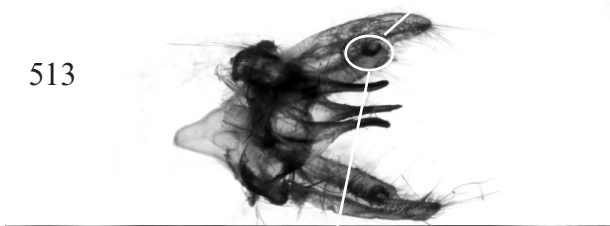
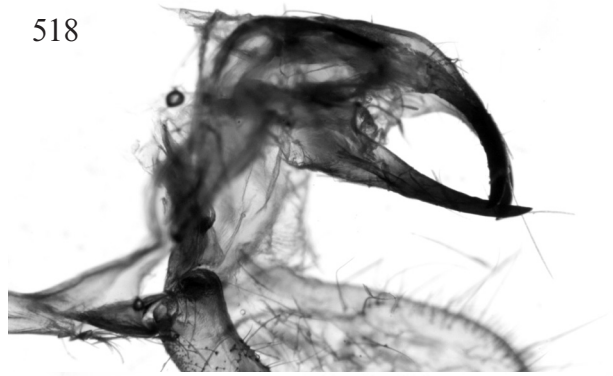
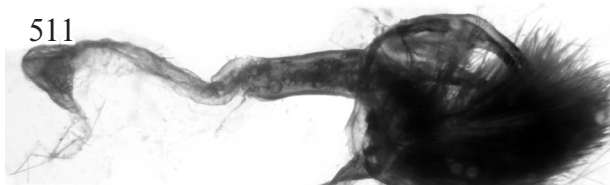


Abb. 511-522: *Neoclanis huckeri* spec. nov., HT, GP 5992 ♂ (Spannweite: 6,78 cm), /8, Botswana, Central Distr., 19°39'S, 26°05'E, 60 km N Nata, Elephant Sands Camp, 950 m, 21.II.2006, Li/LiFa, leg. H. HACKER, H.-P. SCHREIER//ex coll. HACKER & SCHREIER in EMEM, 16.I.2017, Entomol. Museum Eitschberger, Marktleuthen/. EMEM. Vergrößerung: 6 x: Abb. 511-513, 516, 517, 519; 12 x: Abb. 515, 518, 520; 25 x: Abb. 521; 50 x: Abb. 514, 522.

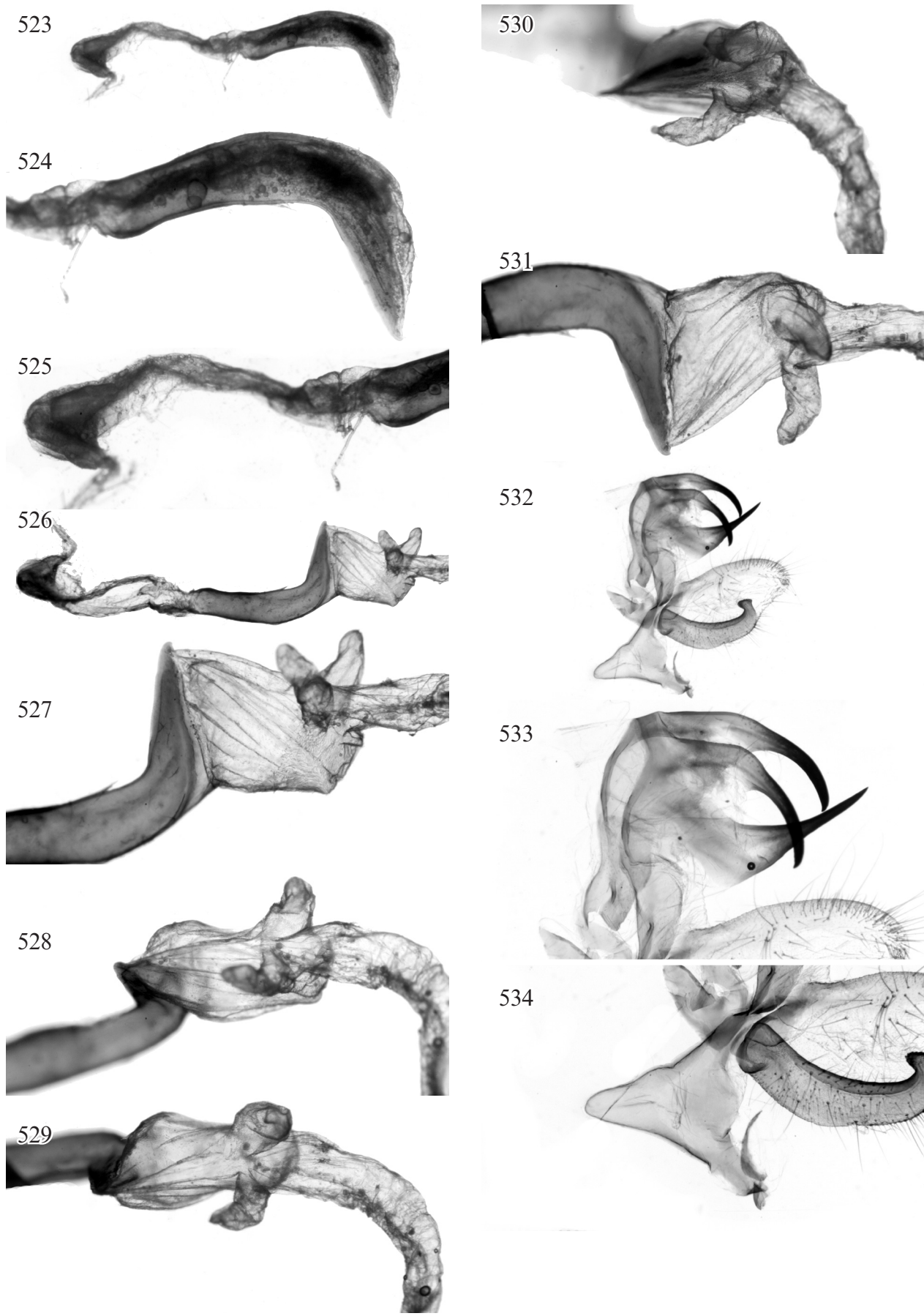


Abb. 523-534: *Neoclanis hackeri* spec. nov., HT, GP 5992 ♂ (Spannweite: 6,78 cm), /8, Botswana, Central Distr., 19°39'S, 26°05'E, 60 km N Nata, Elephant Sands Camp, 950 m, 21.II.2006, Li/LiFa, leg. H. HACKER, H.-P. SCHREIER//ex coll. HACKER & SCHREIER in EMEM, 16.I.2017, Entomol. Museum Eitschberger, Marktleuthen/. EMEM. Vergrößerung: 6 x: Abb. 523, 526, 532; 12 x: Abb. 524, 525, 527-531, 533, 534.

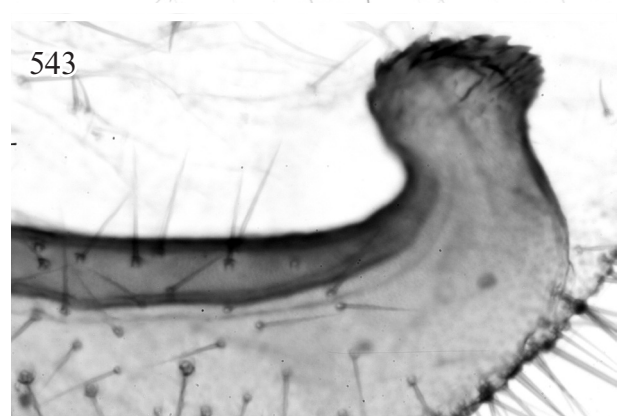
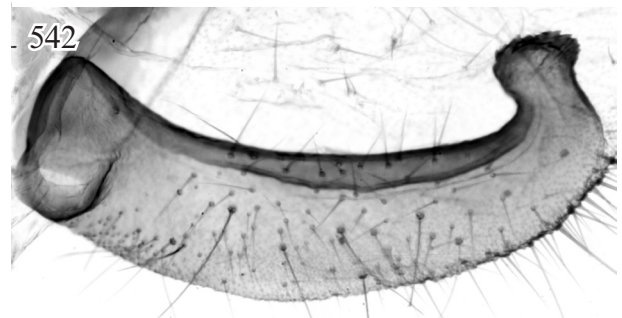
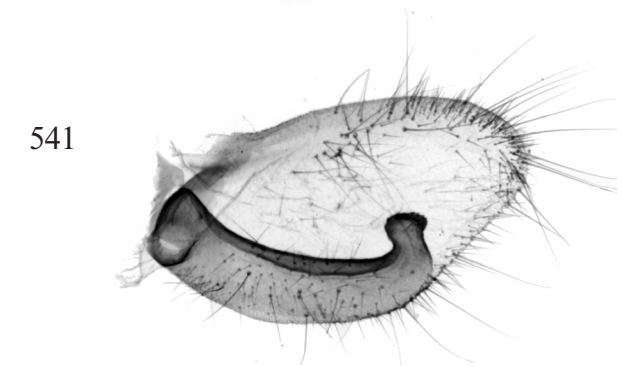
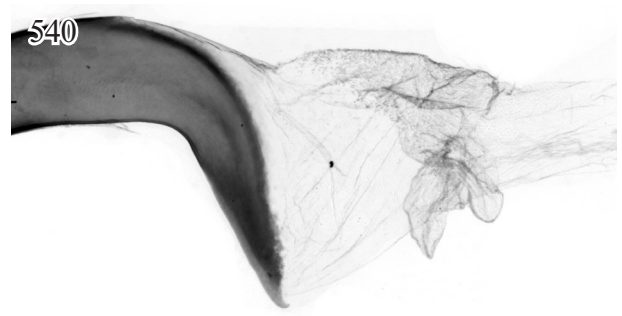
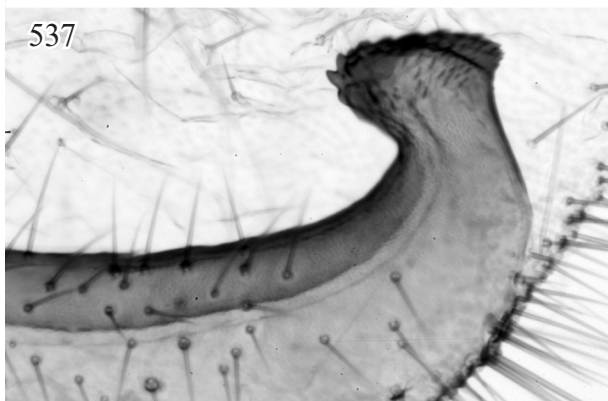
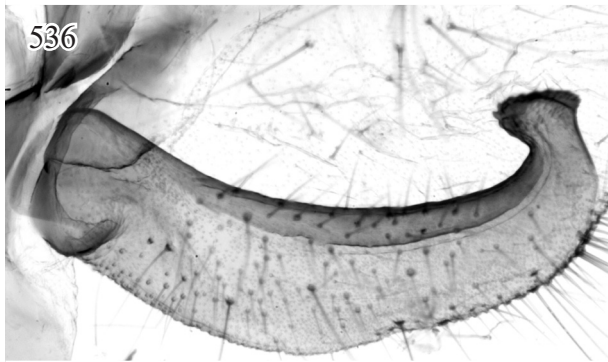


Abb. 535-543: *Neoclanis hackeri* spec. nov., HT, GP 5992 ♂ (Spannweite: 6,78 cm), /8, Botswana, Central Distr., 19°39'S, 26°05'E, 60 km N Nata, Elephant Sands Camp, 950 m, 21.II.2006, Li/LiFa, leg. H. HACKER, H.-P. SCHREIER//ex coll. HACKER & SCHREIER in EMEM, 16.I.2017, Entomol. Museum Eitschberger, Marktleuthen/. EMEM. Vergrößerung: 6 x: Abb. 538; 12 x: Abb. 539-541; 25 x: Abb. 535, 536; 50 x: Abb. 537, 543.

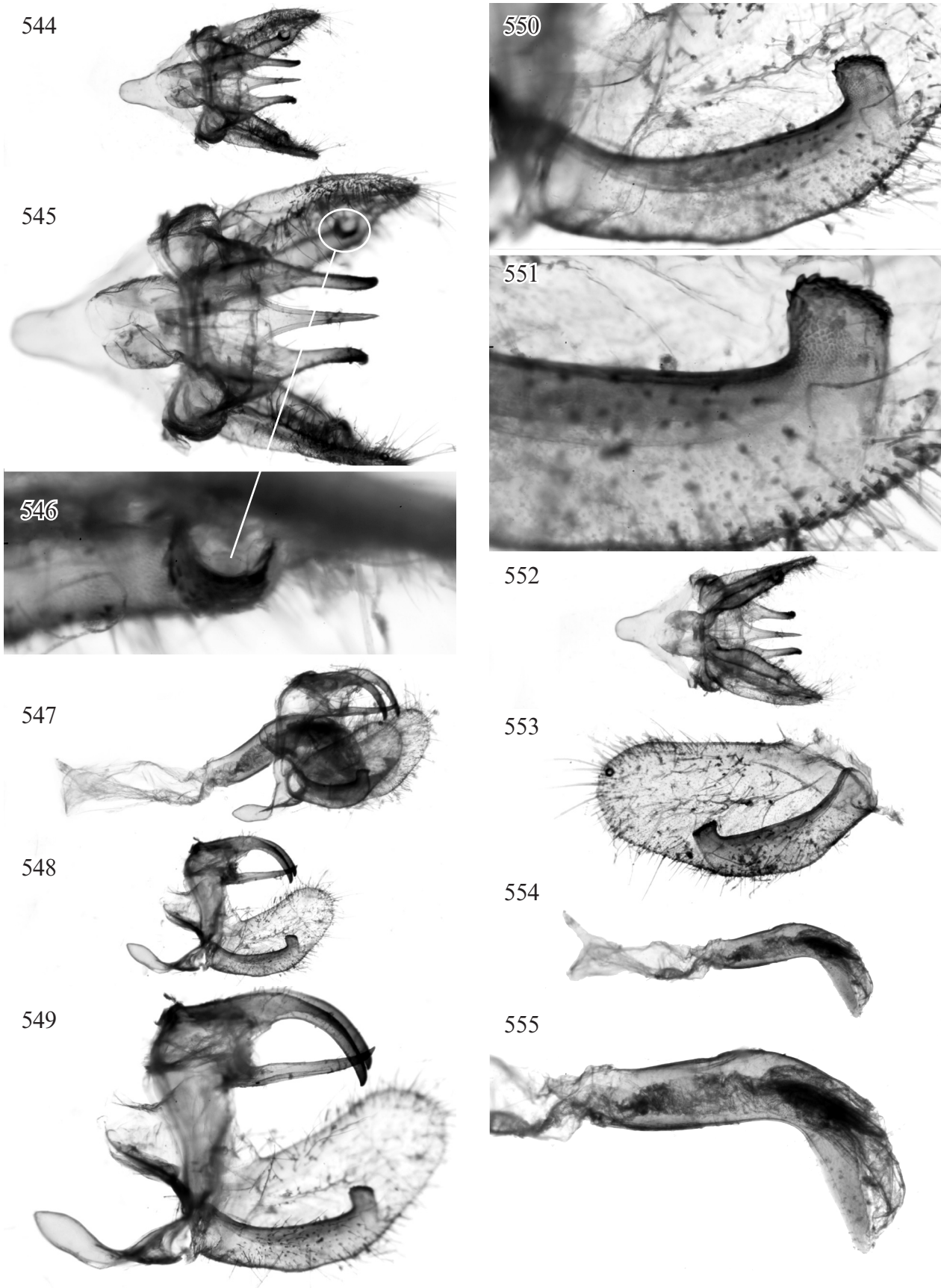


Abb. 544-553: *Neoclanis tsumeb* spec. nov., HT, GP 5985 ♂ (Spannweite: 6,65 cm), /Tsumeb, D. S. W. Afr. [Deutsch Südwestafrika]// Sammlung GEHLEN/. ZSM. Vergrößerung: 6 x: Abb. 544, 547, 548, 552, 554; 12 x: Abb. 545, 549, 553, 555; 25 x: Abb. 550; 50 x: Abb. 546, 551.

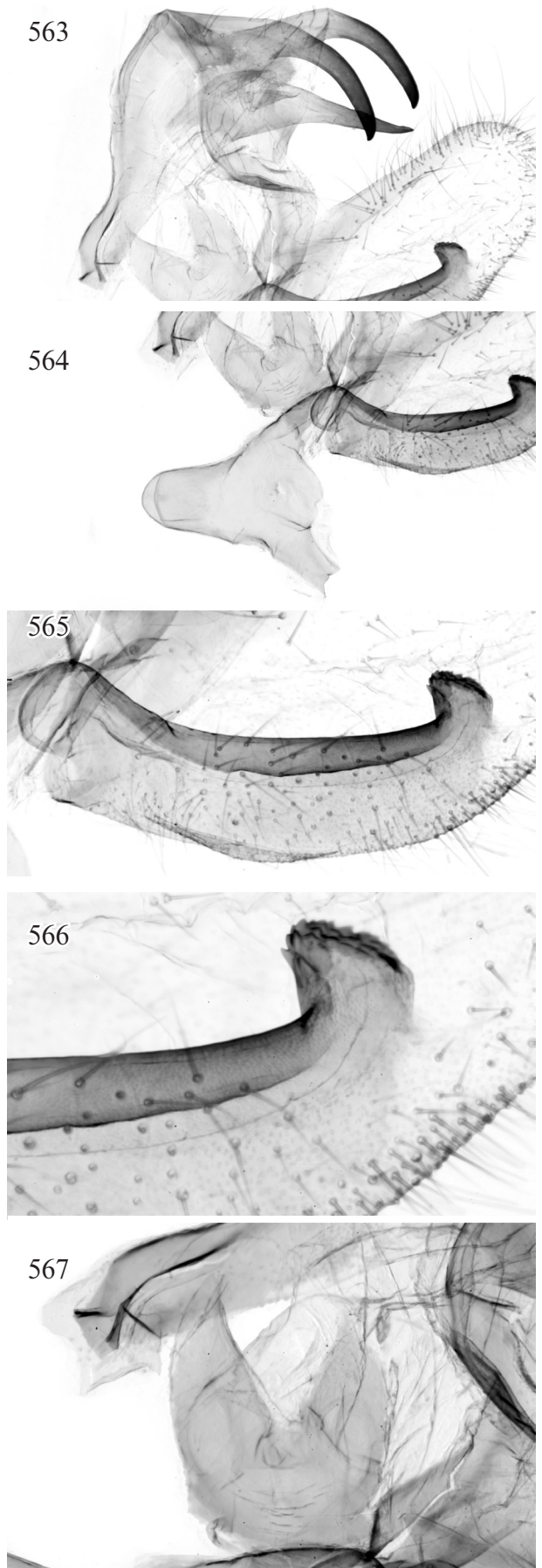


Abb. 556-567: *Neoclanis tsumeb* spec. nov., HT, GP 5985 ♂ (Spannweite: 6,65 cm), /Tsumeb, D. S. W. Afr. [Deutsch Südwestafrika]// Sammlung GEHLEN/. ZSM. Vergrößerung: 6 x: Abb. 557, 562; 12 x: Abb. 556, 558-561, 563, 564; 25 x: Abb. 565, 567; 50 x: Abb. 566.

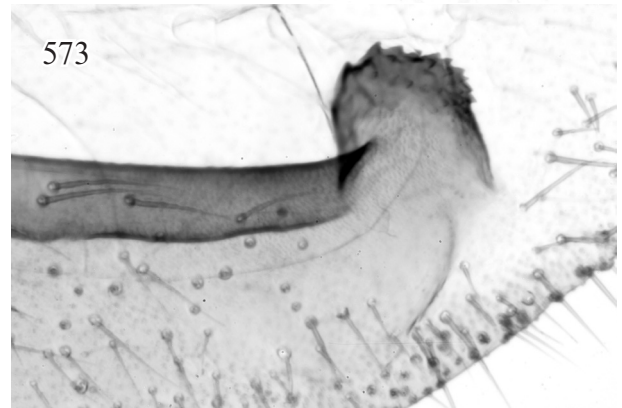
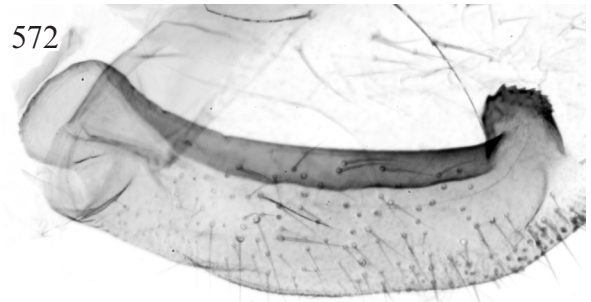


Abb. 568-573: *Neoclanis tsumeb* spec. nov., HT, GP 5985 ♂ (Spannweite: 6,65 cm), /Tsumeb, D. S. W. Afr. [Deutsch Südwestafrika]// Sammlung GEHLEN/. ZSM. Vergrößerung: 6 x: Abb. 568; 12 x: Abb. 569-571; 25 x: Abb. 572; 50 x: Abb. 573.

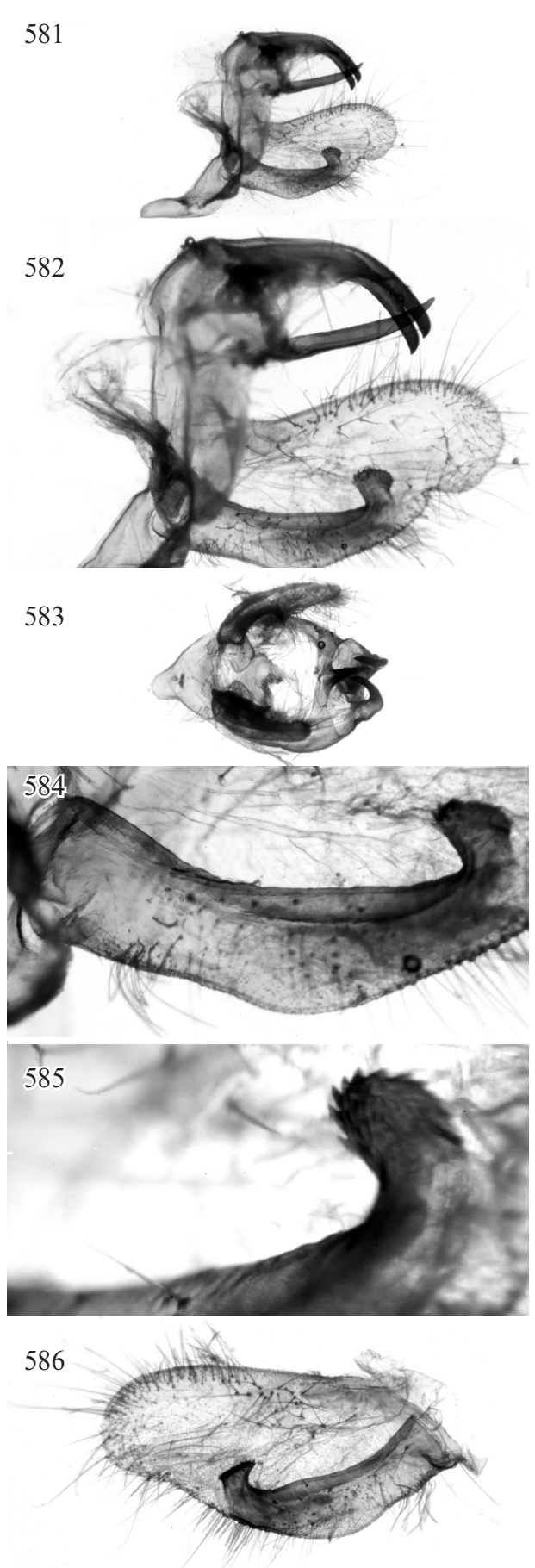
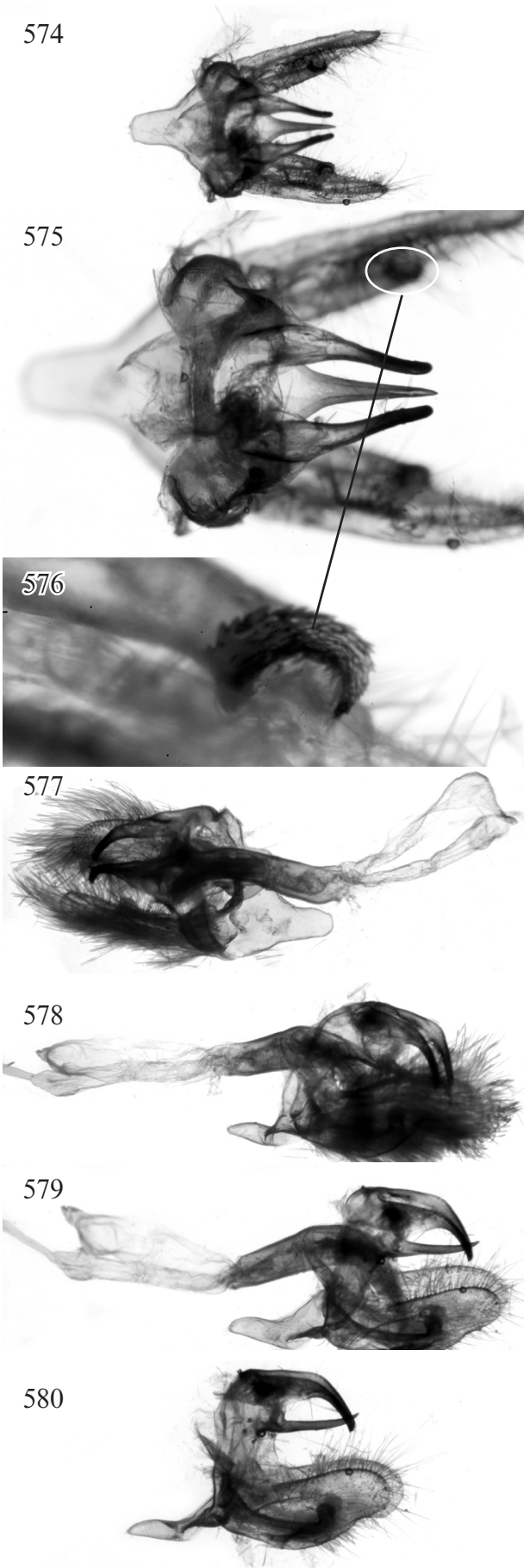


Abb. 574-56: *Neoclanis tsumeb* spec. nov., PT, GP 5994 ♂ (Spannweite: 6,82 cm), /Tsumeb, S. W. Afr. [Südwestafrika]/Sammlung GEHLEN/. ZSM. Vergrößerung: 6 x: Abb. 574, 577-581, 583; 12 x: Abb. 575, 582, 586; 25 x: Abb. 548; 50 x: Abb. 576, 585.

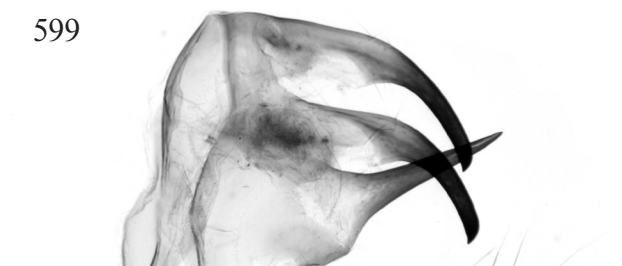
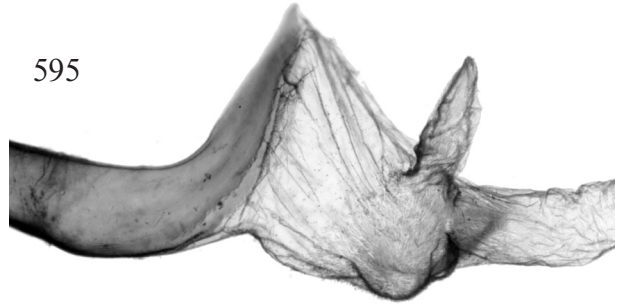
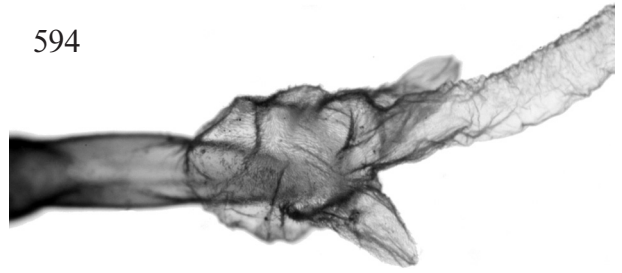
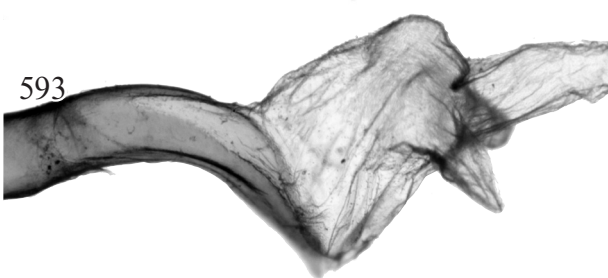
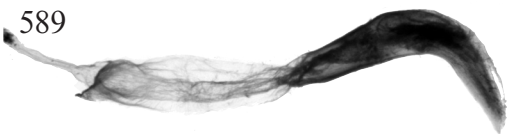
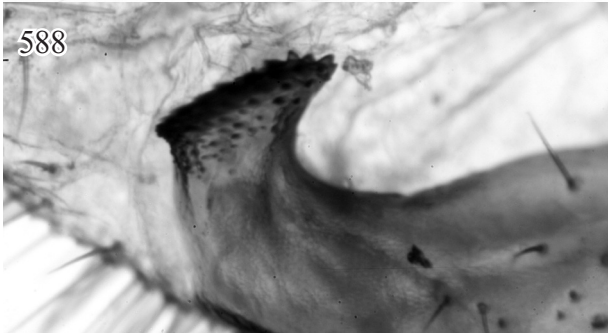
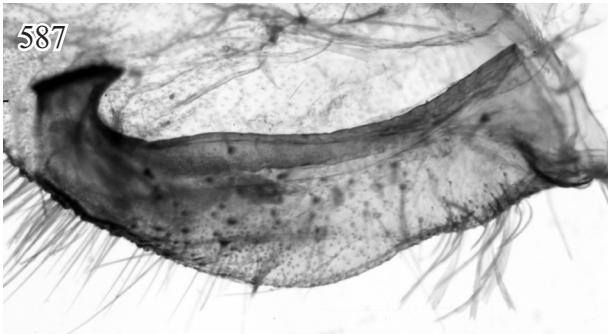
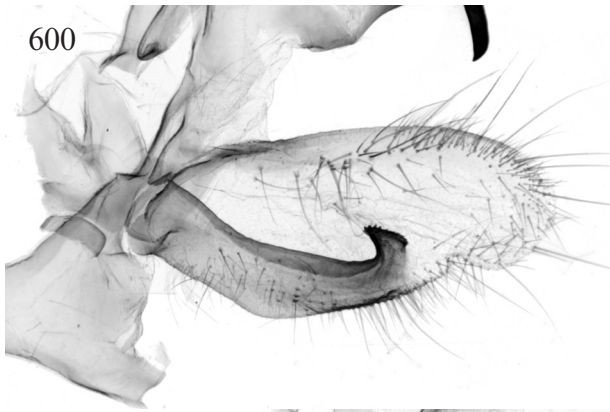
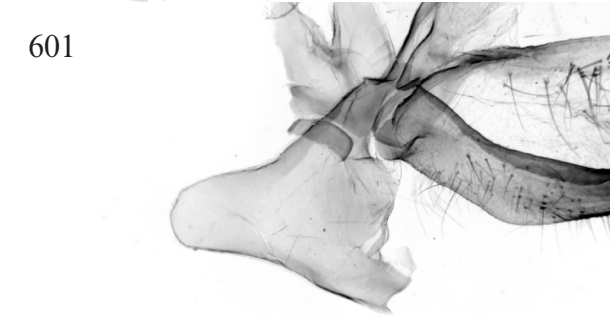


Abb. 587-599: *Neoclanis tsumeb* spec. nov., PT, GP 5994 ♂ (Spannweite: 6,82 cm), /Tsumeb, S. W. Afr. [Südwestafrika]//Sammlung GEHLEN/. ZSM. Vergrößerung: 6 x: Abb. 589, 592, 598; 12 x: Abb. 590, 591, 593-597, 599; 25 x: Abb. 587; 50 x: Abb. 588.



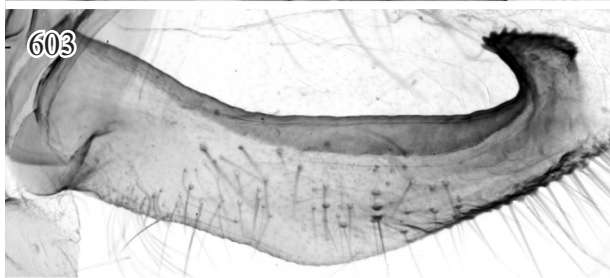
600



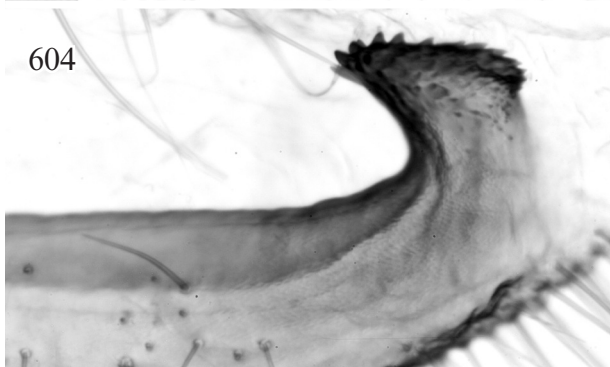
601



602



603



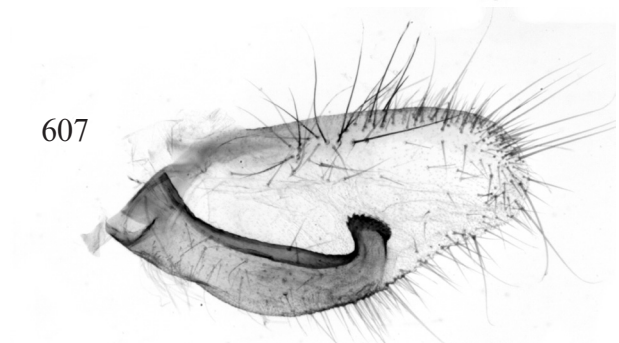
604



605



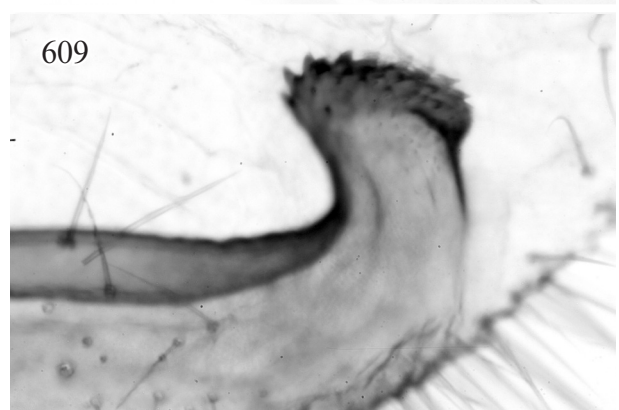
606



607



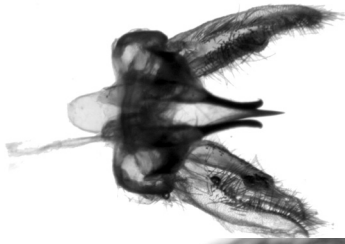
608



609

Abb. 600-609: *Neoclanis tsumeb* spec. nov., PT, GP 5994 ♂ (Spannweite: 6,82 cm), /Tsumeb, S. W. Afr. [Südwestafrika]//Sammlung GEHLEN/. ZSM. Vergrößerung: 6 x: Abb. 605; 12 x: Abb. 600, 601, 606, 607; 25 x: Abb. 602, 603, 608; 50 x: Abb. 604, 609.

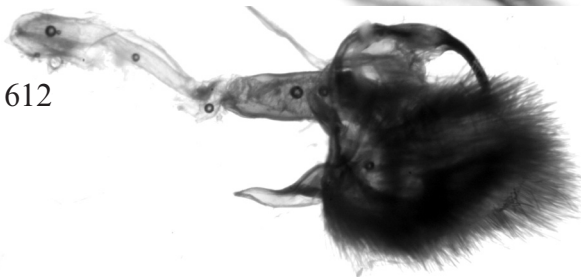
610



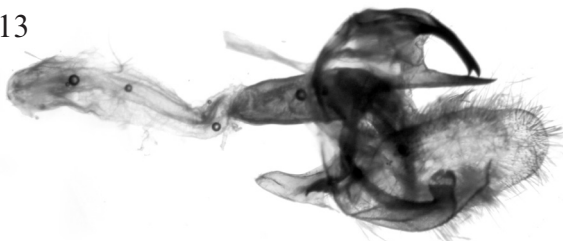
611



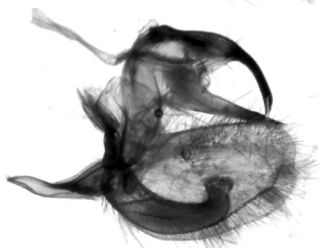
612



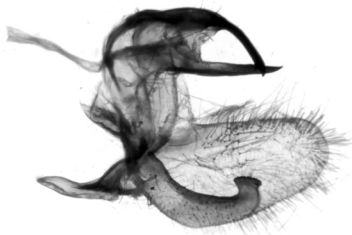
613



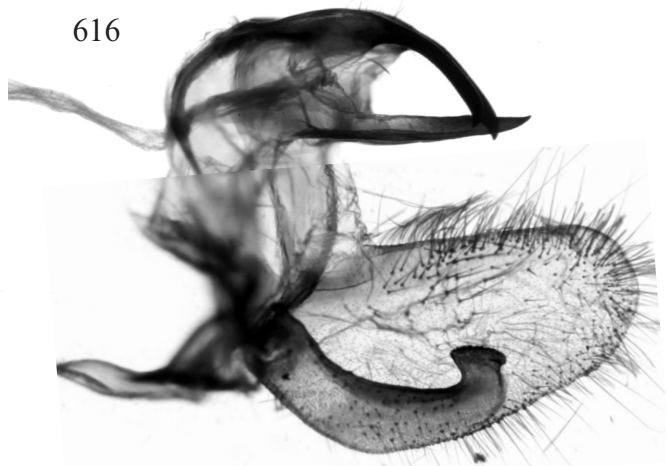
614



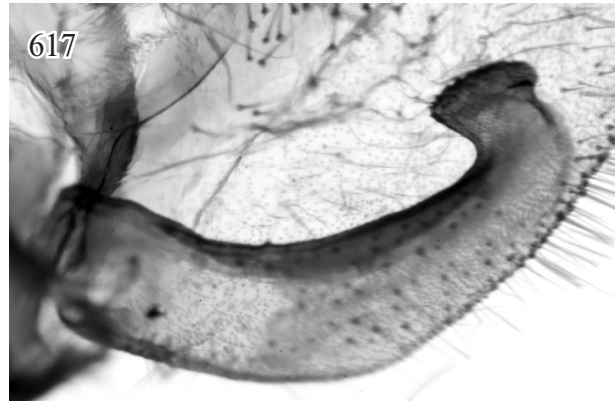
615



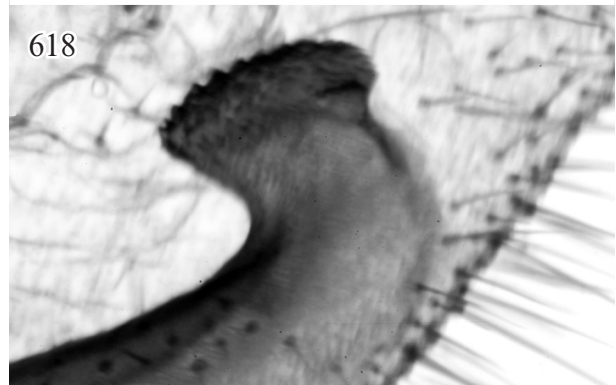
616



617



618



619



Abb. 610-619: *Neoclanis weningeri* spec. nov., HT, GP 5995 ♂ (Spannweite: 7,24 cm), /Angola, Prov. Huila, Caluquembe-Huambo, Caconda, s 13°464', E 015°000', 10.11.2012, 1610 m, coll. STRÖHLE, leg. M. WENINGER//EMEM Entomologisches Museum Eitschberger, Marktleuthen, 16.V.2018/. EMEM. Vergrößerung: 6 x: Abb. 610, 612-615; 12 x: Abb. 611, 6716, 619; 25 x: Abb. 617; 50 x: Abb. 618.

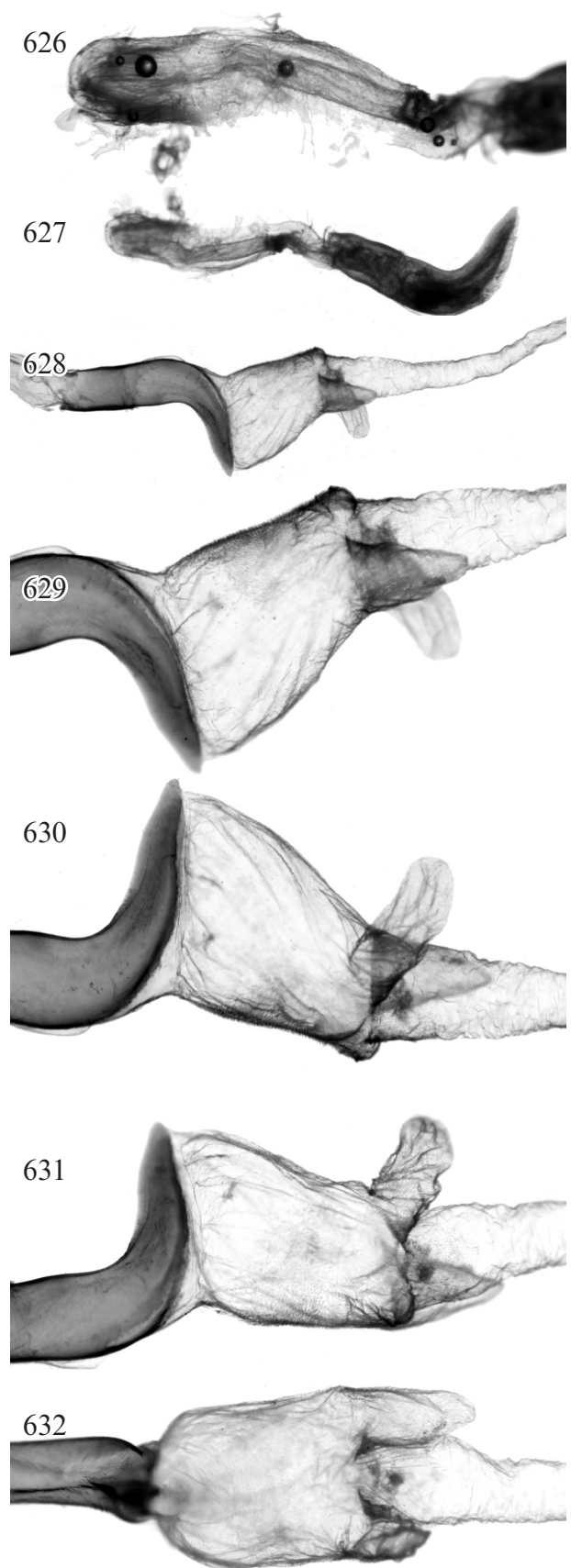


Abb.620-632: *Neoclanis weningeri* spec. nov., HT, GP 5995 ♂ (Spannweite: 7,24 cm), /Angola, Prov. Huila, Caluquembe-Huambo, Caconda, s 13°464', E 015°000', 10.11.2012, 1610 m, coll. STRÖHLE, leg. M. WENINGER//EMEM Entomologisches Museum Eitschberger, Marktleuthen, 16.V.2018/. EMEM. Vergrößerung: 6 x: Abb. 620, 624, 627, 628; 12 x: Abb. 625, 626, 629-632; 50 x: Abb. 621-623.

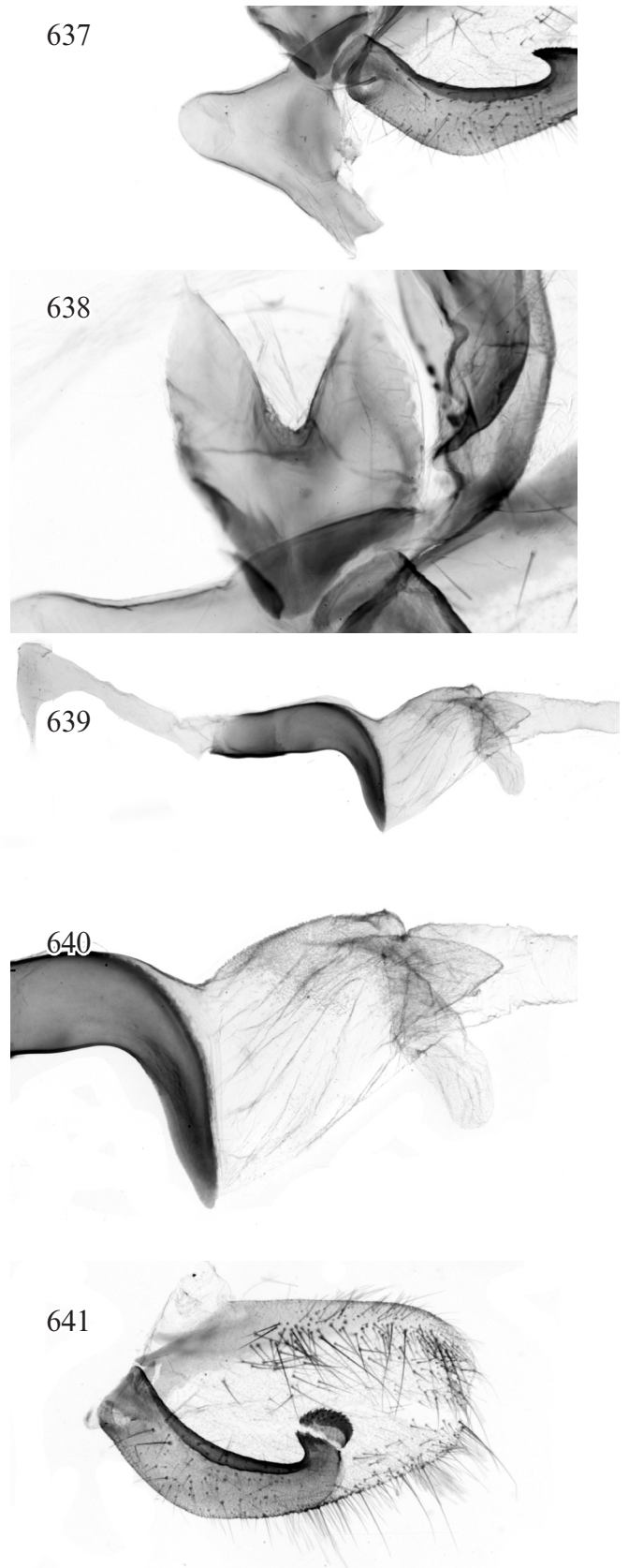
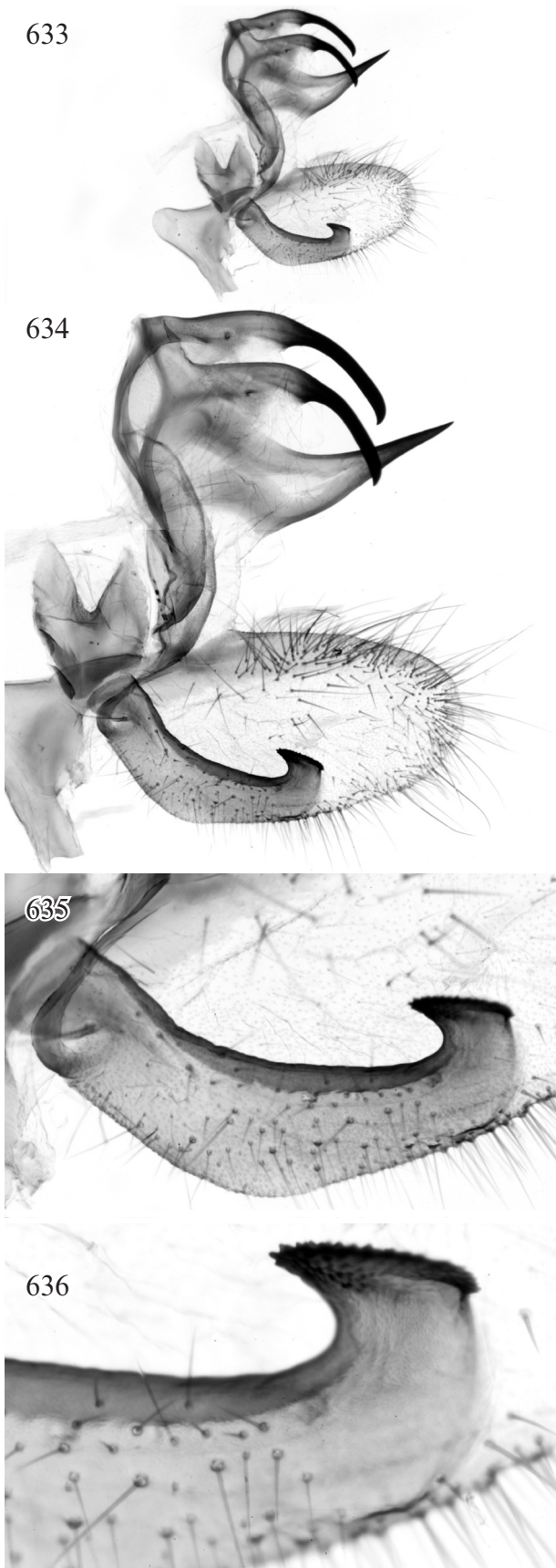
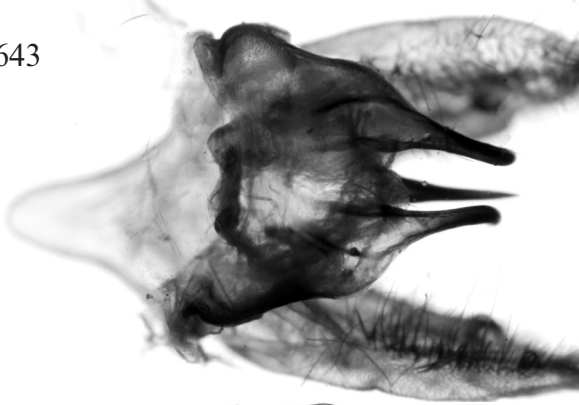


Abb. 633-641: *Neoclanis weningeri* spec. nov., HT, GP 5995 ♂ (Spannweite: 7,24 cm), /Angola, Prov. Huila, Caluquembe-Huambo, Caconda, S 13°464', E 015°000', 10.11.2012, 1610 m, coll. STRÖHLE, leg. M. WENINGER//EMEM Entomologisches Museum Eitschberger, Marktleuthen, 16.V.2018/. EMEM. Vergrößerung: 6 x: Abb. 633, 639; 12 x: Abb. 634, 637, 640, 641; 25 x: Abb. 635, 638; 50 x: Abb. 636.

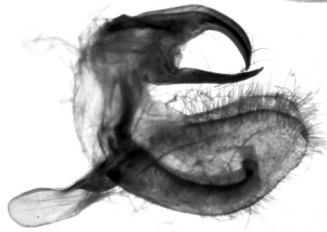
642



643



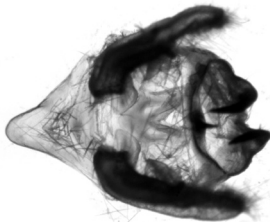
644



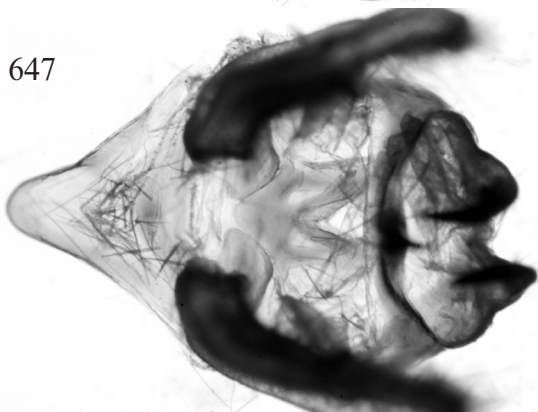
645



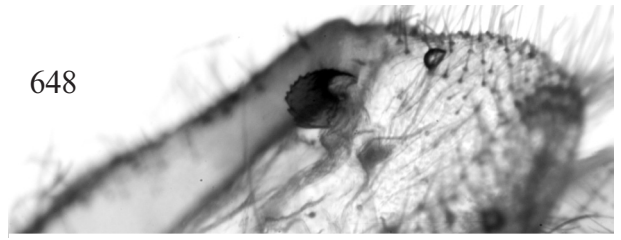
646



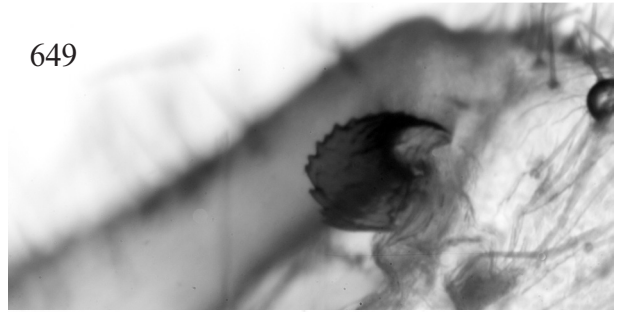
647



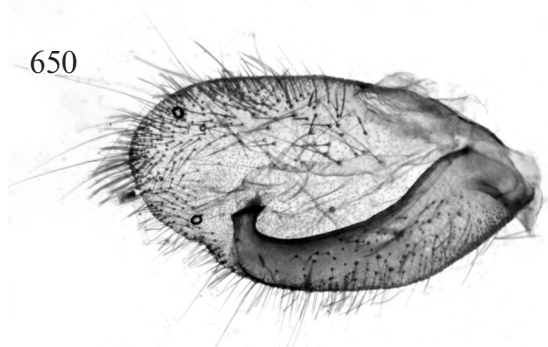
648



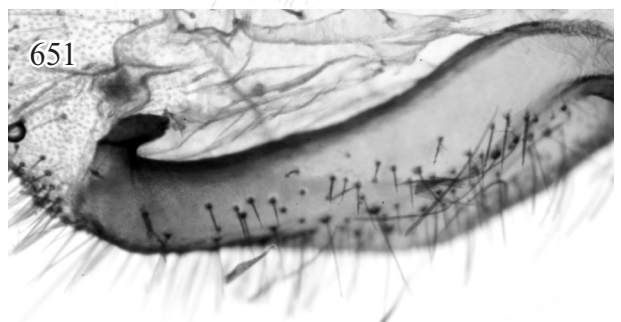
649



650



651



652



653

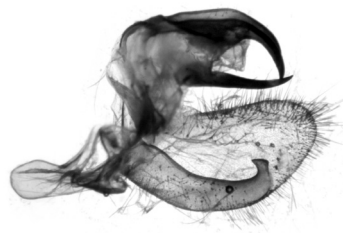


Abb. 642-63: *Neoclanis oberprieleri* spec. nov., HT, GP 5978 ♂ (Spannweite: 6,43 cm), /South Africa, TVL, Kruger Nat. Park, Pafuri, Bobomene research camp, 22.26S 31.12E, 250 m, 03.ii.1994, R. OBERPRIELER//*Neoclanis basalis* (Walker, 1866), det. R. Oberprieler 1994, collection R. OBERPRIELER/. EMEM. Vergrößerung: 6 x: Abb. 642, 644-646, 653; 12 x: Abb. 643, 647, 650; 25 x: Abb. 648, 651; 50 x: Abb. 649, 652.

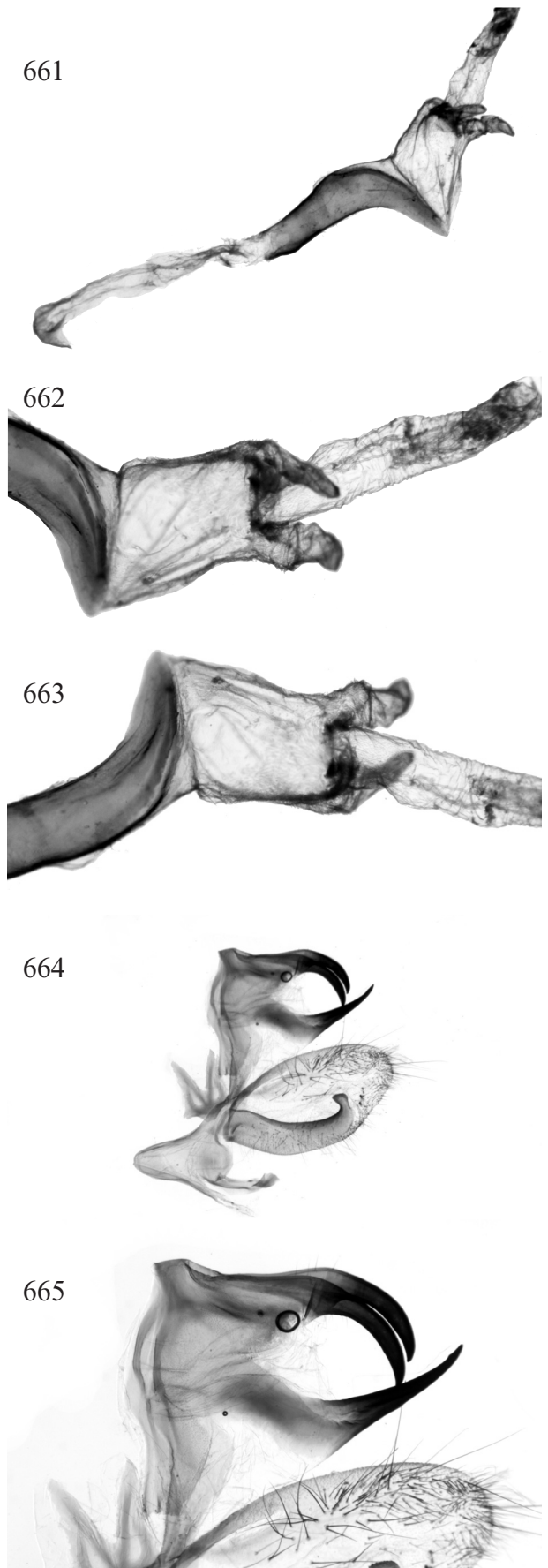
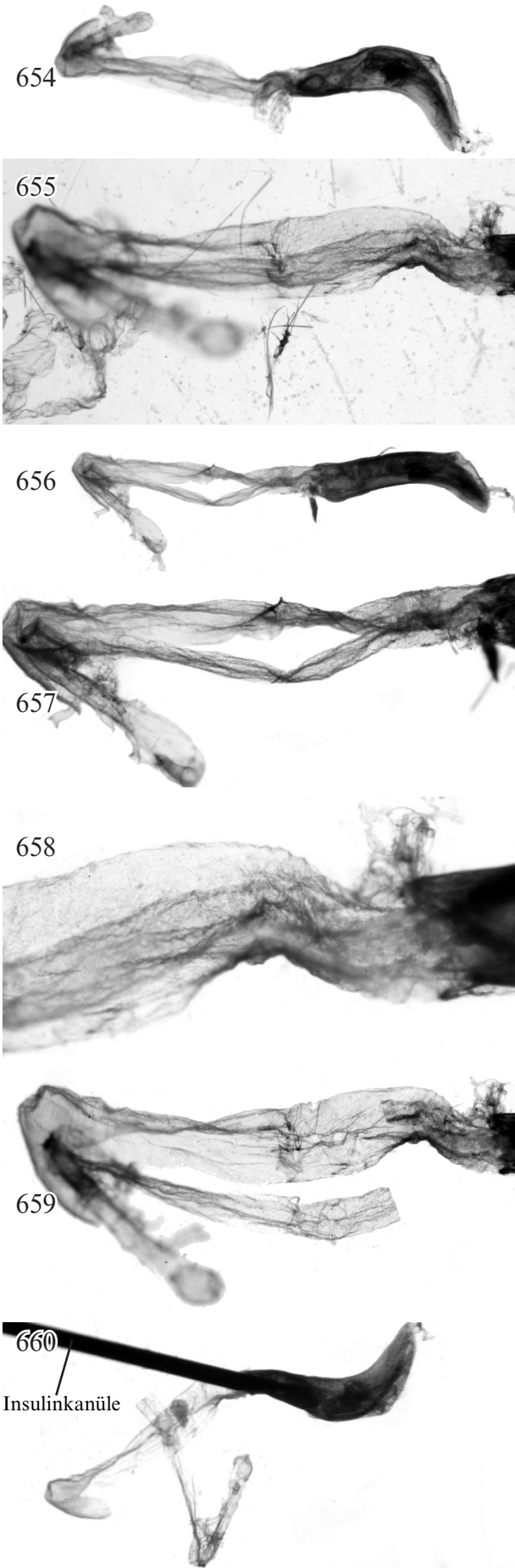


Abb. 64-665: *Neoclanis oberprieleri* spec. nov., HT, GP 5978 ♂ (Spannweite: 6,43 cm), /South Africa, TVL, Kruger Nat. Park, Pafuri, Bobomene research camp, 22.26S 31.12E, 250 m, 03.ii.1994, R. OBERPRIELER//*Neoclanis basalis* (Walker, 1866), det. R. Oberprieler 1994, collection R. OBERPRIELER/. EMEM. Vergrößerung: 6 x: Abb. 654, 656, 660, 661, 664; 12 x: Abb. 655, 657, 659, 662, 663, 665; 25 x: Abb. 586.

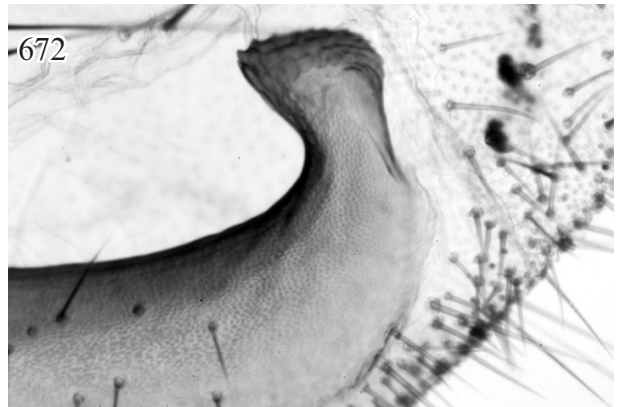
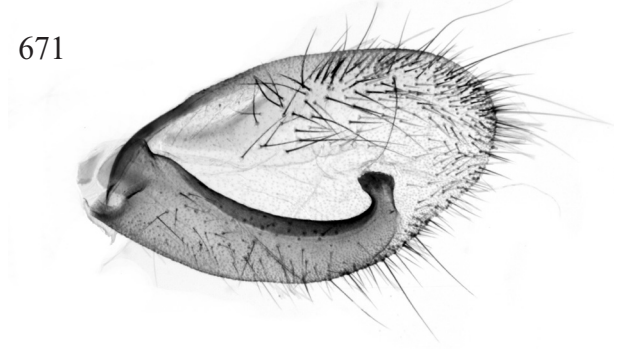
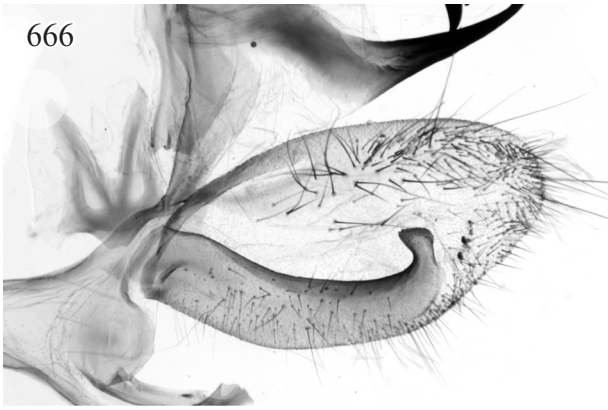
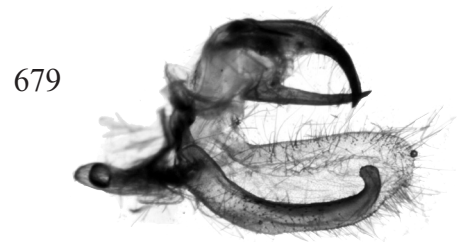


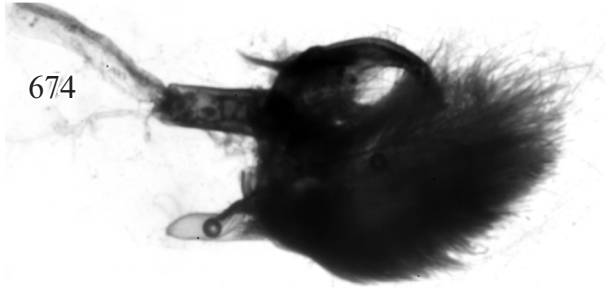
Abb. 666-672: *Neoclanis oberprieleri* spec. nov., HT, GP 5978 ♂ (Spannweite: 6,43 cm), /South Africa, TVL, Kruger Nat. Park, Pafuri, Bobomene research camp, 22.26S 31.12E, 250 m, 03.ii.1994, R. OBERPRIELER//*Neoclanis basalis* (Walker, 1866), det. R. Oberprieler 1994, collection R. OBERPRIELER/. EMEM. Vergrößerung: 6 x: Abb. 669; 12 x: Abb. 666, 667, 670, 671; 25 x: Abb. 668; 50 x: Abb. 672.



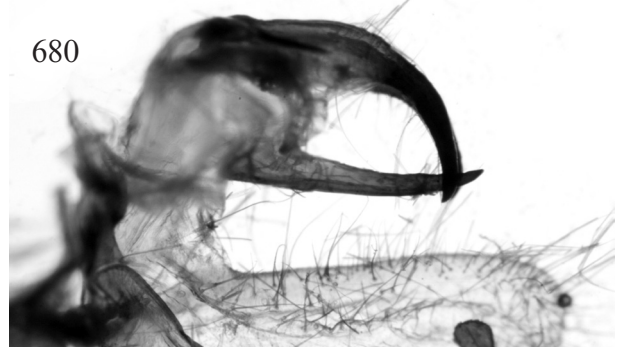
673



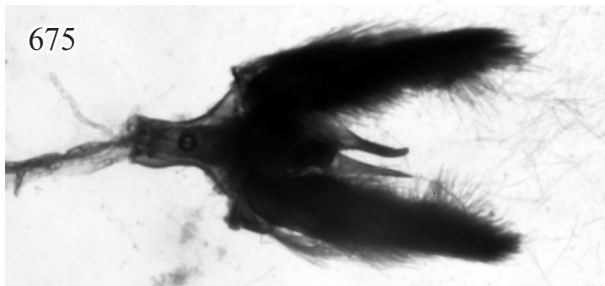
679



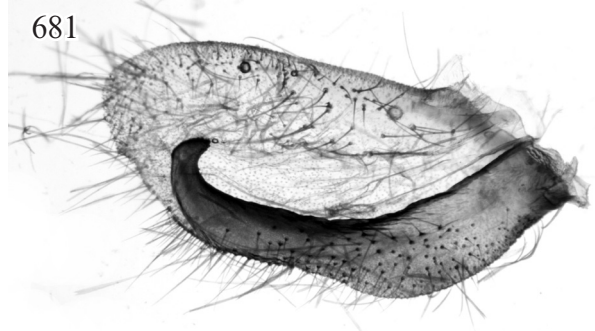
674



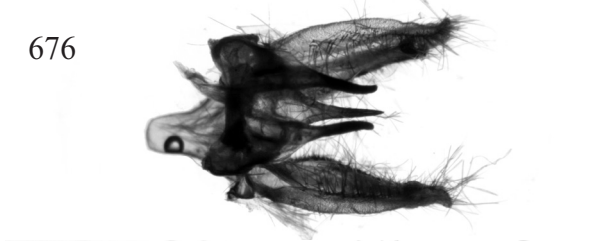
680



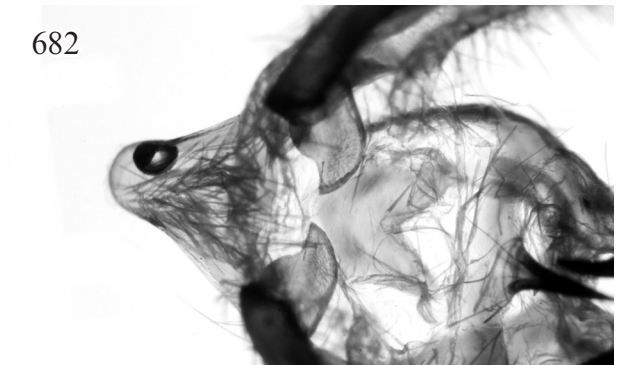
675



681



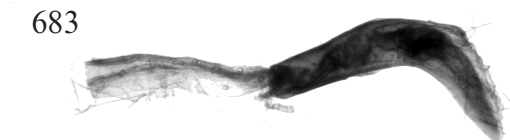
676



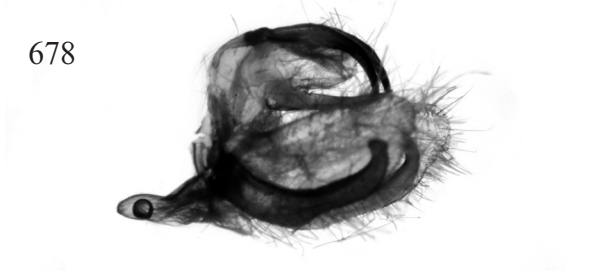
682



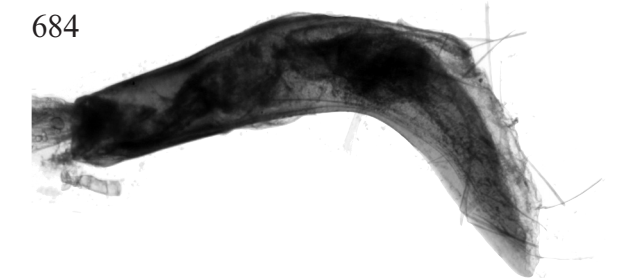
677



683



678



684

Abb. 673-684: *Neoclanis hogani* spec. nov., HT, GP 5974 ♂ (Spannweite: 7,26 cm), /Tanzania, Rukwa Region, nord de Mpanda, Vikonge,, 06°03.172'S; 030°56.258'E, 1334 m, 26-II-2012, (PH. DARGE)//*Neoclanis basalis* Walker/ex coll. PH. MORETTO, EMEM 26.V.2016, Entomol. Museum Eitschberger, Marktleuthen/. EMEM. Vergrößerung: 6 x: Abb. 673-676, 678, 679, 683; 12 x: Abb. 677, 680-682, 684.

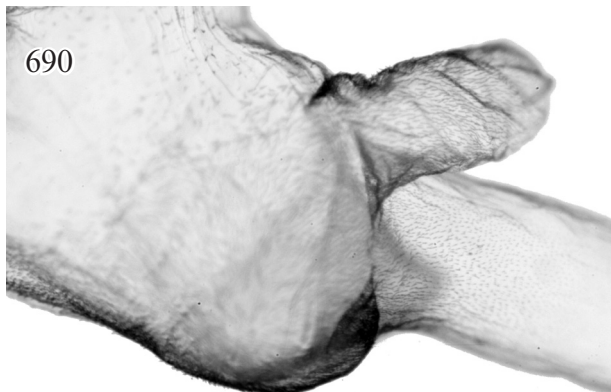
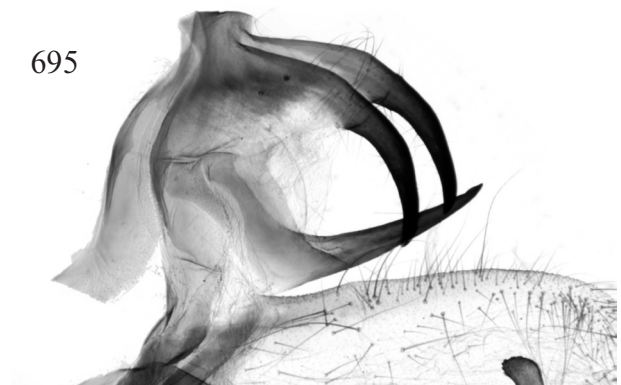
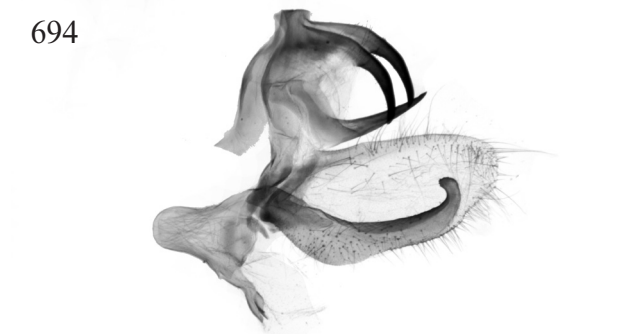
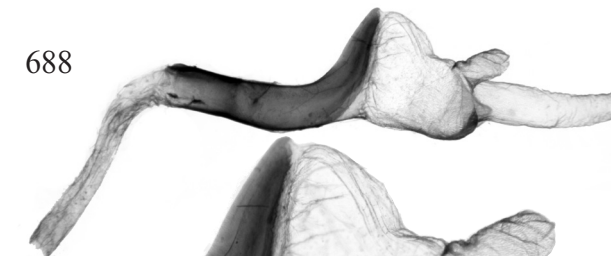
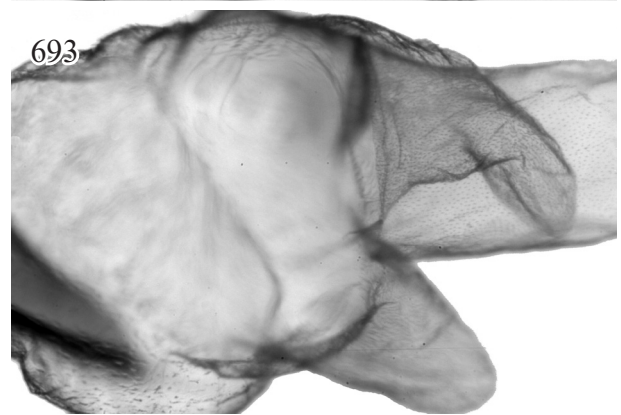
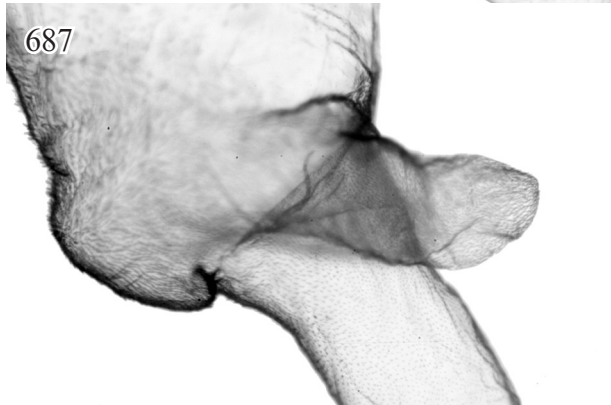
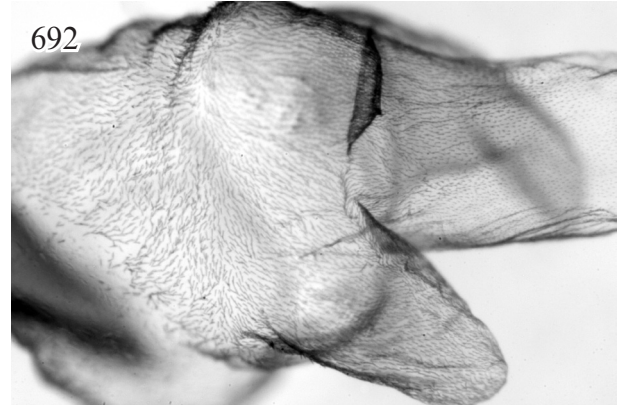
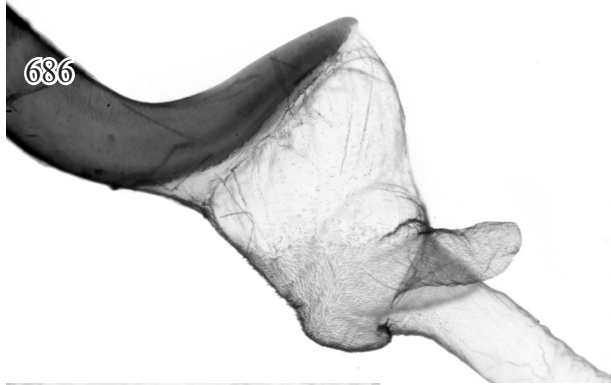
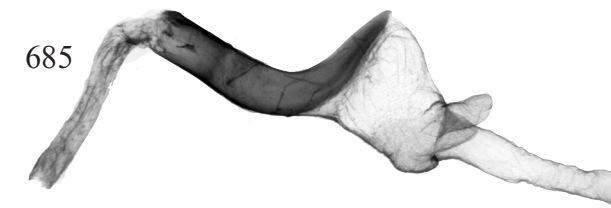


Abb. 685-695: *Neoclanis hogani* spec. nov., HT, GP 5974 ♂ (Spannweite: 7,26 cm), /Tanzania, Rukwa Region, nord de Mpanda, Vikonge,, 06°03.172'S; 030°56.258'E, 1334 m, 26-II-2012, (PH. DARGE)//*Neoclanis basalis* Walker/ex coll. PH. MORETTO, EMEM 26.V.2016, Entomol. Museum Eitschberger, Marktleuthen/. EMEM. Vergrößerung: 6 x: Abb. 685, 688, 694; 12 x: Abb. 686, 689, 691, 695; 25 x: Abb. 687, 690, 692, 693.

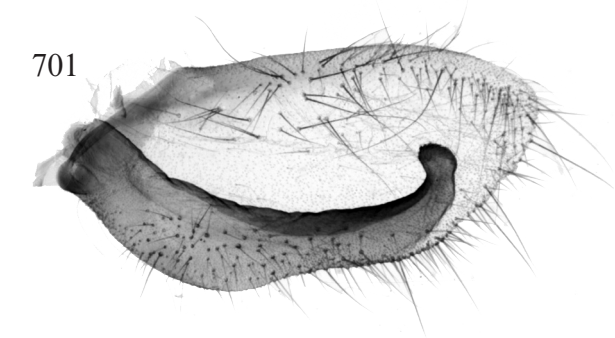
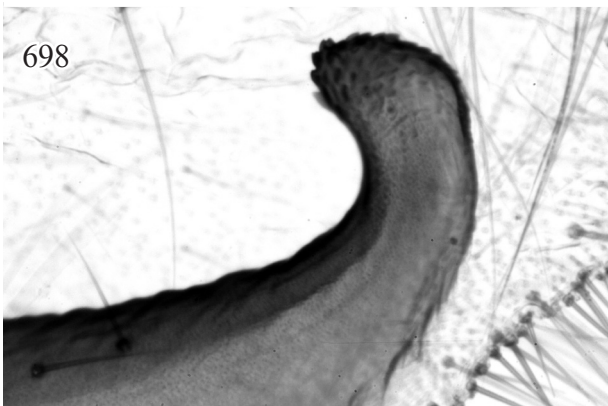
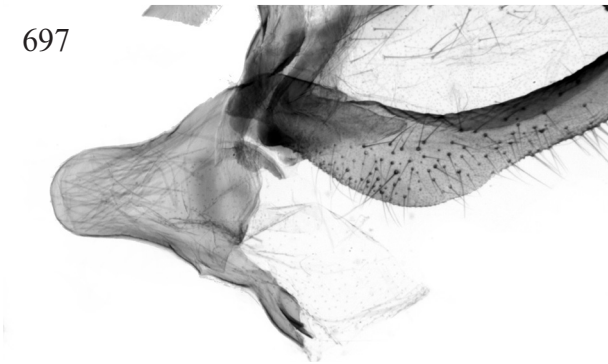
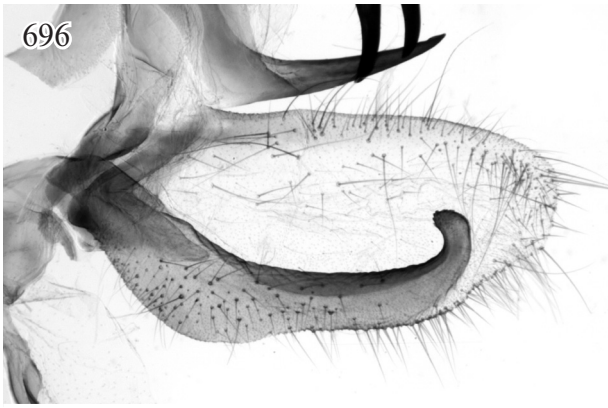


Abb. 696-701: *Neoclanis hogani* spec. nov., HT, GP 5974 ♂ (Spannweite: 7,26 cm), /Tanzania, Rukwa Region, nord de Mpanda, Vikonge,, 06°03.172'S; 030°56.258'E, 1334 m, 26-II-2012, (PH. DARGE)//*Neoclanis basalis* Walker//ex coll. PH. MORETTO, EMEM 26.V.2016, Entomol. Museum Eitschberger, Marktleuthen/. EMEM. Vergrößerung: 6 x: Abb. 699; 12 x: Abb. 696, 697, 700, 701; 50 x: Abb. 698.

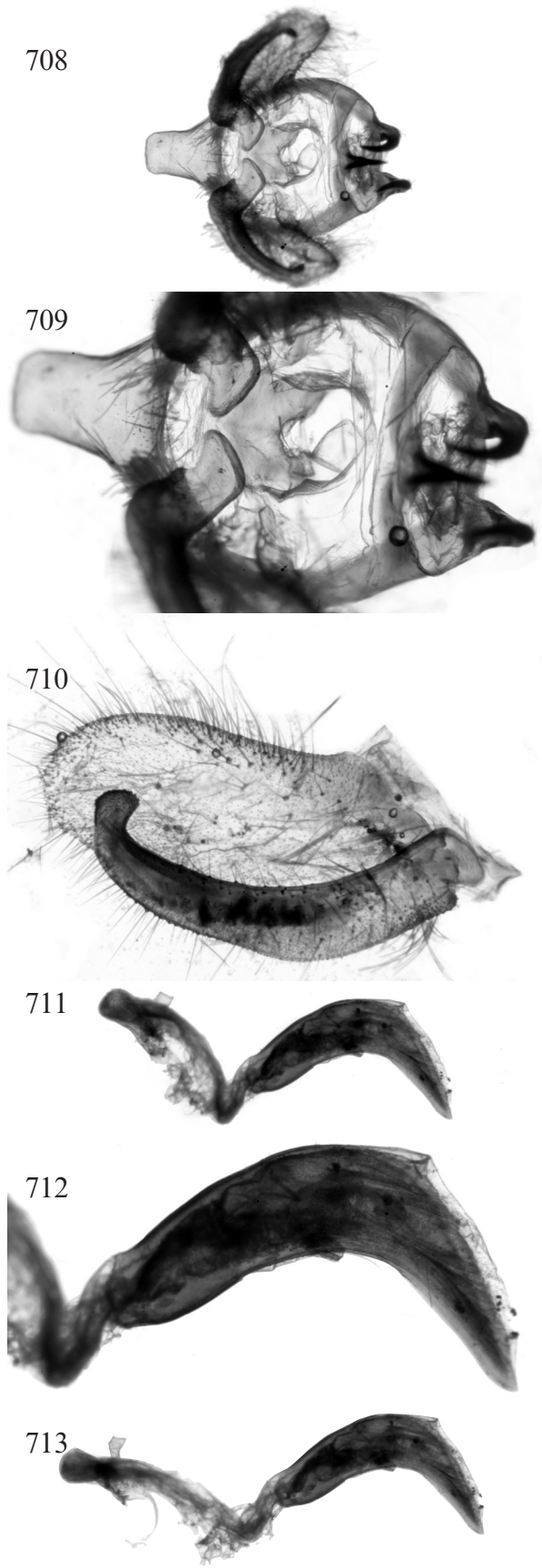
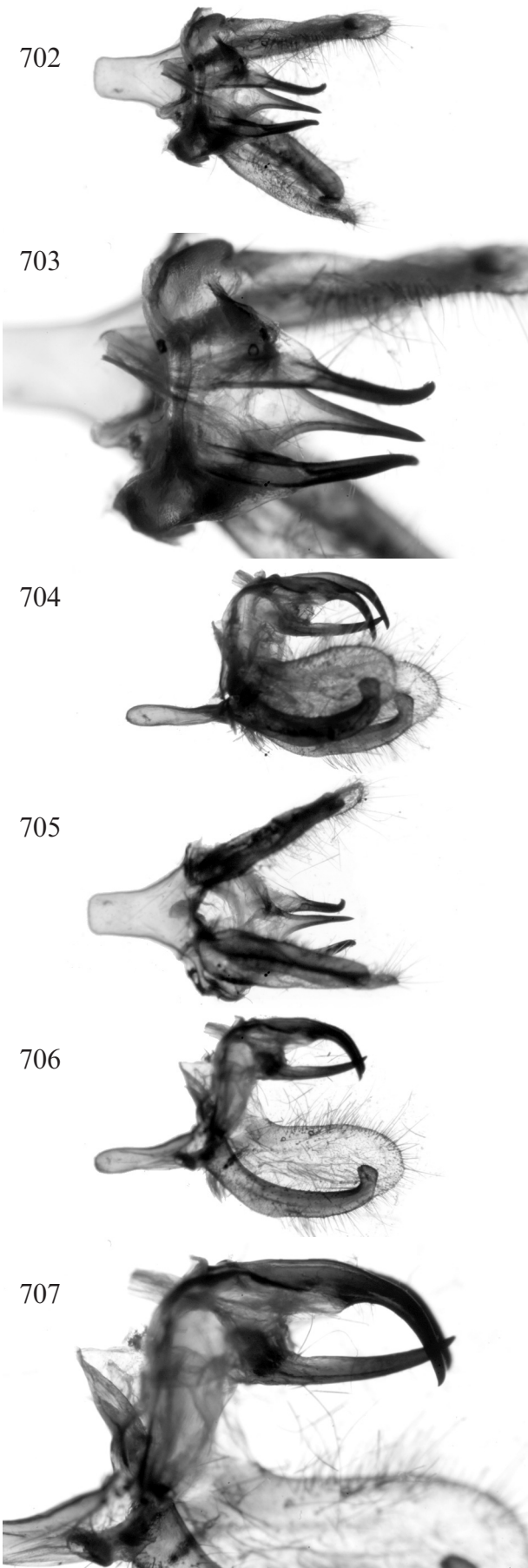
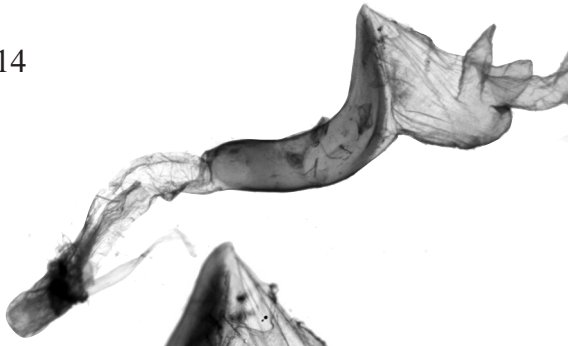


Abb. 702-713: *Neoclanis giustii* spec. nov., HT, GP 6013 ♂ (Spannweite: 7,15 cm), /Tanzania, Katavi Region, Mtisi Village near Sitalike, 1081 m, 06°28.226'S, 031°07.135'E, 09-XII-2012, (Ph. DARGE)//ex coll. PHILIPPE DARGE in EMEM, 16.X.2017, Entomolog. Museum Eitschberger, Marktleuthen/. EMEM. Vergrößerung: 6 x: Abb. 702, 704-706, 708, 711, 713; 12 x: Abb.703, 707, 709, 710, 712.

714



715



716



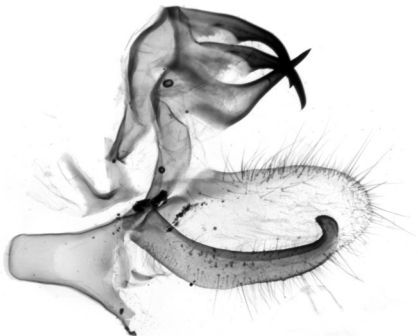
717



718



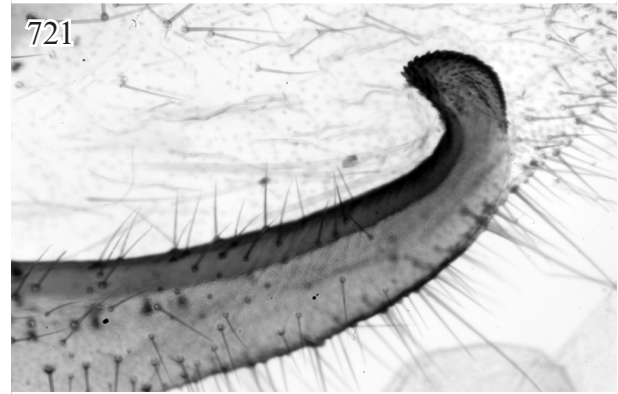
719



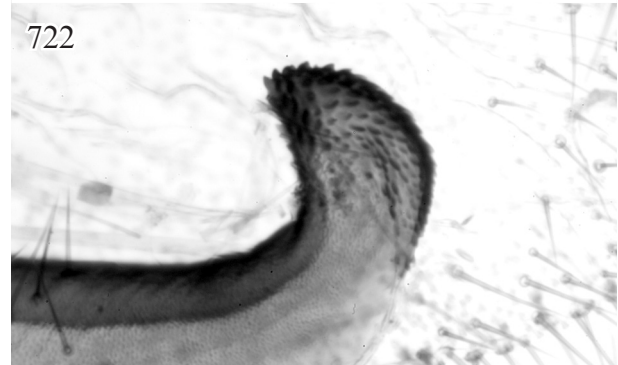
720



721



722



723

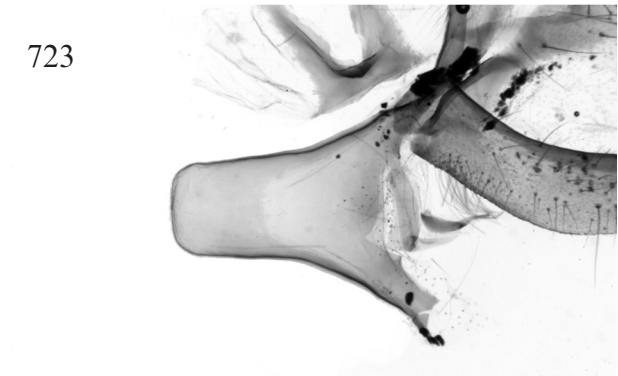


Abb. 714-723: *Neoclanis giustii* spec. nov., HT, GP 6013 ♂ (Spannweite: 7,15 cm), /Tanzania, Katavi Region, Mtisi Village near Sitalike, 1081 m, 06°28.226'S, 031°07.135'E, 09-XII-2012, (PH. DARGE)//ex coll. PHILIPPE DARGE in EMEM, 16.X.2017, Entomolog. Museum Eitschberger, Marktleuthen/. EMEM. Vergrößerung: 6 x: Abb. 714, 719; 12 x: Abb. 715-718, 720, 723; 25 x: Abb. 721; 50 x: Abb. 722.

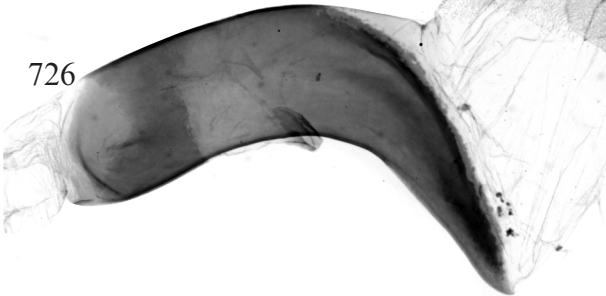
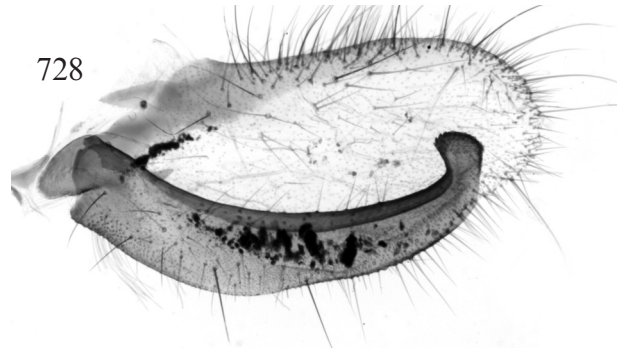
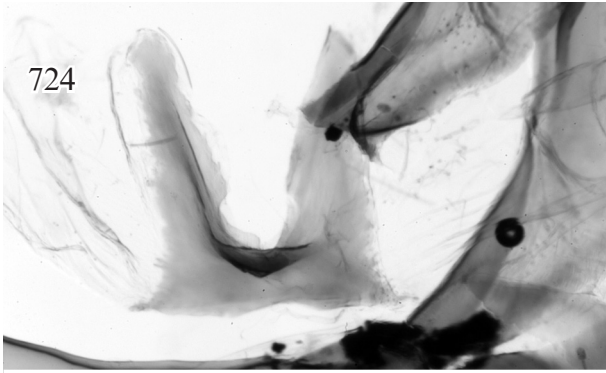


Abb. 724-728: *Neoclanis giustii* spec. nov., HT, GP 6013 ♂ (Spannweite: 7,15 cm), Tanzania, Katavi Region, Mtisi Village near Sitalike, 1081 m, 06°28.226'S, 031°07.135'E, 09-XII-2012, (PH. DARGE)//ex coll. PHILIPPE DARGE in EMEM, 16.X.2017, Entomolog. Museum Eitschberger, Marktleuthen/. EMEM. Vergrößerung: 6 x: Abb. 725; 12 x: Abb. 726-728; 25 x: Abb. 742.

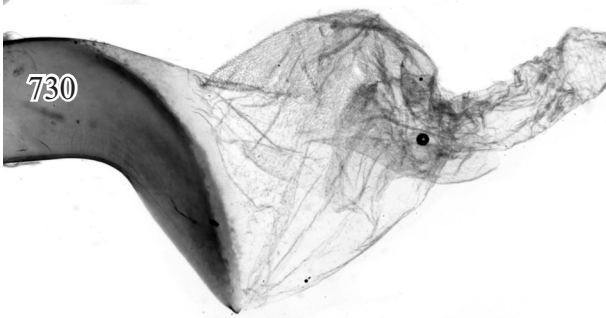
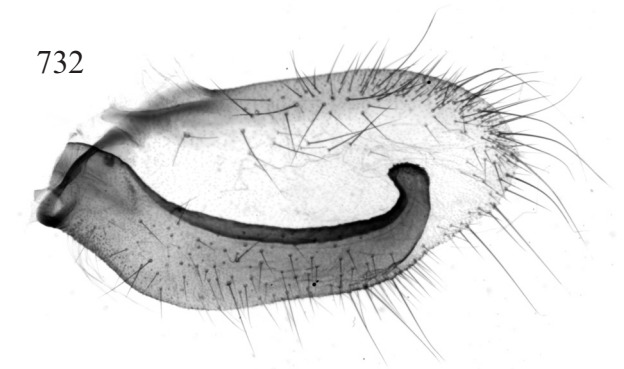
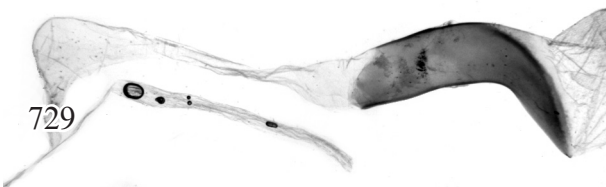


Abb. 729-732: *Neoclanis dargei* spec. nov., HT, GP 6012 ♂ (Spannweite: 7,04 cm), /Tanzania, Rukwa Region, Rukwa Escarpment, 1092 m, 07°05.913'S; 031°08.4844'E, 01-II-2008, (PH. DARGE)//ex coll. PHILIPPE DARGE in EMEM, 16.X.2017, Entomolog. Museum Eitschberger, Marktleuthen/. EMEM. Vergrößerung: 6 x: Abb. 729; 12 x: Abb. 730-732.

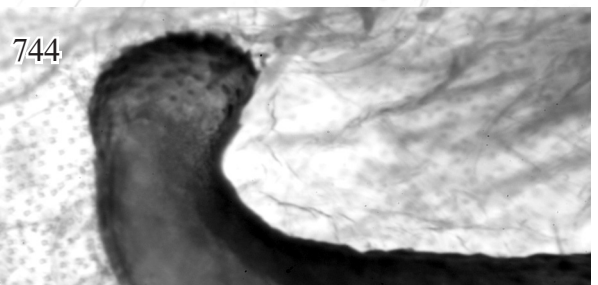
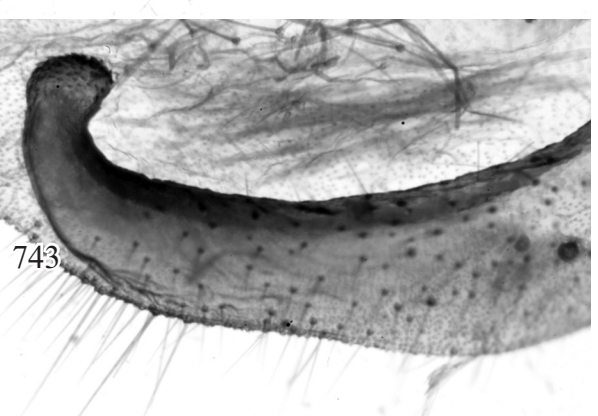
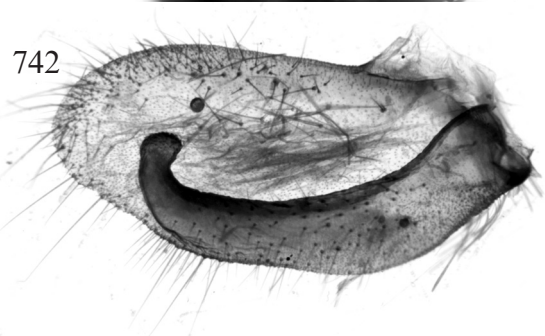
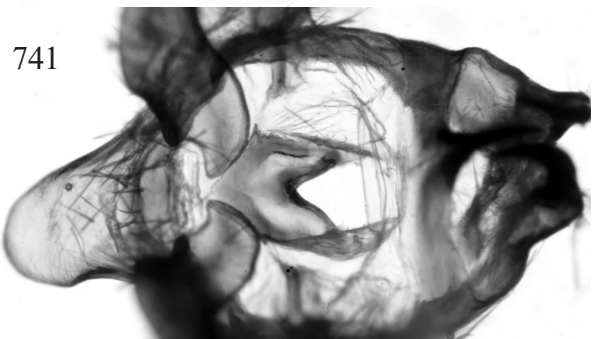
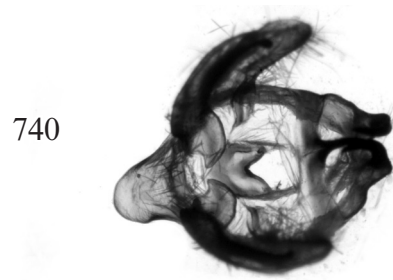
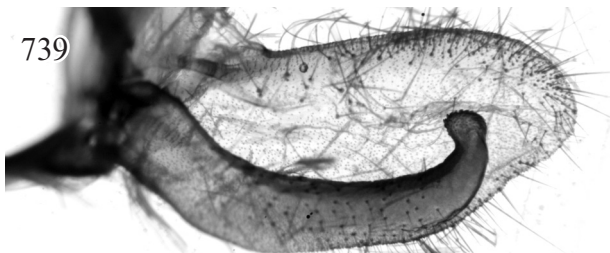
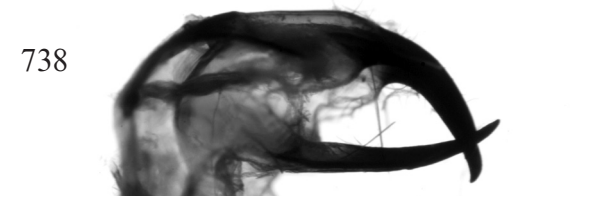
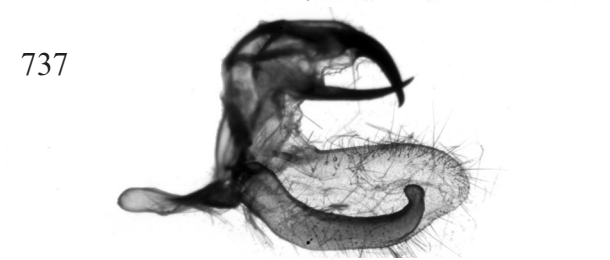
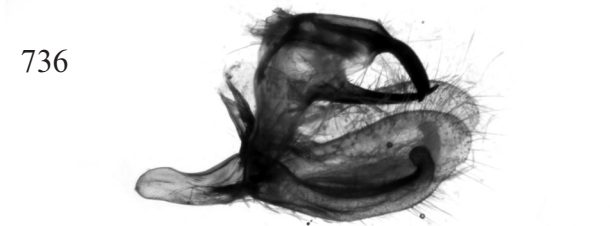
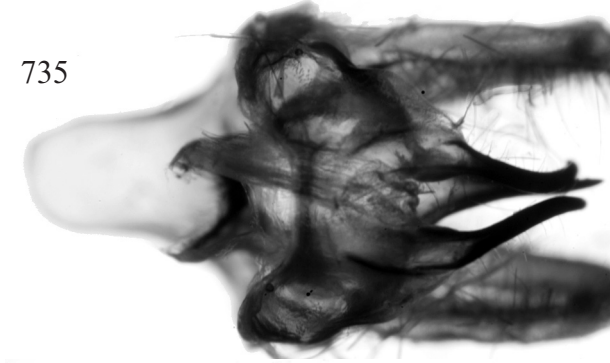
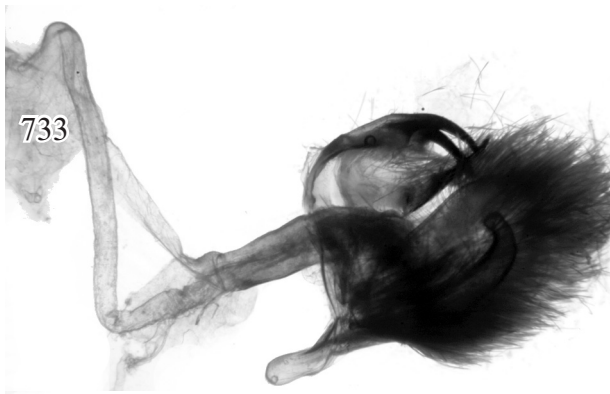


Abb. 733-745: *Neoclanis dargei* spec. nov., HT, GP 6012 ♂ (Spannweite: 7,04 cm), /Tanzania, Rukwa Region, Rukwa Escarpment, 1092 m, 07°05.913'S; 031°08.4844'E, 01-II-2008, (Ph. DARGE)/ex coll. PHILIPPE DARGE in EMEM, 16.X.2017, Entomolog. Museum Eitschberger, Marktleuthen/. EMEM. Vergrößerung: 6 x: Abb. 733, 734, 736, 737, 740, 745; 12 x: Abb. 735, 738, 739, 741, 742; 25 x: Abb. 743; 50 x: Abb. 744.

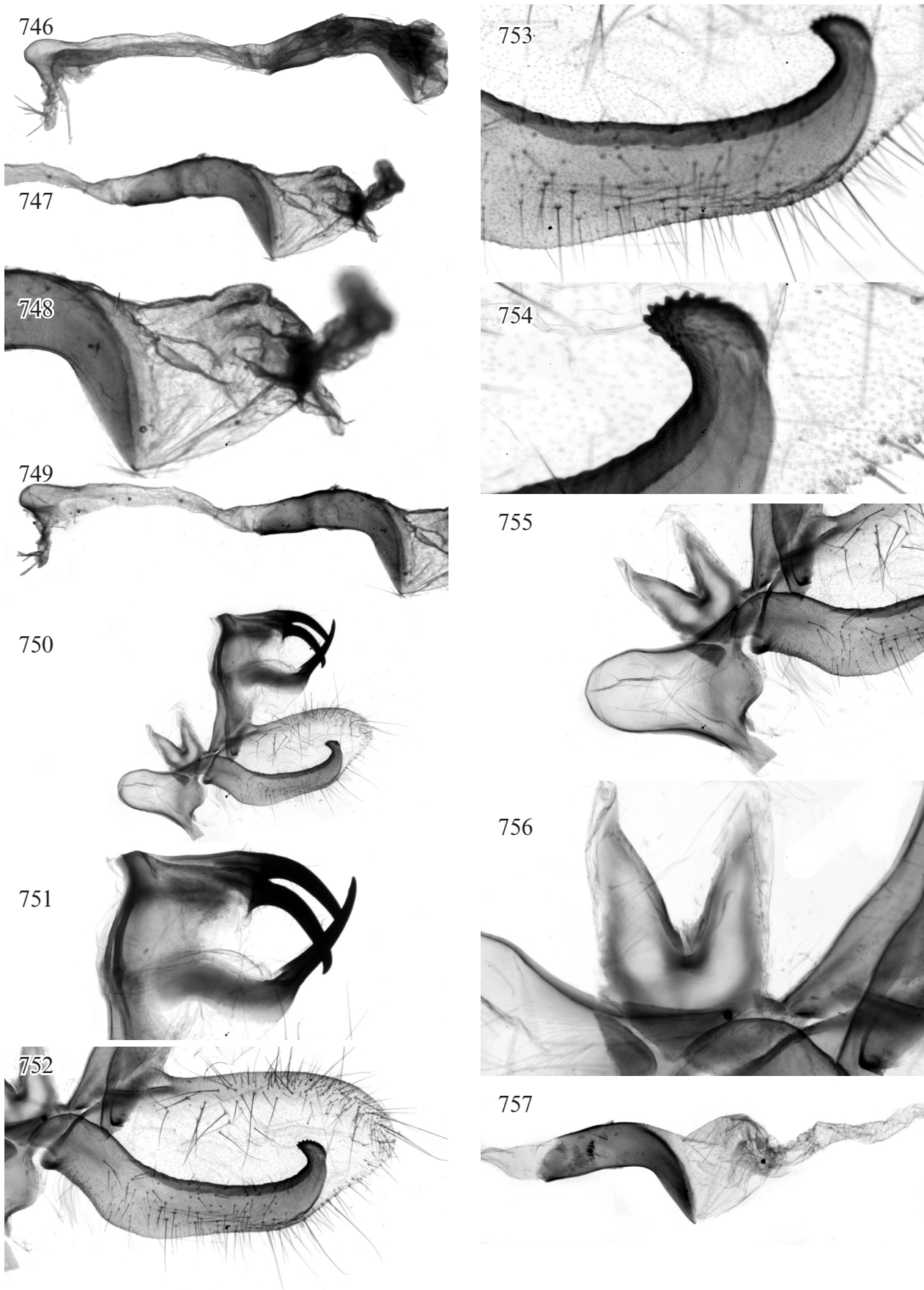


Abb. 746-757: *Neoclanis dargei* spec. nov., HT, GP 6012 ♂ (Spannweite: 7,04 cm), /Tanzania, Rukwa Region, Rukwa Escarpment, 1092 m, 07°05.913'S; 031°08.4844'E, 01-II-2008, (Ph. DARGE)//ex coll. PHILIPPE DARGE in EMEM, 16.X.2017, Entomolog. Museum Eitschberger, Marktleuthen/. EMEM. Vergrößerung: 6 x: Abb. 746, 747, 749, 750, 757; 12 x: Abb. 748, 751, 752, 755; 25 x: Abb. 753, 756; 50 x: Abb. 754.

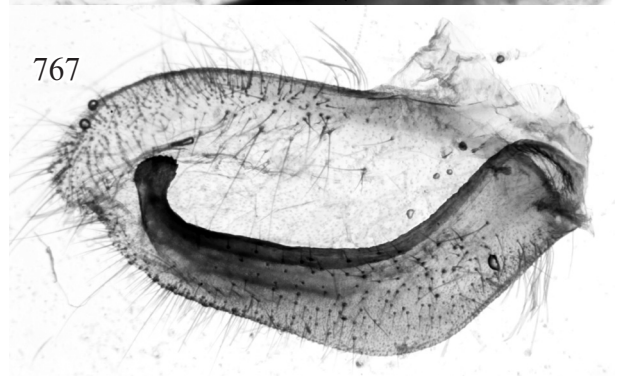
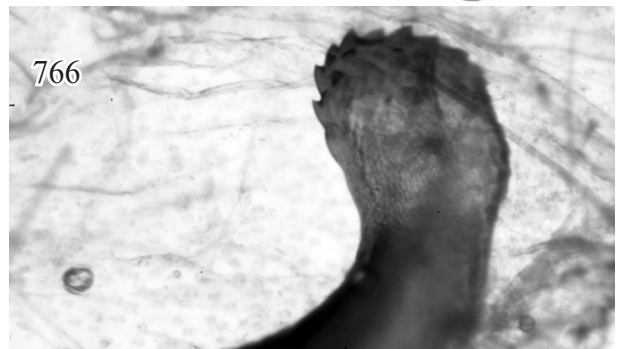
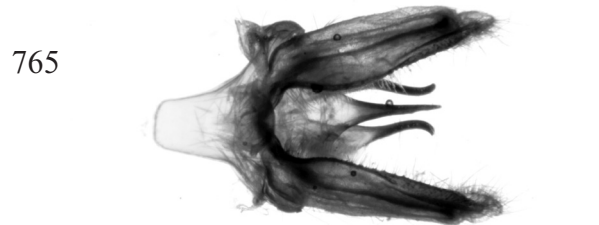
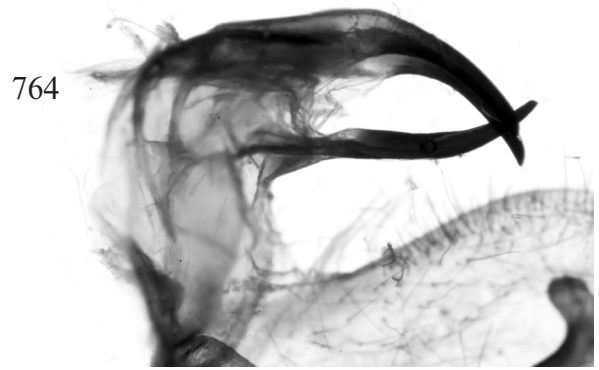
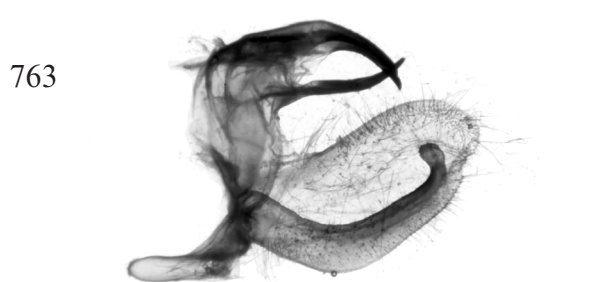
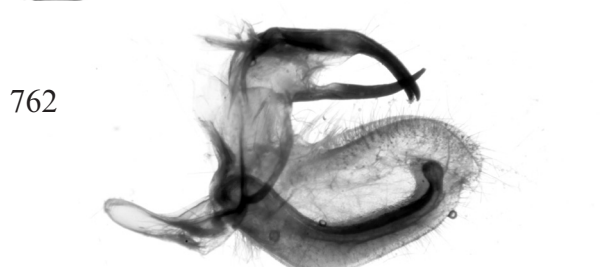
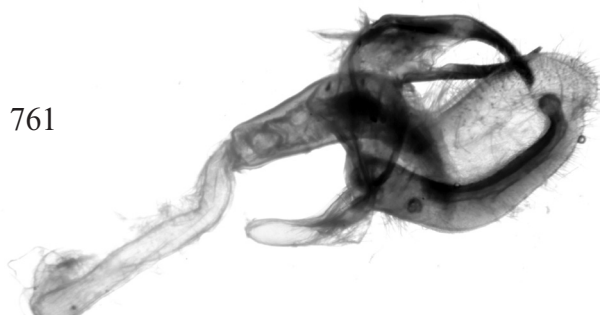
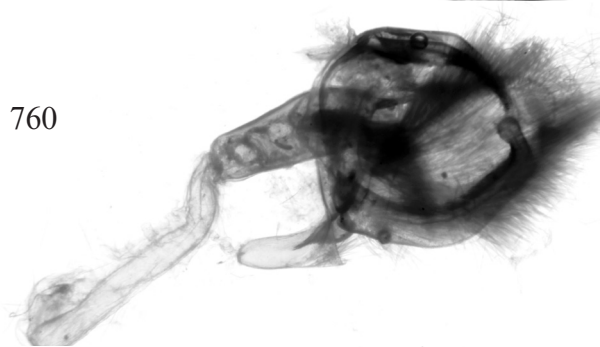
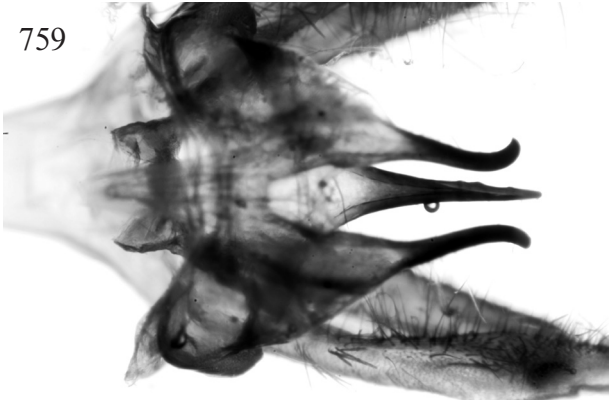
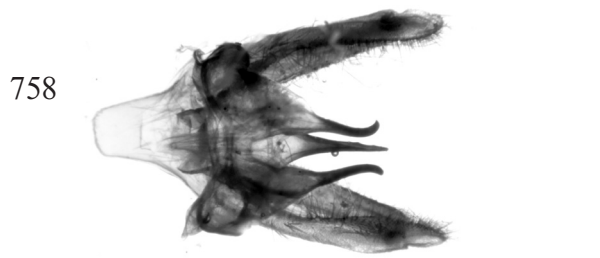


Abb. 758-769: *Neoclanis iringaensis* spec. nov., HT, GP 5987 ♂ (Spannweite: 8 cm), Tansanie, Iringa Region, Mpanga Game Reserve, Usalimbwani, 1225 m, 08°55.195'S, 34°07.105'E, 15.I.2010, PHILIPPE DARGE leg., EMEM, 16.X.2017. EMEM. Vergrößerung: 6 x: Abb. 758, 760-763, 765, 768; 12 x: Abb. 759, 764, 767, 769; 50 x: Abb. 766.

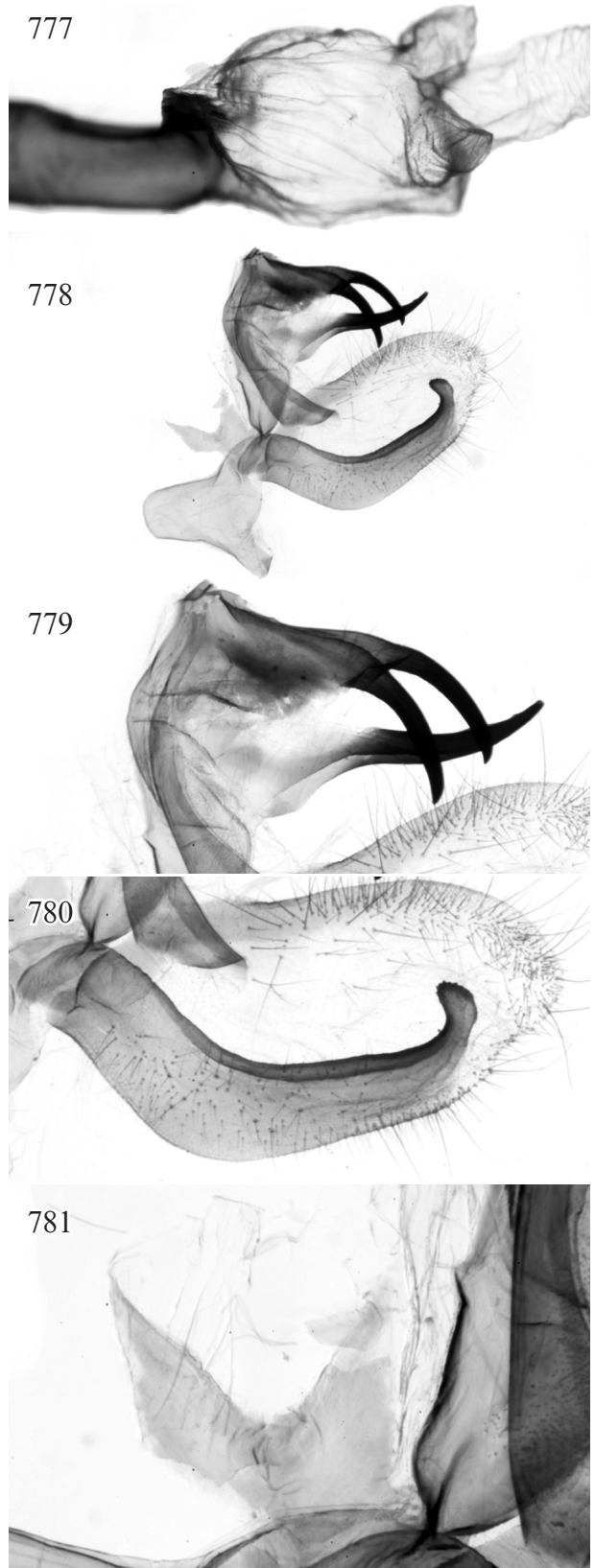
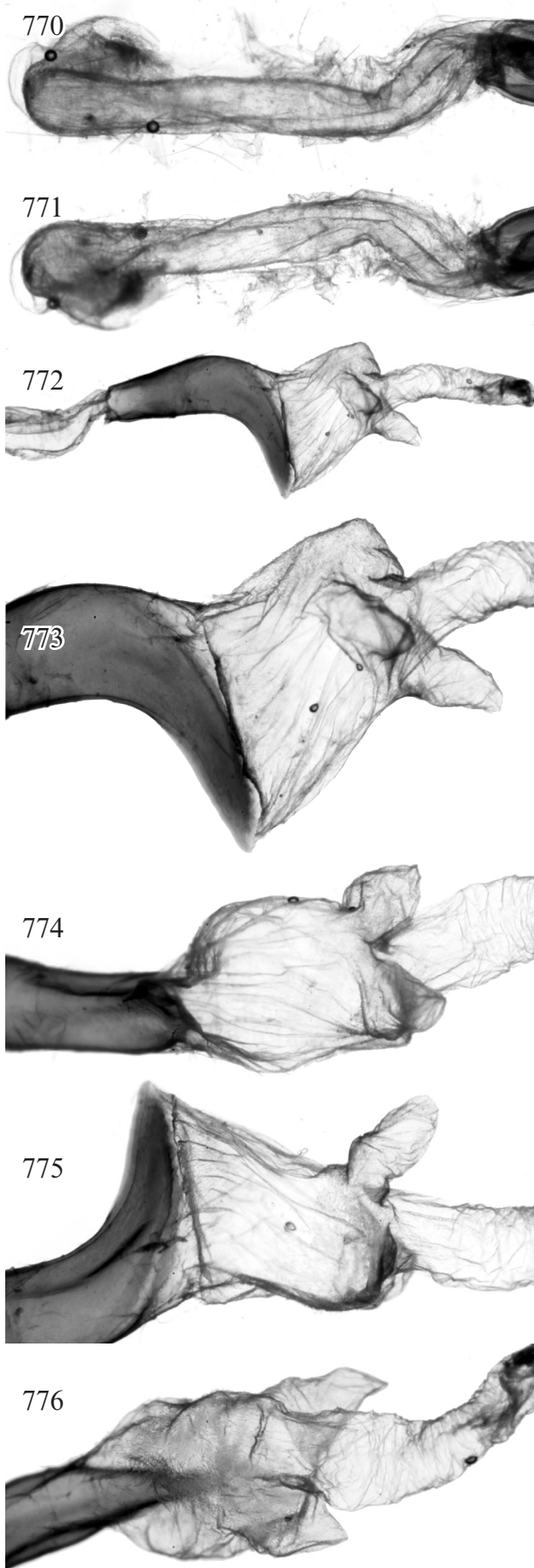
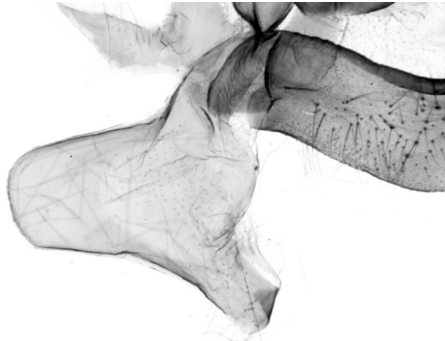
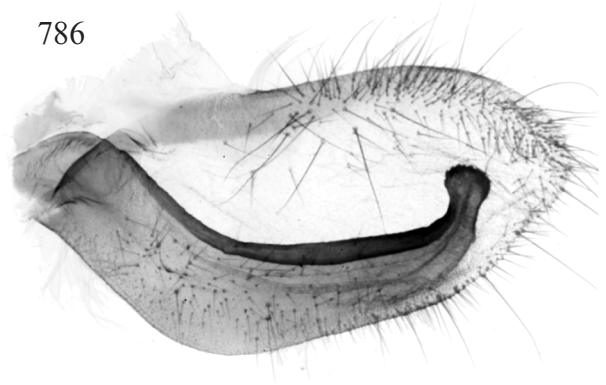


Abb. 770-781: *Neoclanis iringaensis* spec. nov., HT, GP 5987 ♂ (Spannweite: 8 cm), Tansanie, Iringa Region, Mpanga Game Reserve, Usalimbwani, 1225 m, 08°55.195'S, 34°07.105'E, 15.I.2010, PHILIPPE DARGE leg., EMEM, 16.X.2017. EMEM. Vergrößerung: 6 x: Abb. 722, 778; 12 x: Abb. 770, 771, 773-777, 779; 25 x: Abb. 780, 781.

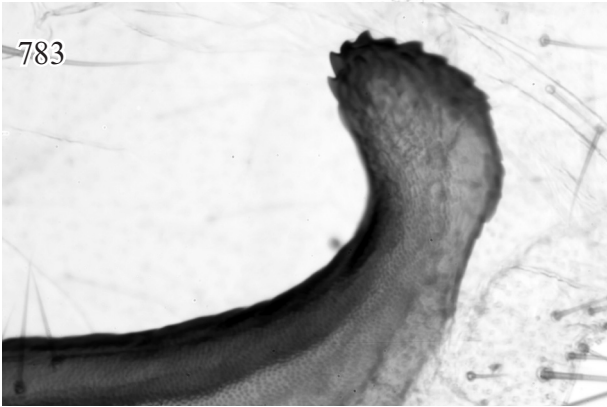
782



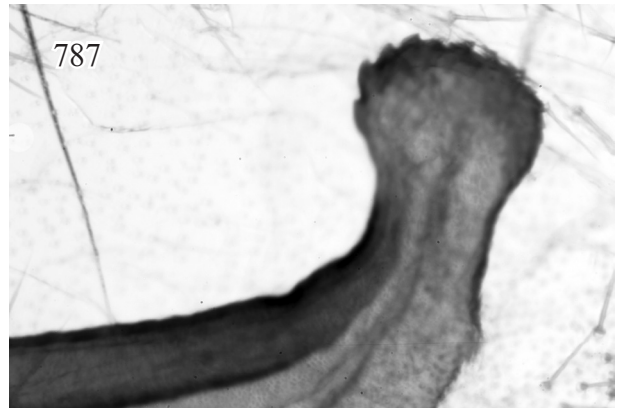
786



783



787



784



785

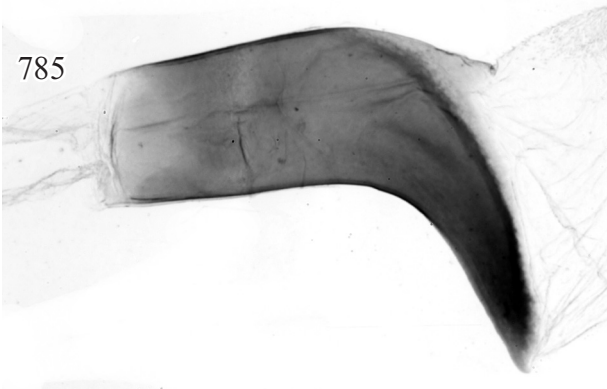


Abb. 782-787: *Neoclanis iringaensis* spec. nov., HT, GP 5987 ♂ (Spannweite: 8 cm), Tansanie, Iringa Region, Mpanga Game Reserve, Usalimbwani, 1225 m, 08°55.195'S, 34°07.105'E, 15.I.2010, PHILIPPE DARGE leg., EMEM, 16.X.2017. EMEM. Vergrößerung: 6 x: Abb. 784; 12 x: Abb. 782, 785; 25 x: Abb. 786; 50 x: Abb. 783, 787.

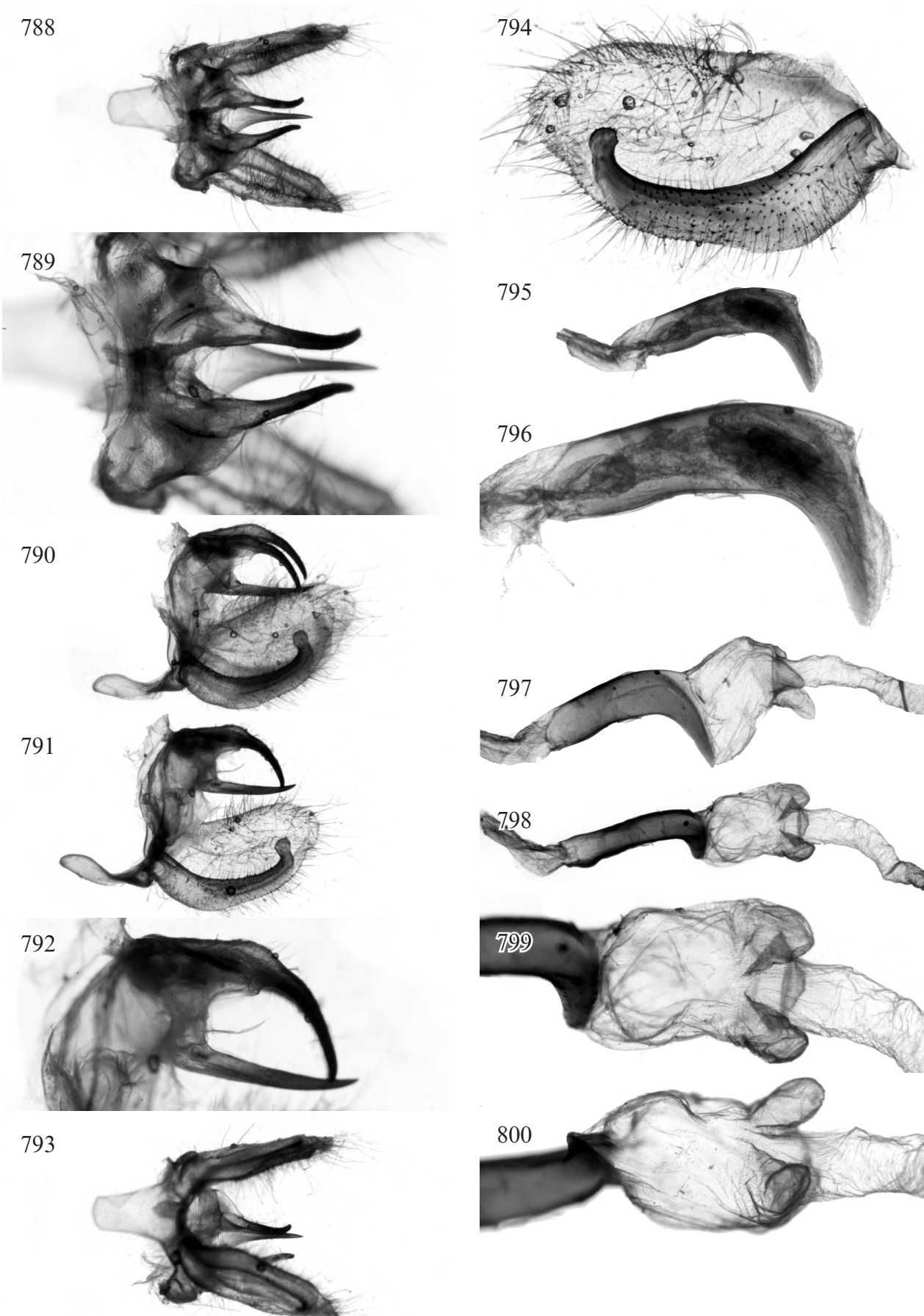
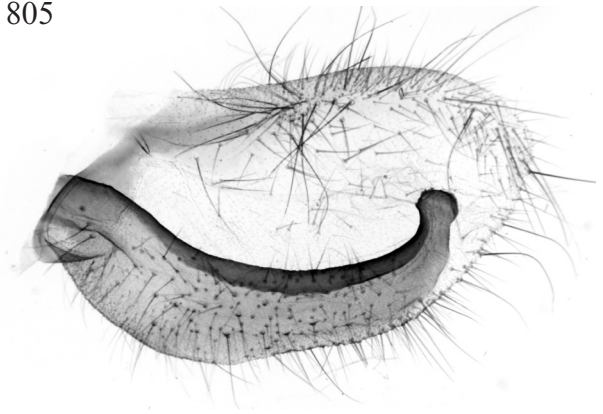


Abb. 788-800: *Neoclanis oatesorum* spec. nov., HT, GP 5998 ♂ (Spannweite: 8,05 cm), /Tanzanie: Iringa Region, Mpanga Game Reserve, Usalimwani, 08°55.195'S., 037°20.709'E., 11-II-2005, (PH. DARGE)//ex coll. PHILIPPE DARGE in EMEM, 16.X.2017, Entomolog. Museum Eitschberger, Marktleuthen/. EMEM. Vergrößerung: 6 x: Abb. 788, 790, 791, 793, 795, 797, 798; 12 x: Abb. 789, 792, 794, 796, 799, 800.

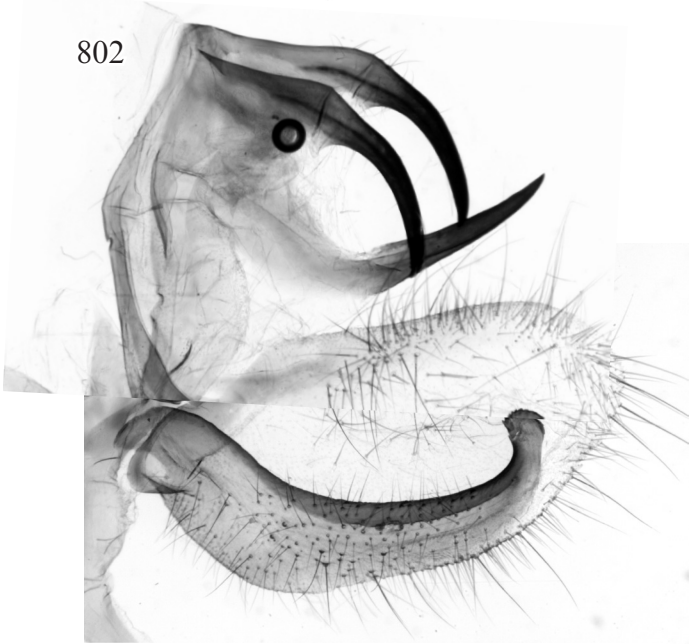
801



805



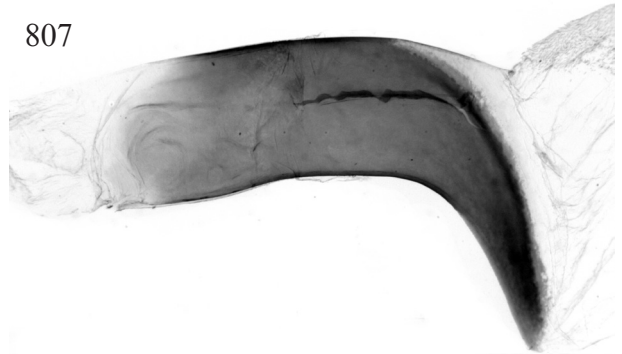
802



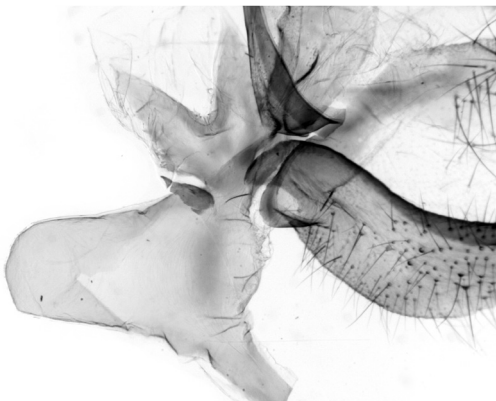
806



807



803



808



804



Abb. 801-808: *Neoclanis oatesorum* spec. nov., HT, GP 5998 ♂ (Spannweite: 8,05 cm), /Tanzanie: Iringa Region, Mpanga Game Reserve, Usalimwani, 08°55.195'S., 037°20.709'E., 11-II-2005, (PH. DARGE)//ex coll. PHILIPPE DARGE in EMEM, 16.X.2017, Entomolog. Museum Eitschberger, Marktleuthen/. EMEM. Vergrößerung: 6 x: Abb. 801, 806; 12 x: Abb. 802, 803, 805, 807, 808; 25 x: Abb. 804.

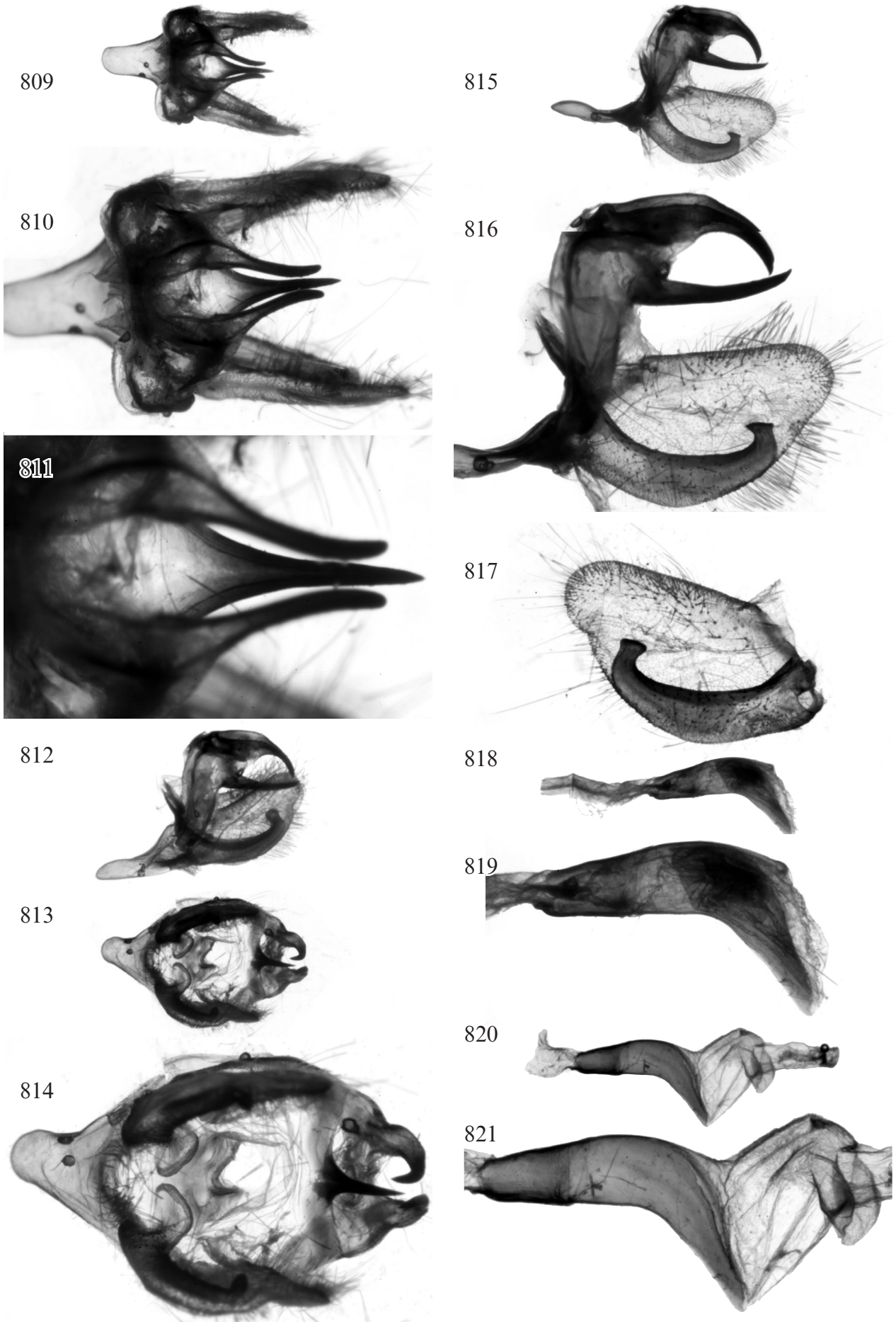


Abb. 809-821: *Neoclanis morogoroensis* spec. nov., HT, GP 5973 ♂ (Spannweite: 7,17 cm), /7 Tanzania, Morogoro: 1 km E Mikumi, savanna, 5.III.2003, 550 m, leg. M. FIBIGER, H. HACKER, K. LARSEN, H.-P. SCHREIER//ex coll. HERM. HACKER, Staffelstein, in EMEM, 9.IV.2015, Entomol. Museum Eitschberger, Marktleuthen/. EMEM. Vergrößerung: 6 x: Abb. 809, 812, 813, 815, 818, 820; 12 x: Abb. 810, 814, 816, 817, 819, 821; 25 x: Abb. 811.

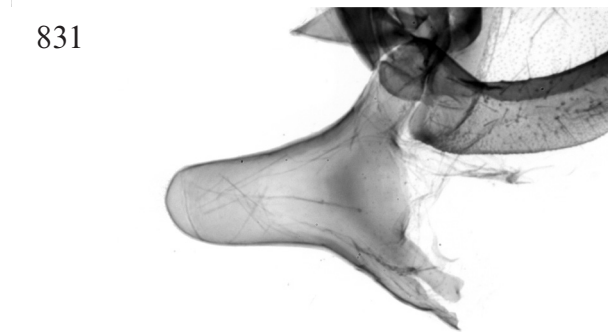
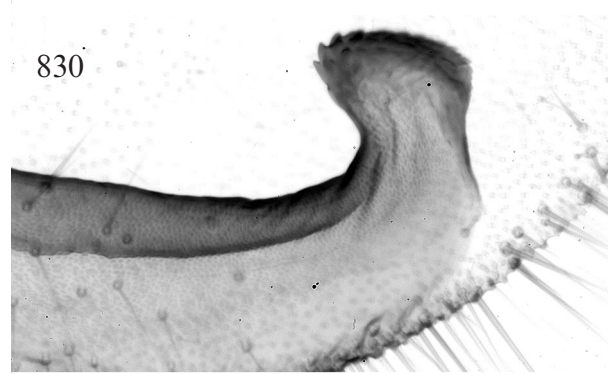
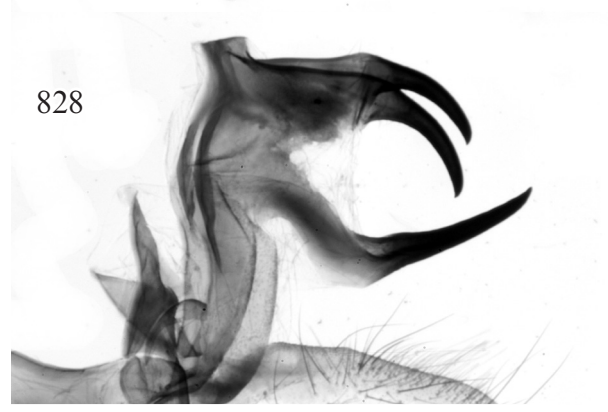
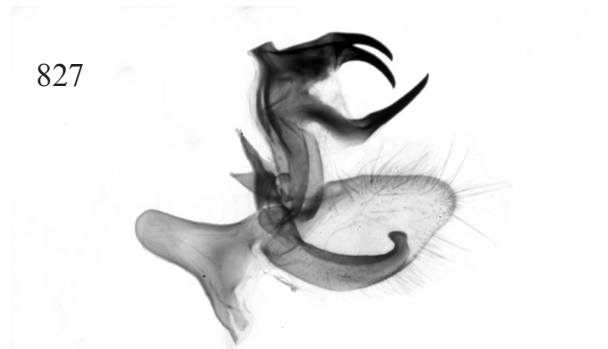
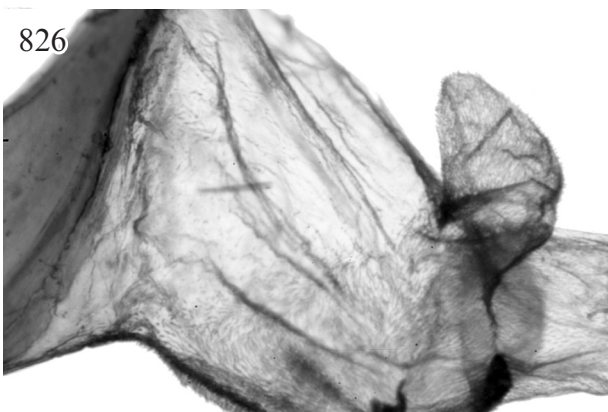
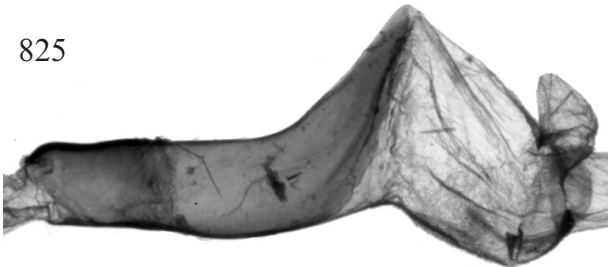
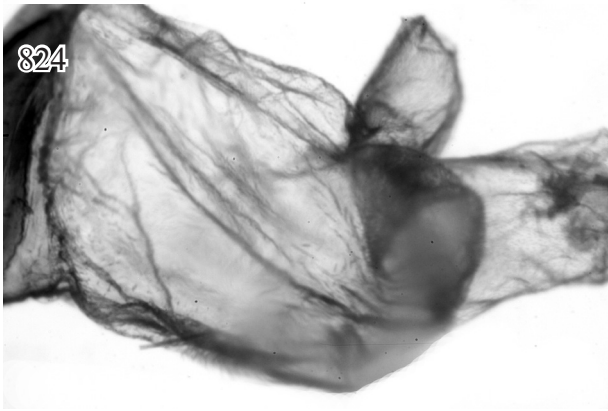
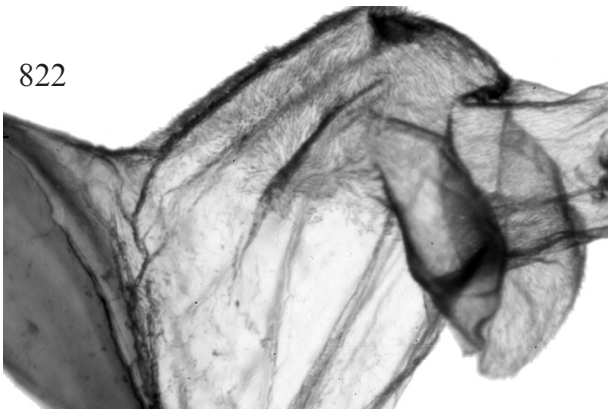
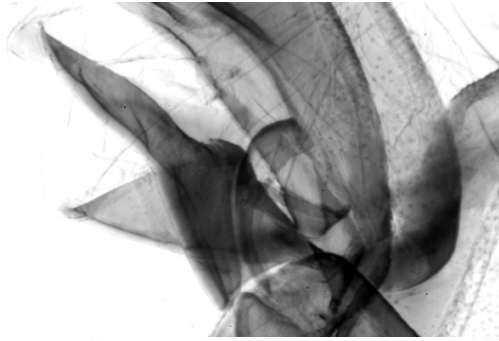
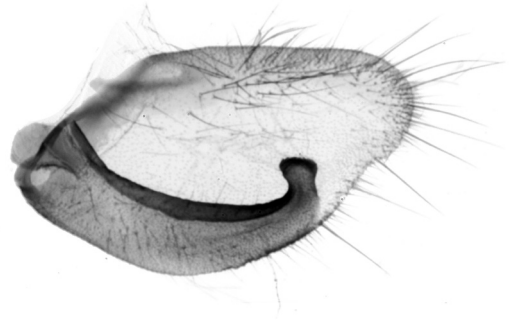


Abb. 822-831: *Neoclanis morogoroensis* spec. nov., HT, GP 5973 ♂ (Spannweite: 7,17 cm), /7 Tanzania, Morogoro: 1 km E Mikumi, savanna, 5.III.2003, 550 m, leg. M. FIBIGER, H. HACKER, K. LARSEN, H.-P. SCHREIER//ex coll. HERM. HACKER, Staffelstein, in EMEM, 9.IV.2015, Entomol. Museum Eitschberger, Marktleuthen/. EMEM. Vergrößerung: 6 x: Abb. 827; 12 x: Abb. 823, 825, 828, 829, 831; 25 x: Abb. 822, 824, 826; 50 x: Abb. 830.

832



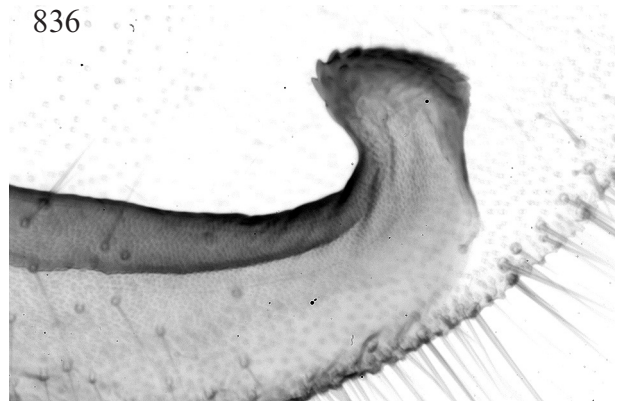
835



833



836



834

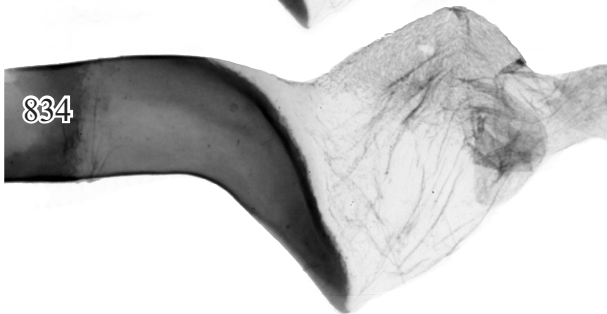
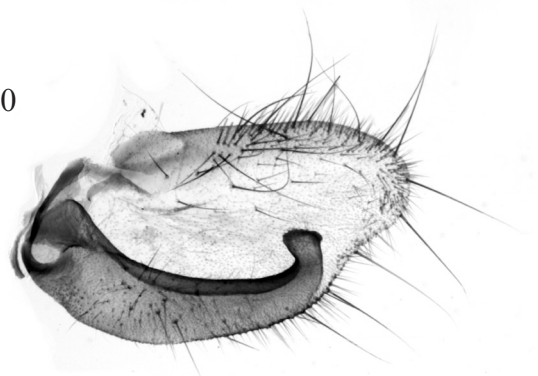


Abb. 832-836: *Neoclanis morogoroensis* spec. nov., HT, GP 5973 ♂ (Spannweite: 7,17 cm), /7 Tanzania, Morogoro: 1 km E Mikumi, savanna, 5.III.2003, 550 m, leg. M. FIBIGER, H. HACKER, K. LARSEN, H.-P. SCHREIER//ex coll. HERM. HACKER, Staffelstein, in EMEM, 9.IV.2015, Entomol. Museum Eitschberger, Marktleuthen/. EMEM. Vergrößerung: 6 x: Abb. 833; 12 x: Abb. 834, 835; 25 x: Abb. 832; 50 x: Abb. 836.

837



840



838



839

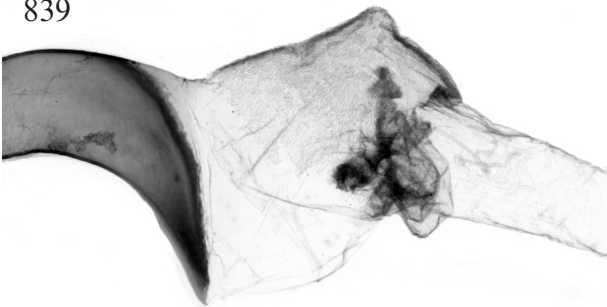


Abb. 837-840: *Neoclanis morogoroensis* spec. nov., PT, GP 5976 ♂ (Spannweite: 6,86 cm), /7 Tanzania, Morogoro: 1 km E Mikumi, savanna, 5.III.2003, 550 m, leg. M. FIBIGER, H. HACKER, K. LARSEN, H.-P. SCHREIER//ex coll. HERM. HACKER, Staffelstein, in EMEM, 9.IV.2015, Entomol. Museum Eitschberger, Marktleuthen/. EMEM. Vergrößerung: 6 x: Abb. 837, 838; 12 x: Abb. 839, 840.

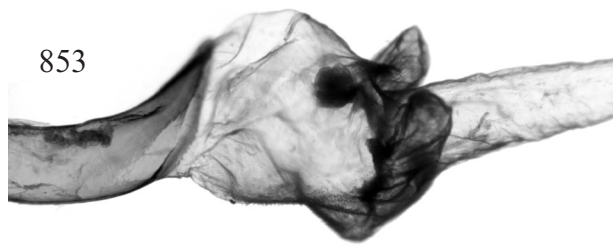
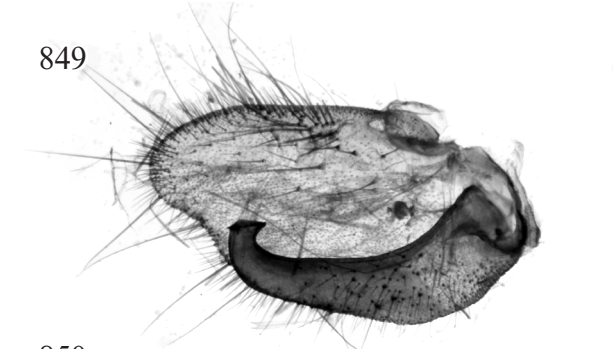
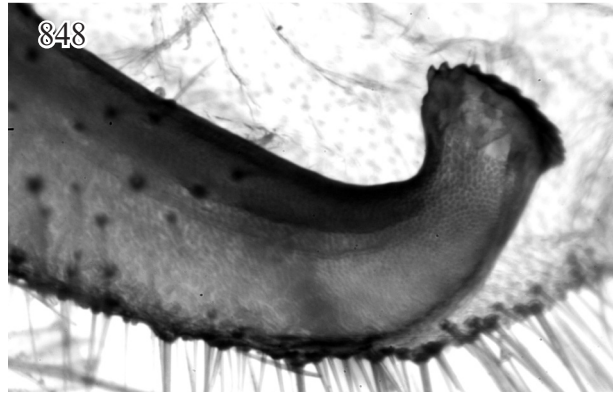
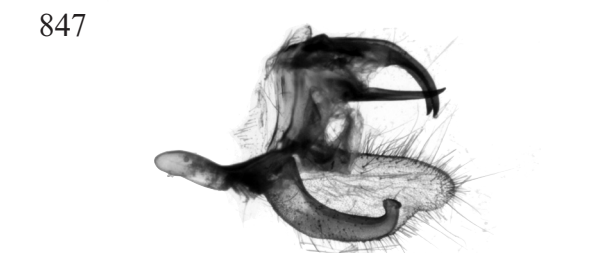
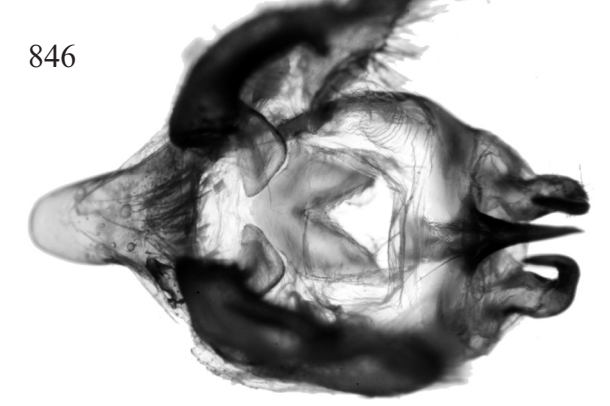
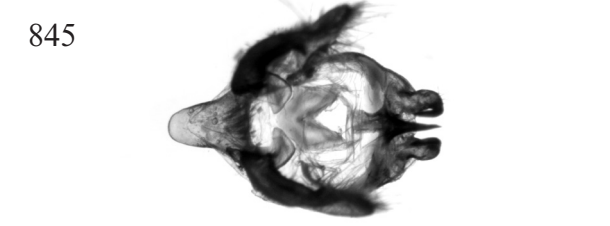
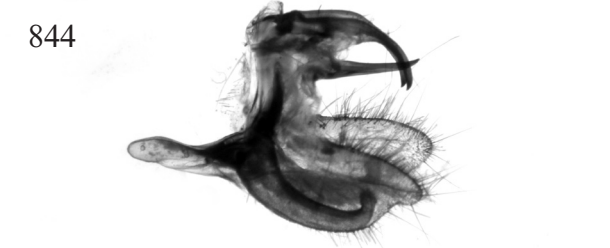
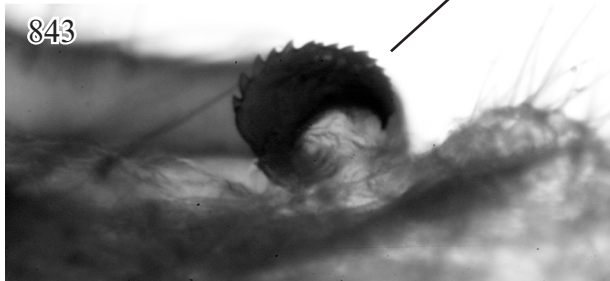


Abb. 841-853: *Neoclanis morogoroensis* spec. nov., PT, GP 5976 ♂ (Spannweite: 6,86 cm), /7 Tanzania, Morogoro: 1 km E Mikumi, savanna, 5.III.2003, 550 m, leg. M. FIBIGER, H. HACKER, K. LARSEN, H.-P. SCHREIER//ex coll. HERM. HACKER, Staffelstein, in EMEM, 9.IV.2015, Entomol. Museum Eitschberger, Marktleuthen/. EMEM. Vergrößerung: 6 x: Abb. 841, 844, 845, 847, 850-852; 12 x: Abb. 842, 846, 849, 853; 50 x: Abb. 843, 848.

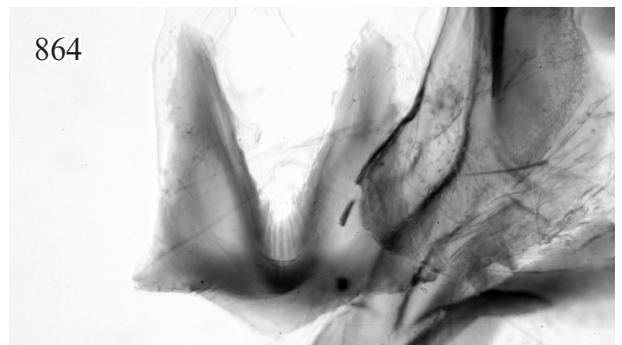
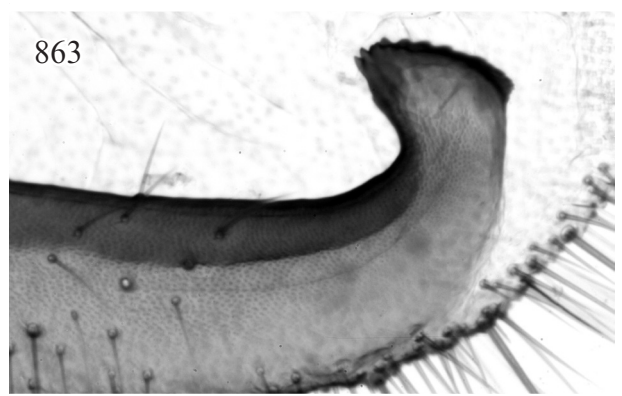
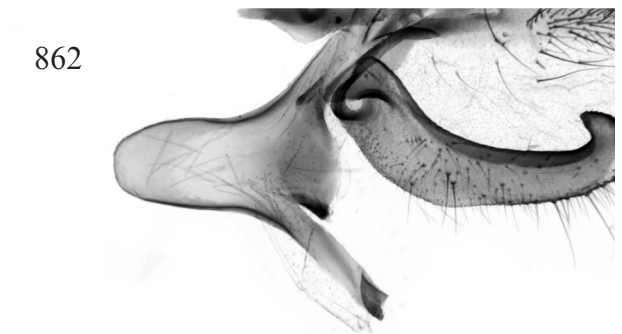
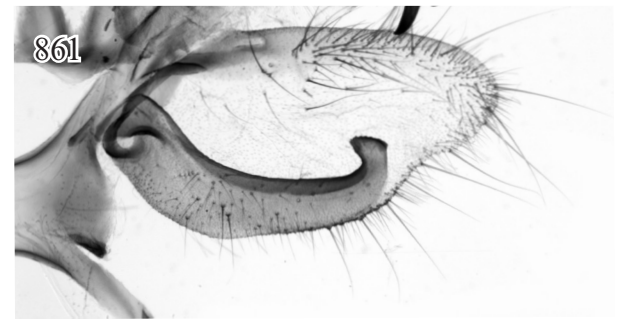
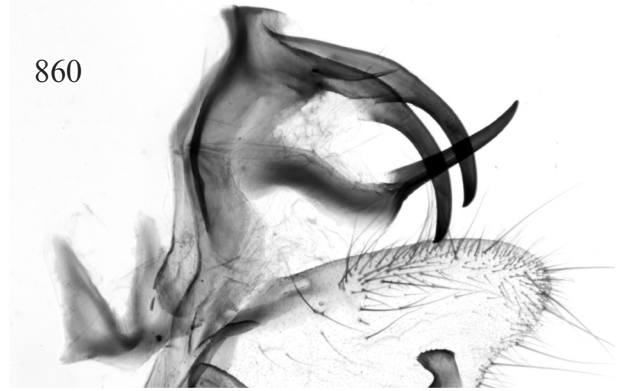
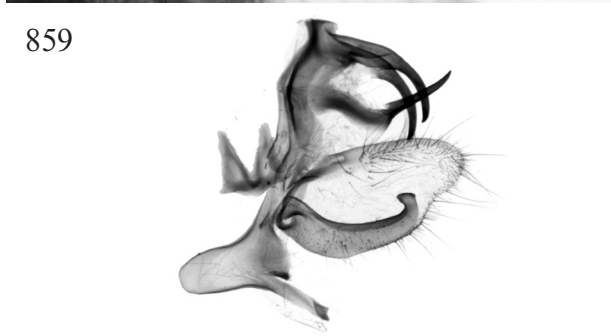
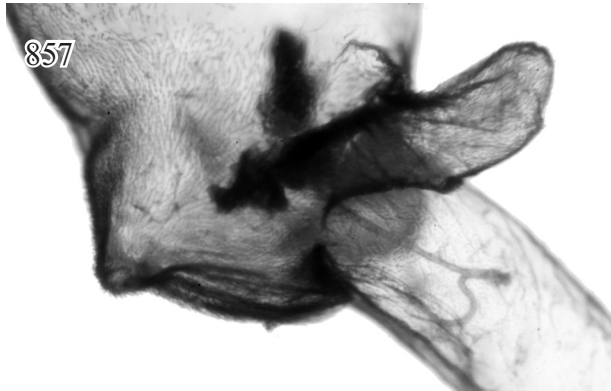
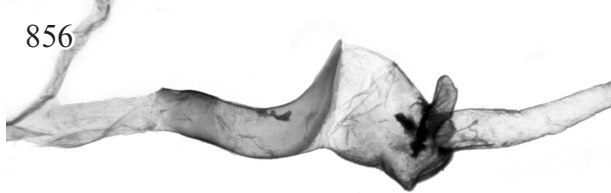


Abb. 854-864: *Neoclanis morogoroensis* spec. nov., PT, GP 5976♂ (Spannweite: 6,86 cm), /7 Tanzania, Morogoro: 1 km E Mikumi, savanna, 5.III.2003, 550 m, leg. M. FIBIGER, H. HACKER, K. LARSEN, H.-P. SCHREIER//ex coll. HERM. HACKER, Staffelstein, in EMEM, 9.IV.2015, Entomol. Museum Eitschberger, Marktleuthen/. EMEM. Vergrößerung: 6 x: Abb. 854-856, 859; 12 x: Abb. 860-862; 25 x: Abb. 857, 864; 50 x: Abb. 858, 863.

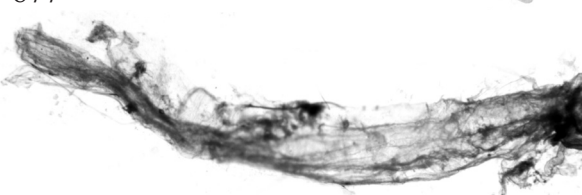
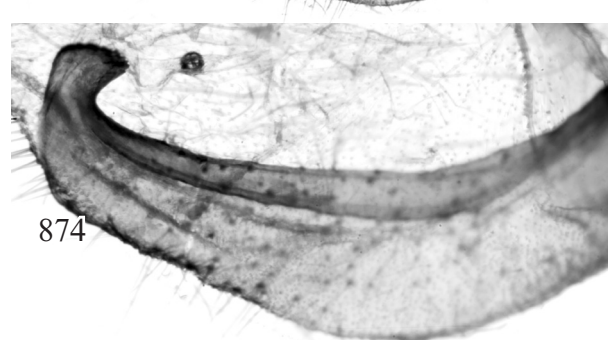
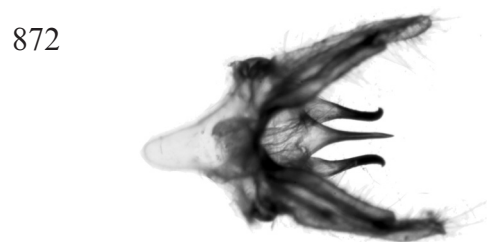
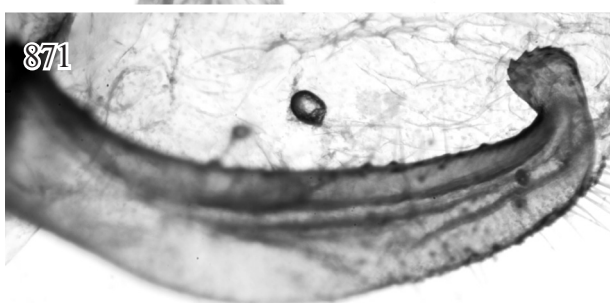
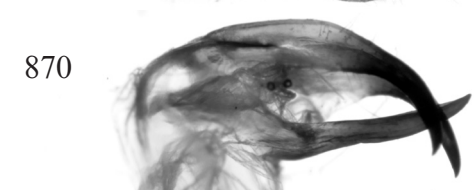
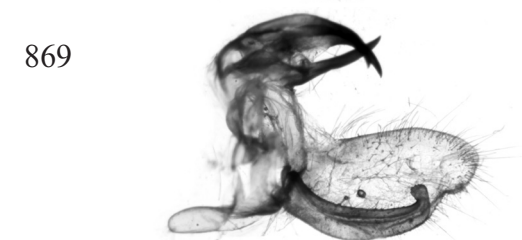
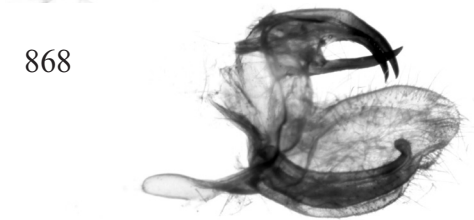
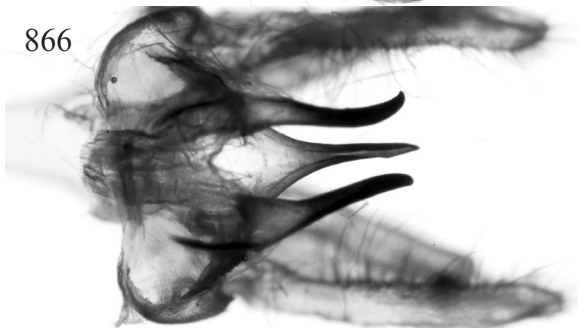
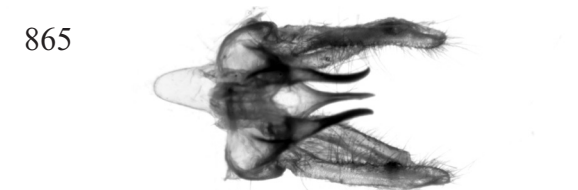


Abb. 865-878: *Neoclanis usambaraensis* spec. nov., HT, GP 5986 ♂ (Spannweite: 7,24 cm), /Tanzanie: Tanga region, W. Usambara Mts., Irente view Point, 1376 m, 04°47.87'S, 038°16.235'E, 26-XI-2008, (PH. DARGE)/ex coll. PHILIPPE DARGE in EMEM, 16.X.2017, Entomolog. Museum Eitschberger, Marktleuthen/. EMEM. Vergrößerung: 6 x: Abb. 865, 867-869, 872, 875, 877, 878; 12 x: Abb.866, 870, 873, 876, 877; 25 x: Abb. 871, 874.

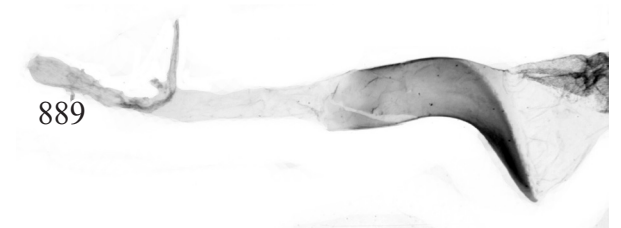
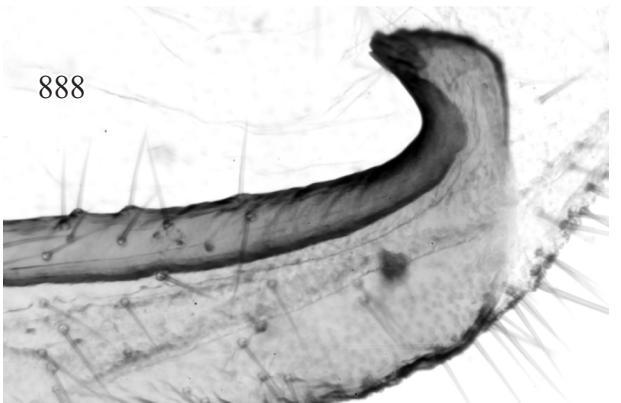
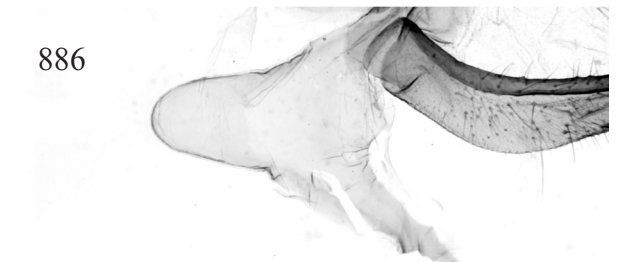
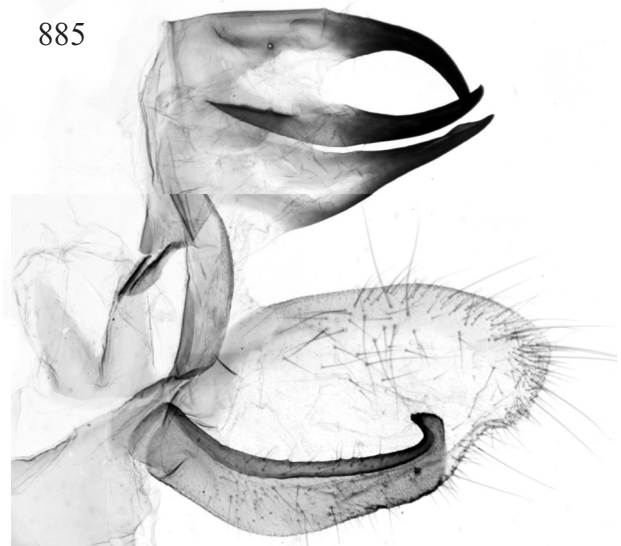
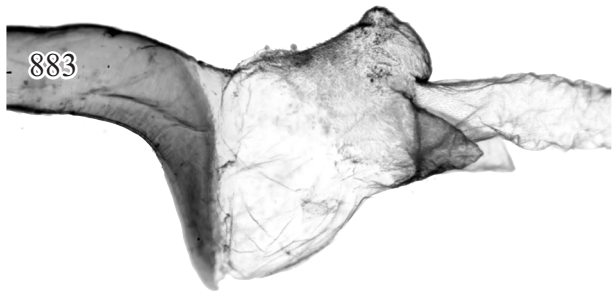
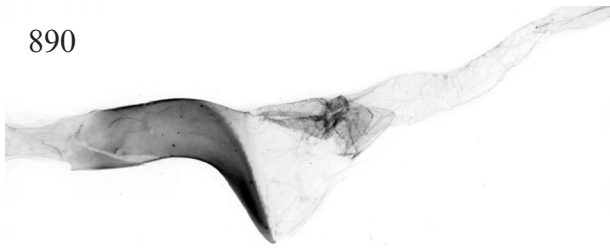


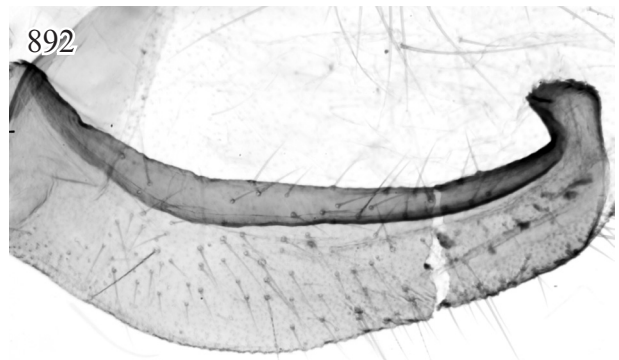
Abb. 879-889: *Neoclanis usambaraensis* spec. nov., HT, GP 5986♂ (Spannweite: 7,24 cm), /Tanzanie: Tanga region, W. Usambara Mts., Irente view Point, 1376 m, 04°47.87'S, 038°16.235'E, 26-XI-2008, (PH. DARGE)/ex coll. PHILIPPE DARGE in EMEM, 16.X.2017, Entomolog. Museum Eitschberger, Marktleuthen/. EMEM. Vergrößerung: 6 x: Abb. 879, 884, 889; 12 x: Abb. 880-883, 885, 886; 25 x: Abb. 887; 50 x: Abb. 888.



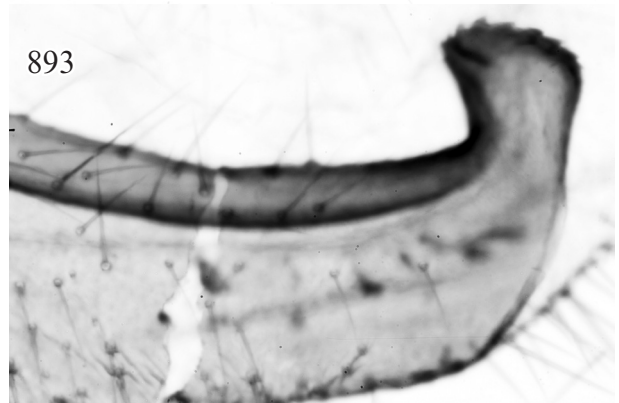
890



891



892



893

Abb. 890-893: *Neoclanis usambaraensis* spec. nov., HT, GP 5986 ♂ (Spannweite: 7,24 cm), /Tanzanie: Tanga region, W. Usambara Mts., Irente view Point, 1376 m, 04°47.87'S, 038°16.235'E, 26-XI-2008, (PH. DARGE)//ex coll. PHILIPPE DARGE in EMEM, 16.X.2017, Entomolog. Museum Eitschberger, Marktleuthen/. EMEM. Vergrößerung: 6 x: Abb. 890; 12 x: Abb. 891; 25 x: Abb. 892; 50 x: Abb. 893.

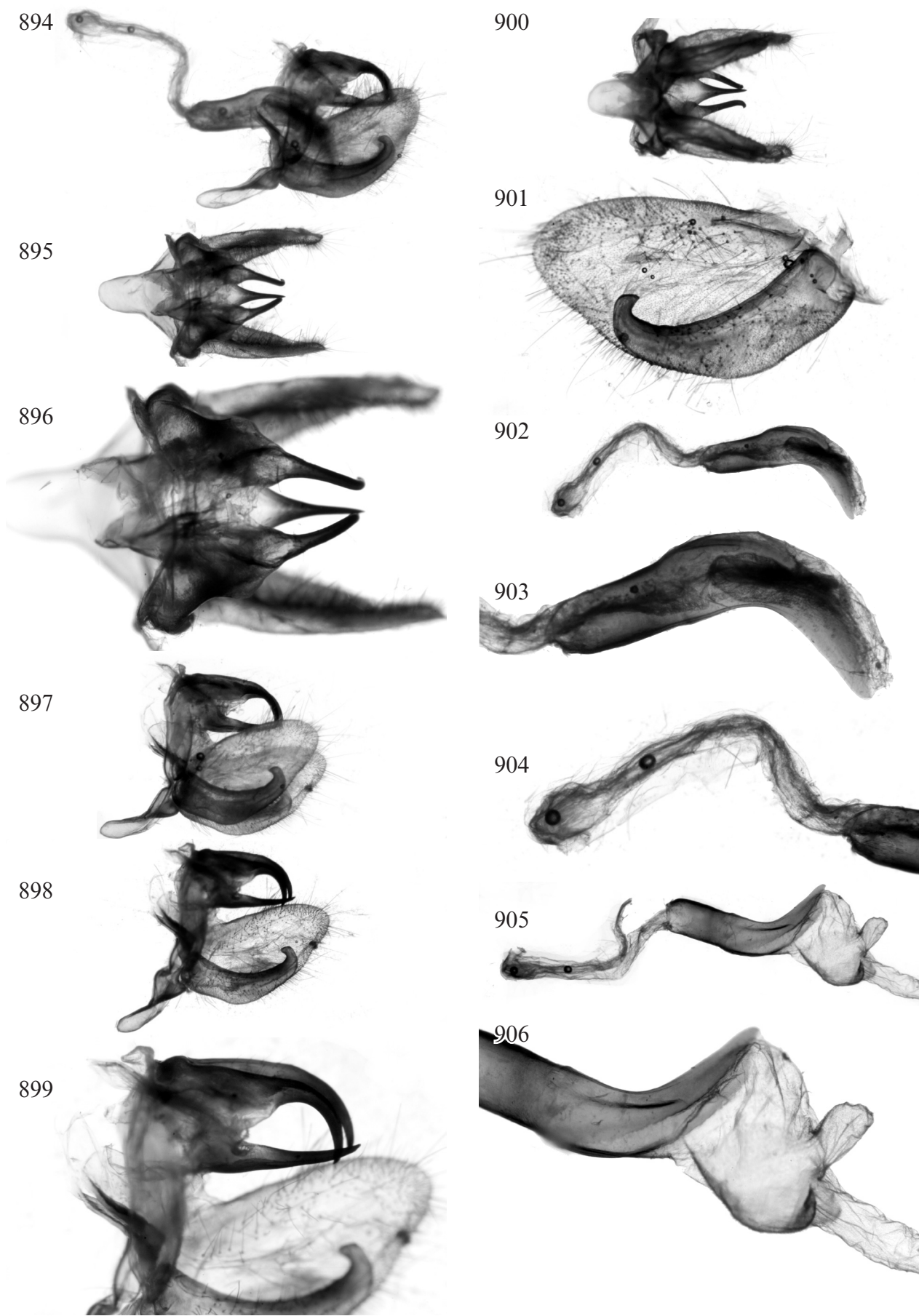


Abb. 894-906: *Neoclanis nicolae* spec. nov., HT, GP 5991 ♂ (Spannweite: 7,5 cm), Tansanie, Iringa Region, Udzungwa National Park, Camp 2, 400 m, 15.-31.I.2005, PHILIPPE DARGE leg., EMEM, 18.X.2017. EMEM. Vergrößerung: 6 x: Abb. 894, 895, 897, 898, 900, 902, 905; 12 x: Abb. 896, 899, 901, 903, 904, 906.

907



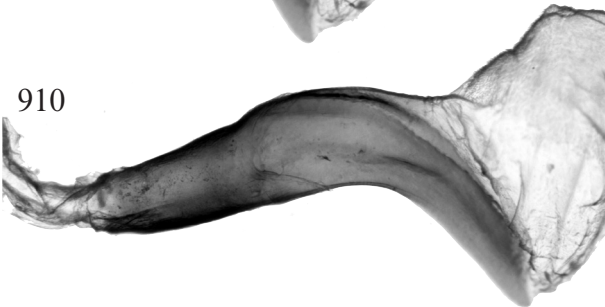
908



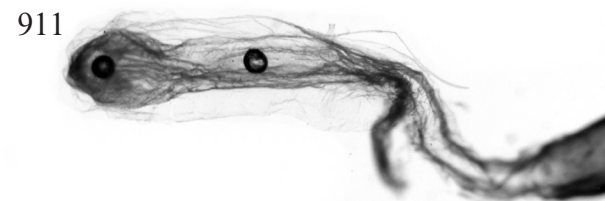
909



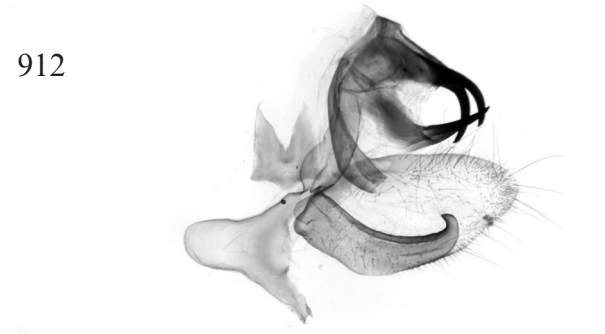
910



911



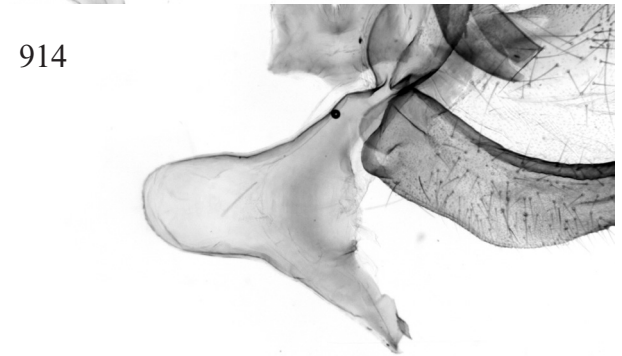
912



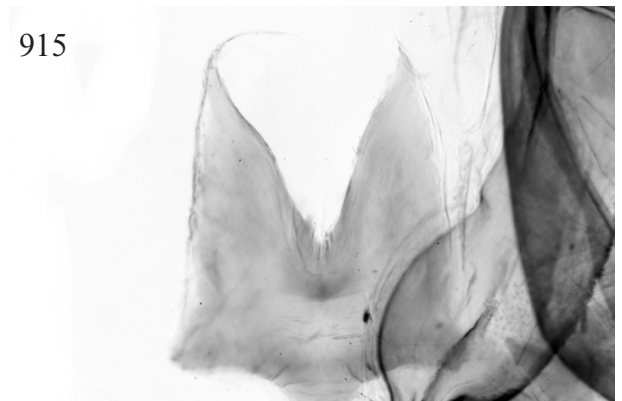
913



914



915



916

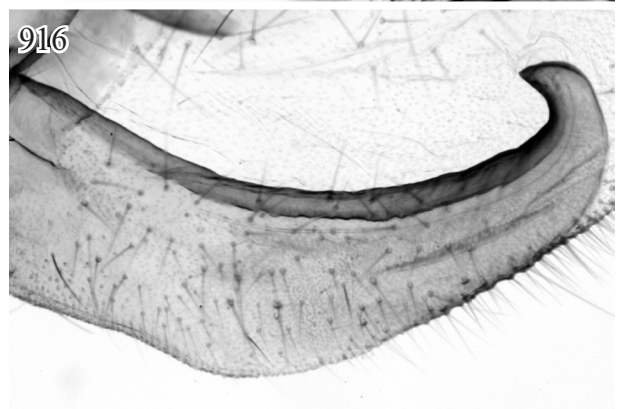
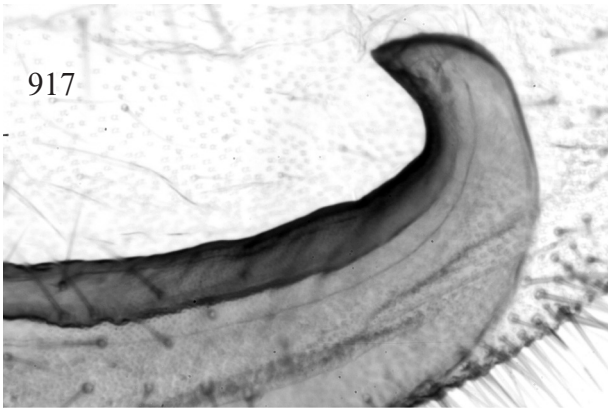
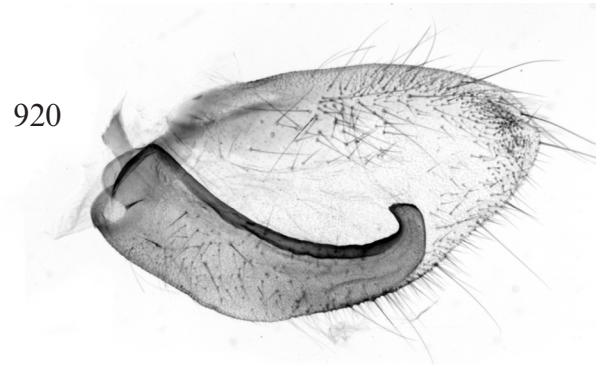


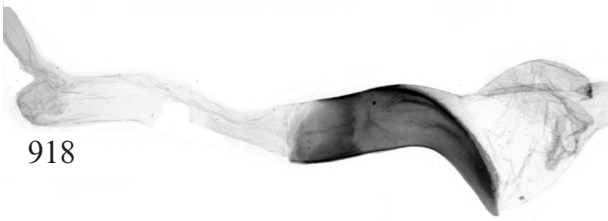
Abb.907-916: *Neoclanis nicolae* spec. nov., HT, GP 5991 ♂ (Spannweite: 7,5 cm), Tansanie, Iringa Region, Udzungwa National Park, Camp 2, 400 m, 15.-31.I.2005, PHILIPPE DARGE leg., EMEM, 18.X.2017. EMEM. Vergrößerung: 6 x: Abb. 912; 12 x: Abb. 907-911, 913, 914; 25 x: Abb. 915, 916.



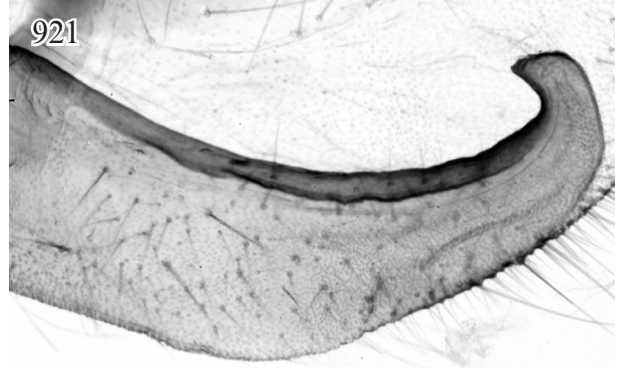
917



920



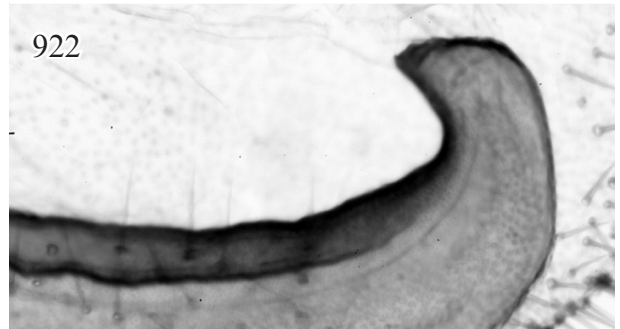
918



921

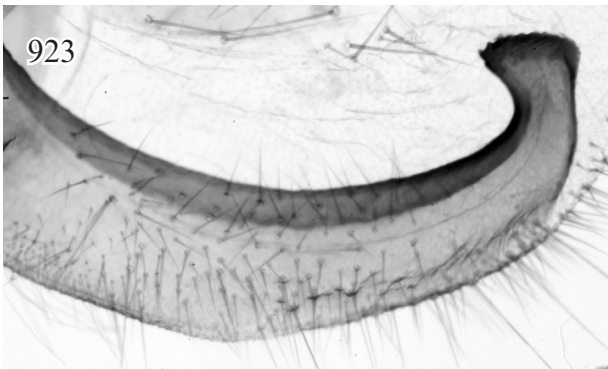


919



922

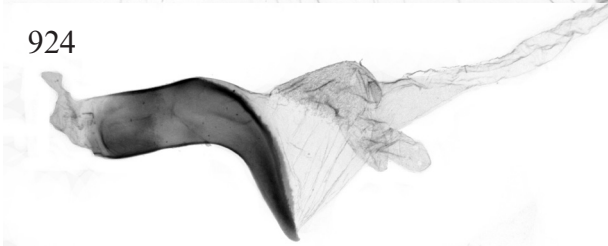
Abb. 917-922: *Neoclanis nicolae* spec. nov., HT, GP 5991 ♂ (Spannweite: 7,5 cm), Tanzanie, Iringa Region, Udzungwa National Park, Camp 2, 400 m, 15.-31.I.2005, PHILIPPE DARGE leg., EMEM, 18.X.2017. EMEM. Vergrößerung: 6 x: Abb. 918; 12 x: Abb. 919, 920; 25 x: Abb. 921; 50 x: Abb. 917, 922.



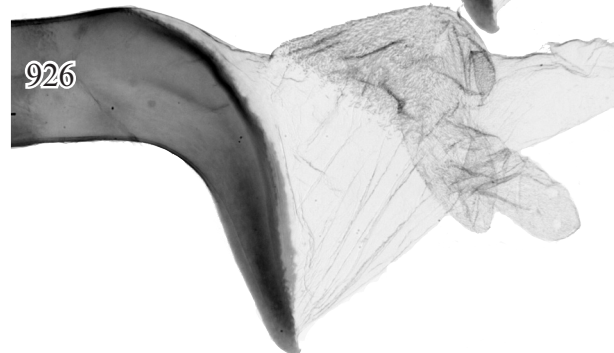
923



925



924



926

Abb. 923-926: *Neoclanis haendeli* spec. nov., HT, GP 5997 ♂ (Spannweite: 7,42 cm), /Tanzanie: Morogoro Region, West Nguru Mts., Makuyu, 566 m, 06°17.002'S., 034°07.105'E., 1225 m, 15-I-2010, (PH. DARGE)//ex coll. PHILIPPE DARGE in EMEM, 16.X.2017, Entomolog. Museum Eitschberger, Marktleuthen/. EMEM. Vergrößerung: 6 x: Abb. 924; 12 x: Abb. 925, 926; 25 x: Abb. 923.

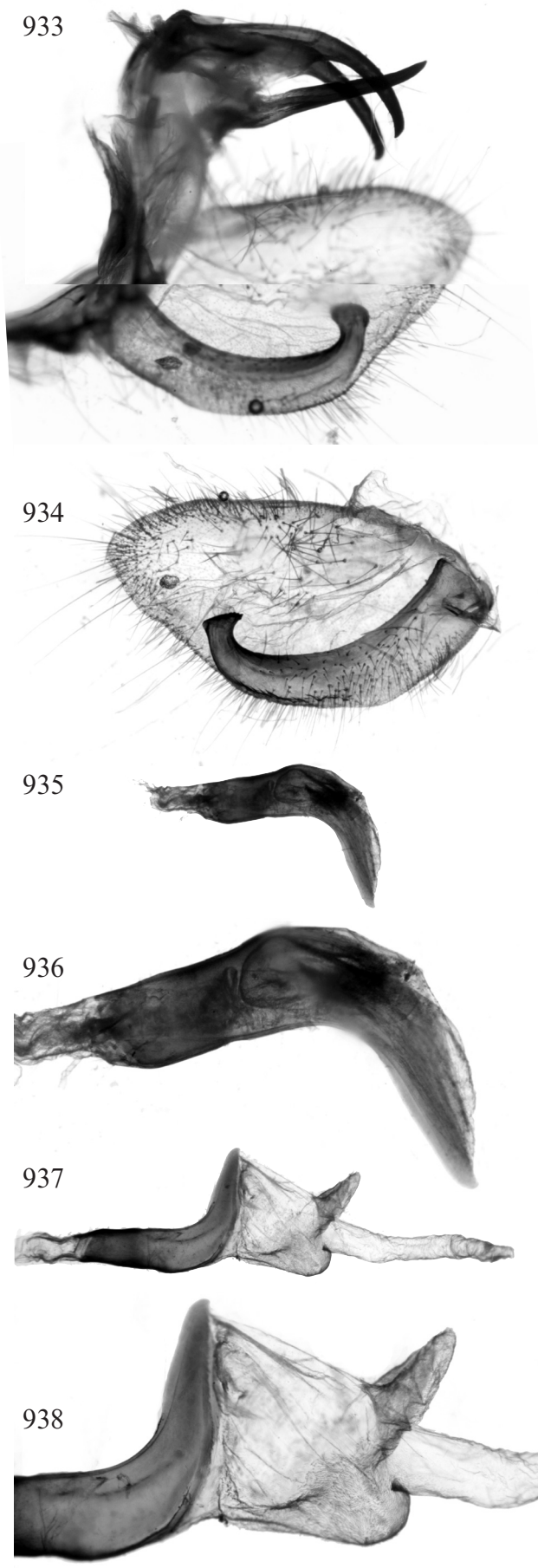
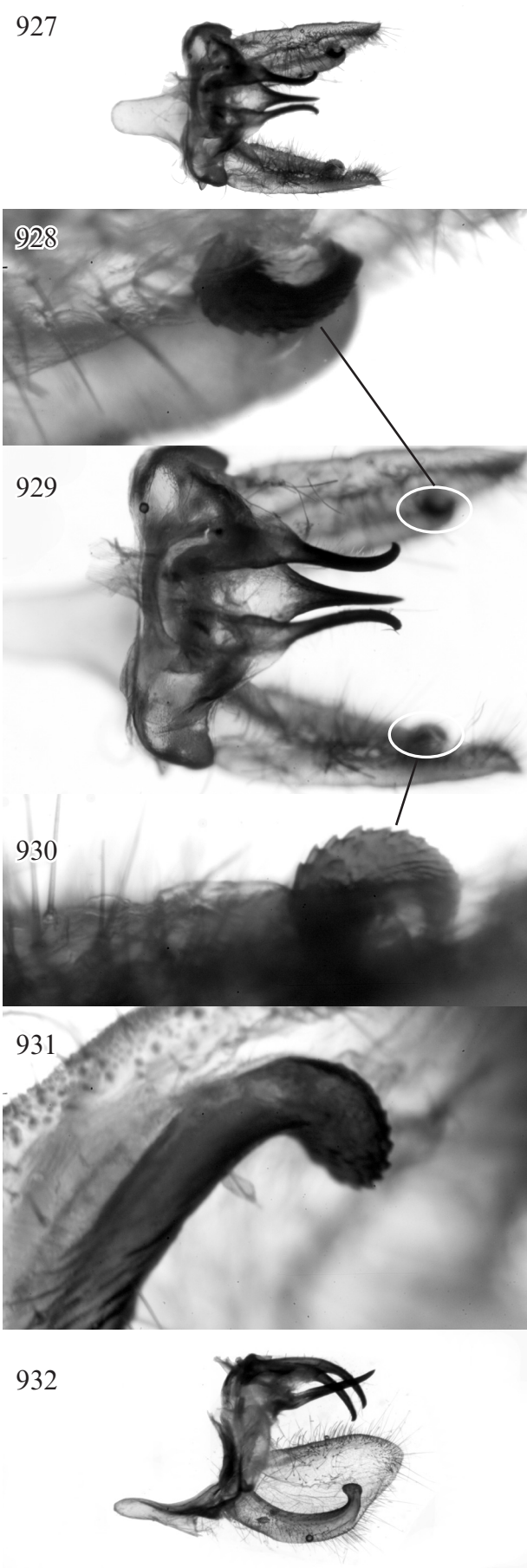


Abb. 927-938: *Neoclanis haendeli spec. nov.*, HT, GP 5997 ♂ (Spannweite: 7,42 cm), /Tanzanie: Morogoro Region, West Nguru Mts., Makuyu, 566 m, 06°17.002'S., 034°07.105'E., 1225 m, 15-I-2010, (PH. DARGE)//ex coll. PHILIPPE DARGE in EMEM, 16.X.2017, Entomolog. Museum Eitschberger, Marktleuthen/. EMEM. Vergrößerung: 6 x: Abb. 927, 932, 935, 937; 12 x: Abb. 929, 933, 936, 938; 50 x: Abb. 928, 930, 931.

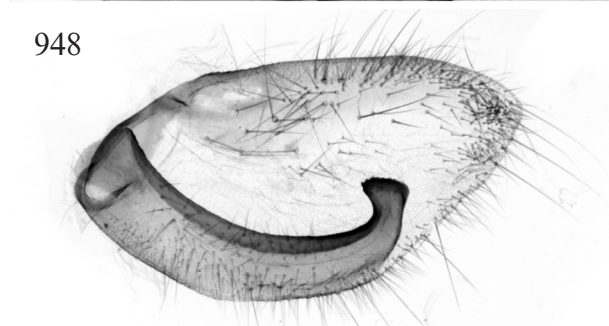
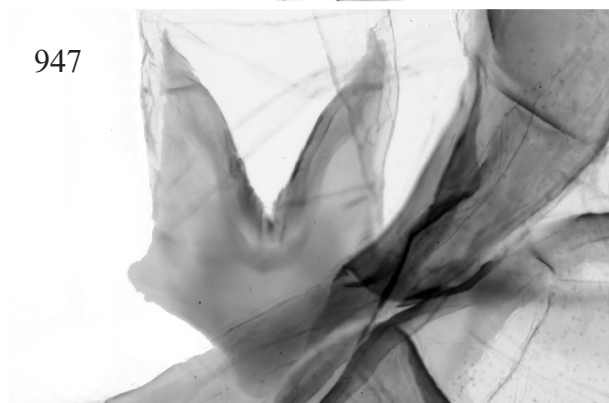
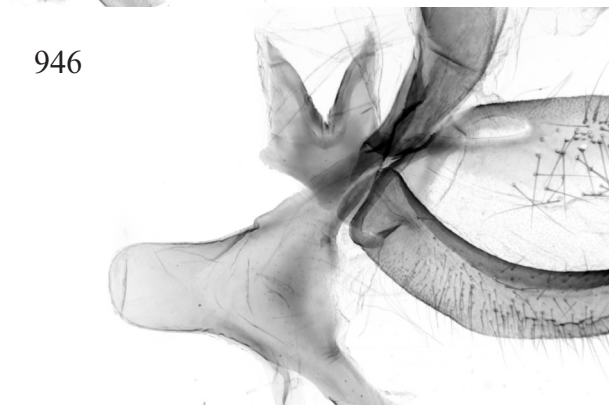
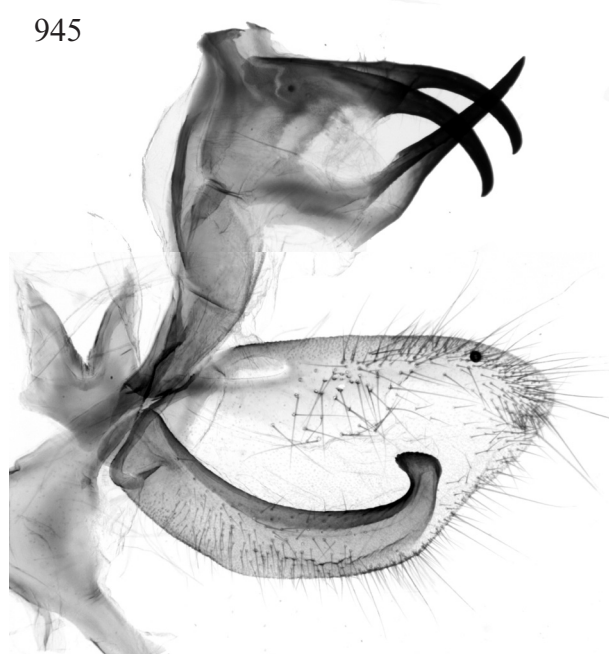
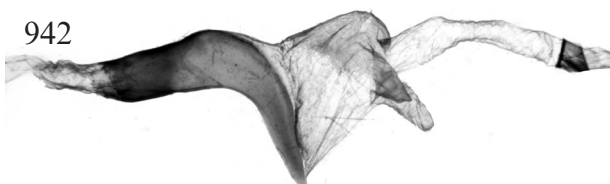
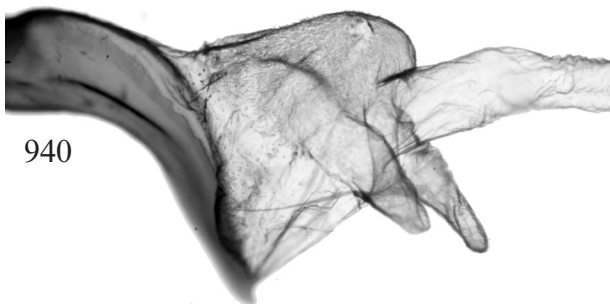


Abb. 939-948: *Neoclanis haendeli spec. nov.*, HT, GP 5997 ♂ (Spannweite: 7,42 cm), /Tanzanie: Morogoro Region, West Nguru Mts., Makuyu, 566 m, 06°17.002'S., 034°07.105'E., 1225 m, 15-I-2010, (PH. DARGE)//ex coll. PHILIPPE DARGE in EMEM, 16.X.2017, Entomolog. Museum Eitschberger, Marktleuthen/. EMEM. Vergrößerung: 6 x: Abb. 942, 944; 12 x: Abb. 939-941, 943, 945, 946, 948; 25 x: Abb. 947.

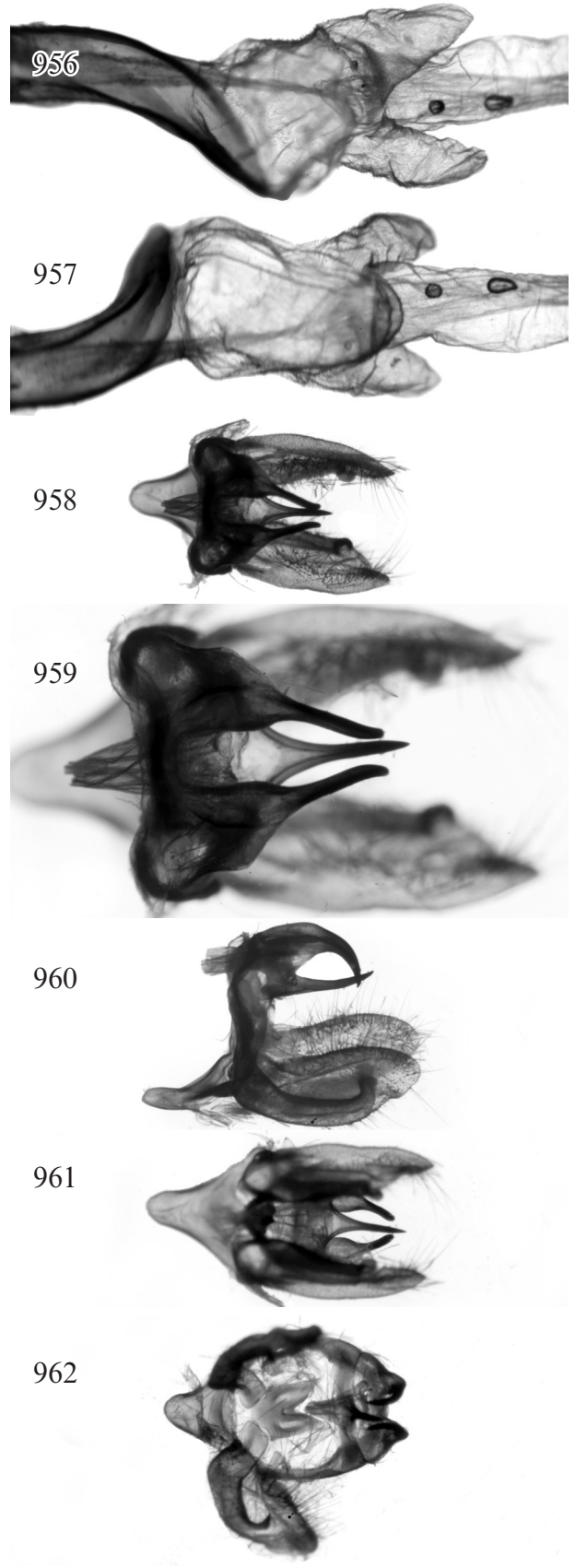
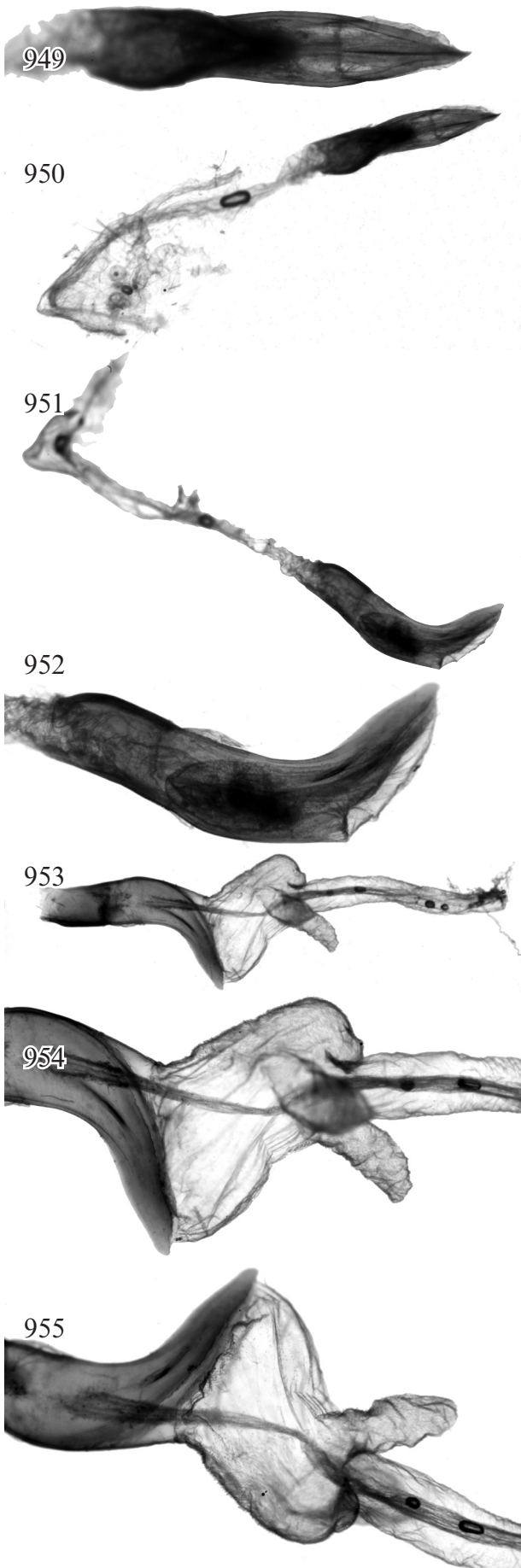


Abb. 949-962: *Neoclanis kleineri* spec. nov., HT, GP 6011 ♂ (Spannweite: 7,05 cm), /Tanzanie: Morogoro Region, West Nguru Mts., 2000 m, 4-VIII-2015, (local collector), ex coll. PH. DARGE//ex coll. PHILIPPE DARGE in EMEM, 16.X.2017, Entomolog. Museum Eitschberger, Marktleuthen/. EMEM. Vergrößerung: 6 x: Abb. 950, 951, 953, 958, 960-962; 12 x: Abb. 949, 952, 954-957, 959.

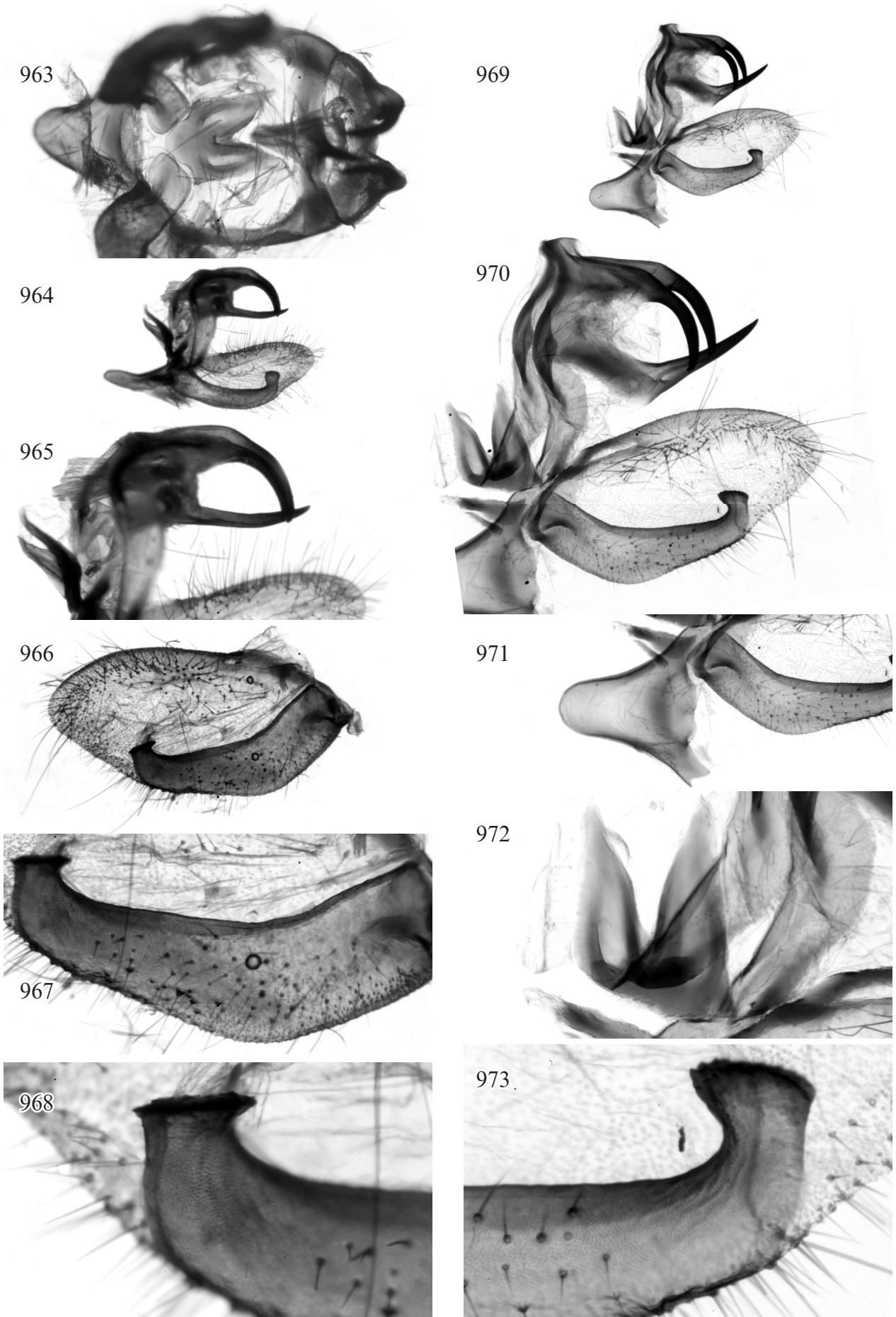


Abb. 963-973: *Neoclanis kleineri* spec. nov., HT, GP 6011 ♂ (Spannweite: 7,05 cm), /Tanzanie: Morogoro Region, West Nguru Mts., 2000 m, 4-VIII-2015, (local collector), ex coll. PH. DARGE//ex coll. PHILIPPE DARGE in EMEM, 16.X.2017, Entomolog. Museum Eitschberger, Marktleuthen/. EMEM. Vergrößerung: 6 x: Abb. 964, 969; 12 x: Abb. 963, 965, 966, 970, 971; 25 x: Abb. 967, 972; 50 x: Abb. 968, 973.

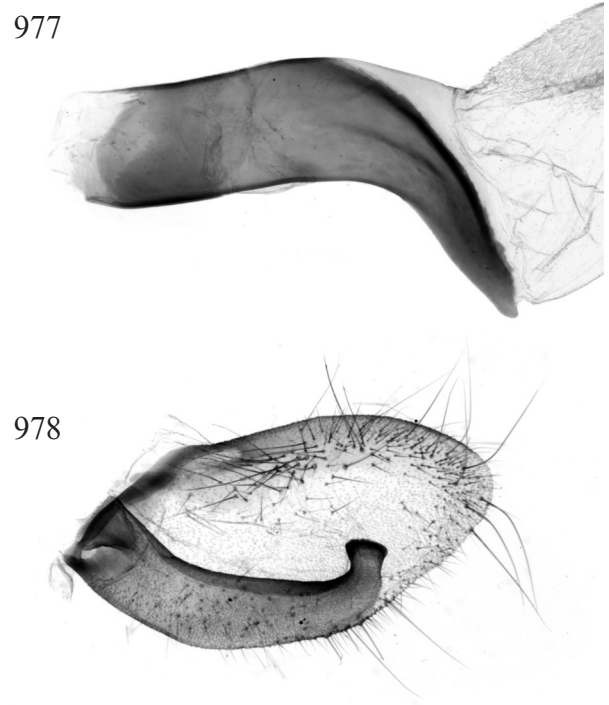
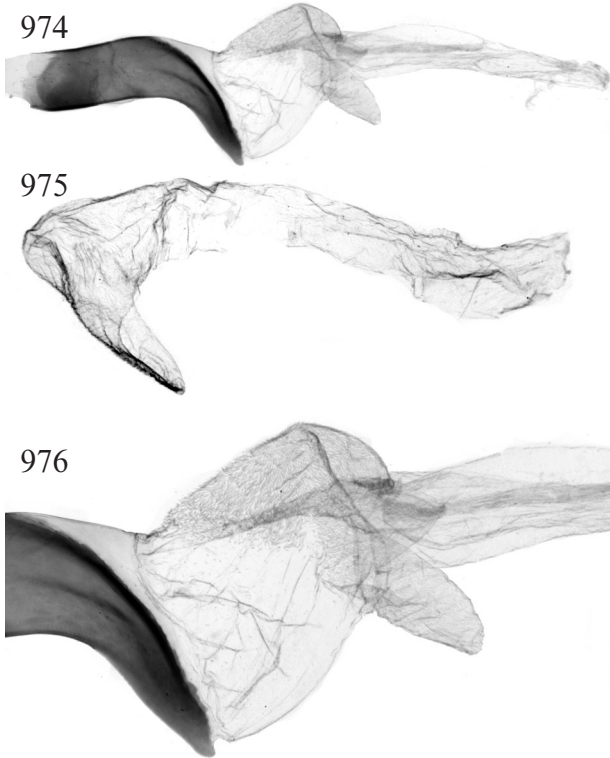


Abb. 974-978: *Neoclanis kleineri* **spec. nov.**, HT, GP 6011 ♂ (Spannweite: 7,05 cm), /Tanzanie: Morogoro Region, West Nguru Mts., 2000 m, 4-VIII-2015, (local collector), ex coll. PH. DARGE)//ex coll. PHILIPPE DARGE in EMEM, 16.X.2017, Entomolog. Museum Eitschberger, Marktleuthen/. EMEM. Vergrößerung: 6 x: Abb. 974; 12 x: Abb. 975-978.

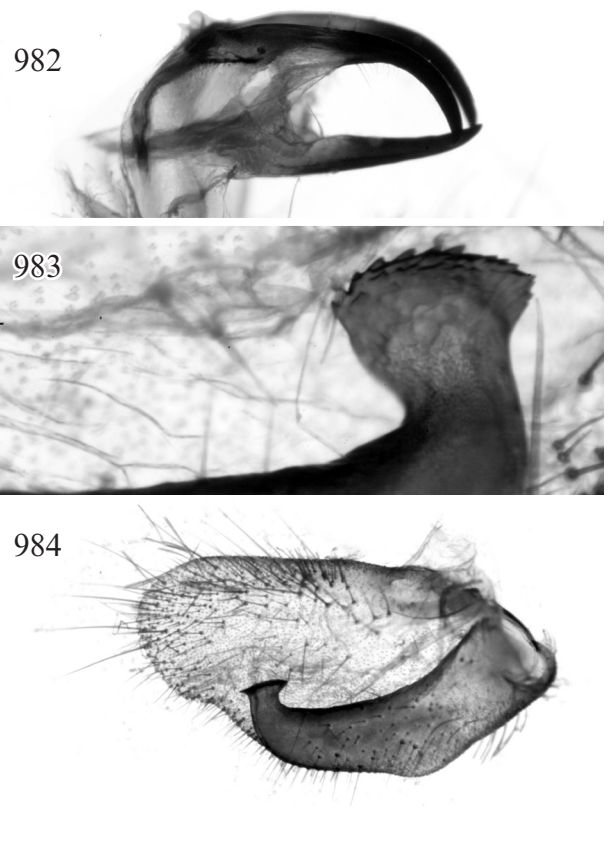
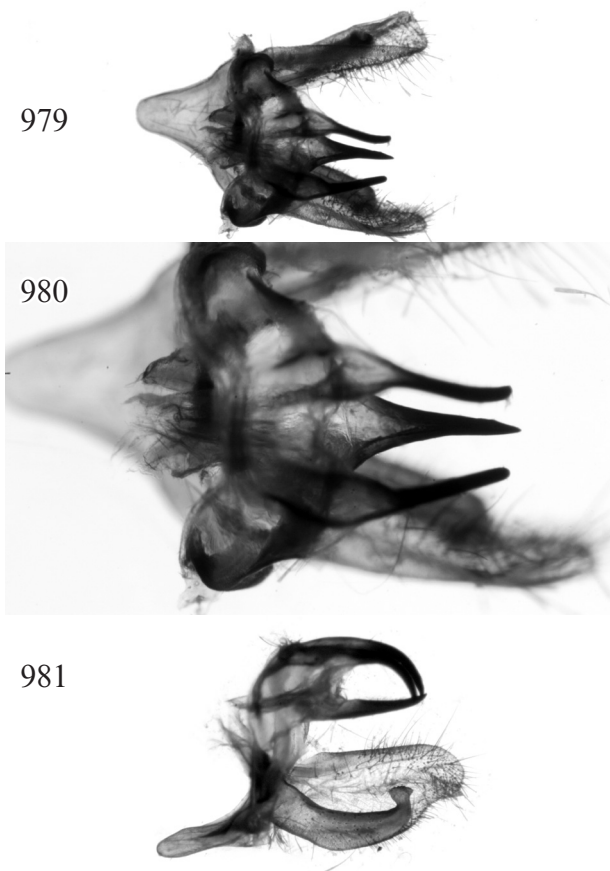


Abb. 979-984: *Neoclanis kingstoni* **spec. nov.**, PT, GP 6002 ♂ (Spannweite: 6,87 cm), /Tanzanie: Lindi Region, Mtokokuyana, 362 m, 10°23.038'S., 038°53.775'E., 22-XII-2009, (PH. DARGE)//ex coll. PHILIPPE DARGE in EMEM, 16.X.2017, Entomolog. Museum Eitschberger, Marktleuthen/. EMEM. Vergrößerung: 6 x: Abb. 979, 981; 12 x: Abb. 980, 982, 984; 50 x: Abb. 983.

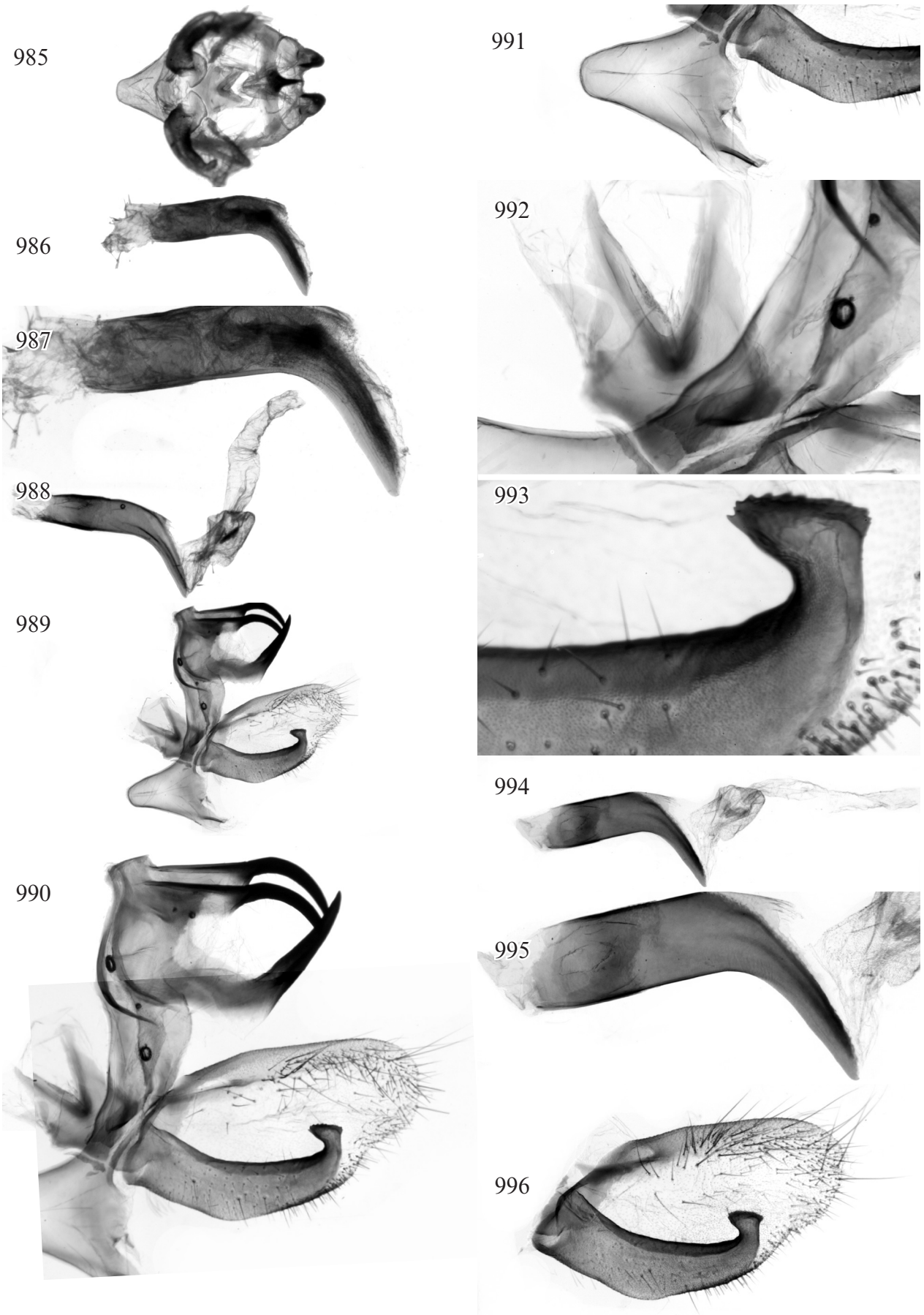


Abb. 985-996: *Neoclanis kingstoni* spec. nov., PT, GP 6002 ♂ (Spannweite: 6,87 cm), /Tanzanie: Lindi Region, Mtokokuyana, 362 m, 10°23.038'S., 038°53.775'E., 22-XII-2009, (PH. DARGE)//ex coll. PHILIPPE DARGE in EMEM, 16.X.2017, Entomolog. Museum Eitschberger, Marktleuthen/. EMEM. Vergrößerung: 6 x: Abb. 985, 986, 988, 989, 994; 12 x: Abb. 987, 990, 991, 995, 996; 25 x: Abb. 992; 50 x: Abb. 993.

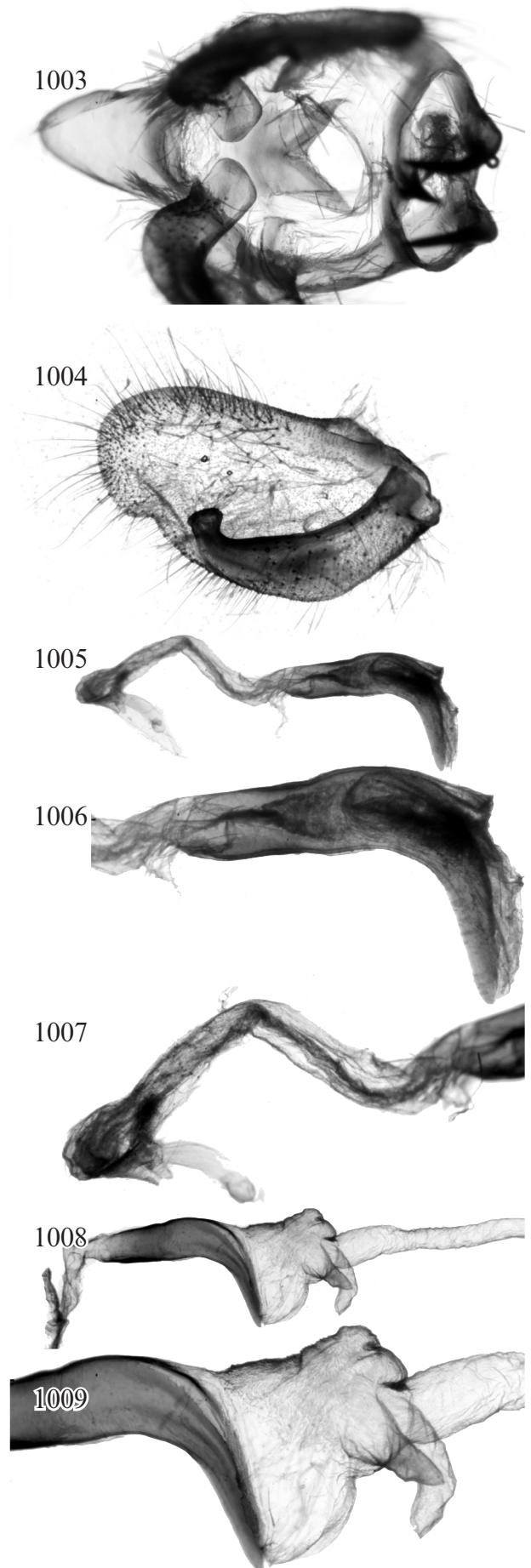
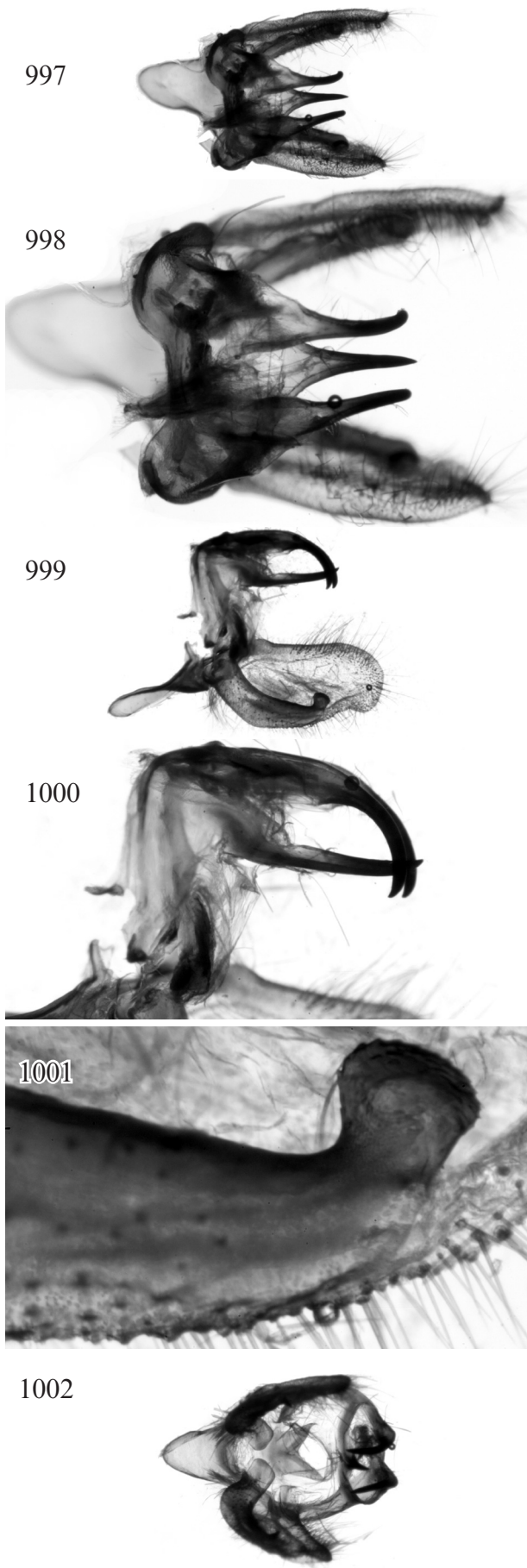


Abb. 997-1009: *Neoclanis kingstoni* spec. nov., HT, GP 6003 ♂ (Spannweite: 7,53 cm), /Tanzanie: Lindi Region, Mtokokuyana, 362 m, 10°23.038'S., 038°53.775'E., 22-XII-2009, (PH. DARGE)//ex coll. PHILIPPE DARGE in EMEM, 16.X.2017, Entomolog. Museum Eitschberger, Markt-leuthen/. EMEM. Vergrößerung: 6 x: Abb. 997, 999, 1002, 1005, 1008; 12 x: Abb. 998, 1000, 1003, 1004, 1006, 1007, 1009; 50 x: Abb. 1001.

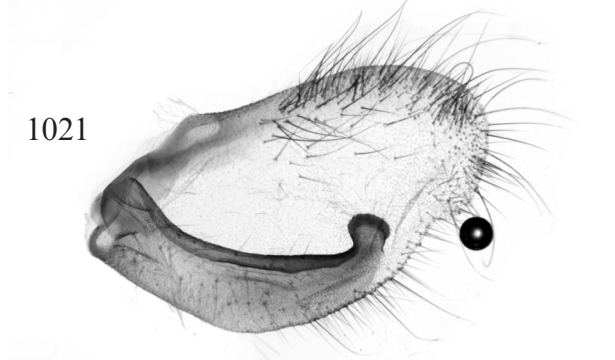
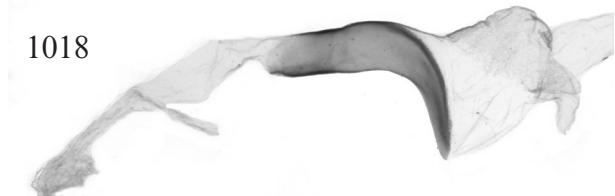
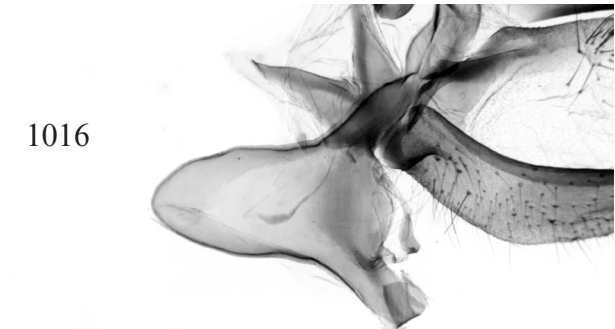
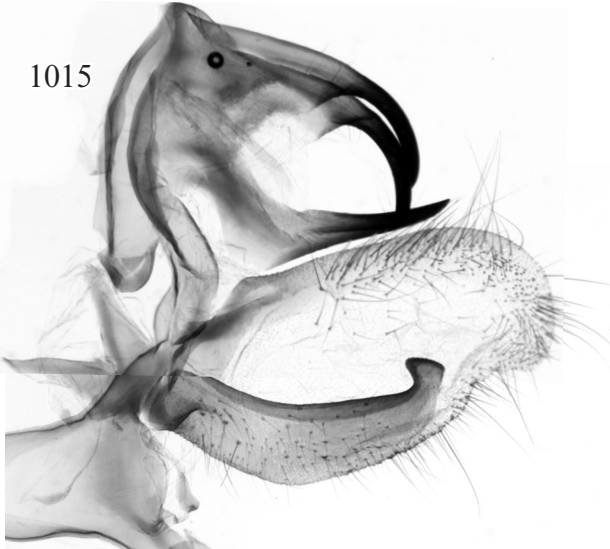
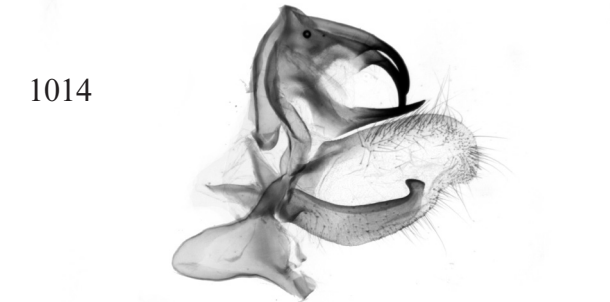
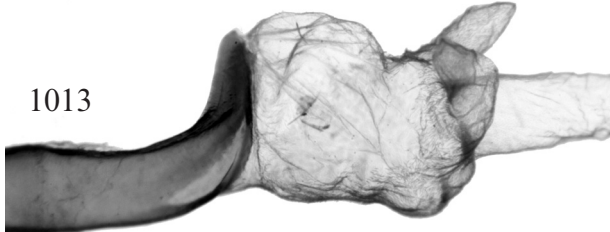
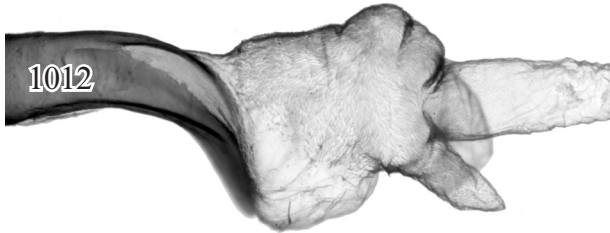
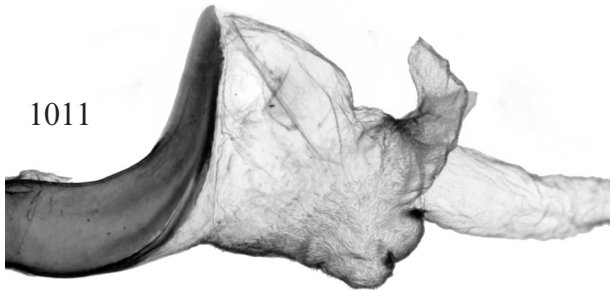


Abb. 1010-1021: *Neoclanis kingstoni* spec. nov., HT, GP 6003 ♂ (Spannweite: 7,53 cm), /Tanzanie: Lindi Region, Mtokokuyana, 362 m, 10°23.038'S., 038°53.775'E., 22-XII-2009, (PH. DARGE)//ex coll. PHILIPPE DARGE in EMEM, 16.X.2017, Entomolog. Museum Eitschberger, Marktleuthen/. EMEM. Vergrößerung: 6 x: Abb. 1014, 1018; 12 x: Abb. 1010-1013, 1015, 1016, 1019-1021; 25 x: Abb. 1017.

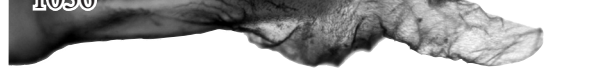
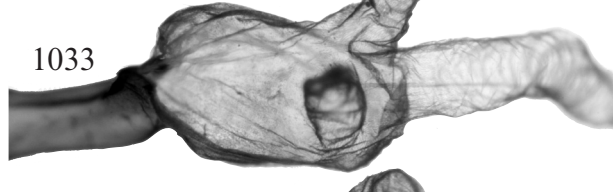
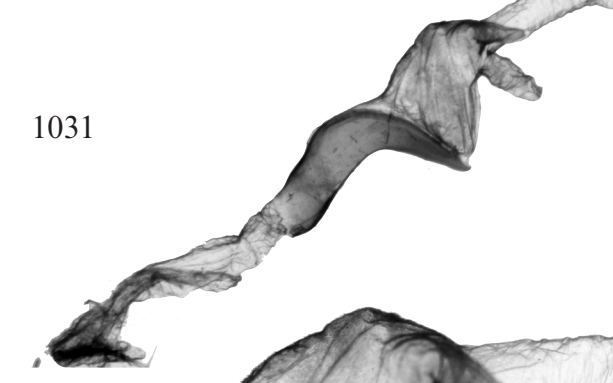
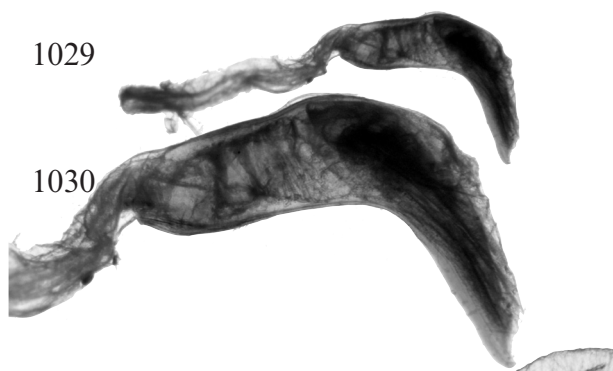
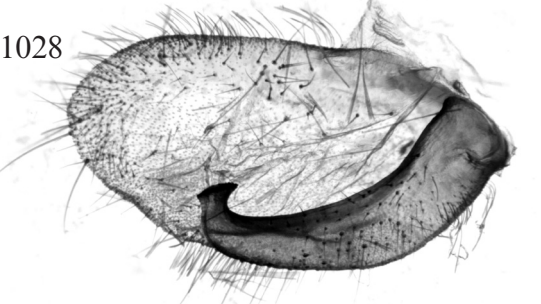
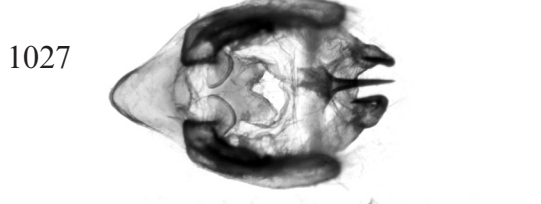
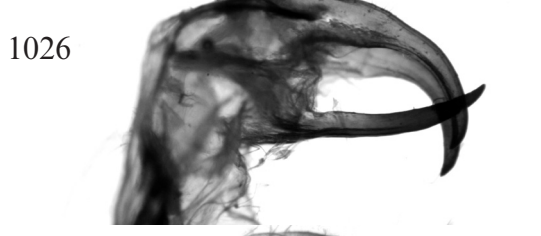
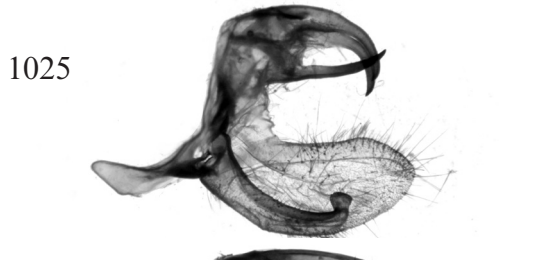
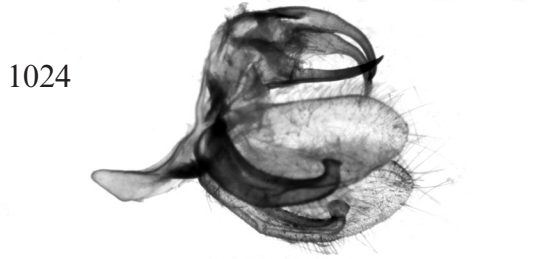
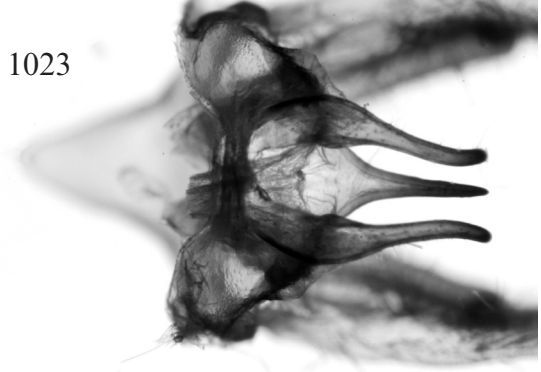


Abb. 1022-1036: *Neoclanis kingstoni* spec. nov., PT, GP 6004 ♂ (Spannweite: 6,92 cm), /Tanzanie: Lindi Region, Mtokokuyana, 362 m, 10°23.038'S., 038°53.775'E., 22-XII-2009, (PH. DARGE)//ex coll. PHILIPPE DARGE in EMEM, 16.X.2017, Entomolog. Museum Eitschberger, Marktleuthen/. EMEM. Vergrößerung: 6 x: Abb. 1022, 1024, 1025, 1027, 1029, 1031; 12 x: Abb. 1023, 1026, 1028, 1030, 1032-1036.

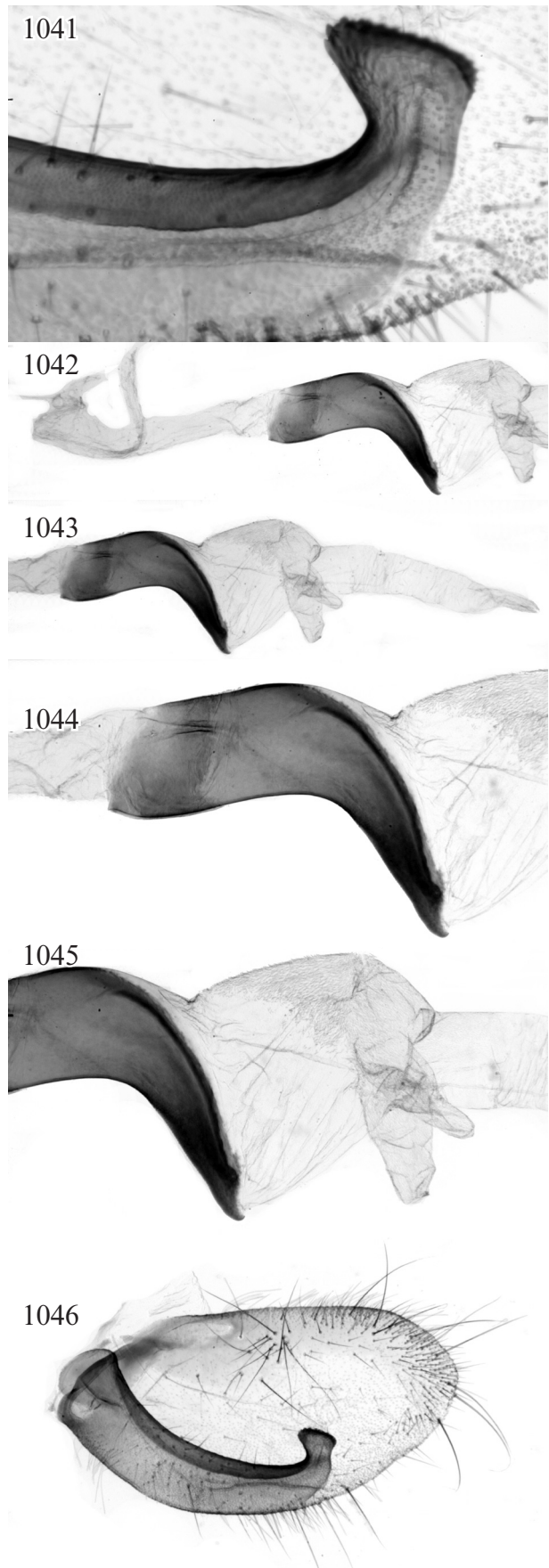
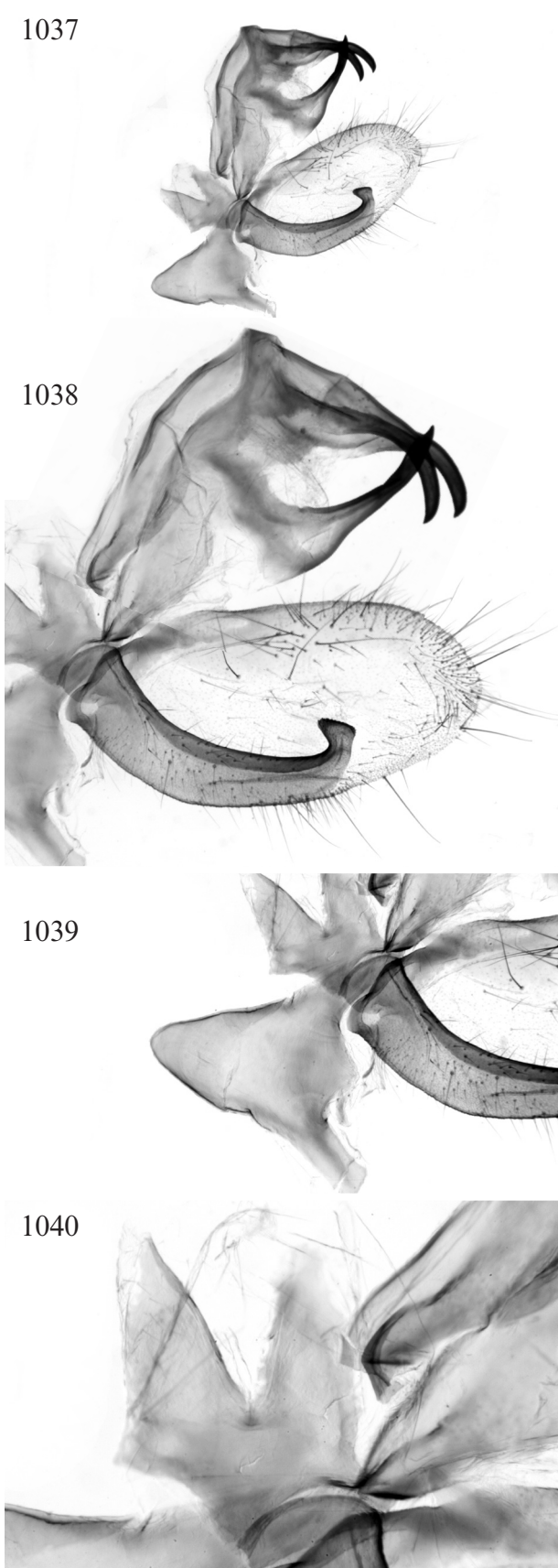


Abb. 1037-1046: *Neoclanis kingstoni* spec. nov., PT, GP 6004 ♂ (Spannweite: 6,92 cm), /Tanzanie: Lindi Region, Mtokokuyana, 362 m, 10°23.038'S., 038°53.775'E., 22-XII-2009, (PH. DARGE)//ex coll. PHILIPPE DARGE in EMEM, 16.X.2017, Entomolog. Museum Eitschberger, Marktleuthen/. EMEM. Vergrößerung: 6 x: Abb. 1037, 1042, 1043; 12 x: Abb. 1038, 1039, 1044-1045; 25 x: Abb. 1040; 50 x: Abb. 1041.

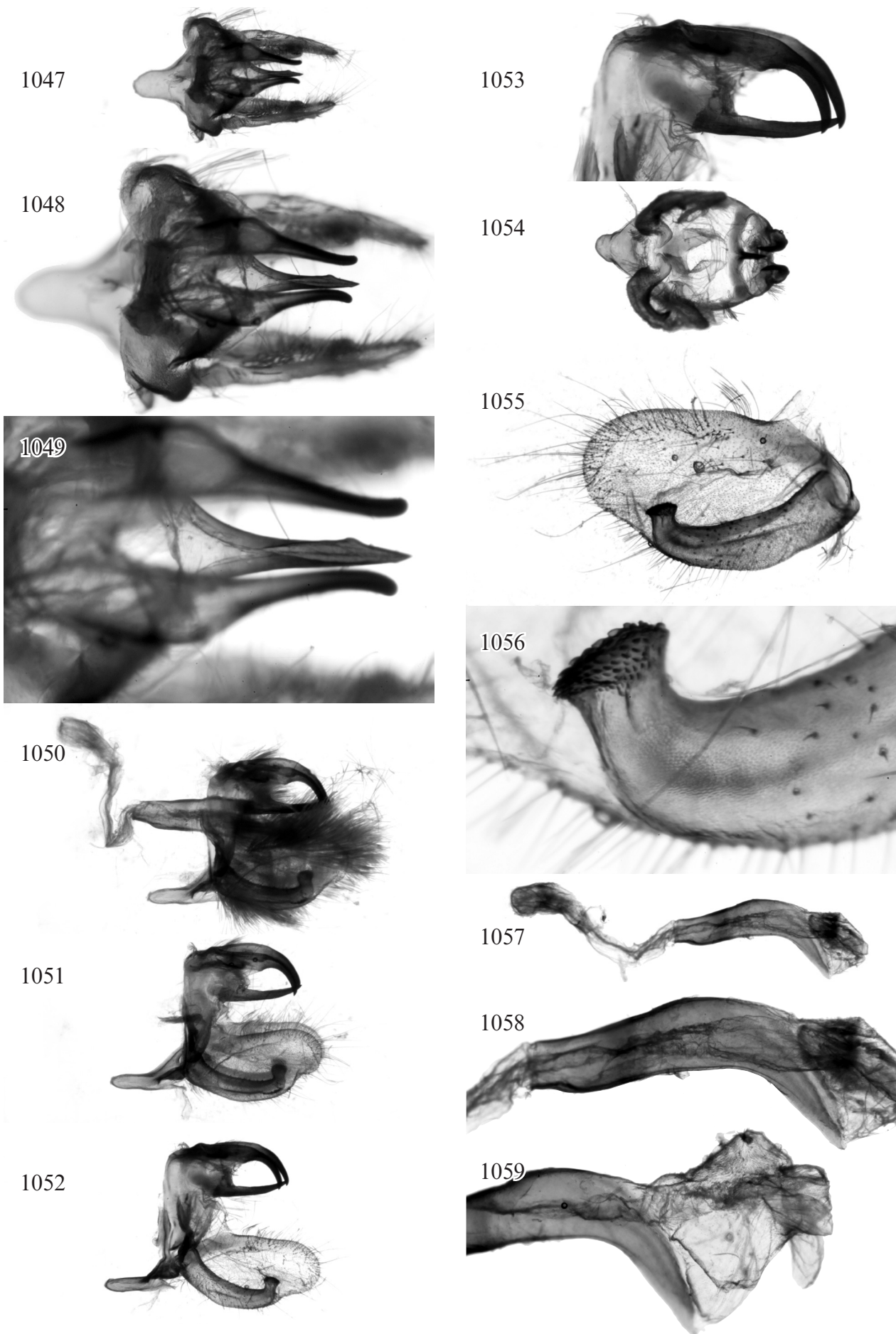


Abb. 1047-1059: *Neoclanis melichari* spec. nov., HT, GP 6006 ♂ (Spannweite: 7,74 cm), /Tanzanie: Mtwara Region, Lumesule, 10°54.792'S., 038°02.393'E., 364 m, 23-XII-2009, (PH. DARGE)//ex coll. PHILIPPE DARGE in EMEM, 16.X.2017, Entomolog. Museum Eitschberger, Marktleuthen/. EMEM. Vergrößerung: 6 x: Abb. 1047, 1050-1052, 1054, 1057; 12 x: Abb. 1048, 1053, 1055, 1058, 1059; 25 x: Abb. 1049; 50 x: Abb. 1056.

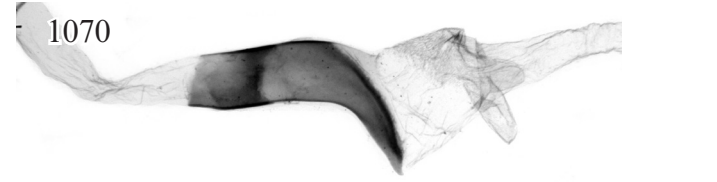
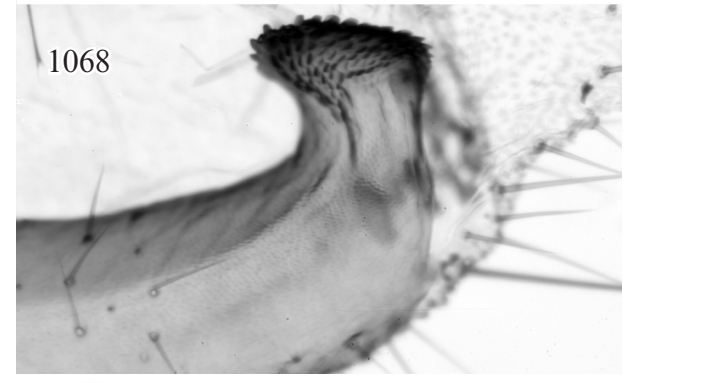
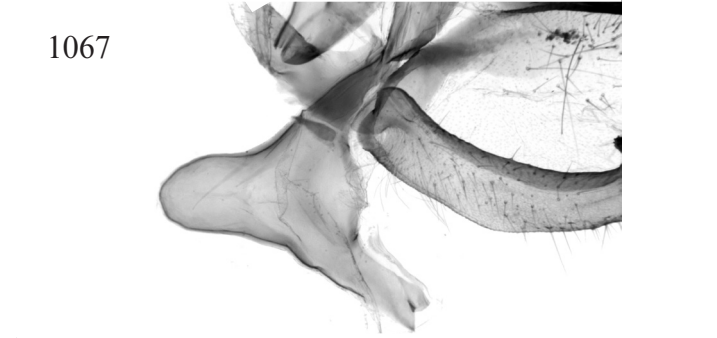
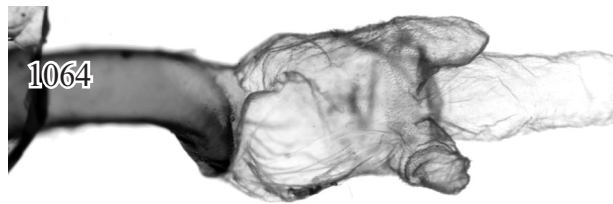
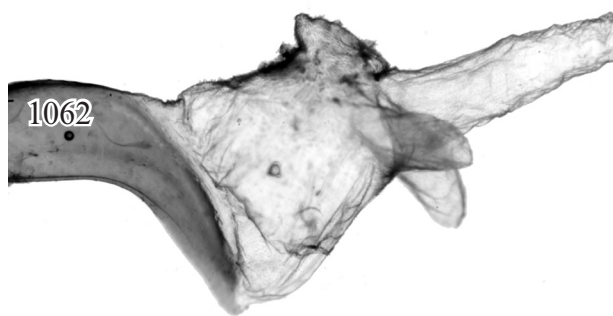
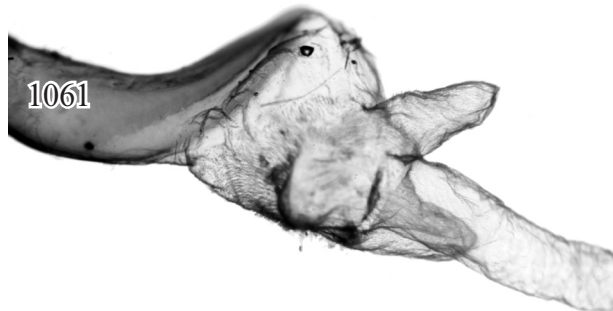


Abb. 1060-1070: *Neoclanis melichari* spec. nov., HT, GP 6006 ♂ (Spannweite: 7,74 cm), /Tanzanie: Mtwara Region, Lumesule, 10°54.792'S., 038°02.393'E., 364 m, 23-XII-2009, (PH. DARGE)//ex coll. PHILIPPE DARGE in EMEM, 16.X.2017, Entomolog. Museum Eitschberger, Marktleuthen/. EMEM. Vergrößerung: 6 x: Abb. 1060, 1065, 1069, 1070; 12 x: Abb. 1061-1064, 1066, 1067; 0 x: Abb. 1068.

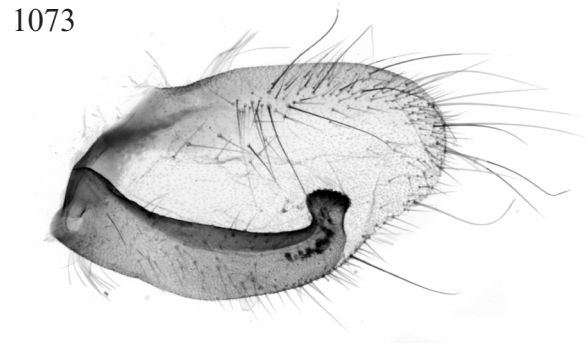
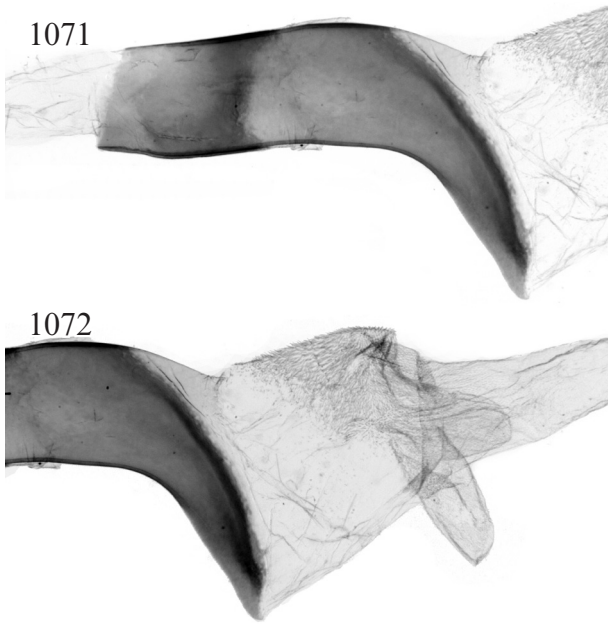


Abb. 1071-1073: *Neoclanis melichari* spec. nov., HT, GP 6006 ♂ (Spannweite: 7,74 cm), /Tanzanie: Mtwara Region, Lumesule, 10°54.792'S., 038°02.393'E., 364 m, 23-XII-2009, (PH. DARGE)//ex coll. PHILIPPE DARGE in EMEM, 16.X.2017, Entomolog. Museum Eitschberger, Marktleuthen/. EMEM. Vergrößerung: 12 x: 1071-1073.

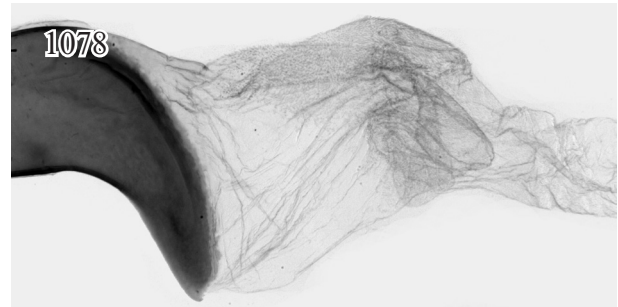
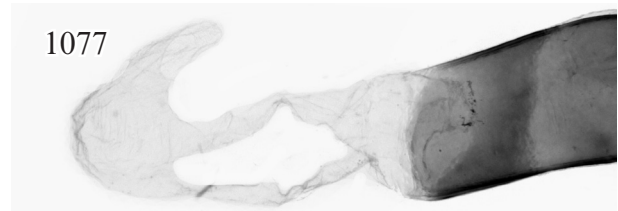


Abb. 1074-1078: *Neoclanis politzari* spec. nov., HT, GP 5996 ♂ (Spannweite: 7,67 cm), /Kenya, Kibwezi, 20-31.5.1994, leg. Dr. POLITZAR//ex coll. KARL KUCHLER, München, in EMEM, 23.XII.2009, Ent. Mus. Eitschberger, Marktleuthen./ EMEM. Vergrößerung: 6 x: Abb. 1075; 12 x: Abb. 1076-1078; 50 x: Abb. 1074.

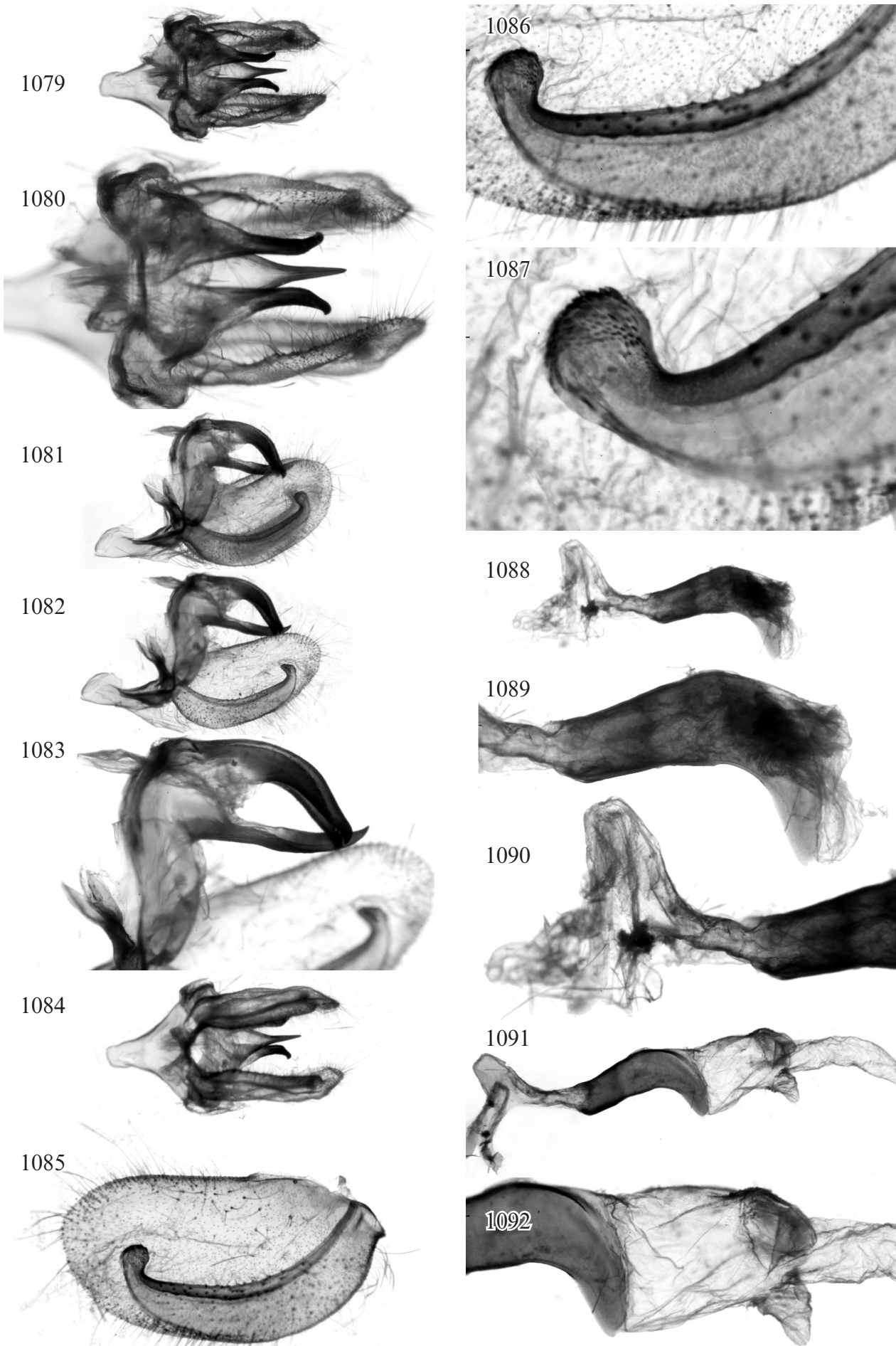


Abb. 1079-1092: *Neoclanis politzari* spec. nov., HT, GP 5996 ♂ (Spannweite: 7,67 cm), /Kenya, Kibwezi, 20-31.5.1994, leg. Dr. POLITZAR/ex coll. KARL KUCHLER, München, in EMEM, 23.XII.2009, Ent. Mus. Eitschberger, Marktleuthen./ EMEM. Vergrößerung: 6 x: Abb. 1079, 1081, 1082, 1084, 1088, 1091; 12 x: Abb. 1080, 1083, 1085, 1089, 1090, 1092; 25 x: Abb. 1086; 50 x: Abb. 1087.

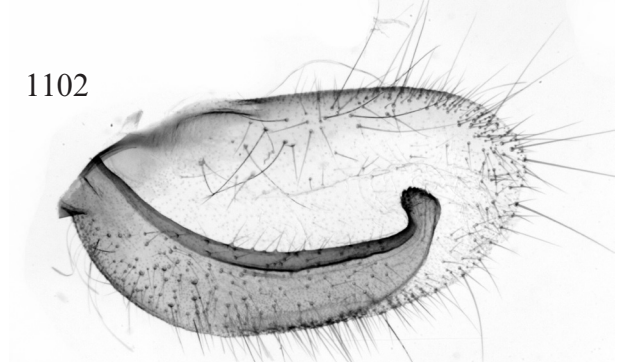
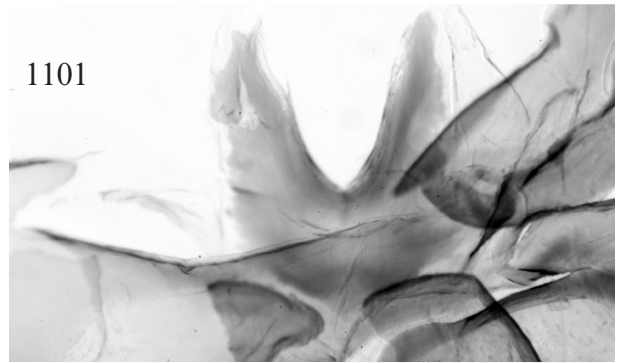
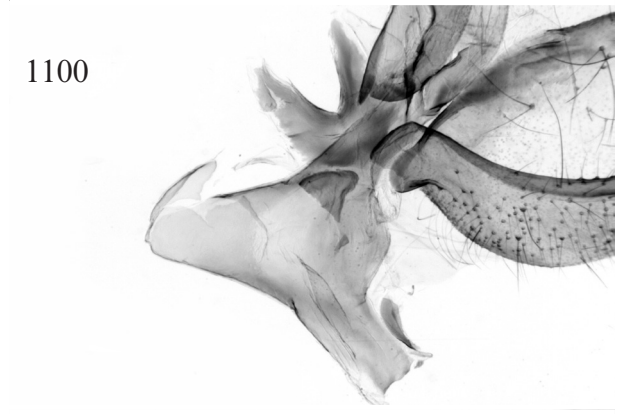
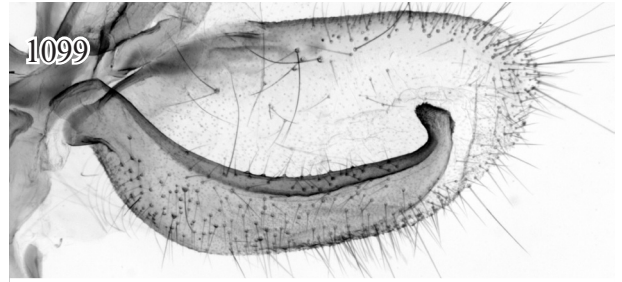
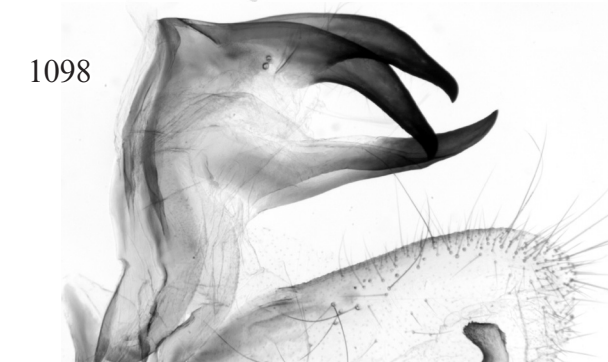
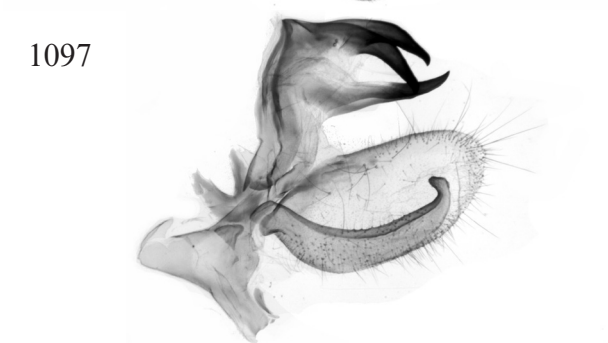
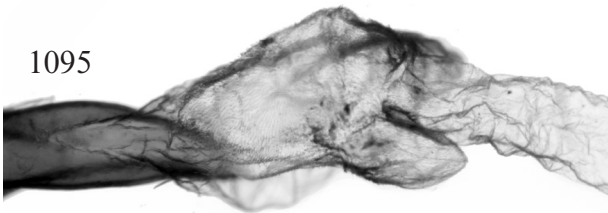
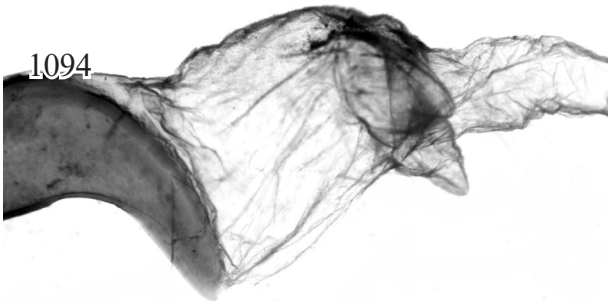
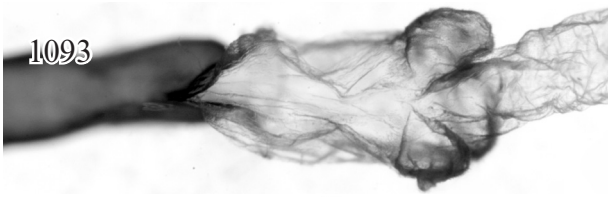


Abb. 1093-1103: *Neoclanis politzari spec. nov.*, HT, GP 5996 ♂ (Spannweite: 7,67 cm), /Kenya, Kibwezi, 20-31.5.1994, leg. Dr. POLITZAR//ex coll. KARL KUCHLER, München, in EMEM, 23.XII.2009, Ent. Mus. Eitschberger, Marktleuthen./ EMEM. Vergrößerung: 6 x: Abb. 1097; 12 x: Abb. 1093-1096, 1098-1100, 1102; 25 x: Abb. 1101, 1103.

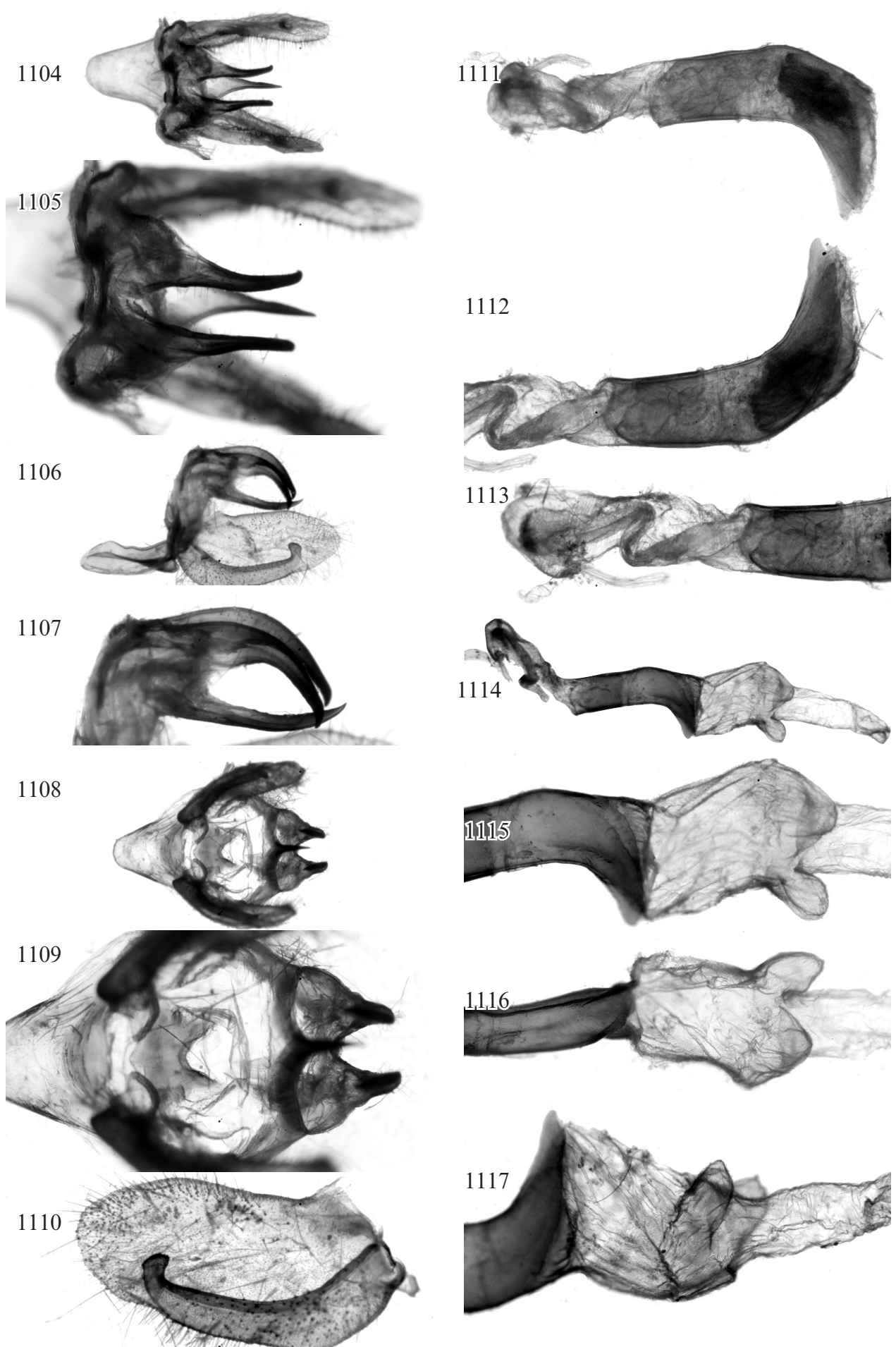


Abb. 1104-1117: *Neoclanis politzari* spec. nov., PT, GP 6019 ♂ (Spannweite: ca. 7,63 cm), Kenya, Kibwezi, 8.-14.5.1995, leg. Dr. POLITZAR. ZSM. Vergrößerung: 6 x: Abb. 1104, 1106, 1108, 1114; 12 x: Abb. 1105, 1107, 1109-1113, 1115-1117.

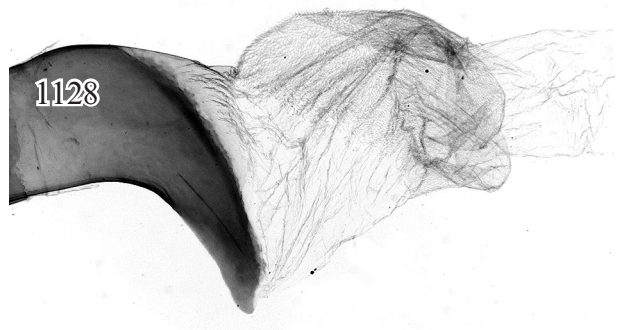
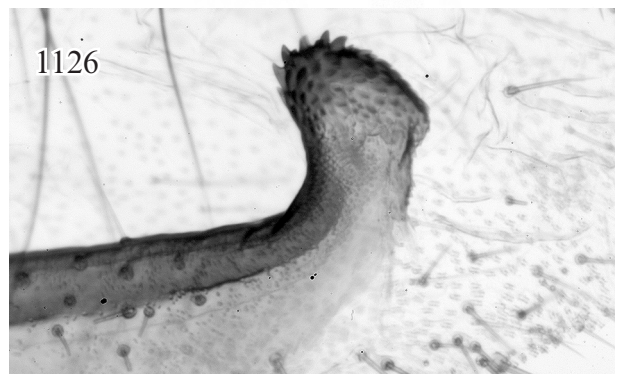
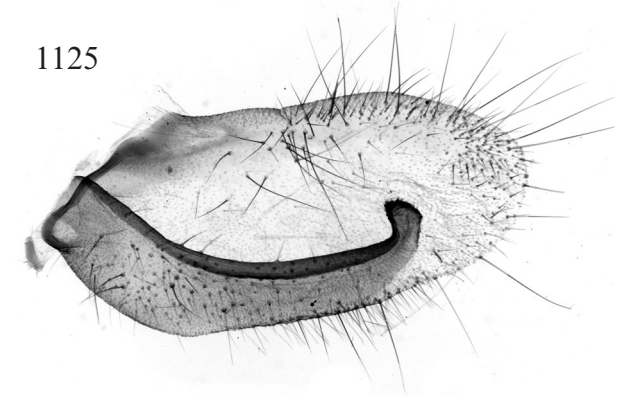
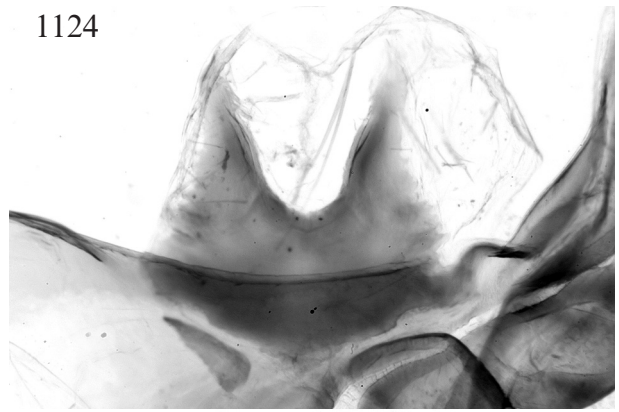
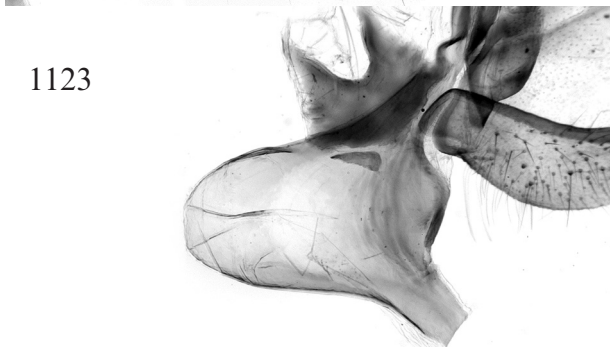
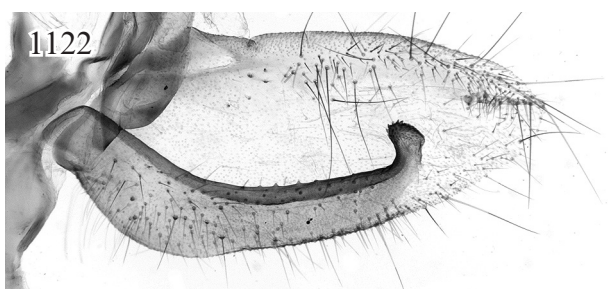
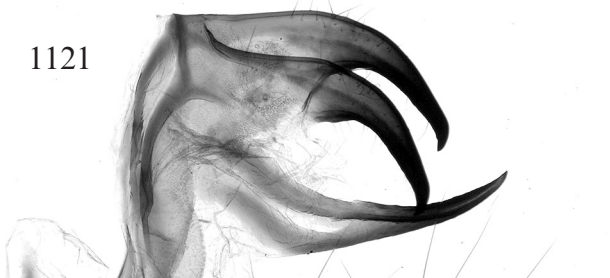
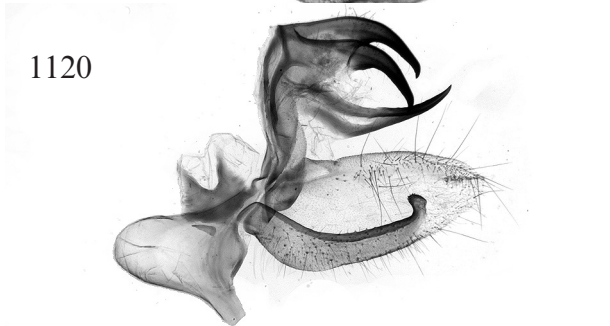
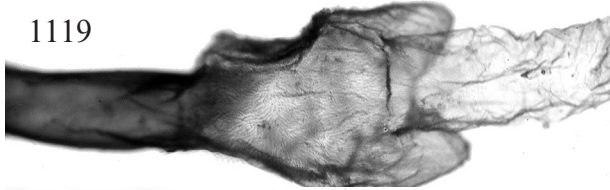
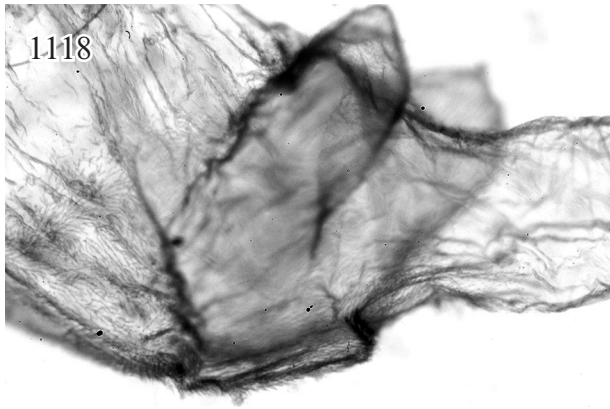
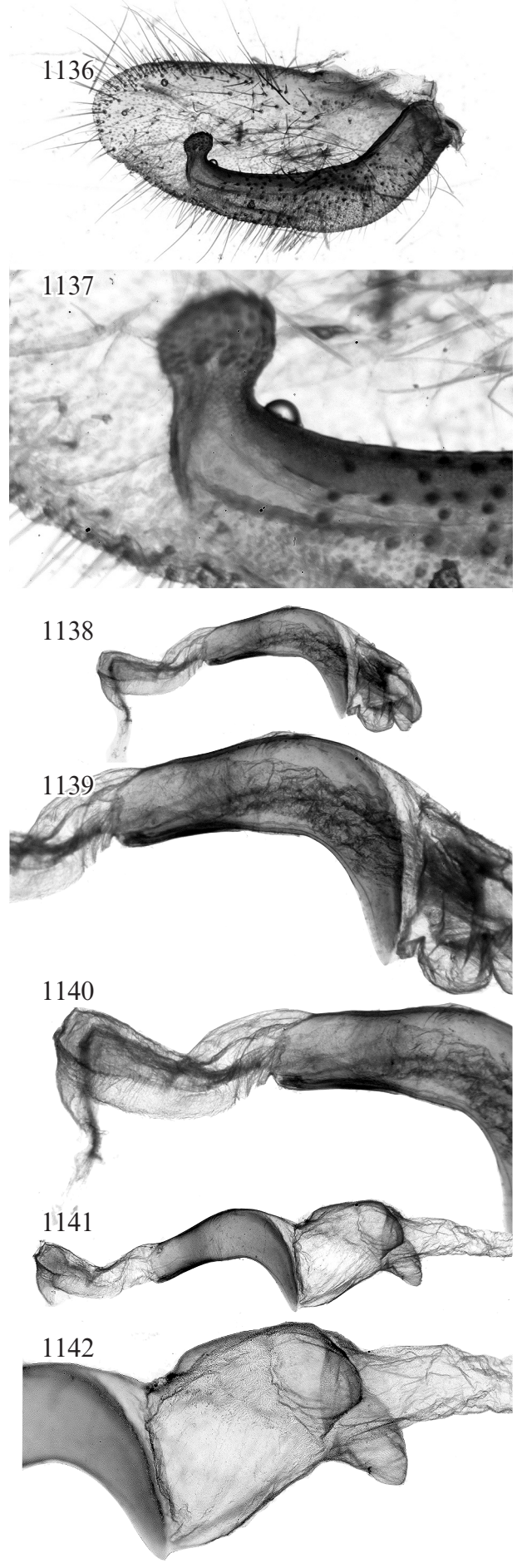
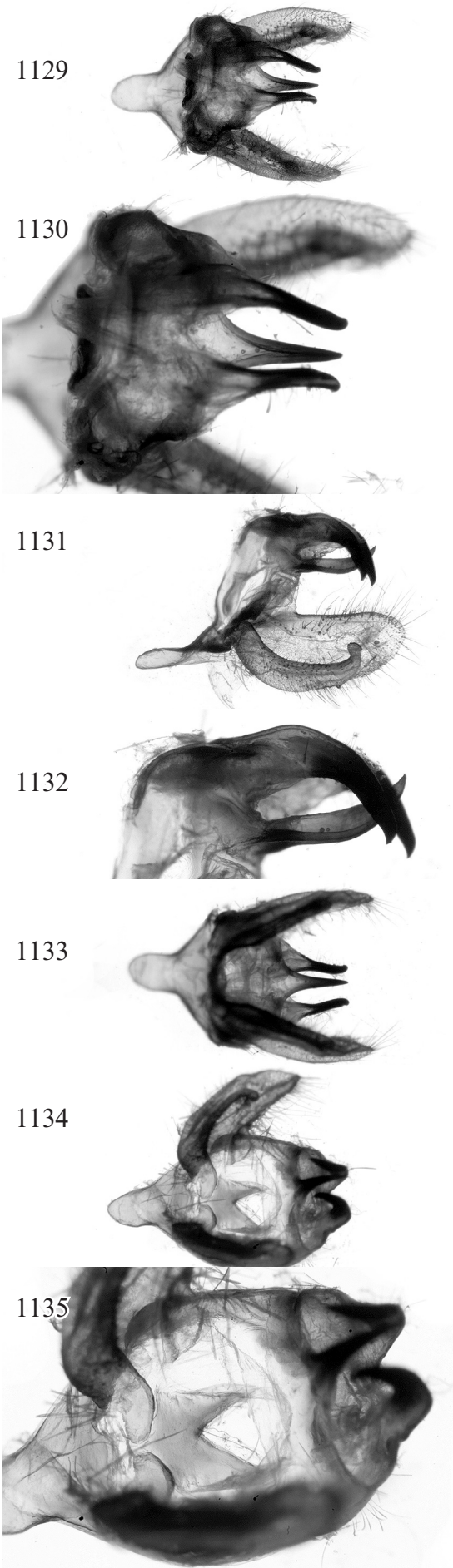


Abb. 1118-1128: *Neoclanis politzari* spec. nov., PT, GP 6019 ♂ (Spannweite: ca. 7,63 cm), Kenya, Kibwezi, 8.-14.5.1995, leg. Dr. POLITZAR. ZSM. Vergrößerung: 6 x: Abb. 1120, 1127; 12 x: Abb. 1119, 1121-1123, 1125, 1128; 25 x: Abb. 1124; 50 x: Abb. 1118.



Abbn. 1129-1142: *Neoclanis politzari* spec. nov., PT, GP 6020 ♂ (Spannweite: 7,86 cm), Kenya, Kibwezi, 20-31.5.1994, leg. Dr. POLITZAR. ZSM. Vergrößerung: 6 x: Abb. 1129, 1131, 1133, 1134, 1138, 1141; 12 x: Abb. 1130, 1132, 1135, 1136, 1139, 1140, 1142; 50 x: Abb. 1137.

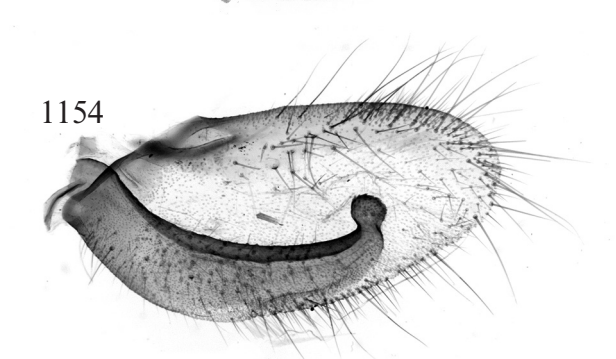
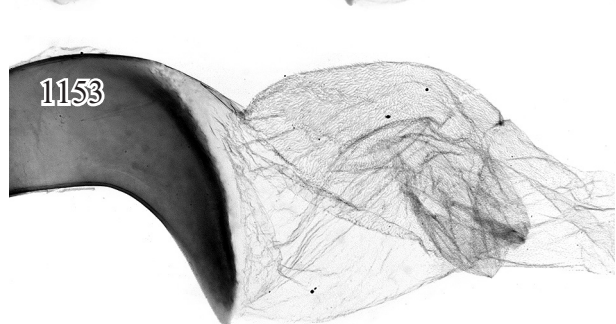
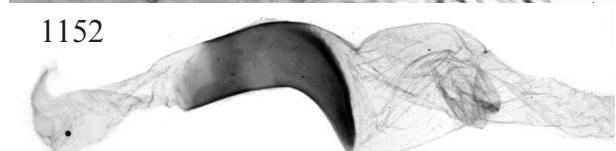
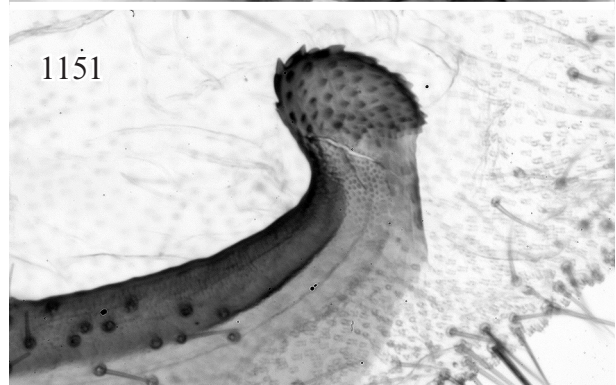
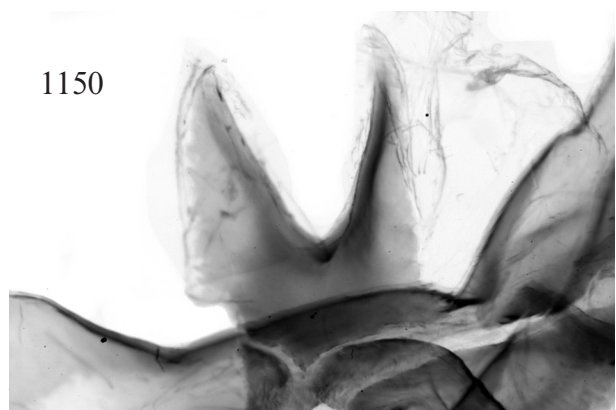
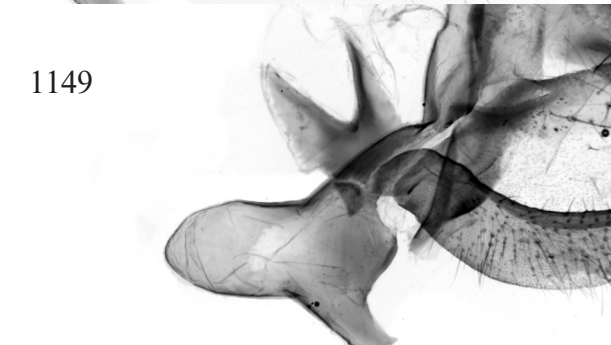
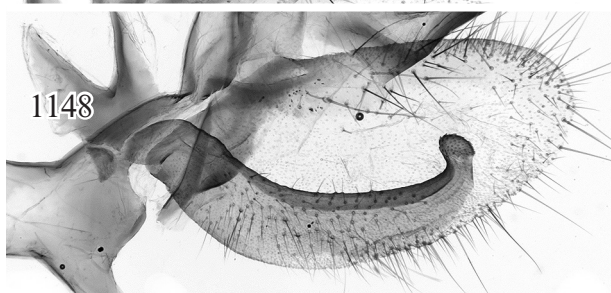
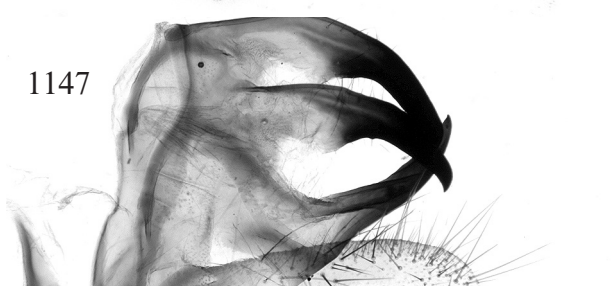
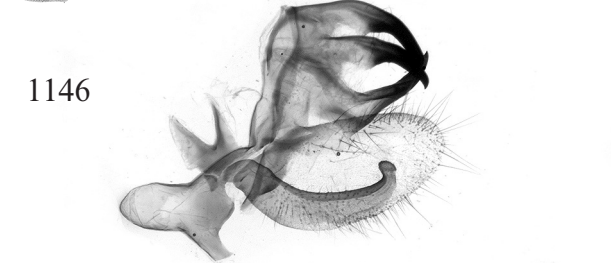
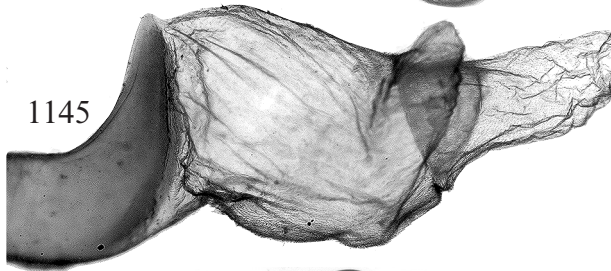


Abb. 1143-1154: *Neoclanis politzari* spec. nov., PT, GP 6020 ♂ (Spannweite: 7,86 cm), Kenya, Kibwezi, 20-31.5.1994, leg. Dr. POLITZAR. ZSM. Vergrößerung: 6 x: Abb. 1146, 1152; 12 x: Abb. 1143-1145, 1147-1149, 1153, 1154; 25 x: Abb. 1150; 50 x: Abb. 1151.

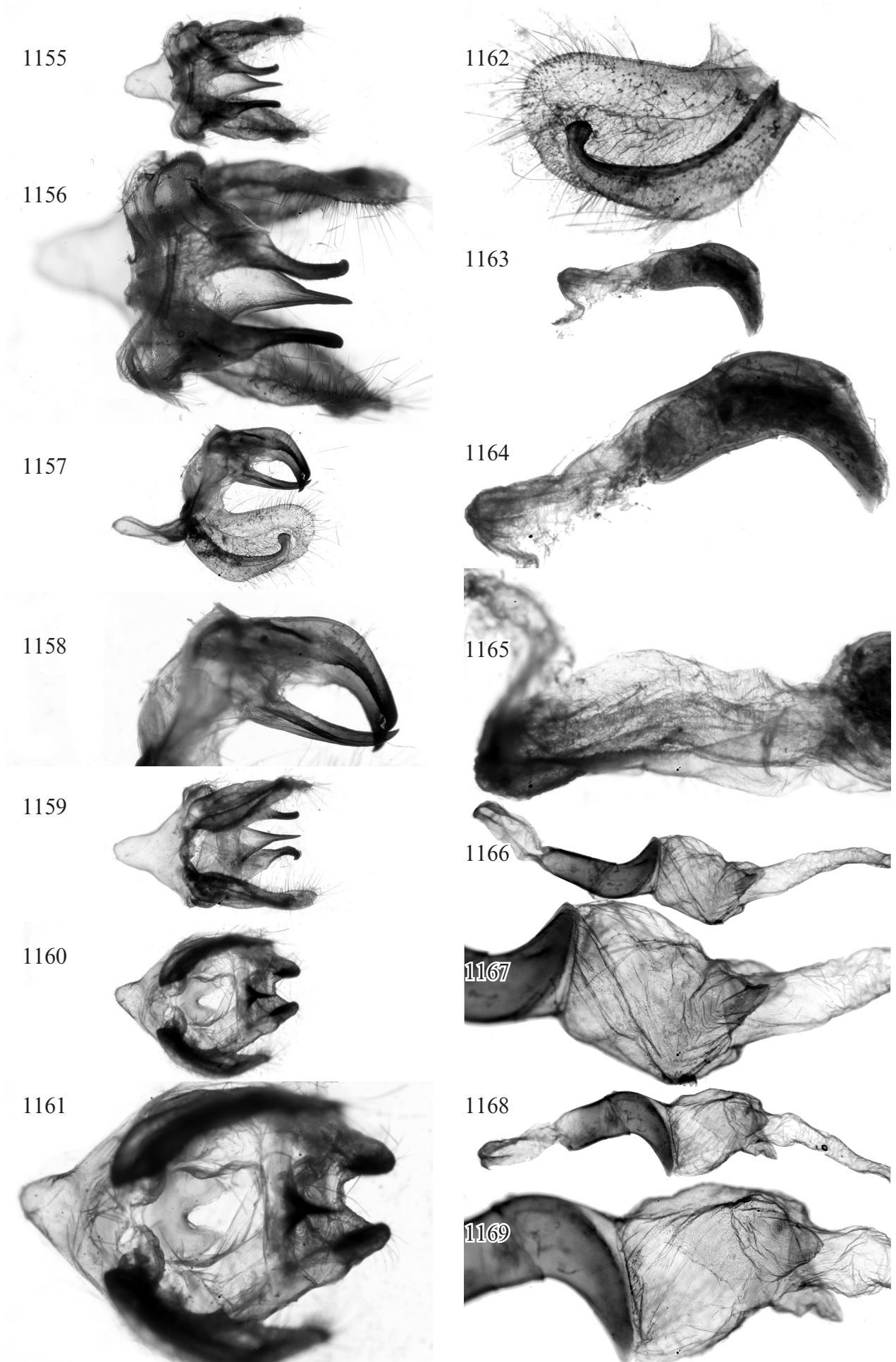


Abb.- 1155-119: *Neoclanis politzari* spec. nov., PT, GP 6021 ♂ (Spannweite: 7,63 cm), Kenya, Kibwezi, 20-31.5.1994, leg. Dr. POLITZAR, ZSM. Vergrößerung: 6 x: Abb. 1155, 1157, 1159, 1160, 1163, 1166, 1168; 12 x: Abb. 1156, 1158, 1161, 1162, 1164, 1167, 1169; 25 x: Abb. 1165.

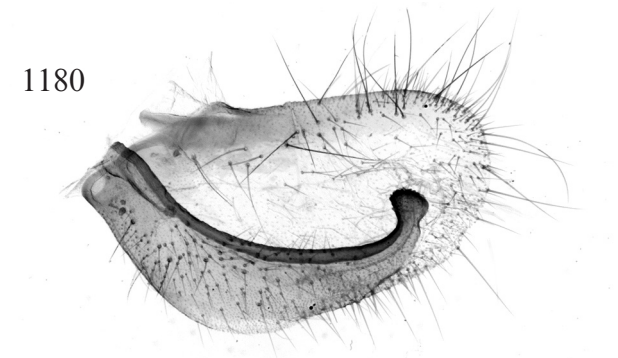
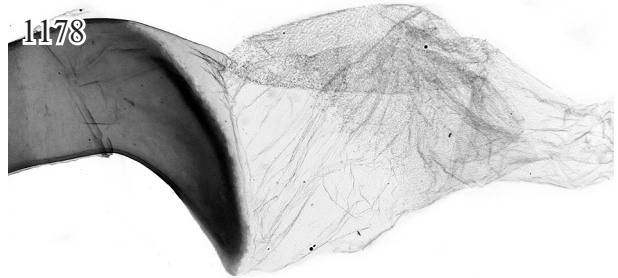
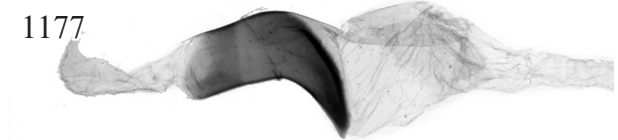
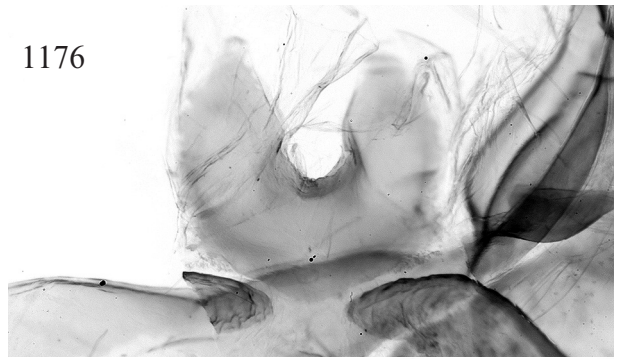
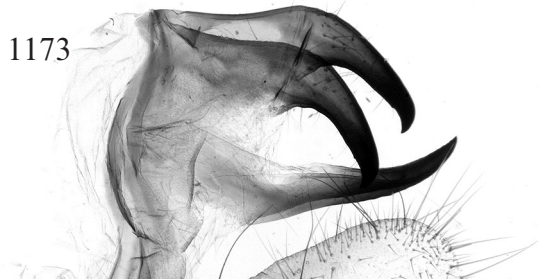
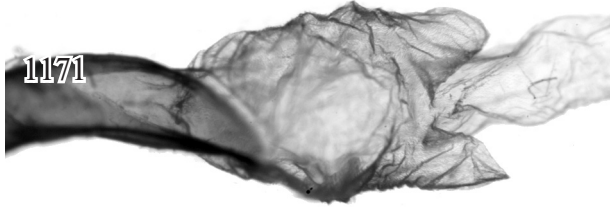


Abb. 1170-1181: *Neoclanis politzari* spec. nov., PT, GP 6021 ♂ (Spannweite: 7,63 cm), Kenya, Kibwezi, 20-31.5.1994, leg. Dr. POLITZAR. ZSM. Vergrößerung: 6 x: Abb. 1172, 1177; 12 x: Abb. 1170, 1171, 1173-1175, 1178-1180; 25 x: Abb. 1176; 50 x: Abb. 1181.

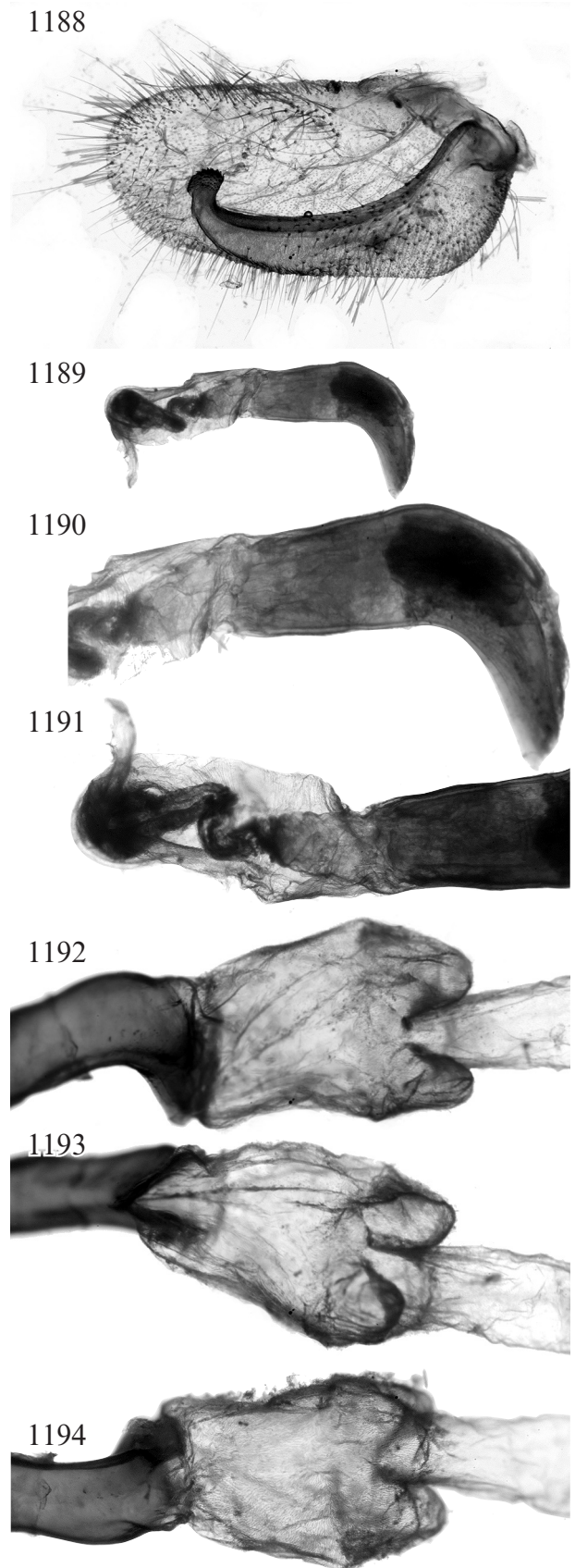
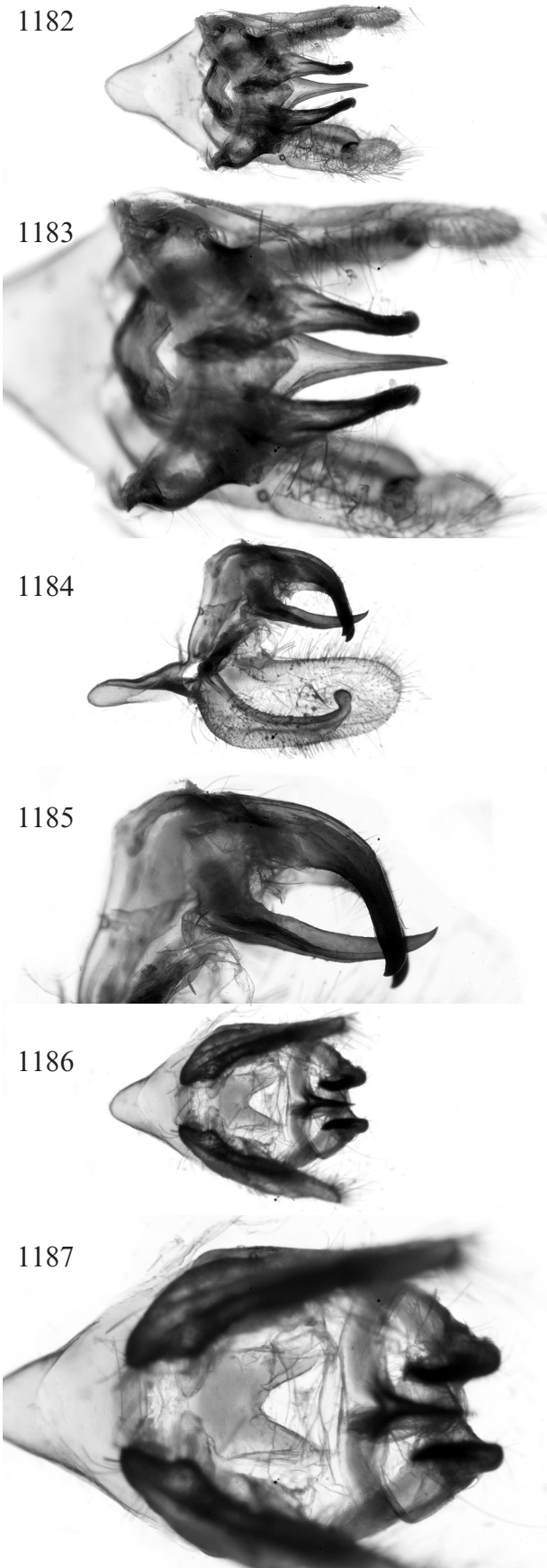


Abb. 1182-1194: *Neoclanis politzari* spec. nov., PT, GP 6022 ♂ (Spannweite: 7,98 cm), Kenya, Kibwezi, 20-31.5.1994, leg. Dr. POLITZAR. ZSM. Vergrößerung: 6 x: Abb. 1182, 1184, 1186, 1192; 12 x: Abb. 1183, 1185, 1187, 1188, 1190-1194.

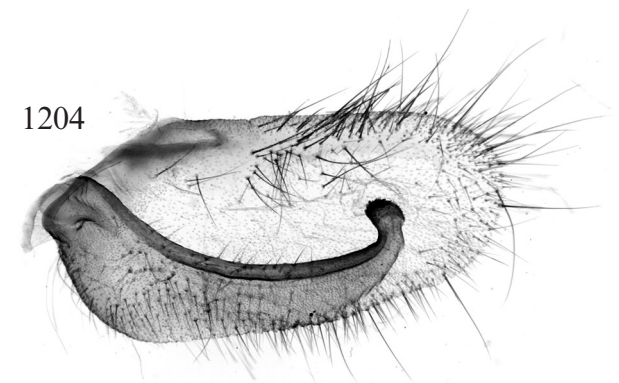
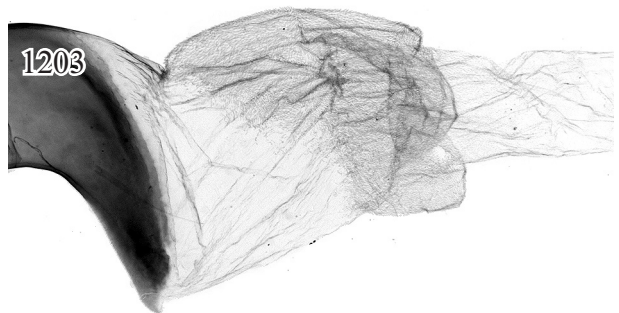
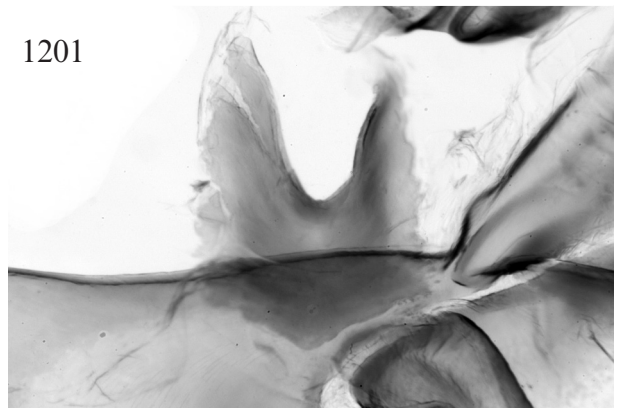
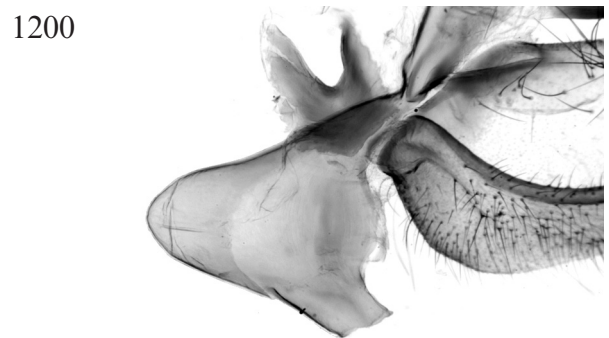
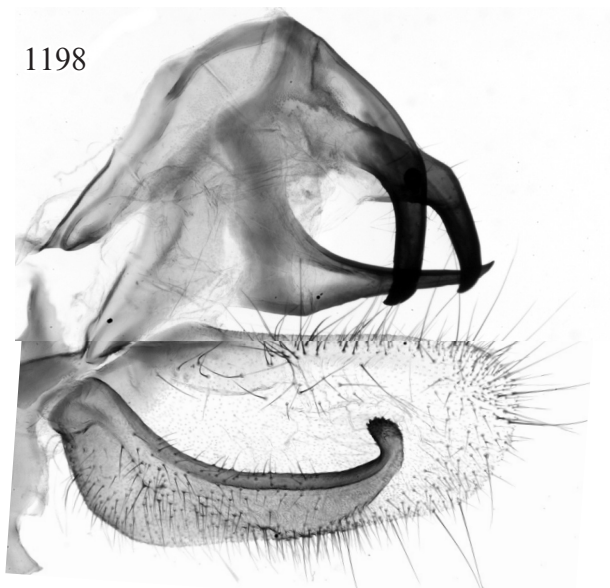
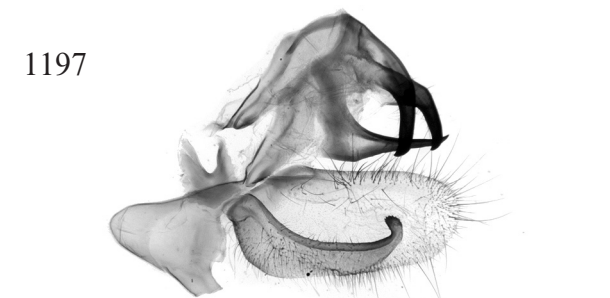
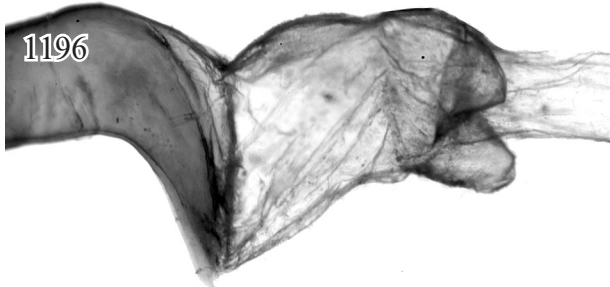


Abb. 1195-1204: *Neoclanis politzari* spec. nov., PT, GP 6022 ♂ (Spannweite: 7,98 cm), Kenya, Kibwezi, 20-31.5.1994, leg. Dr. POLITZAR. ZSM. Vergrößerung: 6 x: Abb. 1195, 1197, 1202; 12 x: Abb. 1196, 1198, 1200, 1203, 1204; 25 x: Abb. 1201; 50 x: Abb. 1199.

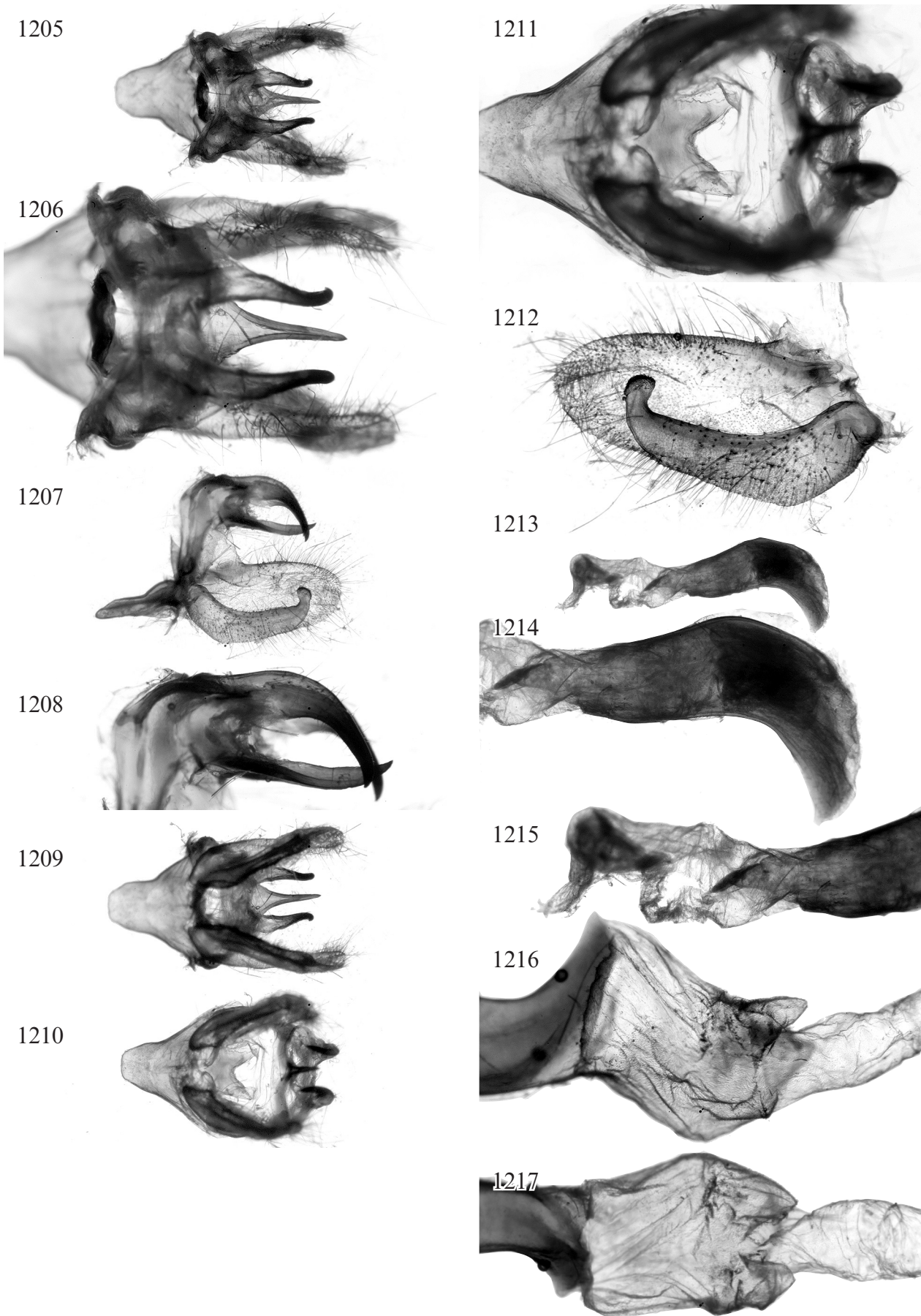


Abb. 1205-1217: *Neoclanis politzari* spec. nov., PT, GP 6023 ♂ (Spannweite: 7,74 cm), Kenya, Kibwezi, 20-31.5.1994, leg. Dr. POLITZAR. ZSM. Vergrößerung: 6 x: Abb. 1205, 1207, 1209, 1210, 1213; 12 x: Abb. 1206, 1208, 1211, 1212, 1214-1217.

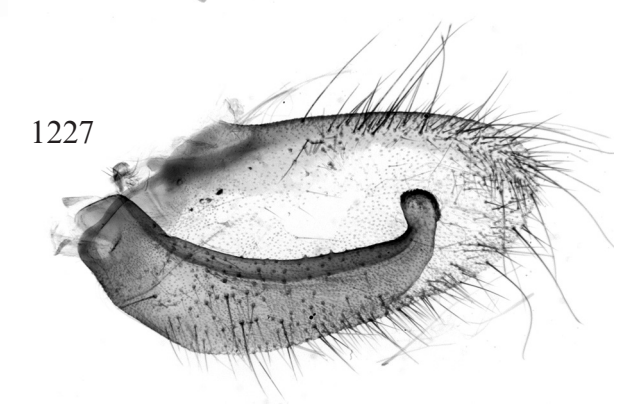
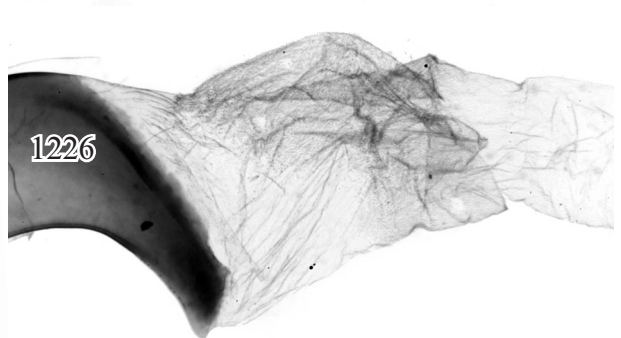
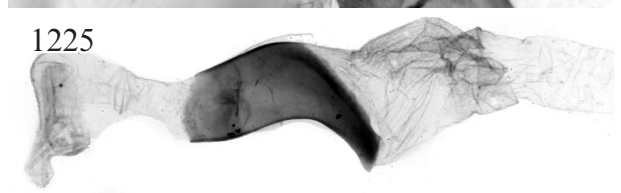
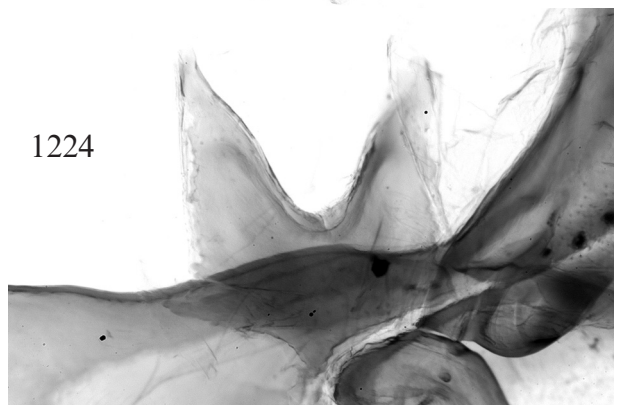
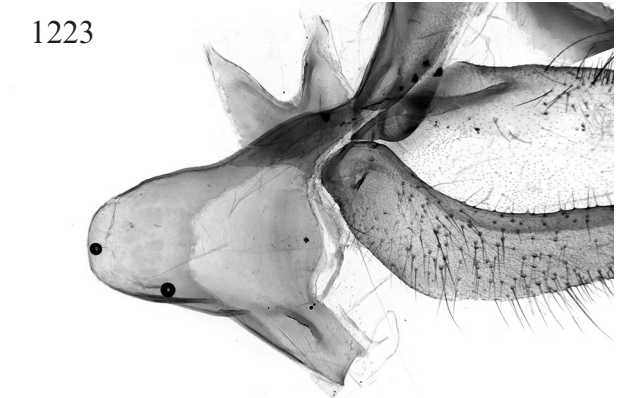
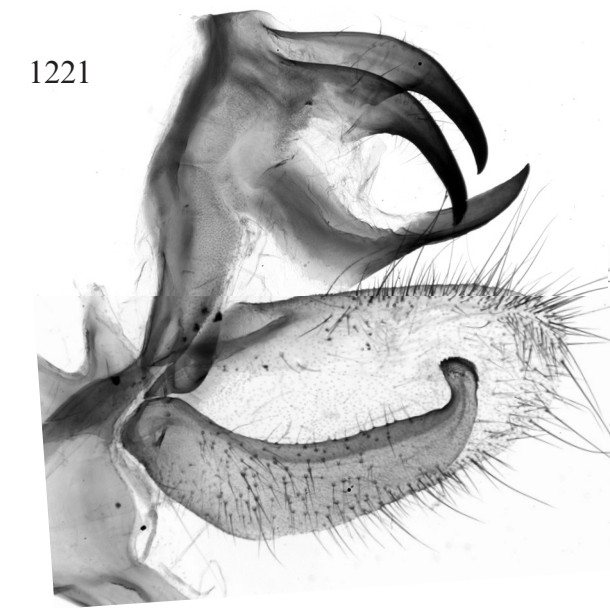
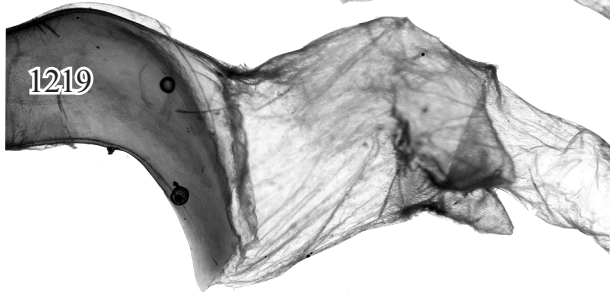
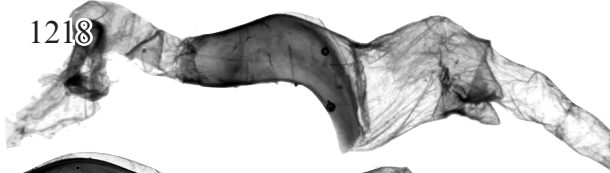


Abb. 1218-1227: *Neoclanis politzari* spec. nov., PT, GP 6023 ♂ (Spannweite: 7,74 cm), Kenya, Kibwezi, 20-31.5.1994, leg. Dr. POLITZAR. ZSM. Vergrößerung: 6 x: Abb. 1218, 1220, 1225; 12 x: Abb. 1219, 1221, 1223, 1226, 1227; 25 x: Abb. 1224; 50 x: Abb. 1222.

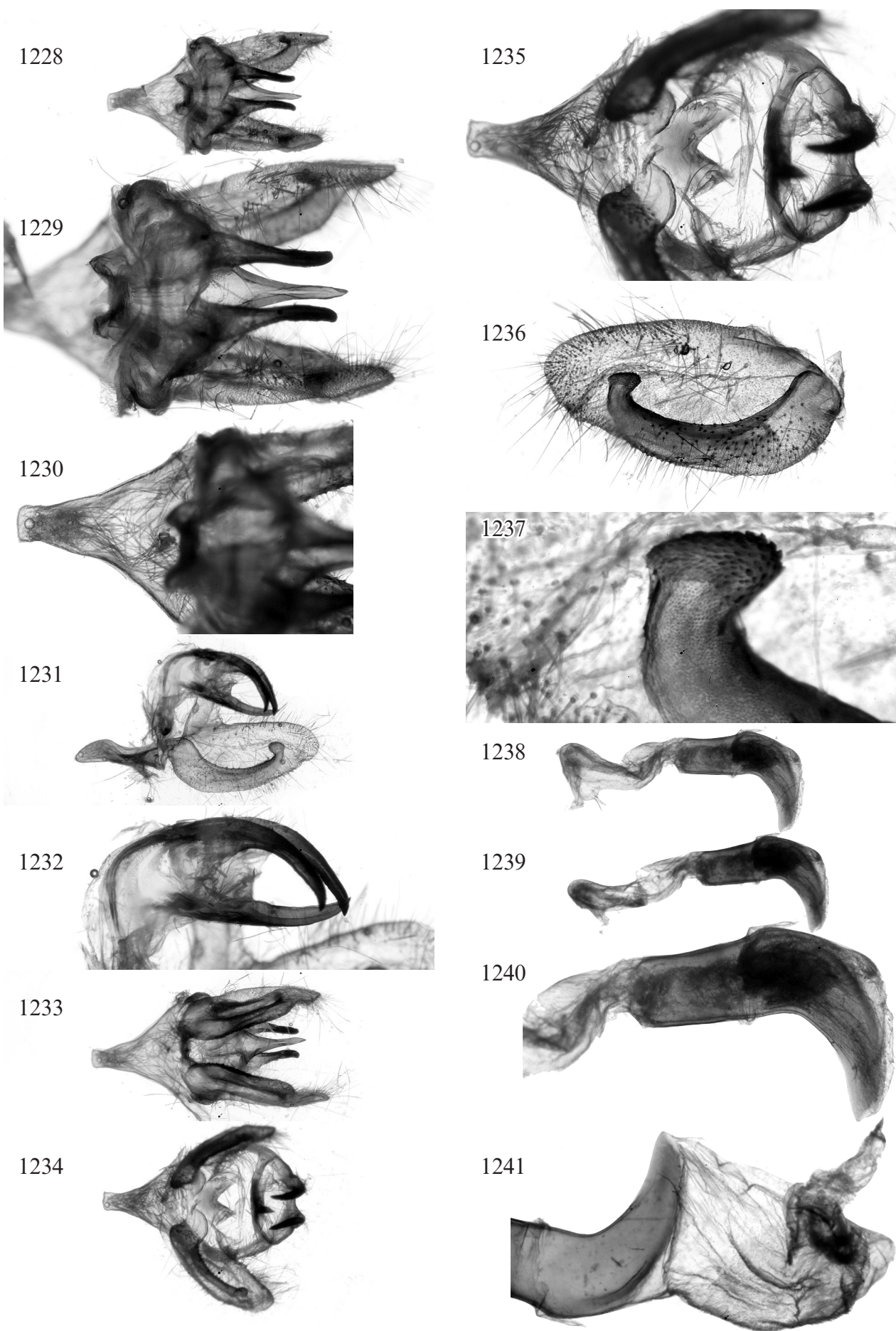


Abb. 1228-1241: *Neoclanis politzari* spec. nov., PT, GP 6024 ♂ (Spannweite: 7,86 cm), Kenya, Kibwezi, 20-31.5.1994, leg. Dr. POLITZAR. ZSM. Vergrößerung: 6 x: Abb. 1228, 1231, 1233, 1234, 1238, 1239; 12 x: Abb. 1229, 1230, 1232, 1235, 1236, 1240, 1241; 25 x: Abb. ; 50 x: Abb. 1237.

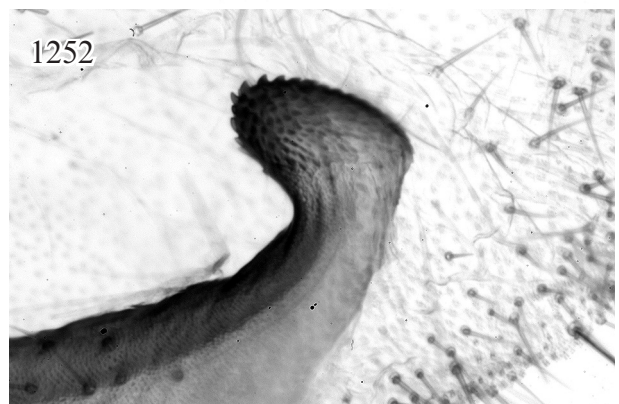
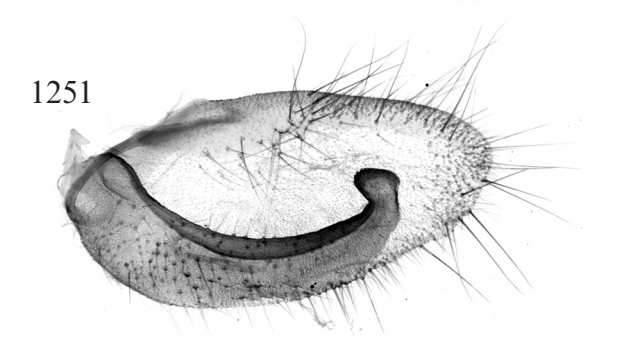
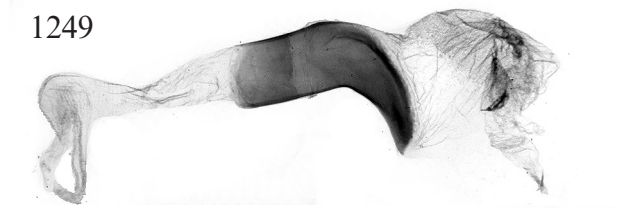
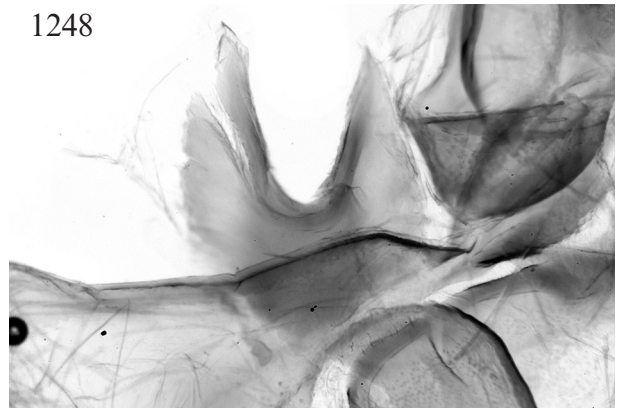
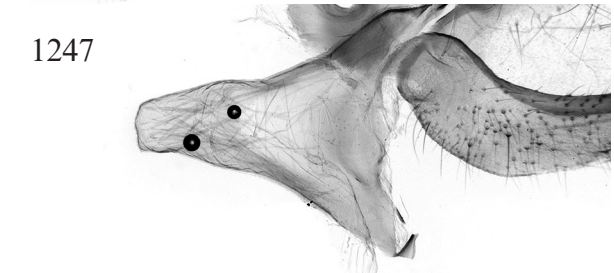
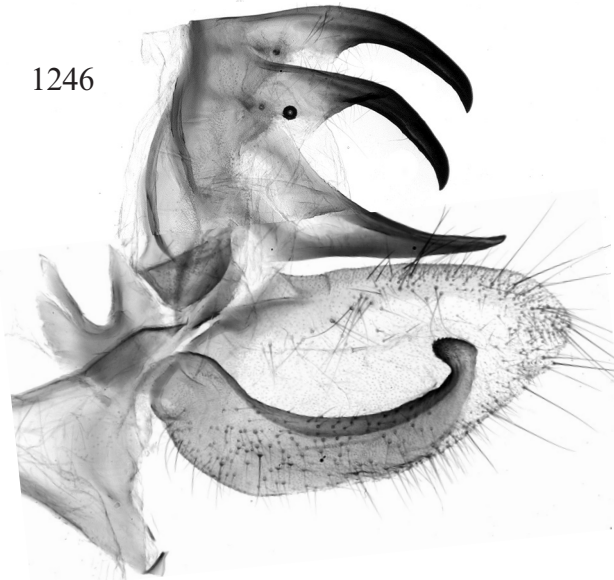
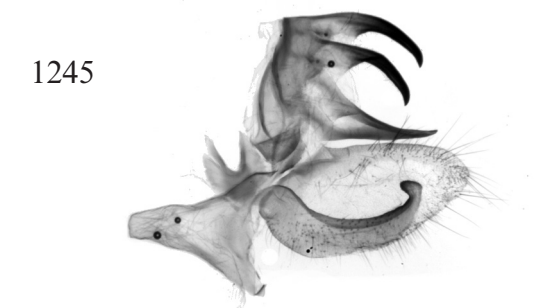
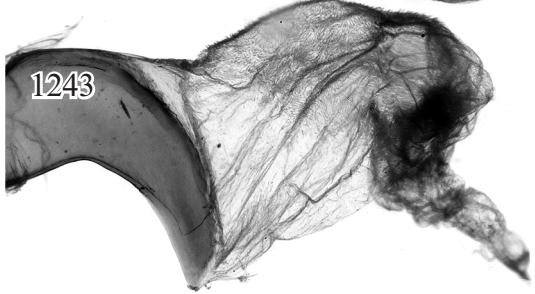
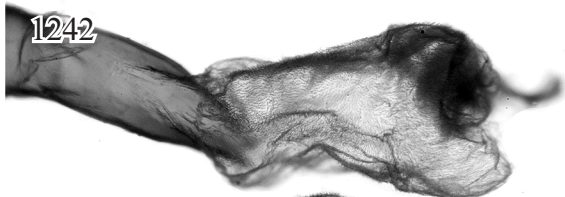


Abb. 1242-1252: *Neoclanis politzari* spec. nov., PT, GP 6024 ♂ (Spannweite: 7,86 cm), Kenya, Kibwezi, 20-31.5.1994, leg. Dr. POLITZAR. ZSM. Vergrößerung: 6 x: Abb. 1244, 1245, 1249; 12 x: Abb. 1242, 1243, 1246, 1247, 1250, 1251; 25 x: Abb. 1248; 50 x: Abb. 1252.

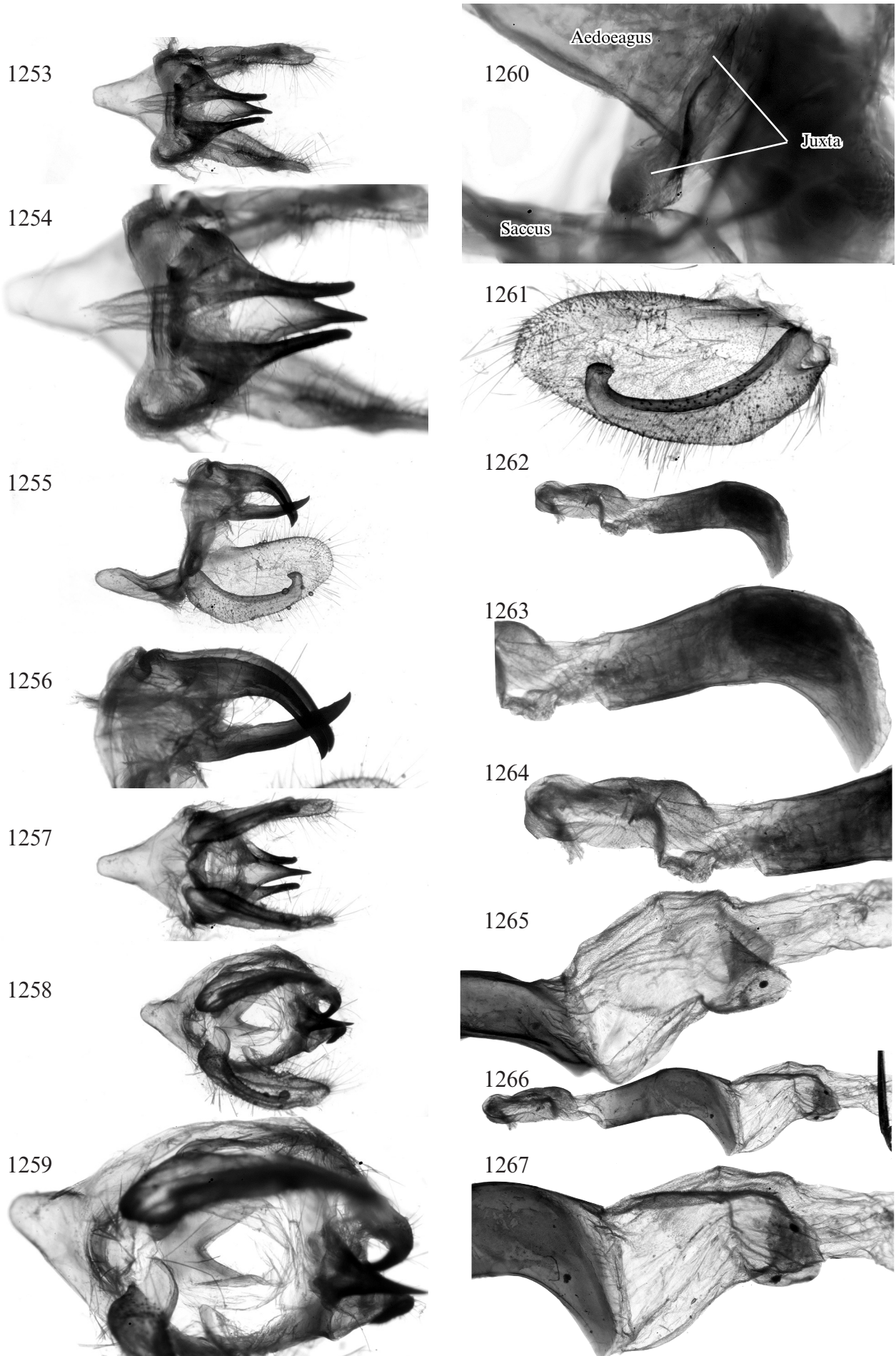


Abb. 1253-1367: *Neoclanis politzari* spec. nov., PT, GP 6025 ♂ (Spannweite: 7,61 cm), Kenya, Kibwezi, 8.-14.5.1995, leg. Dr. POLITZAR. ZSM. Vergrößerung: 6 x: Abb. 1253, 1255, 1257, 1258, 1262, 1266; 12 x: Abb. 1254, 1256, 1259, 1261, 1263-1265, 1267; 25 x: Abb. 1260.

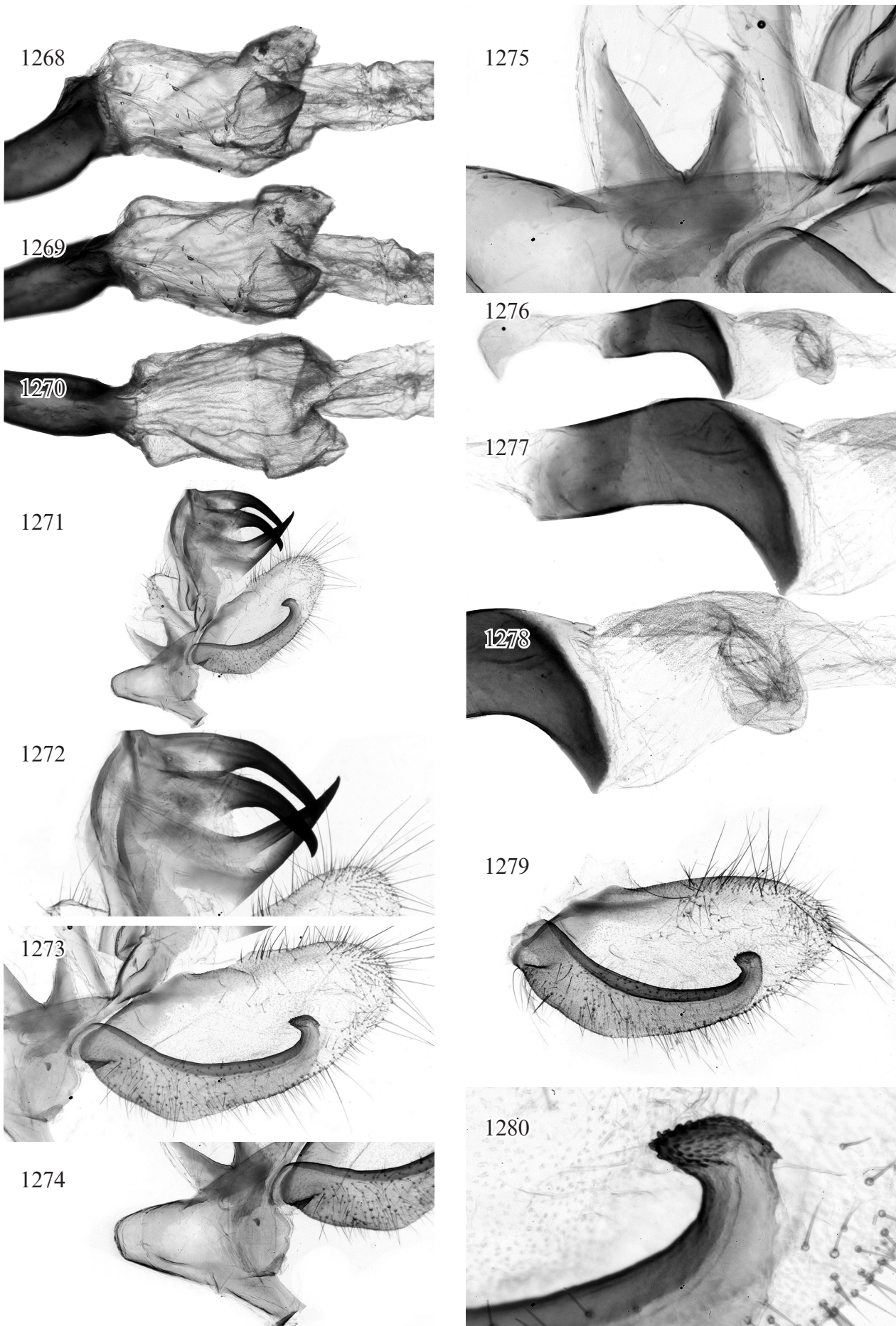


Abb. 1268-1280: *Neoclanis politzari* spec. nov., PT, GP 6025 ♂ (Spannweite: 7,61 cm), Kenya, Kibwezi, 8.-14.5.1995, leg. Dr. POLITZAR. ZSM. Vergrößerung: 6 x: Abb.1271, 1276; 12 x: Abb. 1268-1270, 1272-1274, 1277-1279; 25 x: Abb. 1275; 50 x: Abb. 1280.

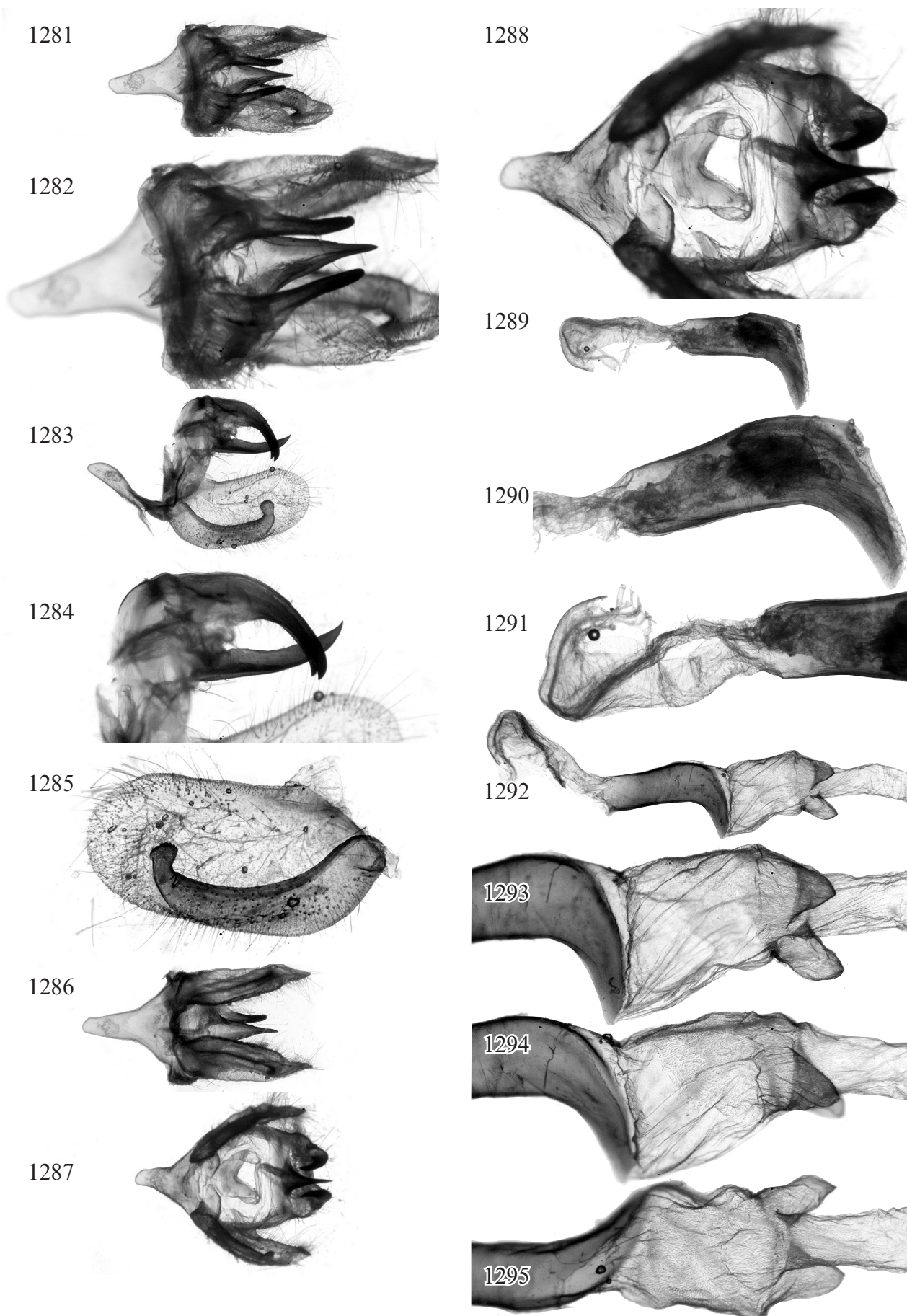


Abb. 1281-1295: *Neoclanis ukambaniensis* spec. nov., PT, GP 6026 ♂ (Spannweite: 6,97 cm), Kenya, Kibwezi, 700 m, 1.-15.12.2000, leg. Dr. POLITZAR, Museum WITT. ZSM. Vergrößerung: 6 x: Abb. 1281, 1283, 1286, 1287, 1289, 1292; 12 x: Abb. 1282, 1284, 1285, 1288, 1290, 1291, 1293-1295.

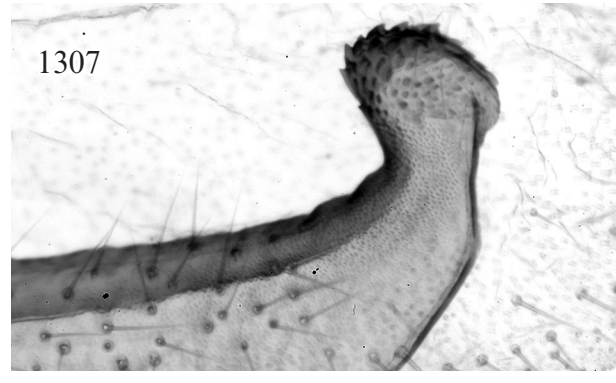
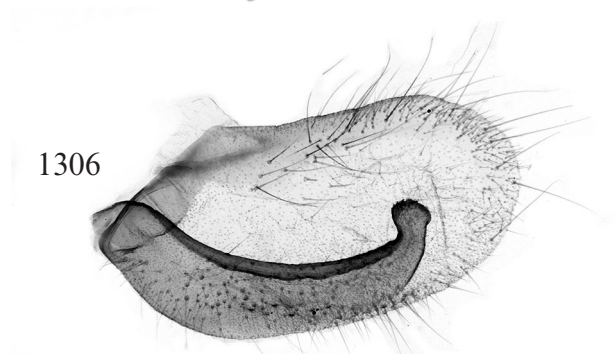
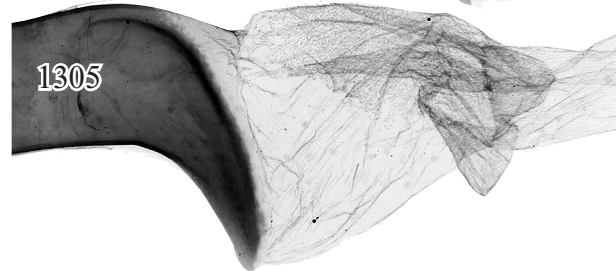
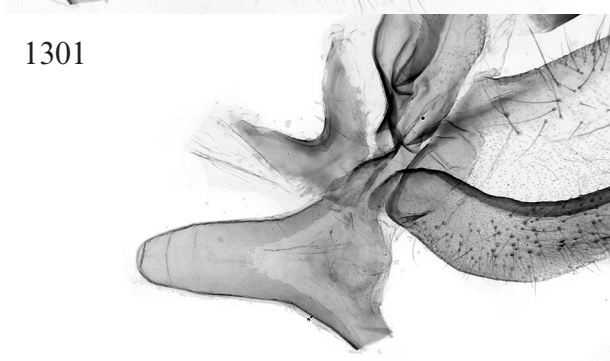
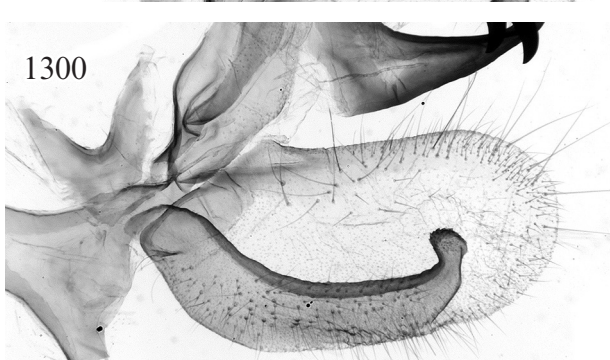
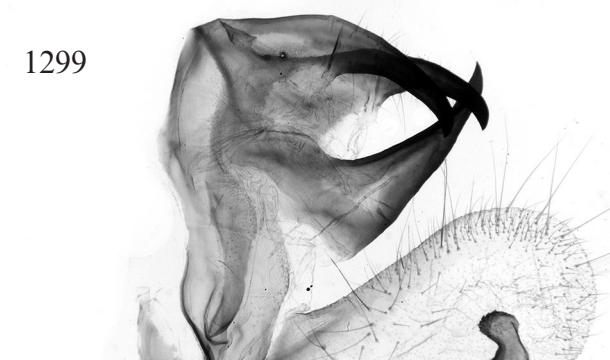
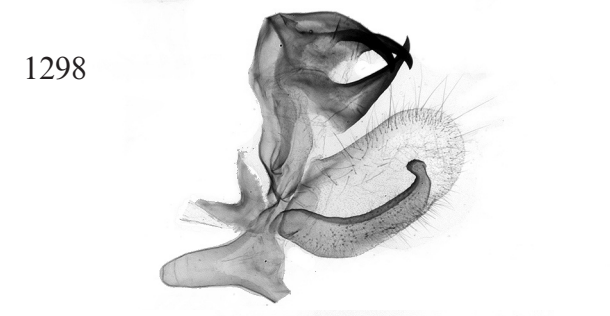
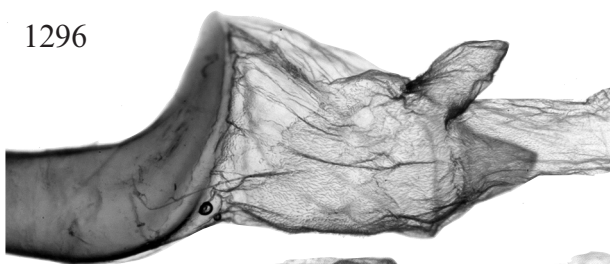


Abb. 1296-1307: *Neoclanis ukambaniensis* spec. nov., PT, GP 6026 ♂ (Spannweite: 6,97 cm), Kenya, Kibwezi, 700 m, 1.-15.12.2000, leg. Dr. POLITZAR, Museum WITT. ZSM. Vergrößerung: 6 x: Abb. 1298, 1303; 12 x: Abb. 1296, 1297, 1299-1301, 1304-1306; 25 x: Abb. 1302, 1307; 50 x: Abb..

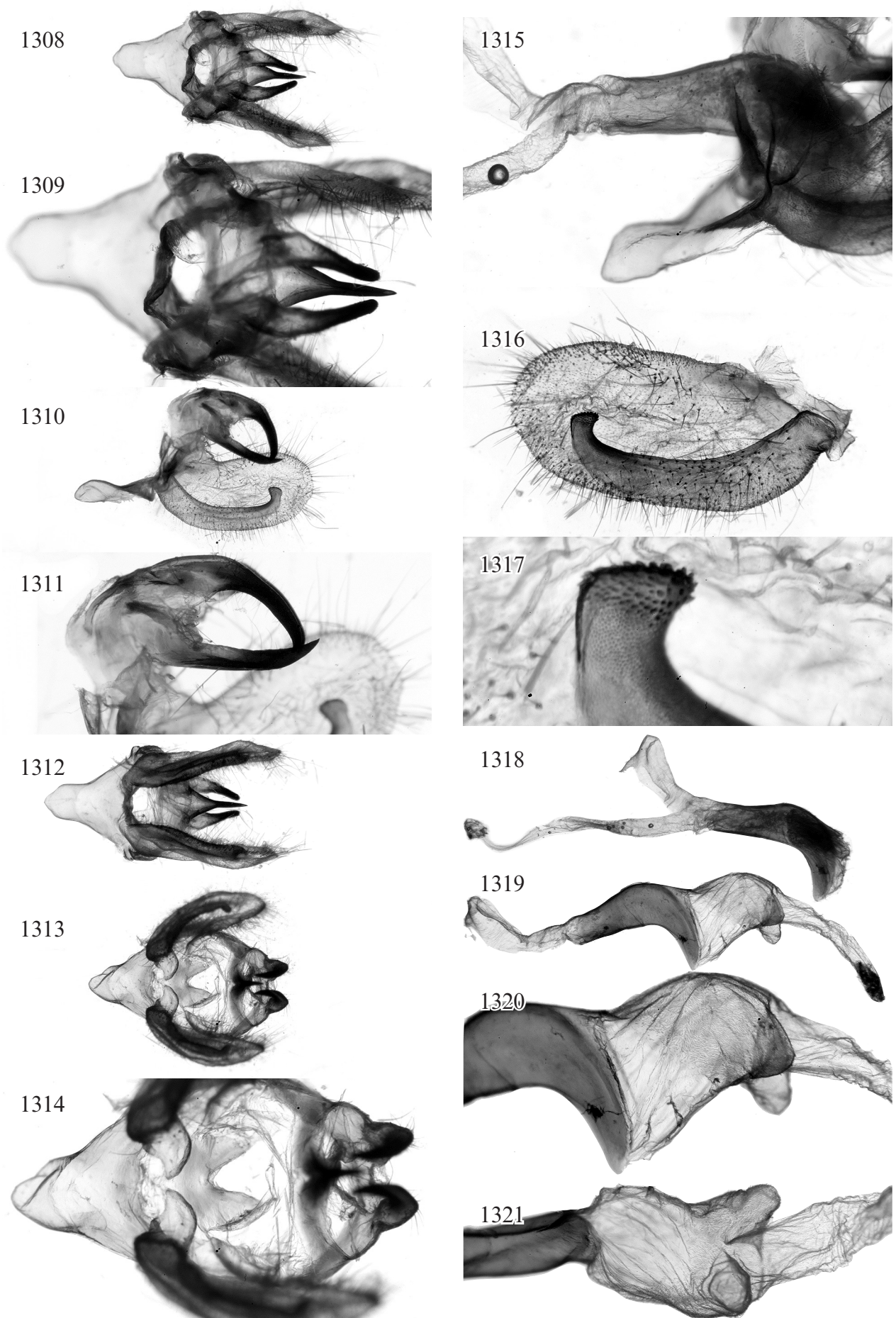


Abb. 1308-1321: *Neoclanis ukambaniensis* spec. nov., PT, GP 6031 ♂ (Spannweite: 6,82 cm), Kenya, South Ukambani, near Kibwezi, 20-27.XI.1994 Lf., leg. Dr. POLITZAR, Museum WITT. ZSM. Vergrößerung: 6 x: Abb. 1308, 1310, 1312, 1313, 1318, 1319; 12 x: Abb. 1309, 1311, 1314-1316, 1320, 1321; 50 x: Abb. 1317.

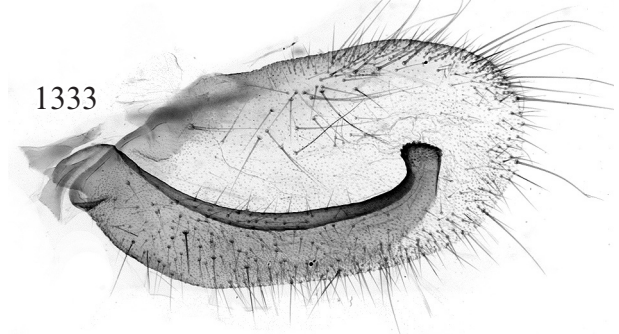
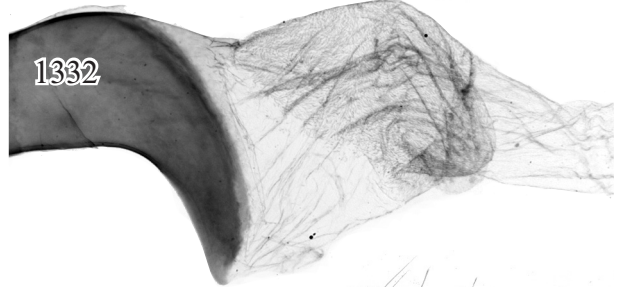
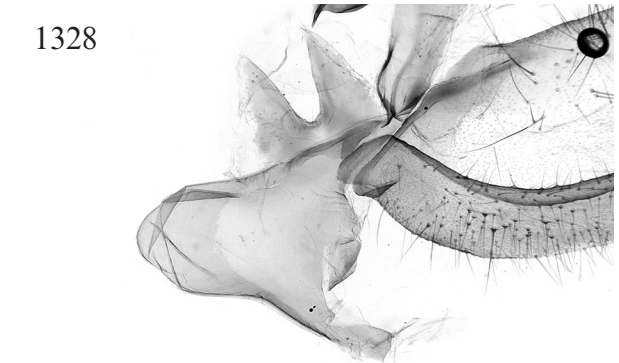
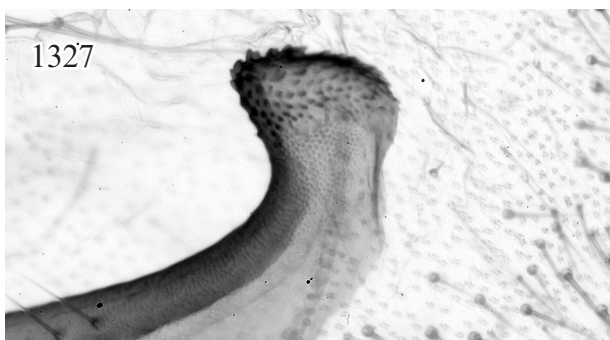
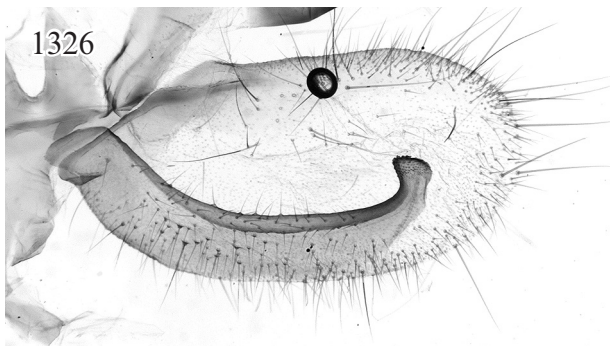
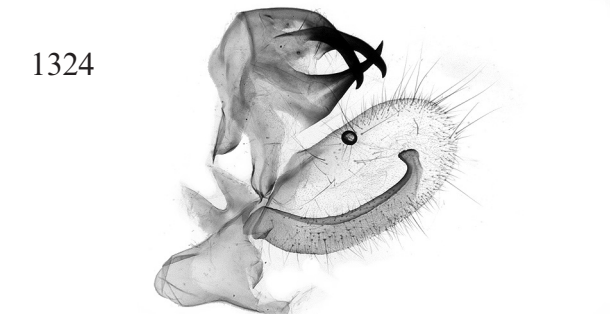


Abb. 1322-1333: *Neoclanis ukambaniensis* spec. nov., PT, GP 6031 ♂ (Spannweite: 6,82 cm), Kenya, South Ukambani, near Kibwezi, 20-27.XI.1994 Lf., leg. Dr. POLITZAR, Museum WITT. ZSM. Vergrößerung: 6 x: Abb. 1324, 1330; 12 x: Abb. 1322, 1323, 1324-1326, 1328, 1331-1333; 25 x: Abb. 1329; 50 x: Abb. 1327.

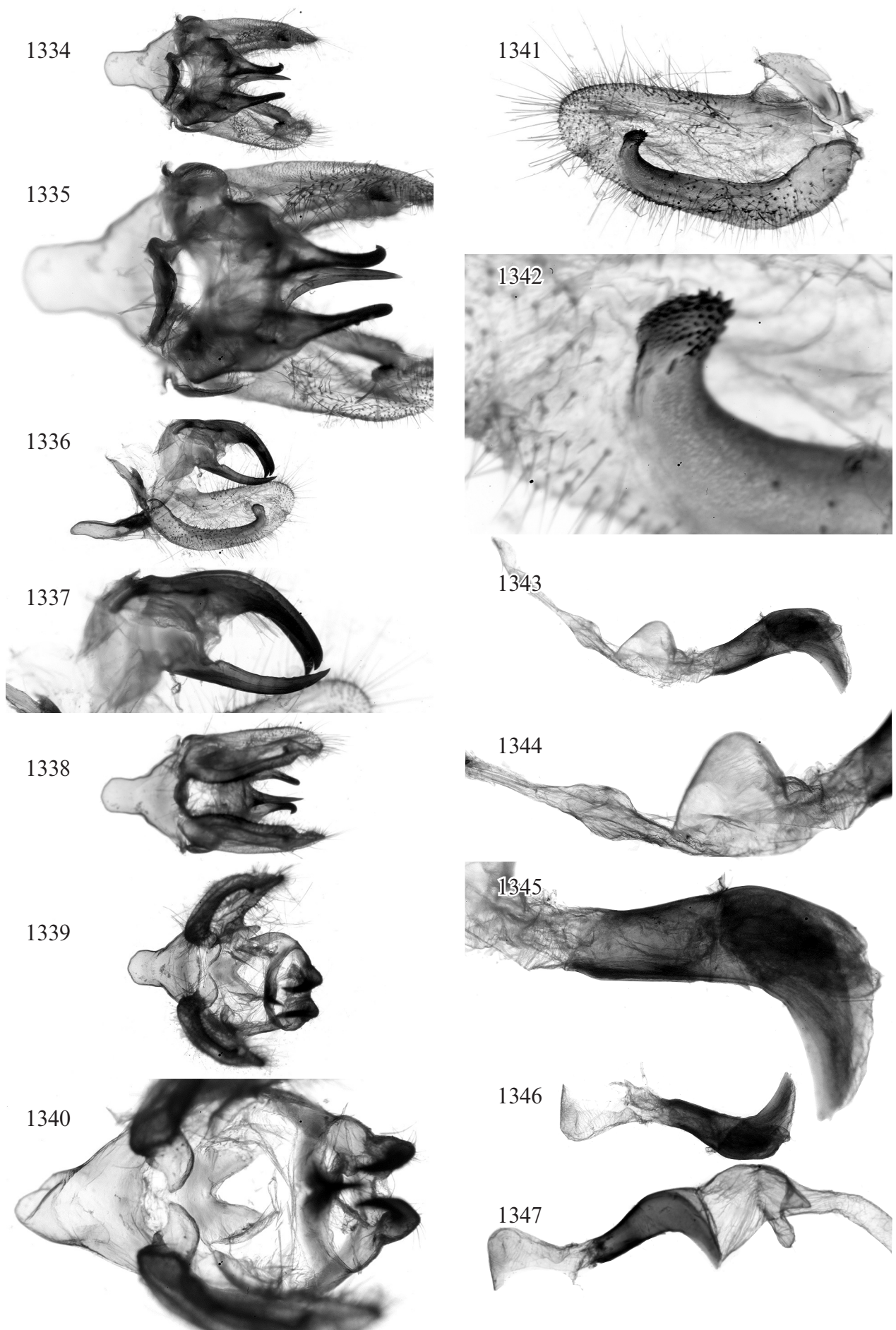


Abb.n 1334-1347: *Neoclanis ukambaniensis* spec. nov., PT, GP 6032 ♂ (Spannweite: 6,88 cm), Kenya, South Ukambani, near Kibwezi, 20-27.XI.1994 Lf., leg. Dr. POLITZAR, Museum WITT. ZSM. Vergrößerung: 6 x: Abb. 1344, 1336, 1339, 1343, 1346, 1347; 12 x: Abb. 1335, 1337, 1340, 1341, 1344, 1345; 50 x: Abb. 1342.

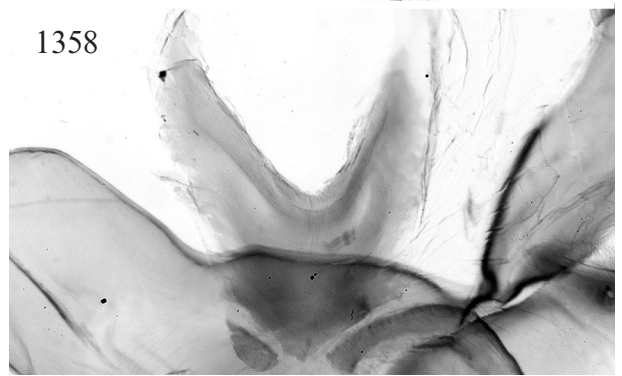
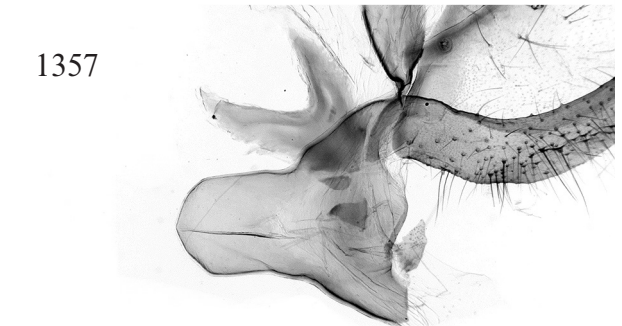
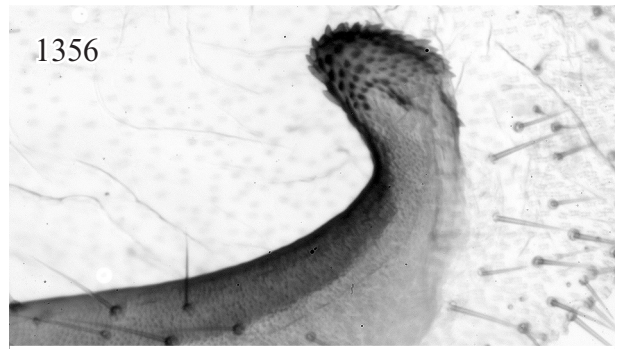
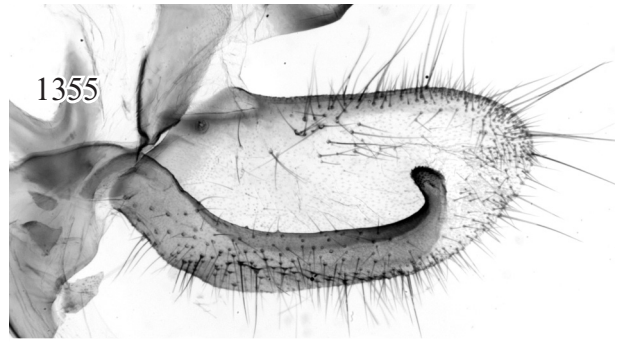
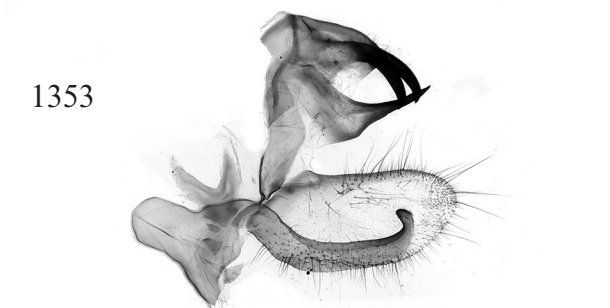
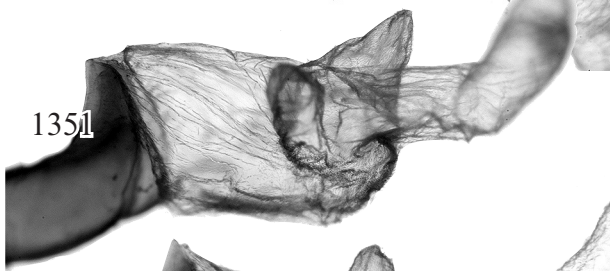
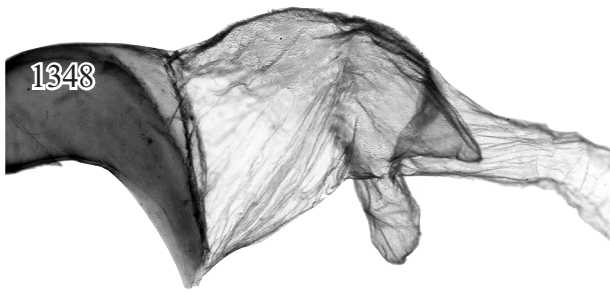


Abb. 1348-1360: *Neoclanis ukambaniensis* spec. nov., PT, GP 6032 ♂ (Spannweite: 6,88 cm), Kenya, South Ukambani, near Kibwezi, 20-27.XI.1994 Lf., leg. Dr. POLITZAR, Museum WITT. ZSM. Vergrößerung: 6 x: Abb. 1353, 1359; 12 x: Abb. 1348-1352, 1354, 1355, 1357, 1360; 25 x: Abb. 1358; 50 x: Abb. 1365.

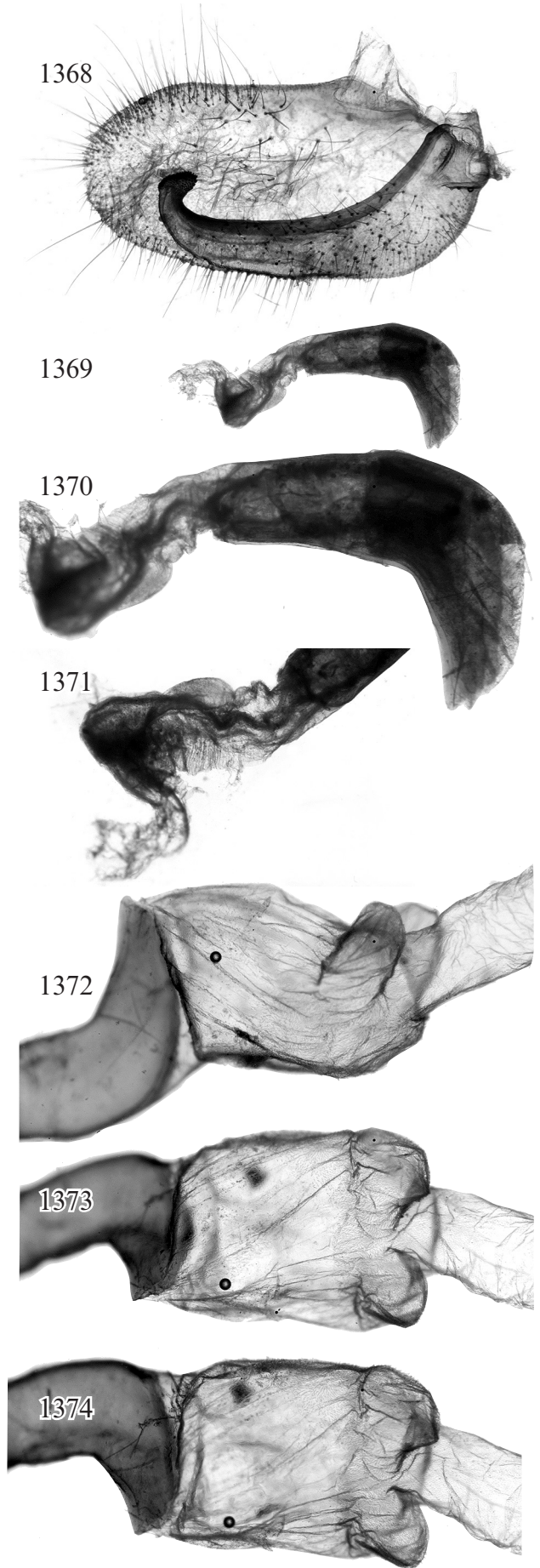
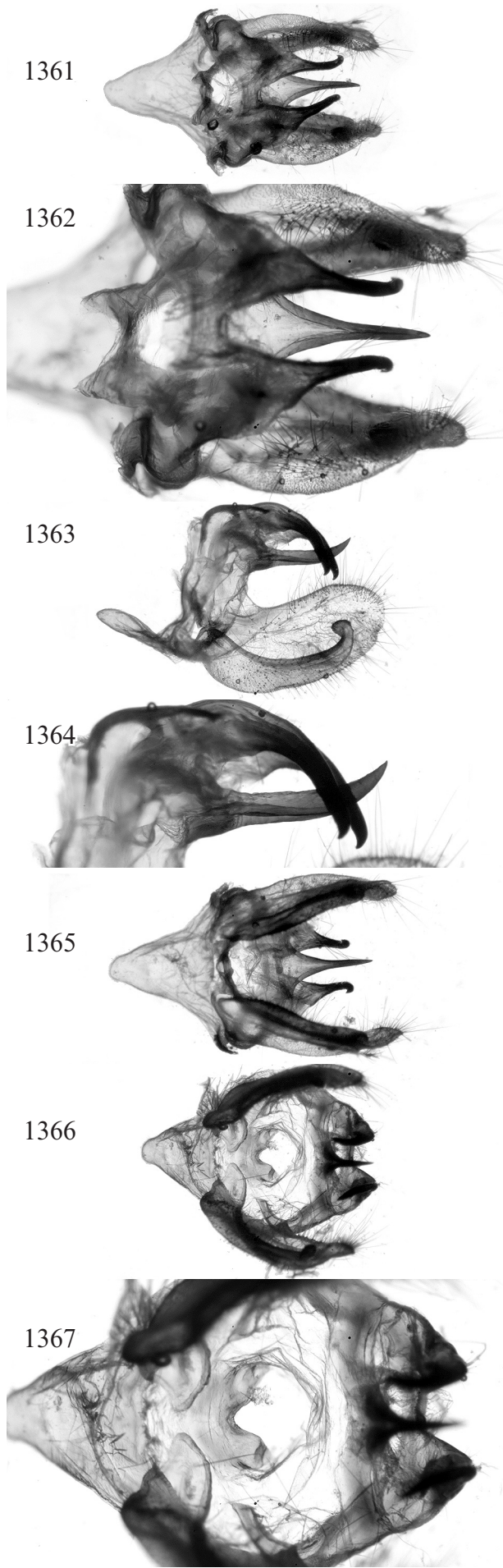


Abb. 1361-1374: *Neoclanis ukambaniensis spec. nov.*, PT, GP 6036 ♂ (Spannweite: 7,91 cm), Kenya] Süd-Ukambani, 28.5.-1.6.1995, leg. Dr. POLITZAR. ZSM. Vergrößerung: 6 x: Abb. 1361, 1363, 1365, 1366, 1369; 12 x: Abb. 1362, 1364, 1367, 1368, 1370-1374.

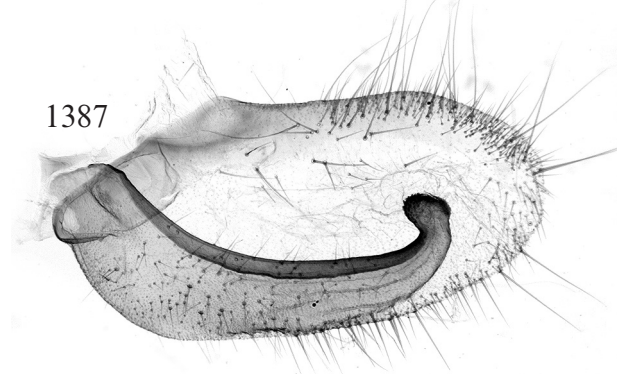
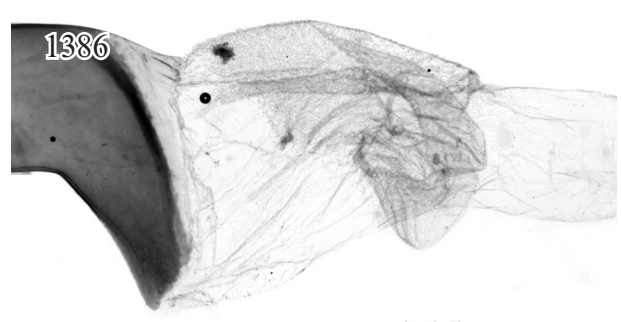
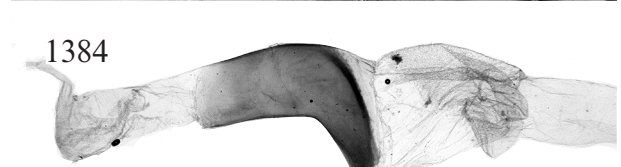
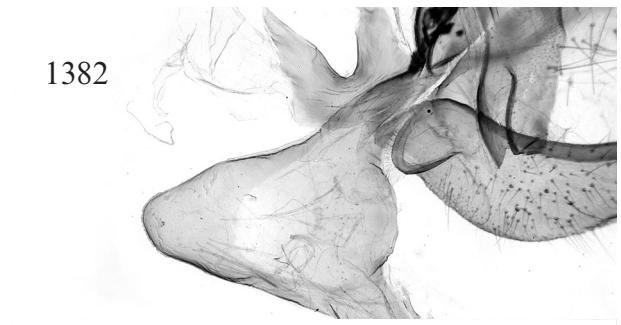
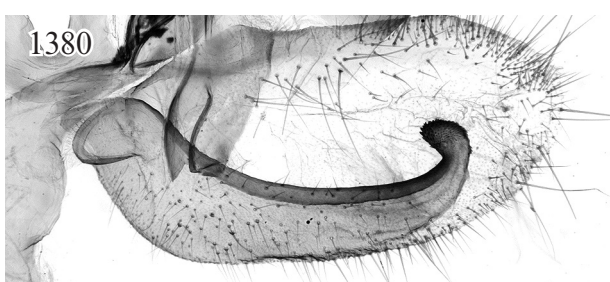
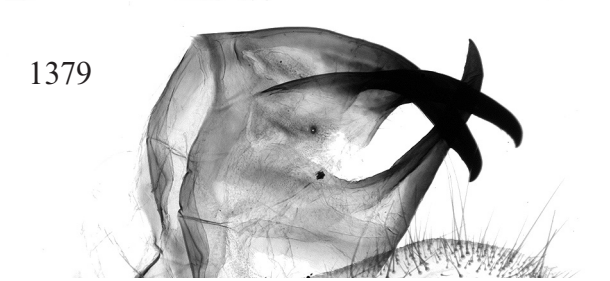
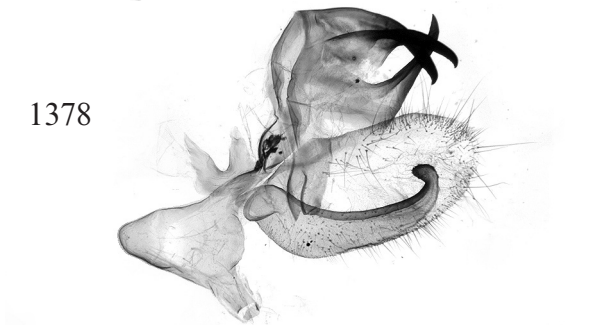
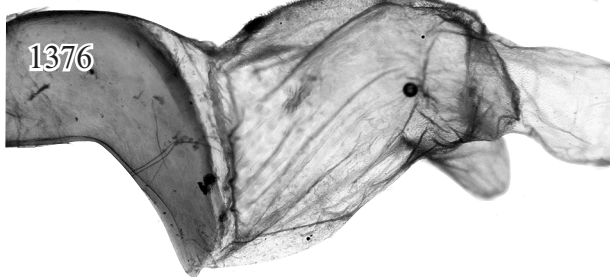


Abb. 1375-1387: *Neoclanis ukambaniensis* spec. nov., PT, GP 6036 ♂ (Spannweite: 7,91 cm), [Kenya] Süd-Ukambani, 28.5.-1.6.1995, leg. Dr. POLITZAR. ZSM. Vergrößerung: 6 x: Abb. 1375, 1378, 1384; 12 x: Abb. 1376, 1377, 1379, 1380, 1382, 1385-1387; 25 x: Abb. 1383; 50 x: Abb. 1381.

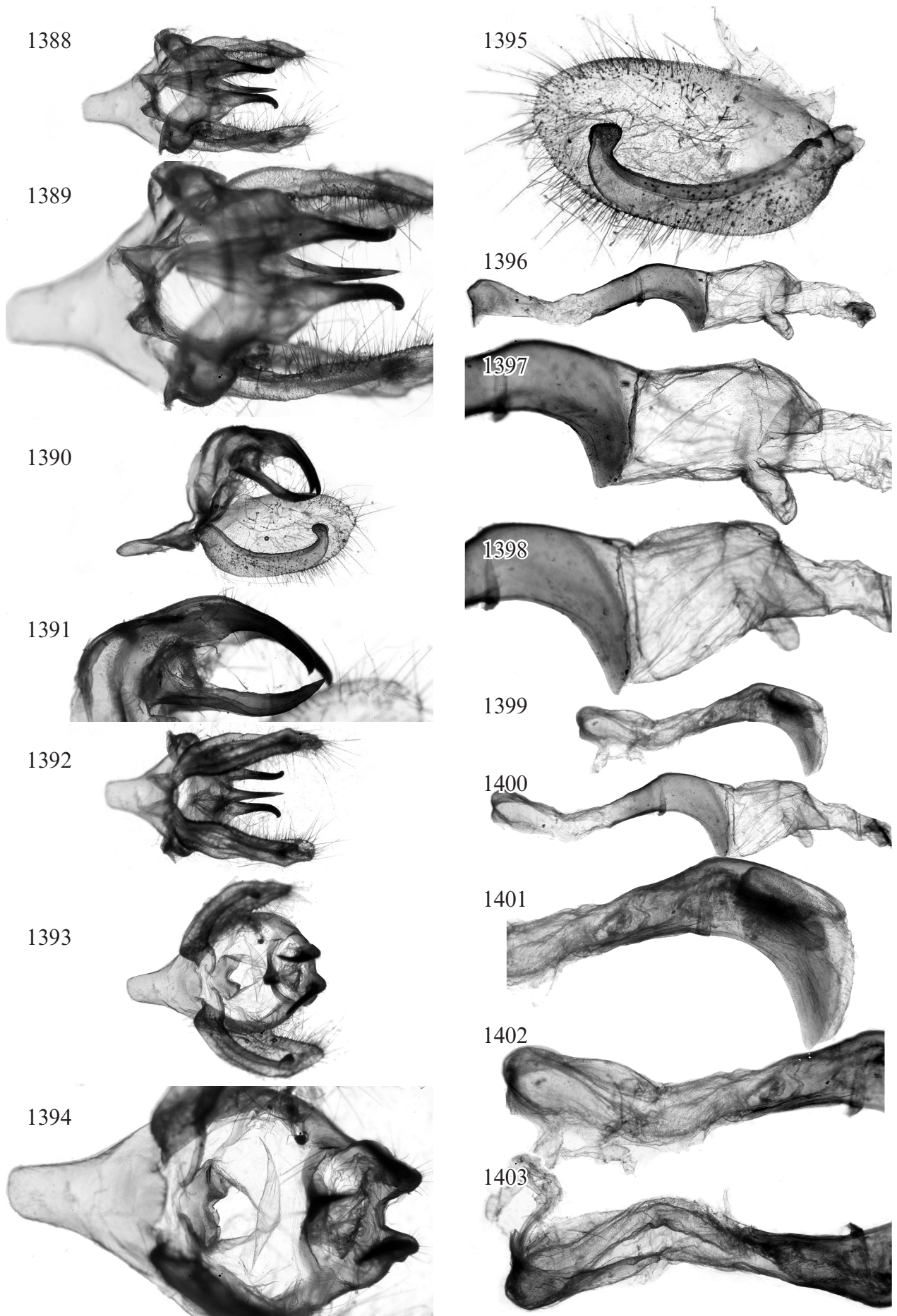


Abb. 1388-1403: *Neoclanis ukambaniensis* spec. nov., HT, GP 6037 ♂ (Spannweite: 7,91 cm), [Kenya] Süd-Ukambani, 28.5.-1.6.1995, leg. Dr. POLITZAR. ZSM. Vergrößerung: 6 x: Abb. 1388, 1390, 1392, 1393, 1396, 1399, 1400; 12 x: Abb. 1389, 1391, 1394, 1395, 1397, 1398, 1401-1403.

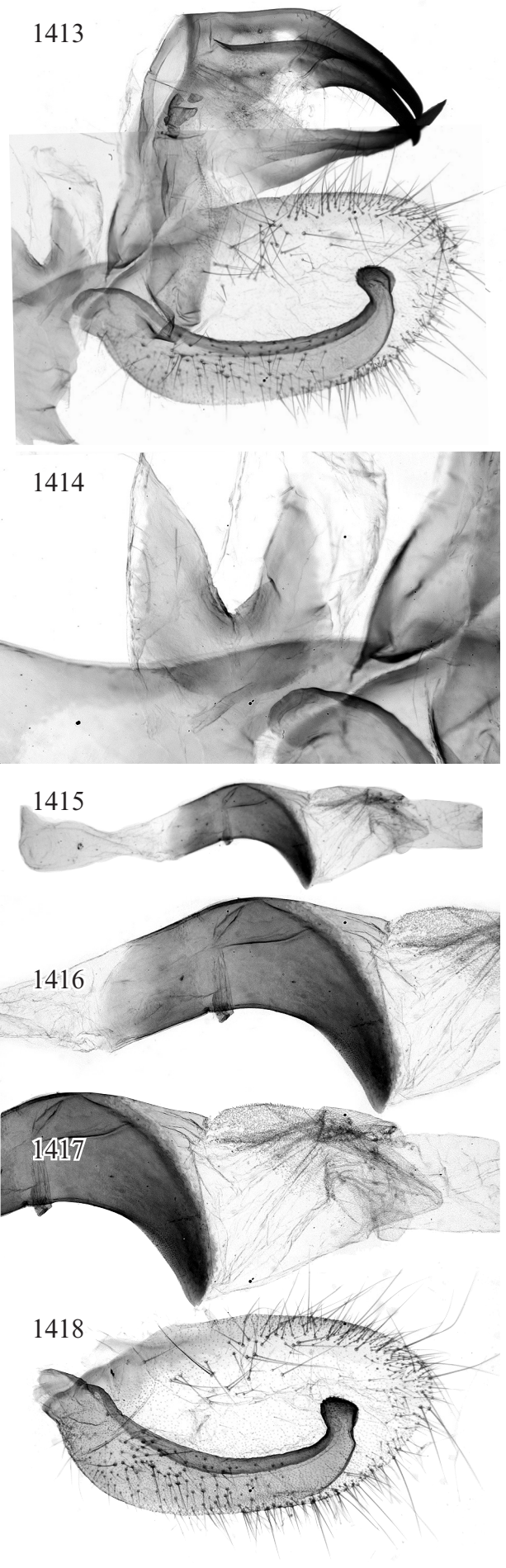
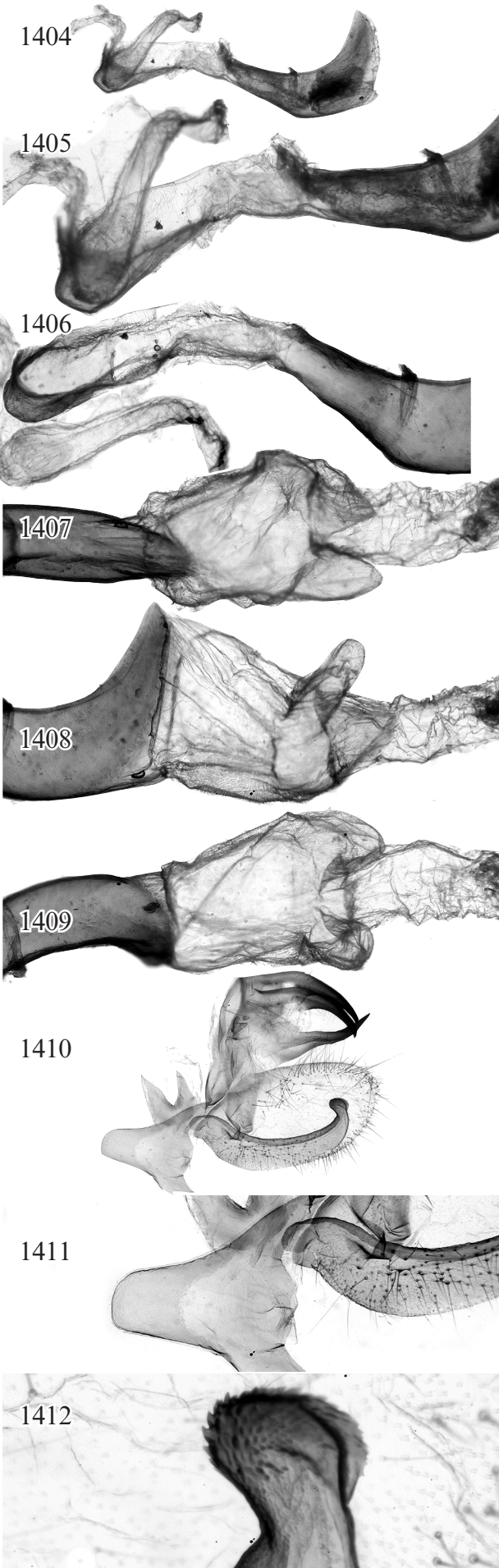


Abb. 1404-1418: *Neoclanis ukambaniensis* spec. nov., HT, GP 6037 ♂ (Spannweite: 7,91 cm), [Kenya] Süd-Ukambani, 28.5.-1.6.1995, leg. Dr. POLITZAR. ZSM. Vergrößerung: 6 x: Abb. 1404, 1410, 1415; 12 x: Abb. 1405-1409, 1411, 1413, 1416-1418; 25 x: Abb. 1414; 50 x: Abb. 1412.

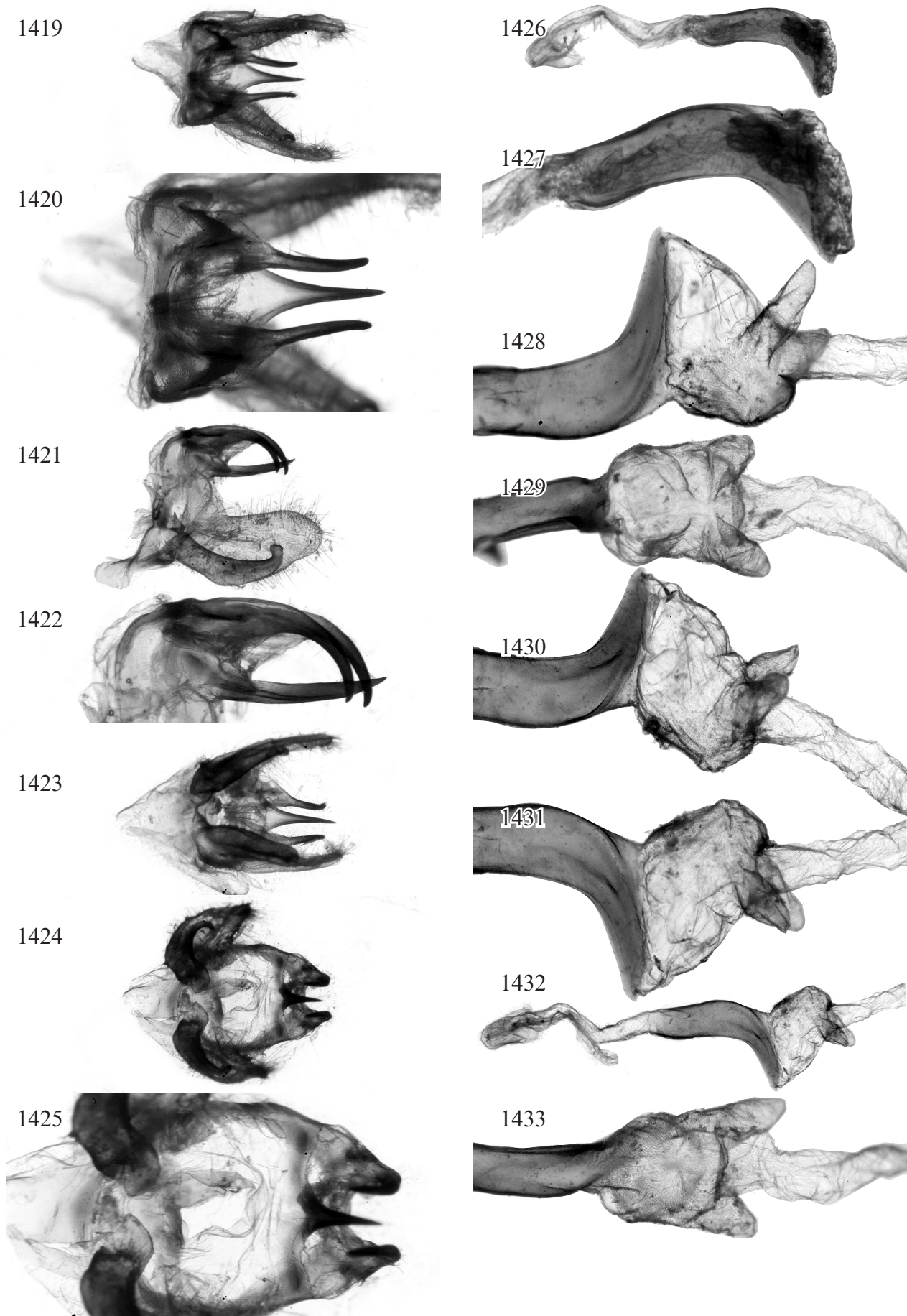
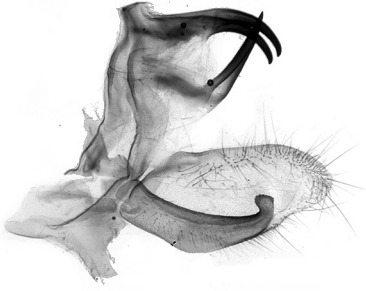
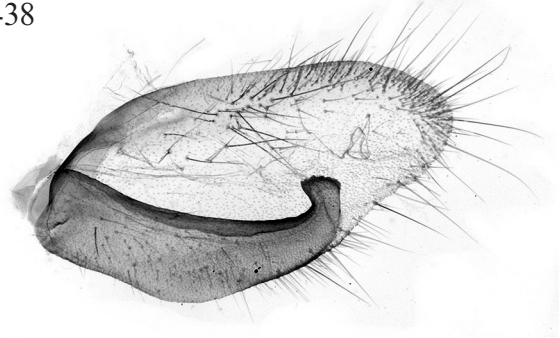


Abb. 1419-1433: *Neoclanis witti* spec. nov., HT, GP 6028 ♂ (Spannweite: 6,79 cm), Kenya, South Coast, Nareache Forest, 13.9.[19]96, leg.: POLITZAR. ZSM. Vergrößerung: 6 x: Abb. 1419, 1421, 1423, 1424, 1426, 1432; 12 x: Abb. 1420, 1422, 1425, 1427-1431, 1433.

1434



1438



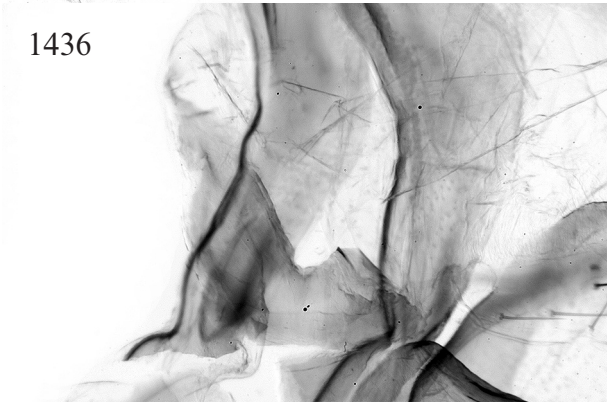
1435



1439



1436



1440



1437



1441

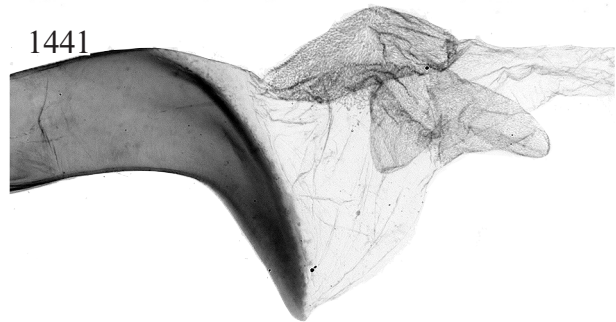
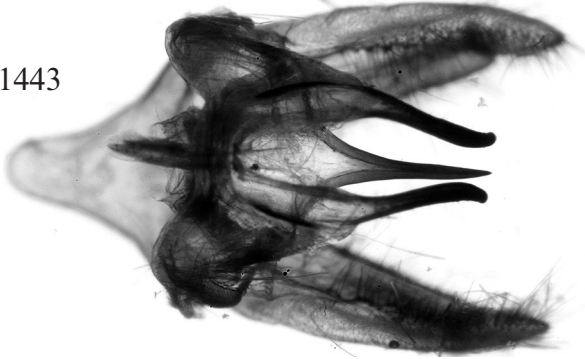


Abb. 1434-1441: *Neoclanis witti* spec. nov., HT, GP 6028 ♂ (Spannweite: 6,79 cm), Kenya, South Coast, Nareache Forest, 13.9.[19]96, leg.: POLITZAR. ZSM. Vergrößerung: 6 x: Abb. 1434, 1439; 12 x: Abb. 1435, 1438, 1440, 1441; 25 x: Abb. 1436; 50 x: Abb. 1437.

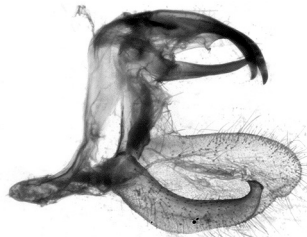
1442



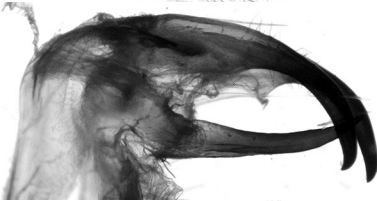
1443



1444



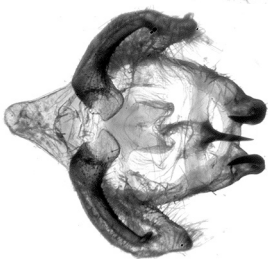
1445



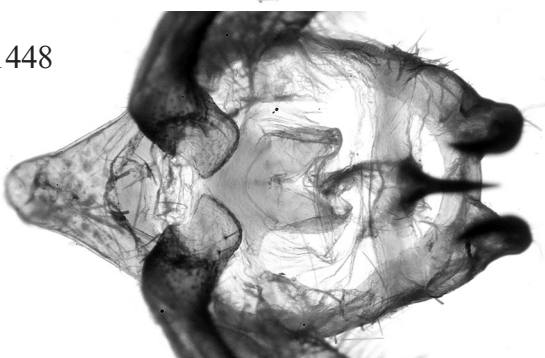
1446



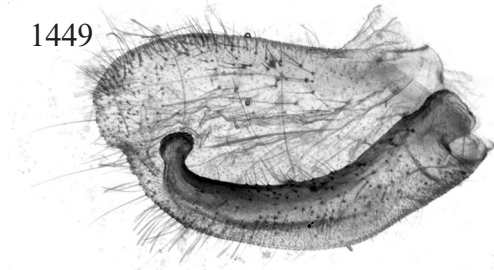
1447



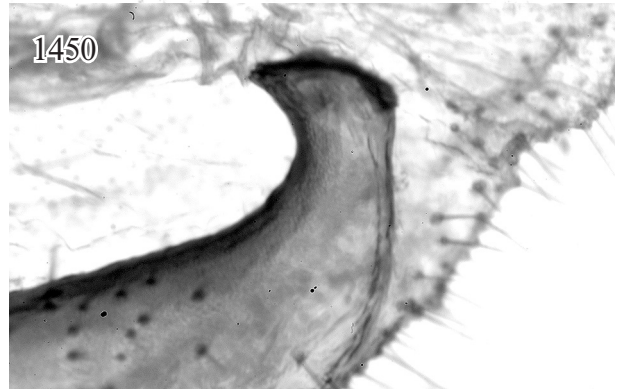
1448



1449



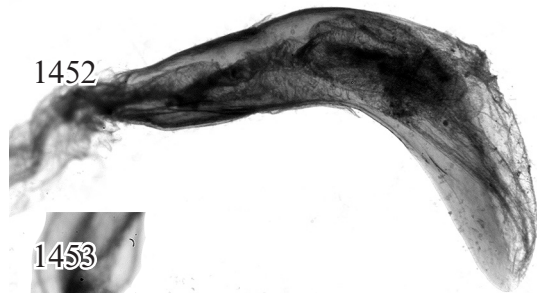
1450



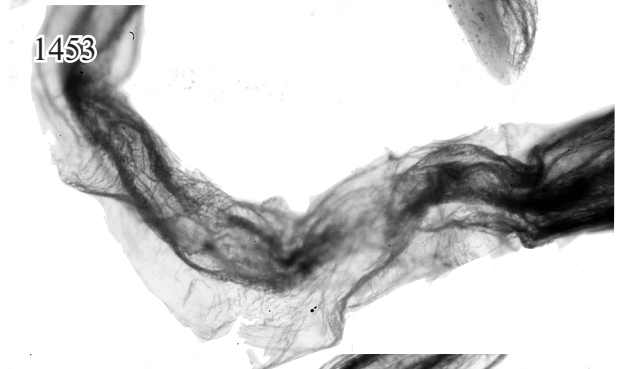
1451



1452



1453



1454

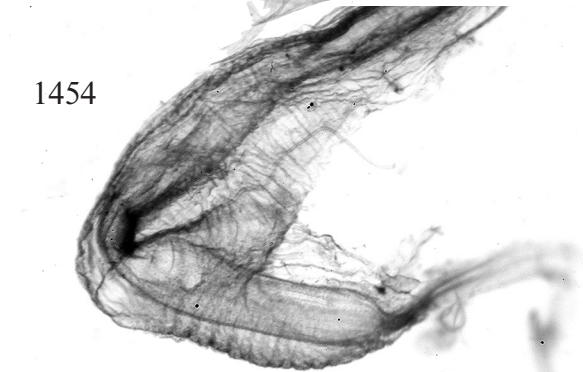


Abb. 1442-1454: *Neoclanis witti* spec. nov., PT, GP 6029 ♂ (Spannweite: 6,63 cm), Kenya, South Coast, Nareache Forest, 13.9.[19]96, leg.: POLITZAR. ZSM. Vergrößerung: 6 x: Abb. 1442, 1444, 1446, 1447, 1451; 12 x: Abb. 1443, 1445, 1448, 1449, 1452; 25 x: Abb. 1453, 1454; 50 x: Abb. 1450.

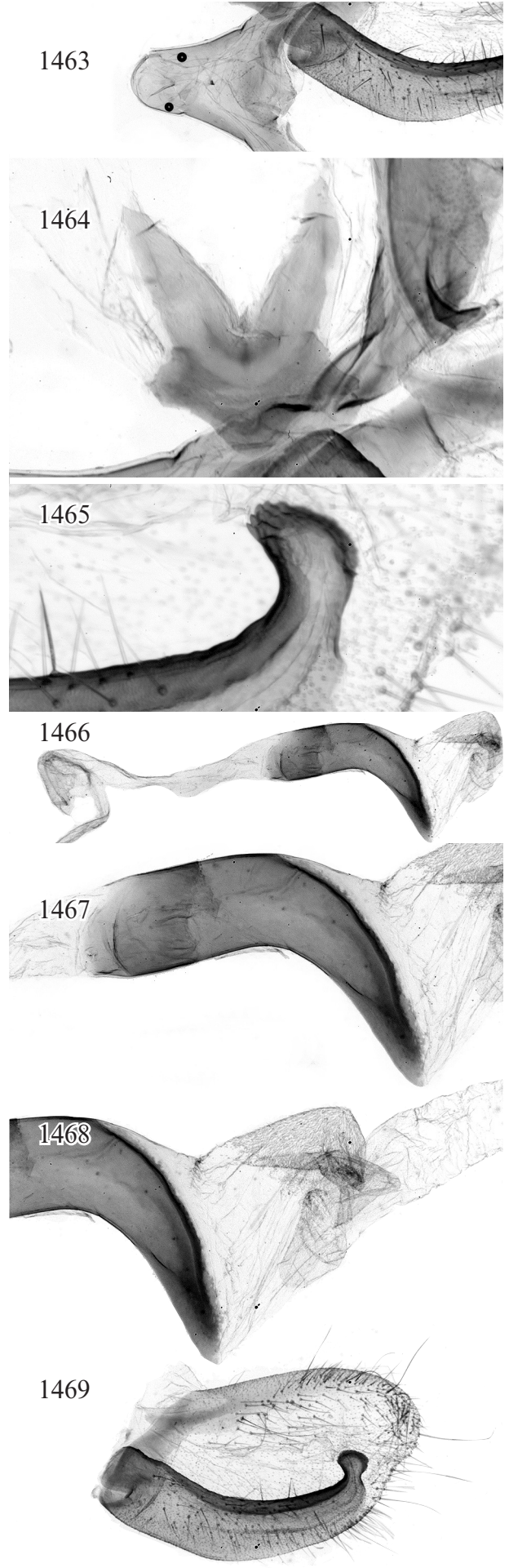
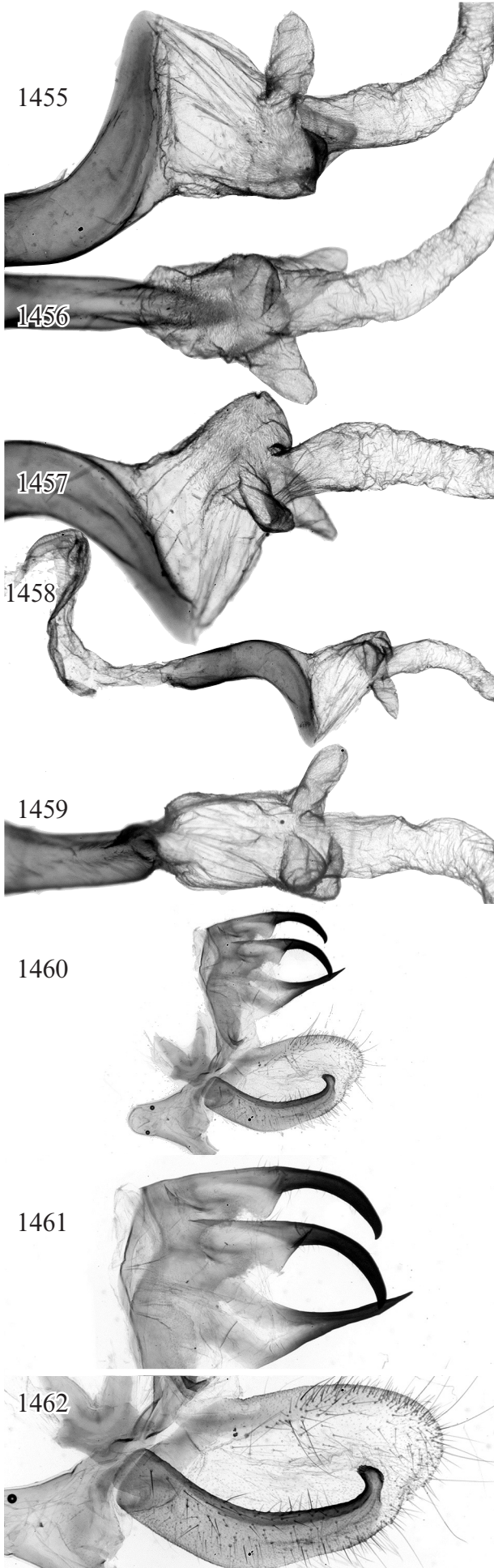


Abb. 1455-1469: *Neoclanis witti* spec. nov., PT, GP 6029 ♂ (Spannweite: 6,63 cm), Kenya, South Coast, Nareache Forest, 13.9.[19]96, leg.: POLITZAR. ZSM. Vergrößerung: 6 x: Abb. 1460, 1466; 12 x: Abb. 1455-1457, 1459, 1461-1463, 1467-1469; 25 x: Abb. 1464; 50 x: Abb. 1465.

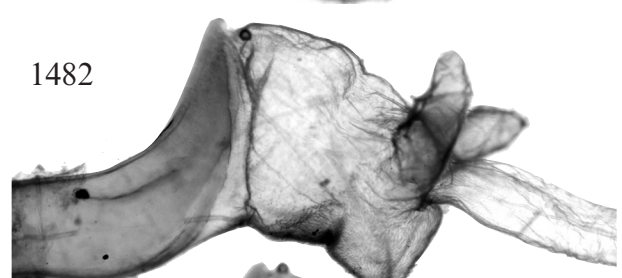
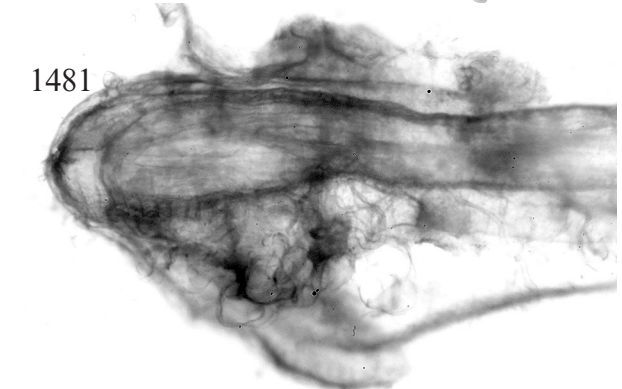
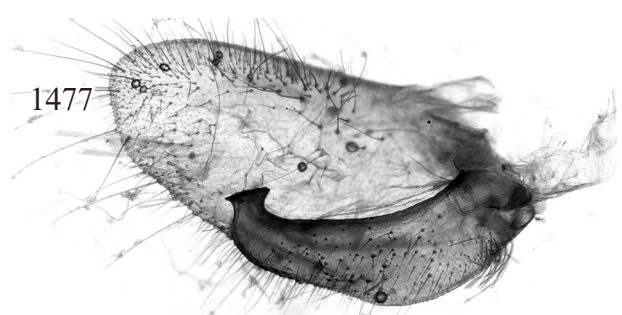
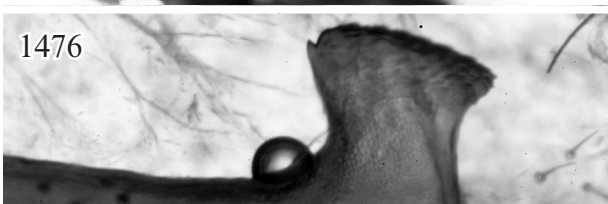
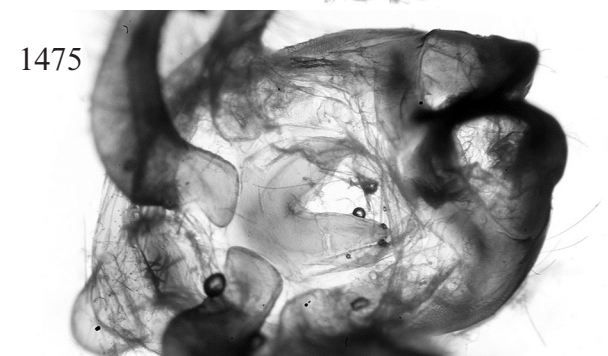
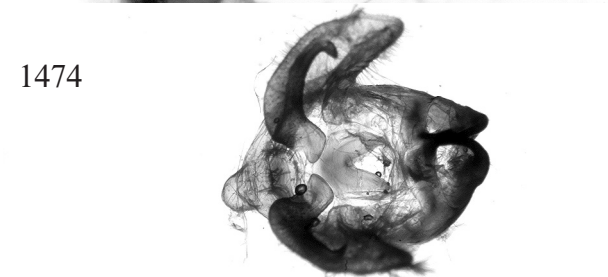
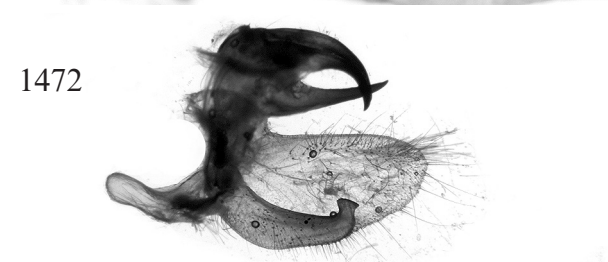
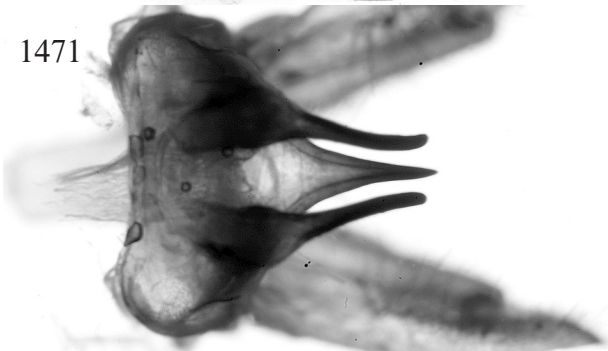
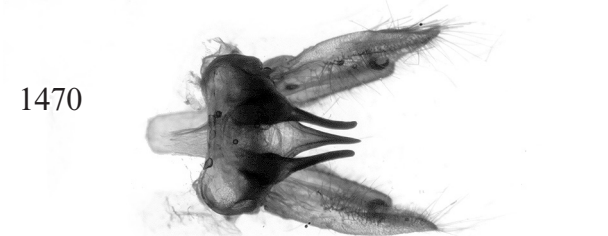
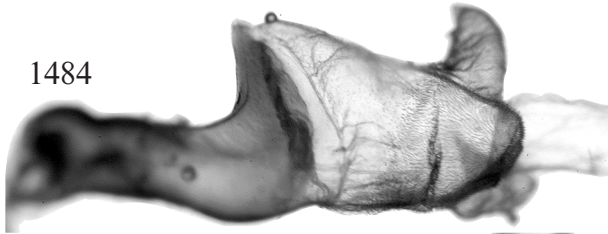
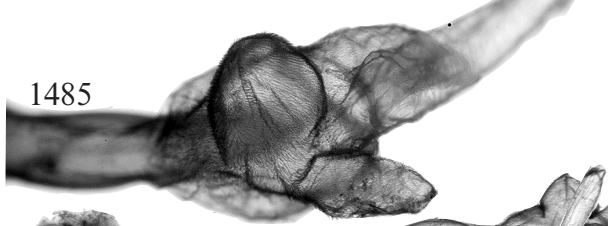


Abb. 1470-1483: *Neoclanis witti* spec. nov., PT, GP 6030 ♂ (Spannweite: 7,63 cm), Kenya, South Coast, Nareache Forest, 27.10. [20]00, leg.: POLITZAR. ZSM. Vergrößerung: 6 x: Abb. 1470, 1472, 1474, 1479; 12 x: Abb. 1471, 1473, 14745, 1477, 1480, 1482, 1483; 25 x: Abb. 1481; 50 x: Abb. 1476, 1478.



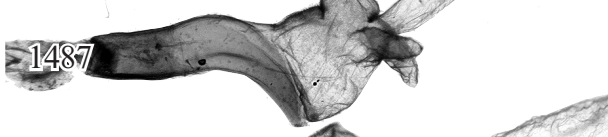
1484



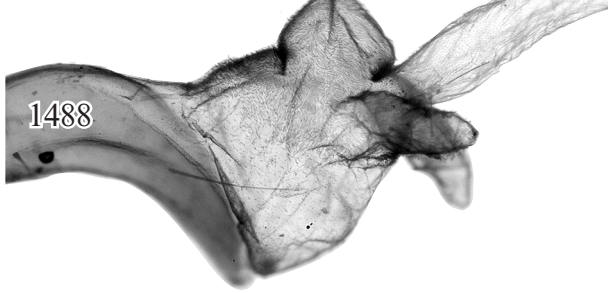
1485



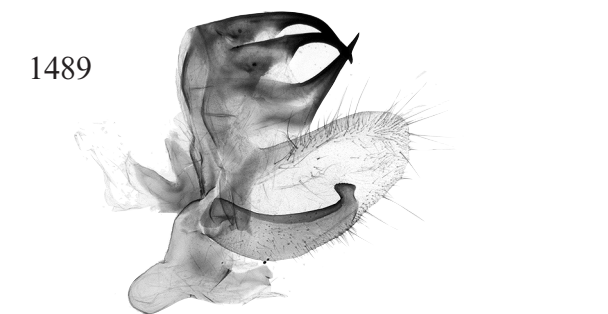
1486



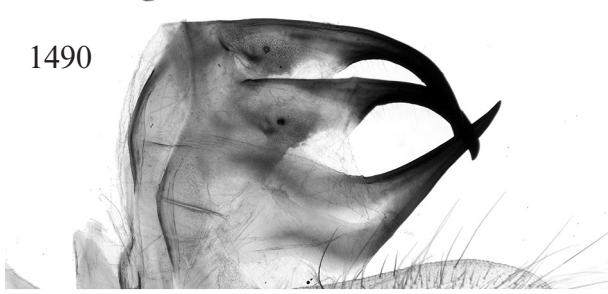
1487



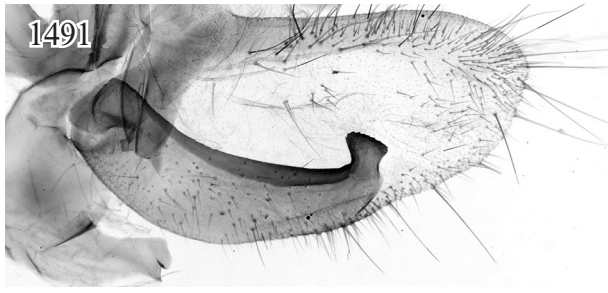
1488



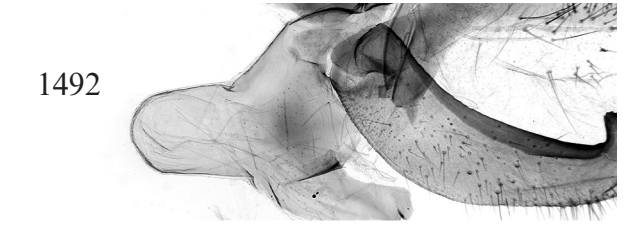
1489



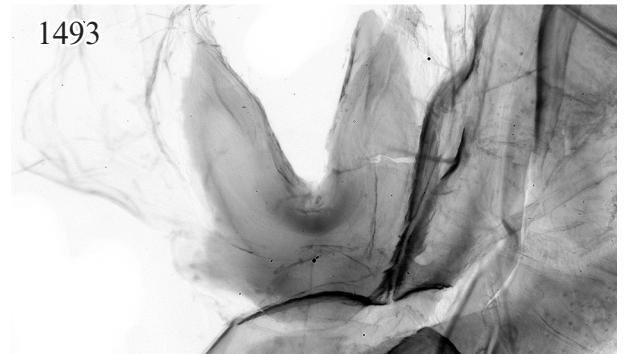
1490



1491



1492



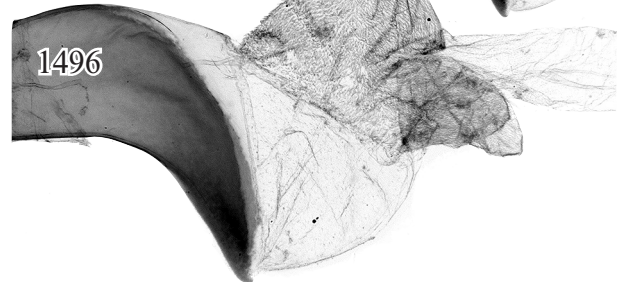
1493



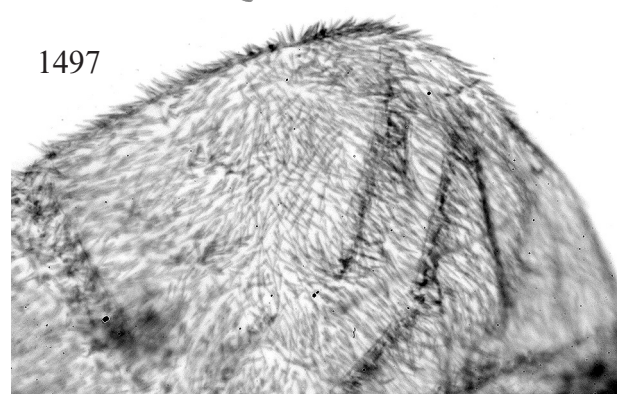
1494



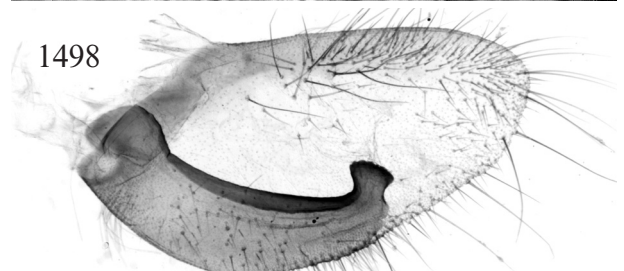
1495



1496



1497



1498

Abb. 1484-1498: *Neoclanis witti* spec. nov., PT, GP 6030 ♂ (Spannweite: 7,63 cm), Kenya, South Coast, Nareache Forest, 27.10. [20]00, leg.: POLITZAR. ZSM. Vergrößerung: 6 x: Abb. 1486, 1489, 1495; 12 x: Abb. 1484, 1485, 1488, 1490-1492, 1496, 1498; 25 x: Abb. 1493, 1497; 50 x: Abb. 1494.

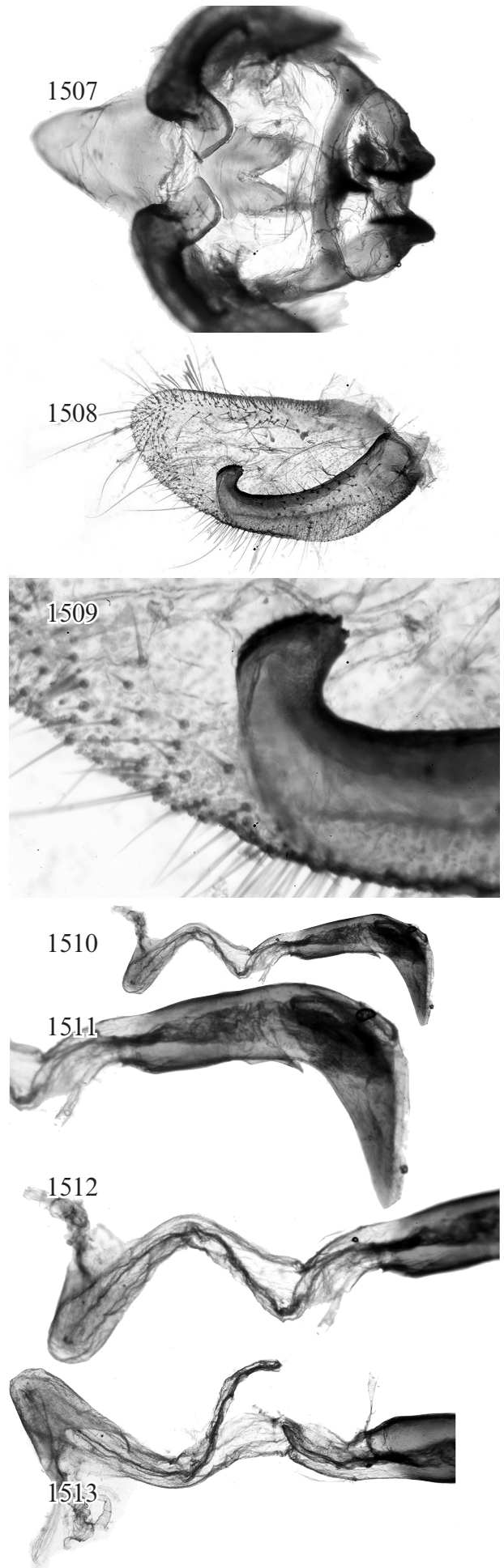
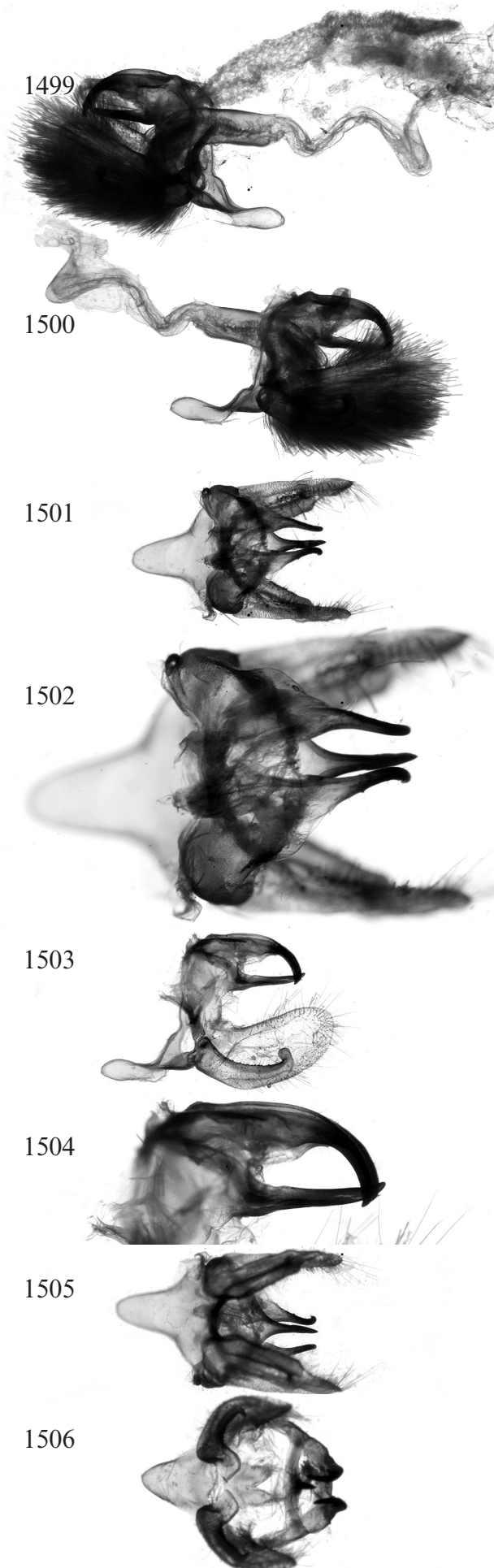


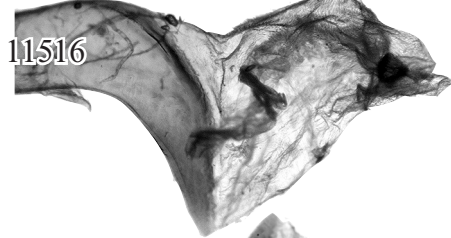
Abb. 1499-1513: *Neoclanis kuchleri* spec. nov., HT, GP 6041 ♂ (Spannweite: 6,56 cm), Kenya, Südküste, Marenje Forest, 14.2.[19]95, leg.: POLITZAR. ZSM. Vergrößerung: 6 x: Abb. 1499-1501, 1503-1506, 1510; 12 x: Abb. 1502, 1507, 1511-1513; 50 x: Abb. 1509.



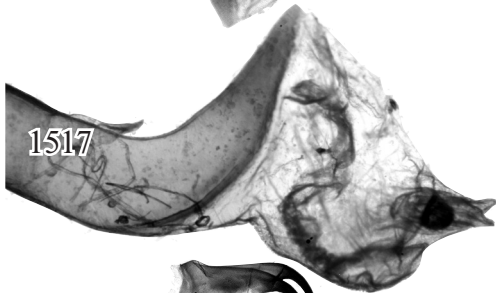
1514



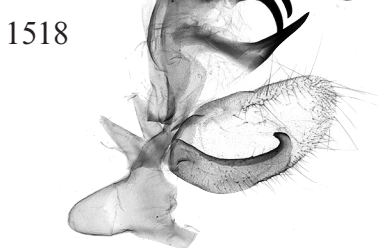
1515



1516



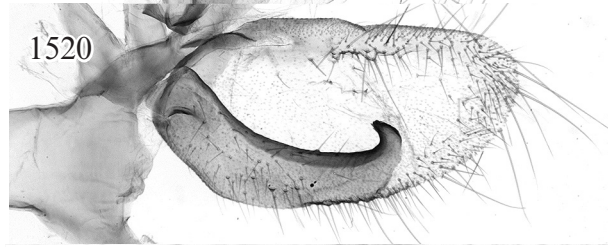
1517



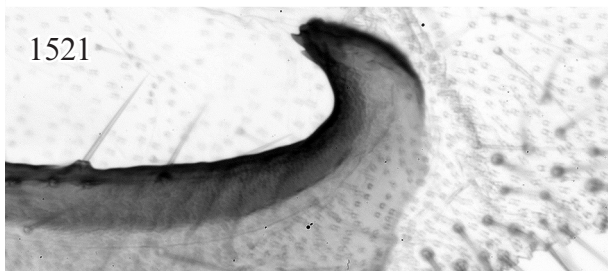
1518



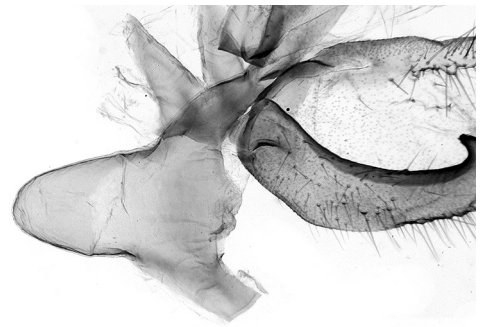
1519



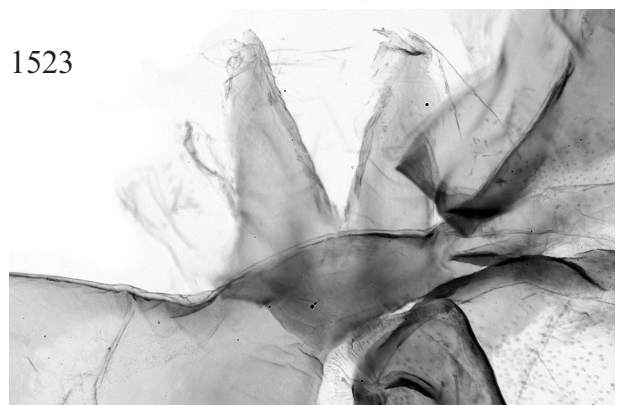
1520



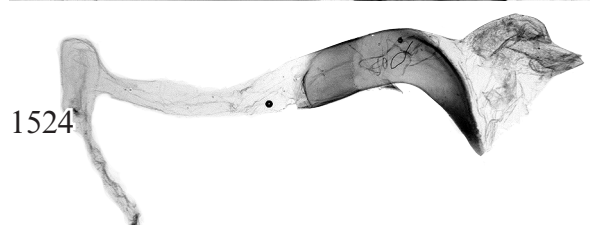
1521



1522



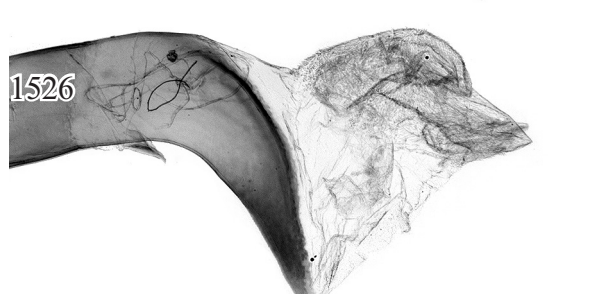
1523



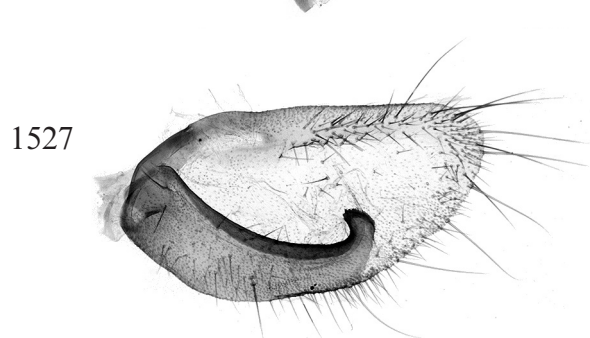
1524



1525



1526



1527

Abb. 1514-1527: *Neoclanis kuchleri* spec. nov., HT, GP 6041 ♂ (Spannweite: 6,56 cm), Kenya, Südküste, Marenje Forest, 14.2.[19]95, leg.: POLITZAR. ZSM. Vergrößerung: 6 x: Abb. 1515, 1518, 1524; 12 x: Abb. 1514, 1516, 1517, 1519, 1520, 1522, 1525-1527; 25 x: Abb. 1523; 50 x: Abb. 1521.

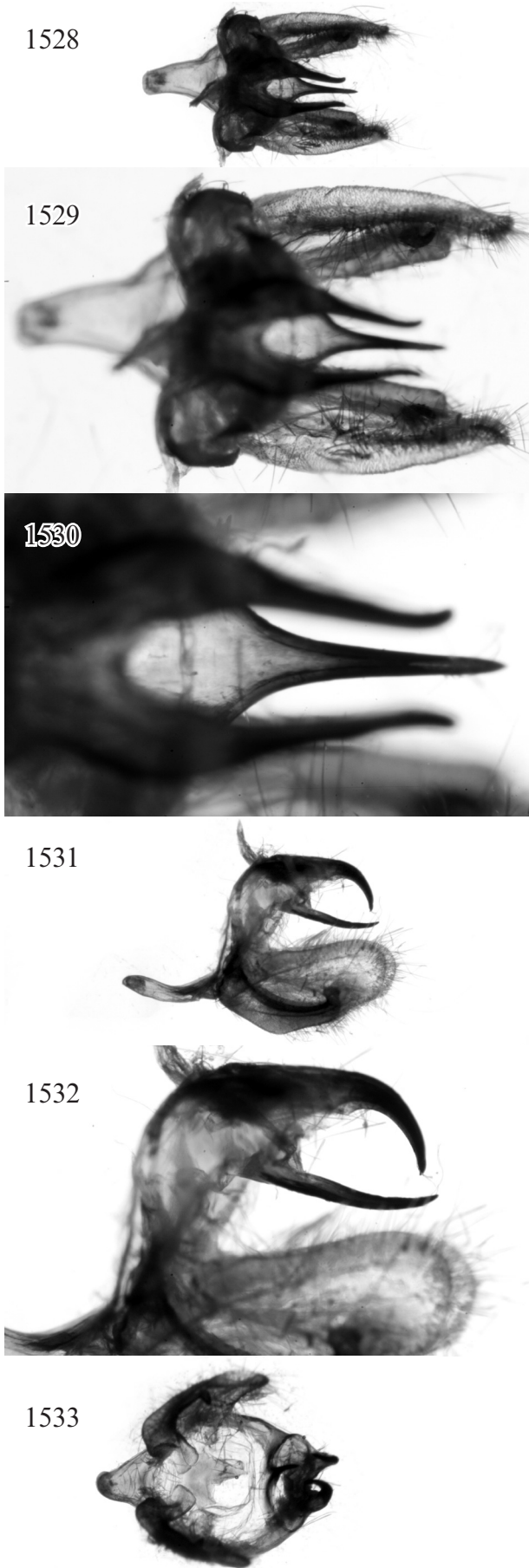


Abb. 1528-1540: *Neoclanis raymurphyi* spec. nov., HT, GP 5975 ♂ (Spannweite: 6,54 cm), /Mwabvgame Reserve, Nsanje Dest., S. Malawi, 135 m, 16°39'S 35°E, 29-30 DEZ [20]15, R. J. MURPHY/EMEM, Ent. Museum Eitschberger, Marktleuthen, 22.IV.2016/. EMEM. Vergrößerung: 6 x: Abb. 1528, 1531, 1533-1535, 1537, 1540; 12 x: Abb. 1529, 1532, 1536, 1538, 1539; 25 x: Abb. 1530.

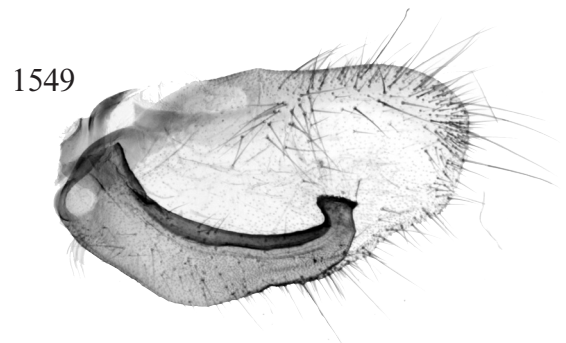
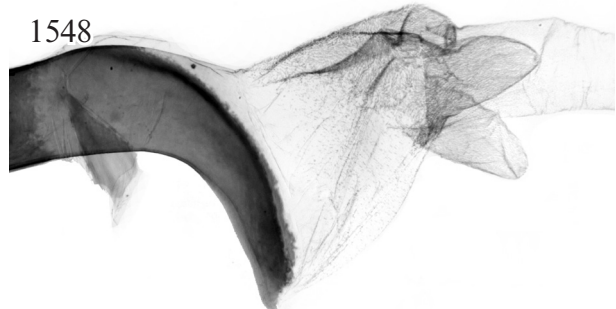
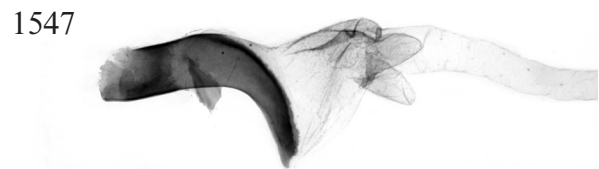
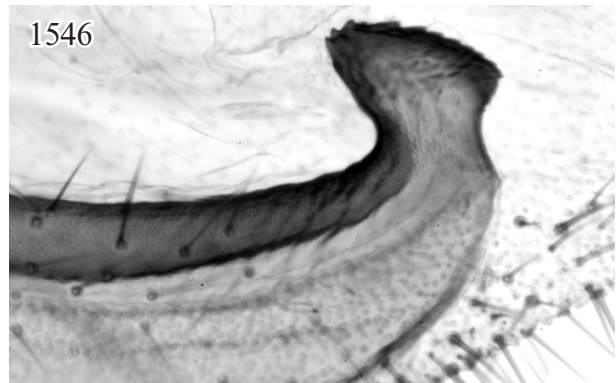


Abb. 1541-1549: *Neoclanis raymurphyi* spec. nov., HT, GP 5975 ♂ (Spannweite: 6,54 cm), /Mwabvige Reserve, Nsanje Dest., S. Malawi, 135 m, 16°39'S 35°E, 29-30 DEZ [20]15, R. J. MURPHY/EMEM, Ent. Museum Eitschberger, Marktleuthen, 22.IV.2016/. EMEM. Vergrößerung: 6 x: Abb. 1541, 1543, 1547; 12 x: Abb. 1542, 1544, 1545, 1548, 1549; 50 x: Abb. 1546.

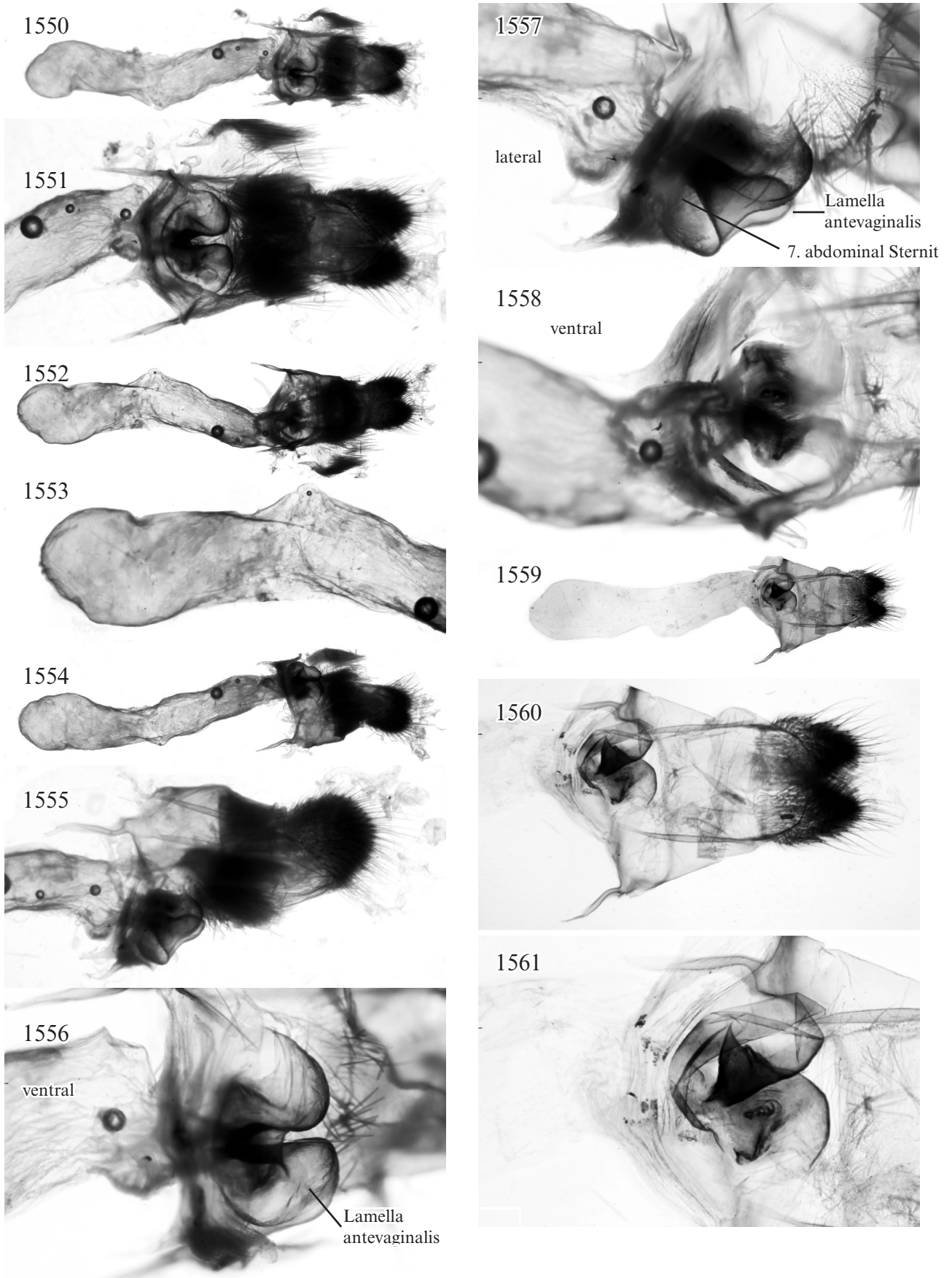


Abb. 1550-151: *Neoclanis schreieri* spec. nov., AT, GP 5984♀ (Spannweite: 8,56 cm), ♂, Botswana, Chobe Distr., 17°49'S, 25°13'E, SSE Kasane, 2 km W Leshoma, Kasane Forest Res., 1000 m, 24.II.2006, Li/LiFa, leg. H. HACKER, H.-P. SCHREIER//ex coll. HACKER & SCHREIER in EMEM, 16.I.2017, Entomol. Museum Eitschberger, Marktleuthen/. EMEM. Vergrößerung: <6 x: Abb. 1550, 1552, 1554, 1559; 6 x: Abb. 1551, 1553, 1555, 1560; 12 x: Abb. 1556-1558, 1561.

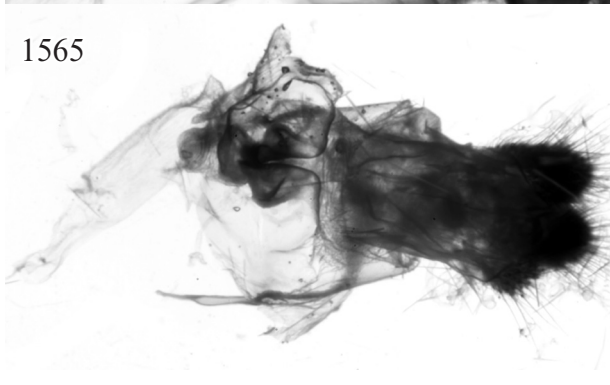
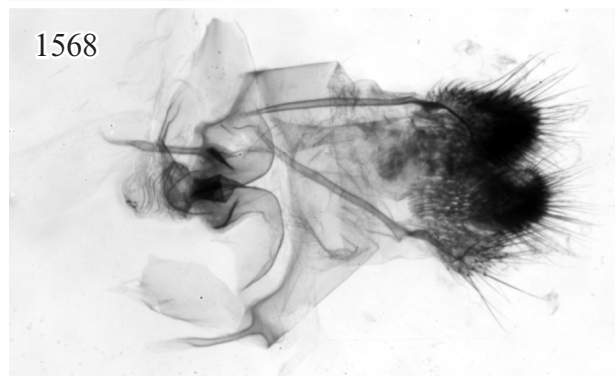
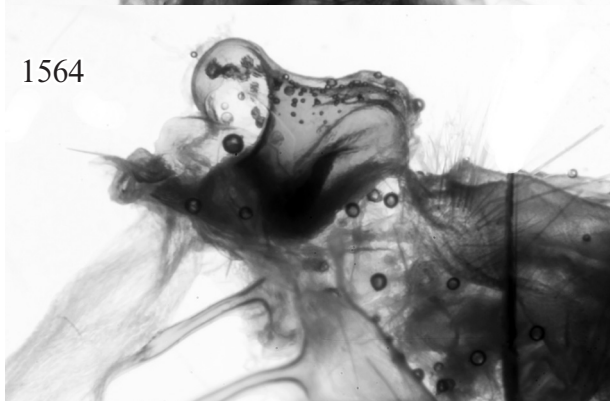
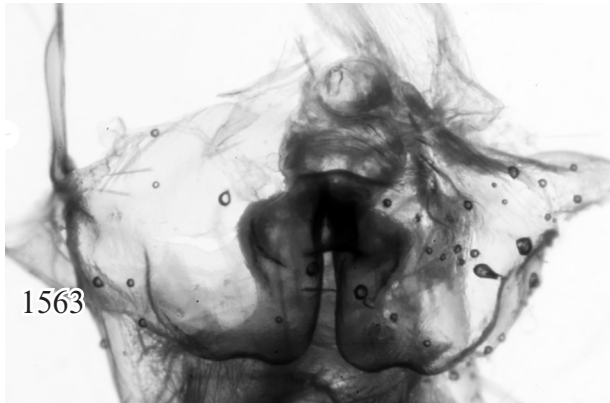
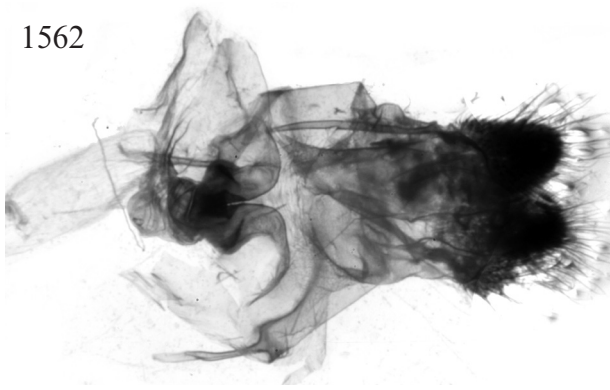


Abb.1562-1569: *Neoclanis nicolae* spec. nov., AT, GP 5988 ♀ (Spannweite: 9,22 cm), Tansanie, Iringa region, Udzungwa National Park, Camp 2, 400 m, 15.-31.I.2005, PHILIPPE DARGE leg., EMEM, 16.X.2017. EMEM. Vergrößerung: 6 x: Abb. 1562, 1565, 1568; 12 x: Abb. 1563, 1564, 1566, 1567, 1569.

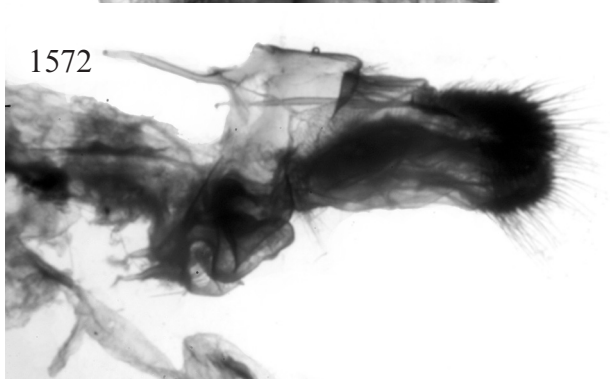
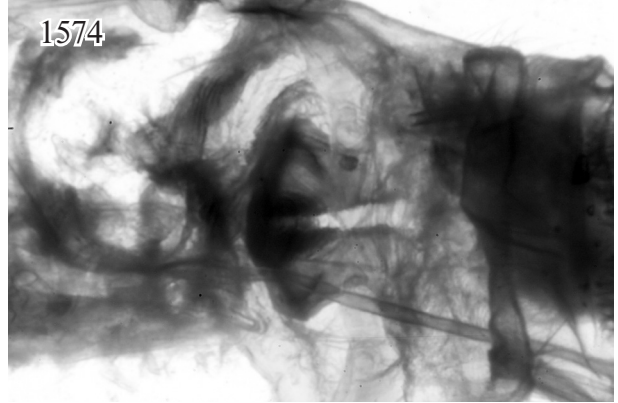
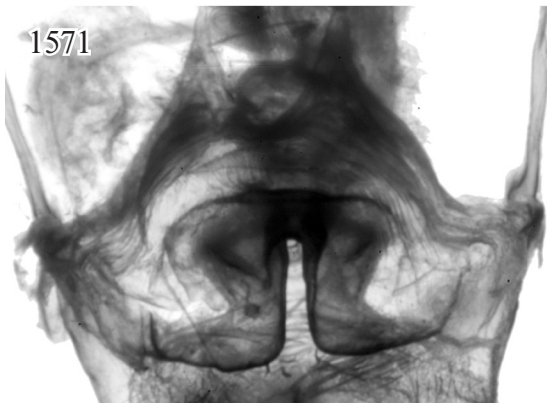
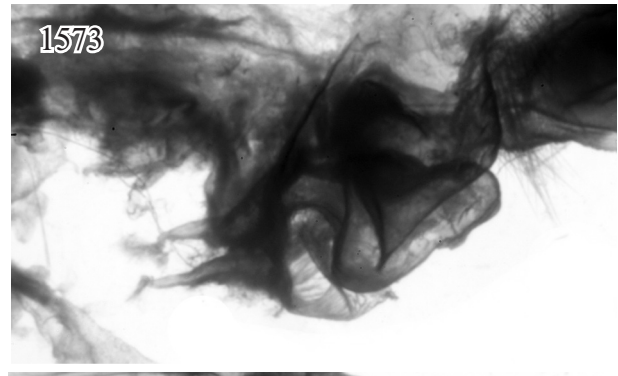
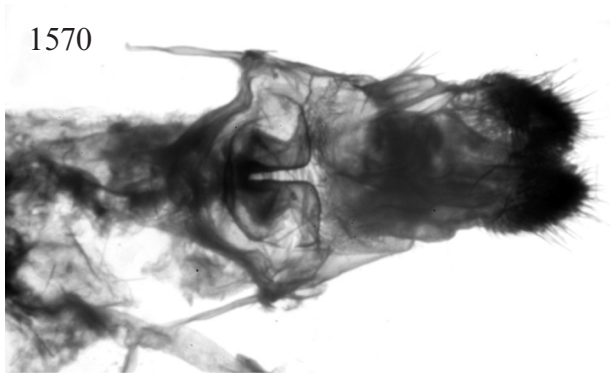


Abb. 1570-1576: *Neoclanis michali* spec. nov., HT, GP 5989 ♀ (Spannweite: 9,42 cm), Tanganjika, Lindi, Ndanda, 300 m, 8.XII.1958, leg. Ch. Lindemann, Staatsslg. München. ZSM. Vergrößerung: <6 x: Abb. 1575, 1576; 6 x: Abb. 1570, 1572; 12 x: Abb. 1571, 1573, 1574.

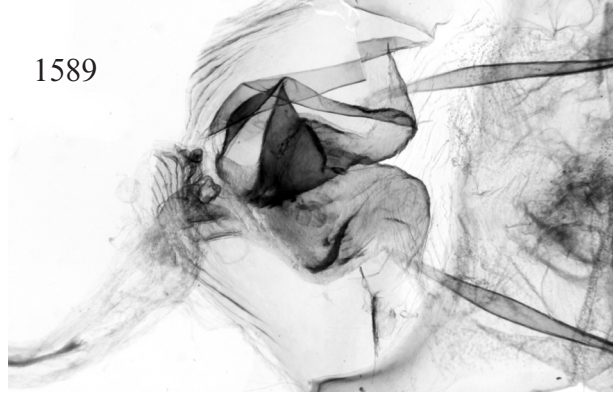
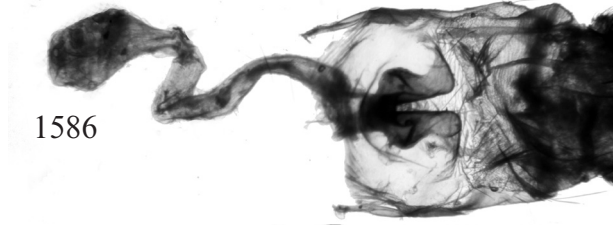
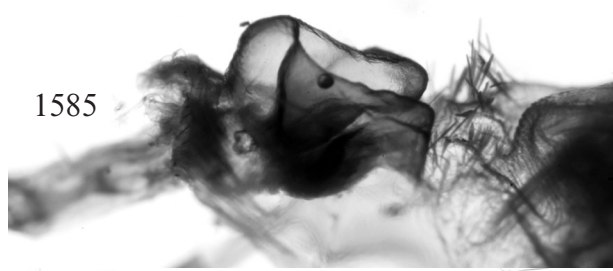
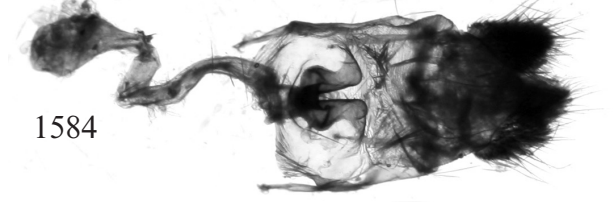
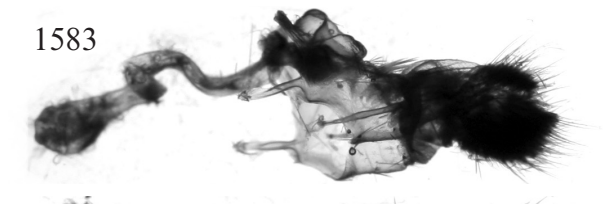
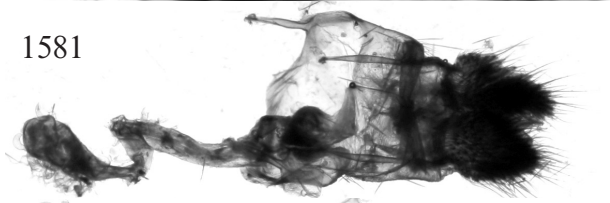
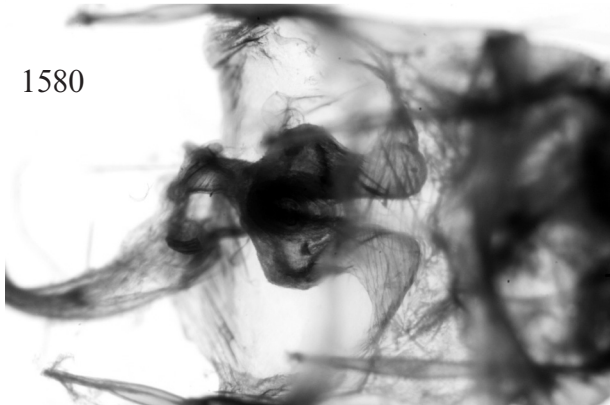
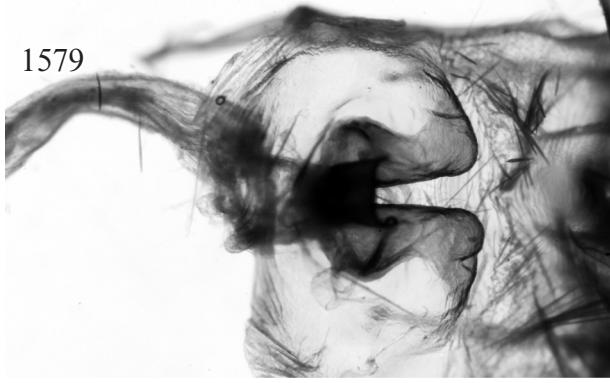
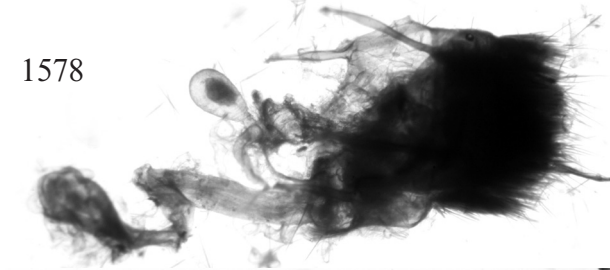
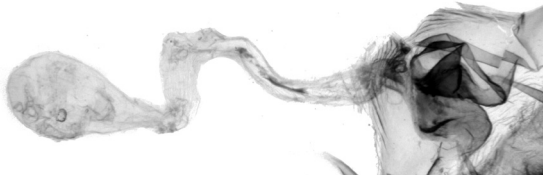


Abb. 1577-1589: *Neoclanis murzini* spec. nov., HT, GP 6001 ♀ (Spannweite: 6,83 cm), /Botswana, 10 km S Ghanzi, 1080 m, 21.810369S, 21.609318E, 21-23.XII.2012, S. MURZIN leg. //ex col. SERGEI MURZIN in EMEM, 5.III.2013, Entomol. Museum Eitschberger, Marktleuthen/. EMEM. (56 entwickelte Eier aus dem Abdomen präpariert.)

1590



1591

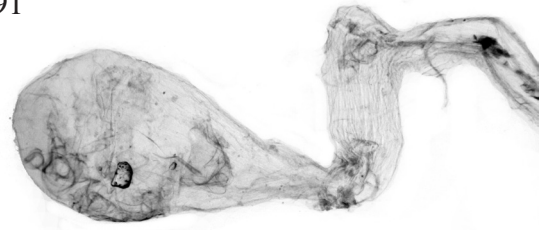
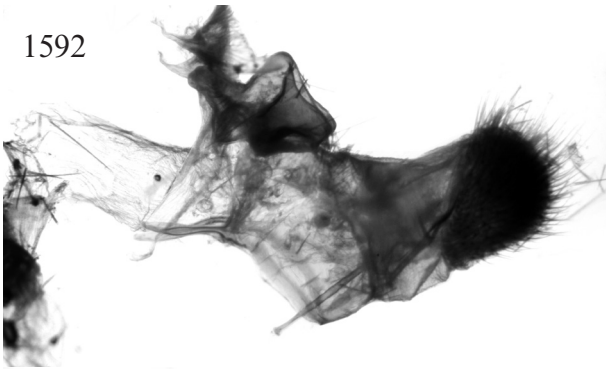
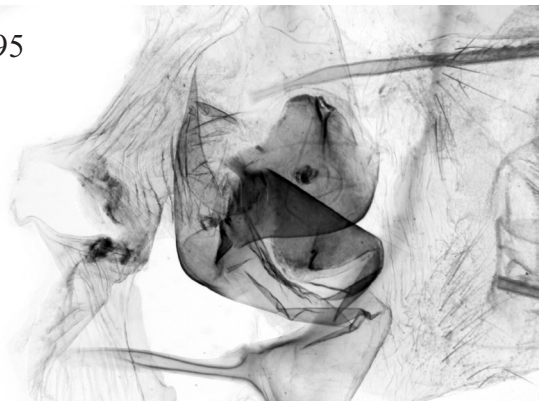


Abb. 1590, 1591: *Neoclanis murzini* spec. nov., HT, GP 6001 ♀ (Spannweite: 6,83 cm), /Botswana, 10 km S Ghanzi, 1080 m, 21.810369S, 21.609318E, 21-23.XII.2012, S. MURZIN leg.//ex col. Sergei Murzin in EMEM, 5.III.2013, Entomol. Museum Eitschberger, Marktleuthen/. EMEM. (56 entwickelte Eier aus dem Abdomen präpariert.) Vergrößerung: <6 x: Abb. 1577, 1578, 1581, 1581-1584, 1586, 1587; 6 x: Abb. 1588; 12 x: Abb. 1579, 1580, 1585, 1589.

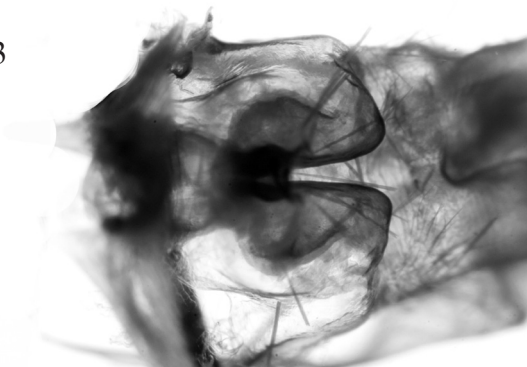
1592



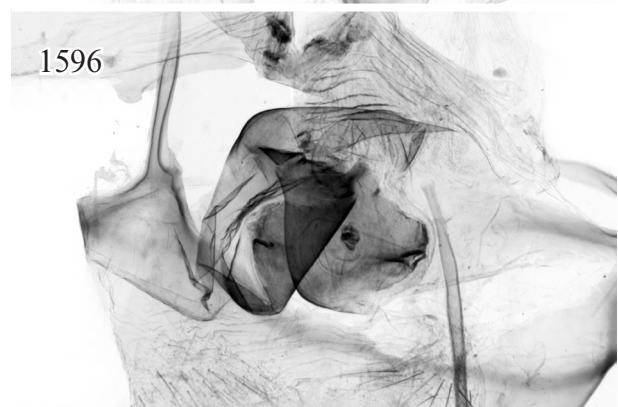
1595



1593



1596



1594



1597



Abb. 1592-1597: *Neoclanis kingstoni* spec. nov., AT, GP 6005 ♀ (Spannweite: 8,03 cm), /Tanzanie: Lindi Region, Mtokokuyana, 362 m, 10°23.038'S., 038°53.775'E., 22-XII-2009, (PH. DARGE)//ex coll. PHILIPPE DARGE in EMEM, 16.X.2017, Entomolog. Museum Eitschberger, Marktleuthen/. EMEM. Vergrößerung: <6 x: Abb. 1597; 6 x: Abb. 1592, 1594; 12 x: Abb. 1593, 1595, 1596.

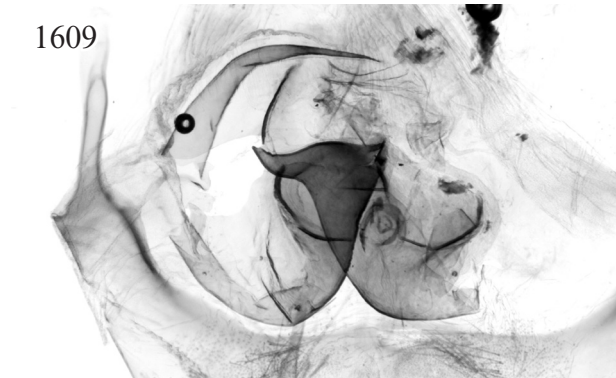
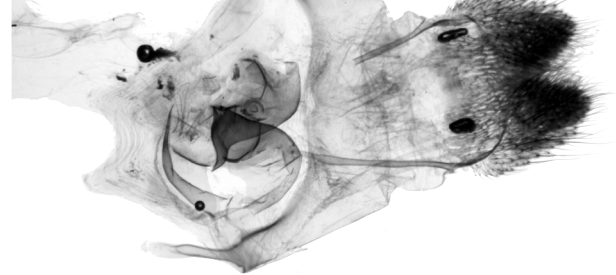
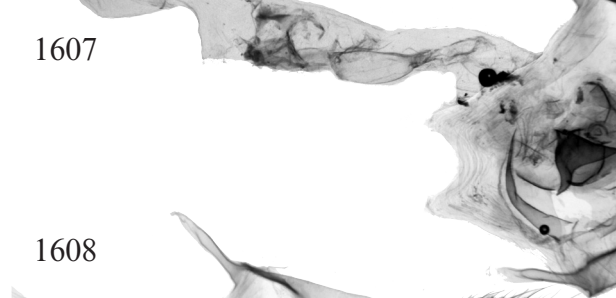
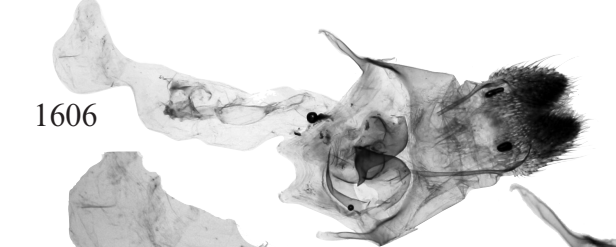
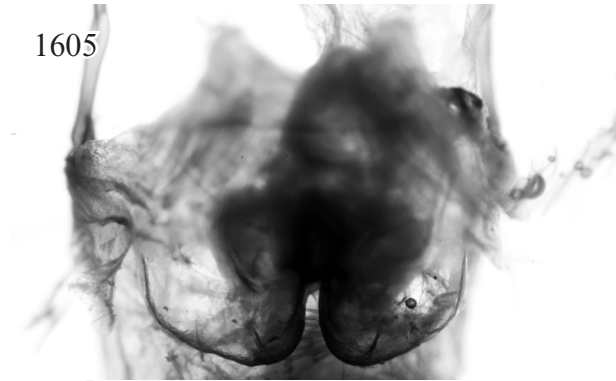
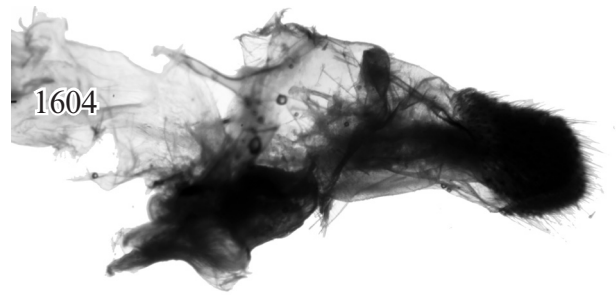
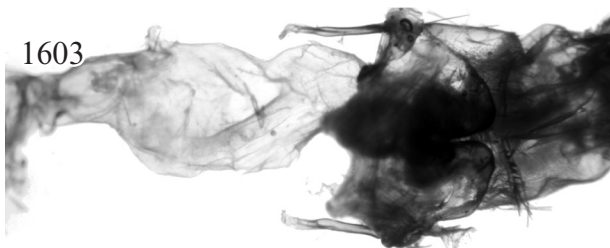
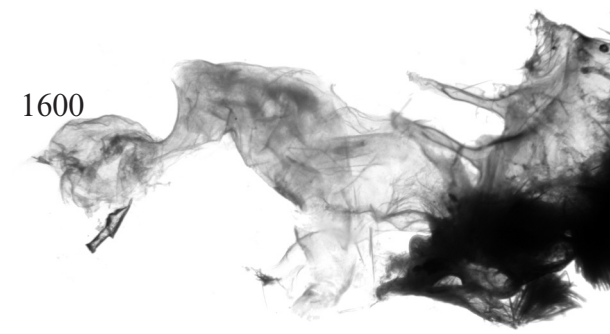
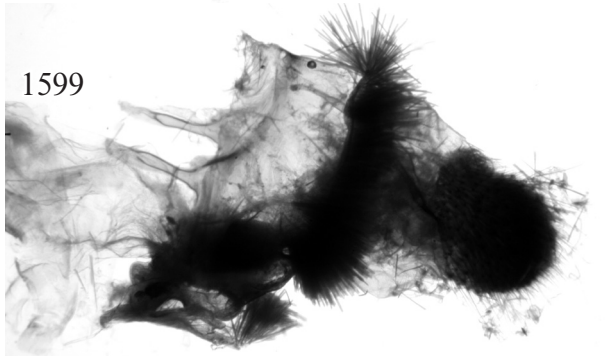
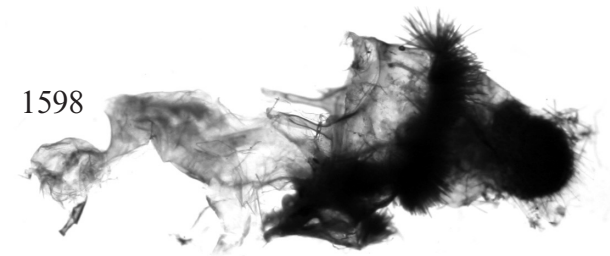
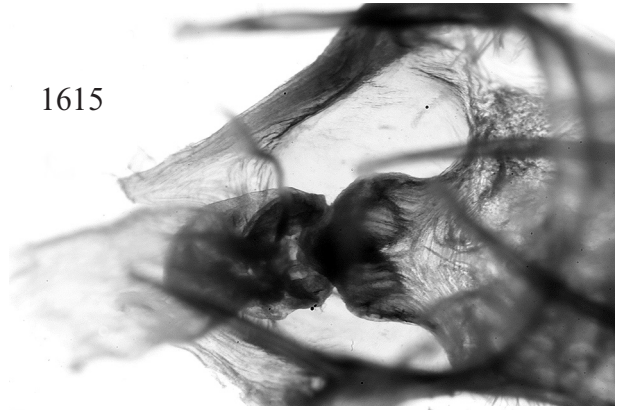


Abb. 1598-1609: *Neoclanis melichari* spec. nov., AT, GP 6007 ♀ (Spannweite: 8,63 cm), /Tanzanie: Mtwara Region, Lumesule, 10°54.792'S., 038°02.393'E., 364 m, 23-XII-2009, (PH. DARGE)//ex coll. PHILIPPE DARGE in EMEM, 16.X.2017, Entomolog. Museum Eitschberger, Marktleuthen/. EMEM. Vergrößerung: <6 x: Abb. 1598, 1606; 6 x: Abb.1599-1601, 1603, 1604, 1607, 1608; 12 x: Abb. 1602, 1605, 1609.

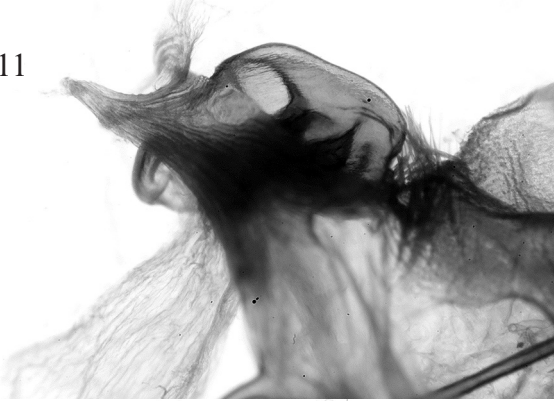
1610



1615



1611



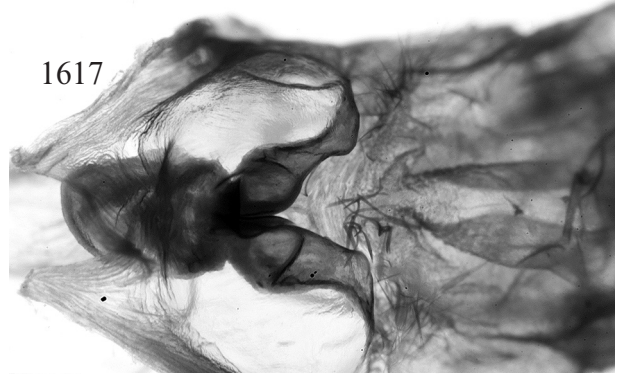
1616



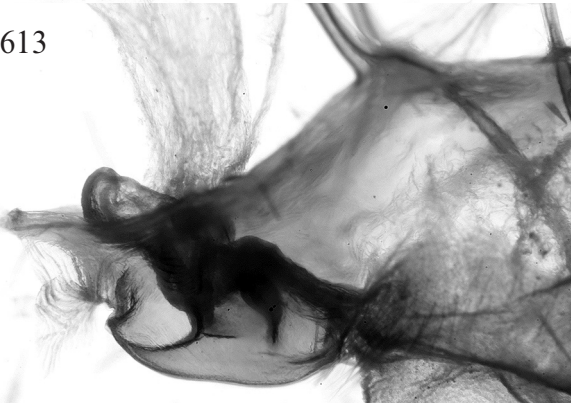
1612



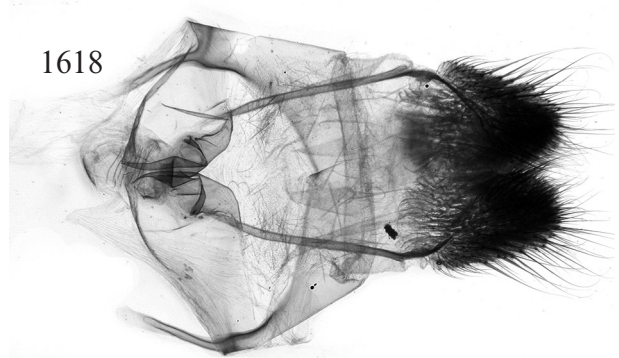
1617



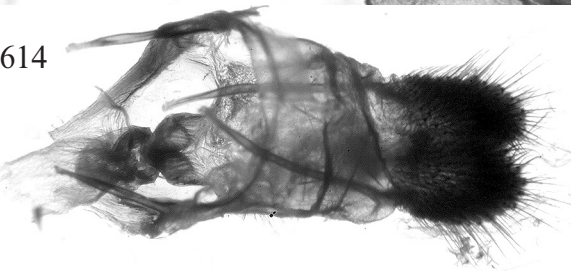
1613



1618



1614



1619



Abb. 1610-1619: *Neoclanis politzari* spec. nov., AT, GP 6027 ♀ (Spannweite: 9,14 cm), Kenya, Kibwezi, 20-31.5.1994, leg. Dr. POLITZAR, ZSM. (Nur noch 30 Eier im Abdomen.) Vergrößerung: 6 x: Abb. 1610, 1612, 1614, 1616, 1618; 12 x: Abb. 1611, 1613, 1617, 1619.

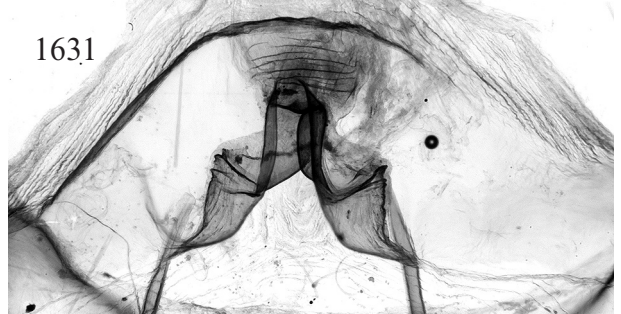
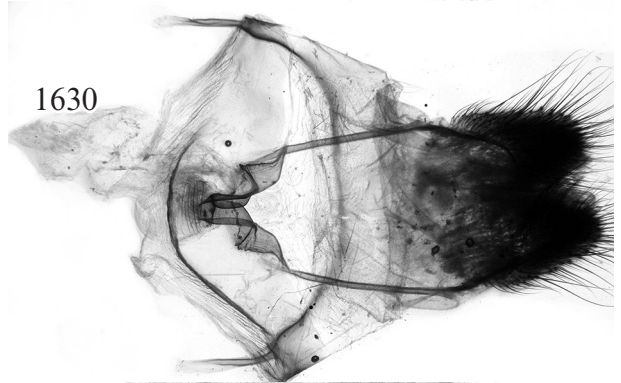
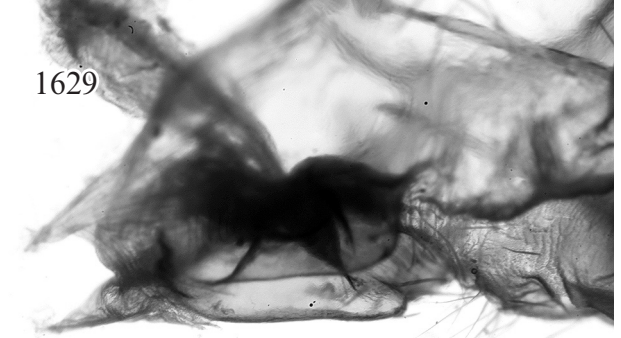
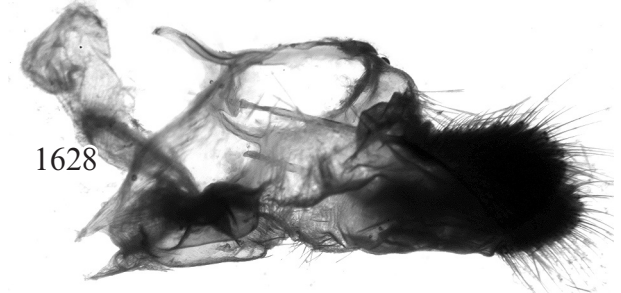
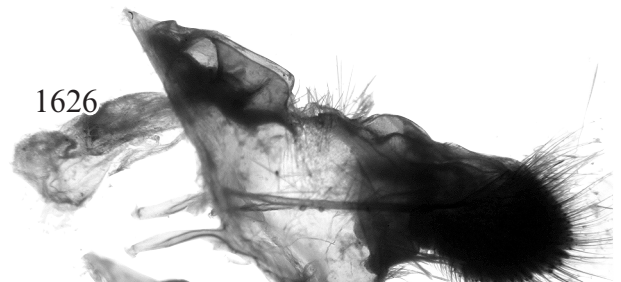
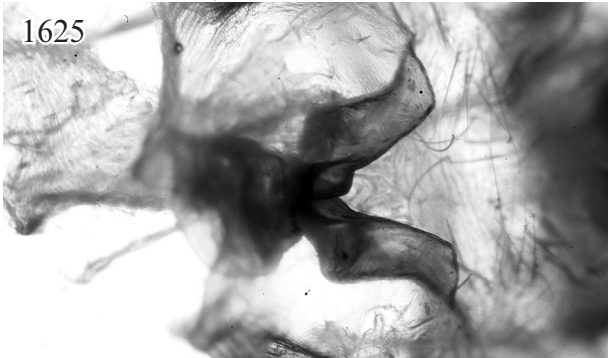
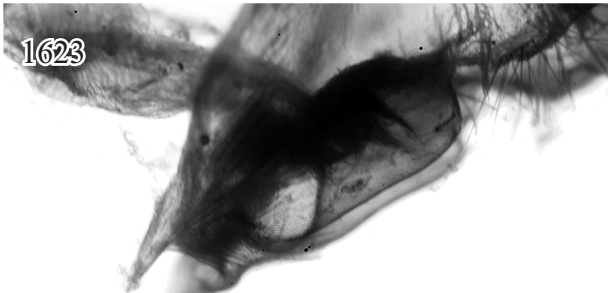
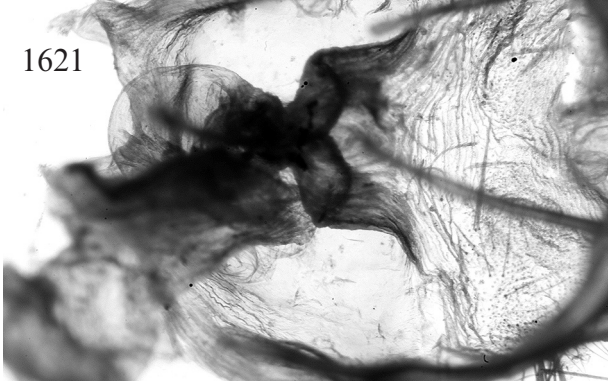
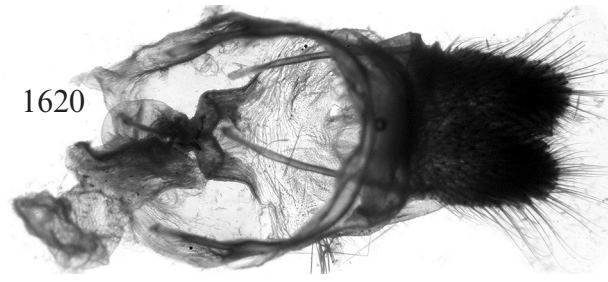


Abb. 1620-1631: *Neoclanis ukambaniensis* spec. nov., AT, GP 6038♀ (Spannweite: 8,90 cm), Kenya, South-Ukambani, 20.4.[20]00, leg.: POLITZAR. ZSM. (170 Eier im Abdomen.) Vergrößerung: 6 x: Abb. 1620, 1622, 1624, 1626, 1628, 1630; 12 x: Abb. 1621, 1623, 1625, 1627, 1629, 1631.

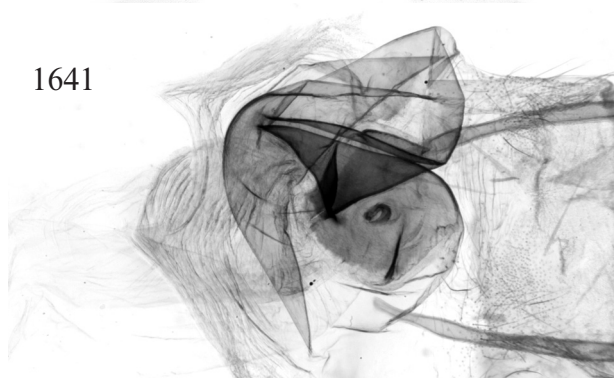
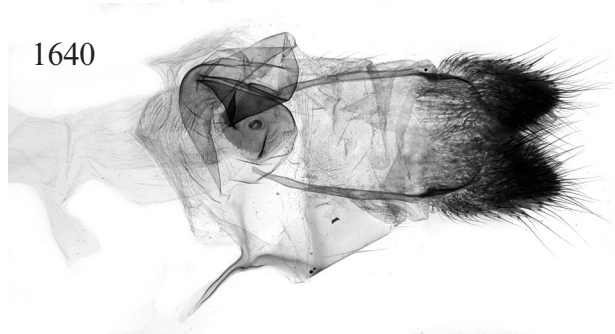
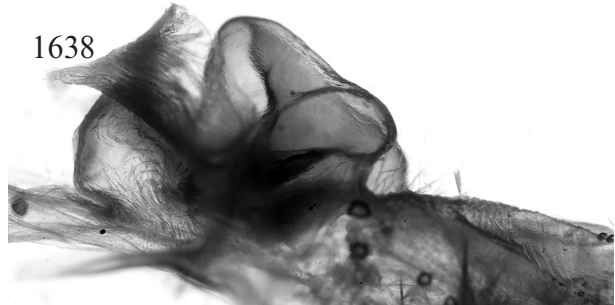
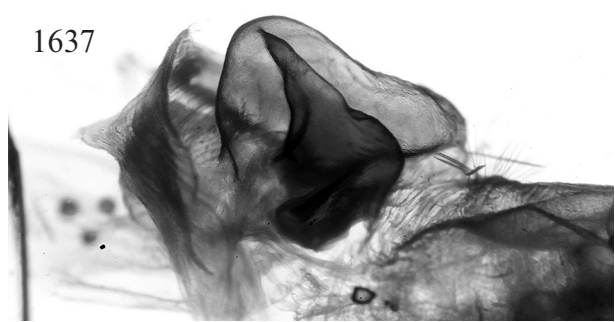
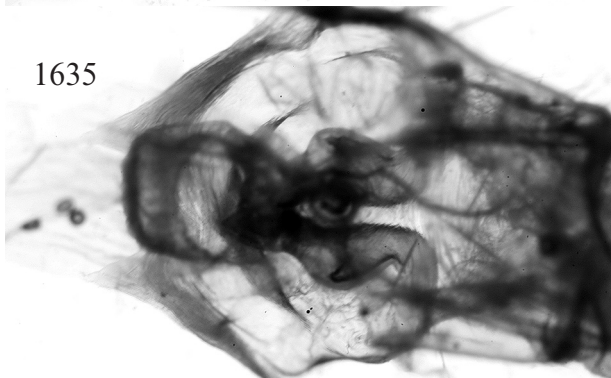
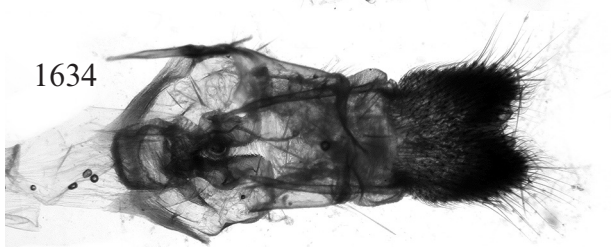


Abb. 1632-1641: *Neoclanis witti* spec. nov., AT, GP 6033 ♀ (Spannweite: 7,72 cm), Kenya, South Coast, Nareache Forest, 27.10. [20]00, leg.: POLITZAR. ZSM. (127 Eier im Abdomen.) Vergrößerung: <6 x: Abb. 1632; 6 x: Abb. 1633, 1634, 1640; 12 x: Abb. 1635-1639, 1641.

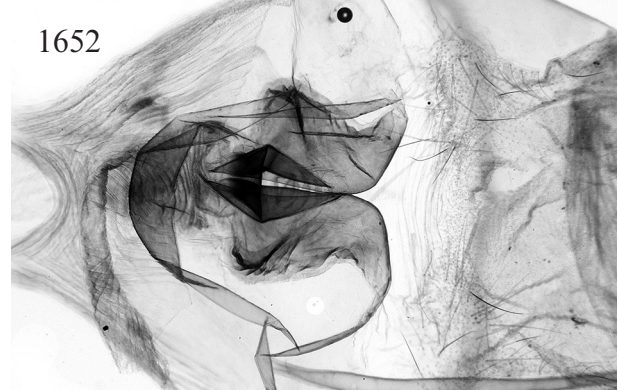
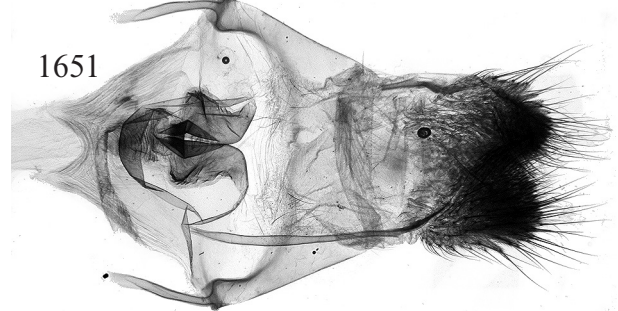
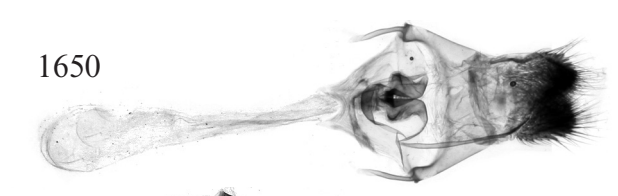
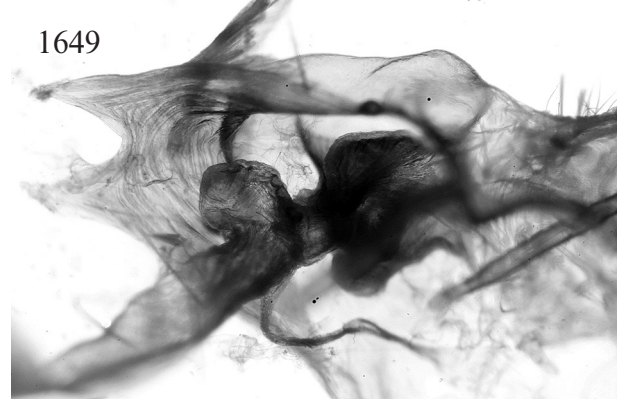
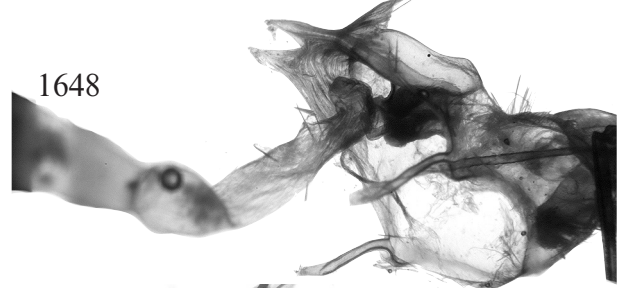
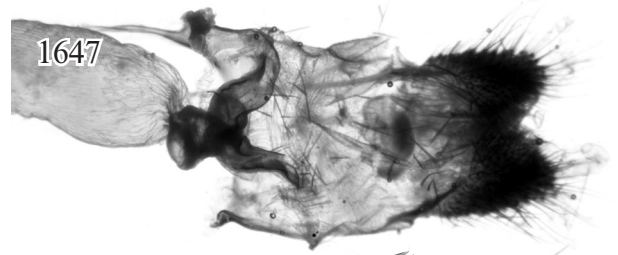
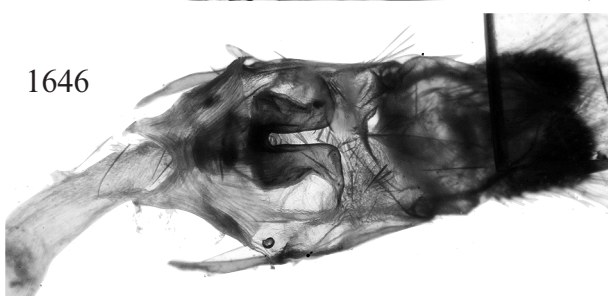
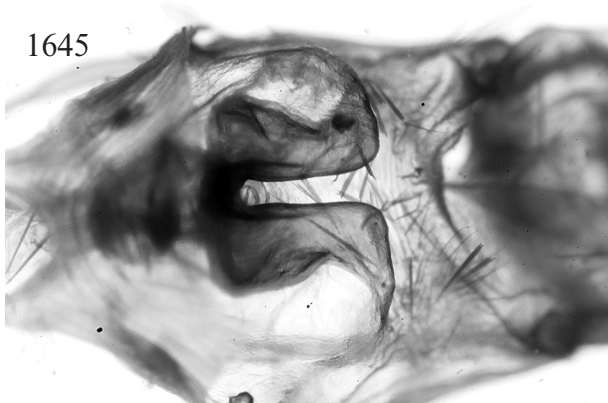
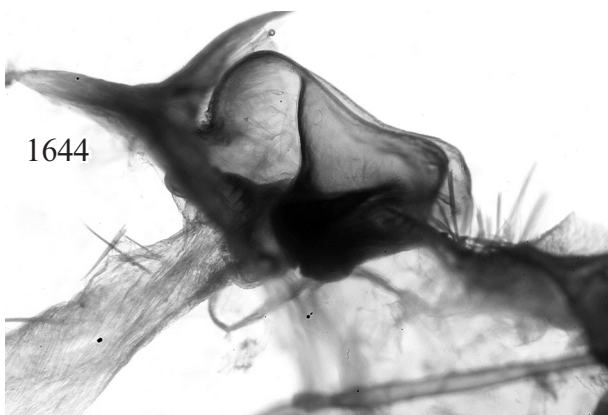
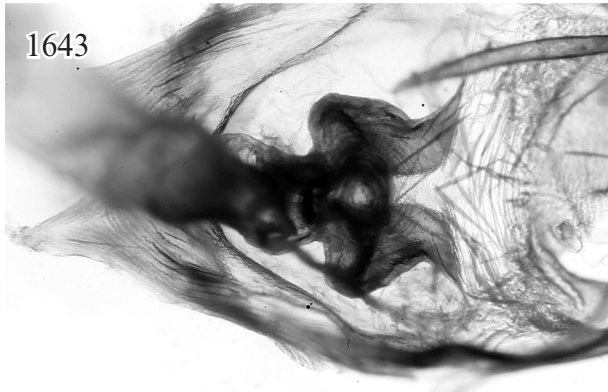
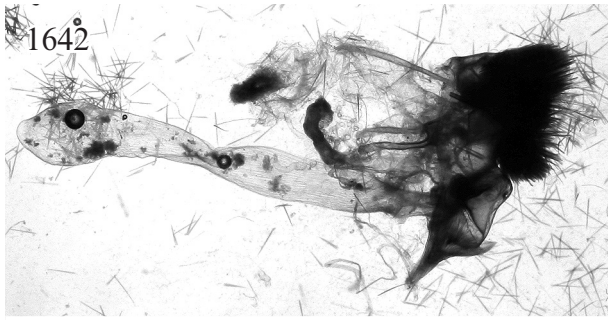


Abb. 1642-1652: *Neoclanis witti* spec. nov., PT, GP 6034 ♀ (Spannweite: 9,34 cm), Kenya, South Coast, Nareache Forest, 6.9.[19]96, leg.: POLITZAR. ZSM. (3 Eier im Abdomen.) Vergrößerung: <6 x: Abb. 1642, 1650; 6 x: Abb. 1646-1648, 1651; 12 x: Abb. 1643-1645, 1649, 1652.

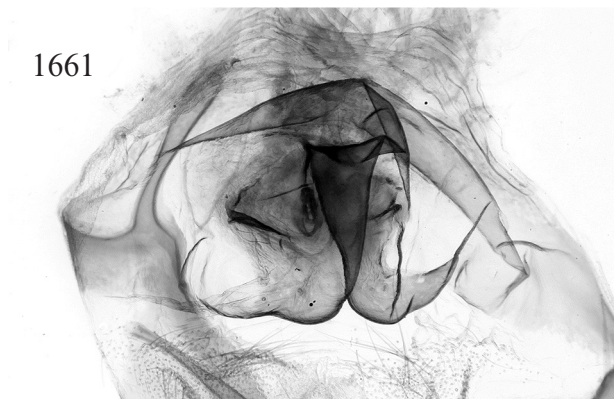
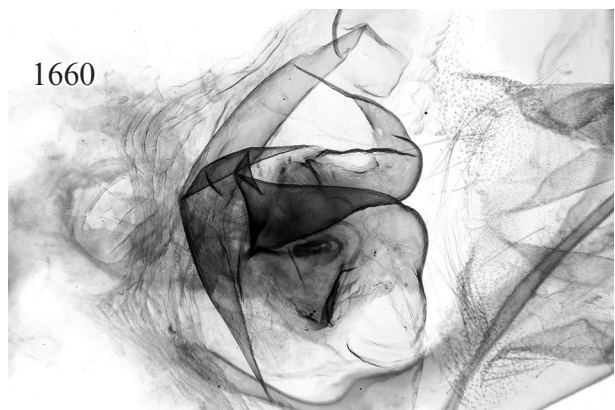
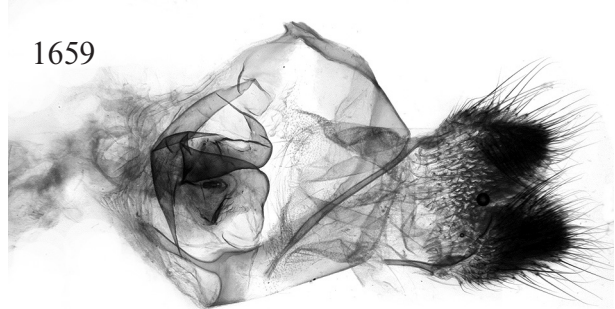
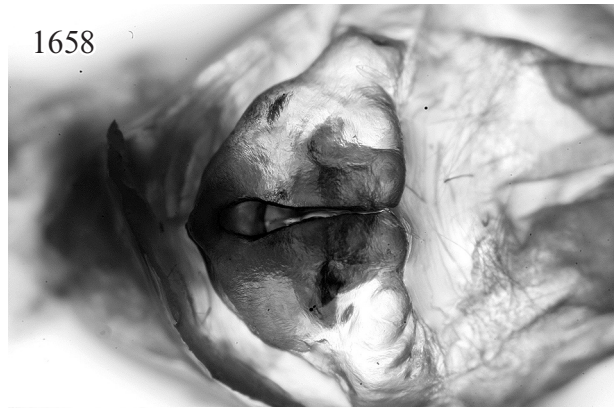
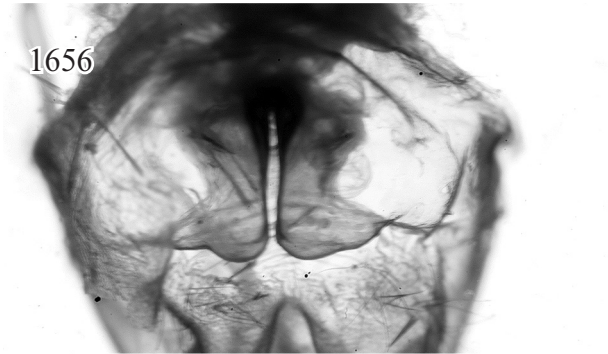
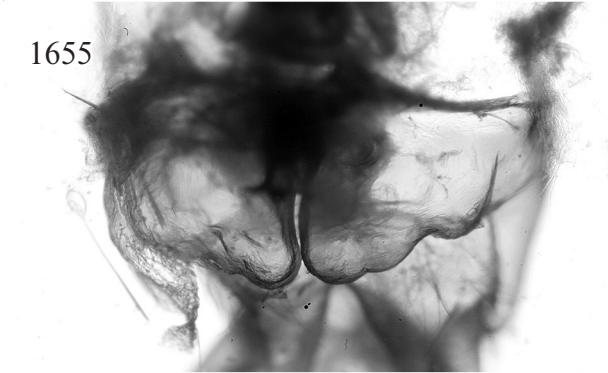
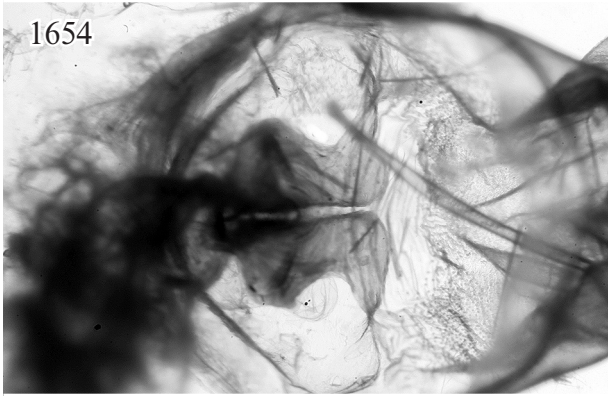
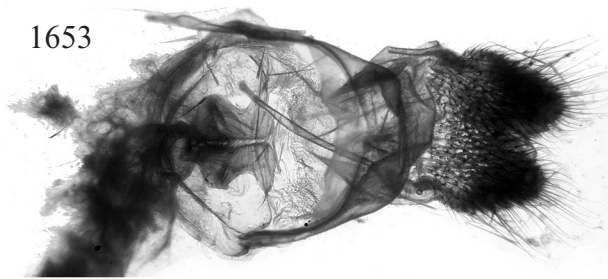


Abb. 1653-1661: *Neoclanis witti* spec. nov., PT, GP 6035 ♀ (Spannweite: 8,91 cm), Kenya, South Coast, Nareache Forest, 14.3.[19]96, leg.: POLITZAR. ZSM. (Voller Eier, deren Zahl durch Verklebung nicht festgestellt werden konnte.) Vergrößerung: 6 x: Abb. ;1653, 1659; 12 x: Abb. 1654-1658, 1660, 1661.

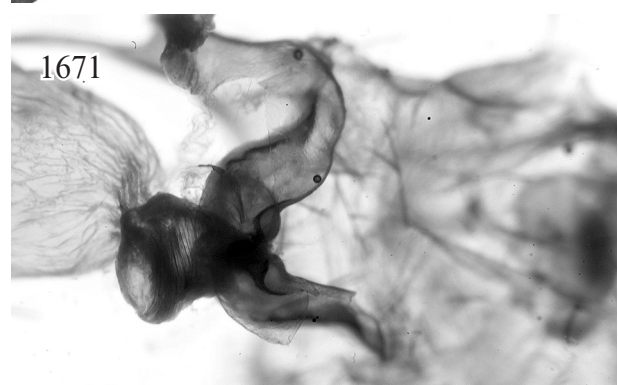
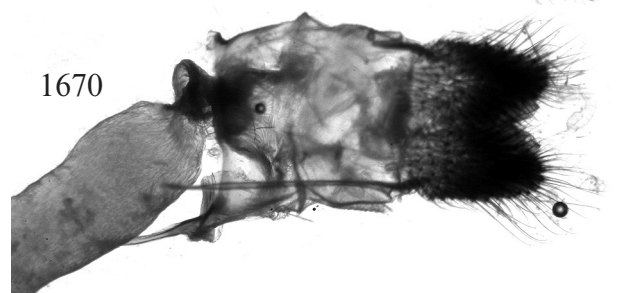
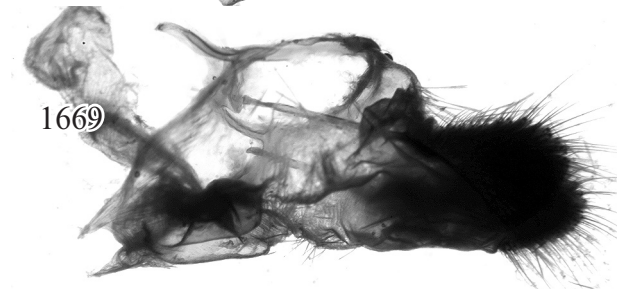
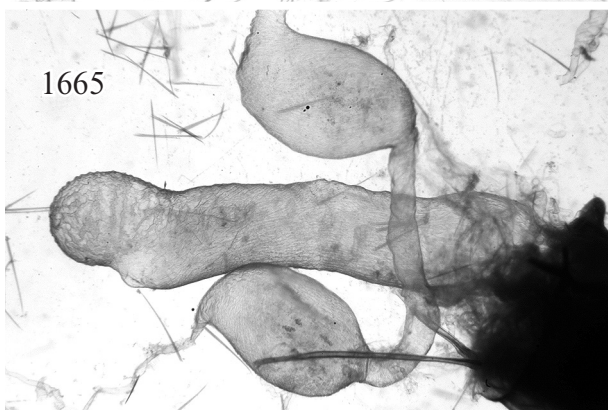
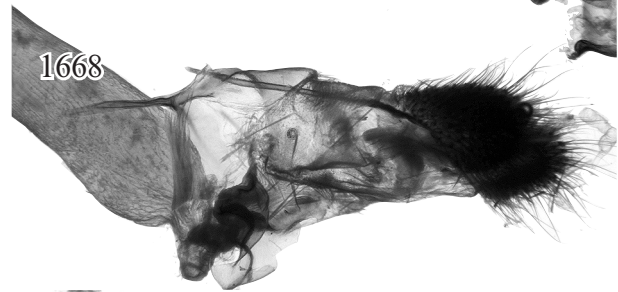
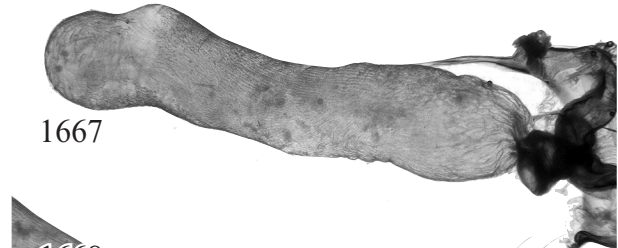
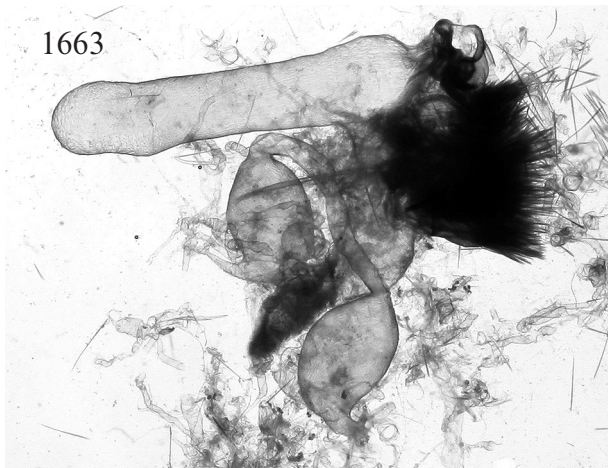
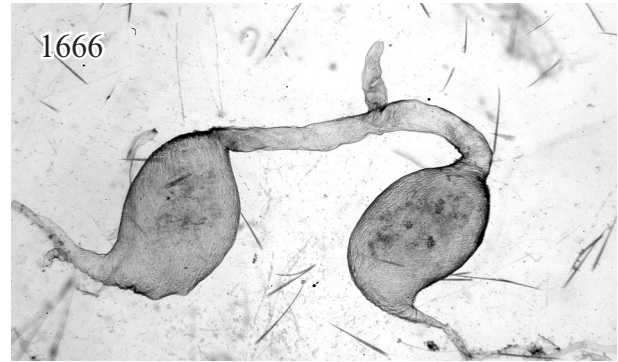
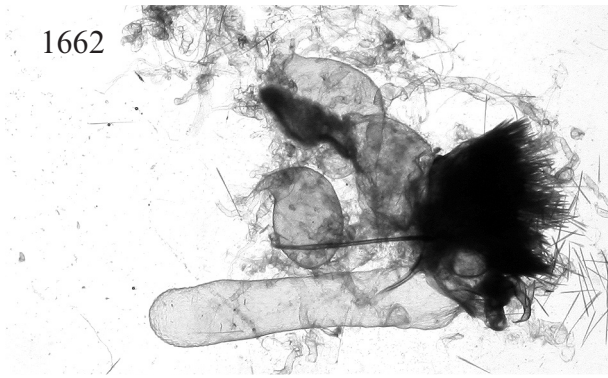


Abb. 1662-1671: *Neoclanis namanga spec. nov.*, HT, GP 6039 ♀ (Spannweite: 8,28 cm), Kenya, Namanga, 18.3.[19]94, [leg. POLITZAR]. ZSM. (Eizahl konnte nicht ermittelt werden.) Vergrößerung: <6 x: Abb. 1662, 1663; 6 x: Abb. 1664-1670; 12 x: Abb. 1671.

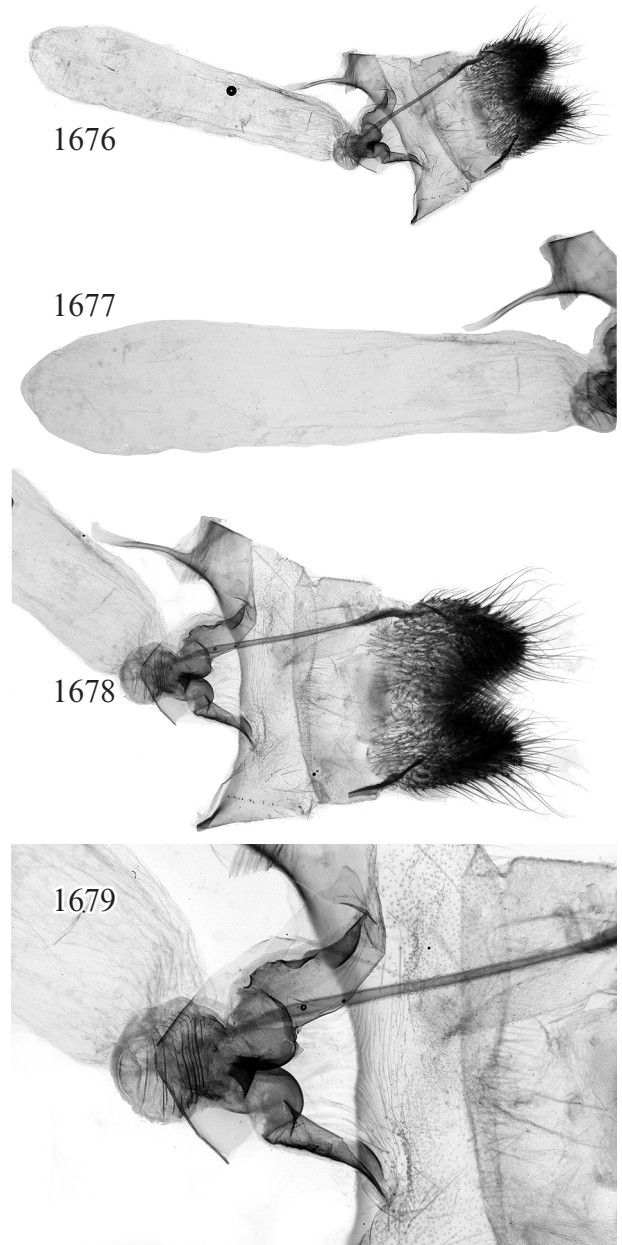
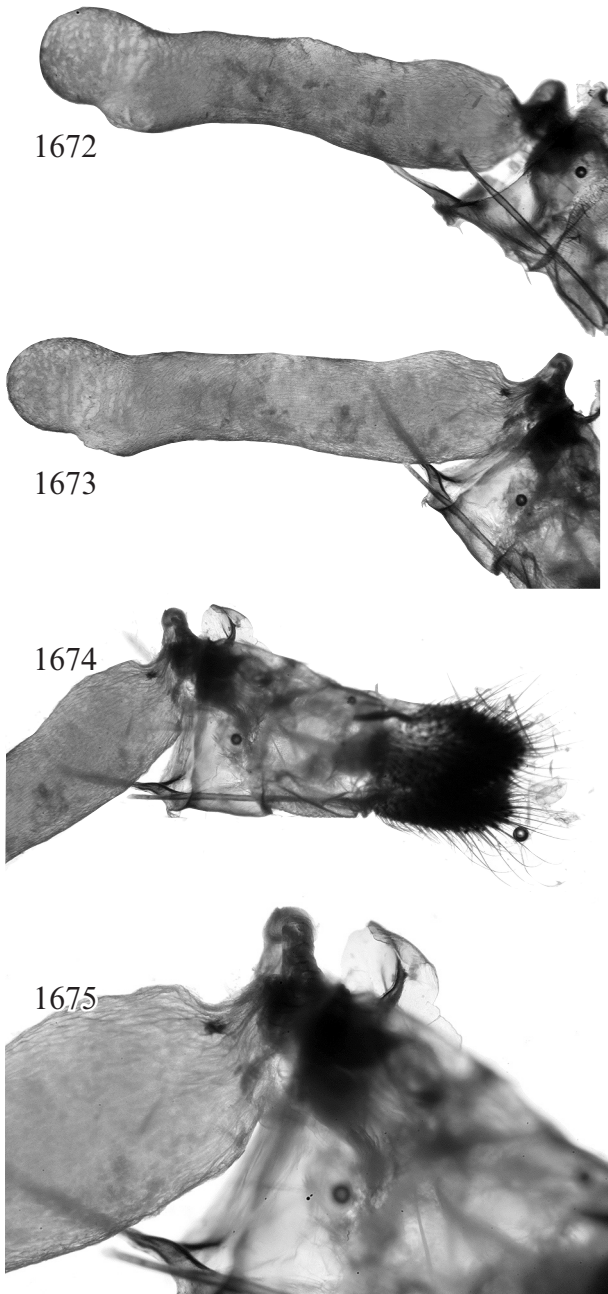


Abb. 1672-1679: *Neoclanis namanga spec. nov.*, HT, GP 6039 ♀ (Spannweite: 8,28 cm), Kenya, Namanga, 18.3.[19]94, [leg. POLITZAR]. (Eizahl konnte nicht ermittelt werden.) Vergrößerung: <6 x: Abb.1676; 6 x: Abb. 1672-1674, 1677, 1678; 12 x: Abb. 1679.

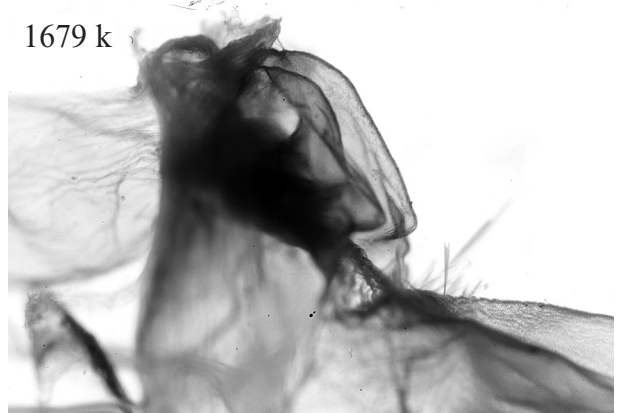
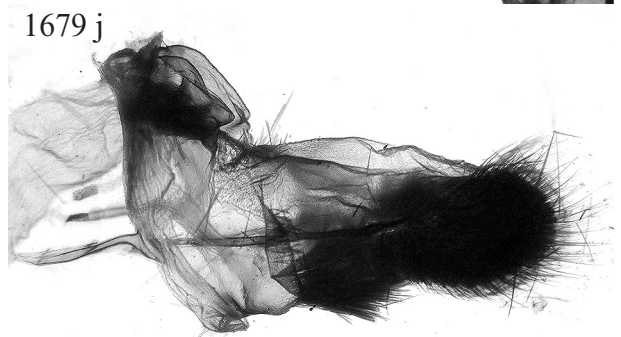
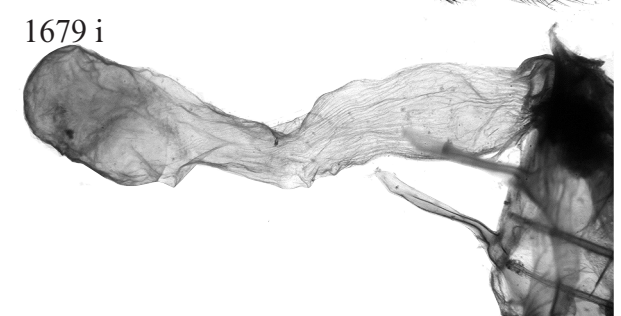
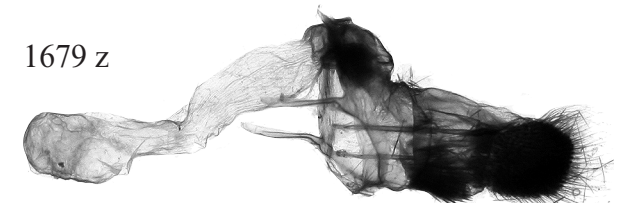
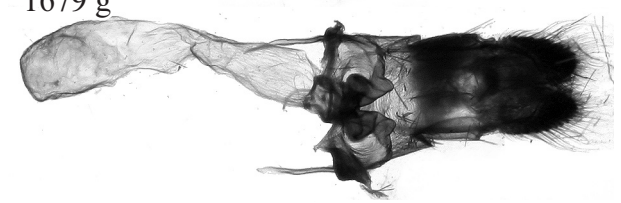
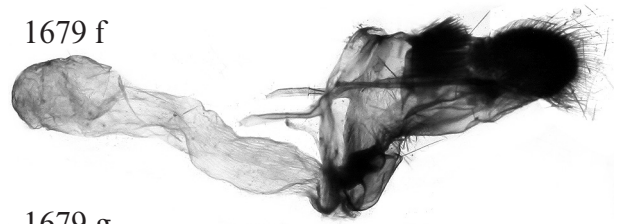
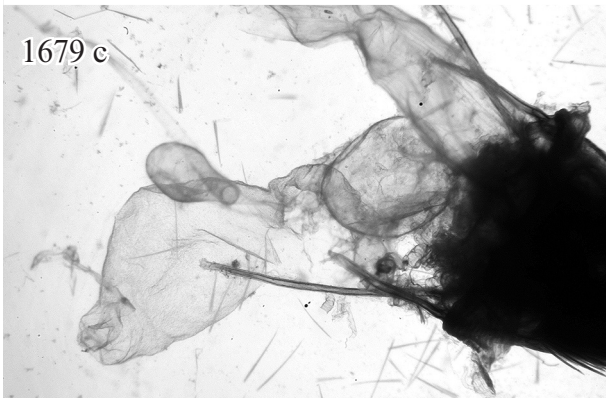
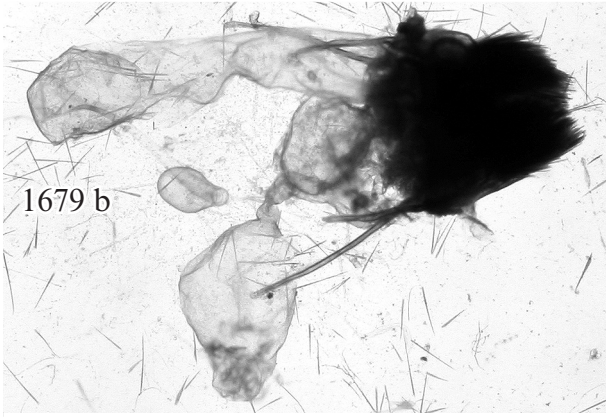
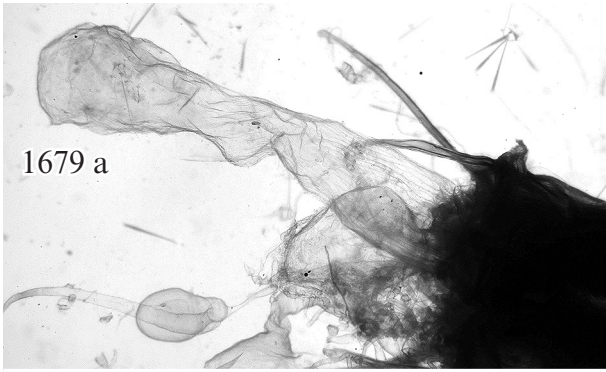


Abb. 1679 a-1679 k: *Neoclanis pseudopolitzari* spec. nov., HT, GP 6040 ♀ (Spannweite: 8,57 cm), Kenya, Namanga, 18.3.[19]94, [leg. POLITZAR]. ZSM. (136 Eier im Abdomen.) <6 x: Abb.1679 e-z; 6 x: Abb. 1679c, d, 1679 i, j; 12 x: Abb. 1679 k.

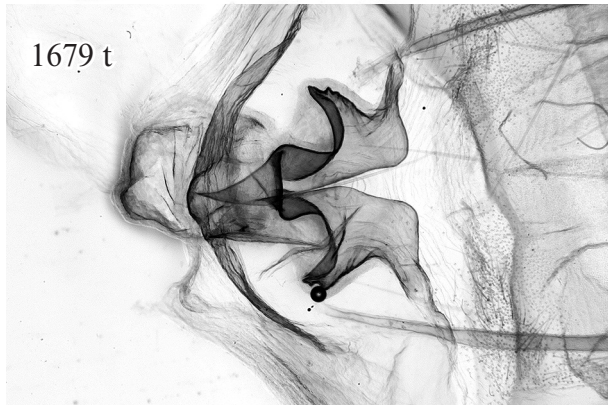
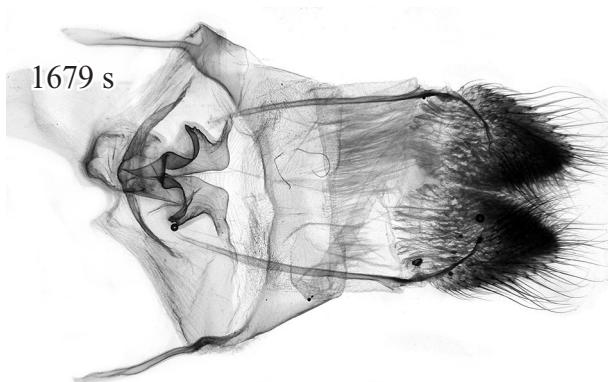
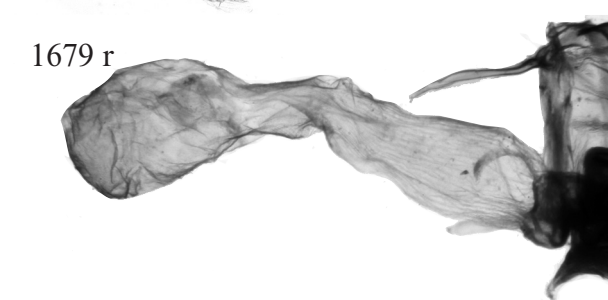
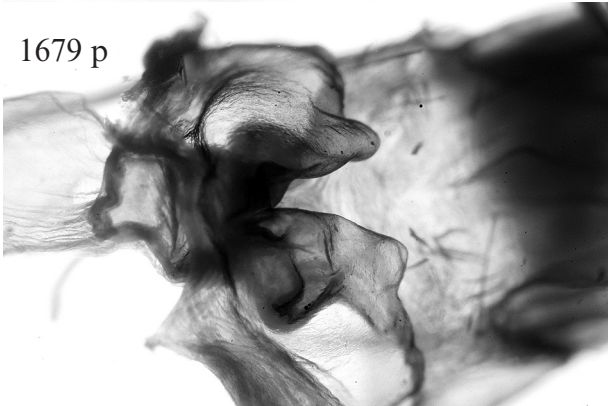
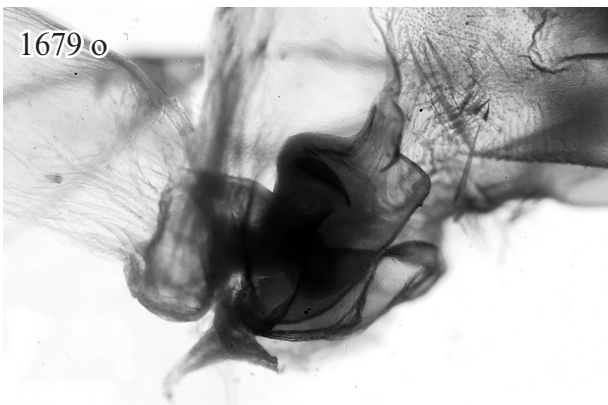
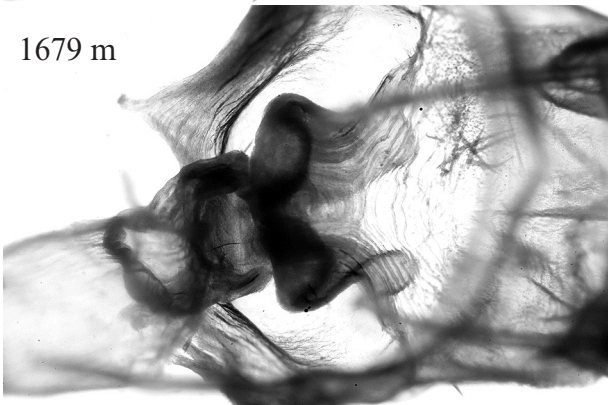
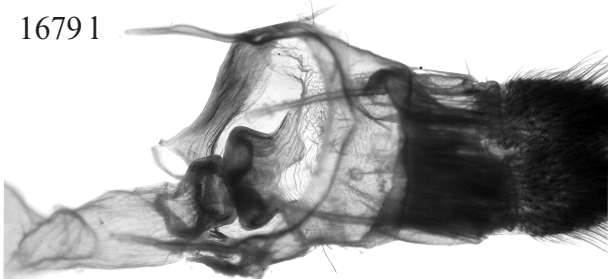


Abb. 1679 l-1679 t: *Neoclanis pseudopolitzari spec. nov.*, HT, GP 6040 ♀ (Spannweite: 8,57 cm), Kenya, Namanga, 18.3.[19]94, [leg. POLITZAR]. ZSM. (136 Eier im Abdomen.) 6 x: Abb. 1679 l, 1679 n, 1679 q-s; 12 x: Abb. 1679 m-p, 1679 t.



Abb. 1680-1682: *Neoclanis virgo* (WESTWOOD, 1881) **stat. rev.** - Typus-♂ [HT] von *Choerocampa virgo* WESTWOOD, 1881 (Abgeschätzte Spannweite: 7,04 cm; GP 5990 ♂). Coll. OUMNH.



Abb. 1683, 1684: *Neoclanis virgo* (WESTWOOD, 1881) **stat. rev.** - Typus-♂ [HT] von *Choerocampa virgo* WESTWOOD, 1881 (Abgeschätzte Spannweite: 7,04 cm; GP 5990 ♂), rechte Valve, die von fremder Hand aus dem Falter präpariert wurde und uns zur Bearbeitung vorlag (siehe hierzu auch die Abb. 1, 139-141, 156-158). Coll. OUMNH.

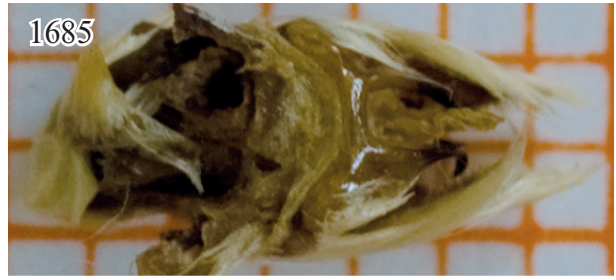


Abb. 1685-1687: *Neoclanis schreieri* **spec. nov.**, PT, GP 5982 ♂ (Spannweite: 6,76 cm), 8, Botswana, Chobe Distr., 17°49'S, 25°13'E, SSE Kasane, 2 km W Leshoma, Kasane Forest Res., 1000 m, 24.II.2006, Li/LiFa, leg. H. HACKER, H.-P. SCHREIER. EMEM.

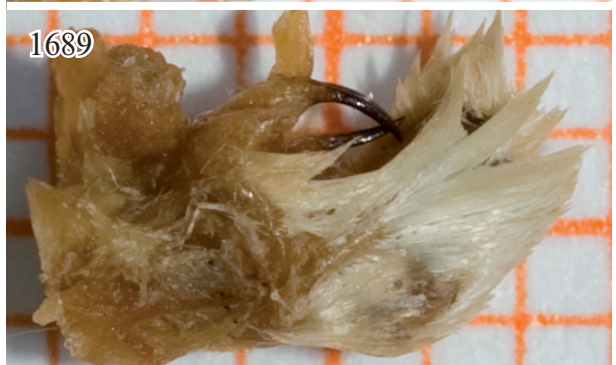
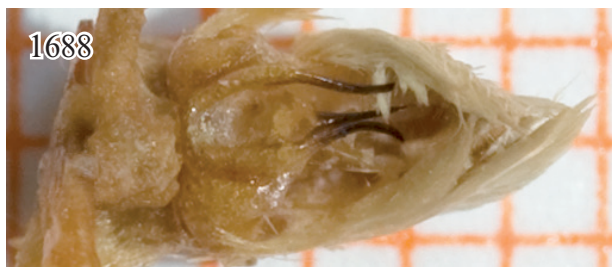


Abb. 1688-1690: *Neoclanis schreieri* **spec. nov.**, PT, GP 5983 ♂ (Spannweite: 6,96 cm), 8, Botswana, Chobe Distr., 17°49'S, 25°13'E, SSE Kasane, 2 km W Leshoma, Kasane Forest Res., 1000 m, 24.II.2006, Li/LiFa, leg. H. HACKER, H.-P. SCHREIER. EMEM.



1691



1692



1693

Abb. 1691-1693: *Neoclanis schreieri* spec. nov., PT, GP 5999 ♂ (Spannweite: 7,18 cm), 8, Botswana, Chobe Distr., 17°49'S, 25°13'E, SSE Kasane, 2 km W Leshoma, Kasane Forest Res., 1000 m, 24.II.2006, Li/LiFa, leg. H. HACKER, H.-P. SCHREIER. EMEM. (Verfettetes Präparat!)



1694



1695



1696

Abb. 1694-1696: *Neoclanis schreieri* spec. nov., HT, GP 6000 ♂ (Spannweite: 6,83 cm), 8, Botswana, Chobe Distr., 17°49'S, 25°13'E, SSE Kasane, 2 km W Leshoma, Kasane Forest Res., 1000 m, 24.II.2006, Li/LiFa, leg. H. HACKER, H.-P. SCHREIER. EMEM.



1697



1698



1699

Abb. 1697-1699: *Neoclanis basalis* (WALKER, 1866), NT, GP 5977 ♂ (Spannweite: 7,17 cm), 10 Namibia, 17°53'S 24°34'E, E Caprivi District, 15 km NW Ngoma, 930 m, 26.II.2006, Li/LiFa, leg. H. HACKER, H.-P. SCHREIER. EMEM.



1700



1701



1702

Abb. 1700-1702: *Neoclanis pseudoclanis* spec. nov., HT, GP 5993 ♂ (Spannweite: 7,07 cm), 10 Namibia, 17°53'S 24°34'E, E Caprivi District, 15 km NW Ngoma, 930 m, 26.II.2006, Li/LiFa, leg. H. HACKER, H.-P. SCHREIER. EMEM. (Die weißliche Beschuppung wurde durch Körperperfekt verändert!)



1703



1704



1705

Abb. 1703-1055: *Neoclanis hackeri* spec. nov., HT, GP 5992 ♂ (Spannweite: 6,78 cm), 8, Botswana, Central Distr., 19°39'S, 26°05'E, 60 km N Nata, Elephant Sands Camp, 950 m, 21.II.2006, Li/LiFa, leg. H. HACKER, H.-P. SCHREIER. (Die weibliche Beschuppung wurde durch Körperfett verändert!)



1706



1707



1708

Abb. 1706-1708: *Neoclanis tsumeb* spec. nov., HT, GP 5985 ♂ (Spannweite: 6,65 cm), /Tsumeb, D. S. W. Afr. [Deutsch Südwestafrika]/Sammlung GEHLEN/. ZSM.



1709



1710



1711

Abb. 1709-1711: *Neoclanis tsumeb* spec. nov., PT, GP 5994 ♂ (Spannweite: 6,82 cm), /Tsumeb, S. W. Afr. [Deutsch Südwestafrika]/Sammlung GEHLEN/. ZSM.



1712



1713



1714

Abb. 1712-1714: *Neoclanis weningeri* spec. nov., HT, GP 5995 ♂ (Spannweite: 7,24 cm), Angola, Prov. Huila, Caluquembe-Huambo, Caconda, s 13°46', E 015°00', 10.11.2012, 1610 m, coll. STRÖHLE, leg. M. WENINGER. EMEM.



Abb. 1715-1717: *Neoclanis oberprieleri* spec. nov., HT, GP 5978 ♂ (Spannweite: 6,43 cm), South Africa, TVL, Kruger Nat. Park, Pafuri, Bobomene research camp, 22.26S 31.12E, 250 m, 03.ii.1994, R. OBERPRIELER. EMEM.



Abb. 1721-1723: *Neoclanis giustii* spec. nov., HT, GP 6013 ♂ (Spannweite: 7,15 cm), Tanzania, Katavi Region, Mtisi Village near Sitalike, 1081 m, 06°28.226'S, 031°07.135'E, 09-XII-2012, (PH. DARGE). EMEM.



Abb. 1718-1720: *Neoclanis hogani* spec. nov., HT, GP 5974 ♂ (Spannweite: 7,26 cm), Tanzania, Rukwa Region, nord de Mpanda, Vikonge., 06°03.172'S; 030°56.258'E, 1334 m, 26-II-2012, (PH. DARGE). EMEM.



Abb. 1724-1726: *Neoclanis dargei* spec. nov., HT, GP 6012 ♂ (Spannweite: 7,04 cm), Tanzania, Rukwa Region, Rukwa Escarpment, 1092 m, 07°05.913'S; 031°08.4844'E, 01-II-2008, (PH. DARGE). EMEM.



Abb. 1727-1729: *Neoclanis iringaensis* spec. nov., HT, GP 5987 ♂ (Spannweite: 8 cm), Tanzania, Iringa Region, Mpanga Game Reserve, Usalimbwani, 1225 m, 08°55.195'S, 34°07.105'E, 15.I.2010, PHILIPPE DARGE leg., EMEM, 16.X.2017. EMEM.

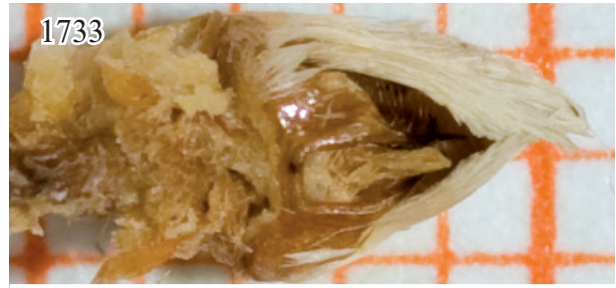


Abb. 1733-1735: *Neoclanis morogoroensis* spec. nov., HT, GP 5973 ♂ (Spannweite: 7,17 cm), 7 Tanzania, Morogoro: 1 km E Mikumi, savanna, 5.III.2003, 550 m, leg. M. FIBIGER, H. HACKER, K. LARSEN, H.-P. SCHREIER. EMEM.



Abb. 1730-1732: *Neoclanis oatesorum* spec. nov., HT, GP 5998 ♂ (Spannweite: 8,05 cm), Tanzania: Iringa Region, Mpanga Game Reserve, Usalimbwani, 08°55.195'S., 037°20.709'E, 11-II-2005, (PH. DARGE). EMEM. (Verfettetes Präparat!)



Abb. 1736, 1737: *Neoclanis morogoroensis* spec. nov., PT, GP 5976 ♂ (Spannweite: 6,86 cm), 7 Tanzania, Morogoro: 1 km E Mikumi, savanna, 5.III.2003, 550 m, leg. M. FIBIGER, H. HACKER, K. LARSEN, H.-P. SCHREIER. EMEM.

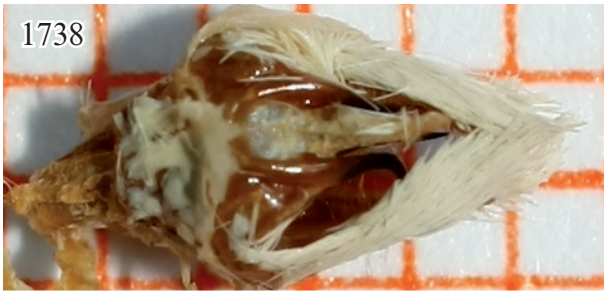


Abb. 1738-1740: *Neoclanis usambaraensis* spec. nov., HT, GP 5986 ♂ (Spannweite: 7,24 cm), Tansanie: Tanga region, W. Usambara Mts., Irente view Point, 1376 m, 04°47.87'S, 038°16.235'E, 26-XI-2008, (PH. DARGE). EMEM.



Abb. 1741-1743: *Neoclanis nicolae* spec. nov., HT, GP 5991 ♂ (Spannweite: 7,5 cm), Tansanie, Iringa Region, Udzungwa National Park, Camp 2, 400 m, 15.-31.I.2005, PHILIPPE DARGE leg., EMEM, 18.X.2017. EMEM.

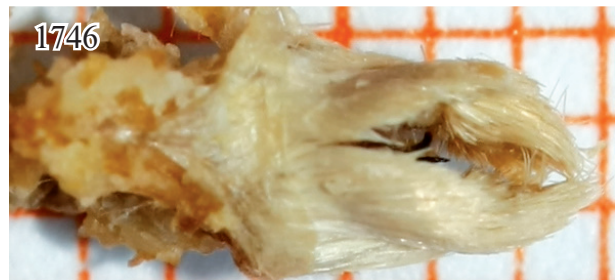
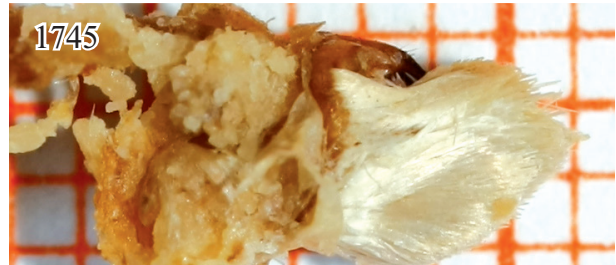
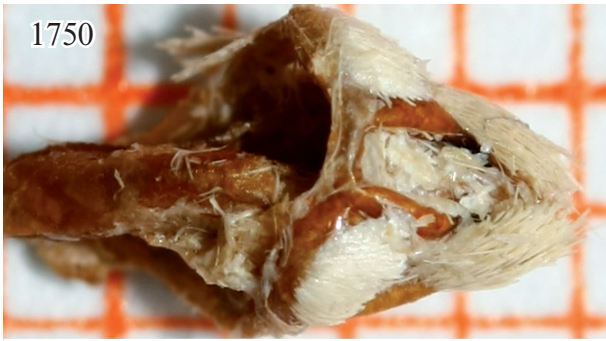


Abb. 1744-1746: *Neoclanis haendeli* spec. nov., HT, GP 5997 ♂ (Spannweite: 7,42 cm), Tansanie: Morogoro Region, West Nguru Mts., Makuyu, 566 m, 06°17.002'S., 034°07.105'E., 1225 m, 15-I-2010, (PH. DARGE). EMEM. (Verfettetes Präparat!)



Abb. 1747-1749: *Neoclanis kleineri* spec. nov., HT, GP 6011 ♂ (Spannweite: 7,05 cm), Tansanie: Morogoro Region, West Nguru Mts., 2000 m, 4-VIII-2015, (local collector), ex coll. PH. DARGE). EMEM.



1750



1751



1752

Abb. 1750-1752: *Neoclanis kingstoni* spec. nov., PT, GP 6002 ♂ (Spannweite: 6,87 cm), Tansanie: Lindi Region, Mtokokuyana, 362 m, 10°23.038'S., 038°53.775'E., 22-XII-2009, (PH. DARGE). EMEM.



1753



1754



1755

Abb. 1753-1755: *Neoclanis kingstoni* spec. nov., HT, GP 6003 ♂ (Spannweite: 7,53 cm), Tansanie: Lindi Region, Mtokokuyana, 362 m, 10°23.038'S., 038°53.775'E., 22-XII-2009, (PH. DARGE). EMEM.



1756



1757



1758

Abb. 1756-1758: *Neoclanis kingstoni* spec. nov., PT, GP 6004 ♂ (Spannweite: 6,92 cm), Tansanie: Lindi Region, Mtokokuyana, 362 m, 10°23.038'S., 038°53.775'E., 22-XII-2009, (PH. DARGE). EMEM.



1759

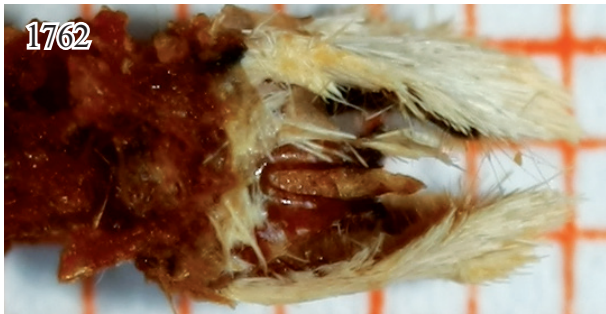


1760



1761

Abb. 1759-1761: *Neoclanis melichari* spec. nov., HT, GP 6006 ♂ (Spannweite: 7,74 cm), Tansanie: Mtwara Region, Lumesule, 10°54.792'S., 038°02.393'E., 364 m, 23-XII-2009, (PH. DARGE). EMEM.



1762



1763



1764

Abb. 1762-1764: *Neoclanis politzari* spec. nov., HT, GP 5996 ♂ (Spannweite: 7,67 cm), /Kenya, Kibwezi, 20-31.5.1994, leg. Dr. POLITZAR/ex coll. KARL KUCHLER, München, in EMEM, 23.XII.2009, Ent. Mus. Eitschberger, Marktleuthen./ EMEM.



1765

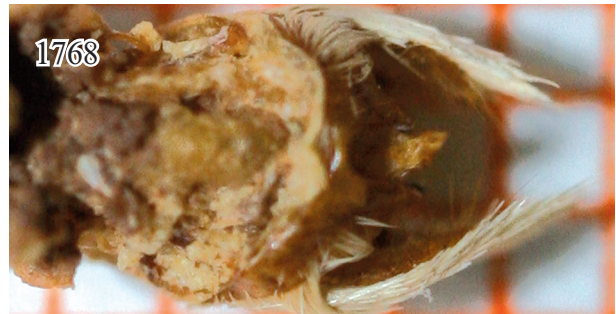


1766



1767

Abb. 1765-1767: *Neoclanis politzari* spec. nov., PT, GP 6019 ♂ (Spannweite: ca. 7,63 cm), Kenya, Kibwezi, 8.-14.5.1995, leg. Dr. POLITZAR. ZSM.



1768



1769



1770

Abb. 1768-1770: *Neoclanis politzari* spec. nov., PT, GP 6020 ♂ (Spannweite: 7,86 cm), Kenya, Kibwezi, 20-31.5.1994, leg. Dr. POLITZAR. ZSM.



1771



1772



1773

Abb. 1771-1773: *Neoclanis politzari* spec. nov., PT, GP 6021 ♂ (Spannweite: 7,63 cm), Kenya, Kibwezi, 20-31.5.1994, leg. Dr. POLITZAR. ZSM.



1774



1775



1776

Abb. 1774-1776: *Neoclanis politzari* spec. nov., PT, GP 6022 ♂ (Spannweite: 7,98 cm), Kenya, Kibwezi, 20-31.5.1994, leg. Dr. POLITZAR. ZSM.



1777



1778

Abb. 1777, 1778: *Neoclanis politzari* spec. nov., PT, GP 6023 ♂ (Spannweite: 7,74 cm), Kenya, Kibwezi, 20-31.5.1994, leg. Dr. POLITZAR. ZSM. (Verfettetes Präparat!)



1779



1780



1781

Abb.- 1779-1781: *Neoclanis politzari* spec. nov., PT, GP 6024 ♂ (Spannweite: 7,86 cm), Kenya, Kibwezi, 20-31.5.1994, leg. Dr. POLITZAR. ZSM.



1782



1783



1784

Abb. 1782-1784: *Neoclanis politzari* spec. nov., PT, GP 6025 ♂ (Spannweite: 7,61 cm), Kenya, Kibwezi, 8.-14.5.1995, leg. Dr. POLITZAR. ZSM.



Abb. 1785-1787: *Neoclanis ukambaniensis* spec. nov., PT, GP 6026 ♂ (Spannweite: 6,97 cm), Kenya, Kibwezi, 700 m, 1.-15.12.2000, leg. Dr. POLITZAR, Museum WITT. ZSM.



Abb. 1788-1790: *Neoclanis ukambaniensis* spec. nov., PT, GP 6031 ♂ (Spannweite: 6,82 cm), Kenya, South Ukambani, near Kibwezi, 20-27. XI.1994 Lf., leg. Dr. POLITZAR, Museum WITT. ZSM.



Abb. 1791-1793: *Neoclanis ukambaniensis* spec. nov., PT, GP 6032 ♂ (Spannweite: 6,88 cm), Kenya, South Ukambani, near Kibwezi, 20-27. XI.1994 Lf., leg. Dr. POLITZAR, Museum WITT. ZSM.



Abb. 1794-1796: *Neoclanis ukambaniensis* spec. nov., PT, GP 6036 ♂ (Spannweite: 7,91 cm), [Kenya] Süd-Ukambani, 28.5.-1.6.1995, leg. Dr. POLITZAR. ZSM.



Abb. 1797, 1798: *Neoclanis ukambaniensis* spec. nov., HT, GP 6037 ♂ (Spannweite: 7,91 cm), [Kenya] Süd-Ukambani, 28.5.-1.6.1995, leg. Dr. POLITZAR. ZSM.



Abb. 1799-1801: *Neoclanis witti* spec. nov., HT, GP 6028 ♂ (Spannweite: 6,79 cm), Kenya, South Coast, Nareache Forest, 13.9.[19]96, leg.: POLITZAR. ZSM.



Abb. 1802-1804: *Neoclanis witti* spec. nov., PT, GP 6029 ♂ (Spannweite: 6,63 cm), Kenya, South Coast, Nareache Forest, 13.9.[19]96, leg.: POLITZAR. ZSM.



Abb. 1805-1807: *Neoclanis witti* spec. nov., PT, GP 6030 ♂ (Spannweite: 7,63 cm), Kenya, South Coast, Nareache Forest, 27.10.[20]00, leg.: POLITZAR. ZSM.



Abb. 1808-1810: *Neoclanis kuchleri* spec. nov., GP 6041 ♂ (Spannweite: 6,56 cm), Kenya, Südküste, Marenje Forest, 14.2.[19]95, leg.: POLITZAR. ZSM.



Abb. 1811-1813: *Neoclanis raymuzrphyi* spec. nov., HT, GP 5975 ♂ (Spannweite: 6,54 cm), Mwabvigame Reserve, Nsanje Dist., S. Malawi, 135 m, 16°39'S 35°E, 29-30 DEZ [20]15, R. J. MURPHY. EMEM.

1814



10mm

Gobalewera
or *Gualle*.
S. Africa. F. Oates.

allied to
Choerocampa
Cepisip.

Matabele Land
F. Oates 1873-1875
"Matabele Land"
London 1881
F. Oates P. 335

TYPE
WESTWOOD
F. Oates
"Matabele Land"
London 1881
Page 354
Coll. Hope Oxon.

TYPE LFP : No. 10
Choerocampa
virgo Westwood.
HOPE DEPT. OXFORD

Abb. 1814: *Neoclanis virgo* (WESTWOOD, 1881) **stat. rev.** - Typus-♂ [HT] von *Choerocampa virgo* WESTWOOD, 1881 (Abgeschätzte Spannweite: 7,04 cm; GP 5990♂), Ober- und Unterseite mit allen Etiketten auf der Nadel des Typusfalters. Coll. OUMNH. Foto: Oxford University Museum Natural History®.

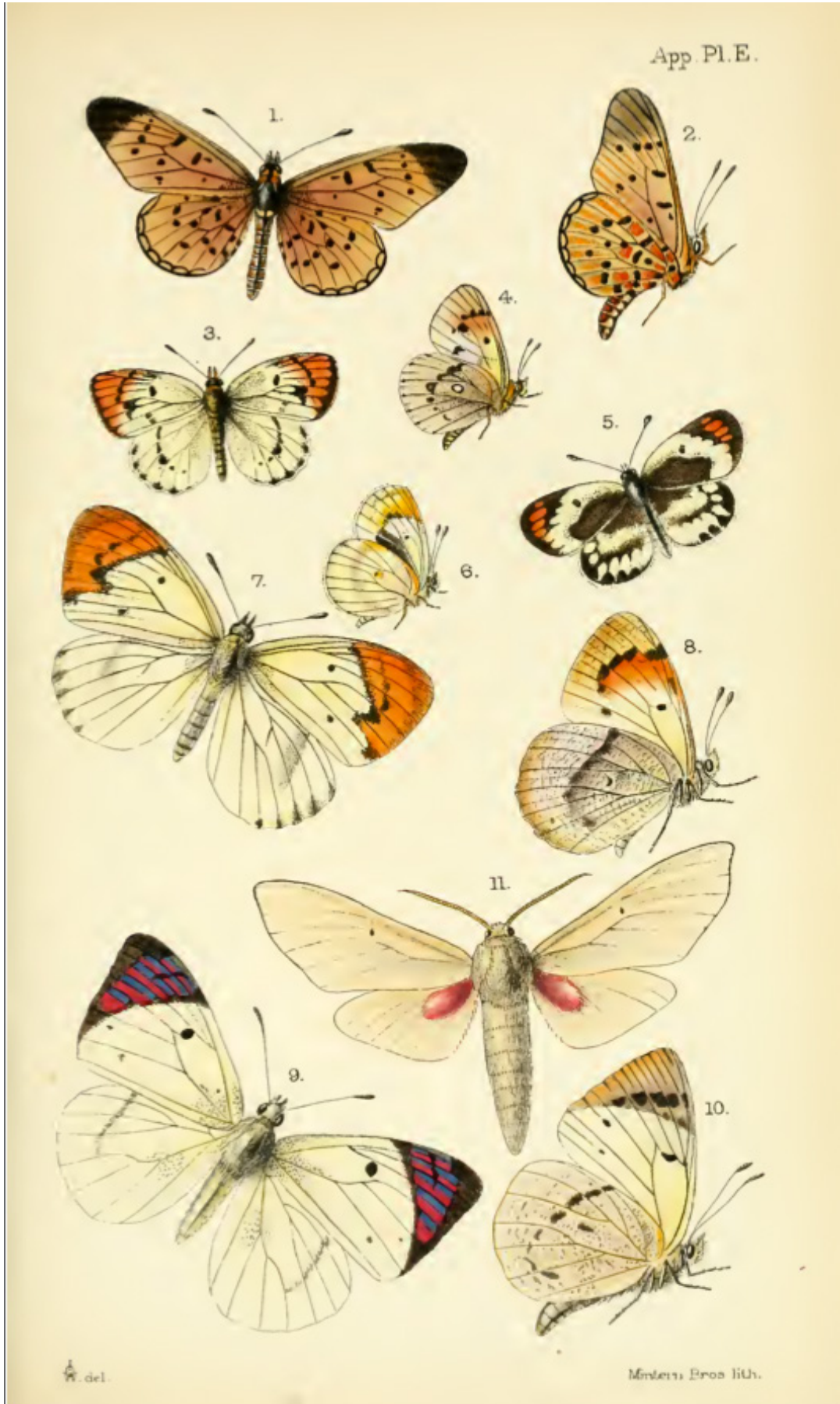


Abb. 1815: *Neoclanis virgo* (WESTWOOD, 1881) stat. rev. - Faksimile der Farbtafel E mit dem Typus-♂ von *Choerocampa virgo* WESTWOOD, 1881 (Pl. E: 11). Aus WESTWOOD (1881). (GP 5990 ♂)

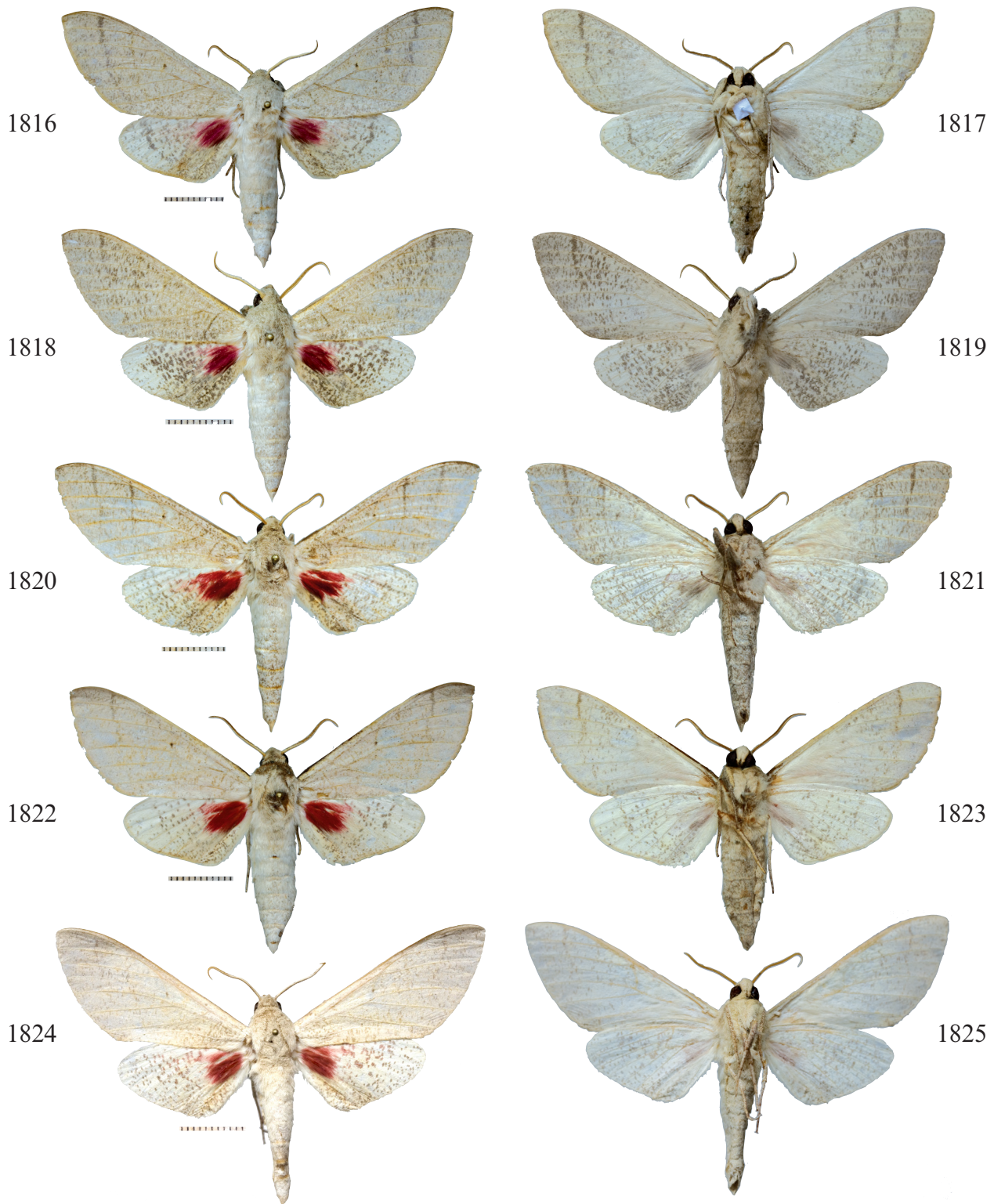


Abb. 1816, 1817: *Neoclanis schreieri* spec. nov., PT, GP 5982 ♂ (Spannweite: 6,76 cm), 8, Botswana, Chobe Distr., 17°49'S, 25°13'E, SSE Kasane, 2 km W Leshoma, Kasane Forest Res., 1000 m, 24.II.2006, Li/LiFa, leg. H. HACKER, H.-P. SCHREIER. EMEM.
 Abb. 1818, 1819: *Neoclanis schreieri* spec. nov., PT, GP 5983 ♂ (Spannweite: 6,96 cm), 8, Botswana, Chobe Distr., 17°49'S, 25°13'E, SSE Kasane, 2 km W Leshoma, Kasane Forest Res., 1000 m, 24.II.2006, Li/LiFa, leg. H. HACKER, H.-P. SCHREIER. EMEM.
 Abb. 1820, 1821: *Neoclanis schreieri* spec. nov., PT, GP 5999 ♂ (Spannweite: 7,18 cm), 8, Botswana, Chobe Distr., 17°49'S, 25°13'E, SSE Kasane, 2 km W Leshoma, Kasane Forest Res., 1000 m, 24.II.2006, Li/LiFa, leg. H. HACKER, H.-P. SCHREIER. EMEM.
 Abb. 1822, 1823: *Neoclanis schreieri* spec. nov., HT, GP 6000 ♂ (Spannweite: 6,83 cm), 8, Botswana, Chobe Distr., 17°49'S, 25°13'E, SSE Kasane, 2 km W Leshoma, Kasane Forest Res., 1000 m, 24.II.2006, Li/LiFa, leg. H. HACKER, H.-P. SCHREIER. EMEM.
 Abb. 1824, 1825: *Neoclanis basalis* (WALKER, 1866), NT, GP 5977 ♂ (Spannweite: 7,17 cm), 10 Namibia, 17°53'S 24°34'E, E Caprivi District, 15 km NW Ngoma, 930 m, 26.II.2006, Li/LiFa, leg. H. HACKER, H.-P. SCHREIER. EMEM.



1826



1827



1828



1829



1830



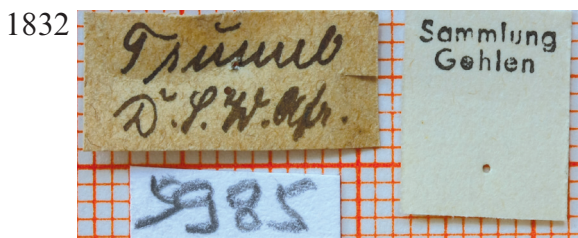
1833



1831



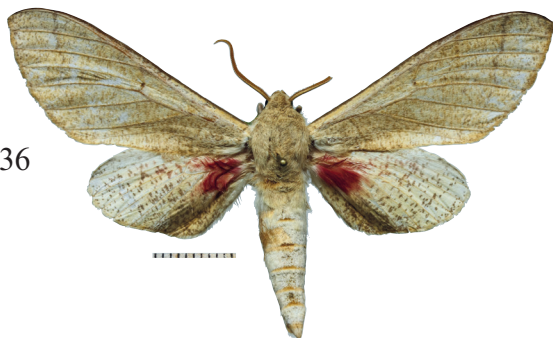
1834



1832



1835



1836



1837

Abb. 1826, 1827: *Neoclanis pseudobasalis* spec. nov., HT, GP 5993 ♂ (Spannweite: 7,07 cm), 10 Namibia, 17°53'S 24°34'E, E Caprivi District, 15 km NW Ngoma, 930 m, 26.II.2006, Li/LiFa, leg. H. HACKER, H.-P. SCHREIER. EMEM.
 Abb. 1828, 1829: *Neoclanis hackeri* spec. nov., HT, GP 5992 ♂ (Spannweite: 6,78 cm), 8, Botswana, Central Distr., 19°39'S, 26°05'E, 60 km N Nata, Elephant Sands Camp, 950 m, 21.II.2006, Li/LiFa, leg. H. HACKER, H.-P. SCHREIER. EMEM.
 Abb. 1830-1832: *Neoclanis tsumeb* spec. nov., HT, GP 5985 ♂ (Spannweite: 6,65 cm), /Tsumeb, D. S. W. Afr. [Deutsch Südwestafrika]/Sammlung GEHLEN/. ZSM.
 Abb. 1833-1835: *Neoclanis tsumeb* spec. nov., PT, GP 5994 ♂ (Spannweite: 6,82 cm), /Tsumeb, S. W. Afr. [Südwestafrika]/Sammlung GEHLEN/. ZSM.
 Abb. 1836, 1837: *Neoclanis weningeri* spec. nov., HT, GP 5995 ♂ (Spannweite: 7,24 cm), Angola, Prov. Huila, Caluquembe-Huambo, Caconda, s 13°46'4", E 015°00'0", 10.11.2012, 1610 m, coll. STRÖHLE, leg. M. WENINGER. EMEM.

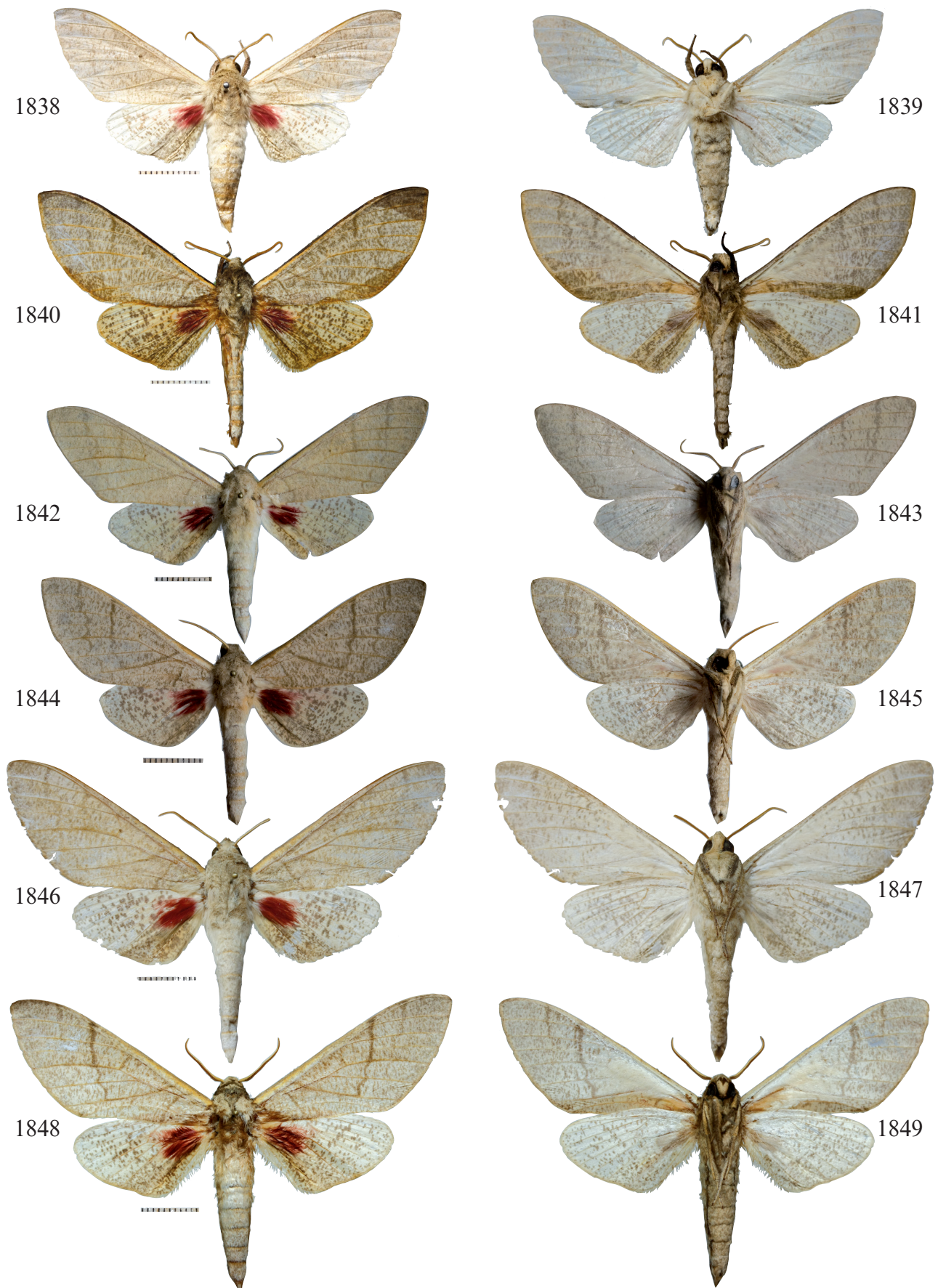


Abb. 1838, 1839: *Neoclanis oberprieleri* spec. nov., HT, GP 5978 ♂ (Spannweite: 6,43 cm), South Africa, TVL, Kruger Nat. Park, Pafuri, Bobomene research camp, 22.26S 31.12E, 250 m, 03.ii.1994, R. OBERPRIELER. EMEM.
 Abb. 1840, 1841: *Neoclanis hogani* spec. nov., HT, GP 5974 ♂ (Spannweite: 7,26 cm), Tanzania, Rukwa Region, nord de Mpanda, Vikonge., 06°03.172'S; 030°56.258'E, 1334 m, 26-II-2012, (PH. DARGE). EMEM.
 Abb. 1842, 1843: *Neoclanis giustii* spec. nov., HT, GP 6013 ♂ (Spannweite: 7,15 cm), Tanzania, Katavi Region, Mtisi Village near Sitalike, 1081 m, 06°28.226'S, 031°07.135'E, 09-XII-2012, (PH. DARGE). EMEM.
 Abb. 1844, 1845: *Neoclanis dargei* spec. nov., HT, GP 6012 ♂ (Spannweite: 7,04 cm), Tanzania, Rukwa Region, Rukwa Escarpment, 1092 m, 07°05.913'S; 031°08.4844'E, 01-II-2008, (PH. DARGE). EMEM.
 Abb. 1846, 1847: *Neoclanis iringaensis* spec. nov., HT, GP 5987 ♂ (Spannweite: 8 cm), Tanzanie, Iringa Region, Mpanga Game Reserve, Usalimbwani, 1225 m, 08°55.195'S, 34°07.105'E, 15.I.2010, PHILIPPE DARGE leg., EMEM, 16.X.2017. EMEM.
 Abb. 1848, 1849: *Neoclanis oatesorum* spec. nov., HT, GP 5998 ♂ (Spannweite: 8,05 cm), Tanzanie: Iringa Region, Mpanga Game Reserve, Usalimbwani, 08°55.195'S., 037°20.709'E, 11-II-2005, (PH. DARGE). EMEM.

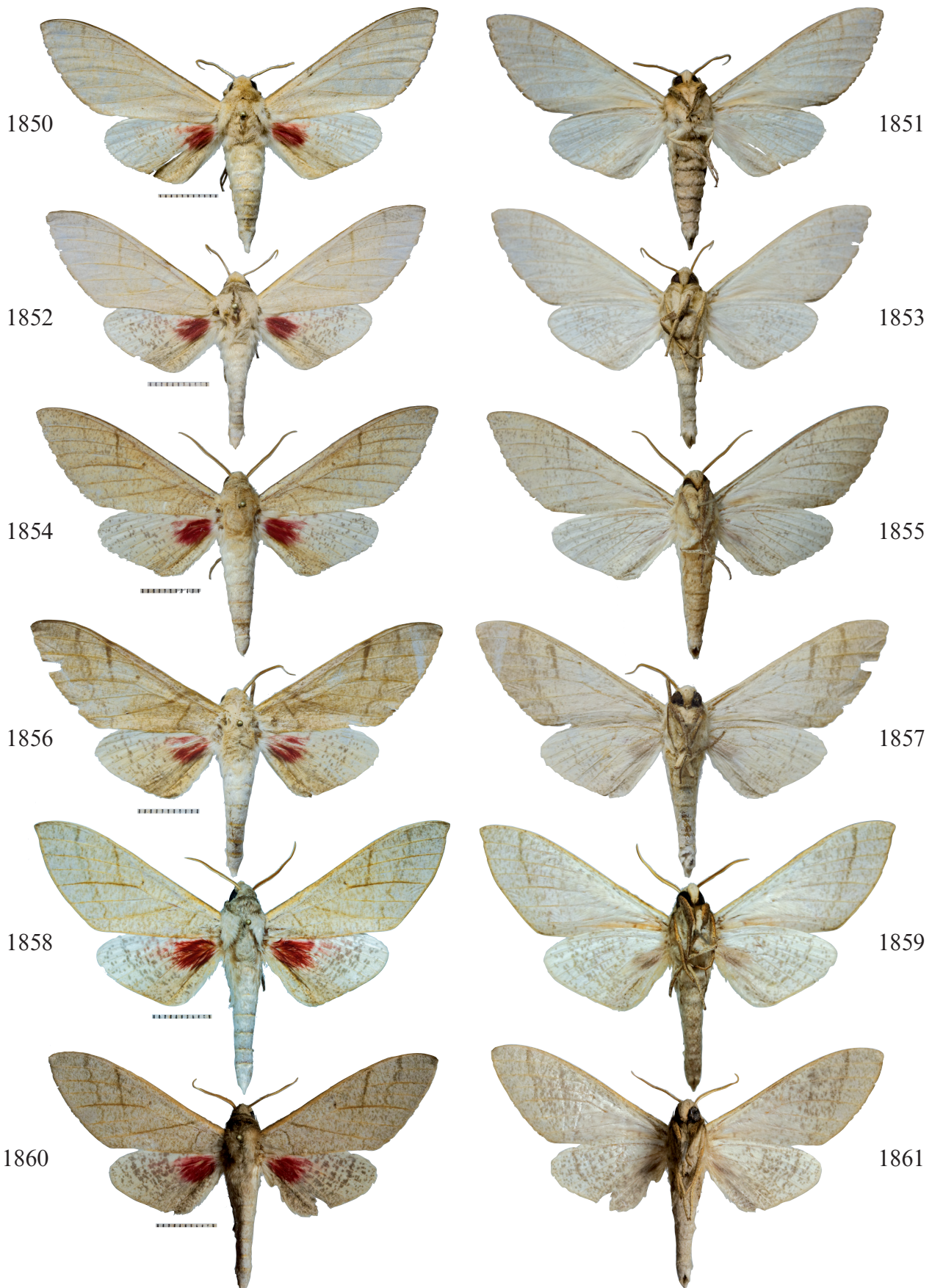


Abb. 1850, 1851: *Neoclanis morogoroensis* **spec. nov.**, HT, GP 5973 ♂ (Spannweite: 7,17 cm), 7 Tanzania, Morogoro: 1 km E Mikumi, savanna, 5.III.2003, 550 m, leg. M. FIBIGER, H. HACKER, K. LARSEN, H.-P. SCHREIER. EMEM.
 Abb. 1852, 1853: *Neoclanis morogoroensis* **spec. nov.**, PT, GP 5976 ♂ (Spannweite: 6,86 cm), 7 Tanzania, Morogoro: 1 km E Mikumi, savanna, 5.III.2003, 550 m, leg. M. FIBIGER, H. HACKER, K. LARSEN, H.-P. SCHREIER. EMEM.
 Abb. 1854, 1855: *Neoclanis usambaraensis* **spec. nov.**, HT, GP 5986 ♂ (Spannweite: 7,24 cm), Tanzania: Tanga region, W. Usambara Mts., Irente view Point, 1376 m, 04°47.87'S, 038°16.235'E, 26-XI-2008, (PH. DARGE). EMEM.
 Abb. 1856, 1857: *Neoclanis nicolae* **spec. nov.**, HT, GP 5991 ♂ (Spannweite: 7,5 cm), Tanzania, Iringa Region, Udzungwa National Park, Camp 2, 400 m, 15.-31.I.2005, PHILIPPE DARGE leg., EMEM, 18.X.2017. EMEM.
 Abb. 1858, 1859: *Neoclanis haendeli* **spec. nov.**, HT, GP 5997 ♂ (Spannweite: 7,42 cm), Tanzania: Morogoro Region, West Nguru Mts., Makuyu, 566 m, 06°17.002'S., 034°07.105'E., 1225 m, 15-I-2010, (PH. DARGE). EMEM.
 Abb. 1860, 1861: *Neoclanis kleineri* **spec. nov.**, HT, GP 6011 ♂ (Spannweite: 7,05 cm), Tanzania: Morogoro Region, West Nguru Mts., 2000 m, 4-VIII-2015, (local collector), ex coll. PH. DARGE). EMEM.

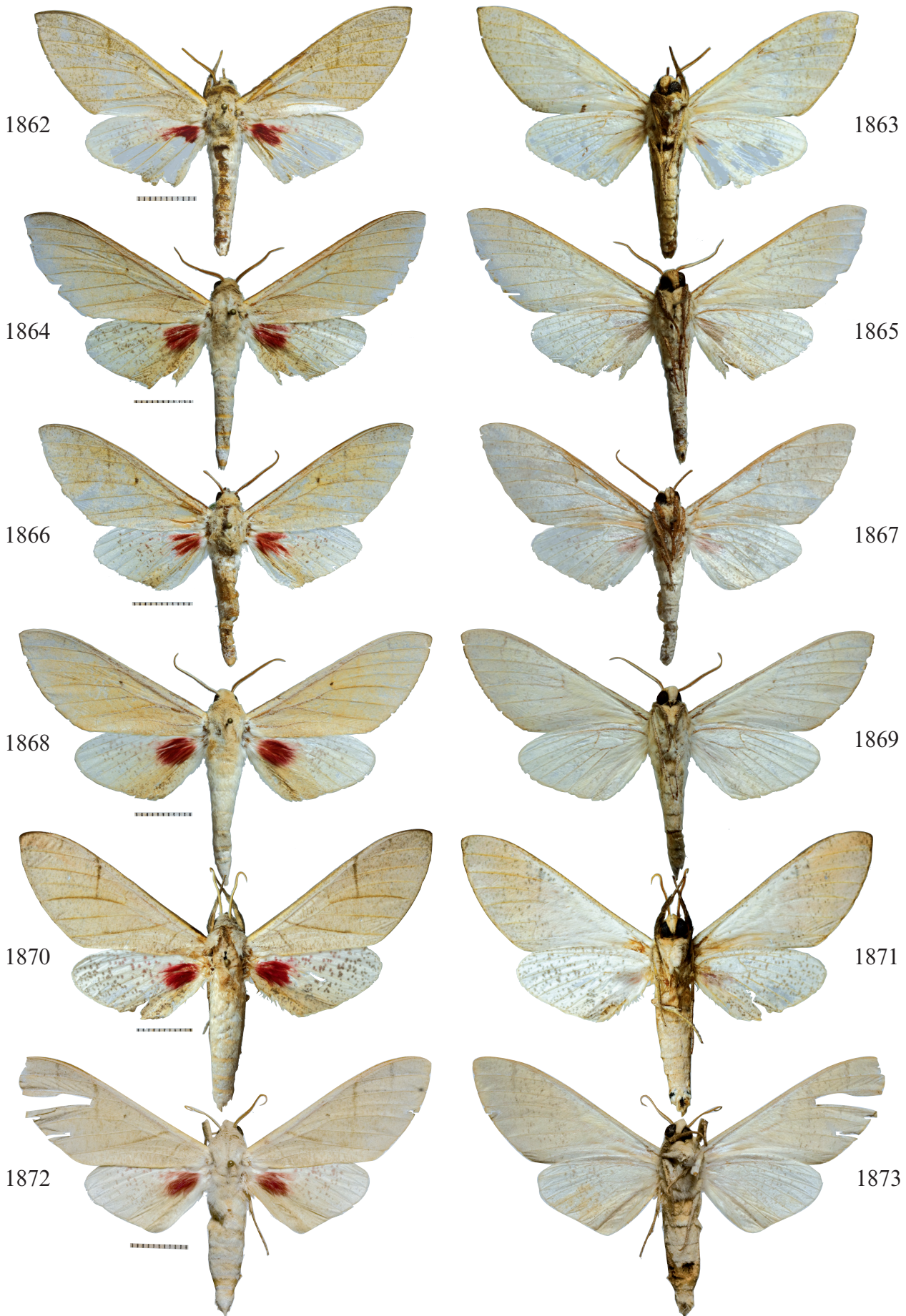


Abb. 1862, 1863: *Neoclanis kingstoni* spec. nov., PT, GP 6002 ♂ (Spannweite: 6,87 cm), *Neoclanis*, Tanzania: Lindi Region, Mtokokuyana, 362 m, 10°23.038'S., 038°53.775'E., 22-XII-2009, (PH. DARGE). EMEM.
 Abb. 1864, 1865: *Neoclanis kingstoni* spec. nov., HT, GP 6003 ♂ (Spannweite: 7,53 cm), *Neoclanis*, Tanzania: Lindi Region, Mtokokuyana, 362 m, 10°23.038'S., 038°53.775'E., 22-XII-2009, (PH. DARGE). EMEM.
 Abb. 1866, 1867: *Neoclanis kingstoni* spec. nov., PT, GP 6004 ♂ (Spannweite: 6,92 cm), *Neoclanis*, Tanzania: Lindi Region, Mtokokuyana, 362 m, 10°23.038'S., 038°53.775'E., 22-XII-2009, (PH. DARGE). EMEM.
 Abb. 1868, 1869: *Neoclanis melichari* spec. nov., HT, GP 6006 ♂ (Spannweite: 7,74 cm), Tanzania: Mtwara Region, Lumesule, 10°54.792'S., 038°02.393'E., 364 m, 23-XII-2009, (PH. DARGE). EMEM.
 Abb. 1870, 1871: *Neoclanis politzari* spec. nov., HT, GP 5996 ♂ (Spannweite: 7,67 cm), /Kenya, Kibwezi, 20-31.5.1994, leg. Dr. POLITZAR. EMEM.
 Abb. 1872, 1873: *Neoclanis politzari* spec. nov., PT, GP 6019 ♂ (Spannweite: ca. 7,63 cm), Kenya, Kibwezi, 8.-14.5.1995, leg. Dr. POLITZAR. ZSM.

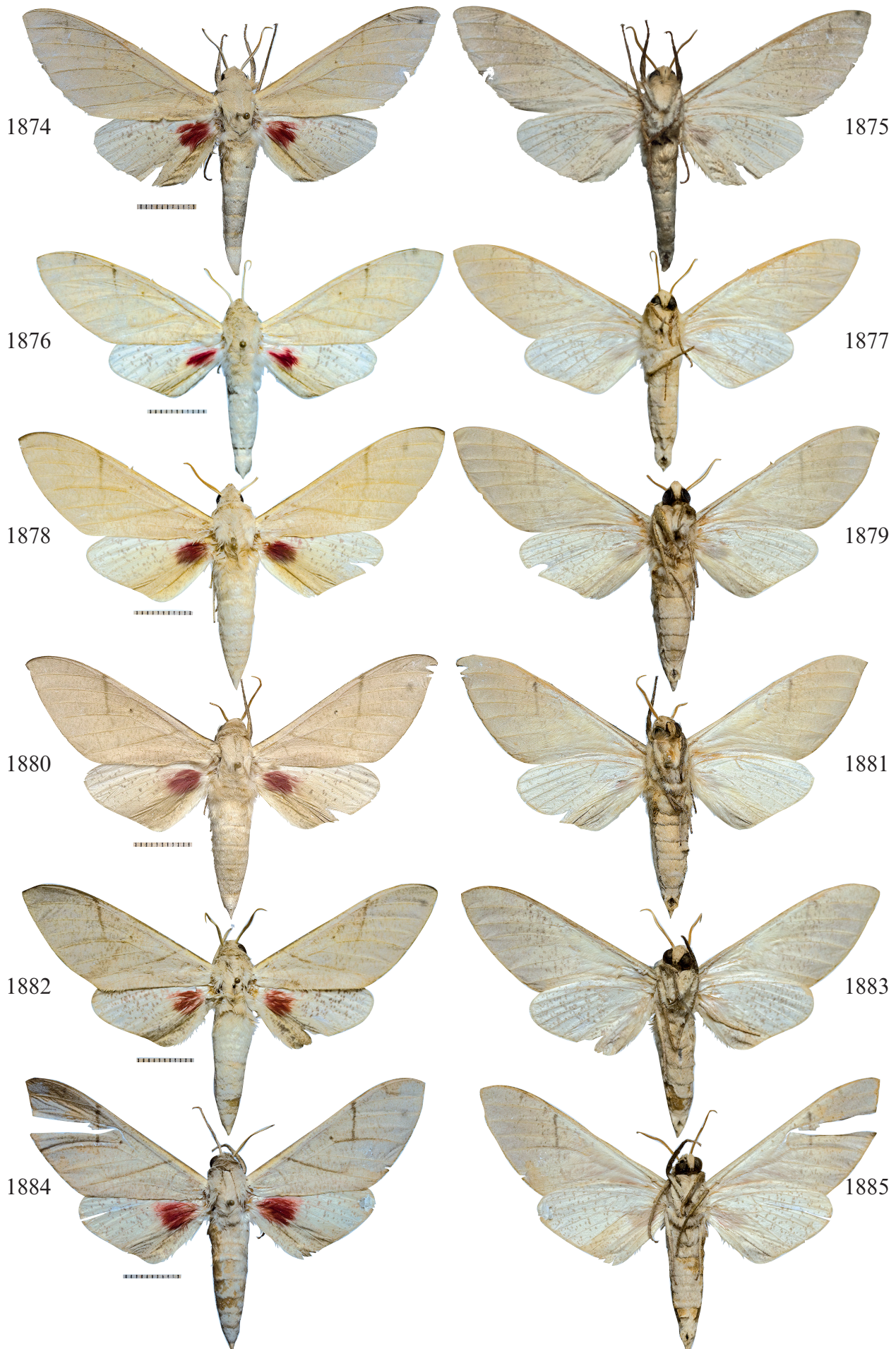


Abb. 1874, 1875: *Neoclanis politzari* spec. nov., PT, GP 6020 ♂ (Spannweite: 7,86 cm), Kenya, Kibwezi, 20-31.5.1994, leg. Dr. POLITZAR. ZSM.
 Abb. 1876, 1877: *Neoclanis politzari* spec. nov., PT, GP 6021 ♂ (Spannweite: 7,63 cm), Kenya, Kibwezi, 20-31.5.1994, leg. Dr. POLITZAR. ZSM.
 Abb. 1878, 1879: *Neoclanis politzari* spec. nov., PT, GP 6022 ♂ (Spannweite: 7,98 cm), Kenya, Kibwezi, 20-31.5.1994, leg. Dr. POLITZAR. ZSM.
 Abb. 1880, 1881: *Neoclanis politzari* spec. nov., PT, GP 6023 ♂ (Spannweite: 7,74 cm), Kenya, Kibwezi, 20-31.5.1994, leg. Dr. POLITZAR. ZSM.
 Abb. 1882, 1883: *Neoclanis politzari* spec. nov., PT, GP 6024 ♂ (Spannweite: 7,86 cm), Kenya, Kibwezi, 20-31.5.1994, leg. Dr. POLITZAR. ZSM.
 Abb. 1884, 1885: *Neoclanis politzari* spec. nov., PT, GP 6025 ♂ (Spannweite: 7,61 cm), Kenya, Kibwezi, 8.-14.5.1995, leg. Dr. POLITZAR. ZSM



Abb. 1886, 1887: *Neoclanis ukambaniensis* spec. nov., PT, GP 6026 ♂ (Spannweite: 6,97 cm), Kenya, Kibwezi, 700 m, 1.-15.12.2000, leg. Dr. POLITZAR, Museum WITT, ZSM.
 Abb. 1888, 1889: *Neoclanis ukambaniensis* spec. nov., PT, GP 6031 ♂ (Spannweite: 6,82 cm), Kenya, South Ukambani, near Kibwezi, 20-27.XI.1994 Lf., leg. Dr. POLITZAR, Museum WITT, ZSM.
 Abb. 1890, 1891: *Neoclanis ukambaniensis* spec. nov., PT, GP 6032 ♂ (Spannweite: 6,88 cm), Kenya, South Ukambani, near Kibwezi, 20-27.XI.1994 Lf., leg. Dr. POLITZAR, Museum WITT, ZSM.
 Abb. 1892, 1893: *Neoclanis ukambaniensis* spec. nov., PT, GP 6036 ♂ (Spannweite: 7,91 cm), [Kenya] Süd-Ukambani, 28.5.-1.6.1995, leg. Dr. POLITZAR, ZSM..
 Abb. 1894, 1895: *Neoclanis ukambaniensis* spec. nov., HT, GP 6037 ♂ (Spannweite: 7,91 cm), [Kenya] Süd-Ukambani, 28.5.-1.6.1995, leg. Dr. POLITZAR, ZSM.
 Abb. 1896, 1897: *Neoclanis witti* spec. nov., HT, GP 6028 ♂ (Spannweite: 6,79 cm), Kenya, South Coast, Nareache Forest, 13.9.[19]96, leg.: POLITZAR, ZSM.

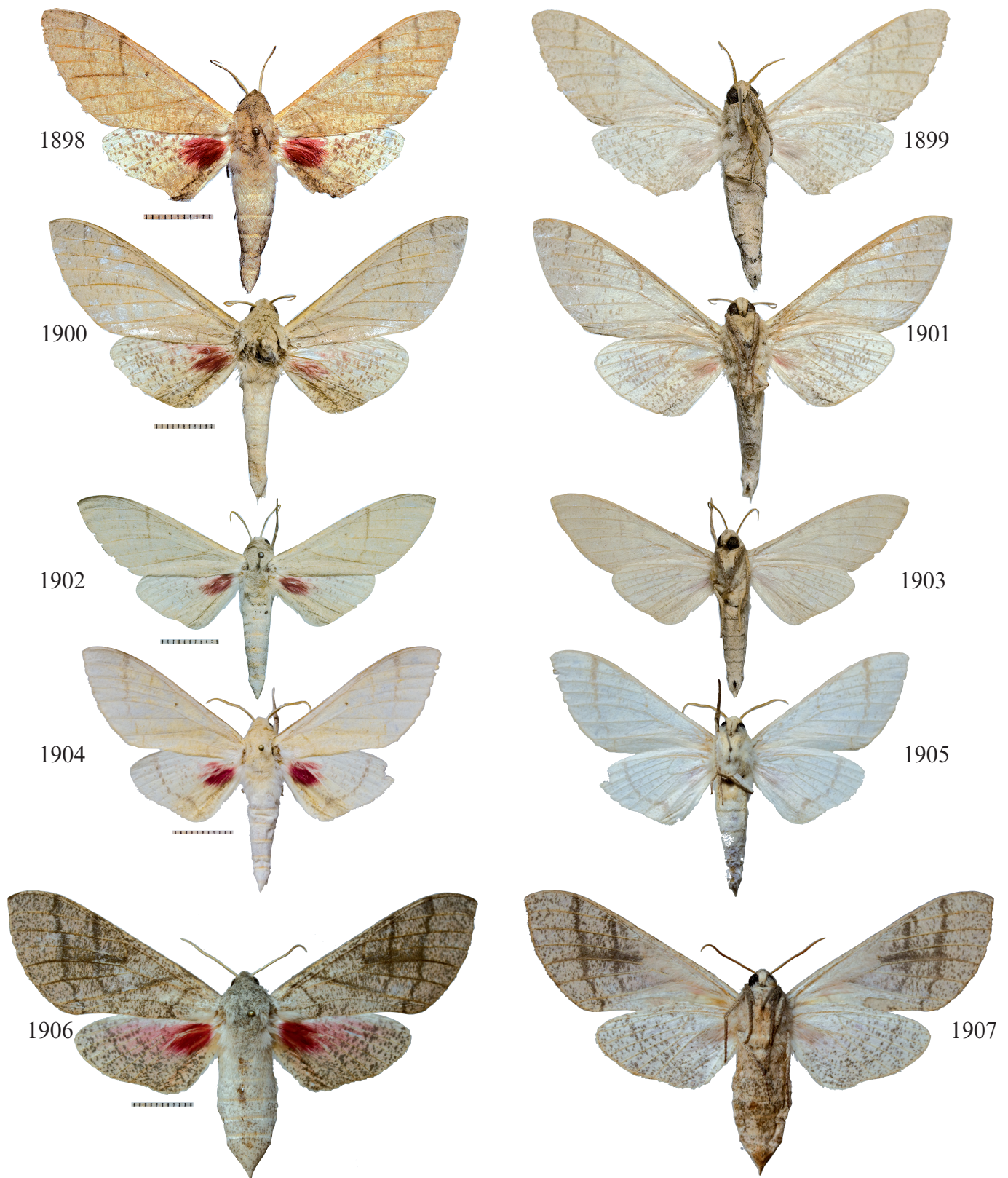


Abb. 1898, 1899: *Neoclanis witti* spec. nov., PT, GP 6029 ♂ (Spannweite: 6,63 cm), Kenya, South Coast, Nareache Forest, 13.9.[19]96, leg.: POLITZAR. ZSM.
 Abb. 1900, 1901: *Neoclanis witti* spec. nov., PT, GP 6030 ♂ (Spannweite: 7,63 cm), Kenya, South Coast, Nareache Forest, 27.10.[20]00, leg.: POLITZAR. ZSM.
 Abb. 1902, 1903: *Neoclanis kuchleri* spec. nov., HT, GP 6041 ♂ (Spannweite: 6,56 cm), Kenya, Südküste, Marenje Forest, 14.2.[19]95, leg.: POLITZAR. ZSM.
 Abb. 1904, 1905: *Neoclanis raymurphyi* spec. nov., HT, GP 5975 ♂ (Spannweite: 6,54 cm), /Mwabvigame Reserve, Nsanje Dist., S. Malawi, 135 m, 16°39'S 35°E, 29-30 DEZ [20]15, R. J. MURPHY. EMEM.
 Abb. 1906, 1907: *Neoclanis schreieri* spec. nov., AT, GP 5984 ♀ (Spannweite: 8,56 cm), 8, Botswana, Chobe Distr., 17°49'S, 25°13'E, SSE Kasane, 2 km W Leshoma, Kasane Forest Res., 1000 m, 24.II.2006, Li/LiFa, leg. H. HACKER, H.-P. SCHREIER. EMEM.

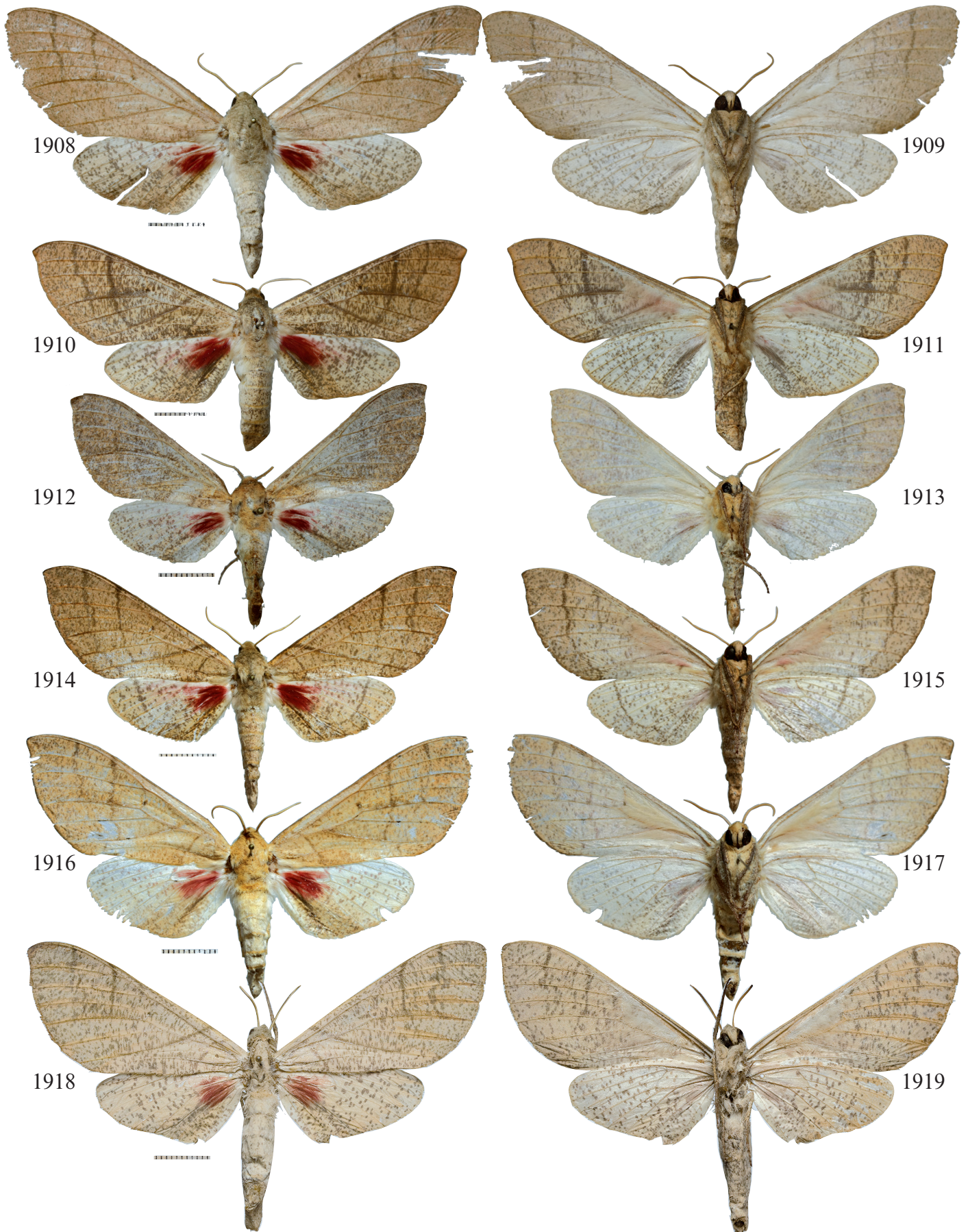


Abb. 1908, 1909: *Neoclanis nicolae* spec. nov., AT, GP 5988 ♀ (Spannweite: 9,22 cm), Tansanie, Iringa region, Udzungwa National Park, Camp 2, 400 m, 15.-31.I.2005, PHILIPPE DARGE leg., EMEM, 16.X.2017. EMEM.
 Abb. 1910, 1911: *Neoclanis michali* spec. nov., HT, GP 5989 ♀ (Spannweite: 9,42 cm), Tanganjika, Lindi, Ndanda, 300 m, 8.XII.1958, leg. CH. LINDEMANN, Staatsslg. München. ZSM.
 Abb. 1912, 1913: *Neoclanis murzini* spec. nov., HT, GP 6001 ♀ (Spannweite: 6,83 cm), Botswana, 10 km S Ghanzi, 1080 m, 21.810369S, 21.609318E, 21.-23.XII.2012, S. MURZIN leg. EMEM. (56 voll entwickelten Eier aus dem Abdomen präpariert.)
 Abb. 1914, 1915: *Neoclanis kingstoni* spec. nov., AT, GP 6005 ♀ (Spannweite: 8,03 cm), Tansanie: Lindi Region, Mtokokuyana, 362 m, 10°23.038'S., 038°53.775'E., 22.-XII-2009, (PH. DARGE). EMEM.
 Abb. 1916, 1917: *Neoclanis melichari* spec. nov., AT, GP 6007 ♀ (Spannweite: 8,63 cm), Tansanie: Mtwara Region, Lumesule, 10°54.792'S., 038°02.393'E., 364 m, 23.-XII-2009, (PH. DARGE). EMEM.
 Abb. 1918, 1919: *Neoclanis ukambaniensis* spec. nov., AT ♀, GP 6038 ♀ (Spannweite: 8,90 cm), Kenya, South-Ukambani, 20.4.[20]00, leg.: POLITZAR. ZSM. (170 Eier im Abdomen.)

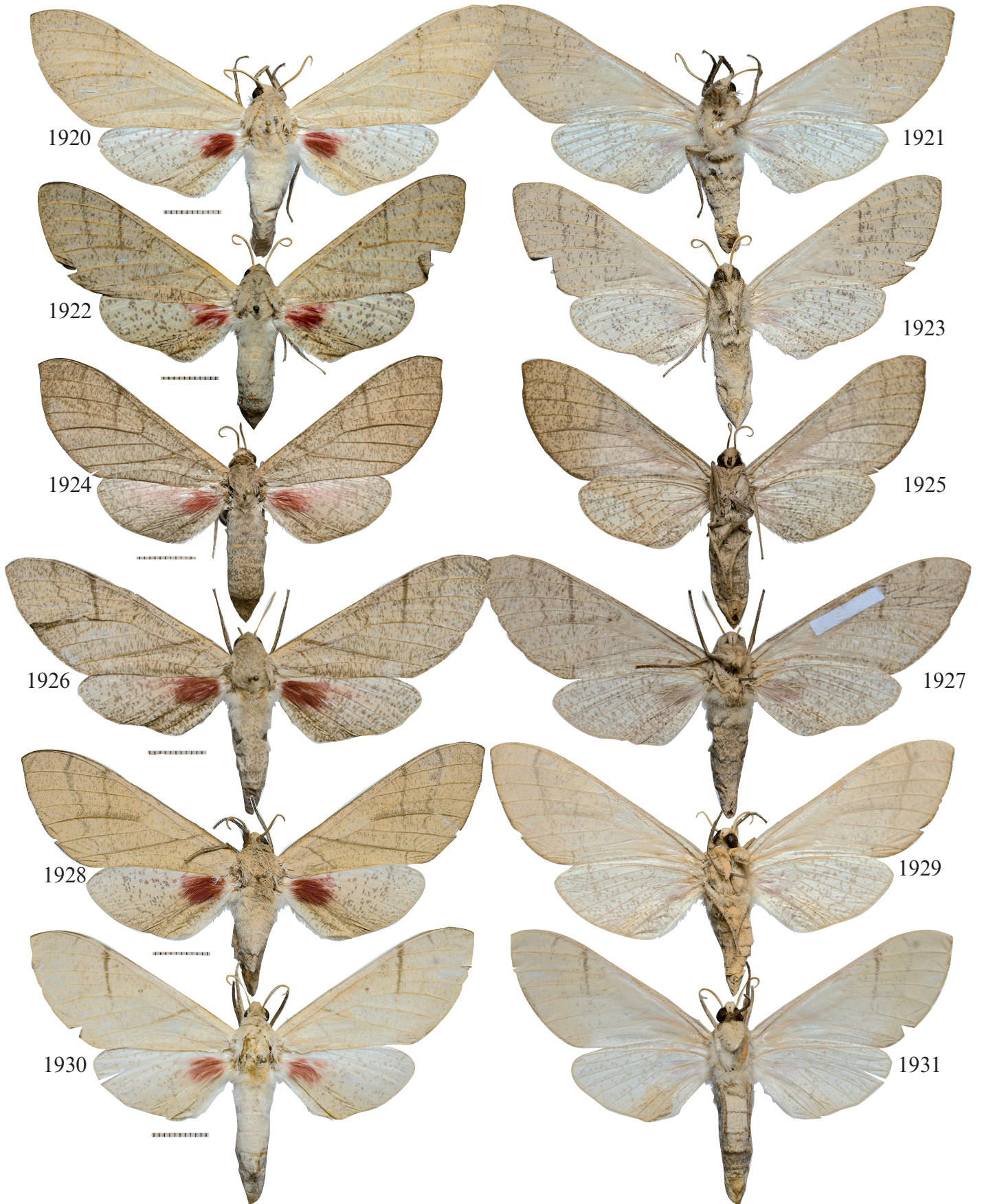


Abb. 1920, 1921: *Neoclanis politzari* spec. nov., AT, GP 6027 ♀ (Spannweite: 9,14 cm), Kenya, Kibwezi, 20-31.5.1994, leg. Dr. POLITZAR. ZSM. (Nur noch 30 Eier im Abdomen.)

Abb. 1922, 1923: *Neoclanis wnamanga* spec. nov., HT, GP 6039 ♀ (Spannweite: 8,28 cm), Kenya, Namanga, 18.3.[19]94, [leg. POLITZAR]. ZSM.

Abb. 1924, 1925: *Neoclanis witti* spec. nov., AT, GP 6033 ♀ (Spannweite: 7,72 cm), Kenya, South Coast, Nareache Forest, 27.10.[20]00, leg.: POLITZAR. ZSM. (127 Eier im Abdomen.)

Abb. 1926, 1927: *Neoclanis witti* spec. nov., PT, GP 6034 ♀ (Spannweite: 9,34 cm), Kenya, South Coast, Nareache Forest, 6.9.[19]96, leg.: POLITZAR. ZSM. (3 Eier im Abdomen.)

Abb. 1928, 1929: *Neoclanis witti* spec. nov., PT, GP 6035 ♀ (Spannweite: 8,91 cm), Kenya, South Coast, Nareache Forest, 14.3.[19]96, leg.: POLITZAR. ZSM. (Voller Eier, deren Zahl durch Verklebung nicht festgestellt werden konnte.)

Abb. 1930, 1931: *Neoclanis pseudopolitzari* spec. nov., HT, GP 6040 ♀ (Spannweite: 8,57 cm), Kenya, Namanga, 18.3.[19]94, [leg. POLITZAR]. ZSM. (136 Eier im Abdomen.)



- Abb. 1932, 1933: *Neoclanis michali* spec. nov., HT, GP 5989 ♀ (Spannweite: 9,42 cm), Tanganjika, Lindi, Ndanda, 300 m, 8.XII.1958, leg. CH. LINDEMANN, Staatsslg. München. ZSM.
- Abb. 1934: *Neoclanis virgo* (WESTWOOD, 1881) stat. rev., HT, GP 5990 ♂ (Abgeschätzte Spannweite: 7,04 cm), Typus-♂ von *Choerocampa virgo* WESTWOOD, 1881. Coll. OUMNH.
- Abb. 1935: *Neoclanis schreieri* spec. nov., PT, GP 5982 ♂ (Spannweite: 6,76 cm), 8, Botswana, Chobe Distr., 17°49'S, 25°13'E, SSE Kasane, 2 km W Leshoma, Kasane Forest Res., 1000 m, 24.II.2006, Li/LiFa, leg. H. HACKER, H.-P. SCHREIER. EMEM.
- Abb. 1936: *Neoclanis schreieri* spec. nov., PT, GP 5983 ♂ (Spannweite: 6,96 cm), 8, Botswana, Chobe Distr., 17°49'S, 25°13'E, SSE Kasane, 2 km W Leshoma, Kasane Forest Res., 1000 m, 24.II.2006, Li/LiFa, leg. H. HACKER, H.-P. SCHREIER. EMEM.
- Abb. 1937: *Neoclanis schreieri* spec. nov., PT, GP 5999 ♂ (Spannweite: 7,18 cm), 8, Botswana, Chobe Distr., 17°49'S, 25°13'E, SSE Kasane, 2 km W Leshoma, Kasane Forest Res., 1000 m, 24.II.2006, Li/LiFa, leg. H. HACKER, H.-P. SCHREIER. EMEM.
- Abb. 1938: *Neoclanis schreieri* spec. nov., HT, GP 6000 ♂ (Spannweite: 6,83 cm), 8, Botswana, Chobe Distr., 17°49'S, 25°13'E, SSE Kasane, 2 km W Leshoma, Kasane Forest Res., 1000 m, 24.II.2006, Li/LiFa, leg. H. HACKER, H.-P. SCHREIER. EMEM.
- Abb. 1939: *Neoclanis basalis* (WALKER, 1866), NT, GP 5977 ♂ (Spannweite: 7,17 cm), 10 Namibia, 17°53'S 24°34'E, E Caprivi District, 15 km NW Ngoma, 930 m, 26.II.2006, Li/LiFa, leg. H. HACKER, H.-P. SCHREIER. EMEM.



1940



1945



1941



1946



1942



1947



1943



1948



1944



1949

- Abb. 1940: *Neoclanis pseudobasalis spec. nov.*, HT, GP 5993 ♂ (Spannweite: 7,07 cm), 10 Namibia, 17°53'S 24°34'E, E Caprivi District, 15 km NW Ngoma, 930 m, 26.II.2006, Li/LiFa, leg. H. HACKER, H.-P. SCHREIER. EMEM.
- Abb. 1941: *Neoclanis hackeri spec. nov.*, HT, GP 5992 ♂ (Spannweite: 6,78 cm), 8, Botswana, Central Distr., 19°39'S, 26°05'E, 60 km N Nata, Elephant Sands Camp, 950 m, 21.II.2006, Li/LiFa, leg. H. HACKER, H.-P. SCHREIER. EMEM.
- Abb. 1942: *Neoclanis tsumeb spec. nov.*, HT, GP 5985 ♂ (Spannweite: 6,65 cm), /Tsumeb, D. S. W. Afr. [Deutsch Südwestafrika]/Sammlung GEHLEN/. ZSM.
- Abb. 1943: *Neoclanis tsumeb spec. nov.*, PT, GP 5994 ♂ (Spannweite: 6,82 cm), /Tsumeb, S. W. Afr. [Deutsch Südwestafrika]/Sammlung GEHLEN/. ZSM.
- Abb. 1944: *Neoclanis weningeri spec. nov.*, HT, GP 5995 ♂ (Spannweite: 7,24 cm), Angola, Prov. Huila, Caluquembe-Huambo, Caconda, S 13°46'4", E 015°00', 10.11.2012, 1610 m, coll. STRÖHLE, leg. M. WENINGER. EMEM.
- Abb. 1945: *Neoclanis oberprieleri spec. nov.*, HT, GP 5978 ♂ (Spannweite: 6,43 cm), South Africa, TVL, Kruger Nat. Park, Pafuri, Bobomene research camp, 22.26S 31.12E, 250 m, 03.ii.1994, R. OBERPRIELER. EMHT, EM.
- Abb. 1946: *Neoclanis hogani spec. nov.*, HT, GP 5974 ♂ (Spannweite: 7,26 cm), Tanzania, Rukwa Region, nord de Mpanda, Vikonge., 06°03.172'S; 030°56.258'E, 1334 m, 26-II-2012, (PH. DARGE). EMEM.
- Abb. 1947: *Neoclanis gjustii spec. nov.*, HT, GP 6013 ♂ (Spannweite: 7,15 cm), Tanzania, Katavi Region, Mtisi Village near Sitalike, 1081 m, 06°28.226'S, 031°07.135'E, 09-XII-2012, (PH. DARGE). EMEM.
- Abb. 1948: *Neoclanis dargei spec. nov.*, HT, GP 6012 ♂ (Spannweite: 7,04 cm), Tanzania, Rukwa Region, Rukwa Escarpment, 1092 m, 07°05.913'S; 031°08.4844'E, 01-II-2008, (PH. DARGE). EMEM.
- Abb. 1949: *Neoclanis iringaensis spec. nov.*, HT, GP 5987 ♂ (Spannweite: 8 cm), Tanzanie, Iringa Region, Mpanga Game Reserve, Usalimbwani, 1225 m, 08°55.195'S, 34°07.105'E, 15.I.2010, PHILIPPE DARGE leg., EMEM, 16.X.2017. EMEM.



1950



1955



1951



1956



1952



1957



1953



1958



1954



1959

Abb. 1950: *Neoclanis oatesorum* spec. nov., HT, GP 5998 ♂ (Spannweite: 8,05 cm), Tanzania: Iringa Region, Mpanga Game Reserve, Usalimwani, 08°55.195'S., 037°20.709'E, 11-II-2005. (Ph. DARGE). EMEM.

Abb. 1951: *Neoclanis morogoroensis* spec. nov., HT, GP 5973 ♂ (Spannweite: 7,17 cm), 7 Tanzania, Morogoro: 1 km E Mikumi, savanna, 5.III.2003, 550 m, leg. M. FIBIGER, H. HACKER, K. LARSEN, H.-P. SCHREIER. EMEM.

Abb. 1952: *Neoclanis morogoroensis* spec. nov., PT, GP 5976 ♂ (Spannweite: 6,86 cm), *Neoclanis*, 7 Tanzania, Morogoro: 1 km E Mikumi, savanna, 550 m. EMEM.

Abb. 1953: *Neoclanis usambaraensis* spec. nov., HT, GP 5986 ♂, Tanzania: Tanga region, W. Usambara Mts., Irente view Point, 1376 m. EMEM.

Abb. 1954: *Neoclanis nicolae* spec. nov., HT, GP 5991 ♂, Tanzania, Iringa Region, Udzungwa National Park, Camp 2, 400 m. EMEM.

Abb. 1955: *Neoclanis haendeli* spec. nov., HT, GP 5997 ♂, Tanzania: Morogoro Region, West Nguru Mts., Makuyu, 566 m. EMEM.

Abb. 1956: *Neoclanis kleineri* spec. nov., HT, GP 6011 ♂, Tanzania: Morogoro Region, West Nguru Mts., 2000 m. EMEM.

Abb. 1957: *Neoclanis kingstoni* spec. nov., PT, GP 6002 ♂, Tanzania: Lindi Region, Mtokokuyana, 362 m. EMEM.

Abb. 1958: *Neoclanis kingstoni* spec. nov., HT, GP 6003 ♂, Tanzania: Lindi Region, Mtokokuyana, 362 m. EMEM.

Abb. 1959: *Neoclanis kingstoni* spec. nov., PT, GP 6004 ♂, Tanzania: Lindi Region, Mtokokuyana, 362 m., (Ph. DARGE). EMEM.

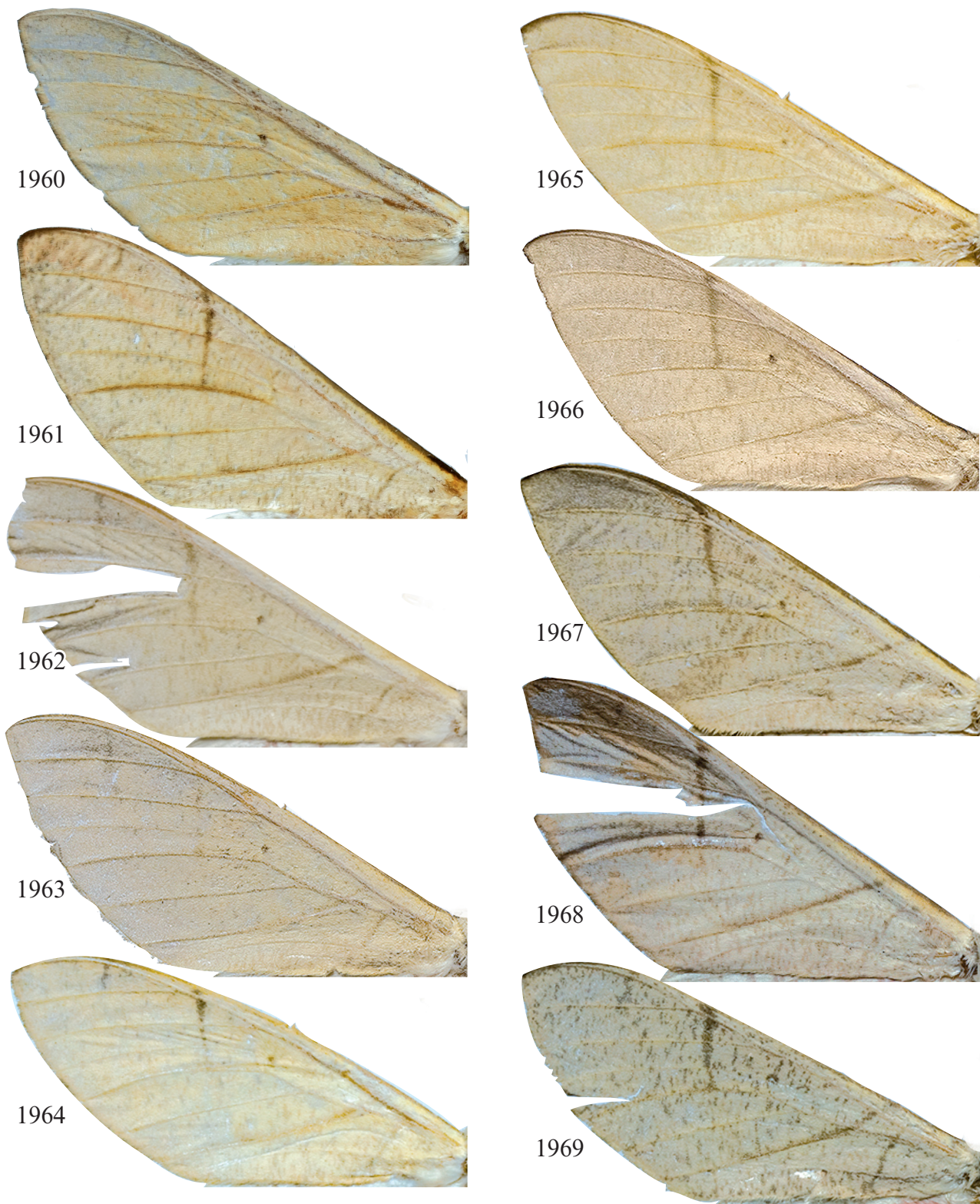


Abb. 1960: *Neoclanis melichari* spec. nov., HT, GP 6006 ♂, Tanzania: Mtwara Region, Lumesule, 364 m. EMEM.

Abb. 1961: *Neoclanis politzari* spec. nov., HT, GP 5996 ♂, Kenya, Kibwezi, 20-31.5.1994, leg. Dr. POLITZAR. EMEM.

Abb. 1962: *Neoclanis politzari* spec. nov., PT, GP 6019 ♂ (Spannweite: ca. 7,63 cm), Kenya, Kibwezi, 8.-14.5.1995, leg. Dr. POLITZAR. ZSM.

Abb. 1963: *Neoclanis politzari* spec. nov., PT, GP 6020 ♂ (Spannweite: 7,86 cm), Kenya, Kibwezi, 20-31.5.1994, leg. Dr. POLITZAR. ZSM.

Abb. 1964: *Neoclanis politzari* spec. nov., PT, GP 6021 ♂ (Spannweite: 7,63 cm), Kenya, Kibwezi, 20-31.5.1994, leg. Dr. POLITZAR. ZSM.

Abb. 1965: *Neoclanis politzari* spec. nov., PT, GP 6022 ♂ (Spannweite: 7,98 cm), Kenya, Kibwezi, 20-31.5.1994, leg. Dr. POLITZAR. ZSM.

Abb. 1966: *Neoclanis politzari* spec. nov., PT, GP 6023 ♂ (Spannweite: 7,74 cm), Kenya, Kibwezi, 20-31.5.1994, leg. Dr. POLITZAR. ZSM.

Abb. 1967: *Neoclanis politzari* spec. nov., PT, GP 6024 ♂ (Spannweite: 7,86 cm), NKenya, Kibwezi, 20-31.5.1994, leg. Dr. POLITZAR. ZSM.

Abb. 1968: *Neoclanis politzari* spec. nov., PT, GP 6025 ♂ (Spannweite: 7,61 cm), Kenya, Kibwezi, 8.-14.5.1995, leg. Dr. POLITZAR. ZSM.

Abb. 1969: *Neoclanis ukambaniensis* spec. nov., PT, GP 6026 ♂ (Spannweite: 6,97 cm), Kenya, Kibwezi, 700 m, 1.-15.12.2000, leg. Dr. POLITZAR, Museum WITT. ZSM



1970



1975



1971



1976



1972



1977



1973



1978



1974

Abb. 1970: *Neoclanis ukambaniensis* spec. nov., PT, GP 6031 ♂ (Spannweite: 6,82 cm), Kenya, South Ukambani, near Kibwezi, 20-27.XI.1994 Lf., leg. Dr. POLITZAR, Museum WITT. ZSM.

Abb. 1971: *Neoclanis ukambaniensis* spec. nov., PT, GP 6032 ♂ (Spannweite: 6,88 cm), Kenya, South Ukambani, near Kibwezi, 20-27.XI.1994 Lf., leg. Dr. POLITZAR, Museum WITT. ZSM.

Abb. 1972: *Neoclanis ukambaniensis* spec. nov., PT, GP 6036 ♂ (Spannweite: 7,91 cm), [Kenya] Süd-Ukambani, 28.5.-1.6.1995, leg. Dr. POLITZAR. ZSM.

Abb. 1973: *Neoclanis ukambaniensis* spec. nov., HT, GP 6037 ♂ (Spannweite: 7,91 cm), [Kenya] Süd-Ukambani, 28.5.-1.6.1995, leg. Dr. POLITZAR. ZSM.

Abb. 1974: *Neoclanis witti* spec. nov., HT, GP 6028 ♂ (Spannweite: 6,79 cm), Kenya, South Coast, Nareache Forest, 13.9.[19]96, leg.: POLITZAR. ZSM.

Abb. 1975: *Neoclanis witti* spec. nov., PT, GP 6029 ♂ (Spannweite: 6,63 cm), Kenya, South Coast, Nareache Forest, 13.9.[19]96, leg.: POLITZAR. ZSM.

Abb. 1976: *Neoclanis witti* spec. nov., PT, GP 6030 ♂ (Spannweite: 7,63 cm), Kenya, South Coast, Nareache Forest, 27.10.[20]00, leg.: POLITZAR. ZSM.

Abb. 1977: *Neoclanis kuchleri* spec. nov., HT, GP 6041 ♂ (Spannweite: 6,56 cm), Kenya, Südküste, Marenje Forest, 14.2.[19]95, leg.: POLITZAR. ZSM.

Abb. 1978: *Neoclanis raymurphyi* spec. nov., HT, GP 5975 ♂, Mwabvigame Reserve, Nsanje Dest., S. Malawi, 135 m, 16°39'S 35°E, 29-30 DEZ [20]15, R. J. MURPHY. EMEM.